

志賀原子力発電所2号炉 火山影響評価について

2024年 10月18日
北陸電力株式会社

余白

目次

【概要】

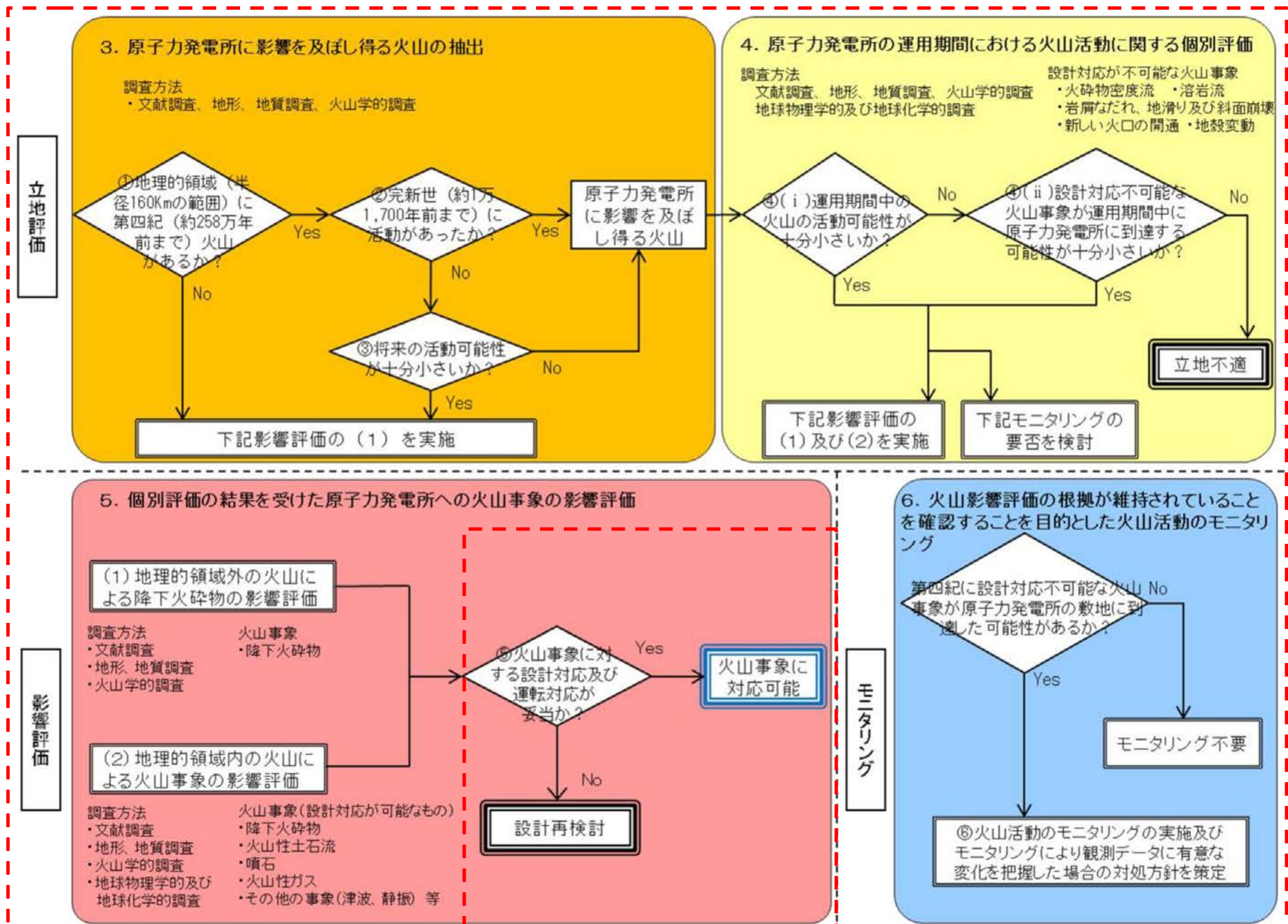
I. 原子力発電所の火山影響評価の基本フロー	4
II. 志賀原子力発電所2号炉の火山影響評価(全体)	5
III. 各章の評価結果	6
IV. 設置変更許可申請時以降の追加検討内容	11

【本文】

1. 原子力発電所に影響を及ぼし得る火山の抽出	15
1.1 地理的領域内の第四紀火山	18
1.2 原子力発電所に影響を及ぼし得る火山の抽出	20
2. 火山活動に関する個別評価	25
2.1 火碎物密度流に関する評価	29
2.2 新しい火口の開口及び地殻変動に関する評価	46
2.3 設計対応不可能な火山事象の個別評価まとめ	51
3. 火山事象の影響評価	52
3.1 降下火碎物の影響評価	54
3.1.1 文献・地質調査に基づく評価	56
3.1.2 降下火碎物シミュレーションによる評価	122
3.1.3 降下火碎物の密度及び粒径	204
3.1.4 降下火碎物の影響評価まとめ	207
3.2 降下火碎物以外の火山事象の影響評価	210
4. まとめ	213
[巻末資料] 設置変更許可申請時からの変更内容	215
参考文献	227

I. 原子力発電所の火山影響評価の基本フロー

○志賀原子力発電所の火山影響評価は、「原子力発電所の火山影響評価ガイド」に沿って、下図のとおり行う。

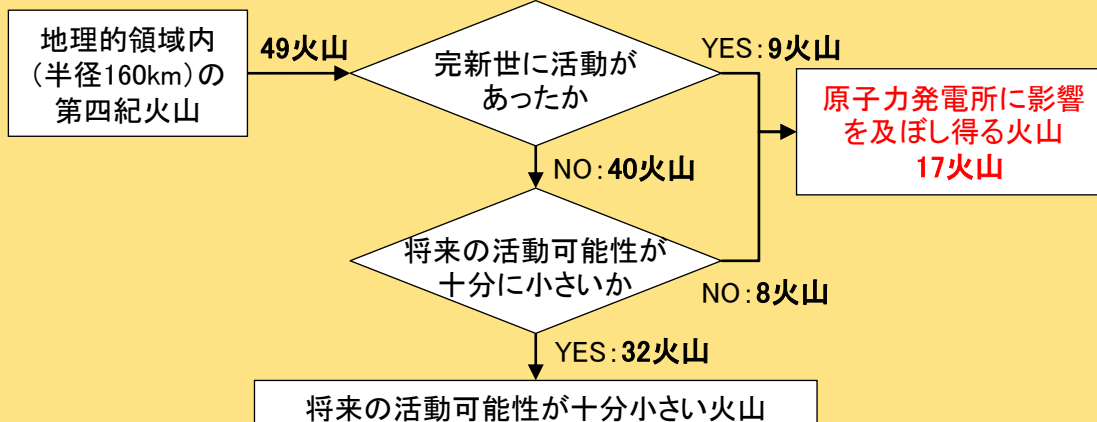


II. 志賀原子力発電所2号炉の火山影響評価(全体)

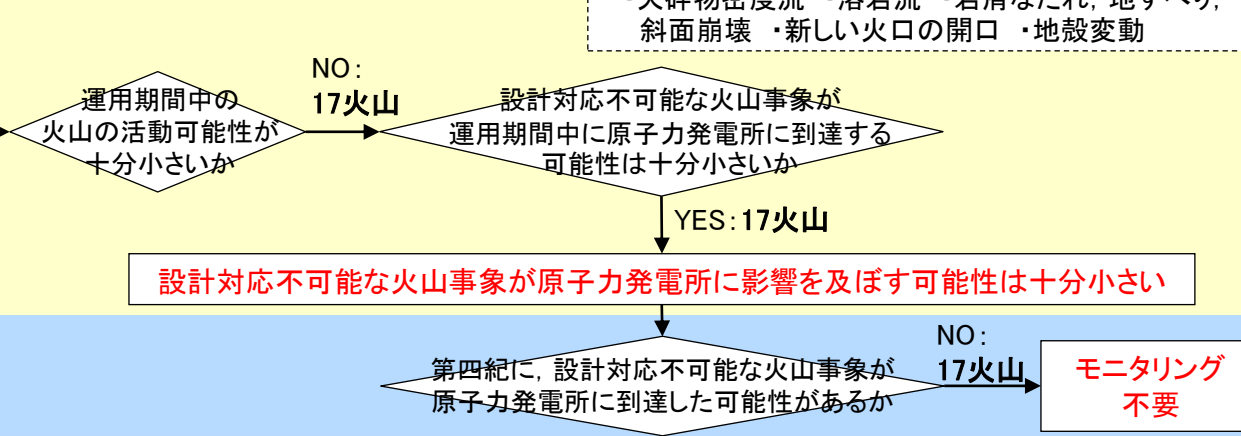
- 原子力発電所に影響を及ぼし得る火山として、完新世に活動を行った火山と将来の活動可能性が否定できない火山を合わせて、17火山を抽出した。(1章)
- 抽出した原子力発電所に影響を及ぼし得る火山の火山活動に関する個別評価を実施した結果、火碎物密度流等の設計対応不可能な火山事象が原子力発電所に影響を及ぼす可能性は十分小さく、モニタリングについては不要と評価した。(2章)
- 降下火碎物の影響評価について、敷地において考慮する降下火碎物の層厚は、文献・地質調査及び降下火碎物シミュレーション結果から10cmと評価した。また、降下火碎物以外の設計対応可能な火山事象について、原子力発電所への影響を考慮する必要がないと評価した。(3章)

立地評価

【1章：原子力発電所に影響を及ぼし得る火山の抽出】



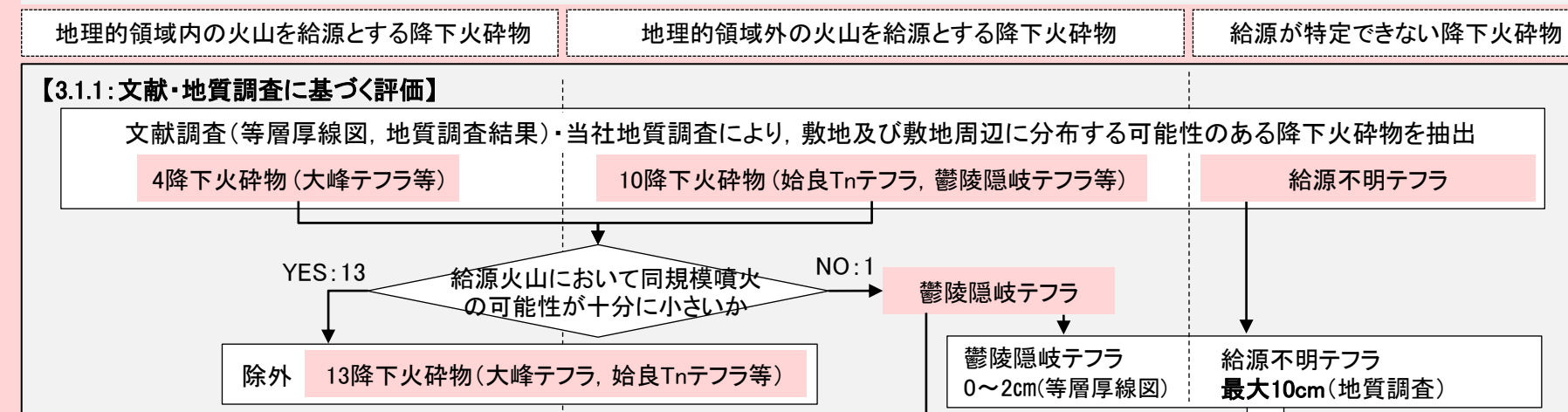
【2章：火山活動に関する個別評価】



影響評価

【3章：火山事象の影響評価】

【3.1: 降下火碎物の影響評価】



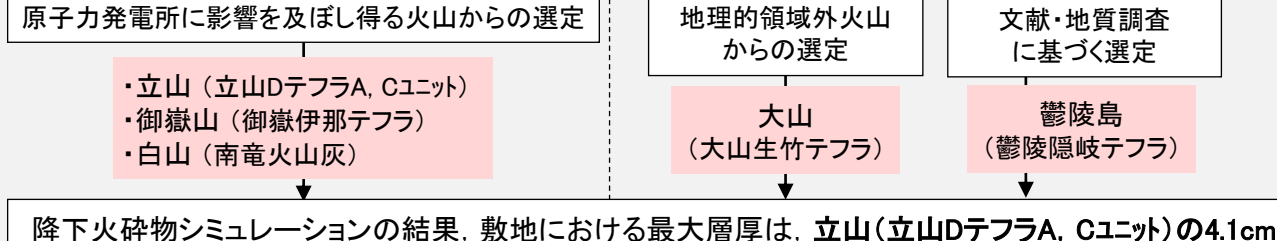
【3.2: 降下火碎物以外の設計対応可能な 火山事象の影響評価】

地理的領域内の火山による火山事象

原子力発電所に影響を及ぼす17火山
による火山事象について、敷地からの
離隔及び敷地の地形条件等から検討

降下火碎物以外の火山事象(火山性土
石流、噴石、火山ガス、その他の事象)
について、原子力発電所への影響を
考慮する必要がない

【3.1.2: 降下火碎物シミュレーションによる評価】



<給源不明テフラについて>

- ・邑知渕平野以南の3地点のみで確認された、中部更新統の砂層中に挟在するFT年代が約0.4Maを示す風化火山灰層。
- ・邑知渕平野よりも北側の当社地質調査において、目視可能な給源不明テフラは確認されず、邑知渕平野よりも北側に第四紀火山は存在しないことから、給源不明テフラの給源は邑知渕平野よりも南側に位置する火山で、給源不明テフラは、邑知渕平野よりも敷地に近い北側でより厚く堆積していないと考えられる。

<設計対応可能な火山事象>

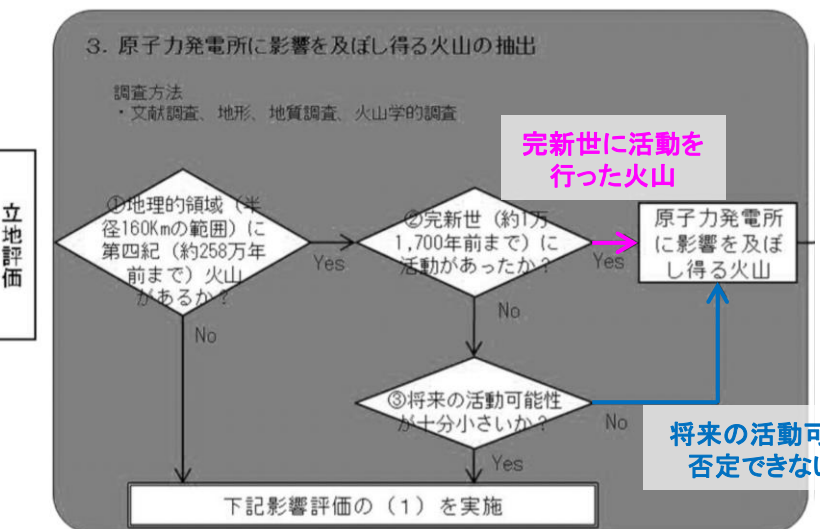
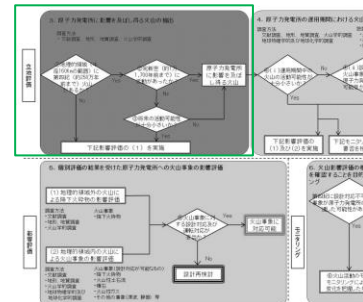
- ・降下火碎物
- ・火山性土石流 ・噴石
- ・火山ガス ・その他の事象

敷地において考慮する降下火碎物の層厚を10cmと評価する

III. 各章の評価結果 – 1章: 原子力発電所に影響を及ぼし得る火山の抽出 –

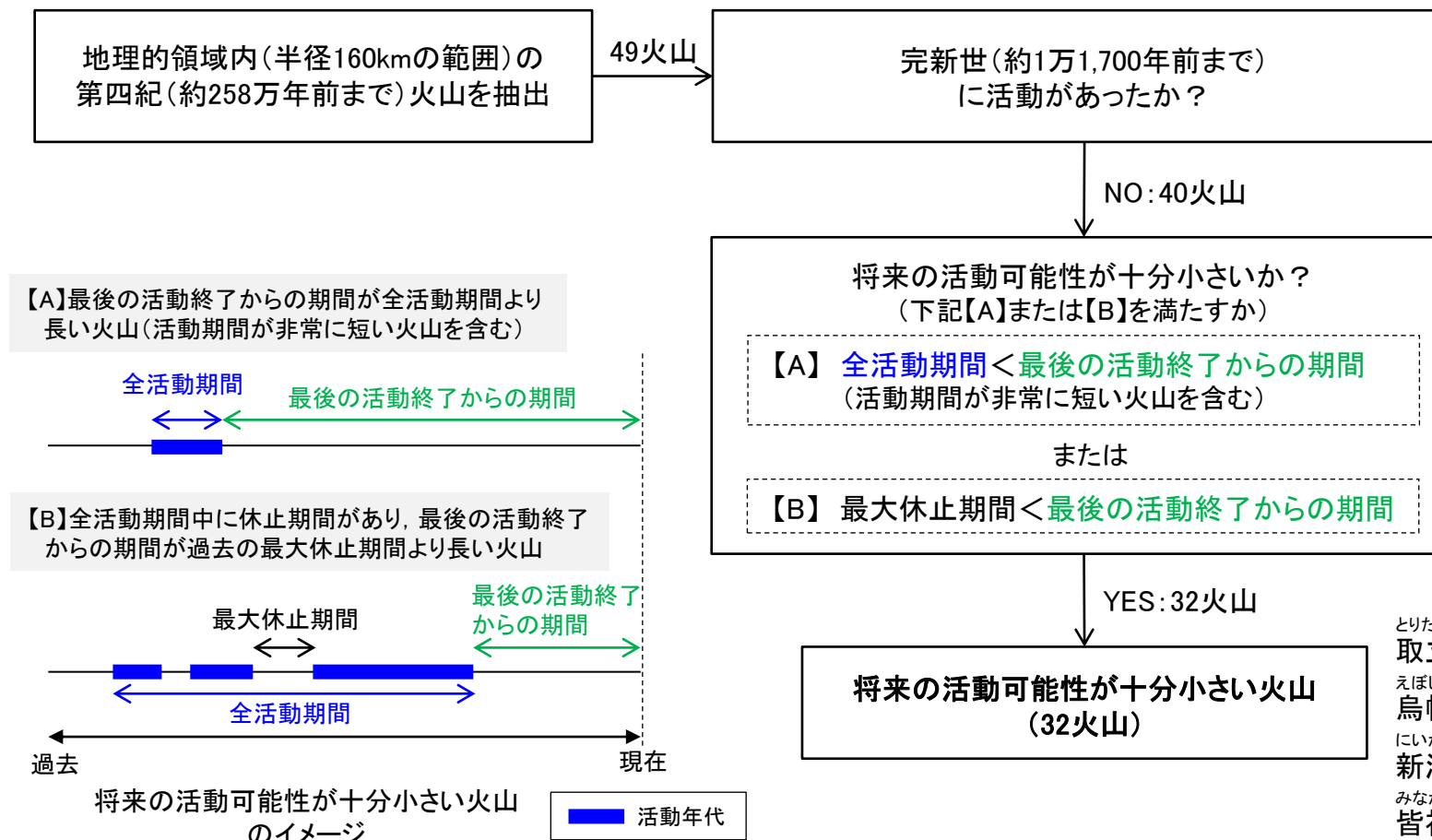
- 「日本の火山」Web版(地質調査総合センター編, 2023)に基づき地理的領域内(半径160kmの範囲)の49の第四紀火山を抽出した。
- さらに、「日本の火山」Web版等の文献を基に各火山の活動年代を評価し、原子力発電所に影響を及ぼし得る火山として、完新世に活動を行った9火山と将来の活動可能性が否定できない8火山を合わせて、17火山を抽出した。

右図範囲

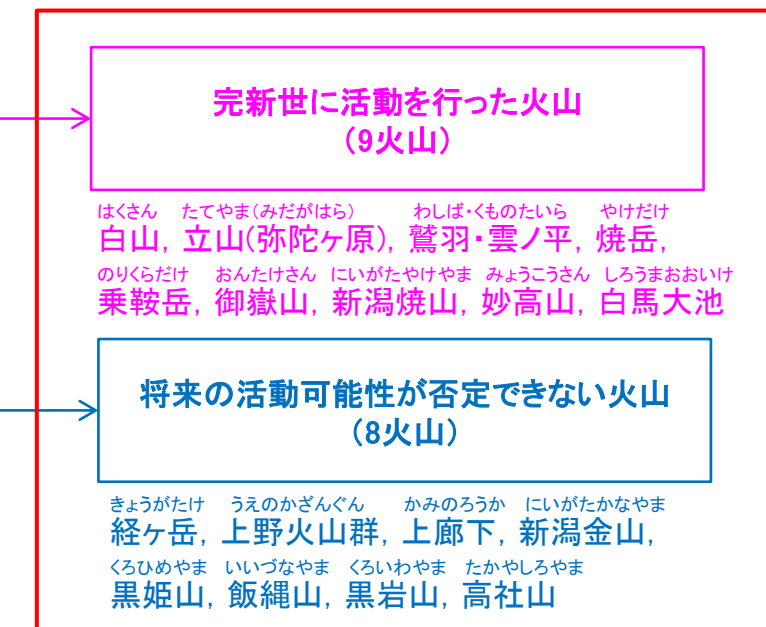


「原子力発電所の火山影響評価ガイド」に一部加筆

■原子力発電所に影響を及ぼし得る火山の抽出結果



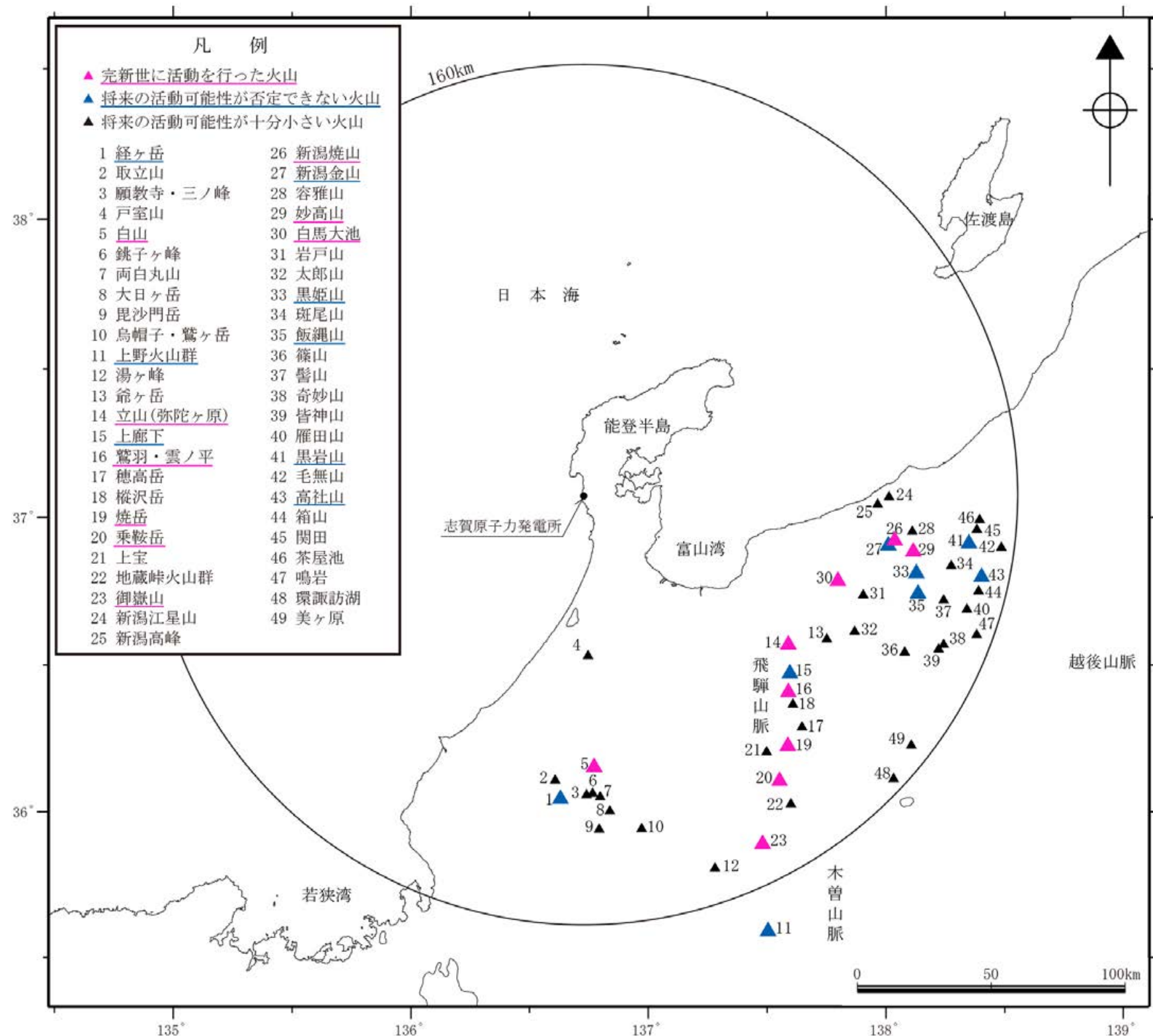
原子力発電所に影響を及ぼし得る火山 (17火山)



とりたてやま がんきょうじ・さんのみね とむろやま ちょうしがみね りょうはくまるやま だいにちがたけ びしゃもんだけ
取立山, 聖教寺・三ノ峰, 戸室山, 銚子ヶ峰, 両白丸山, 大日ヶ岳, 昆沙門岳,
えぼし・わしがたけ ゆがみね じいがたけ ほたかだけ もみさわだけ かみたから じぞうとうげかざんぐん
鳥帽子・鷲ヶ岳, 湯ヶ峰, 爺ヶ岳, 穂高岳, 横沢岳, 上宝, 地蔵峠火山群,
にいがたえぼしやま にいがたたかみね ようがさん いわとやま たろうやま まだらおやま しのやま もどりやま きみょうさん
新潟江星山, 新潟高峰, 容雅山, 岩戸山, 太郎山, 斑尾山, 篠山, 髙山, 奇妙山,
みなかみやま かりたさん けなしやま はこやま せきた ちゃやい なるいわ かんすわこ うつくしがはら
皆神山, 雁田山, 毛無山, 箱山, 関田, 茶屋池, 鳴岩, 環諏訪湖, 美ヶ原

【原子力発電所に影響を及ぼし得る火山の位置】

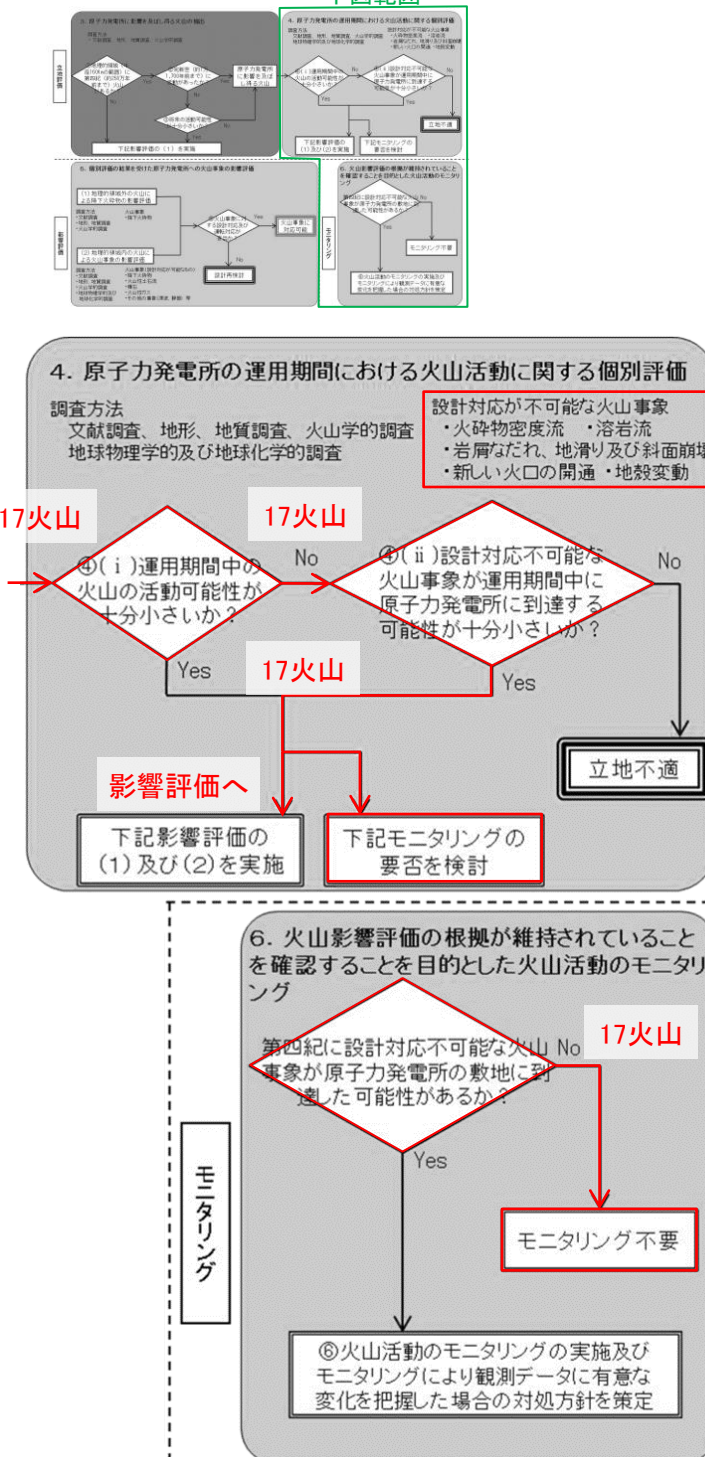
○原子力発電所に影響を及ぼし得る火山(完新世に活動を行った火山及び将来の活動可能性が否定できない火山)の位置は以下のとおり。



III. 各章の評価結果 –2章: 火山活動に関する個別評価–

- 原子力発電所に影響を及ぼし得る17火山について、原子力発電所の運用期間中の火山の活動可能性が十分小さいとは評価できないことから、設計対応不可能な火山事象が運用期間中に原子力発電所に到達する可能性が十分小さいかを検討した。
- 検討の結果、いずれの火山も、設計対応不可能な火山事象が運用期間中に原子力発電所に影響を及ぼす可能性は十分小さいと評価した。
- また、過去最大規模の噴火を考慮しても、第四紀に設計対応不可能な火山事象が敷地に到達した可能性は十分小さく、モニタリング不要と評価した。

下図範囲



■原子力発電所に影響を及ぼし得る火山の火山活動に関する個別評価結果

設計対応不可能な火山事象	評価結果
火碎物密度流	<p><上野火山群></p> <ul style="list-style-type: none"> ・火山噴出物に関する文献調査結果から、噴出物は溶岩流が主体であり、火碎物密度流の発生実績が認められないことから、火碎物密度流が運用期間中に原子力発電所に影響を及ぼす可能性は十分小さいと評価した。 <p><上野火山群以外の16火山></p> <ul style="list-style-type: none"> ・火碎物密度流の堆積物の分布に関する文献調査結果から、いずれの火山も、火碎物密度流の堆積物の分布は山体周辺に限られ、この分布から想定される火碎物密度流の最大到達距離が敷地から各火山までの距離に比べて十分小さいことから、火碎物密度流が運用期間中に原子力発電所に影響を及ぼす可能性は十分小さいと評価した。
溶岩流	<p><全17火山></p> <ul style="list-style-type: none"> ・いずれの火山も、敷地から50km以遠に位置することから(最も近い立山(弥陀ヶ原)で94km)、溶岩流が運用期間中に原子力発電所に影響を及ぼす可能性は十分小さいと評価した。
岩屑なだれ 地すべり 斜面崩壊	<p><全17火山></p> <ul style="list-style-type: none"> ・いずれの火山も、敷地から50km以遠に位置することから(最も近い立山(弥陀ヶ原)で94km)、岩屑なだれ、地すべり及び斜面崩壊が運用期間中に原子力発電所に影響を及ぼす可能性は十分小さいと評価した。
新しい火口の開口	<p><全17火山></p> <ul style="list-style-type: none"> ・いずれの火山も敷地から90km以遠に位置しており(最も近い立山(弥陀ヶ原)で94km)、敷地周辺の地震波速度構造について地下深部から鉛直方向に連続する低速度域は認められず、敷地周辺において第四紀火山に関連する地熱活動及び深部低周波地震が認められないことから、新しい火口の開口が運用期間中に原子力発電所に影響を及ぼす可能性は十分小さいと評価した。
地殻変動	<p><全17火山></p> <ul style="list-style-type: none"> ・いずれの火山も敷地から90km以遠に位置しており(最も近い立山(弥陀ヶ原)で94km)、敷地周辺の地震波速度構造について地下深部から鉛直方向に連続する低速度域は認められず、敷地周辺において第四紀火山に関連する地熱活動及び深部低周波地震が認められないことから、地殻変動が運用期間中に原子力発電所に影響を及ぼす可能性は十分小さいと評価した。

■モニタリングの要否検討結果

「原子力発電所の火山影響評価ガイド」に一部加筆

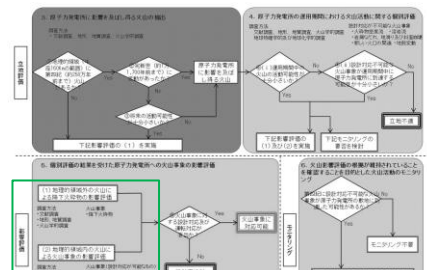
過去最大規模の噴火を考慮しても、第四紀に設計対応不可能な火山事象が敷地に到達した可能性は十分小さく、モニタリング不要と評価した。

III. 各章の評価結果 –3章: 火山事象の影響評価–

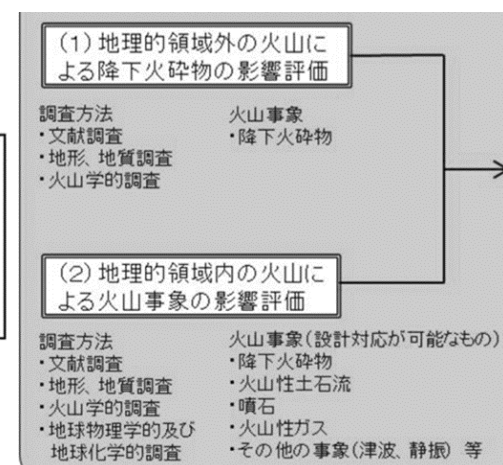
- 設計対応可能な火山事象について、運用期間中の原子力発電所への影響を検討した。
- 地理的領域外及び領域内の火山による降下火碎物については、文献・地質調査及び降下火碎物シミュレーション結果を踏まえ、敷地において考慮する降下火碎物の層厚を10cmと評価した。
- 地理的領域内の火山による降下火碎物以外の設計対応可能な火山事象について、敷地からの距離や敷地の地形条件等を踏まえ、地理的領域内の原子力発電所に影響を及ぼし得る17火山の降下火碎物以外の設計対応可能な火山事象(火山性土石流、噴石、火山ガス、津波、静振、大気現象、火山性地震とこれに関連する事象、熱水系及び地下水の異常)による原子力発電所への影響を考慮する必要はないと評価した。

■設計対応可能な火山事象に関する影響評価結果

火山の位置	設計対応可能な火山事象	評価結果
地理的領域外の火山	降下火碎物	<ul style="list-style-type: none">文献・地質調査及び降下火碎物シミュレーション結果を踏まえ、敷地において考慮する降下火碎物の層厚を10cmと評価した。また、文献調査結果に基づき、降下火碎物の密度(湿潤密度)1.5g/cm³、粒径3mm以下と設定した。(詳細は次頁)
地理的領域内の火山	火山性土石流	<ul style="list-style-type: none">原子力発電所に影響を及ぼし得る火山として抽出した17火山について、敷地周辺は各火山の山麓の河川流域には含まれないことから、火山性土石流による原子力発電所への影響を考慮する必要はないと評価した。
	噴石	<ul style="list-style-type: none">原子力発電所に影響を及ぼし得る火山として抽出した17火山は、いずれの火山も敷地から10km以遠に位置することから(最も近い立山(弥陀ヶ原)で94km)、噴石による原子力発電所への影響を考慮する必要はないと評価した。
	火山ガス	<ul style="list-style-type: none">敷地は、日本海に面する沿岸部に位置し、火山ガスが敷地に滞留する地形ではないことから、原子力発電所に影響を及ぼし得る火山として抽出した17火山の火山ガスによる原子力発電所への影響を考慮する必要はないと評価した。
	その他の事象 (津波、静振、大気現象、火山性地震とこれに関連する事象、熱水系及び地下水の異常)	<ul style="list-style-type: none">原子力発電所に影響を及ぼし得る火山として抽出した17火山は、いずれの火山も敷地から十分離れており(最も近い立山(弥陀ヶ原)で94km)、日本海沿岸に位置しないことから、その他の事象(津波、静振、大気現象、火山性地震とこれに関連する事象、熱水系及び地下水の異常)による原子力発電所への影響を考慮する必要はないと評価した。



下図範囲



「原子力発電所の火山影響評価ガイド」
に一部加筆

【降下火碎物に関する影響評価結果】

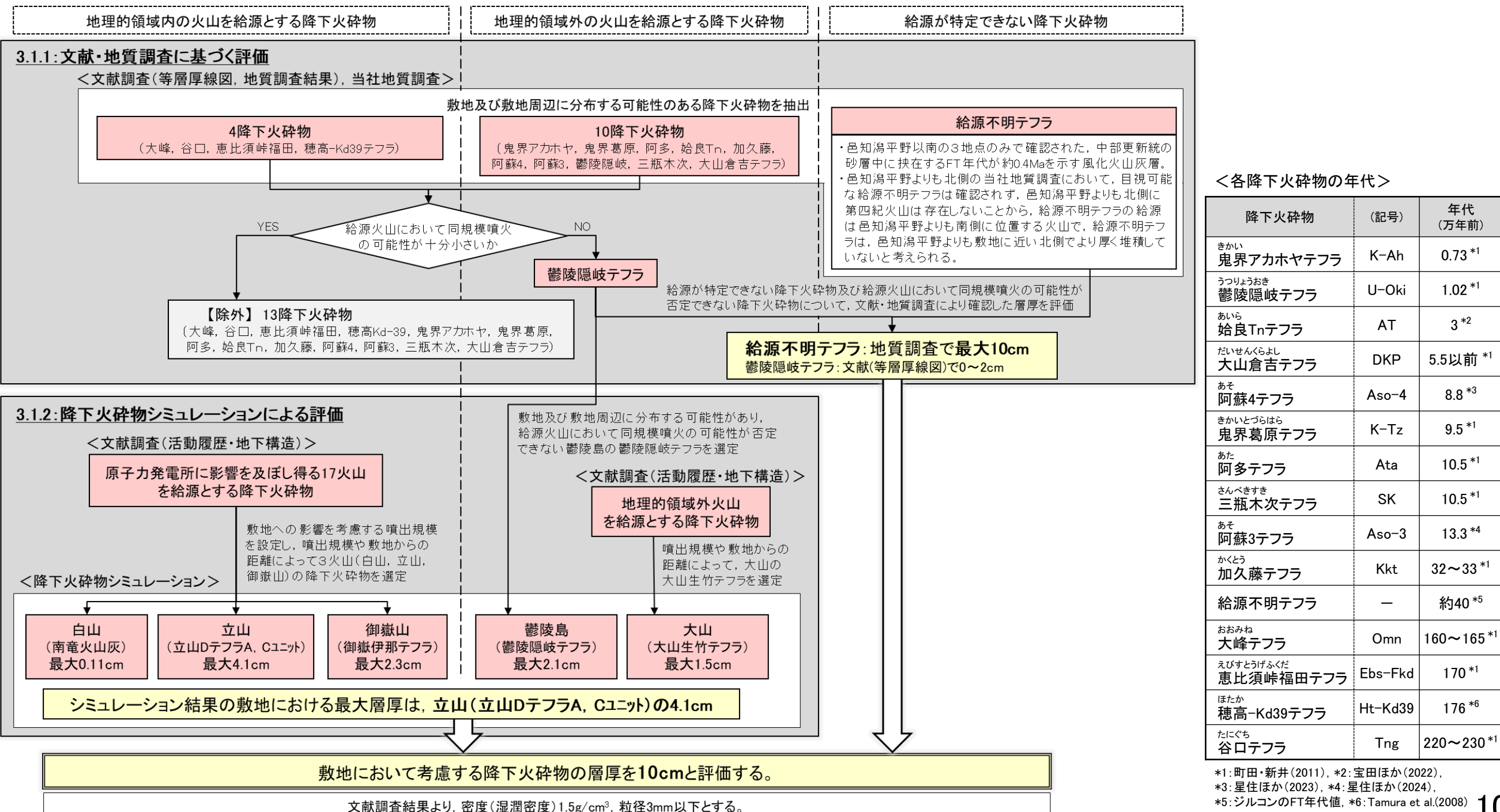
○敷地において考慮する降下火碎物の層厚について、文献・地質調査及び降下火碎物シミュレーション結果を踏まえ、10cmと評価した。

【文献・地質調査による評価】

- ・降下火碎物に関する文献調査及び地質調査結果から抽出した敷地及び敷地周辺に分布する可能性のある15の降下火碎物のうち、給源が特定できない降下火碎物及び給源火山において同規模噴火の可能性が否定できない降下火碎物の敷地及び敷地周辺における最大層厚は、給源不明テフラの10cmである。

【降下火碎物シミュレーションによる評価】

- ・白山の南竜火山灰、立山の立山DテフラA、Cユニット、御嶽山の御嶽伊那テフラ、鬱陵島の鬱陵隠岐テフラ及び大山の大山生竹テフラを対象として、降下火碎物シミュレーションを実施した結果、敷地における層厚は、最大で立山（立山DテフラA、Cユニット）の4.1cmとなった。



IV. 設置変更許可申請時以降の追加検討内容

○設置変更許可申請時(H26.8.12)以降、追加検討を実施した。申請時の評価からの主な変更内容は以下のとおり(変更内容の詳細は巻末資料)。

【1章：原子力発電所に影響を及ぼし得る火山の抽出】

■設置変更許可申請時以降の主な追加検討内容

- ・評価に用いる「日本の火山」について、申請時は第3版(中野ほか編, 2013)を参照していたが、申請時以降の知見を反映したWeb版(地質調査総合センター編, 2023)を参照した。
- ・各火山の活動年代の評価について、申請時の評価に用いた文献(「日本の火山」及び西来ほか編(2012))に加え、申請時以降の各種データベースや各火山に関する個別文献情報を踏まえて評価を更新した。

■追加検討を踏まえた評価結果

- ・新たな知見や各火山に関する個別文献情報を踏まえて、各火山の活動年代の評価を更新した結果、一部の火山の評価が変更となった。

<設置変更許可申請時の評価と今回の評価結果の比較>

紫字：設置変更許可申請時(H26.8.12)からの変更点

評価項目		設置変更許可申請時の評価 (H26.8.12)	今回の評価	変更の詳細
地理的領域内の第四紀火山の抽出	評価に用いる文献	・「日本の火山」第3版(中野ほか編, 2013)	・「日本の火山」Web版(地質調査総合センター編, 2023)	—
	評価結果 地理的領域内の第四紀火山	48火山	49火山 (三峰山を除外、新潟高峰及び鳴岩を追加)	P.216
各火山の活動年代評価	評価に用いる文献	・「日本の火山」第3版(中野ほか編, 2013) ・西来ほか編(2012) 等のデータベース	・「日本の火山」Web版(地質調査総合センター編, 2023) ・西来ほか編(2012) 等のデータベース ・各火山に関する個別文献 等	P.218
	評価結果 A.完新世に活動を行った火山	7火山 (白山, 立山(弥陀ヶ原), 燃岳, 乗鞍岳, 御嶽山, 新潟焼山, 妙高山)	9火山 (白山, 立山(弥陀ヶ原), 鶩羽・雲ノ平, 燃岳, 乗鞍岳, 御嶽山, 新潟焼山, 妙高山, 白馬大池)	
	B.将来の活動可能性が否定できない火山	9火山 (経ヶ岳, 上野火山群, 上廊下, 鶩羽・雲ノ平, 地蔵峠火山群, 白馬大池, 黒姫山, 飯繩山, 環諏訪湖)	8火山 (経ヶ岳, 上野火山群, 上廊下, 新潟金山, 黒姫山, 飯繩山, 黒岩山, 高社山)	P.219～221
	原子力発電所に影響を及ぼし得る火山 (A+B)	16火山	17火山 (3火山(新潟金山, 黒岩山, 高社山)を追加, 2火山(地蔵峠火山群, 環諏訪湖)を除外)	

【2章：火山活動に関する個別評価】

<設置変更許可申請時の評価と今回の評価結果の比較>

評価項目	設置変更許可申請時の評価 (H26.8.12)	今回の評価	変更の詳細
設計対応不可能な火山事象 (火碎物密度流等)	発電所に影響を及ぼす可能性は十分小さい	発電所に影響を及ぼす可能性は十分小さい	(変更なし)
モニタリング	モニタリング不要	モニタリング不要	(変更なし)

【3章：火山事象の影響評価】

■設置変更許可申請時以降の主な追加検討内容(降下火碎物の層厚評価)

- ・申請時以降の文献及び地質調査結果も含めて、降下火碎物に関する文献・地質調査を網羅的に行い、敷地及び敷地周辺に分布する可能性のある降下火碎物を抽出した。
- ・敷地及び敷地周辺に分布する可能性のある降下火碎物の全ての給源火山において、同規模噴火の可能性を検討した。
- ・敷地への影響が比較的大きいと考えられる5火山を対象に、降下火碎物シミュレーションによる評価を実施した。

■追加検討を踏まえた評価結果(降下火碎物の層厚評価)

- ・始良Tnテフラの給源である始良カルデラ等において、同規模噴火の可能性が十分小さいと評価した。
- ・さらに、降下火碎物シミュレーションの結果、敷地における層厚は、最大で立山(立山DテフラA,Cユニット)の4.1cmとなった。

始良Tnテフラは層厚の評価に用いず、地質調査で確認した給源不明テフラの最大層厚10cm及び降下火碎物シミュレーションによる敷地の最大層厚4.1cmを踏まえ、敷地における降下火碎物の層厚を10cmと評価する。(層厚評価は申請時の評価に変更はない)

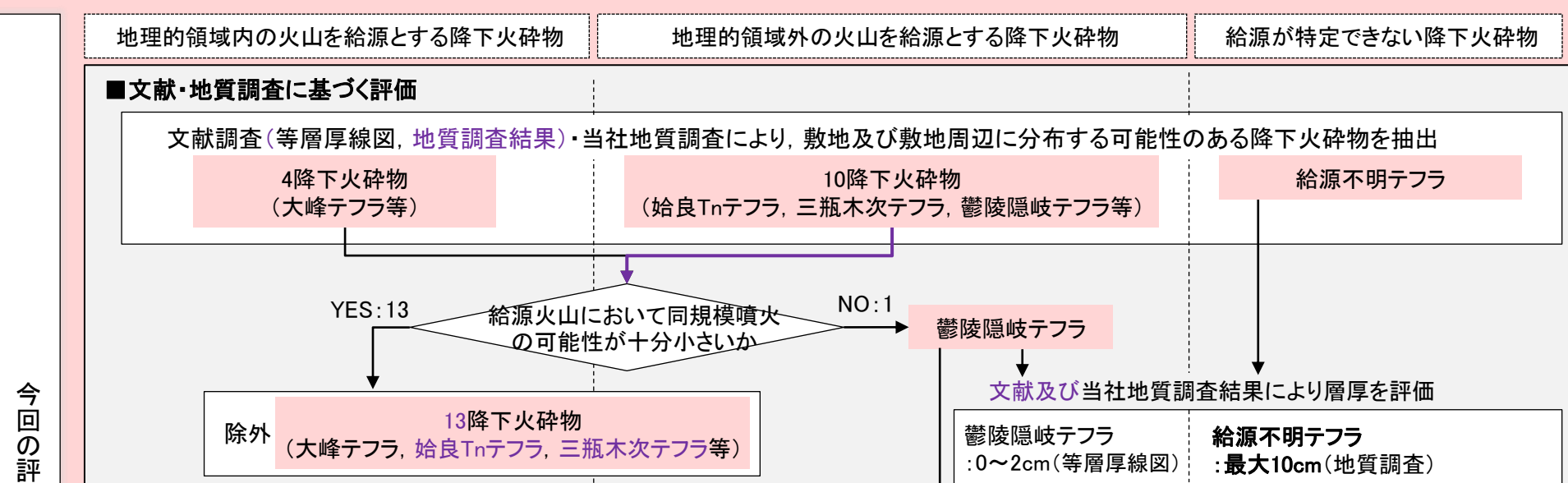
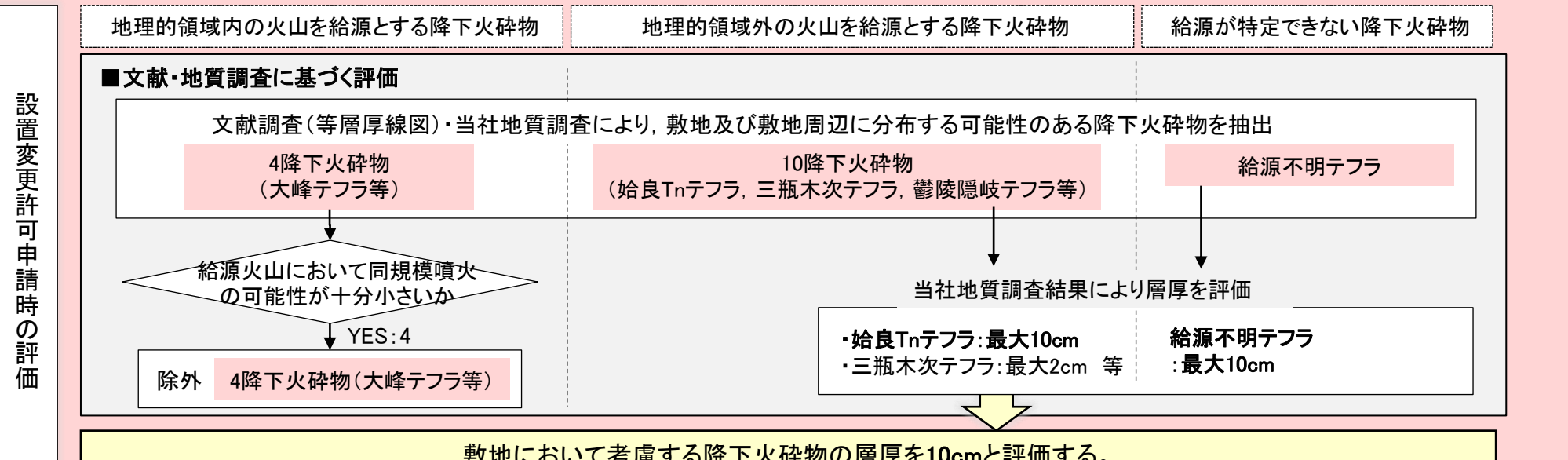
<設置変更許可申請時の評価と今回の評価結果の比較>

紫字：設置変更許可申請時(H26.8.12)からの変更点

評価項目				設置変更許可申請時の評価 (H26.8.12)	今回の評価	変更の詳細		
降下 火碎物	文献・地質 調査結果 (概要)	文献調査 (等層厚線図)	【等層厚線図で示された層厚は参考】 ・始良Tnテフラ:10~20cm(町田・新井, 2003) ・大峰テフラ:0cm以上(町田・新井, 2003) ・鬱陵隠岐テフラ:0~2cm(町田・新井, 2003) 等	【等層厚線図で示された層厚を層厚評価に用いる】 ・始良Tnテフラ:16~32cm(宝田ほか, 2022) ・大峰テフラ:0cm以上(町田・新井, 2011) ・鬱陵隠岐テフラ:0~2cm(町田・新井, 2011) 等	P.222			
		文献調査 (地質調査結果)	(実施せず)	・始良Tnテフラ:最大15cm(産業技術総合研究所, 2011) ・三瓶木次テフラ:最大3cm(杉戸ほか, 2004) 等	P.223			
		当社地質調査 (共同研究含む)	・始良Tnテフラ:最大10cm ・給源不明テフラ:最大10cm ・三瓶木次テフラ:最大2cm 等	・始良Tnテフラ:最大10cm ・給源不明テフラ:最大10cm ・三瓶木次テフラ:最大4cm(申請時以降の調査) 等	P.224			
		給源火山 における 同規模噴 火可能 性	地理的領域内 の火山	大峰テフラの給源である爺ヶ岳等では、 同規模噴火の可能性が十分小さい。	大峰テフラの給源である爺ヶ岳等では、 同規模噴火の可能性が十分小さい。	P.225		
		地理的領域外 の火山	(実施せず)	始良Tnテフラの給源である始良カルデラ等では、 同規模噴火の可能性が十分小さい。	始良Tnテフラの給源である始良カルデラ等では、 同規模噴火の可能性が十分小さい。	P.225		
	評価結果	最大で10cm (始良Tnテフラ※)		最大で10cm (給源不明テフラ)	—			
	降下火碎物シミュレーションによる評価			(実施せず)	5火山を対象に実施した結果、敷地の層厚は、最大で 立山(立山DテフラA,Cユニット)の4.1cmとなった。	P.226		
	敷地における降下火碎物の層厚評価			【根拠:当社地質調査結果】 10cm	【根拠:文献・地質調査及び降下火碎物シミュレーション】 10cm	—		
降下火碎物以外の設計対応可能な火山事象			原子力発電所への影響を考慮する必要はない	原子力発電所への影響を考慮する必要はない	変更なし			

※給源不明テフラは、敷地周辺(半径約30kmの範囲)において3地点で確認し、敷地周辺の多くの地点で確認した始良Tnテフラ
の最大層厚10cmを上回らないことから、設置変更許可申請書には層厚の根拠として始良Tnテフラのみを記載。

<(参考)降下火碎物の層厚に関する設置変更許可申請時の評価と今回の評価の比較(評価フロー)>



紫線・紫字:
設置変更許可申請時
(H26. 8. 12)からの変更点

敷地において考慮する降下火碎物の層厚を10cmと評価する。

余白

1. 原子力発電所に影響を及ぼし得る火山の抽出

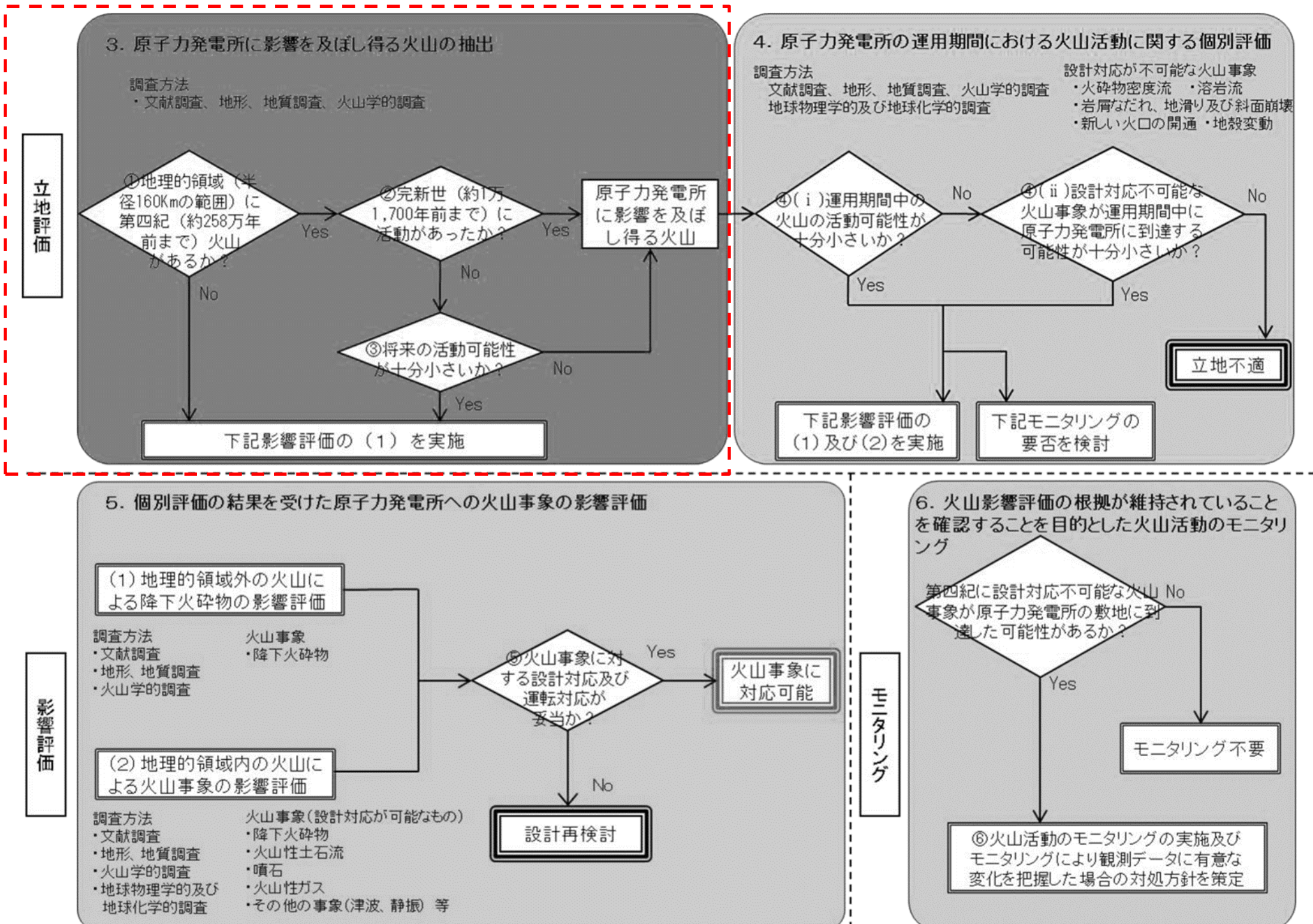
1.1 地理的領域内の第四紀火山

1.2 原子力発電所に影響を及ぼし得る火山の抽出

1. 原子力発電所に影響を及ぼし得る火山の抽出

○本章では、地理的領域内に分布する第四紀火山のうち、原子力発電所に影響を及ぼし得る火山の抽出を行った。

本章で説明する内容



「原子力発電所の火山影響評価ガイド」に一部加筆

1. 原子力発電所に影響を及ぼし得る火山の抽出 －評価方法－

- 原子力発電所に影響を及ぼし得る火山の抽出にあたっては、地理的領域内(半径160kmの範囲)の第四紀火山を抽出した上で、各火山の階段ダイヤグラムを作成して活動年代を評価し、完新世に活動を行った火山と将来の活動可能性が否定できない火山を合わせて原子力発電所に影響を及ぼし得る火山として抽出する。
- 地理的領域内の第四紀火山の抽出には、「日本の火山」のWeb版(地質調査総合センター編、2023)を用いる。各火山の活動年代の評価には、「日本の火山」等の火山の活動年代が体系的に一覧で整理されている文献に加え、各火山に関する個別文献の情報も用いて、評価を実施する(右下表)。

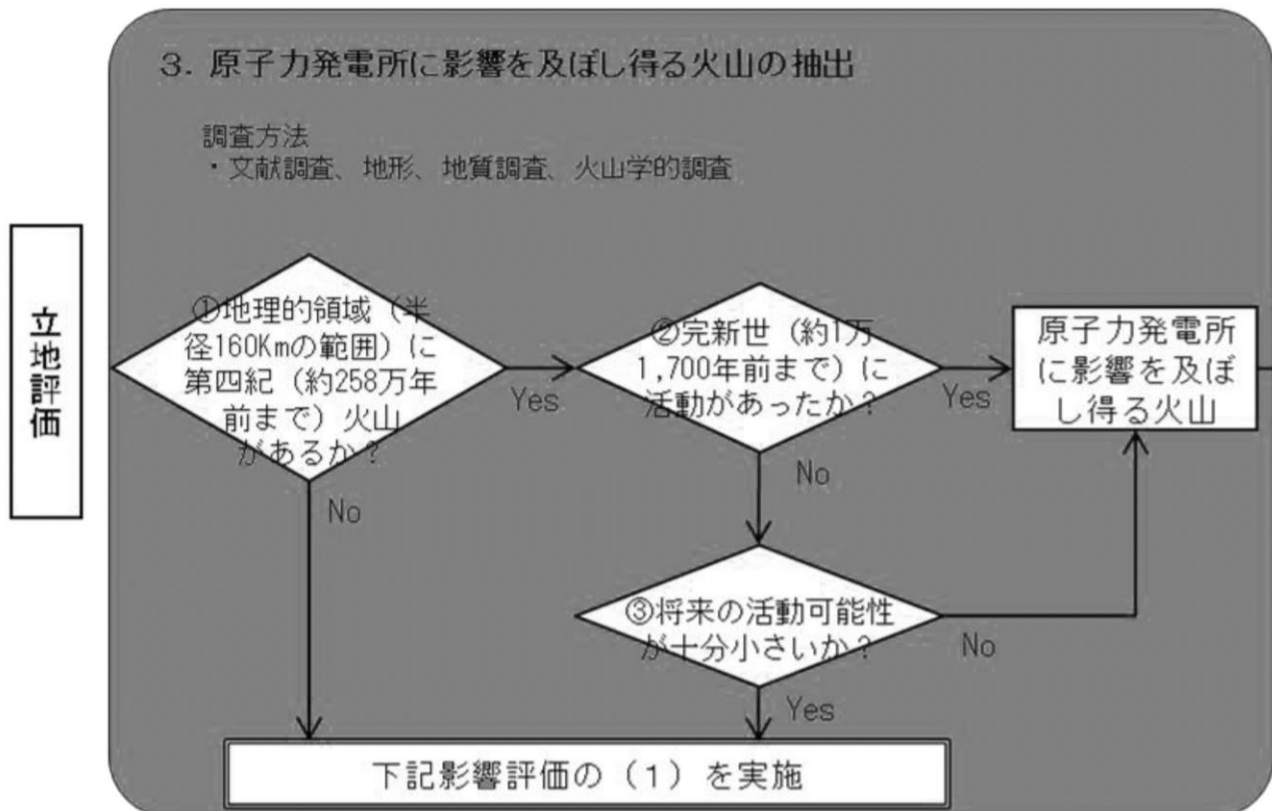


表2 火山影響評価に関する確認事項について

番号	確認事項
①	・原子力発電所の地理的領域内における第四紀火山の有無。
②	・完新世における活動の有無。
③	・検討対象火山の過去の活動を示す階段ダイヤグラムにおいて、 <u>火山活動が終息する傾向が顕著であり、最後の活動終了からの期間が、過去の最大休止期間より長い等、将来の活動可能性が十分に小さいと判断できる場合は、火山活動に関する個別評価の対象外とする。</u>

「原子力発電所の火山影響評価ガイド」に一部加筆

<地理的領域内の第四紀火山の抽出に用いる文献>

日本の火山に関する主要なデータベース

- ・日本の火山 Web版: 地質調査総合センター編(2023)

<各火山の活動年代の評価に用いる文献>

火山の活動年代が体系的に一覧で整理されている文献

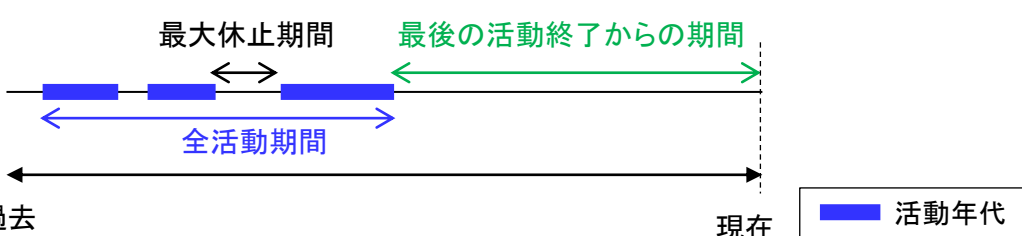
- ・日本の火山 Web版: 地質調査総合センター編(2023)
- ・日本の第四紀火山カタログ: 第四紀火山カタログ委員会編(1999)
- ・第四紀火山岩体・貫入岩体データベース: 西来ほか編(2012)
- ・日本活火山総覧(第4版): 気象庁編(2013)
- ・第四紀噴火・貫入活動データベース: 西来ほか編(2014)
- ・20万分の1日本火山図: 地質調査総合センター編(2021a)
- ・1万年噴火イベントデータ集: 地質調査総合センター編(2021b)

各火山に関する個別文献

- ・清水ほか(1988): 両白-飛騨地域に分布する鮮新-更新世火山岩のK-Ar年代
- ・田中・田村(2001): 両白山地、経ヶ岳火山の岩石学
- ・棚瀬ほか(2007): K-Ar年代測定に基づく両白山地の鮮新-更新世火山活動の時空分布等の各火山に関する文献

<将来の活動可能性について>

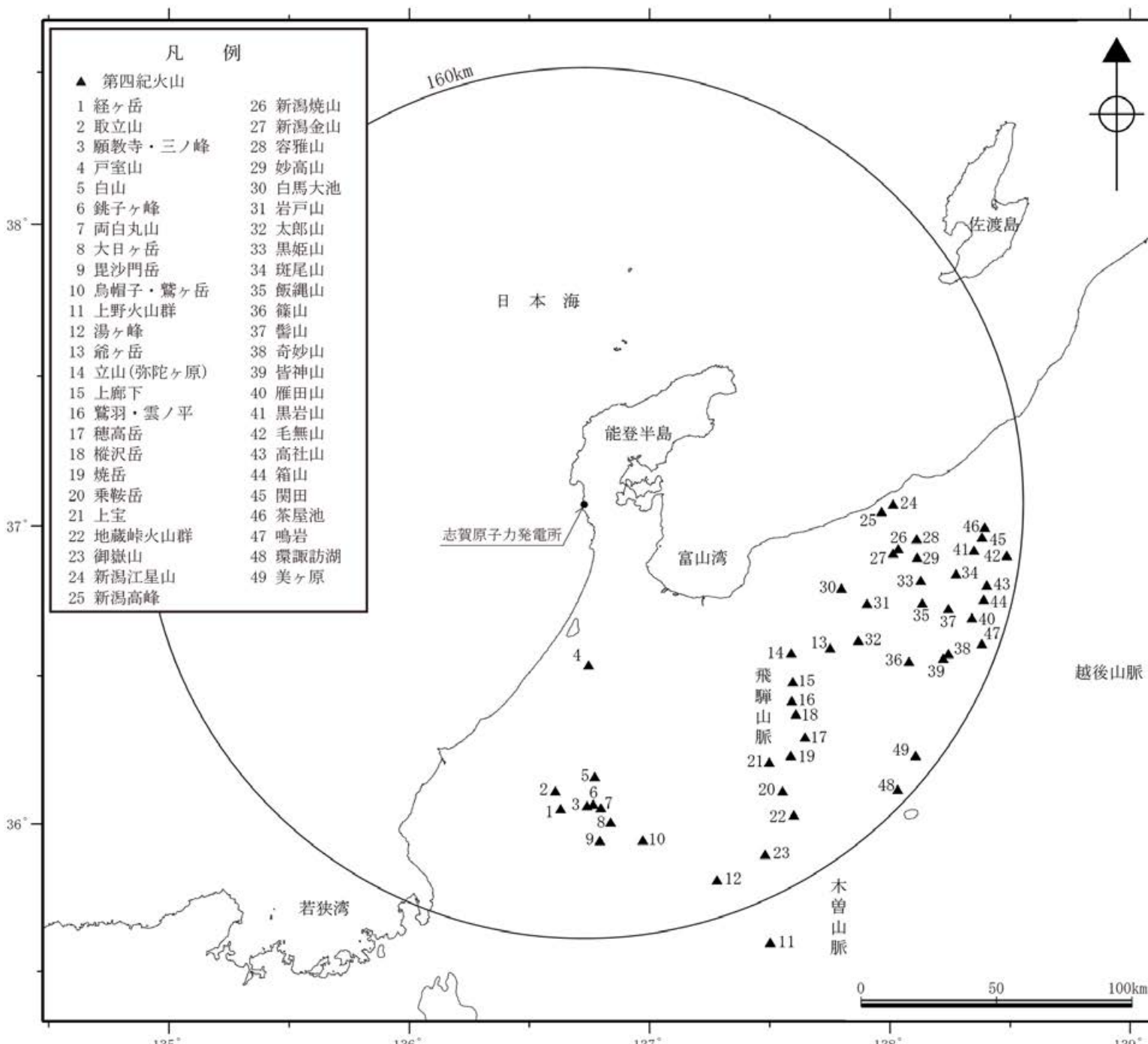
- ・最後の活動終了からの期間が過去の最大休止期間より長い火山については、将来の活動可能性が十分に小さいと評価する。
- ・また、最大休止期間は全活動期間を超えることがないことから、最後の活動終了からの期間が、全活動期間より長い火山についても、将来の活動可能性が十分に小さいと評価する。



1.1 地理的領域内の第四紀火山 －第四紀火山の位置－

○「日本の火山」のWeb版(地質調査総合センター編, 2023)に基づき、地理的領域内(敷地を中心とする半径160kmの範囲)に分布する49の第四紀火山を抽出した。

火山名	敷地からの距離(km)	火山名	敷地からの距離(km)
1 経ヶ岳	113	26 新潟焼山	118
2 取立山	106	27 新潟金山	116
3 願教寺・三ノ峰	111	28 容雅山	124
4 戸室山	59	29 妙高山	125
5 白山	101	30 白馬大池	100
6 銚子ヶ峰	111	31 岩戸山	111
7 両白丸山	112	32 太郎山	113
8 大日ヶ岳	118	33 黒姫山	128
9 昆沙門岳	125	34 斑尾山	140
10 烏帽子・鷲ヶ岳	126	35 飯縄山	130
11 上野火山群	177※	36 篠山	134
12 湯ヶ峰	148	37 髙山	140
13 爺ヶ岳	105	38 奇妙山	146
14 立山(弥陀ヶ原)	94	39 皆神山	145
15 上廊下	101	40 雁田山	150
16 鶴羽・雲ノ平	106	41 黒岩山	145
17 穂高岳	119	42 毛無山	158
18 横沢岳	110	43 高社山	152
19 燃岳	120	44 箱山	152
20 乗鞍岳	129	45 関田	148
21 上宝	118	46 茶屋池	149
22 地蔵峠火山群	139	47 鳴岩	155
23 御嶽山	146	48 環諏訪湖	157
24 新潟江星山	114	49 美ヶ原	154
25 新潟高峰	111		

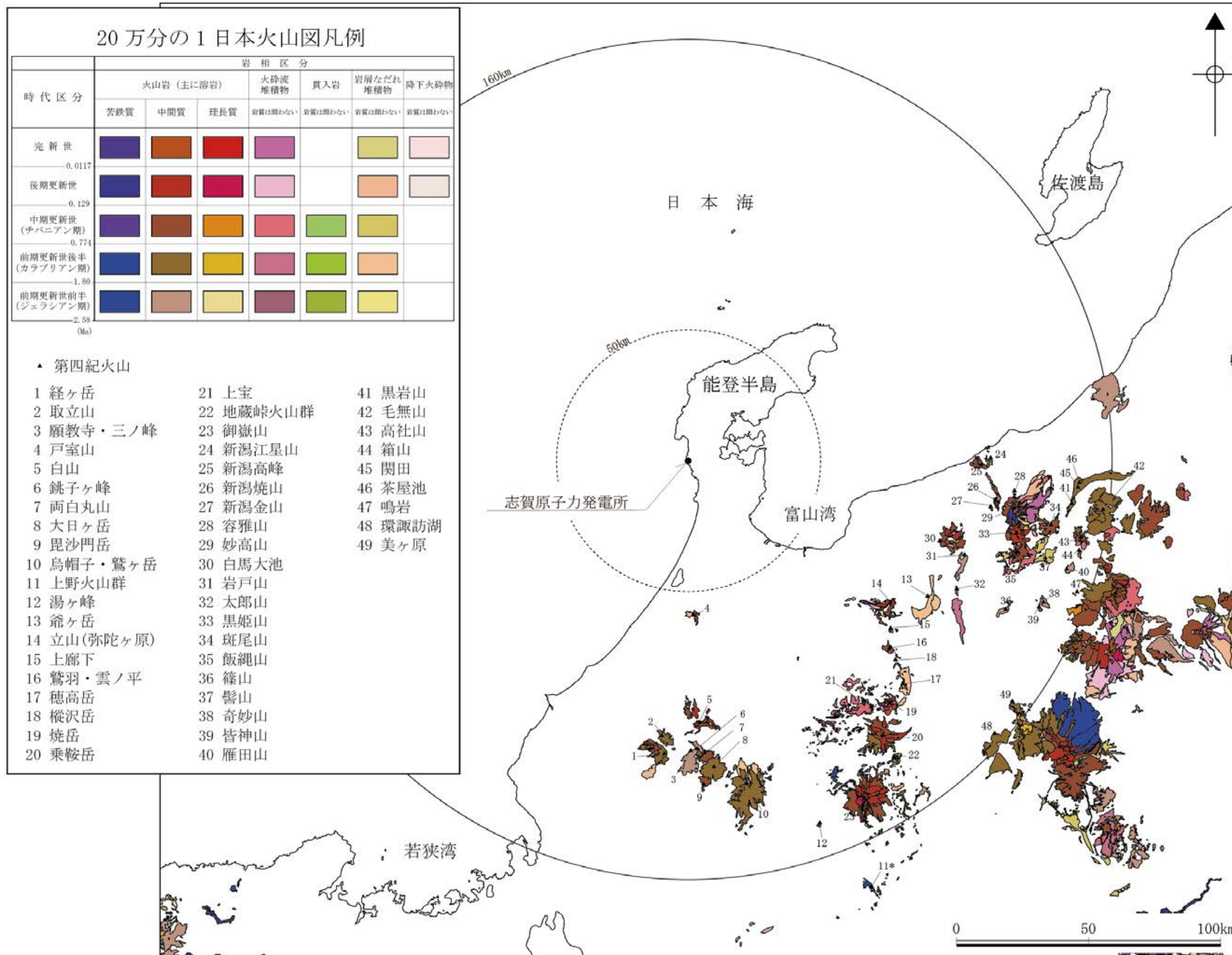


地理的領域内の第四紀火山の位置
(地質調査総合センター編(2023)に基づき作成)

※単成火山群の分布域が160km圏内に位置することから、
地理的領域内の第四紀火山に含めた。

1.1 地理的領域内の第四紀火山 —火山地質図—

○20万分の1日本火山図(地質調査総合センター編, 2021a)によると、敷地を中心とする半径50kmの範囲に火山噴出物の分布は示されていない。

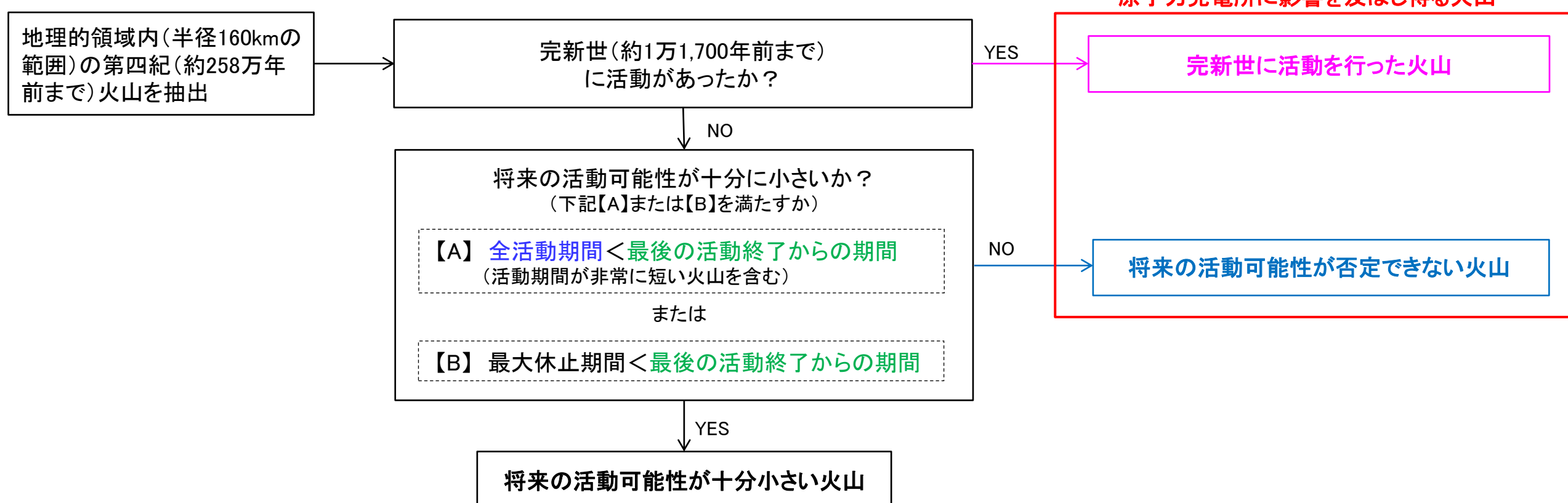


火山地質図
(地質調査総合センター編(2021a, 2023)に基づき作成)

1.2 原子力発電所に影響を及ぼし得る火山の抽出 – 抽出フロー –

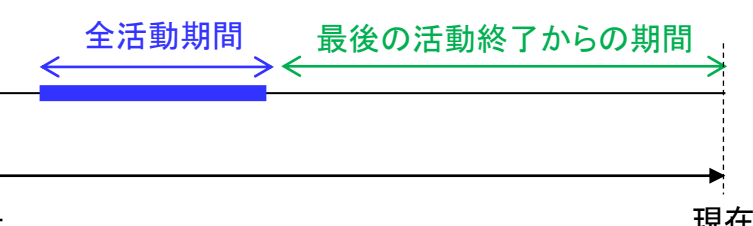
- 地理的領域内の第四紀火山について、地質調査総合センター編(2023)等の文献情報により各火山の階段ダイヤグラムを作成し、活動年代を評価した。活動年代について、文献間で年代が異なる場合には、活動年代が長くなるように評価を行った。
- 原子力発電所に影響を及ぼし得る火山の抽出にあたっては、以下のフローのとおり、「完新世に活動を行った火山」及び「将来の活動可能性が否定できない火山」を合わせて原子力発電所に影響を及ぼし得る火山として抽出する。
- 「A:最後の活動終了からの期間が全活動期間より長い火山(活動期間が非常に短い火山を含む)」または「B:全活動期間中に休止期間があり、最後の活動終了からの期間が過去の最大休止期間より長い火山」については、将来の活動可能性が十分小さい火山と評価する。

＜原子力発電所に影響を及ぼし得る火山の抽出フロー＞

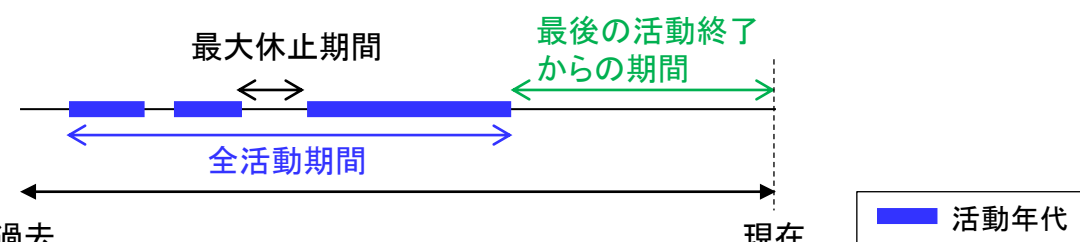


＜将来の活動可能性が十分小さい火山のイメージ＞

【A】最後の活動終了からの期間が全活動期間より長い火山
(活動期間が非常に短い火山を含む)



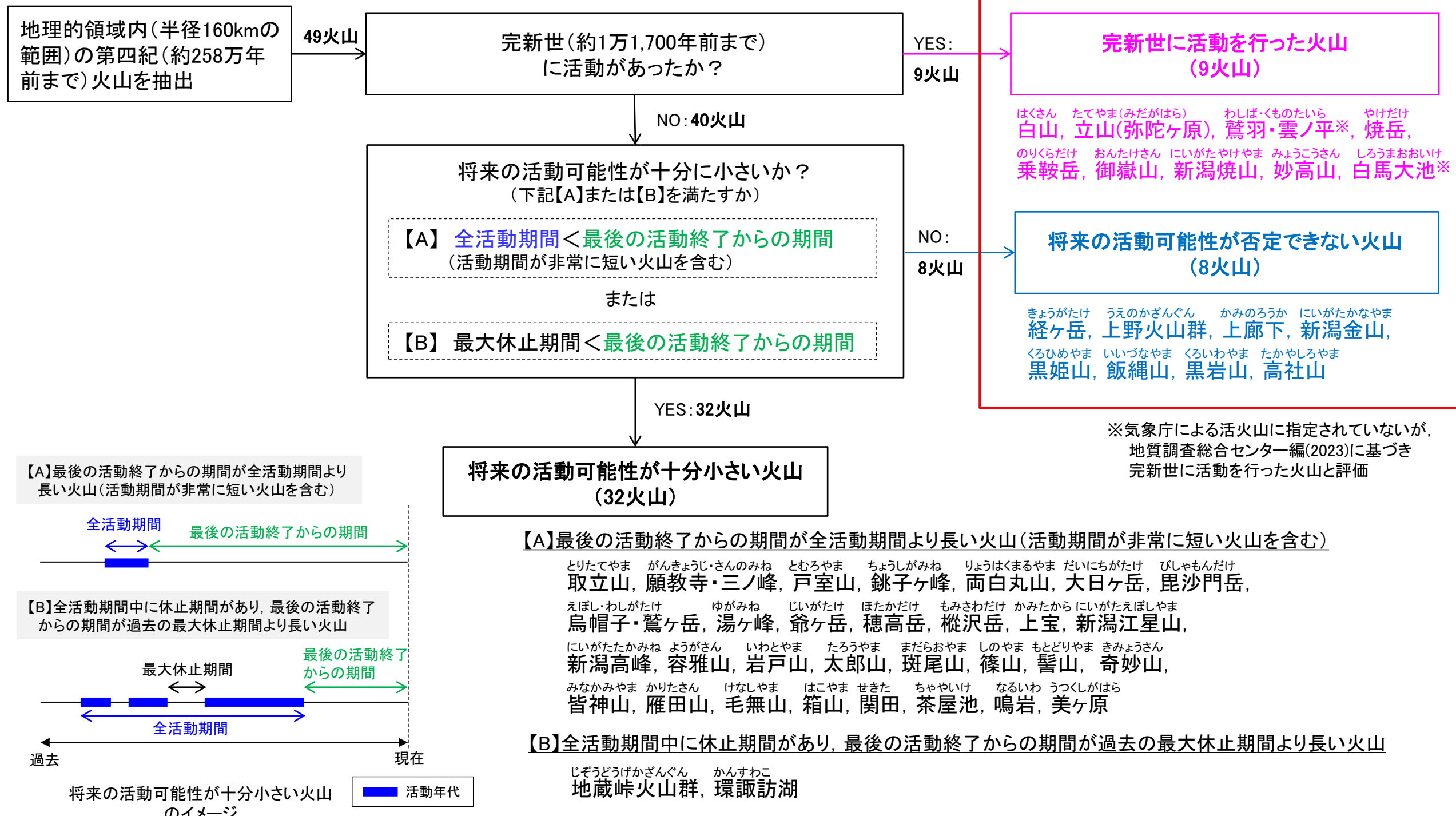
【B】全活動期間中に休止期間があり、最後の活動終了からの期間が過去の最大休止期間より長い火山



1.2 原子力発電所に影響を及ぼし得る火山の抽出 – 抽出結果 –

○地理的領域内の第四紀火山について、階段ダイヤグラムを作成し、完新世の活動の有無及び将来の活動可能性を検討した結果、原子力発電所に影響を及ぼし得る火山として17火山を抽出した。(抽出の根拠とした各火山の活動年代に基づく評価結果を次頁及び次々頁、位置図をP.24に示す。)

＜原子力発電所に影響を及ぼし得る火山の抽出結果＞



各火山の活動履歴の詳細(階段ダイヤグラム等)は、[補足資料1](#)

【活動年代に基づく評価結果(1/2)】

各火山の活動履歴の詳細(階段ダイヤグラム等)は、[補足資料1](#)
※鷲羽・雲ノ平を除き、気象庁編(2013)による活火山に相当。

火山名	敷地から の距離 (km)	活動年代 (千年前)	全活動期間 (千年間)	最大休止期間 (千年間)	最後の活動 終了から の期間 (千年間)	完新世に 活動を行った火山*	完新世に活動を行っていない火山	
							将来の活動可能性が 否定できない火山	
							将来の活動可能性が 十分小さい火山	
1 経ヶ岳 (きょうがたけ)	113	1400 ~ 700	700	—	700		○	
2 取立山 (とりたてやま)	106	1380 ~ 760	620	—	760			○【A】
3 願教寺・三ノ峰 (がんきょうじ・さんのみね)	111	3200 ~ 2430	770	—	2430			○【A】
4 戸室山 (とむろやま)	59	420 ~ 300	120	—	300			○【A】
5 白山 (はくさん)	101	430 ~ (最新噴火AD1659)	430	—	完新世活動	○		
6 銚子ヶ峰 (ちょうしがみね)	111	1500 ~ 1340	160	—	1340			○【A】
7 両白丸山 (りょうはくまるやま)	112	400 ~ 300	100	—	300			○【A】
8 大日ヶ岳 (だいにちがたけ)	118	1100 ~ 900	200	—	900			○【A】
9 麻沙門岳 (びしゃもんだけ)	125	400 ~ 250	150	—	250			○【A】
10 烏帽子・鷲ヶ岳 (えぼし・わしがたけ)	126	1600 ~ 1050	550	—	1050			○【A】
11 上野火山群 (うえのかざんぐん)	177	2800 ~ 900	1900	—	900		○	
12 湯ヶ峰 (ゆがみね)	148	120 ~ 100	20	—	100			○【A】
13 爺ヶ岳 (じいがたけ)	105	2300 ~ 1200	1100	—	1200			○【A】
14 立山(弥陀ヶ原) (たてやま みだがはら)	94	220 ~ (最新噴火AD1949)	220	—	完新世活動	○		
15 上廊下 (かみのろうか)	101	400 ~ 190	210	—	190		○	
16 鷲羽・雲ノ平 (わしば・くものたいら)	106	1000~900, 310~(最新噴火1950年前)	1000	590	完新世活動	○		
17 穂高岳 (ほたかだけ)	119	1760 ~ 1700	60	—	1700			○【A】
18 横沢岳 (もみさわだけ)	110	450 ~ 290	160	—	290			○【A】
19 燃岳 (やけだけ)	120	122~69, 27~(最新噴火AD1963)	122	42	完新世活動	○		
20 乗鞍岳 (のりくらだけ)	129	1300~860, 320~(最新噴火500年前)	1300	540	完新世活動	○		
21 上宝 (かみたから)	118	750 ~ 550	200	—	550			○【A】
22 地蔵峠火山群 (じぞうとうげかざんぐん)	139	3500~3400, 2600~2500, 2000~1600	1900	800	1600			○【B】
23 御嶽山 (おんたけさん)	146	780~390, 105~(最新噴火AD2014)	780	285	完新世活動	○		
24 新潟江星山 (にいがたえぼしやま)	114	1650 ~ 920	730	—	920			○【A】
25 新潟高峰 (にいがたたかみね)	111	1030 ~ 650	380	—	650			○【A】

【活動年代に基づく評価結果(2/2)】

各火山の活動履歴の詳細(階段ダイヤグラム等)は、[補足資料1](#)
※白馬大池を除き、気象庁編(2013)による活火山に相当。

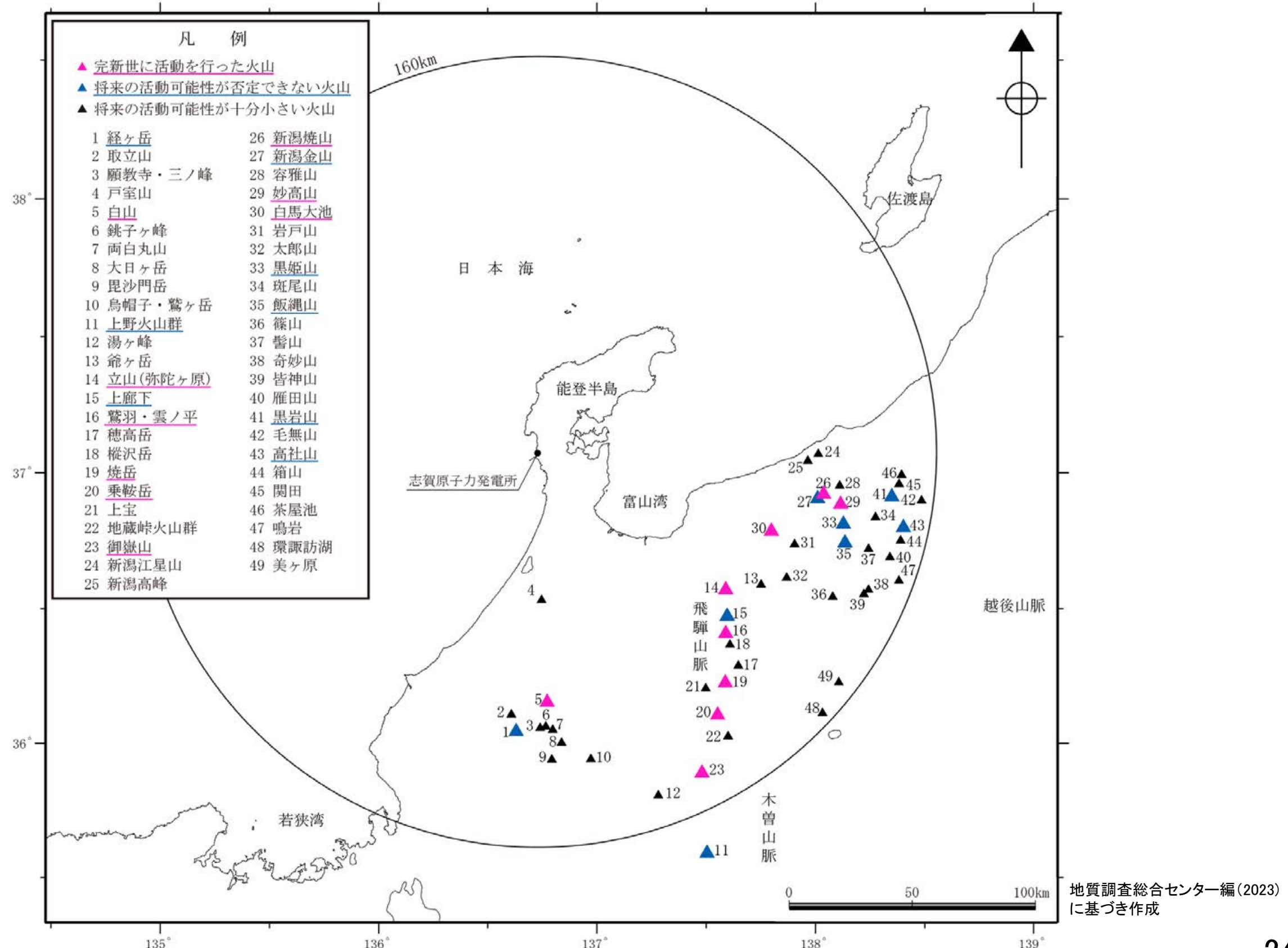
火山名	敷地から の距離 (km)	活動年代 (千年前)	全活動期間 (千年間)	最大休止期間 (千年間)	最後の活動 終了から の期間 (千年間)	完新世に 活動を行った火山*	完新世に活動を行っていない火山	将来の活動可能性が 十分小さい火山
							将来の活動可能性が 否定できない火山	
						原子力発電所に影響を及ぼし得る火山		
26 新潟焼山 (にいがたやけやま)	118	5 ~ (最新噴火AD2016)	5	—	完新世活動	○		
27 新潟金山 (にいがたかなやま)	116	780 ~ 130	650	—	130		○	
28 容雅山 (ようがさん)	124	490 ~ 380	110	—	380			○【A】
29 妙高山 (みょうこうさん)	125	330~260, 150~60, 43~(最新噴火1300年前)	330	110	完新世活動	○		
30 白馬大池 (しろうまおおいけ)	100	800~500, 200~(最新噴火4000年前)	800	300	完新世活動	○		
31 岩戸山 (いわとやま)	111	2400 ~ 1700	700	—	1700			○【A】
32 太郎山 (たろうやま)	113	2200 ~ 2000	200	—	2000			○【A】
33 黒姫山 (くろひめやま)	128	260~250, 150~70, 55~43	217	100	43		○	
34 斑尾山 (まだらおやま)	140	700 ~ 490	210	—	490			○【A】
35 飯縄山 (いいづなやま)	130	340, 260~140, 60	280	80	60		○	
36 篠山 (しのやま)	134	2580 ~ 1810	770	—	1810			○【A】
37 髙山 (もとどりやま)	140	220 ~ 180	40	—	180			○【A】
38 奇妙山 (きみょうさん)	146	2900 ~ 2400	500	—	2400			○【A】
39 皆神山 (みなかみやま)	145	350 ~ 290	60	—	290			○【A】
40 雁田山 (かりたさん)	150	2800 ~ 2340	460	—	2340			○【A】
41 黒岩山 (くろいわやま)	145	1780 ~ 130	1650	—	130		○	
42 毛無山 (けなしやま)	158	1700 ~ 920	780	—	920			○【A】
43 高社山 (たかやしろやま)	152	780 ~ 190	590	—	190		○	
44 箱山 (はこやま)	152	2100	—	—	2100			○【A】
45 関田 (せきた)	148	1700 ~ 1100	600	—	1100			○【A】
46 茶屋池 (ちゃやいけ)	149	800	—	—	800			○【A】
47 鳴岩 (なるいわ)	155	300 ~ 280	20	—	280			○【A】
48 環諏訪湖 (かんすわこ)	157	2400~1800, 1600~1000	1400	200	1000			○【B】
49 美ヶ原 (うつくしがはら)	154	2200 ~ 1200	1000	—	1200			○【A】

「日本の火山」Web版(地質調査総合センター編、2023)等に基づき作成。

【A】:最後の活動終了からの期間が全活動期間より長い火山

【B】:最後の活動終了からの期間が過去の最大休止期間より長い火山

【原子力発電所に影響を及ぼし得る火山の位置】

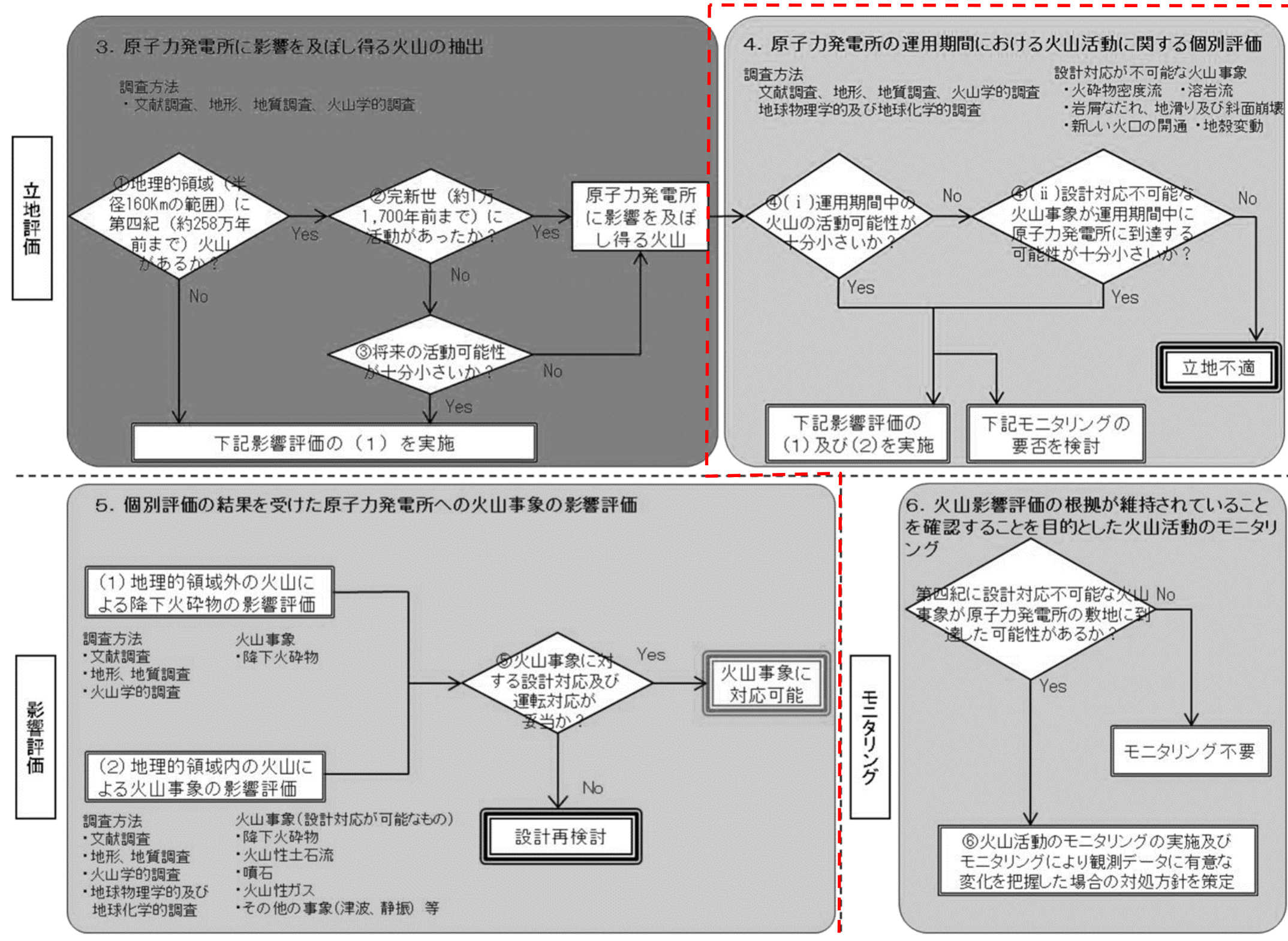


2. 火山活動に関する個別評価

- 2.1 火碎物密度流に関する評価
- 2.2 新しい火口の開口及び地殻変動に関する評価
- 2.3 設計対応不可能な火山事象の個別評価まとめ

2. 火山活動に関する個別評価

○本章では、原子力発電所に影響を及ぼし得る火山について、火山活動に関する個別評価を行った。



「原子力発電所の火山影響評価ガイド」に一部加筆

2. 火山活動に関する個別評価 – 評価方法 –

- 1章で抽出された原子力発電所に影響を及ぼし得る17火山について、原子力発電所の運用期間中における活動可能性が十分小さいとは評価できないことから、設計対応不可能な火山事象が原子力発電所の運用期間中に影響を及ぼす可能性を評価する。
- また、各火山の過去最大規模の噴火による設計対応不可能な火山事象が原子力発電所の敷地に到達した可能性を検討することにより、火山活動のモニタリングの要否についても評価する。

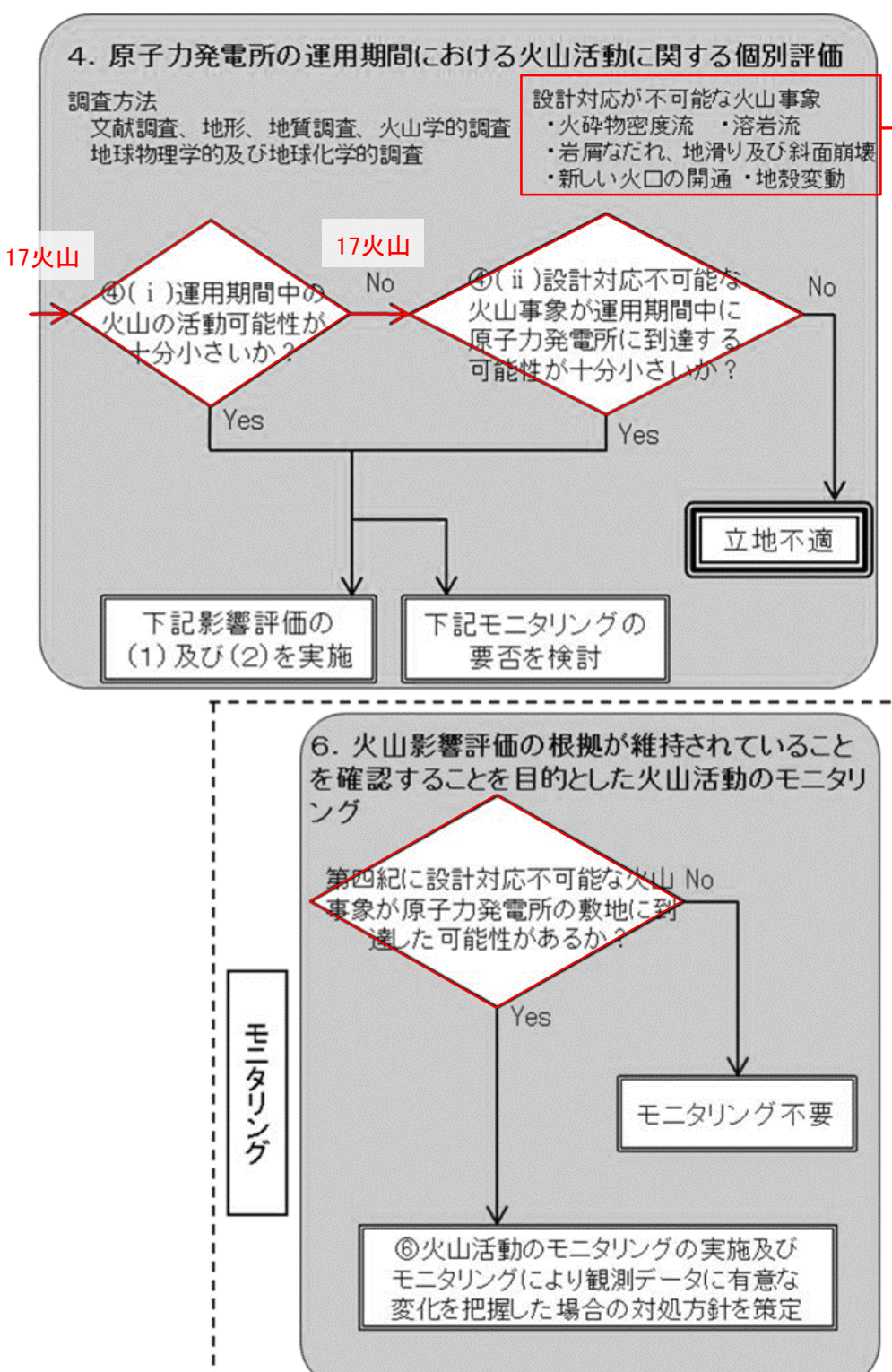


表1 原子力発電所に影響を与える可能性のある火山事象及び位置関係^{注1}

火山事象	潜在的に影響を及ぼす特性	原子力発電所との位置関係
1. 降下火砕物	静的な物理的負荷、気中及び水中の研磨性及び腐食性粒子	注 2
2. 火砕物密度流：火砕流、火砕サージ及びプラスト	動的な物理的負荷、大気の過圧、飛来物の衝撃、300°C超の温度、研磨性粒子、毒性ガス	160km
3. 溶岩流	動的な物理的負荷、洪水及び水のせき止め、700°C超の温度	50km
4. 岩屑なだれ、地滑り及び斜面崩壊	動的な物理的負荷、大気の過圧、飛来物の衝撃、水のせき止め及び洪水	50km
5. 土石流、火山泥流及び洪水	動的な物理的負荷、水のせき止め及び洪水、水中の浮遊粒子	120km
6. 火山から発生する飛来物（噴石）	粒子の衝突、静的な物理的負荷、水中の研磨性粒子	10km
7. 火山ガス	毒性及び腐食性ガス、酸性雨、ガスの充満した湖、水の汚染	160km
8. 新しい火口の開口	動的な物理的負荷、地盤変動、火山性地震	注 3
9. 津波及び静振	水の氾濫	注 4
10. 大気現象	動的過圧、落雷、ダウンバースト風	注 4
11. 地殻変動	地盤変位、沈下又は隆起、傾斜、地滑り	注 4
12. 火山性地震とこれに関連する事象	継続的微動、多重衝撃	注 4
13. 熱水系及び地下水の異常	热水、腐食性の水、水の汚染、氾濫又は湧昇、热水変質、地滑り、カルスト及びサーモカルストの変異、水圧の急変	注 4

(参考資料 : IAEA SSG-21 及び JEAG4625)

注1：噴出中心と原子力発電所との距離が、表中の位置関係に記載の距離より短ければ、火山事象により原子力発電所が影響を受ける可能性があるものとする。

注2：降下火砕物に関しては、原子力発電所の敷地及び敷地付近の調査から求められる単位面積あたりの質量と同等の火山灰等が降下するものとする。

注3：新しい火口の開口については、原子力発電所の運用期間中に、新しい火口の開口の可能性を検討する。

注4：火山活動によるこれらの事象は、原子力発電所との位置関係によらず、個々に検討を行う。

2. 火山活動に関する個別評価 一検討対象の火山事象一

○原子力発電所に影響を及ぼし得る17火山について、検討する必要がある設計対応不可能な火山事象は、左下表のとおり、「火碎物密度流」、「新しい火口の開口」及び「地殻変動」である。残りの「溶岩流」及び「岩屑なだれ、地すべり、斜面崩壊」については、いずれの火山も敷地から50km以遠に位置することから、これらの火山事象が発電所に影響を及ぼす可能性は十分小さいと評価した。

○火碎物密度流については、各火山における敷地からの距離と火碎物密度流の堆積物の分布から想定される最大到達範囲に基づき個別に検討を行う。

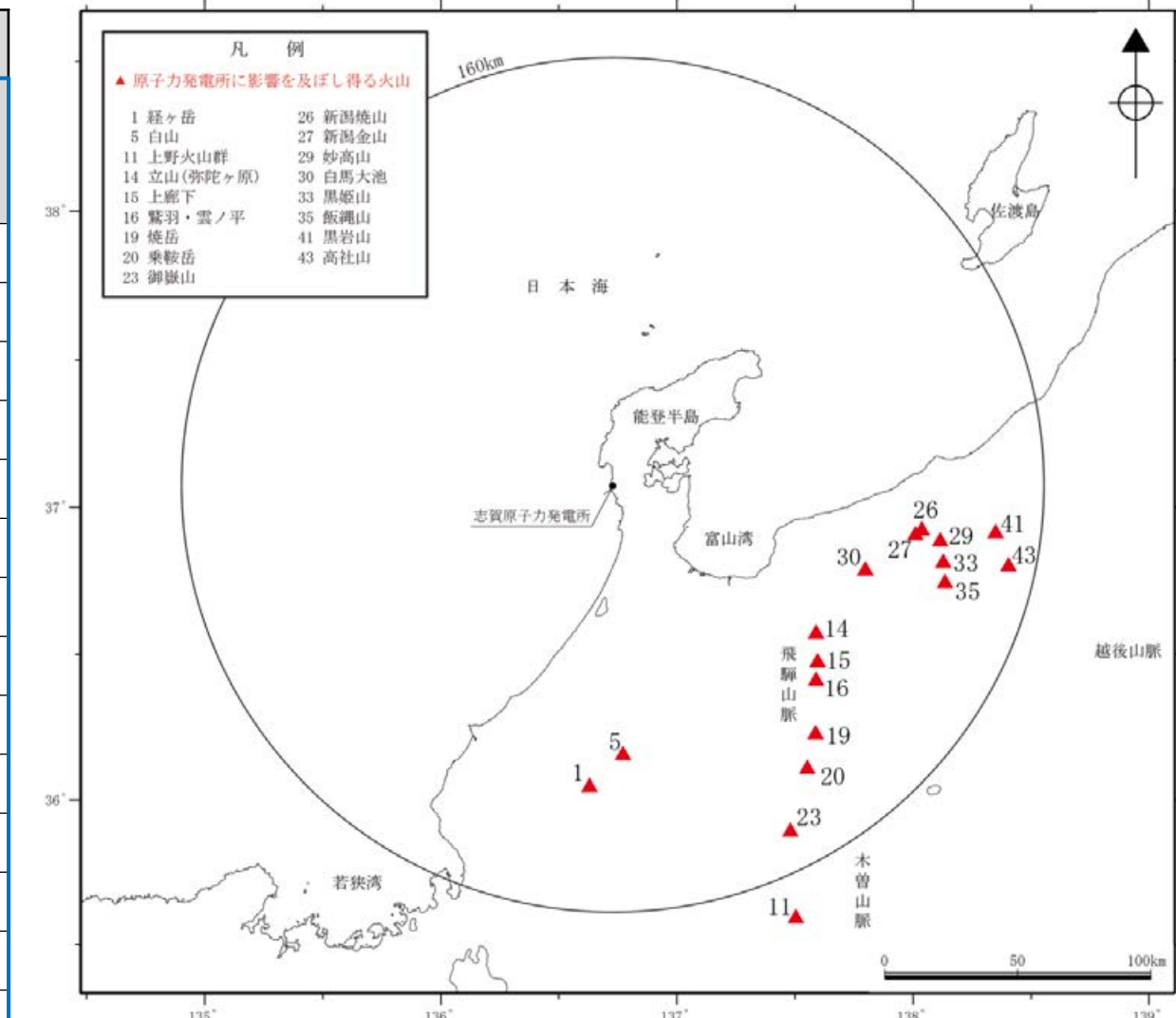
○新しい火口の開口及び地殻変動については、敷地周辺における地下構造(地震波速度構造、地熱活動及び地震活動)の観点から検討を行う。

<原子力発電所に影響を及ぼし得る火山と検討すべき設計対応不可能な火山事象>

火山名	敷地 からの 距離 (km)	設計対応不可能な火山事象				
		火碎物 密度流	溶岩流	岩屑なだれ 地すべり 斜面崩壊	新しい火口 の開口	地殻変動
		0~160km	0~50km	0~50km		
1 経ヶ岳	113	○	—	—	○	○
5 白山	101	○	—	—	○	○
11 上野火山群	177	○*	—	—	○	○
14 立山(弥陀ヶ原)	94	○	—	—	○	○
15 上廊下	101	○	—	—	○	○
16 鶯羽・雲ノ平	106	○	—	—	○	○
19 焼岳	120	○	—	—	○	○
20 乗鞍岳	129	○	—	—	○	○
23 御嶽山	146	○	—	—	○	○
26 新潟焼山	118	○	—	—	○	○
27 新潟金山	116	○	—	—	○	○
29 妙高山	125	○	—	—	○	○
30 白馬大池	100	○	—	—	○	○
33 黒姫山	128	○	—	—	○	○
35 飯縄山	130	○	—	—	○	○
41 黒岩山	145	○	—	—	○	○
43 高社山	152	○	—	—	○	○

各火山における敷地からの距離と火碎物密度流の堆積物の分布から想定される最大到達範囲に基づき個別に検討(2.1節)

敷地周辺における地下構造(地震波速度構造、地熱活動、地震活動)の観点から検討(2.2節)



○:要検討

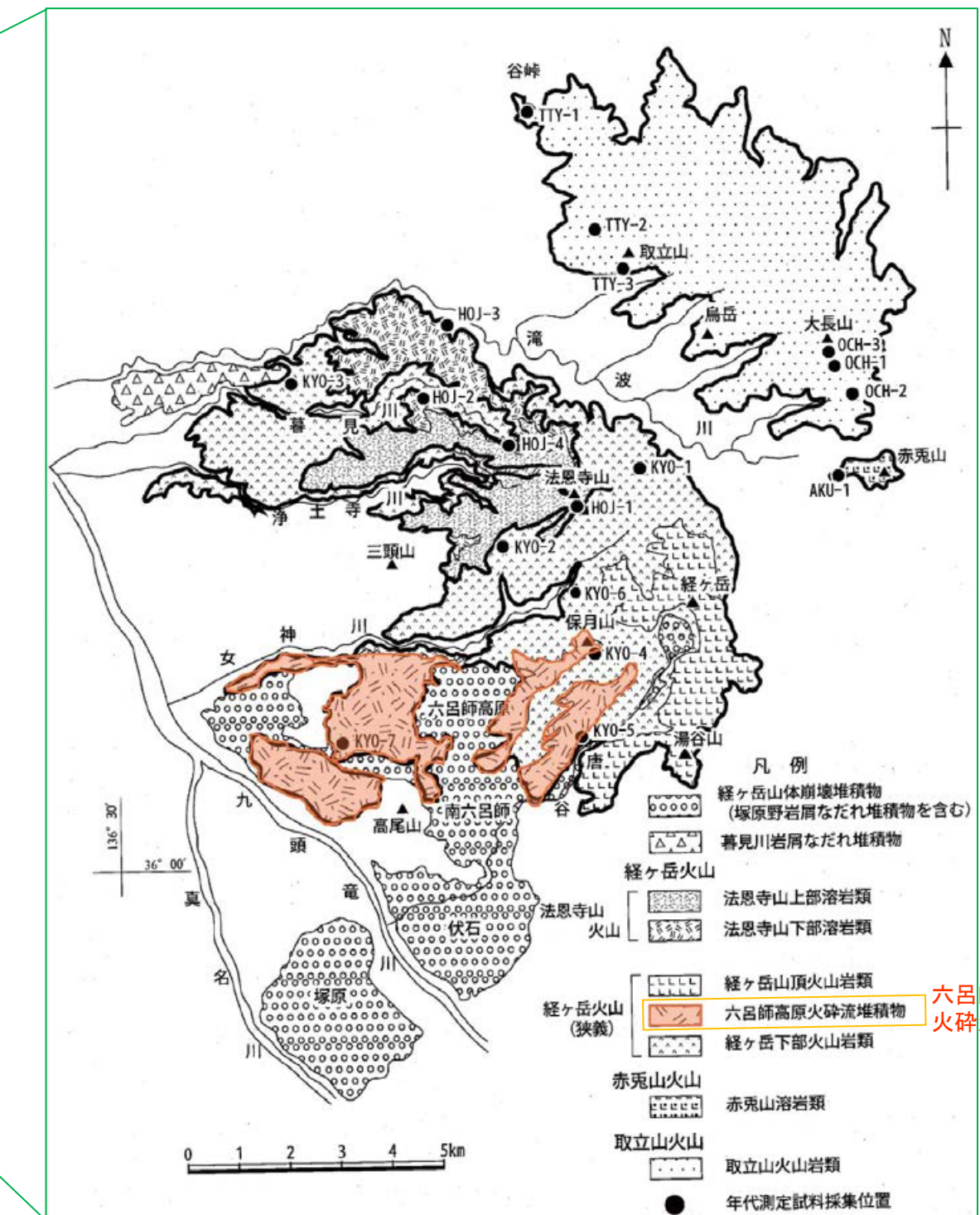
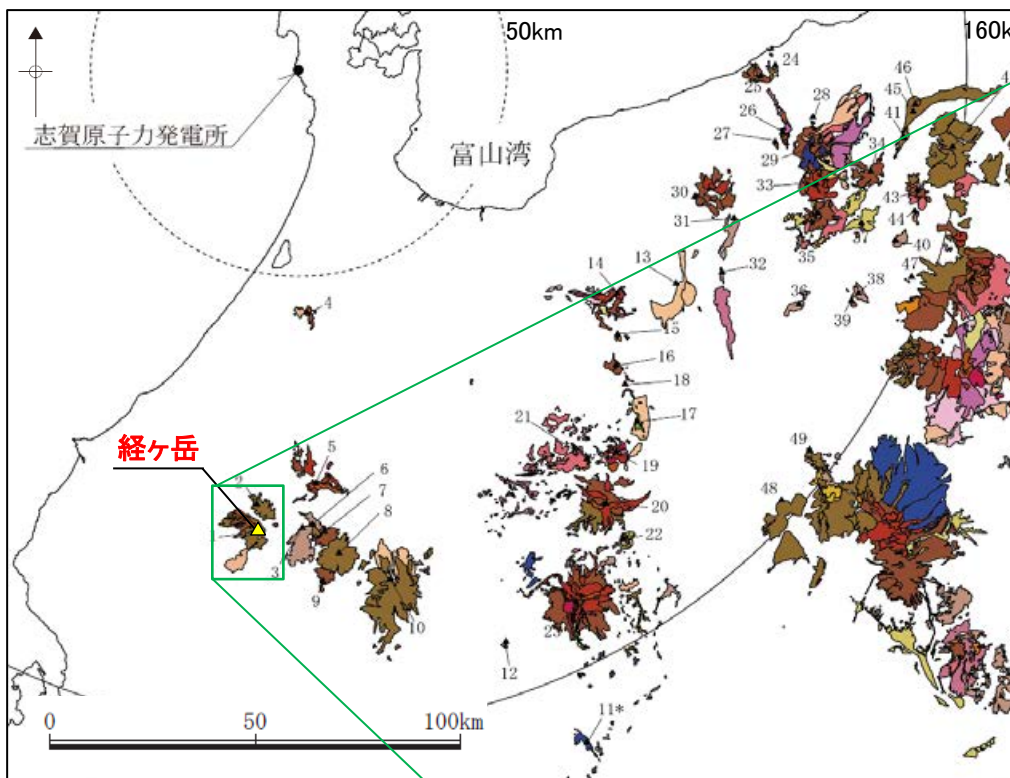
—:検討対象外(敷地から50km以遠に位置することから、発電所に影響を及ぼす可能性は十分小さいと評価)

*単成火山群の分布域が160km圏内に位置することから、火碎物密度流に関する検討を実施。

2.1 火碎物密度流に関する評価 —1. 経ヶ岳—

○棚瀬ほか(2007)によると、経ヶ岳における火碎流堆積物の分布は経ヶ岳周辺に限られている。

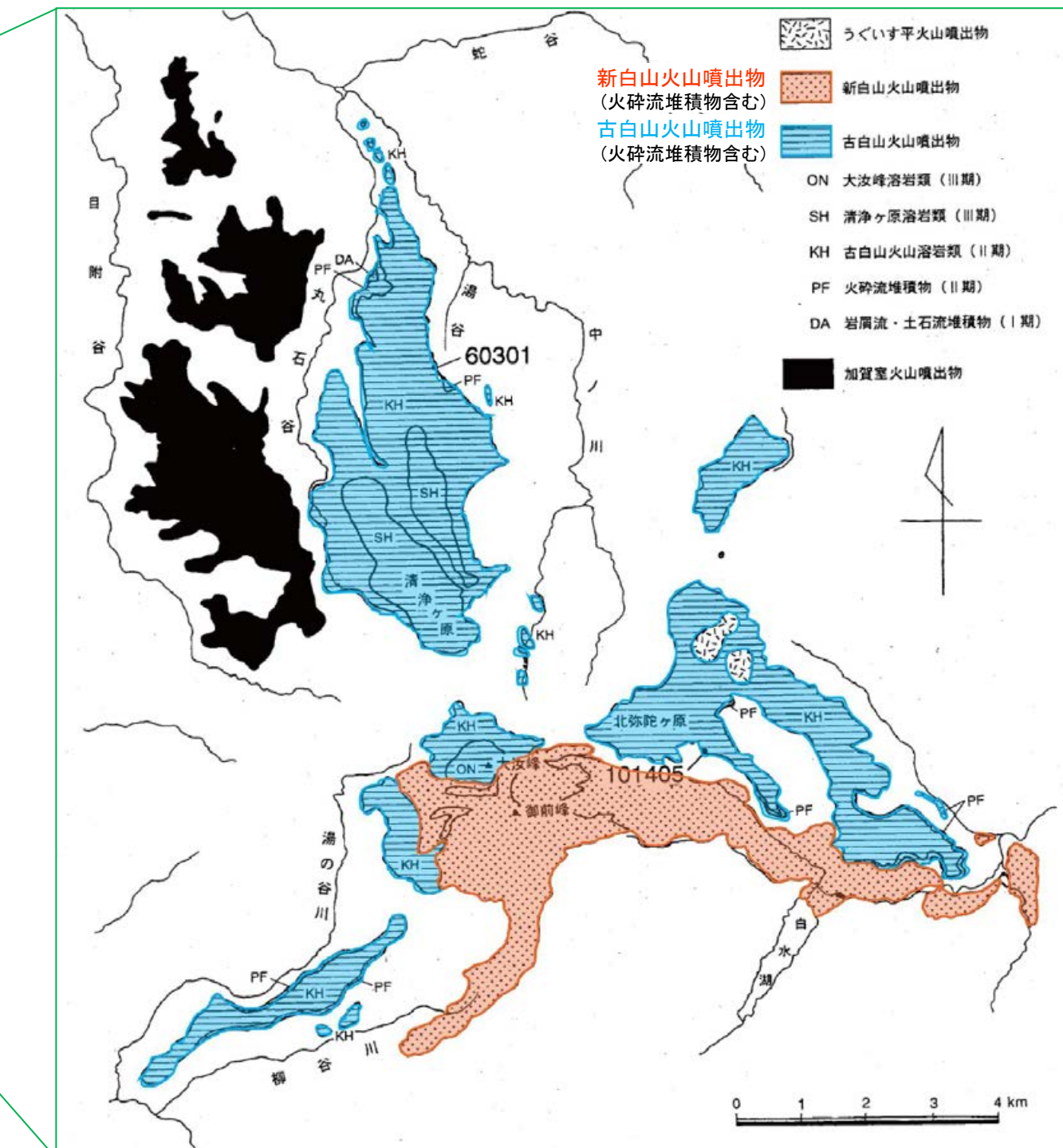
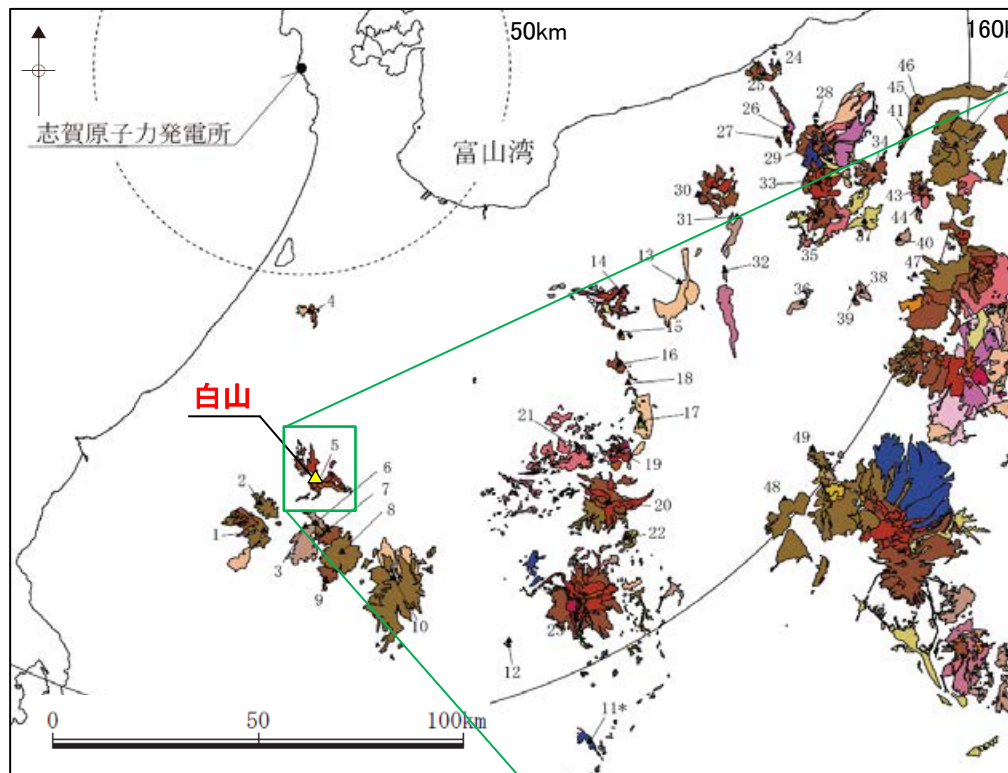
○この分布から想定される火碎物密度流の最大到達距離が敷地から経ヶ岳までの距離(113km)に比べて十分小さいことから、過去最大規模の噴火においても敷地に到達せず、火碎物密度流が発電所に影響を及ぼす可能性は十分小さいと評価した。



2.1 火碎物密度流に関する評価 —5.白山—

○酒寄ほか(1999)及び東野(2014)によると、白山における火碎流堆積物を含む火山噴出物の分布は白山周辺に限られている。

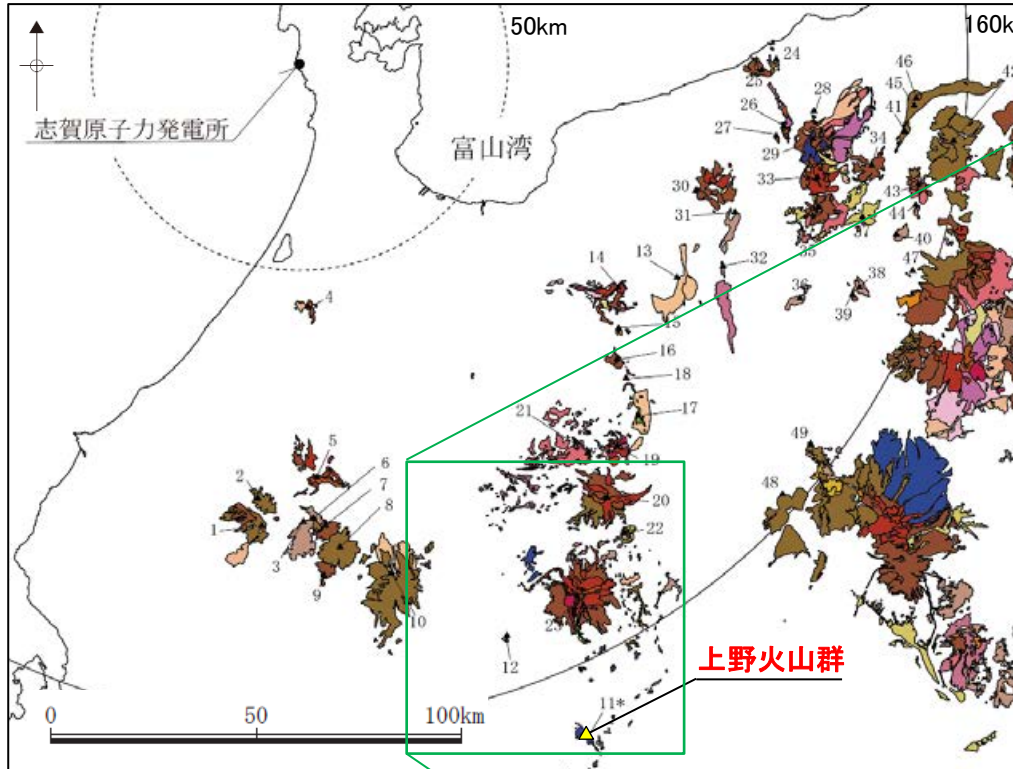
○この分布から想定される火碎物密度流の最大到達距離が敷地から白山までの距離(101km)に比べて十分小さいことから、過去最大規模の噴火においても敷地に到達せず、火碎物密度流が発電所に影響を及ぼす可能性は十分小さいと評価した。



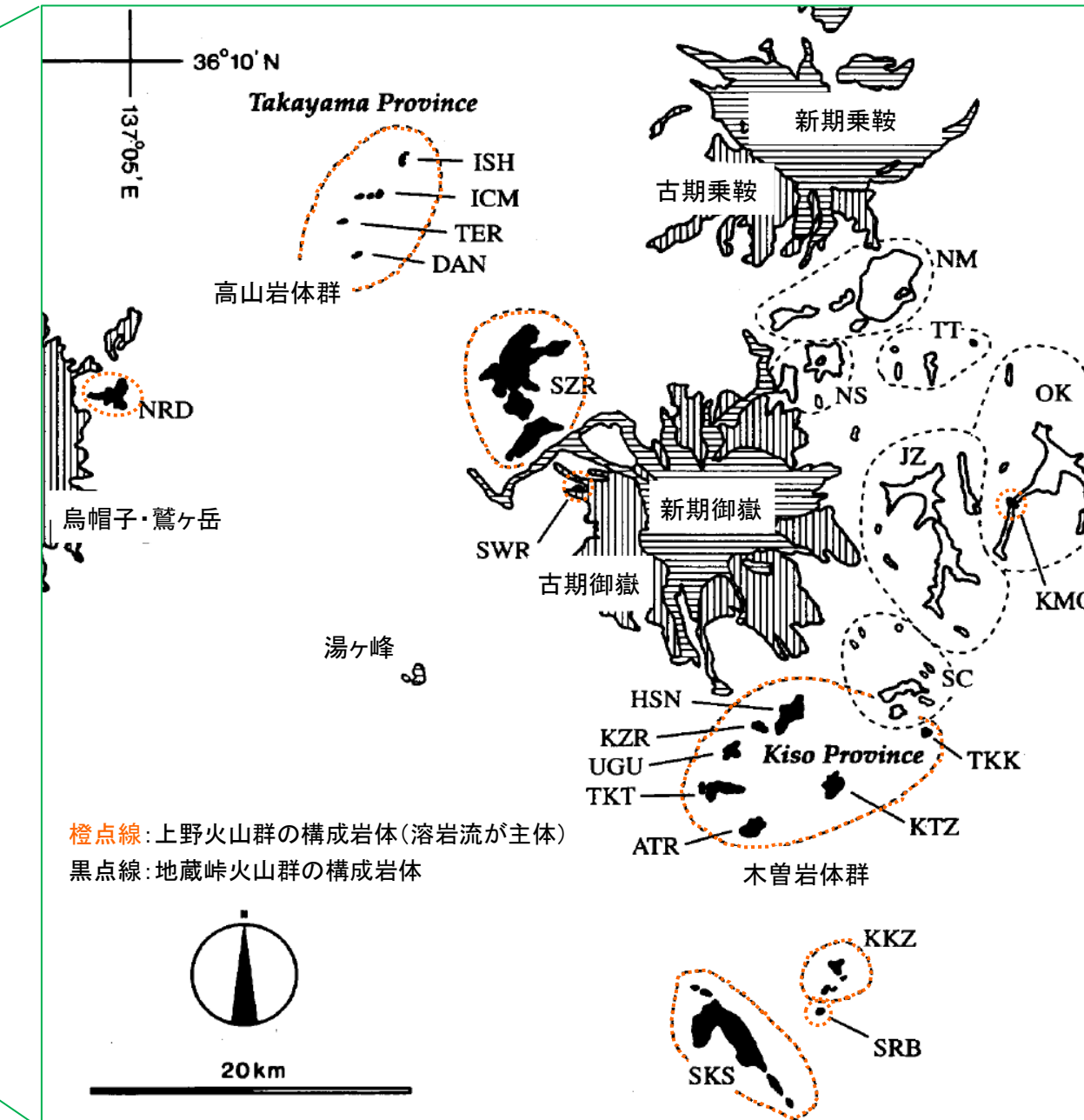
2.1 火碎物密度流に関する評価 -11.上野火山群-

○中野ほか(2000)によると、上野火山群の構成岩体は溶岩流が主体であり、火碎物密度流の発生実績は認められない。

○よって、過去最大規模の噴火においても敷地に到達せず、火碎物密度流が発電所に影響を及ぼす可能性は十分小さいと評価した。



火山地質図
(地質調査総合センター編(2021a, 2023)
に基づき作成)

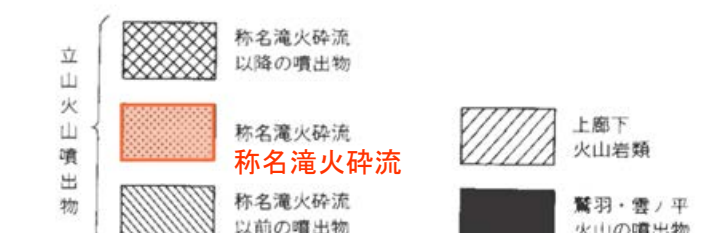
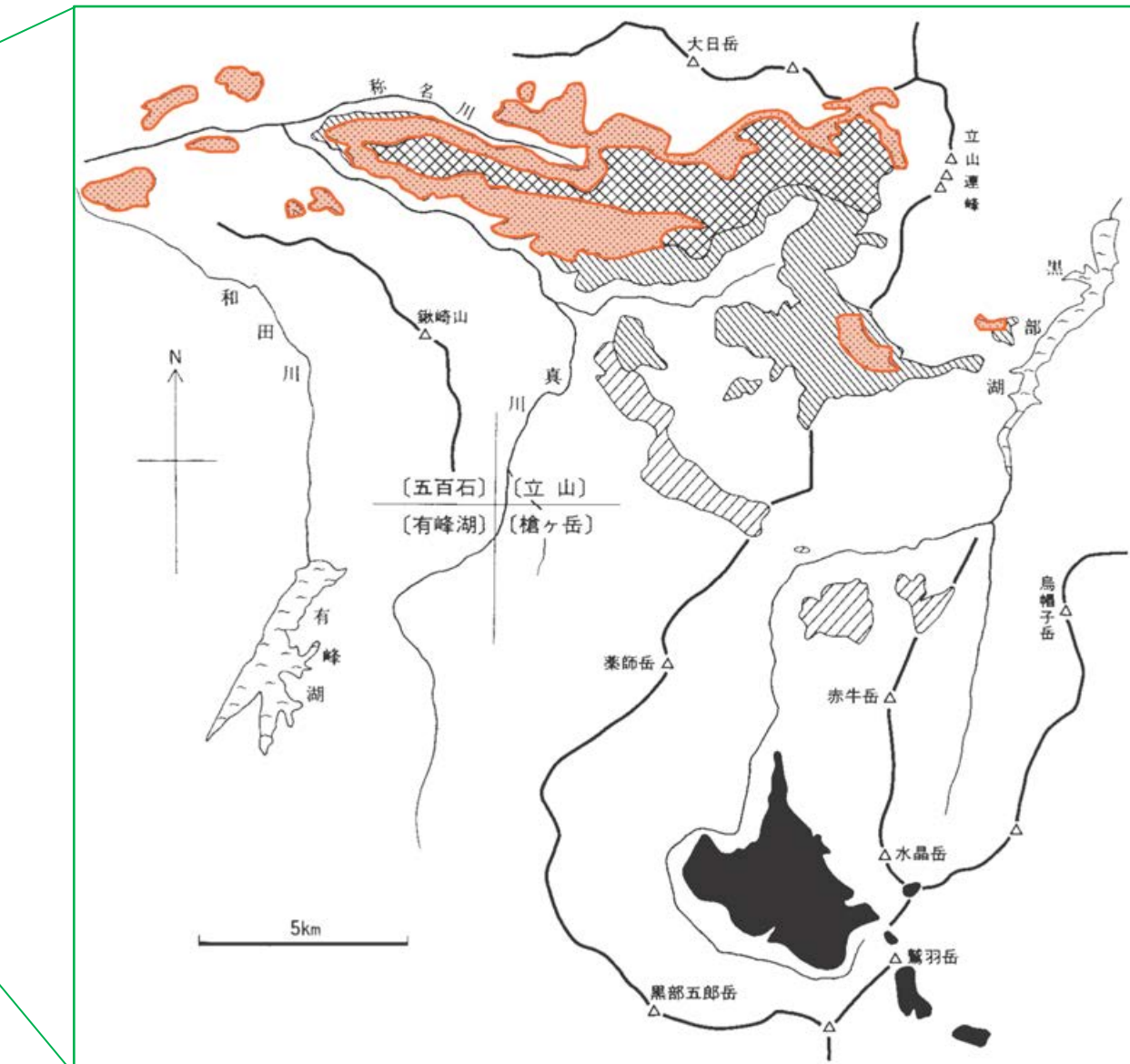
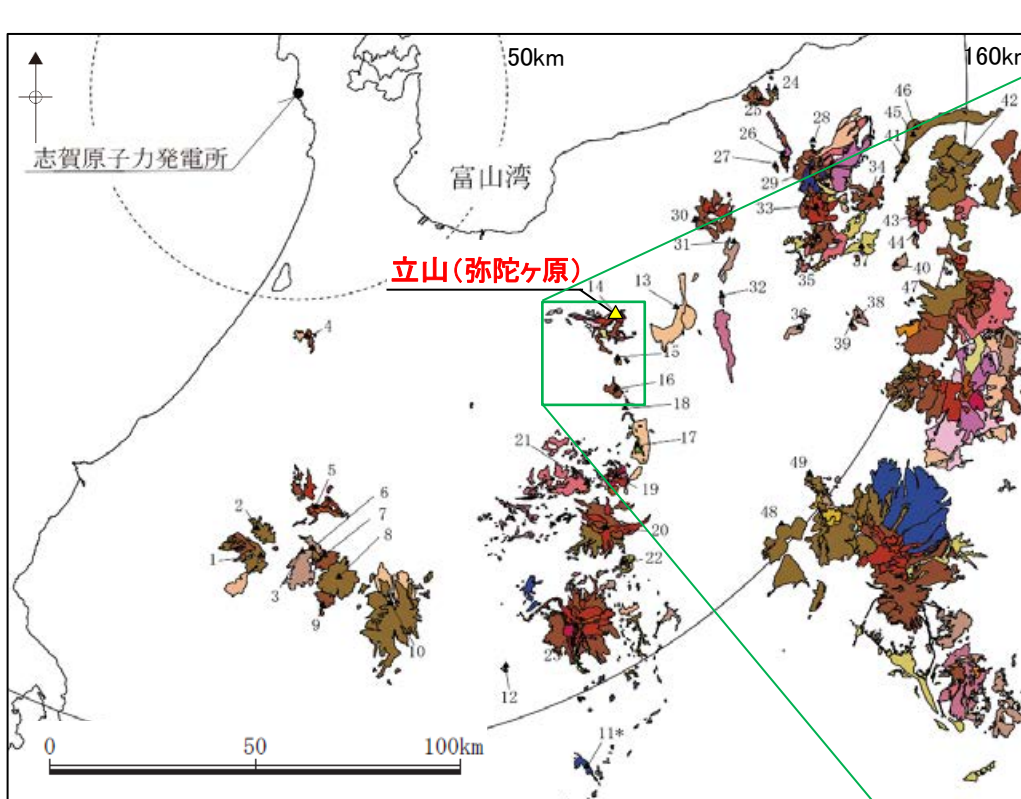


上野火山群の地質図
(中野ほか(2000)に一部加筆)

2.1 火碎物密度流に関する評価 –14.立山(弥陀ヶ原)–

○原山ほか(2000)によると、立山(弥陀ヶ原)における火碎流堆積物の分布は立山(弥陀ヶ原)周辺に限られている。

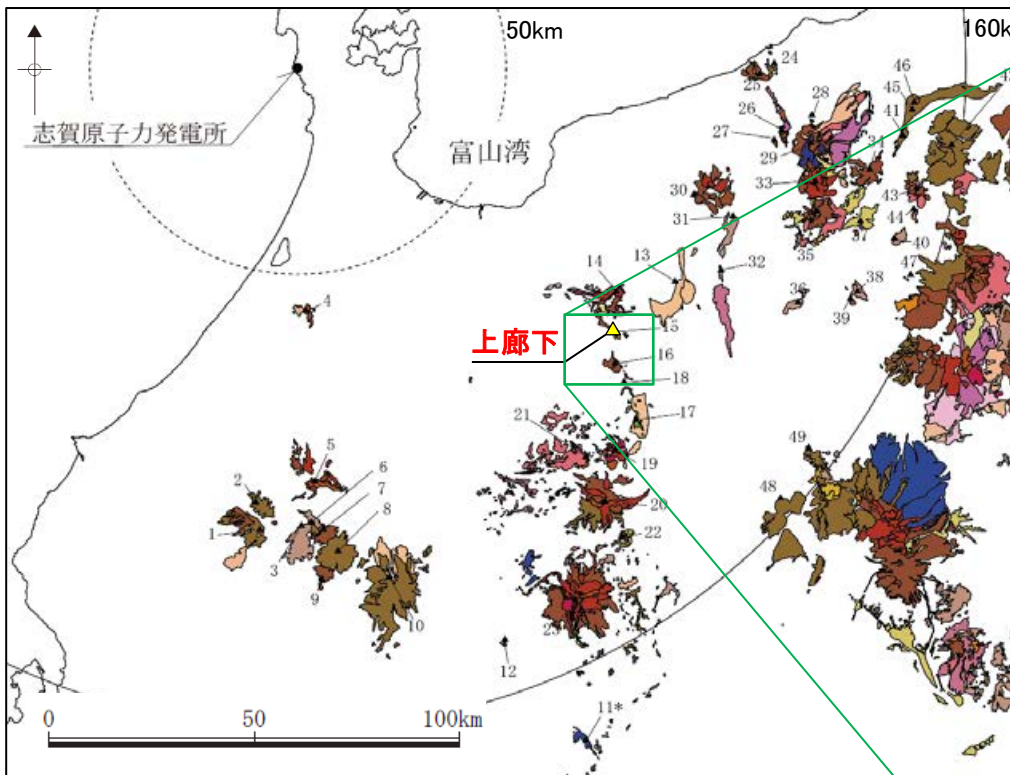
○この分布から想定される火碎物密度流の最大到達距離が敷地から立山(弥陀ヶ原)までの距離(94km)に比べて十分小さいことから、過去最大規模の噴火においても敷地に到達せず、火碎物密度流が発電所に影響を及ぼす可能性は十分小さいと評価した。



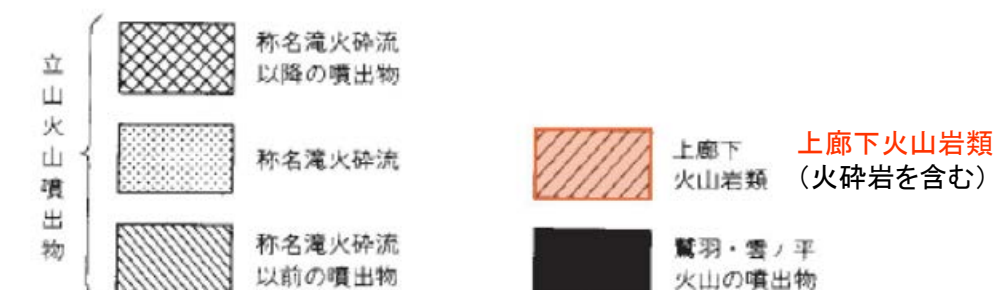
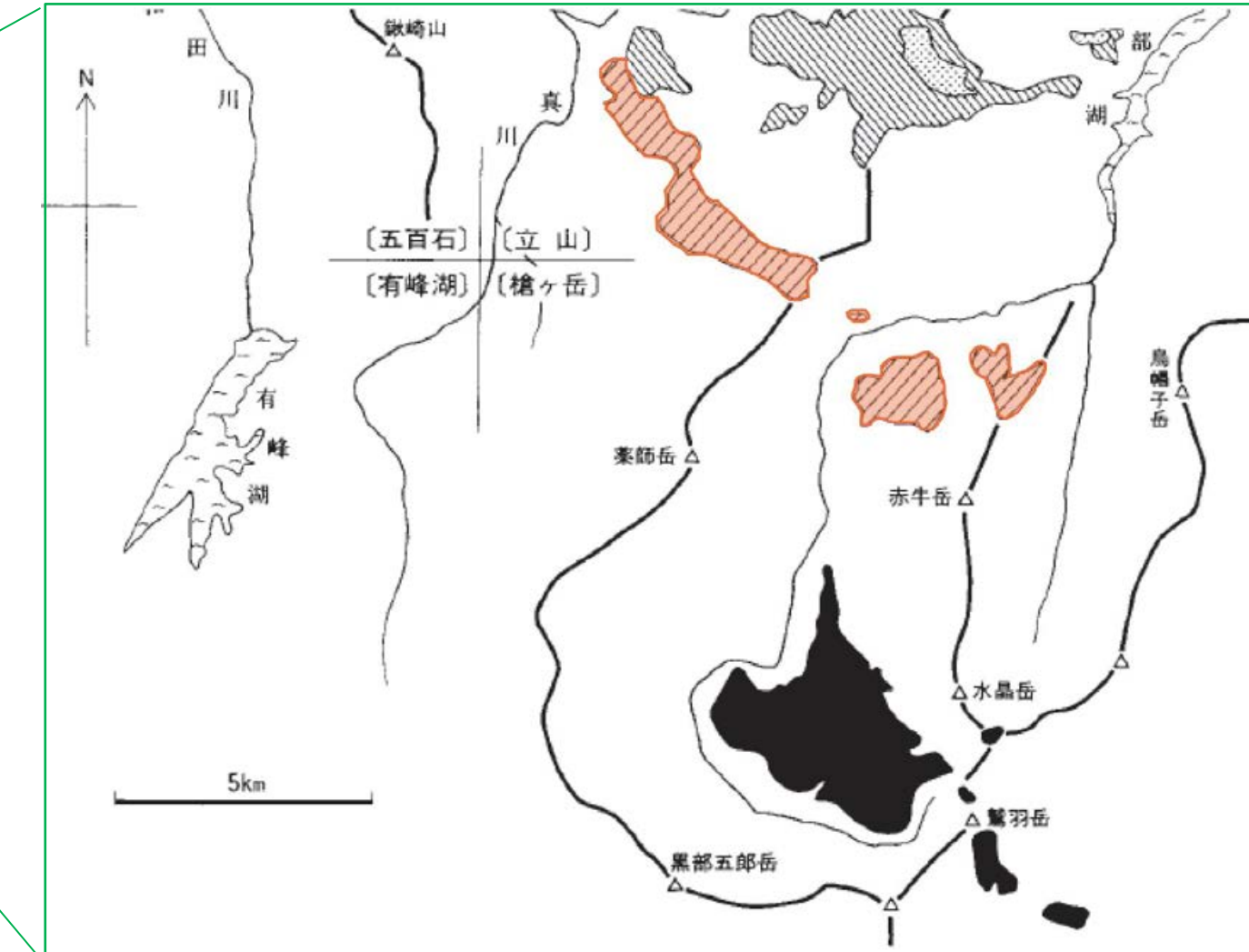
2.1 火碎物密度流に関する評価 –15.上廊下–

○原山ほか(2000)及び及川ほか(2003)によると、上廊下における火碎岩を含む火山噴出物の分布は上廊下周辺に限られている。

○この分布から想定される火碎物密度流の最大到達距離が敷地から上廊下までの距離(101km)に比べて十分小さいことから、過去最大規模の噴火においても敷地に到達せず、火碎物密度流が発電所に影響を及ぼす可能性は十分小さいと評価した。



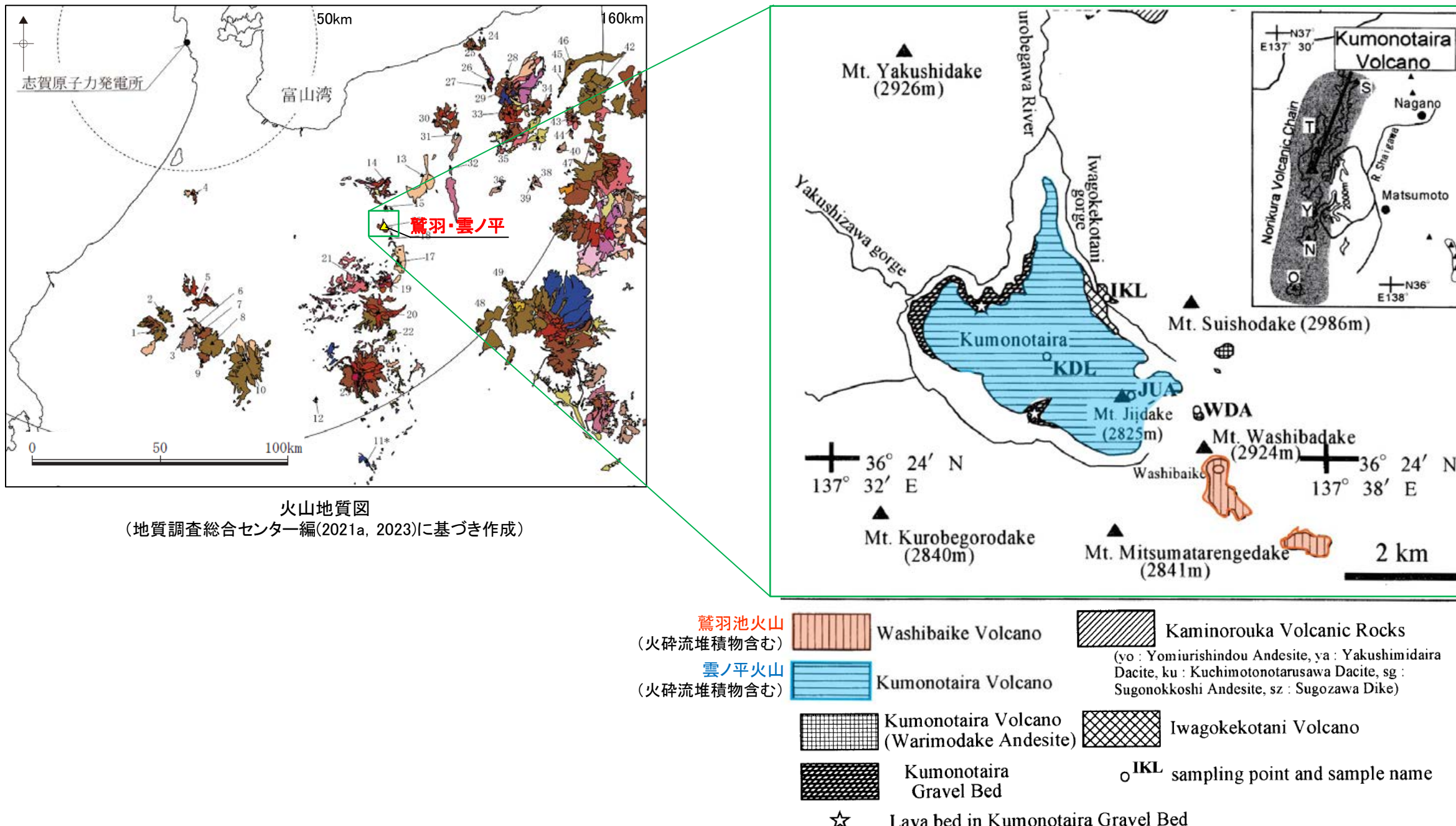
火山地質図
(地質調査総合センター編(2021a, 2023)に基づき作成)



上廊下の地質図
(及川ほか(2003)を参考に、原山ほか(2000)に一部加筆)

2.1 火碎物密度流に関する評価 - 16 鷺羽・雲ノ平 -

- 及川ほか(2003), 中野(1989)及び石崎ほか(2021)によると, 鶩羽・雲ノ平における火碎流堆積物を含む火山噴出物の分布は鶩羽・雲ノ平周辺に限られている。
- この分布から想定される火碎物密度流の最大到達距離が敷地から鶩羽・雲ノ平までの距離(106km)に比べて十分小さいことから, 過去最大規模の噴火においても敷地に到達せず, 火碎物密度流が発電所に影響を及ぼす可能性は十分小さいと評価した。

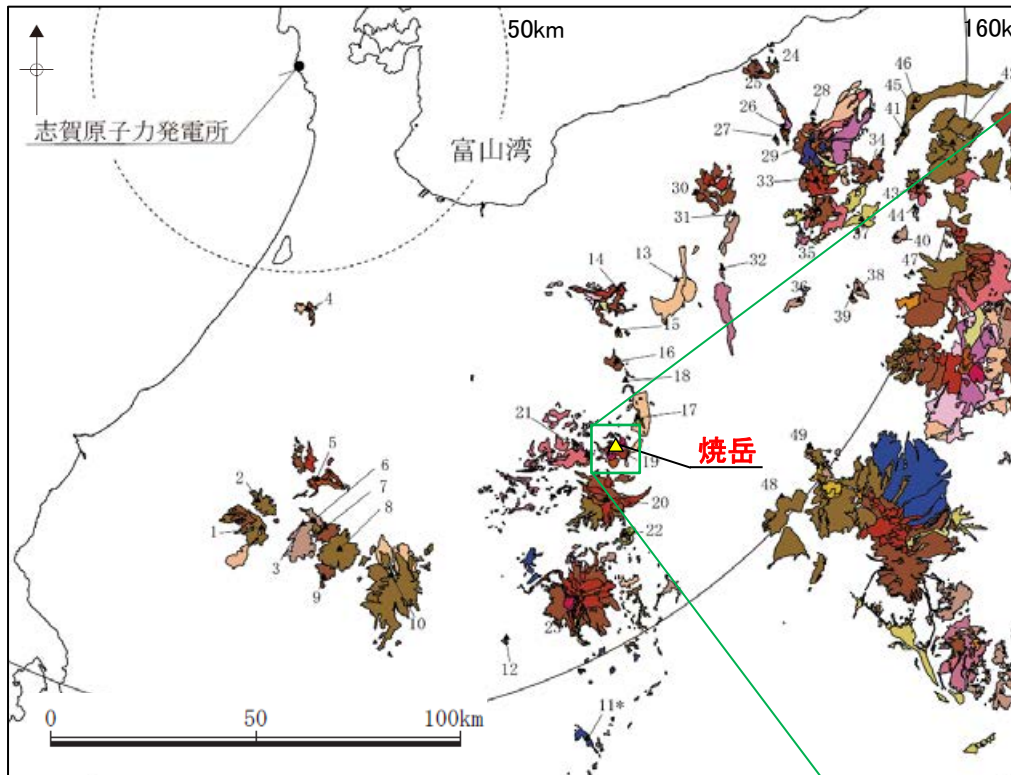


鷲羽・雲ノ平の地質図
(中野(1989)及び石崎ほか(2021)を参考に、及川ほか(2003)に一部加筆)

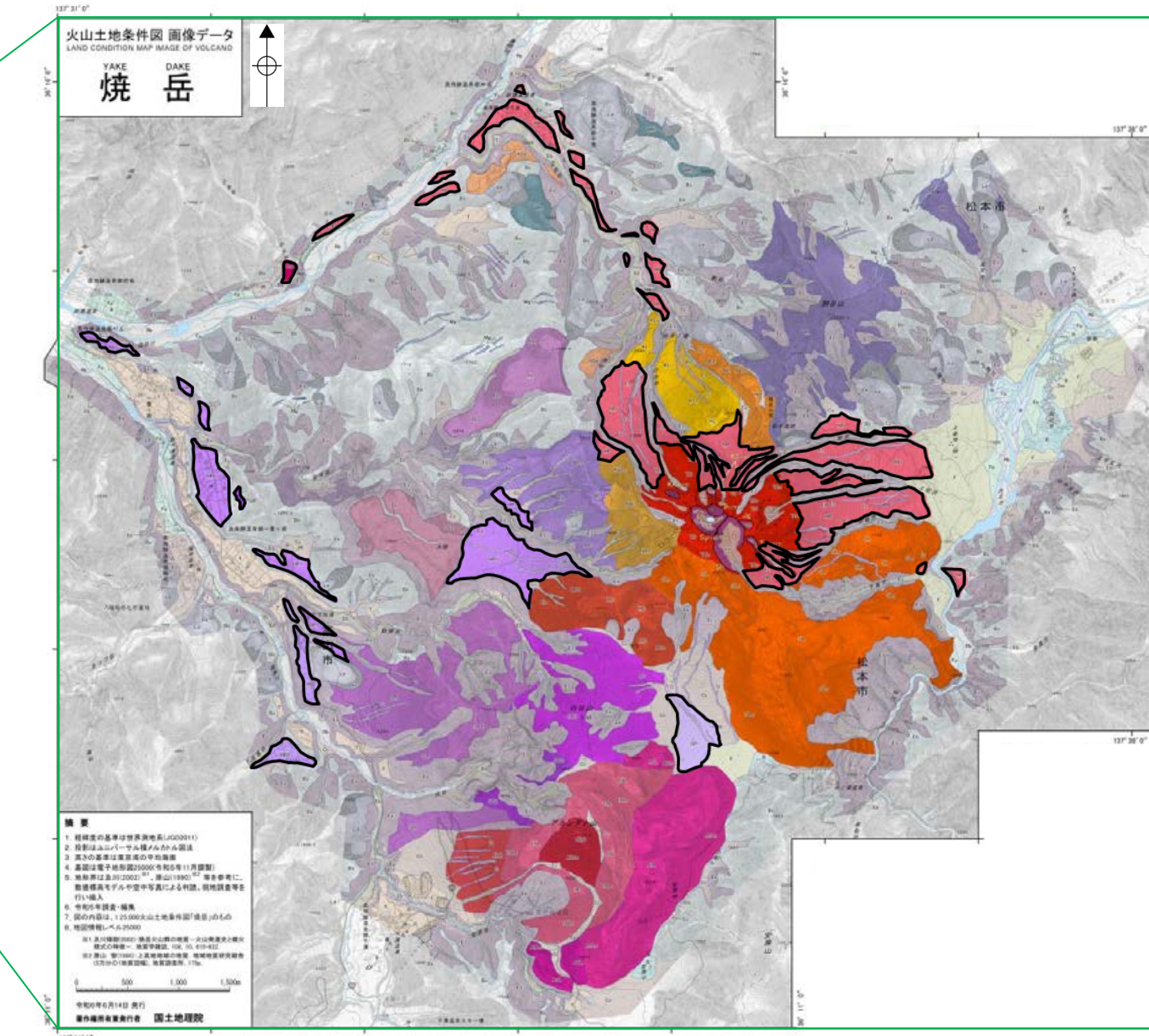
2.1 火碎物密度流に関する評価 –19.焼岳–

○国土地理院(2024)によると、焼岳における火碎流堆積物の分布は焼岳周辺に限られている。

○この分布から想定される火碎物密度流の最大到達距離が敷地から焼岳までの距離(120km)に比べて十分小さいことから、過去最大規模の噴火においても敷地に到達せず、火碎物密度流が発電所に影響を及ぼす可能性は十分小さいと評価した。



火山地質図
(地質調査総合センター編(2021a, 2023)に基づき作成)



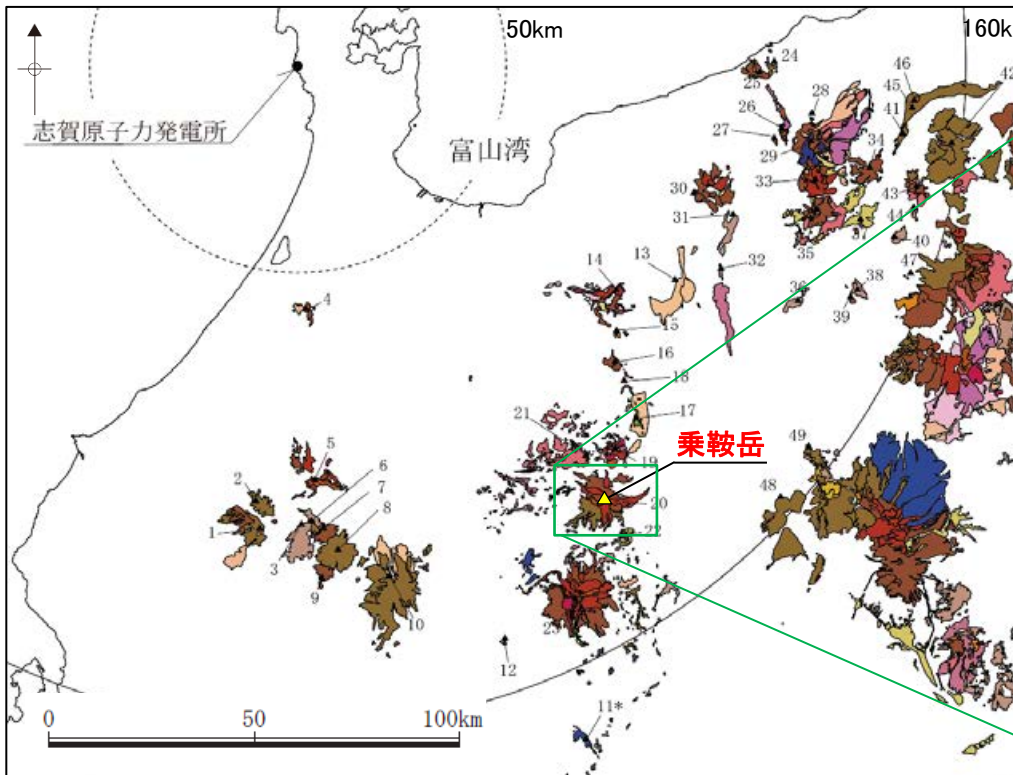
NP	中尾火碎流堆積面	HP2	平湯川火碎流堆積面 II	UP	上地ヶ根火碎流堆積面
KoP	小糸谷火碎流堆積面	HP1	平湯川火碎流堆積面 I	SP	白谷山火山起源の火碎流堆積面

焼岳の地質図
(国土地理院(2024)に一部加筆)

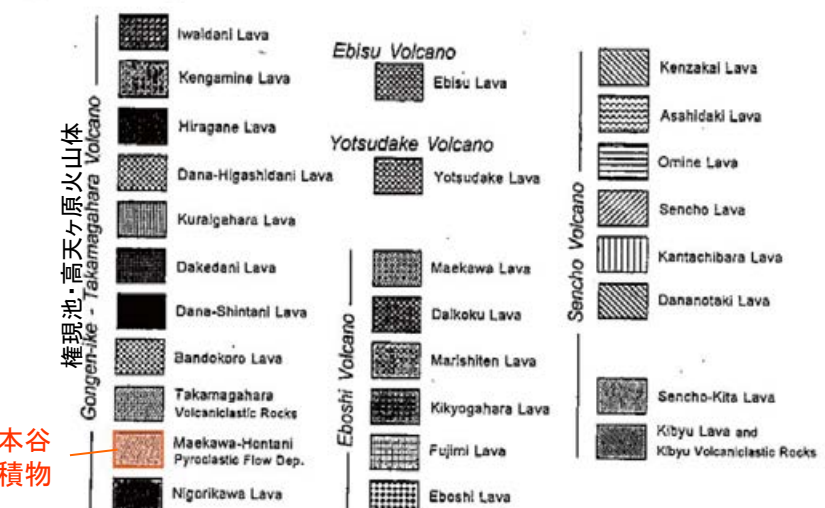
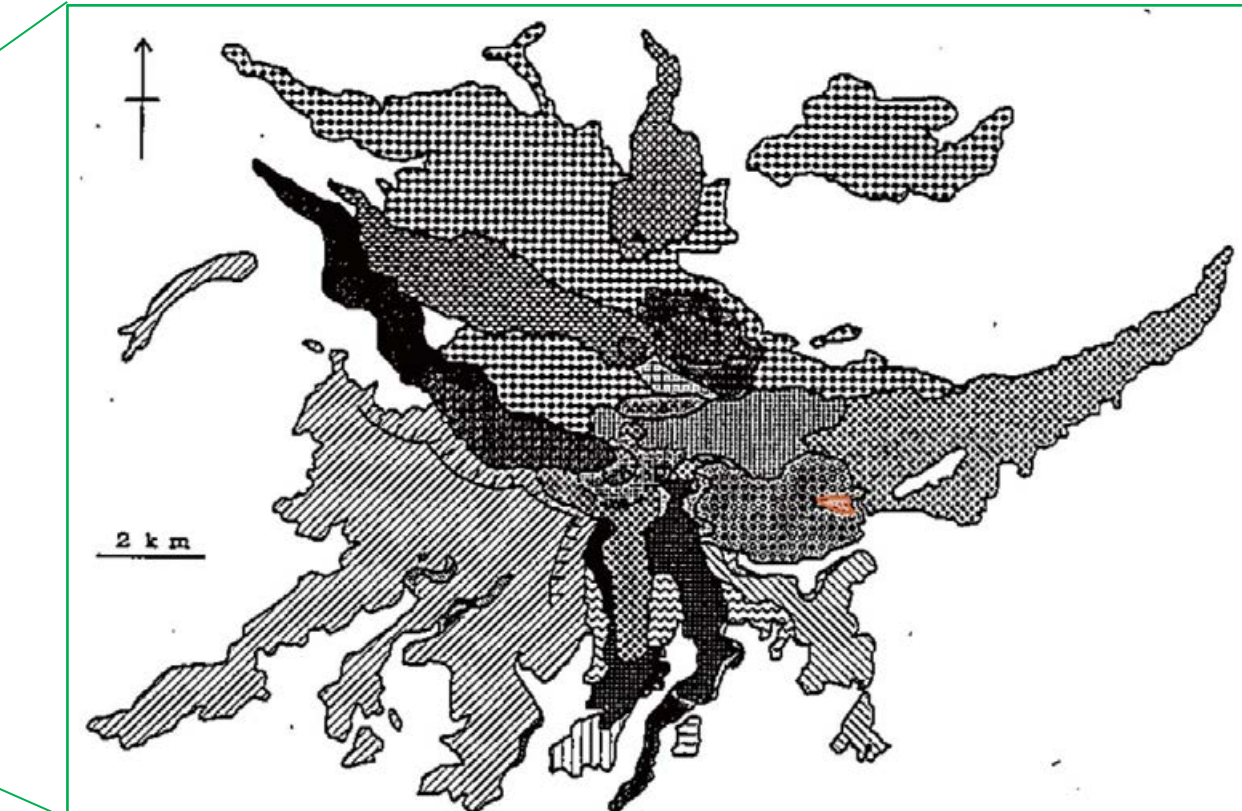
2.1 火碎物密度流に関する評価 —20.乗鞍岳—

○中野(1998)によると、乗鞍岳における火碎流堆積物の分布は乗鞍岳周辺に限られている。

○この分布から想定される火碎物密度流の最大到達距離が敷地から乗鞍岳までの距離(129km)に比べて十分小さいことから、過去最大規模の噴火においても敷地に到達せず、火碎物密度流が発電所に影響を及ぼす可能性は十分小さいと評価した。



火山地質図
(地質調査総合センター編(2021a, 2023)に基づき作成)

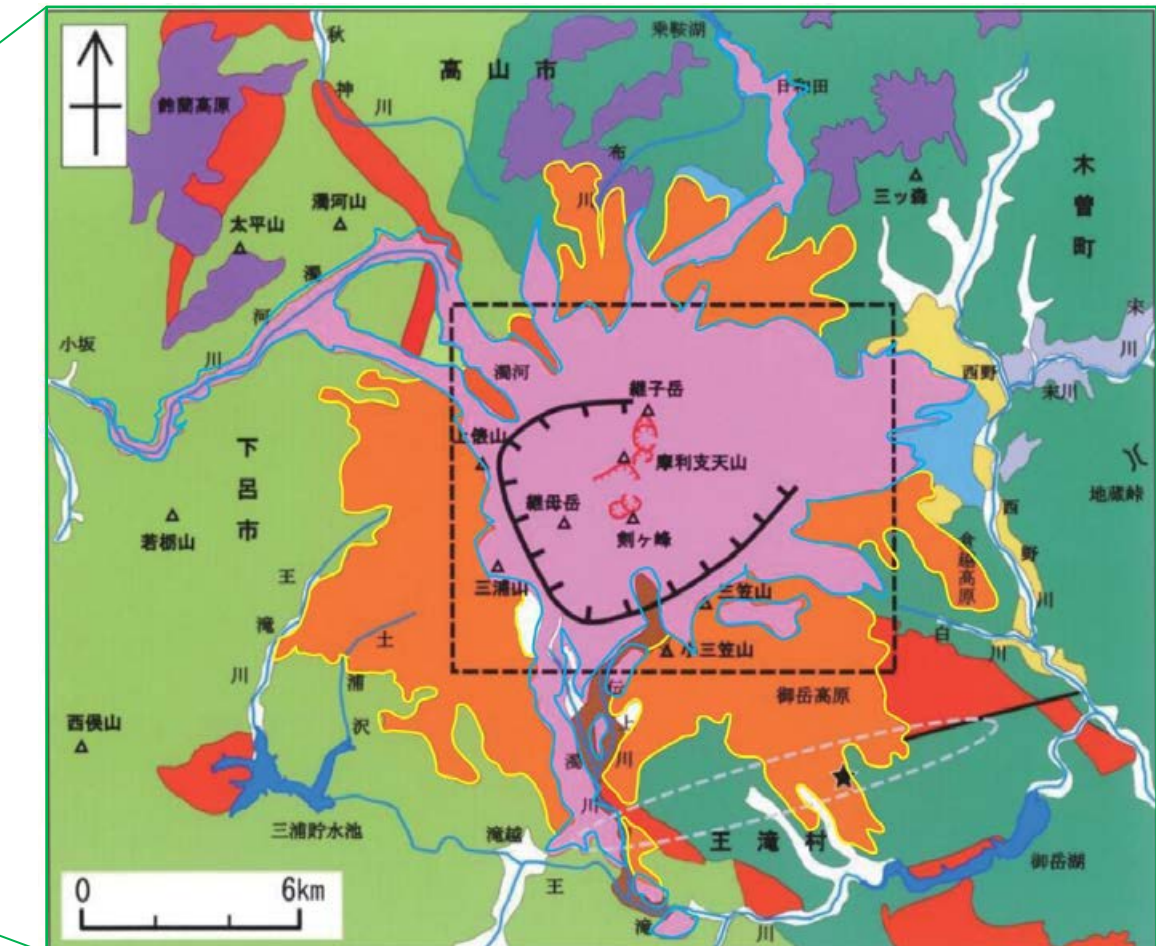
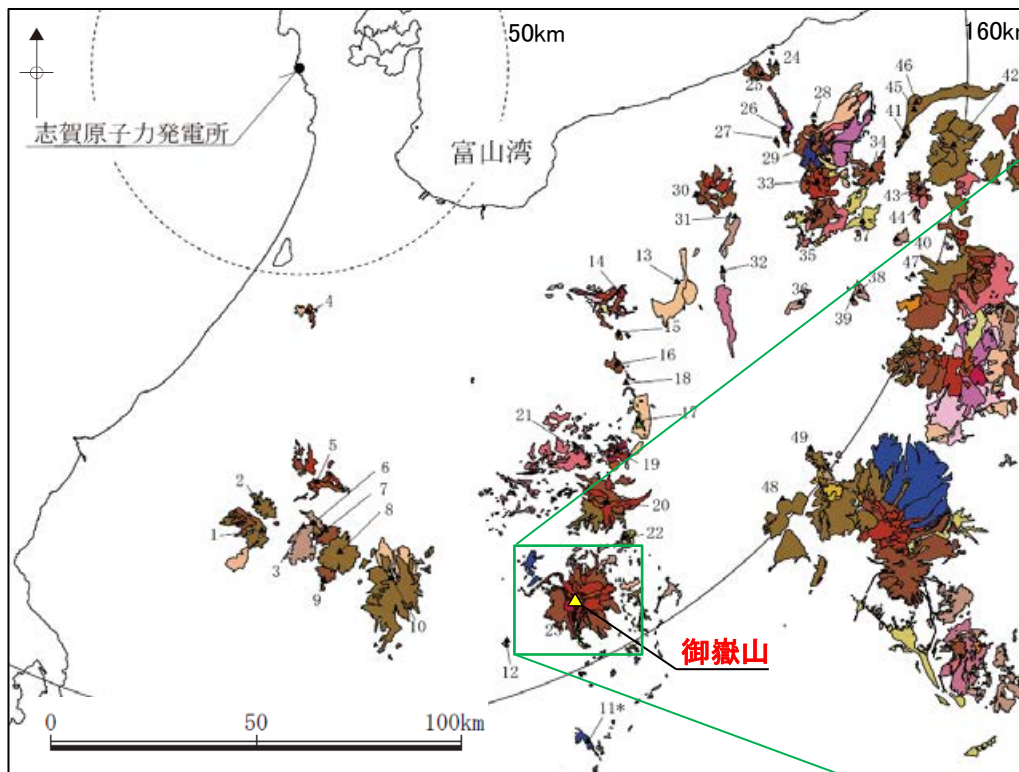


前川本谷
火碎流堆積物

乗鞍岳の地質図
(中野(1998)に一部加筆)

2.1 火碎物密度流に関する評価 —23.御嶽山—

- 国土地理院(2012)及び山田・小林(1988)によると、御嶽山における火碎流堆積物を含む火山噴出物の分布は御嶽山周辺に限られている。
- この分布から想定される火碎物密度流の最大到達距離が敷地から御嶽山までの距離(146km)に比べて十分小さいことから、過去最大規模の噴火においても敷地に到達せず、火碎物密度流が発電所に影響を及ぼす可能性は十分小さいと評価した。

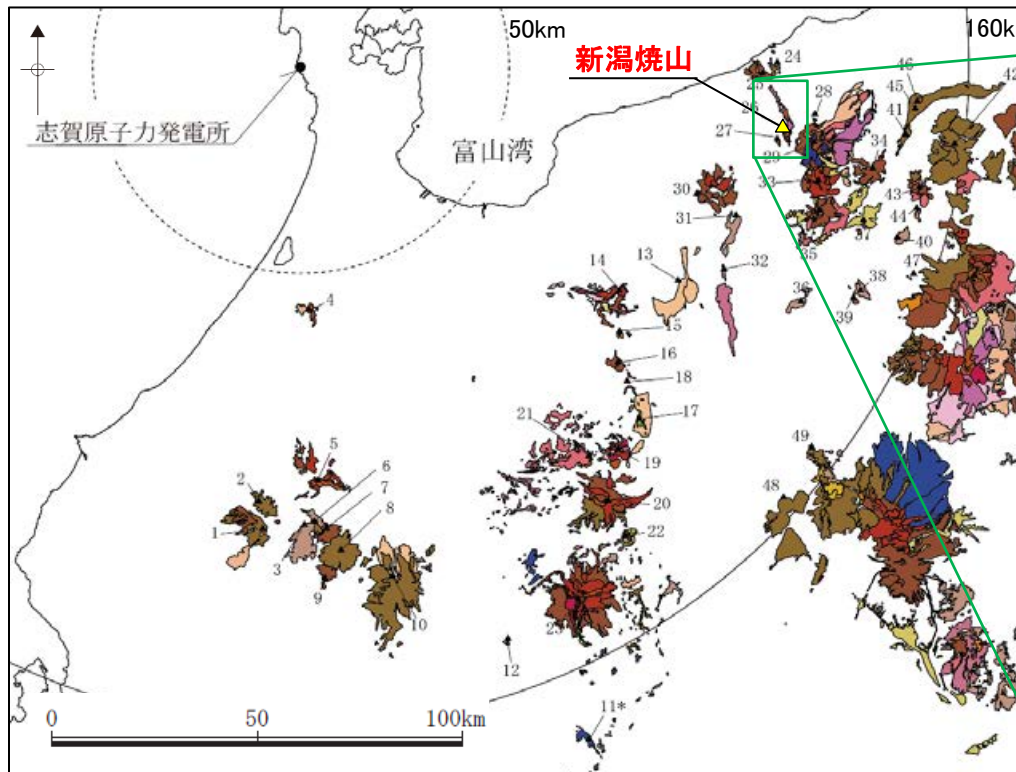


御嶽山の地質図
(山田・小林(1988)を参考に、国土地理院(2012)に一部加筆)

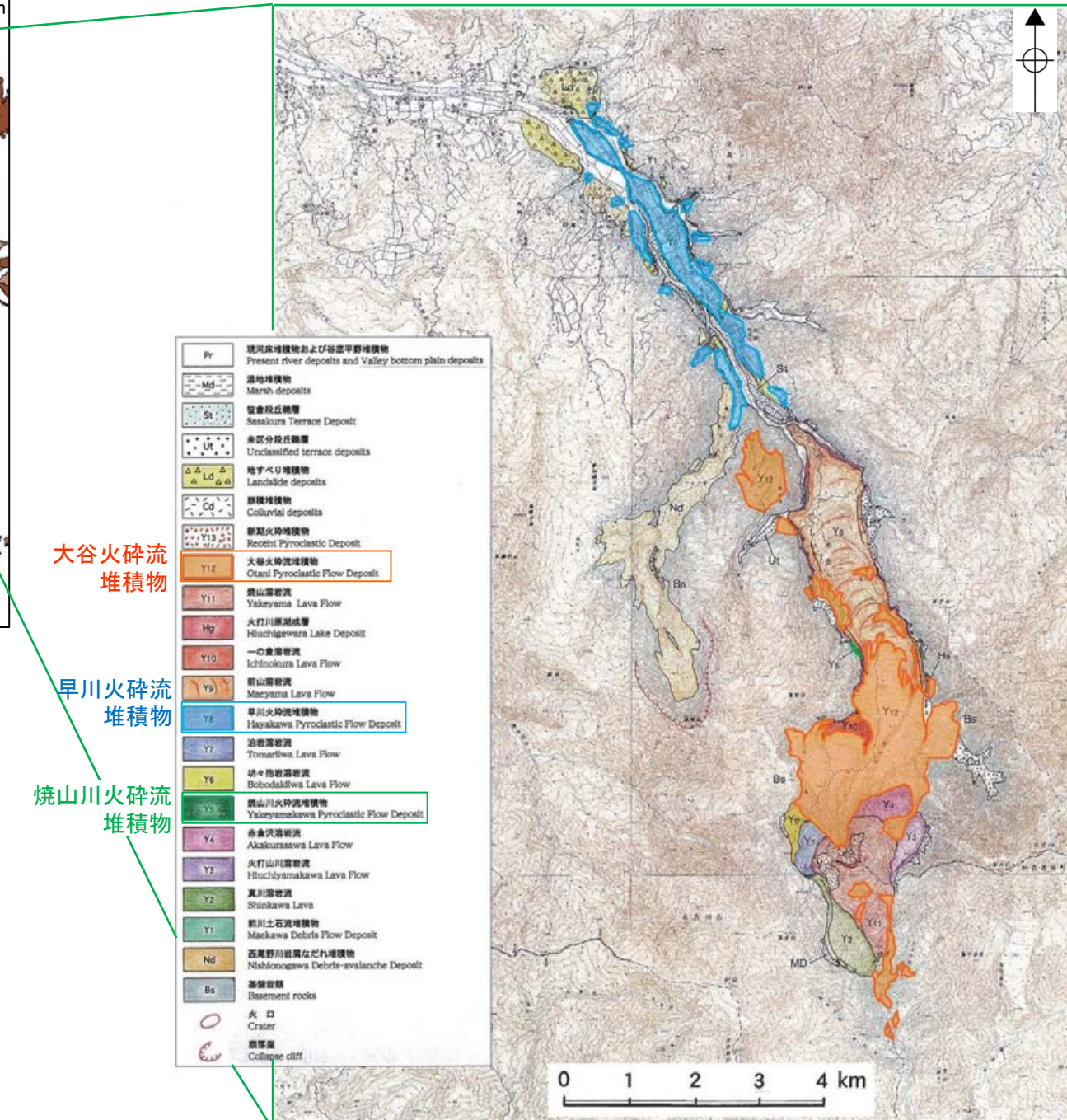
2.1 火碎物密度流に関する評価 —26. 新潟焼山—

○早津(2008)によると、新潟焼山における火碎流堆積物の分布は新潟焼山周辺に限られている。

○この分布から想定される火碎物密度流の最大到達距離が敷地から新潟焼山までの距離(118km)に比べて十分小さいことから、過去最大規模の噴火においても敷地に到達せず、火碎物密度流が発電所に影響を及ぼす可能性は十分小さいと評価した。



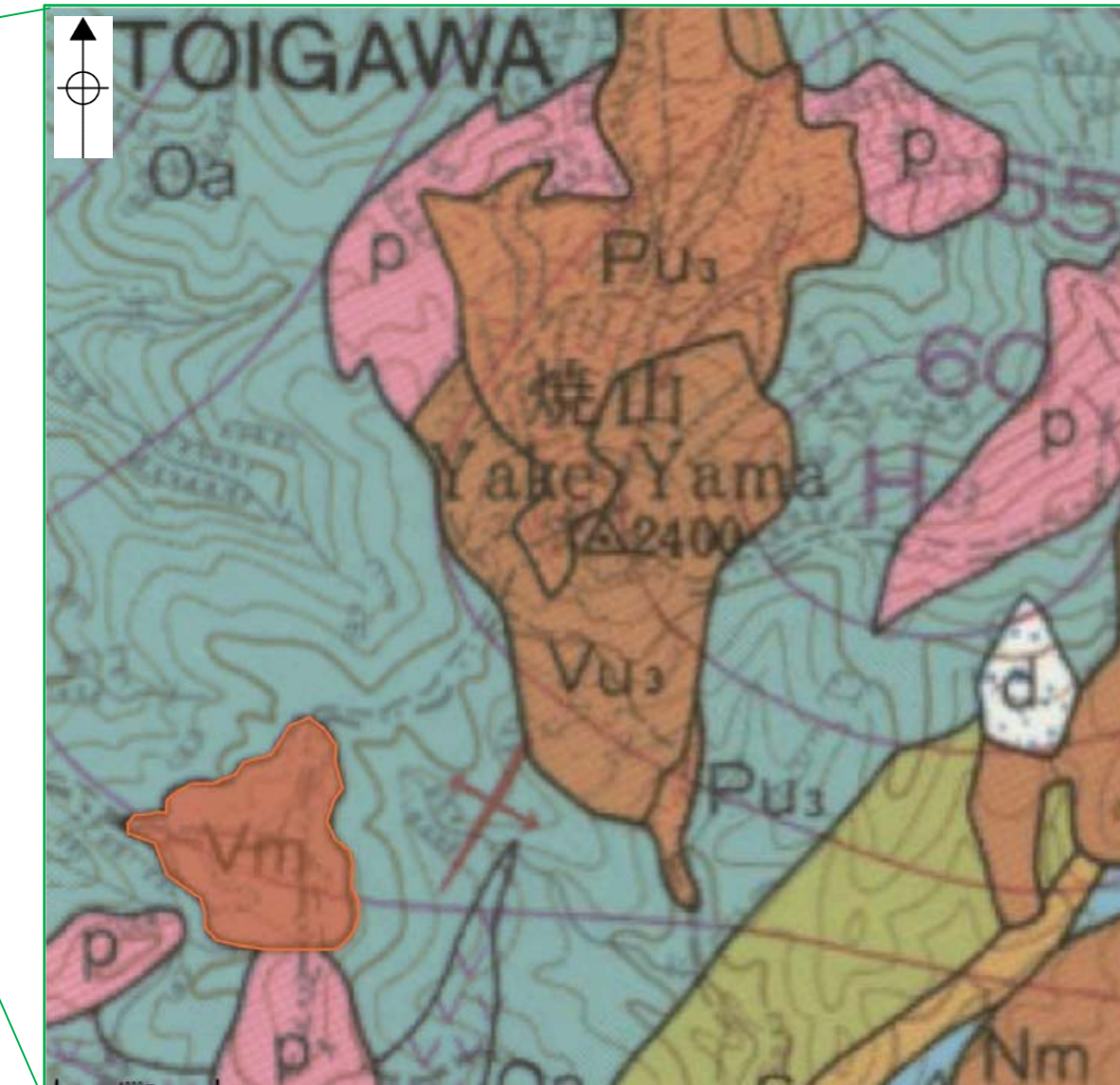
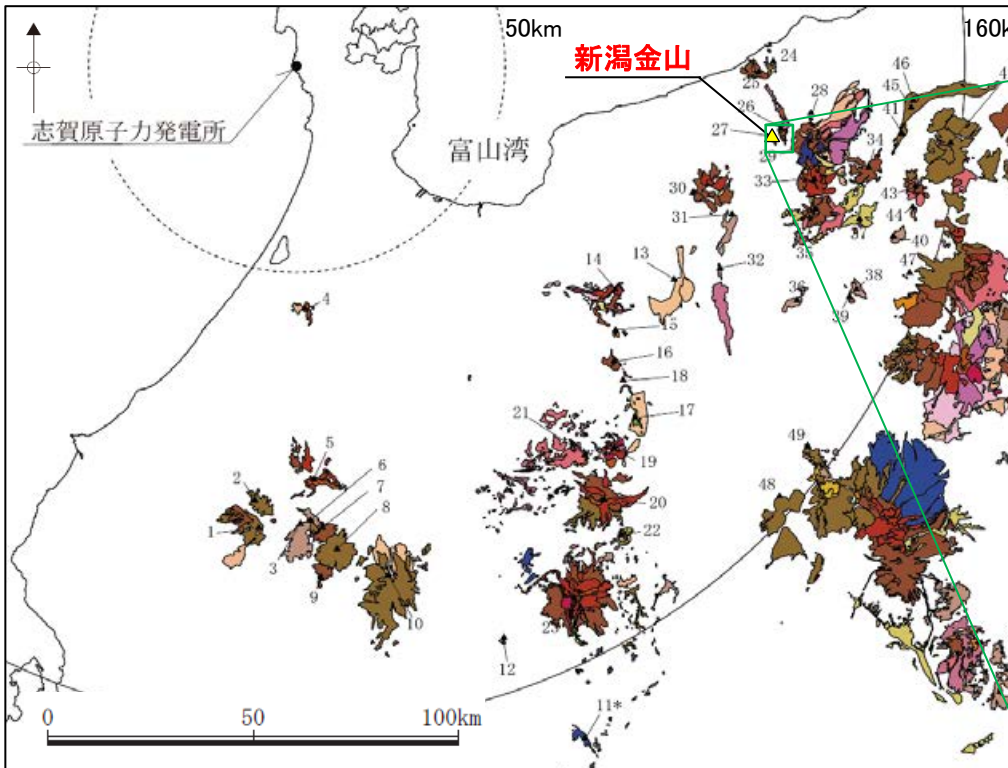
火山地質図
(地質調査総合センター編(2021a, 2023)に基づき作成)



新潟焼山の地質図
(早津(2008)に一部加筆)

2.1 火碎物密度流に関する評価 –27. 新潟金山–

- 竹内ほか(1994)及び地質調査総合センター編(2023)によると、新潟金山における火碎岩を含む火山噴出物の分布は新潟金山周辺に限られている。
- この分布から想定される火碎物密度流の最大到達距離が敷地から新潟金山までの距離(116km)に比べて十分小さいことから、過去最大規模の噴火においても敷地に到達せず、火碎物密度流が発電所に影響を及ぼす可能性は十分小さいと評価した。



飯糰火山(Pm, Vm)・高社火山(Pma, Vma)・志賀山火山岩類(Pms, Vms)・苗場火山(Pm, Vm)・飯土火山(Pms, Vms)など
Iizuna(Pm, Vm) and Kōsha (Pma, Vma)
Middle Pleistocene Volcanoes, Shigayama Volcanics (Pms, Vm), Naeba (Pm, Vm) and Iiji (Pms, Vms)
Volcanoes and others

Vm, Vm-
輝石安山岩溶岩
Pyroxene andesite lava

Pm-
輝石安山岩火山碎屑物
Pyroxene andesite volcaniclastic deposits

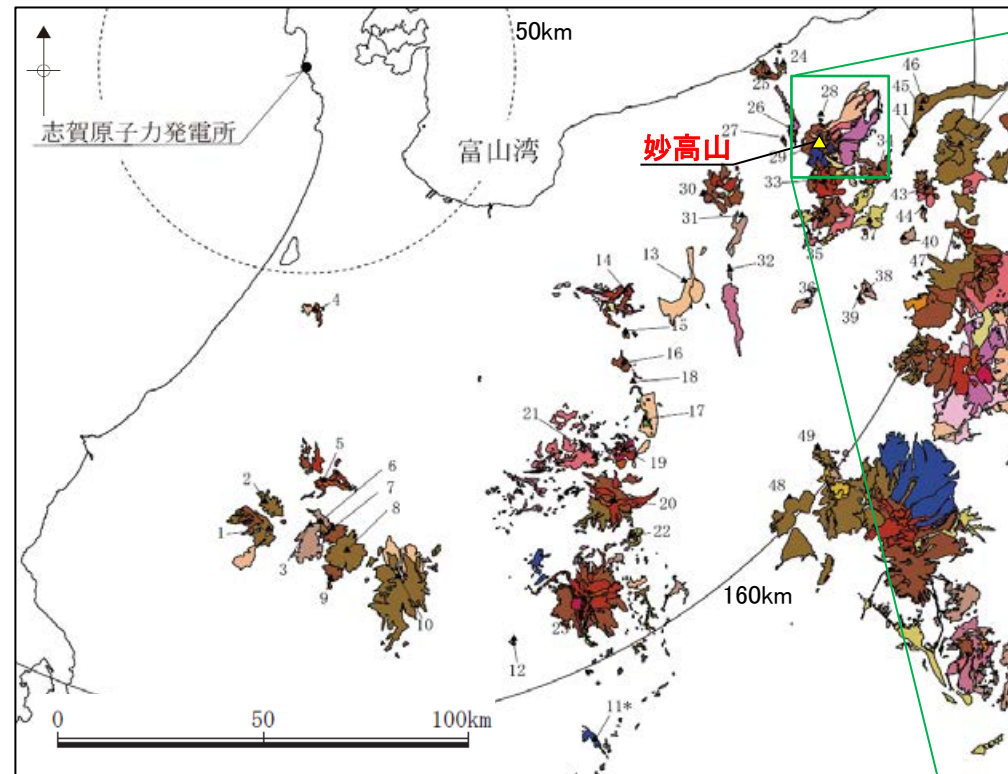
**金山火山岩類
(火碎岩を含む)**

新潟金山の地質図
(地質調査総合センター編(2023)を参考に、竹内ほか(1994)に一部加筆)

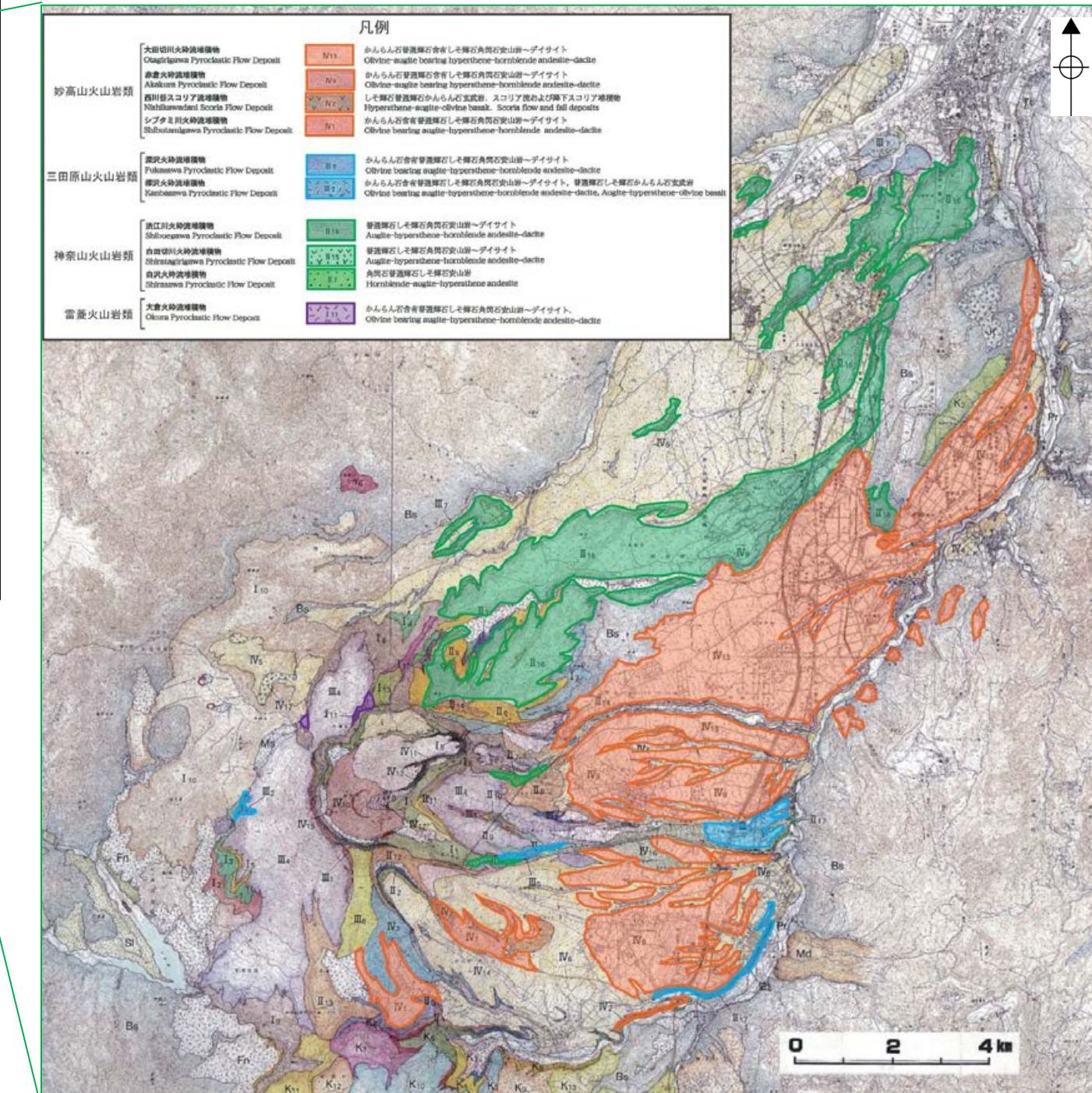
2.1 火碎物密度流に関する評価 –29. 妙高山–

○早津(2008)によると、妙高山における火碎流堆積物の分布は妙高山周辺に限られている。

○この分布から想定される火碎物密度流の最大到達距離が敷地から妙高山までの距離(125km)に比べて十分小さいことから、過去最大規模の噴火においても敷地に到達せず、火碎物密度流が発電所に影響を及ぼす可能性は十分小さいと評価した。



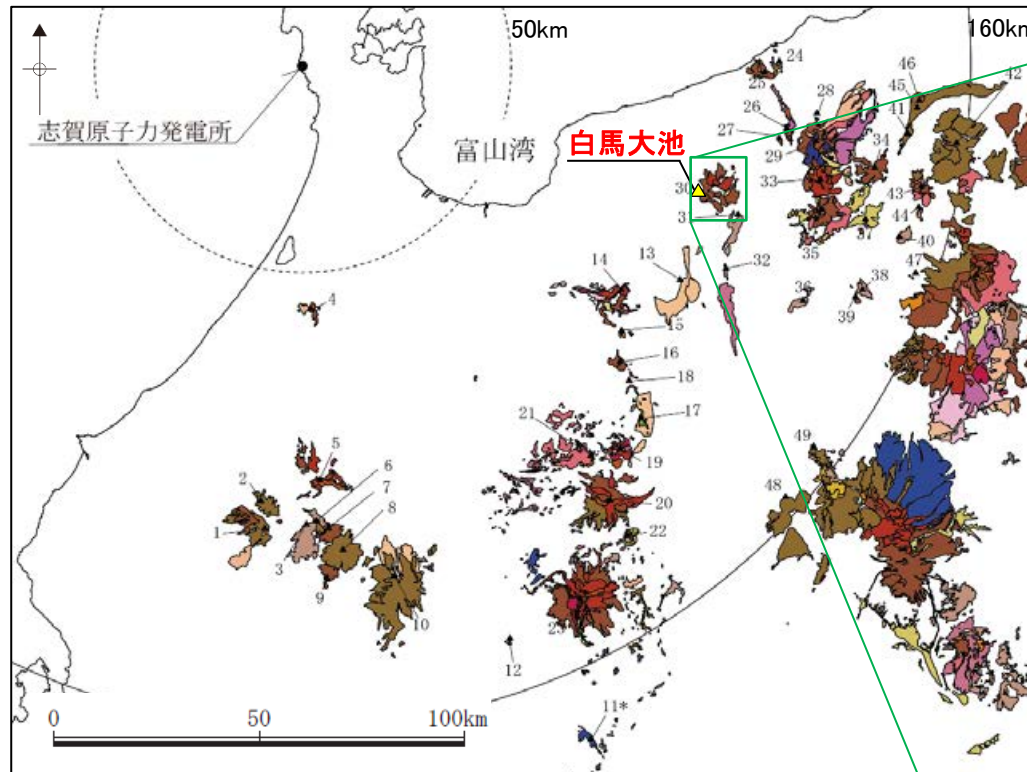
火山地質図
(地質調査総合センター編(2021a, 2023)に基づき作成)



妙高山の地質図
(早津(2008)に一部加筆)

2.1 火碎物密度流に関する評価 —30. 白馬大池—

- 中野ほか(2002)及び長森ほか(2010)によると、白馬大池における火碎流堆積物の分布は白馬大池周辺に限られている。
- この分布から想定される火碎物密度流の最大到達距離が敷地から白馬大池までの距離(100km)に比べて十分小さいことから、過去最大規模の噴火においても敷地に到達せず、火碎物密度流が発電所に影響を及ぼす可能性は十分小さいと評価した。



火山地質図
(地質調査総合センター編(2021a, 2023)に基づき作成)

凡例

風吹岳火碎流堆積物	
Kazufukidake Pyroclastic Flow Deposits	Vhp
風吹岳火碎流堆積物 (Vhp)	岩塊、礫及び火山灰 (巣状輝石斜方輝石風化母石英角閃石ディサイト。 かんらん石英斜方輝石斜方輝石風化母石英角閃石安山岩)
白馬大池火山噴出物	Ve
白馬大池火山噴出物 (Ve)	かんらん石英斜方輝石斜方輝石風化母石英角閃石安山岩 火山灰岩
蘿原山溶岩	Vg
蘿原山溶岩 (Vg)	かんらん石英斜方輝石斜方輝石風化母石英角閃石安山岩 火山灰岩
乗沢溶岩	Vnz
乗沢溶岩 (Vnz)	かんらん石英斜方輝石斜方輝石風化母石英角閃石安山岩 火山灰岩を伴う Olivine-orthopyroxene-clinopyroxene andesite lava with volcanics

長森ほか(2010)

風吹岳火碎流堆積物	
新期噴出物	Younger-stage products
白馬大池火山噴出物	Shirogane-Oike Volcanic Products
白馬大池火山噴出物 (Vhp)	風吹岳火碎流堆積物 Kazufukidake Pyroclastic Flow Deposits 岩塊、礫及び火成岩(普通輝石風化母石英角閃石ディサイト。 かんらん石英斜方輝石斜方輝石風化母石英角閃石安山岩)
新期噴出物 (Vid)	風吹岳溶岩 Kazufukidake Lava かんらん石英斜方輝石斜方輝石風化母石英角閃石安山岩 火山灰岩
新期噴出物 (Vrd)	蘿原山溶岩 Gamaharayama Lava かんらん石英斜方輝石斜方輝石風化母石英角閃石安山岩 火山灰岩
新期噴出物 (Vg)	乗沢溶岩 Norikurazawa Lava かんらん石英斜方輝石斜方輝石風化母石英角閃石安山岩 火山灰岩
新期噴出物 (Vnz)	乗沢溶岩 (Vnz) かんらん石英斜方輝石斜方輝石風化母石英角閃石安山岩 火山灰岩を伴う Olivine-orthopyroxene-clinopyroxene andesite lava with volcanics
旧期噴出物	Older-stage products
白馬大池火山噴出物	Hedayama-Jobu Lava
白馬大池火山噴出物 (Vhp)	かんらん石英斜方輝石斜方輝石風化母石英角閃石安山岩 火山灰岩
白馬大池火山噴出物 (Vid)	かんらん石英斜方輝石斜方輝石風化母石英角閃石安山岩 火山灰岩
白馬大池火山噴出物 (Vrd)	かんらん石英斜方輝石斜方輝石風化母石英角閃石安山岩 火山灰岩
白馬大池火山噴出物 (Vg)	かんらん石英斜方輝石斜方輝石風化母石英角閃石安山岩 火山灰岩
白馬大池火山噴出物 (Vnz)	かんらん石英斜方輝石斜方輝石風化母石英角閃石安山岩 火山灰岩を伴う Olivine-orthopyroxene-clinopyroxene andesite lava with volcanics
白馬大池火山噴出物 (Vhe)	かんらん石英斜方輝石斜方輝石風化母石英角閃石安山岩 火山灰岩
白馬大池火山噴出物 (Vhs)	かんらん石英斜方輝石斜方輝石風化母石英角閃石安山岩 火山灰岩

中野ほか(2002)

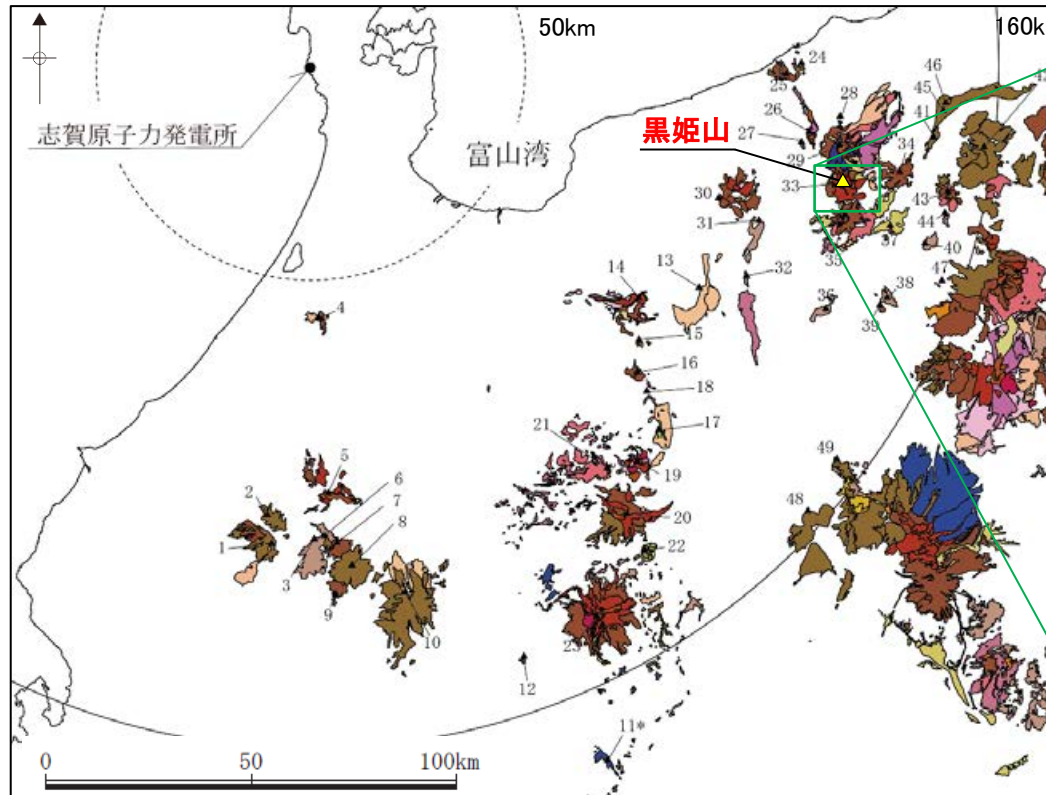


白馬大池の地質図
(上図:長森ほか(2010), 下図:中野ほか(2002)に一部加筆)

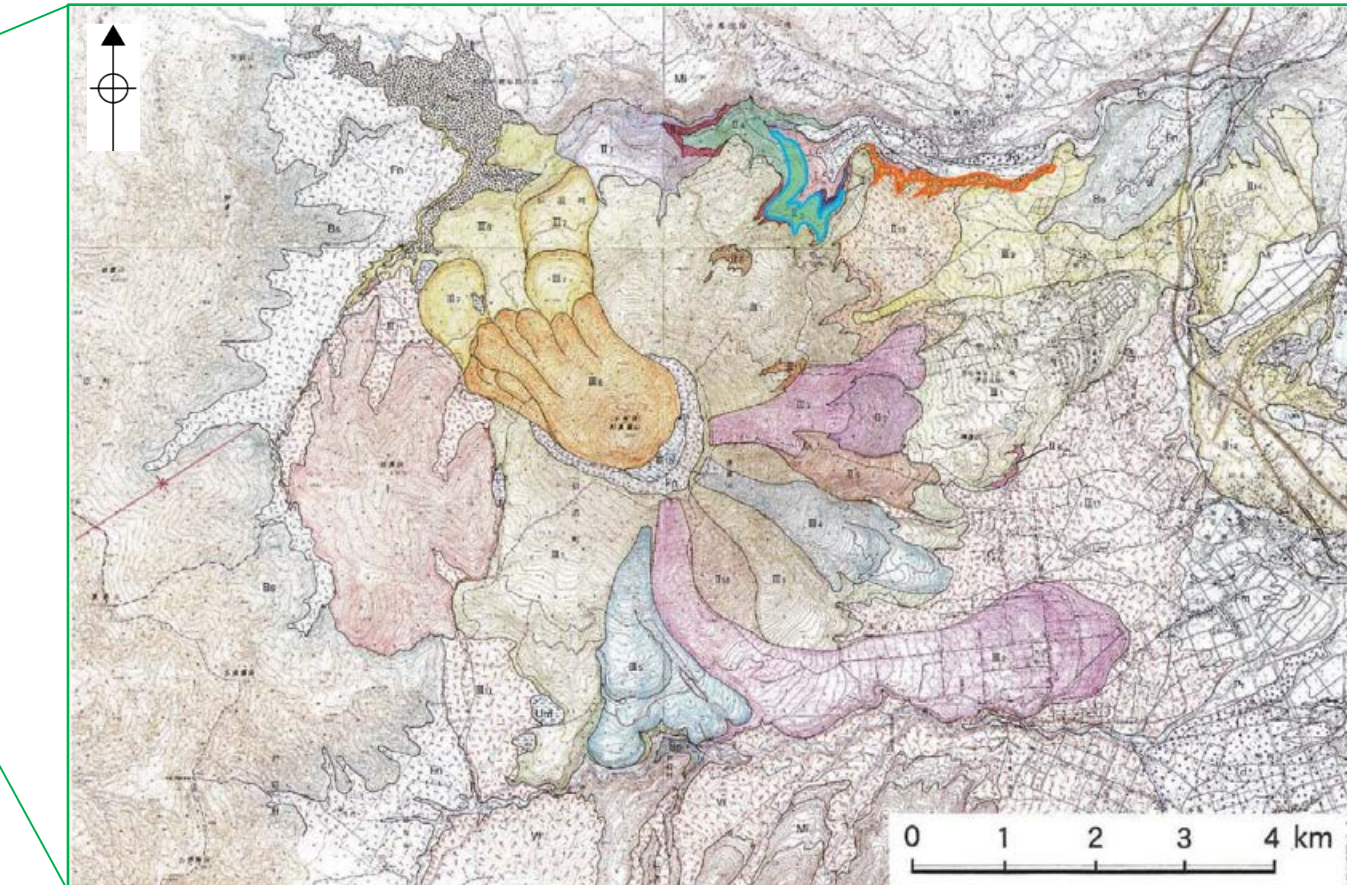
2.1 火碎物密度流に関する評価 –33. 黒姫山–

○早津(2008)によると、黒姫山における火碎流堆積物の分布は黒姫山周辺に限られている。

○この分布から想定される火碎物密度流の最大到達距離が敷地から黒姫山までの距離(128km)に比べて十分小さいことから、過去最大規模の噴火においても敷地に到達せず、火碎物密度流が発電所に影響を及ぼす可能性は十分小さいと評価した。



火山地質図
(地質調査総合センター編(2021a, 2023)に基づき作成)



III 11	火山扇状地堆積物 Volcanic fan deposits	高沢火碎流堆積物 Takasawa Pyroclastic Flow Deposit	その他 Others
III 10	カルデラ湖堆積物 Caldera Lake Deposit	1559m峰溶岩層 1559m-ridge Lava Series	現河床堆積物および谷底平野堆積物 Present river deposits and Valley bottom plain deposit
III 9	駒爪岩屑なだれ堆積物 Komazume Debris-avalanche Deposit	天狗岩溶岩層 Tenguwa Lava Series	未区分湿地堆積物 Unclassified marsh deposits
III 8	小黒蛇岩流 Kokurohime Lava Flow	七曲坂溶岩層 Nanannagatake Lava Series	段丘堆積物 Terrace deposits
III 7	单羅山溶岩流 Sutakayama Lava Flow	御鹿山溶岩層 Oshikayama Lava Series	扇状地および扇根堆積物 Fan deposits and Colluvial deposits
III 6	なべわり川岩屑なだれ堆積物 Nabewarigawa Debris-avalanche Deposit	関川溶岩層 Seikigawa Lava Series	火山扇状地堆積物 Volcanic fan deposits
III 5	唐沢溶岩流 Karasawa Lava Flow	一郎沢溶岩流 Ichirozawa Lava Flow	古間湖成層 Furuma Lake Deposit
III 4	長水溶岩流 Choushu Lava Flow	駒ヶ瀬溶岩層 Komagatake Scoria Layer	西野火碎岩層 Nishino Pyroclastic Rock Series
III 3	見返り坂溶岩流 Mikuerizaka Lava Flow	苗名溶岩層 Naenataki Lava Series	妙高火山岩類および飯綱火山岩類 Myoko volcanic rocks and Iwate volcanic rocks
III 2	長原溶岩流 Nagahara Lava Flow	西沢火碎流堆積物 Nishizawa Pyroclastic Flow Deposit	基盤岩類 Basement rocks
III 1	牛臥山溶岩層および古池溶岩層 Ushibuseyama Lava Series and Furukike Lava Series	へそ山溶岩層 Hesoyama Lava Series	断層 Fault
II 14	野尻岩屑なだれ堆積物 Nofuri Debris-avalanche Deposit	山桑山溶岩層 Yamasakuyama Lava Series	向斜 Syncline
II 13	高沢スコリア層 Takasawa Scoria Layer	佐渡山火山岩類 Sadoyama Volcanic Rocks	

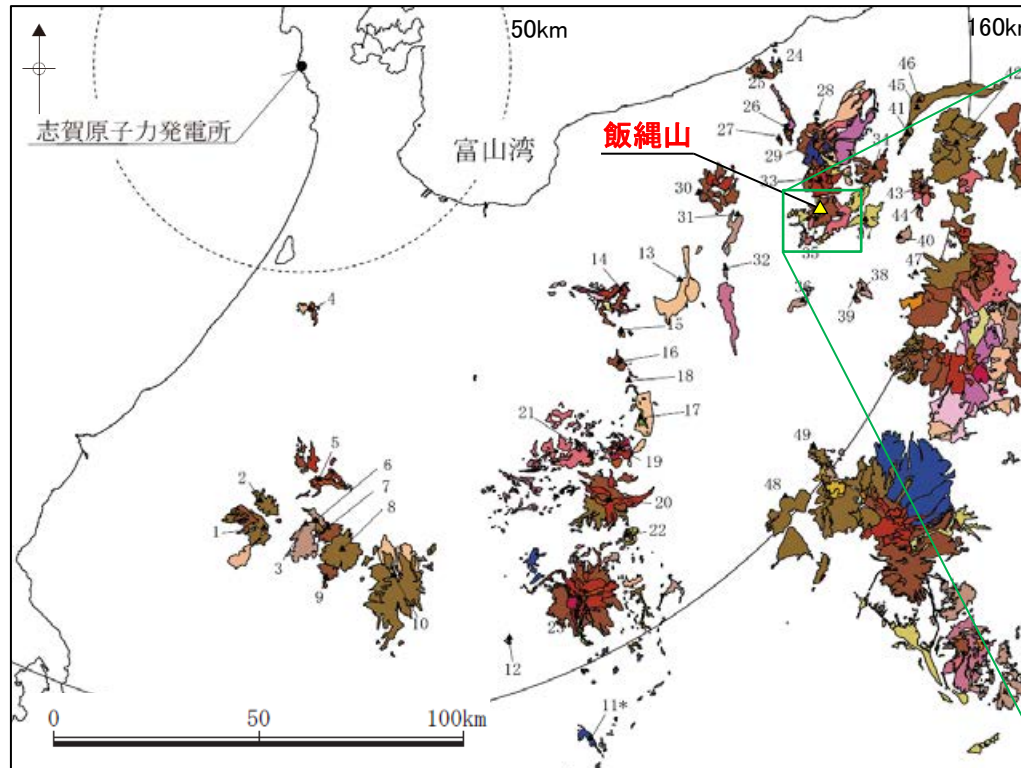
西沢火碎流堆積物

黒姫山の地質図
(早津(2008)に一部加筆)

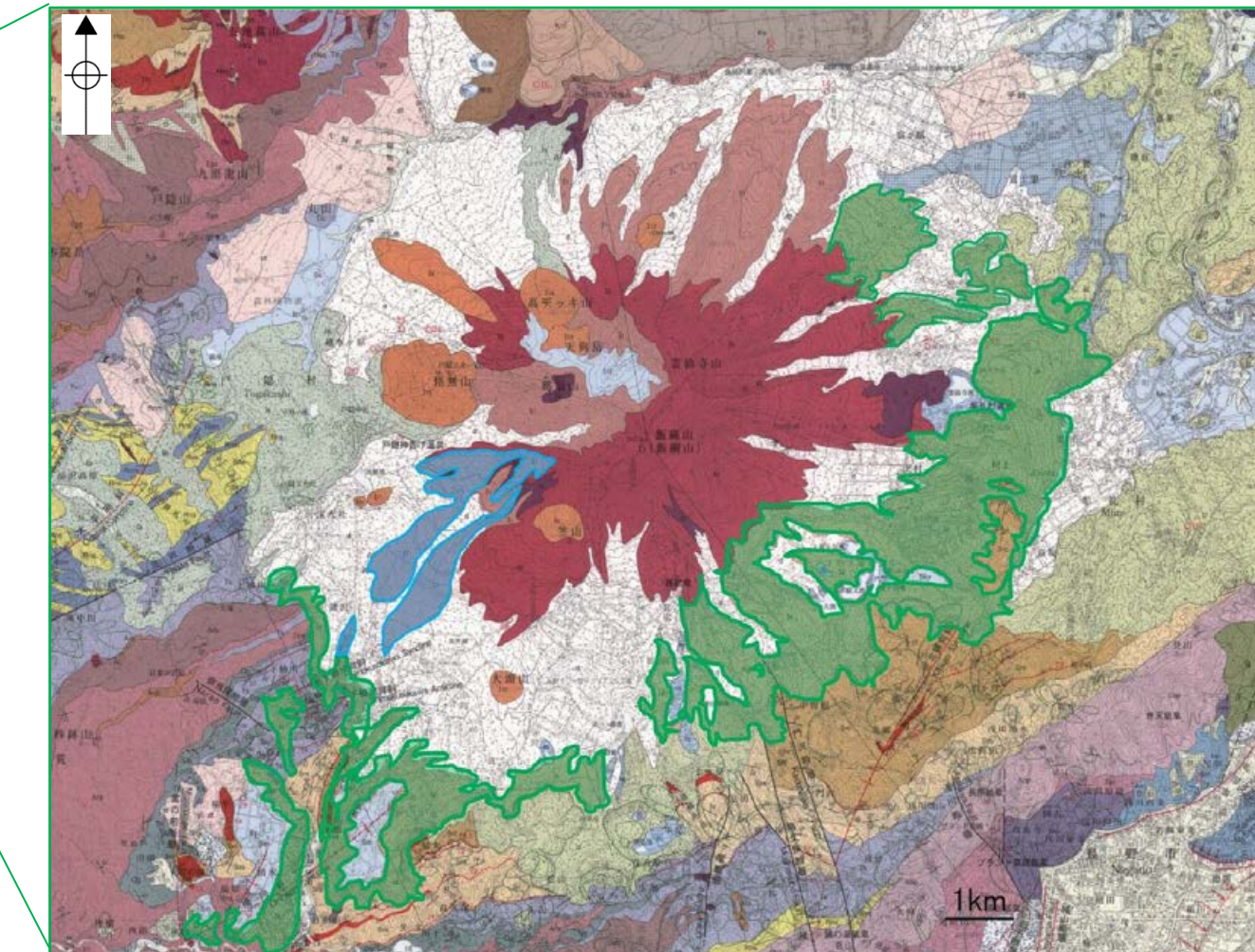
2.1 火碎物密度流に関する評価 —35. 飯縄山—

○長森ほか(2003)によると、飯縄山における火碎流堆積物の分布は飯縄山周辺に限られている。

○この分布から想定される火碎物密度流の最大到達距離が敷地から飯縄山までの距離(130km)に比べて十分小さいことから、過去最大規模の噴火においても敷地に到達せず、火碎物密度流が発電所に影響を及ぼす可能性は十分小さいと評価した。



火山地質図
(地質調査総合センター編(2021a, 2023)に基づき作成)



第Ⅱ期
火山岩類

飯縄火山カルデラ湖沼堆積物	I17	泥炭質土壌・シルト
怪無山溶岩	I18	角閃石安山岩溶岩
高デッキ溶岩	I19	角閃石安山岩溶岩
天狗岳溶岩	I20	角閃石安山岩溶岩
1340m峰溶岩	I21	角閃石安山岩溶岩
富士見山溶岩	I22	角閃石安山岩溶岩
大瀬山溶岩	I23	角閃石安山岩溶岩
念佛池溶岩	I24	輝石安山岩溶岩

第Ⅱ期
火山岩類

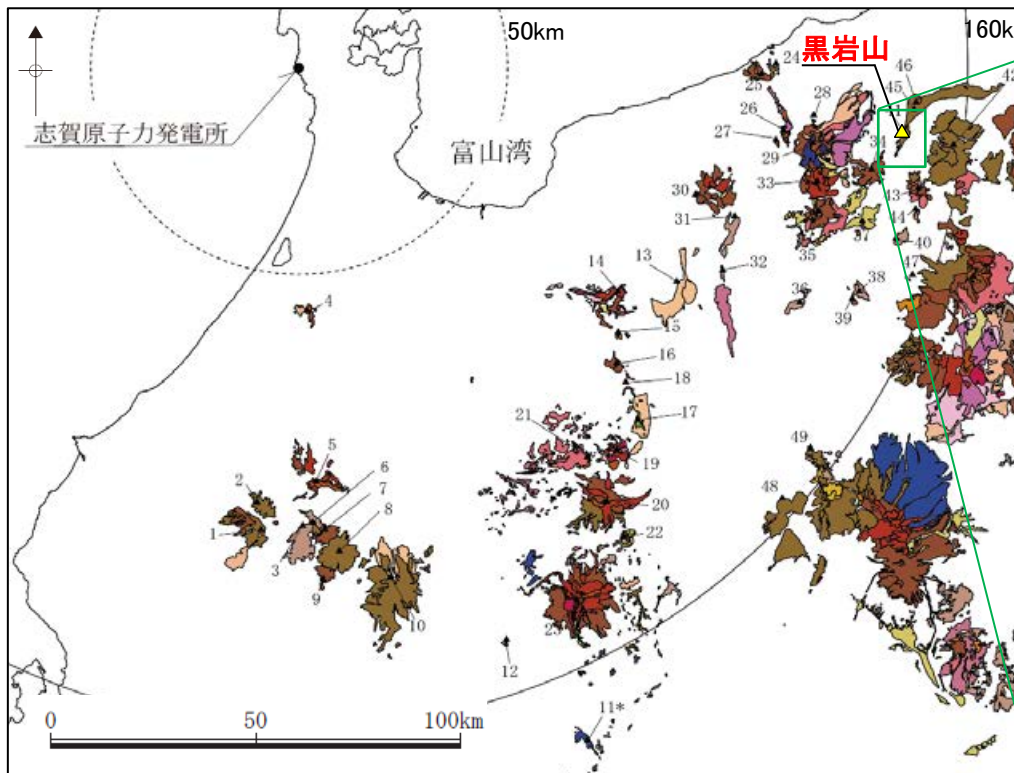
越水岩屑なだれ堆積物	I25	角隕及び火山灰
諸沢火碎流堆積物	I26	岩塊・礫及び火山灰(角閃石輝石安山岩)
荒山溶岩	I27	輝石安山岩溶岩
飯縄山溶岩	I28	輝石安山岩溶岩、火碎流堆積物、スコリア
飯縄火碎流堆積物	I29	岩塊・礫及び火山灰
飯縄玄武岩類	I30	玄武岩溶岩及び火碎岩
牟礼岩屑なだれ堆積物	I31	角隕及び火山灰
南岩及び火碎岩	I32	南岩及び火碎岩

飯縄山の地質図
(長森ほか(2003)に一部加筆)

2.1 火碎物密度流に関する評価 –41. 黒岩山–

○柳沢ほか(2001)によると、黒岩山における火碎岩を含む火山噴出物の分布範囲は黒岩山周辺に限られている。

○この分布から想定される火碎物密度流の最大到達距離が敷地から黒岩山までの距離(145km)に比べて十分小さいことから、過去最大規模の噴火においても敷地に到達せず、火碎物密度流が発電所に影響を及ぼす可能性は十分小さいと評価した。



火山地質図
(地質調査総合センター編(2021a, 2023)に基づき作成)



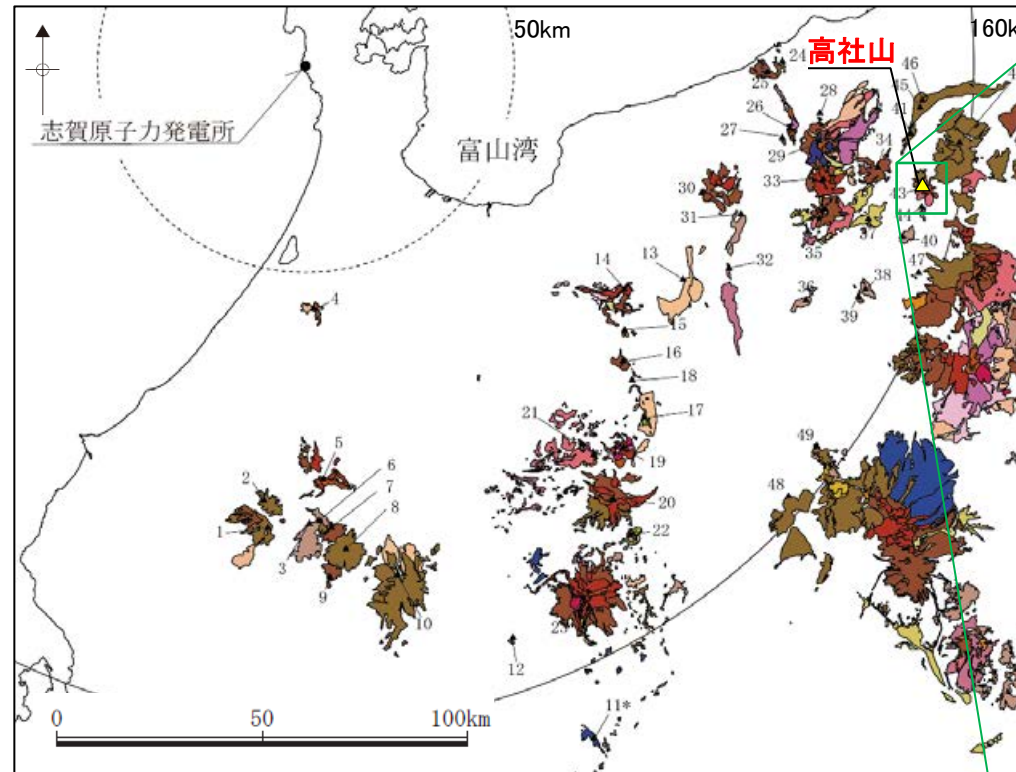
黒岩山火山岩類
Kuroiwayama Volcanic Rocks
黒岩山火山岩類(火碎岩を含む)
普通輝石紫蘇輝石安山岩溶岩, 普通輝石安山岩溶岩及び
火碎岩
Hypersthene-augite andesite lava, and augite
andesite lava and pyroclastic rocks

黒岩山の地質図
(柳沢ほか(2001)に一部加筆)

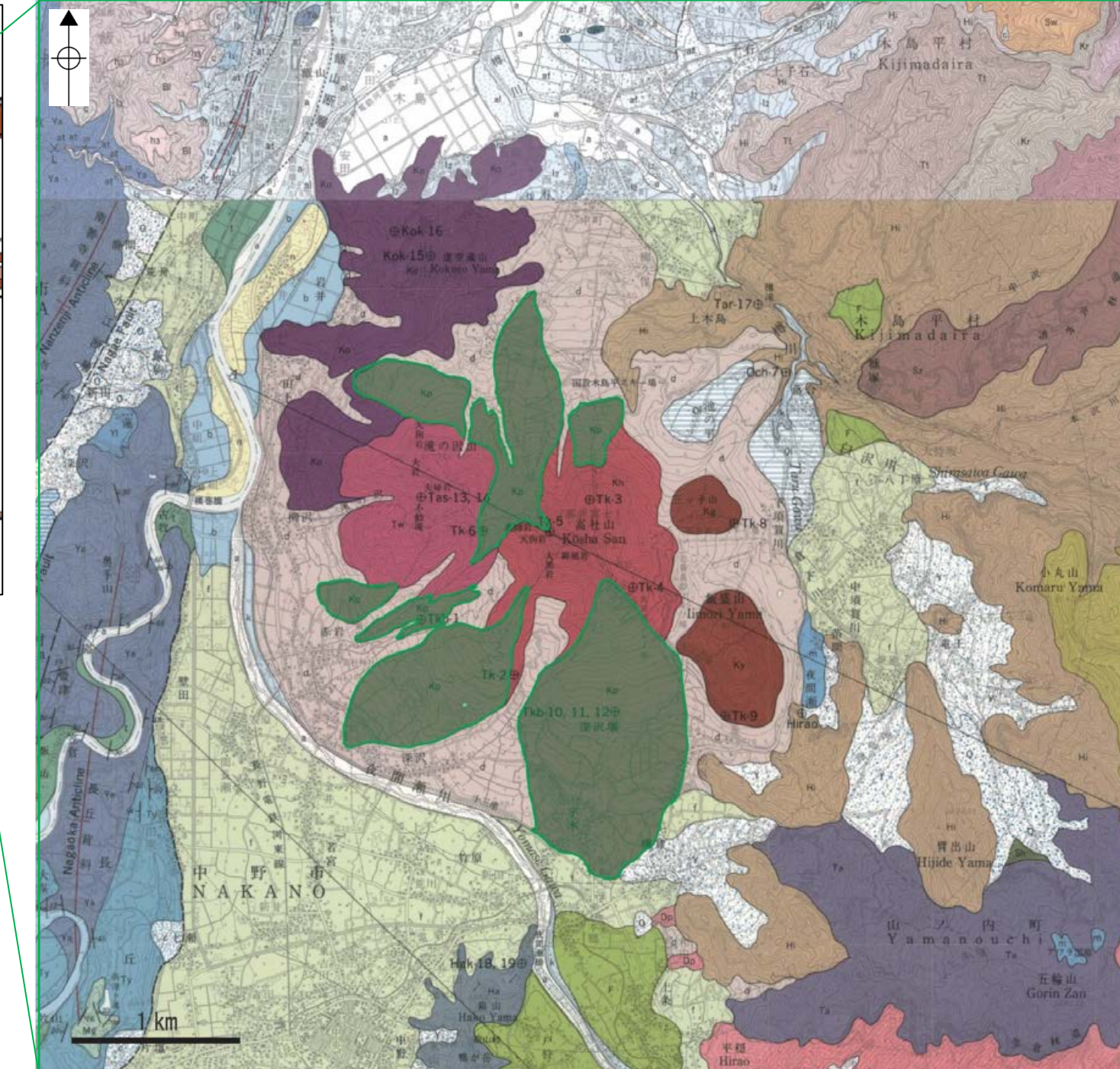
2.1 火碎物密度流に関する評価 –43. 高社山–

○赤羽ほか(1992)及び柳沢ほか(2001)によると、高社山における火碎流堆積物の分布は高社山周辺に限られている。

○この分布から想定される火碎物密度流の最大到達距離が敷地から高社山までの距離(152km)に比べて十分に離れていることから、過去最大規模の噴火においても敷地に到達せず、火碎物密度流が発電所に影響を及ぼす可能性は十分小さいと評価した。



火山地質図
(地質調査総合センター編(2021a, 2023)に基づき作成)



高社山の地質図

(上図:柳沢ほか(2001), 下図:赤羽ほか(1992)に一部加筆)

高社石質 火碎流堆積物	
飯盛山溶岩 Imoriyama Lava	Ky 輝石普通角閃石安山岩溶岩 Pyroxene-hornblende andesite lava
高社軽石流堆積物 Kōsha Pumice Flow Deposits	兼 軽石流堆積物(地図には省略) Pumice flow deposits (Not shown in this map)
三ッ子山溶岩 Mitsugoyama Lava	Kg 輝石安山岩溶岩 Pyroxene andesite lava
高社石質火碎流堆積物 Kōsha Pyroclastic Flow Deposits	Kp 火山岩片及び火山灰 Volcanic blocks and volcanic ash
高社主火山体溶岩 Kōsha Main Body Lava	Kh 輝石安山岩溶岩 Pyroxene andesite lava
滝の沢火山岩類 Takinosawa Volcanic Rocks	Tw 輝石安山岩溶岩及び火碎岩 Pyroxene andesite lava and pyroclastic rocks
虚空藏火山岩類 Kokuzō Volcanic Rocks	Ko 輝石安山岩溶岩及び火碎岩 Pyroxene andesite lava and pyroclastic rocks

赤羽ほか(1992)

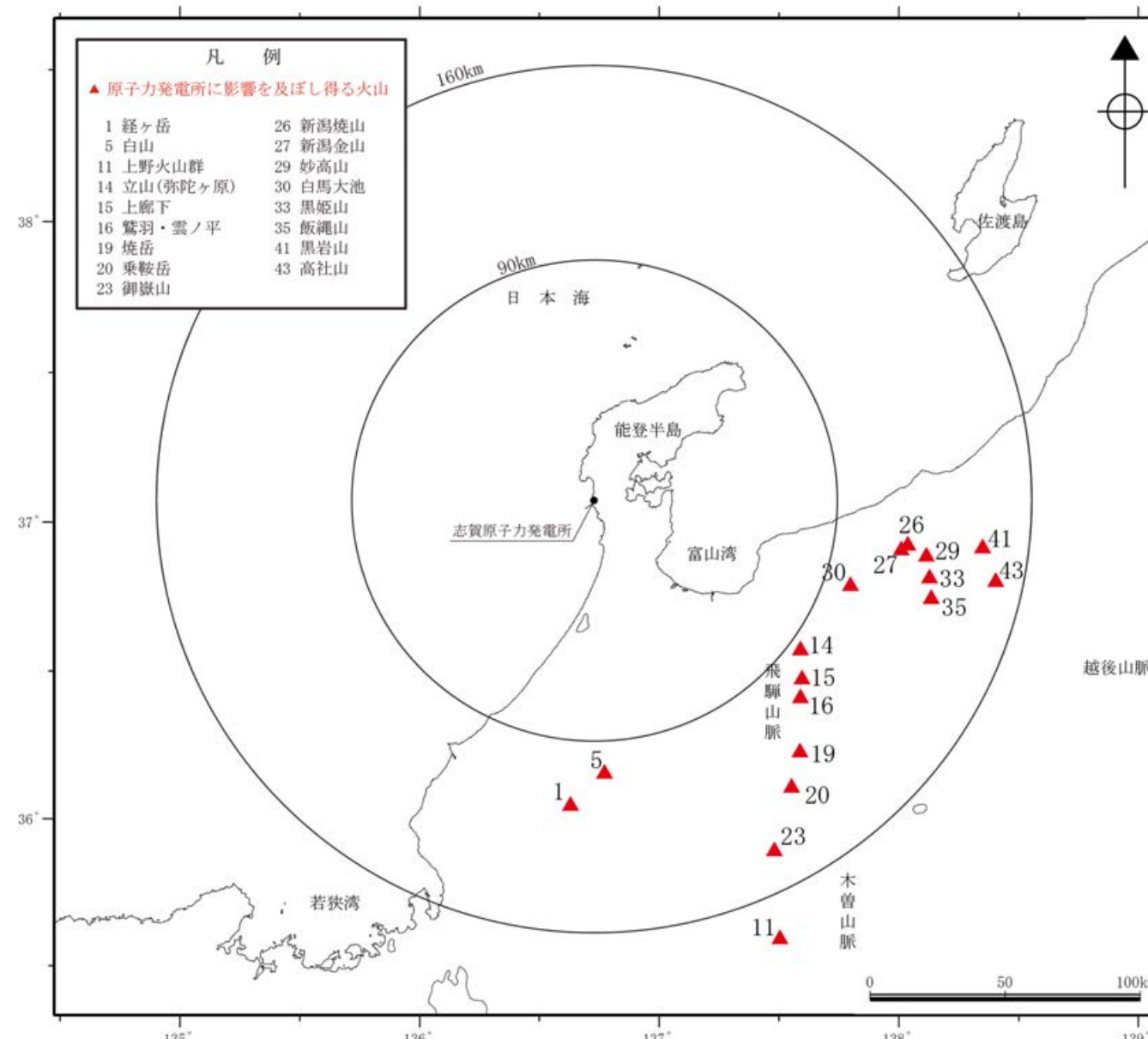
2.2 新しい火口の開口及び地殻変動に関する評価

○新しい火口の開口及び地殻変動については、原子力発電所に影響を及ぼし得る火山の敷地からの距離※及び敷地周辺の地下構造(地震波速度構造、地熱活動及び深部低周波地震の震源分布)から、検討を行った。文献調査等による整理結果は、以下のとおり。

- ・敷地からの距離: 原子力発電所に影響を及ぼし得る17火山は、いずれも敷地から90km以遠に位置する(下図)。
- ・敷地周辺の地震波速度構造: 敷地周辺(半径30kmの範囲)の地震波速度構造について、地下深部から鉛直方向に連続する低速度域は認められない(次頁)。
- ・敷地周辺の地熱活動: 敷地周辺(半径30kmの範囲)では、第四紀火山に関連した地熱活動は認められない(次々頁)。
- ・敷地周辺の深部低周波地震: 敷地周辺(半径30kmの範囲)では、深部低周波地震は認められない(P.49, 50)

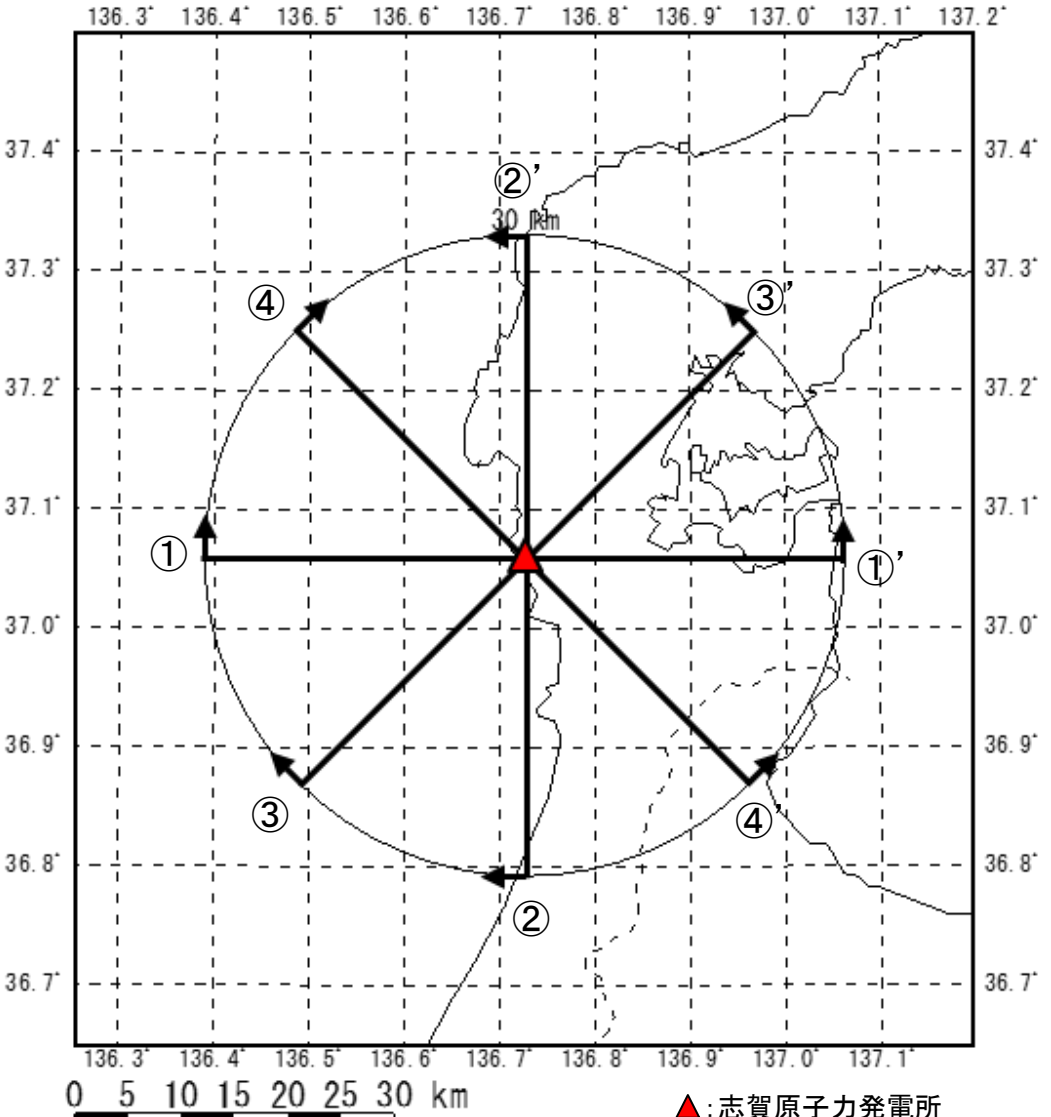
○以上より、新しい火口の開口及び地殻変動が発電所に影響を及ぼす可能性は十分小さいと評価した。

※原子力発電所の火山影響評価ガイドによると、新たな火口が開口した過去の事例では、ほとんどの火山では新たな火口の開口は火山の噴出中心から半径20kmの範囲にとどまっているとされている。

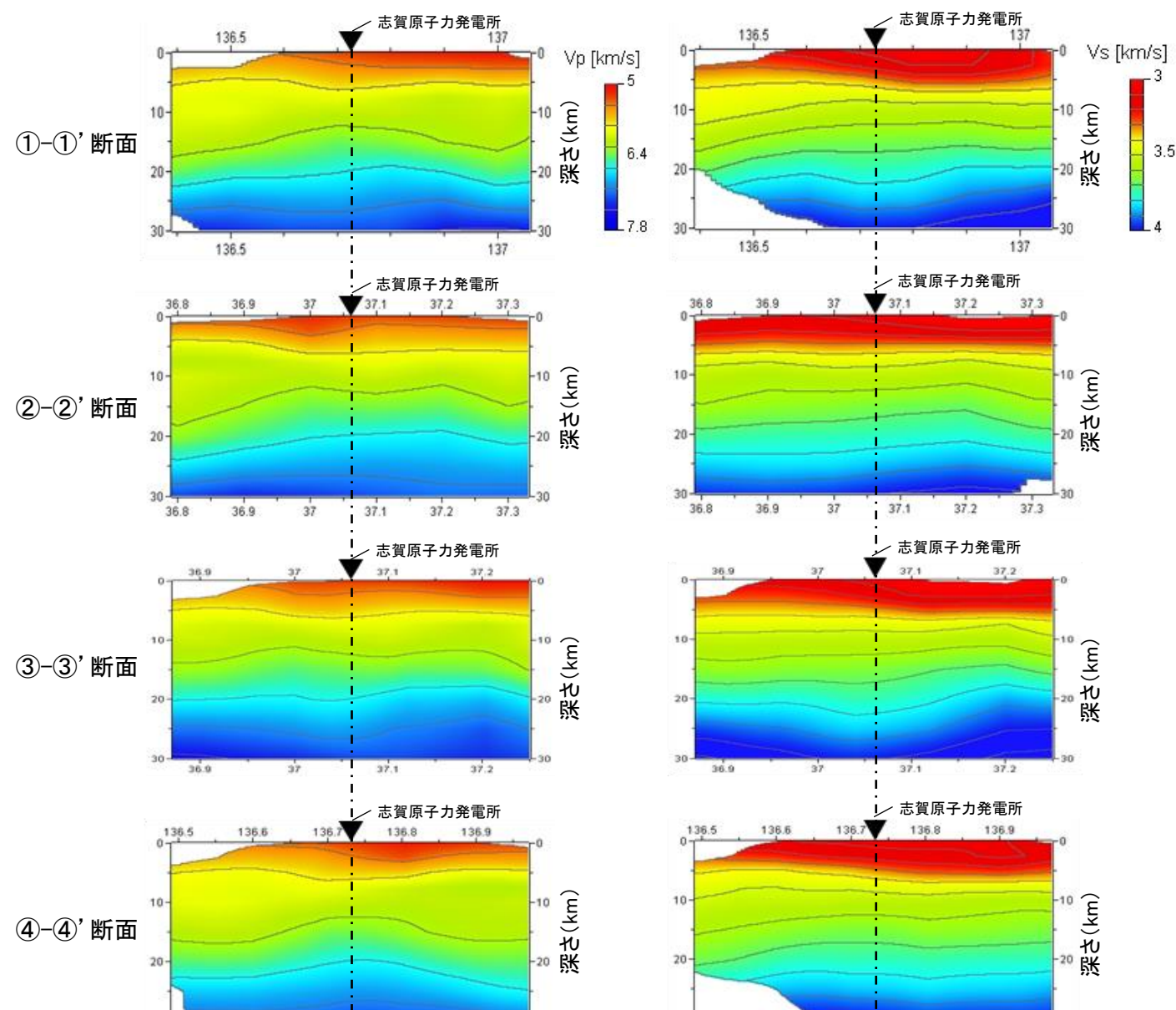


【敷地周辺の地震波速度構造】

- Matsubara et al.(2022)は、防災科学技術研究所のHi-net(高感度地震観測網)やS-net(日本海溝海底地震津波観測網)のデータ等を含む地震波トモグラフィーにより、日本海と太平洋を含む日本列島周辺の三次元地震波速度構造を評価している。
- また、防災科学技術研究所は、Matsubara et al.(2022)による三次元速度構造から、地図上で深さや位置を任意に指定して、速度構造断面を表示することが可能なソフトウェア(日本列島三次元地震波速度構造表示ソフトウェア)を公開している。https://www.hinet.bosai.go.jp/topics/sokudo_kozo/software.php
- 上記ソフトウェアを用い、Matsubara et al.(2022)による敷地周辺(半径30kmの範囲)の4方向の地震波速度構造断面を確認した。
- 敷地周辺の地震波速度構造について、いずれの断面においても地下深部から敷地に向かって鉛直方向に連続する低速度域は認められない(右下図)。



地震波速度構造断面位置



P波速度構造断面

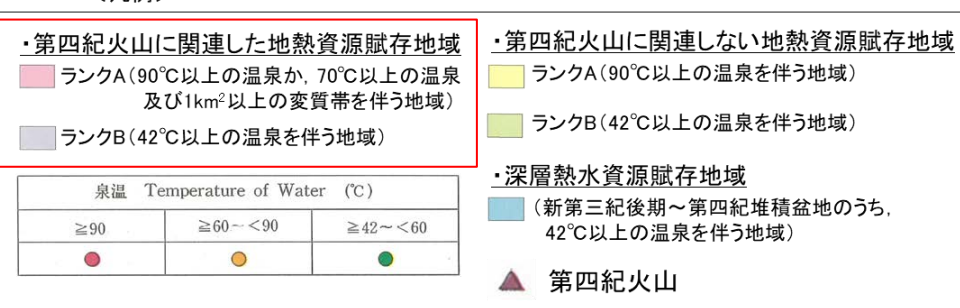
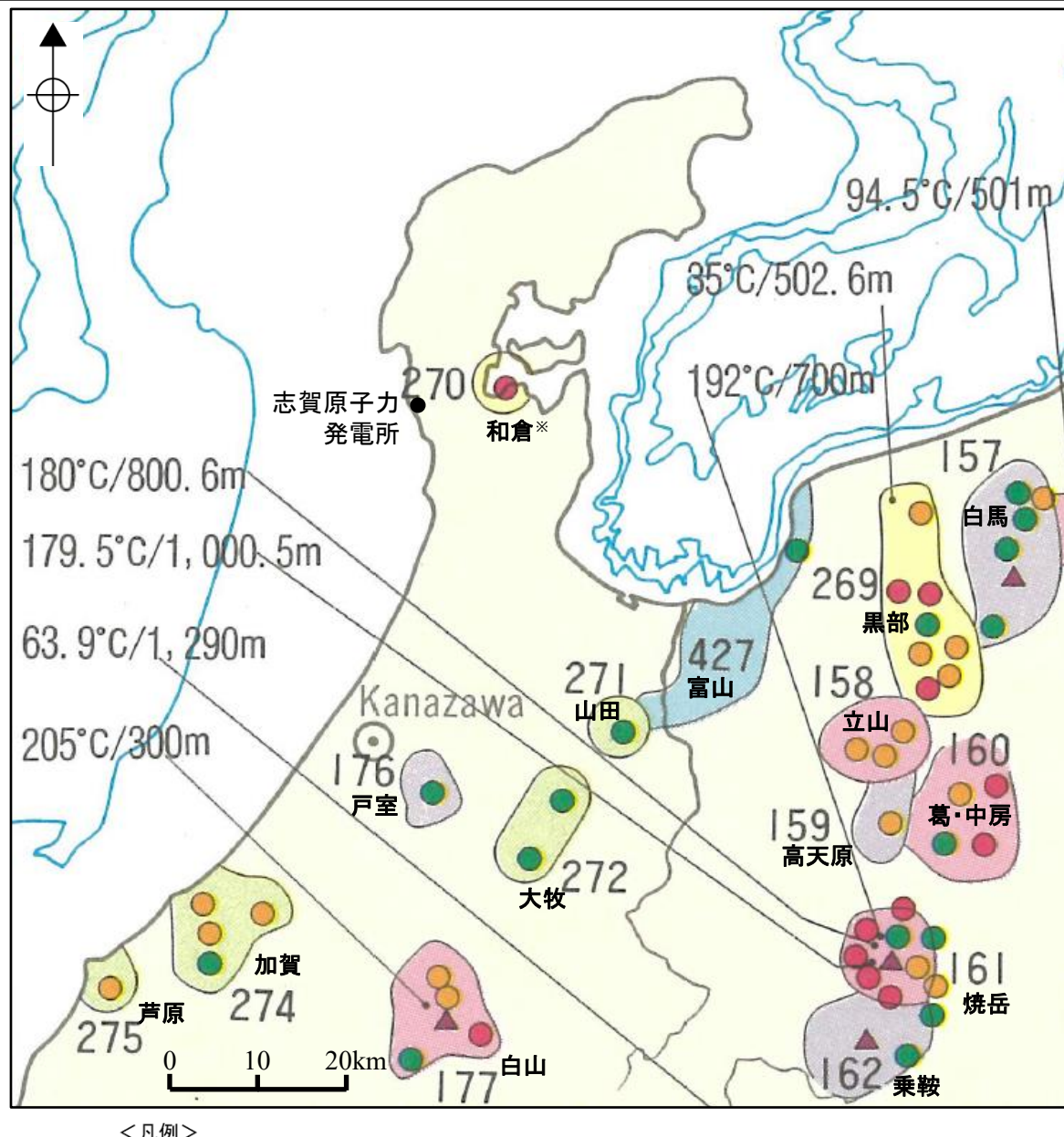
S波速度構造断面

敷地周辺の地震波速度構造断面
(Matsubara et al.(2022)に基づき作成)

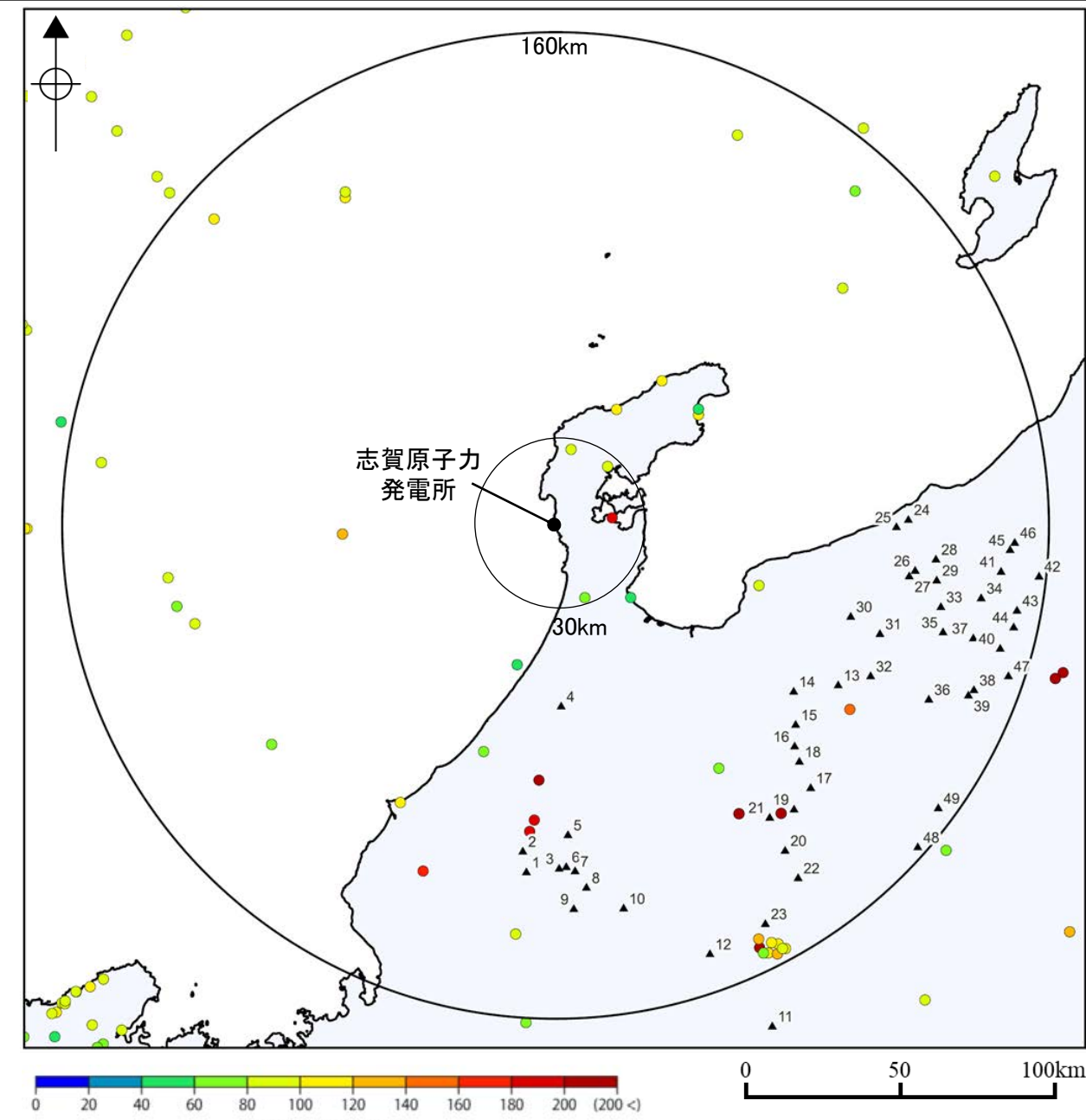
【敷地周辺の地熱活動】

○地質調査所編(1992)によると、能登半島では、第四紀火山に関連した地熱活動は認められない(左下図)。

○地質調査総合センター(2019)によると、地質調査所編(1992)において第四紀火山に関連しない地熱域とされる和倉を除き、敷地周辺(半径30kmの範囲)には大きな地殻熱流量は認められない(右下図)。



日本地熱資源図 (地質調査所編(1992)に一部加筆)

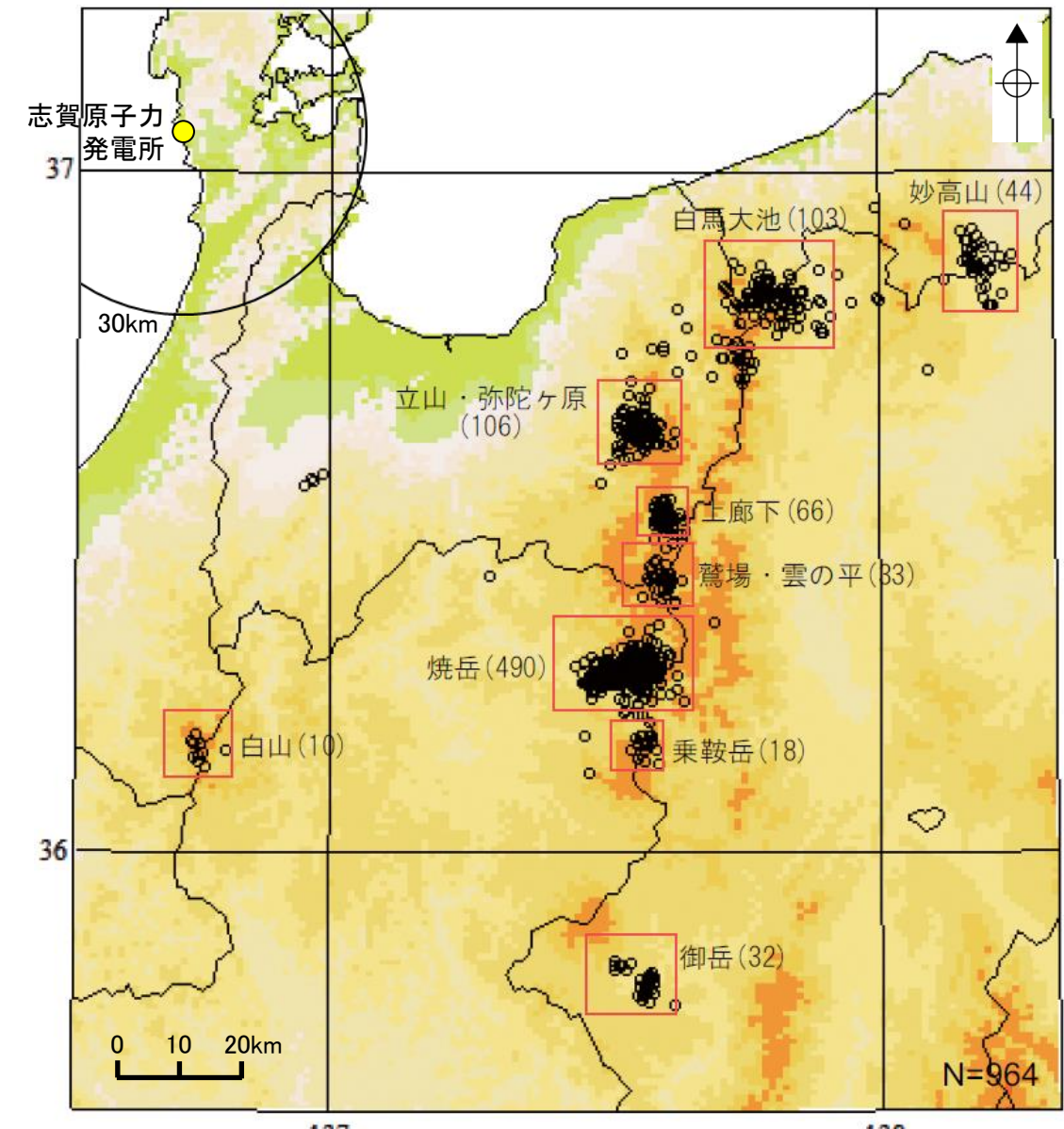
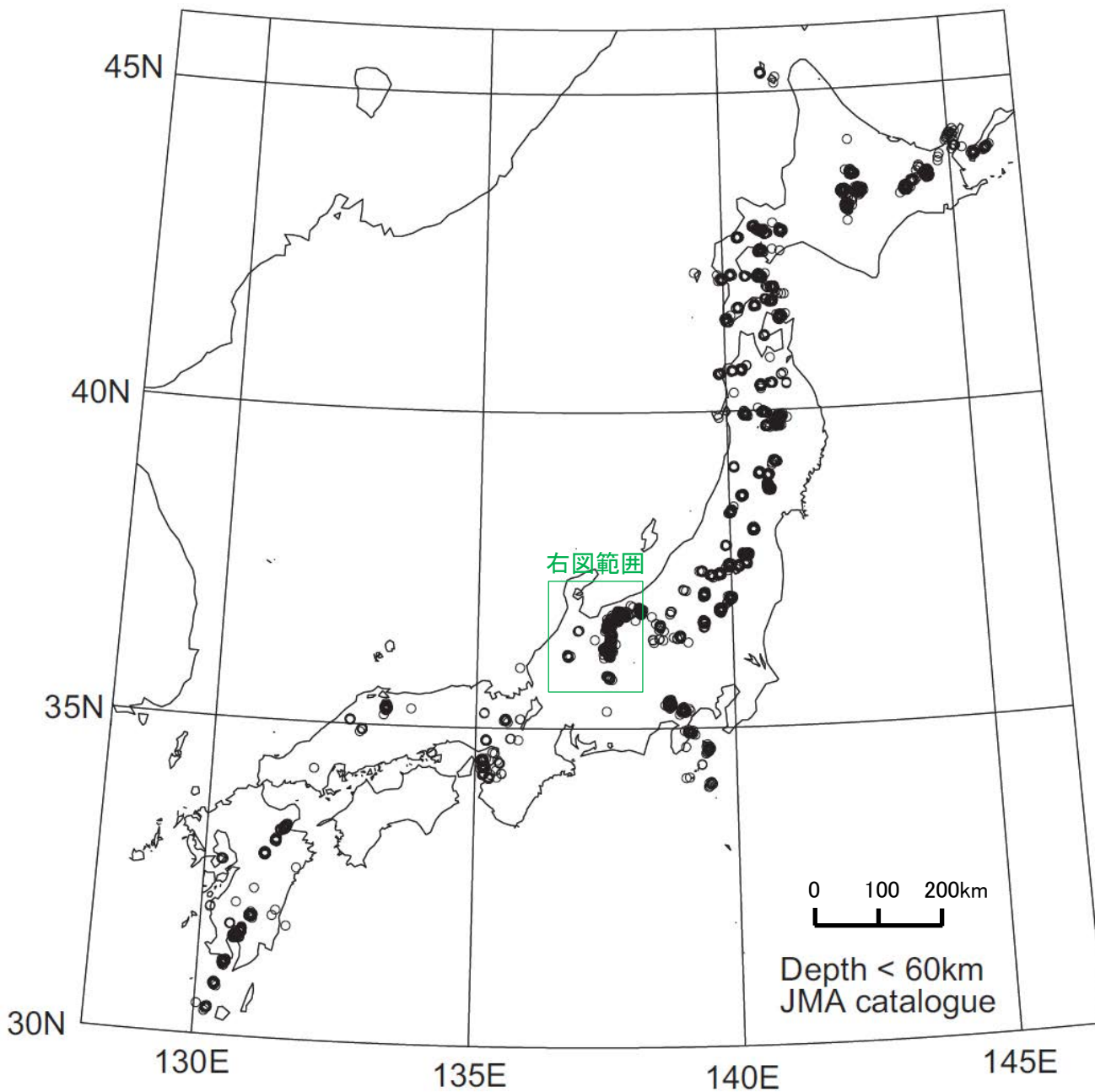


地殻熱流量分布図
(地質調査総合センター(2019)に一部加筆)

※敷地の約17km東方に位置する地熱域(和倉)について、地質調査所編(1992)では、第四紀火山に関連しない地熱とされている。Umeda et al.(2009)によると、和倉は、花崗岩中に含まれるU, Th, Kの放射壊変によって生じた熱によって温められた天水起源の地下水が、活構造帯等に規制され地表まで上昇したものとされている。

【敷地周辺の深部低周波地震①】

○高橋・宮村(2009)によると、1997年10月から2008年12月までの期間において、敷地周辺(半径30kmの範囲)では、マグマ等の上昇を示唆する深部低周波地震は認められない(右下図)。



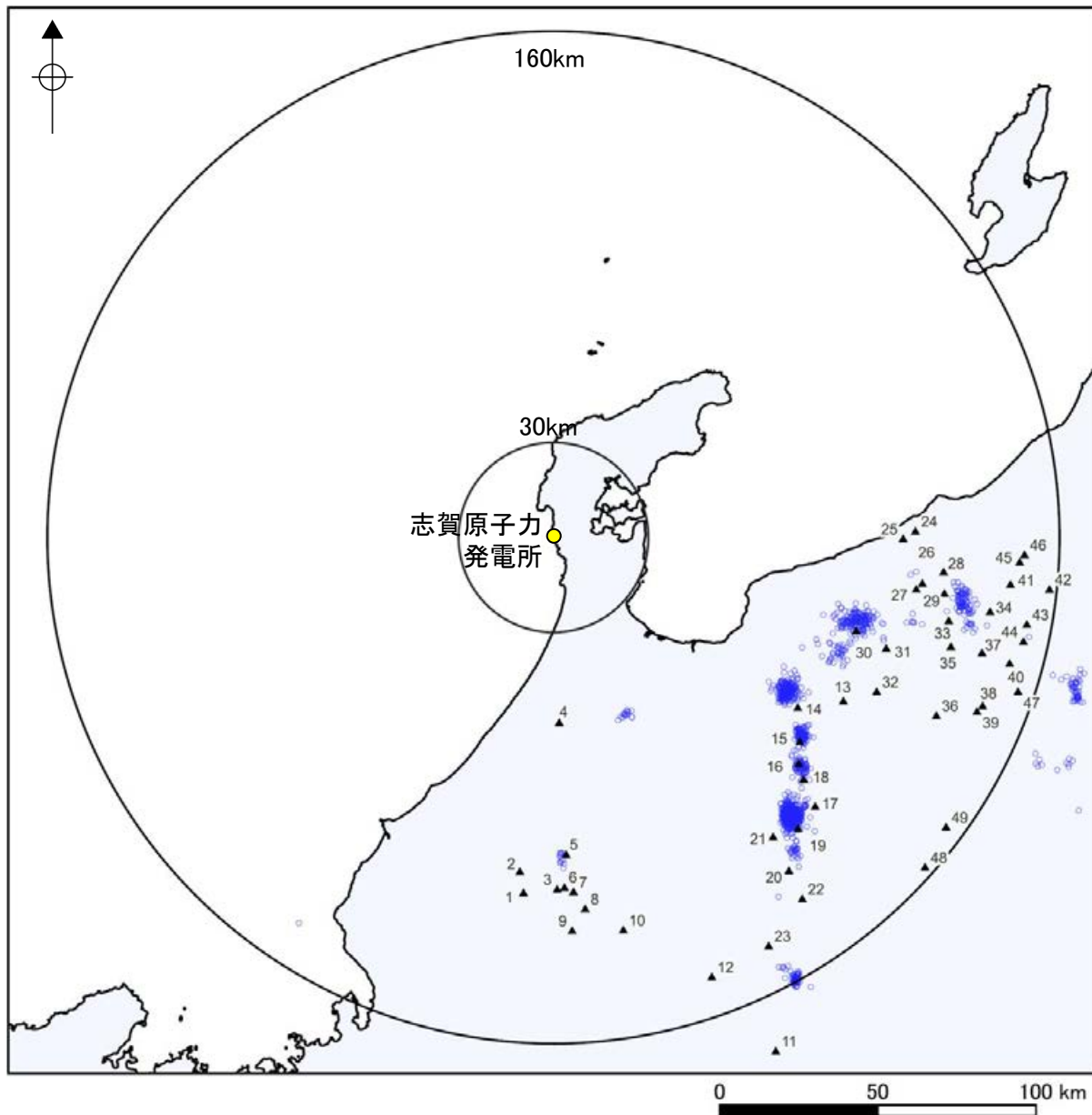
赤四角: 第四紀火山内もしくは周辺で発生している地震群(震央分布の中心から概ね10km以内に第四紀火山がある場合)
(気象庁一元化震源データ: 1997年10月1日~2008年12月15日)

【敷地周辺の深部低周波地震②】

○1997年10月から2022年9月までの気象庁による一元化震源データを用いて、深部低周波地震の震源分布図を作成した結果、敷地周辺（半径30kmの範囲）では、深部低周波地震は認められない（左下図）。

○また、令和6年能登半島地震の発生前後を含む、2022年10月から2024年5月までの気象庁一元化震源要素を用いて、深部低周波地震の震源分布図を作成した結果、発生状況に大きな変化は認められず、敷地周辺（半径30kmの範囲）では、深部低周波地震は認められない（右下図）。

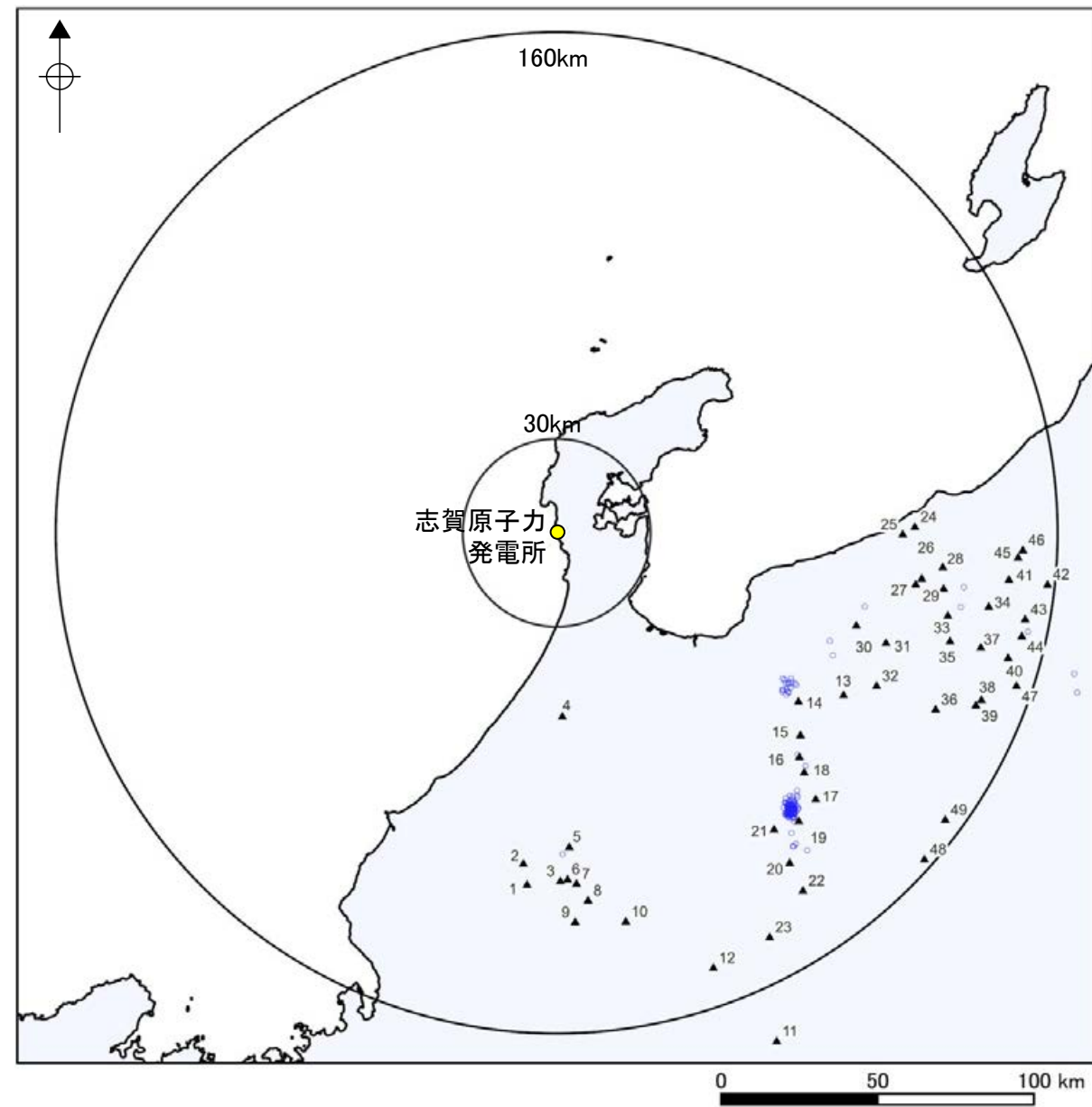
<1997年10月～2022年9月>



深部低周波地震の震源分布
(気象庁の一元化震源データを用いて当社作成)
・データ期間: 1997年10月1日～2022年9月30日

<凡例>
○: 深部低周波地震
▲: 地理的領域内の第四紀火山
(対応する火山名の詳細はP.18)

<2022年10月～2024年5月>



深部低周波地震の震源分布
(防災科学技術研究所の気象庁一元化震源要素を用いて当社作成)
・データ期間: 2022年10月1日～2024年5月31日

2.3 設計対応不可能な火山事象の個別評価まとめ

○原子力発電所に影響を及ぼし得る17火山について、敷地からの距離等から、設計対応不可能な火山事象が発電所に影響を及ぼす可能性は十分小さいと評価した。

○また、各火山の過去最大規模の噴火を考慮しても、第四紀に設計対応不可能な火山事象が敷地に到達した可能性は十分小さく、モニタリング不要と評価した。

<設計対応不可能な火山事象の個別評価結果>

火山名	敷地から の距離 (km)	設計対応不可能な火山事象				
		火碎物密度流		溶岩流	岩屑なだれ、地すべり 及び斜面崩壊	新しい火口の開口
		0~160km	0~50km			
1 経ヶ岳	113	○	火碎流堆積物は、経ヶ岳周辺に限られる。			
5 白山	101	○	火碎流堆積物を含む火山噴出物は、白山周辺に限られる。			
11 上野火山群	177	○	噴出物は溶岩流が主体であり、火碎物密度流の発生実績は認められない。			
14 立山(弥陀ヶ原)	94	○	火碎流堆積物は、立山(弥陀ヶ原)周辺に限られる。			
15 上廊下	101	○	火碎岩を含む火山噴出物は、上廊下周辺に限られる。			
16 鶯羽・雲ノ平	106	○	火碎流堆積物を含む火山噴出物は、鶯羽・雲ノ平周辺に限られる。			
19 焼岳	120	○	火碎流堆積物は、焼岳周辺に限られる。			
20 乗鞍岳	129	○	火碎流堆積物は、乗鞍岳周辺に限られる。			
23 御嶽山	146	○	火碎流堆積物を含む火山噴出物は、御嶽山周辺に限られる。			
26 新潟焼山	118	○	火碎流堆積物は、新潟焼山周辺に限られる。			
27 新潟金山	116	○	火碎岩を含む火山噴出物は、新潟金山周辺に限られる。			
29 妙高山	125	○	火碎流堆積物は、妙高山周辺に限られる。			
30 白馬大池	100	○	火碎流堆積物は、白馬大池周辺に限られる。			
33 黒姫山	128	○	火碎流堆積物は、黒姫山周辺に限られる。			
35 飯縄山	130	○	火碎流堆積物は、飯縄山周辺に限られる。			
41 黒岩山	145	○	火碎岩を含む火山噴出物は、黒岩山周辺に限られる。			
43 高社山	152	○	火碎流堆積物は、高社山周辺に限られる。			

○:発電所に影響を及ぼす可能性は十分小さい。

3. 火山事象の影響評価

3.1 降下火碎物の影響評価

3.1.1 文献・地質調査に基づく評価

3.1.1.1 降下火碎物に関する文献・地質調査

- (1) 文献調査(等層厚線図)
- (2) 文献調査(地質調査結果)
- (3) 降下火碎物に関する当社地質調査
- (4) 調査結果まとめ

3.1.1.2 紙源火山における同規模噴火の可能性の検討

3.1.1.3 評価まとめ

3.1.2 降下火碎物シミュレーションによる評価

3.1.2.1 シミュレーションを実施する降下火碎物の選定

- (1) 分布実績に基づく降下火碎物の選定
- (2) 地理的領域内の火山による降下火碎物の選定
- (3) 地理的領域外の火山による降下火碎物の選定
- (4) 選定結果まとめ

3.1.2.2 降下火碎物シミュレーション

- (1) 白山(南竜火山灰)
- (2) 立山(立山DテフラA, Cユニット)
- (3) 御嶽山(御嶽伊那テフラ)
- (4) 鬱陵島(鬱陵隠岐テフラ)
- (5) 大山(大山生竹テフラ)

3.1.2.3 評価まとめ

3.1.3 降下火碎物の密度及び粒径

3.1.4 降下火碎物の影響評価まとめ

3.2 降下火碎物以外の火山事象の影響評価

3. 火山事象の影響評価

○本章では、立地評価の結果を踏まえて、設計対応が可能な火山事象について原子力発電所への影響評価を行った(降下火碎物に関する影響評価結果は3.1節、降下火碎物以外の火山事象に関する影響評価結果は3.2節)。

3. 原子力発電所に影響を及ぼし得る火山の抽出

調査方法
・文献調査、地形、地質調査、火山学的調査

①地理的領域(半径160Kmの範囲)に第四紀(約258万年前まで)火山があるか?

No

②完新世(約1万1,700年前まで)に活動があったか?

Yes

原子力発電所に影響を及ぼし得る火山

Yes

③将来の活動可能性が十分小さいか?

No

下記影響評価の(1)を実施

立地評価

4. 原子力発電所の運用期間における火山活動に関する個別評価

調査方法
文献調査、地形、地質調査、火山学的調査
地球物理学的及び地球化学的調査

設計対応が不可能な火山事象
・火碎物密度流・溶岩流
・岩屑なだれ、地滑り及び斜面崩壊
・新しい火口の開通・地殻変動

④(i)運用期間中の火山の活動可能性が十分小さいか?

Yes

④(ii)設計対応不可能な火山事象が運用期間中に原子力発電所に到達する可能性が十分小さいか?

Yes

No

立地不適

下記影響評価の(1)及び(2)を実施

下記モニタリングの要否を検討

5. 個別評価の結果を受けた原子力発電所への火山事象の影響評価

(1)地理的領域外の火山による降下火碎物の影響評価

調査方法
3.1節
火山事象
・降下火碎物
・文献調査
・地形、地質調査
・火山学的調査

(2)地理的領域内の火山による火山事象の影響評価

調査方法
3.1節
火山事象(設計対応が可能なもの)
・降下火碎物
3.2節
・火山性土石流
・噴石
・火山性ガス
・その他の事象(津波、静振)等

影響評価

⑤火山事象に対する設計対応及び運転対応が妥当か?

Yes

火山事象に対応可能

No

設計再検討

モニタリング

6. 火山影響評価の根拠が維持されていることを確認することを目的とした火山活動のモニタリング

第四紀に設計対応不可能な火山
事象が原子力発電所の敷地に到達した可能性があるか?

No

モニタリング不要

⑥火山活動のモニタリングの実施及びモニタリングにより観測データに有意な変化を把握した場合の対処方針を策定

3. 火山事象の影響評価

3.1 降下火碎物の影響評価

3.1.1 文献・地質調査に基づく評価

3.1.1.1 降下火碎物に関する文献・地質調査

- (1) 文献調査(等層厚線図)
- (2) 文献調査(地質調査結果)
- (3) 降下火碎物に関する当社地質調査
- (4) 調査結果まとめ

3.1.1.2 紙源火山における同規模噴火の可能性の検討

3.1.1.3 評価まとめ

3.1.2 降下火碎物シミュレーションによる評価

3.1.2.1 シミュレーションを実施する降下火碎物の選定

- (1) 分布実績に基づく降下火碎物の選定
- (2) 地理的領域内の火山による降下火碎物の選定
- (3) 地理的領域外の火山による降下火碎物の選定
- (4) 選定結果まとめ

3.1.2.2 降下火碎物シミュレーション

- (1) 白山(南竜火山灰)
- (2) 立山(立山DテフラA, Cユニット)
- (3) 御嶽山(御嶽伊那テフラ)
- (4) 鬱陵島(鬱陵隠岐テフラ)
- (5) 大山(大山生竹テフラ)

3.1.2.3 評価まとめ

3.1.3 降下火碎物の密度及び粒径

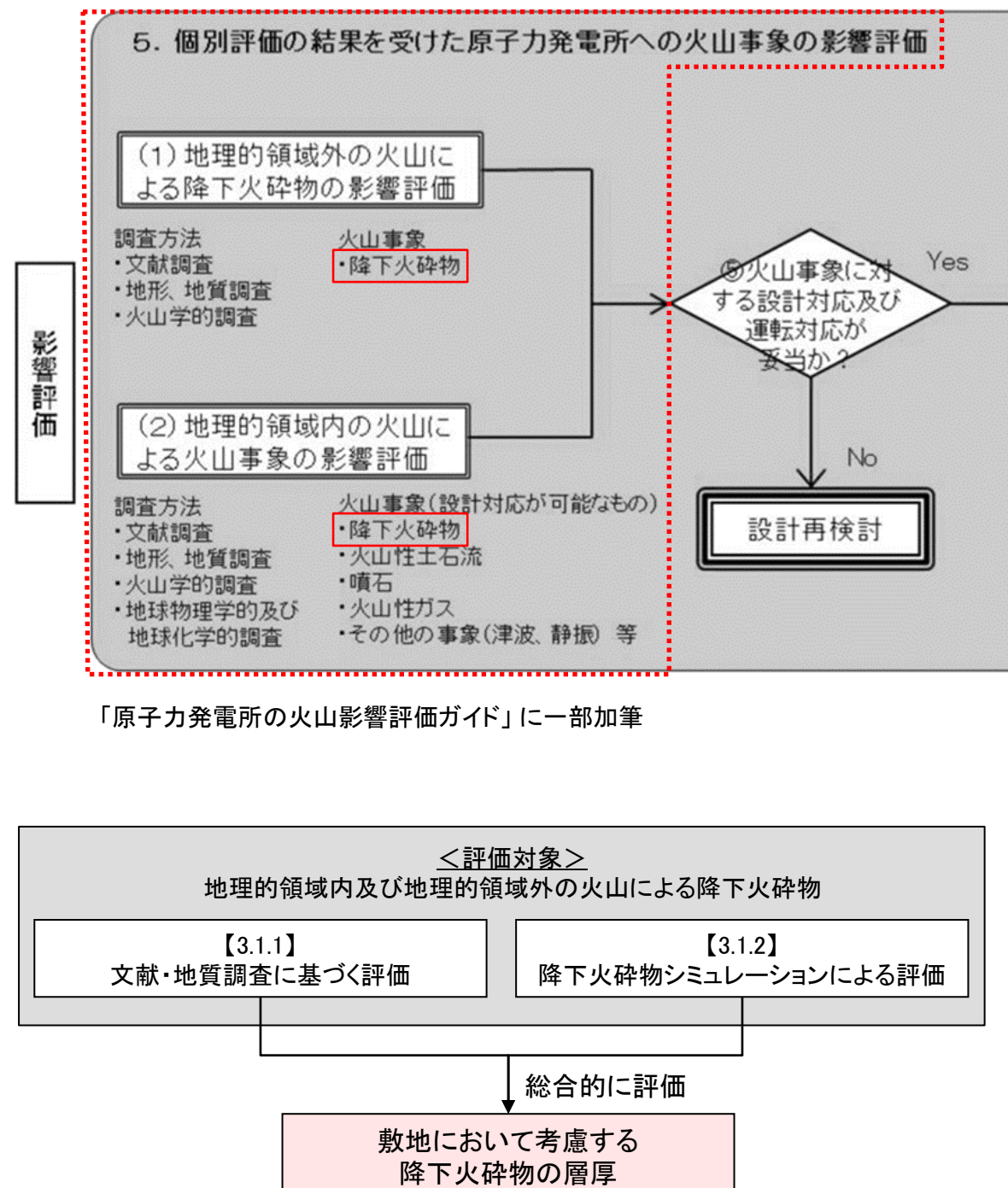
3.1.4 降下火碎物の影響評価まとめ

3.2 降下火碎物以外の火山事象の影響評価

3.1 降下火碎物の影響評価 —評価方法—

○志賀原子力発電所に影響を及ぼす可能性のある火山事象のうち降下火碎物について、地理的領域内の火山及び地理的領域外の火山を対象として影響評価を行う。

○敷地において考慮する降下火碎物の層厚の評価にあたっては、文献・地質調査結果(3.1.1項)及び降下火碎物シミュレーション結果(3.1.2項)から総合的に評価を行う。



敷地において考慮する降下火碎物の層厚評価の方針

火山事象	潜在的に影響を及ぼす特性	原子力発電所との位置関係
1. 降下火碎物	静的な物理的負荷、気中及び水中の研磨性及び腐食性粒子	注 2
2. 火碎物密度流：火碎流、火碎サージ及びプラスト	動的な物理的負荷、大気の過圧、飛来物の衝撃、300°C超の温度、研磨性粒子、毒性ガス	160km
3. 溶岩流	動的な物理的負荷、洪水及び水のせき止め、700°C超の温度	50km
4. 岩屑なだれ、地滑り及び斜面崩壊	動的な物理的負荷、大気の過圧、飛来物の衝撃、水のせき止め及び洪水	50km
5. 土石流、火山泥流及び洪水	動的な物理的負荷、水のせき止め及び洪水、水中の浮遊粒子	120km
6. 火山から発生する飛来物（噴石）	粒子の衝突、静的な物理的負荷、水中の研磨性粒子	10km
7. 火山ガス	毒性及び腐食性ガス、酸性雨、ガスの充満した湖、水の汚染	160km
8. 新しい火口の開口	動的な物理的負荷、地盤変動、火山性地震	注 3
9. 津波及び静振	水の氾濫	注 4
10. 大気現象	動的過圧、落雷、ダウンバースト風	注 4
11. 地盤変動	地盤変位、沈下又は隆起、傾斜、地滑り	注 4
12. 火山性地震とこれに関連する事象	継続的微動、多重衝撃	注 4
13. 热水系及び地下水の異常	热水、腐食性の水、水の汚染、氾濫又は湧昇、热水変質、地滑り、カルスト及びサーモカルストの変異、水圧の急変	注 4

(参考資料 : IAEA SSG-21 及び JEAG4625)

注 1 : 噴出中心と原子力発電所との距離が、表中の位置関係に記載の距離より短ければ、火山事象により原子力発電所が影響を受ける可能性があるものとする。

注 2 : 降下火碎物に関しては、原子力発電所の敷地及び敷地付近の調査から求められる単位面積あたりの質量と同等の火山灰等が降下するものとする。

注 3 : 新しい火口の開口については、原子力発電所の運用期間中に、新しい火口の開口の可能性を検討する。

注 4 : 火山活動によるこれらの事象は、原子力発電所との位置関係によらず、個々に検討を行う。

「原子力発電所の火山影響評価ガイド」に一部加筆

3. 火山事象の影響評価

3.1 降下火碎物の影響評価

3.1.1 文献・地質調査に基づく評価

3.1.1.1 降下火碎物に関する文献・地質調査

- (1) 文献調査(等層厚線図)
- (2) 文献調査(地質調査結果)
- (3) 降下火碎物に関する当社地質調査
- (4) 調査結果まとめ

3.1.1.2 紙源火山における同規模噴火の可能性の検討

3.1.1.3 評価まとめ

3.1.2 降下火碎物シミュレーションによる評価

3.1.2.1 シミュレーションを実施する降下火碎物の選定

- (1) 分布実績に基づく降下火碎物の選定
- (2) 地理的領域内の火山による降下火碎物の選定
- (3) 地理的領域外の火山による降下火碎物の選定
- (4) 選定結果まとめ

3.1.2.2 降下火碎物シミュレーション

- (1) 白山(南竜火山灰)
- (2) 立山(立山DテフラA, Cユニット)
- (3) 御嶽山(御嶽伊那テフラ)
- (4) 鬱陵島(鬱陵隠岐テフラ)
- (5) 大山(大山生竹テフラ)

3.1.2.3 評価まとめ

3.1.3 降下火碎物の密度及び粒径

3.1.4 降下火碎物の影響評価まとめ

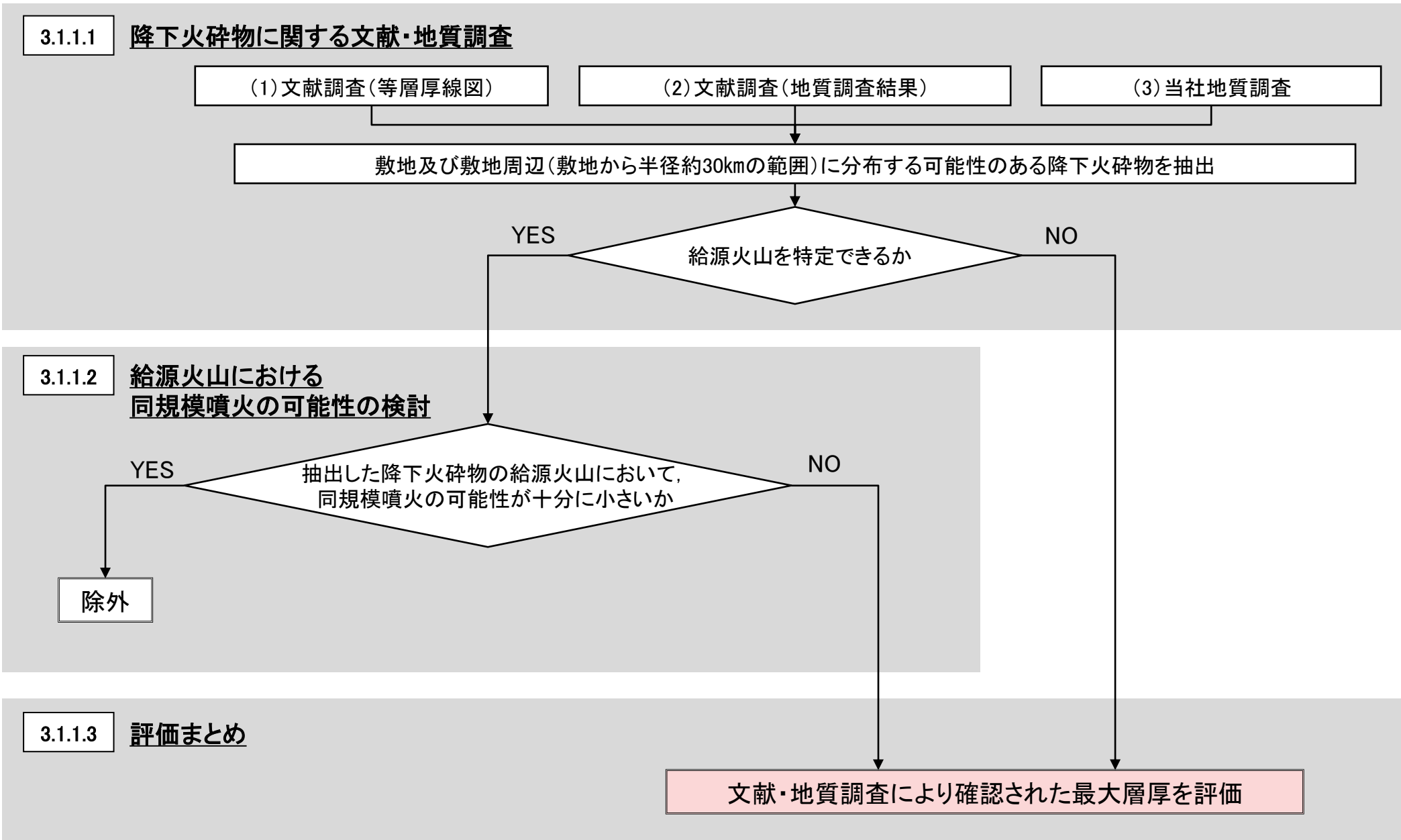
3.2 降下火碎物以外の火山事象の影響評価

3.1.1 文献・地質調査に基づく評価 —評価方法—

○文献・地質調査に基づく評価は、以下のとおり実施する。

- ・まずは、文献調査(等層厚線図、地質調査結果)及び当社地質調査により、敷地及び敷地周辺(敷地から半径約30kmの範囲)に分布する可能性のある降下火碎物を抽出する。
- ・抽出した降下火碎物のうち、給源が特定できないものは、文献・地質調査により確認された最大層厚を評価する。
- ・給源が特定できる降下火碎物については、その給源火山において、原子力発電所の運用期間中に同規模の噴火が発生する可能性を、活動履歴及び地下構造の観点から検討する。給源火山における同規模噴火の可能性が否定できない場合には、文献・地質調査により確認された最大層厚を評価する。

<降下火碎物に関する文献・地質調査に基づく評価の流れ>



3. 火山事象の影響評価

3.1 降下火碎物の影響評価

3.1.1 文献・地質調査に基づく評価

3.1.1.1 降下火碎物に関する文献・地質調査

- (1) 文献調査(等層厚線図)
- (2) 文献調査(地質調査結果)
- (3) 降下火碎物に関する当社地質調査
- (4) 調査結果まとめ

3.1.1.2 紙源火山における同規模噴火の可能性の検討

3.1.1.3 評価まとめ

3.1.2 降下火碎物シミュレーションによる評価

3.1.2.1 シミュレーションを実施する降下火碎物の選定

- (1) 分布実績に基づく降下火碎物の選定
- (2) 地理的領域内の火山による降下火碎物の選定
- (3) 地理的領域外の火山による降下火碎物の選定
- (4) 選定結果まとめ

3.1.2.2 降下火碎物シミュレーション

- (1) 白山(南竜火山灰)
- (2) 立山(立山DテフラA, Cユニット)
- (3) 御嶽山(御嶽伊那テフラ)
- (4) 鬱陵島(鬱陵隠岐テフラ)
- (5) 大山(大山生竹テフラ)

3.1.2.3 評価まとめ

3.1.3 降下火碎物の密度及び粒径

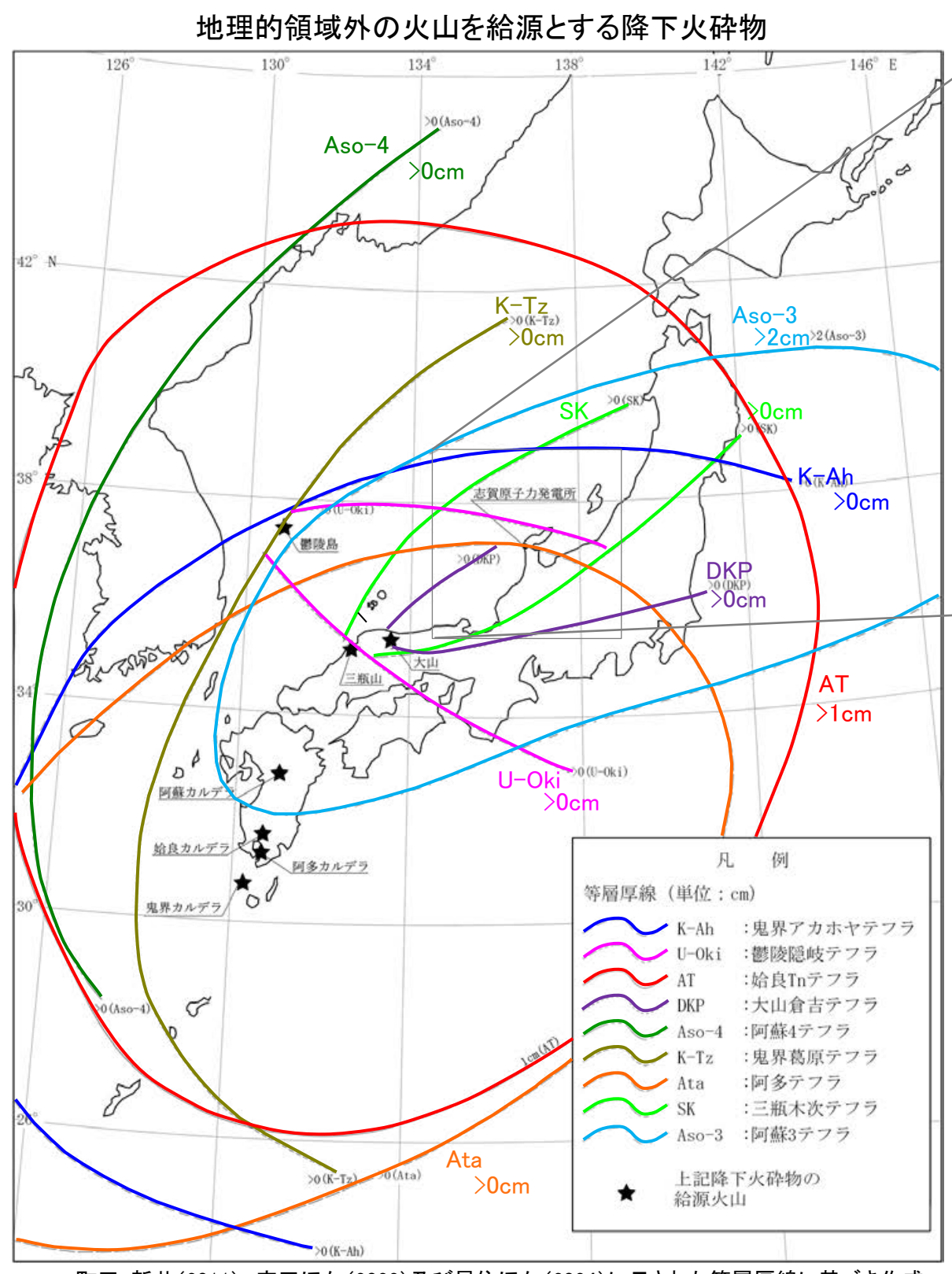
3.1.4 降下火碎物の影響評価まとめ

3.2 降下火碎物以外の火山事象の影響評価

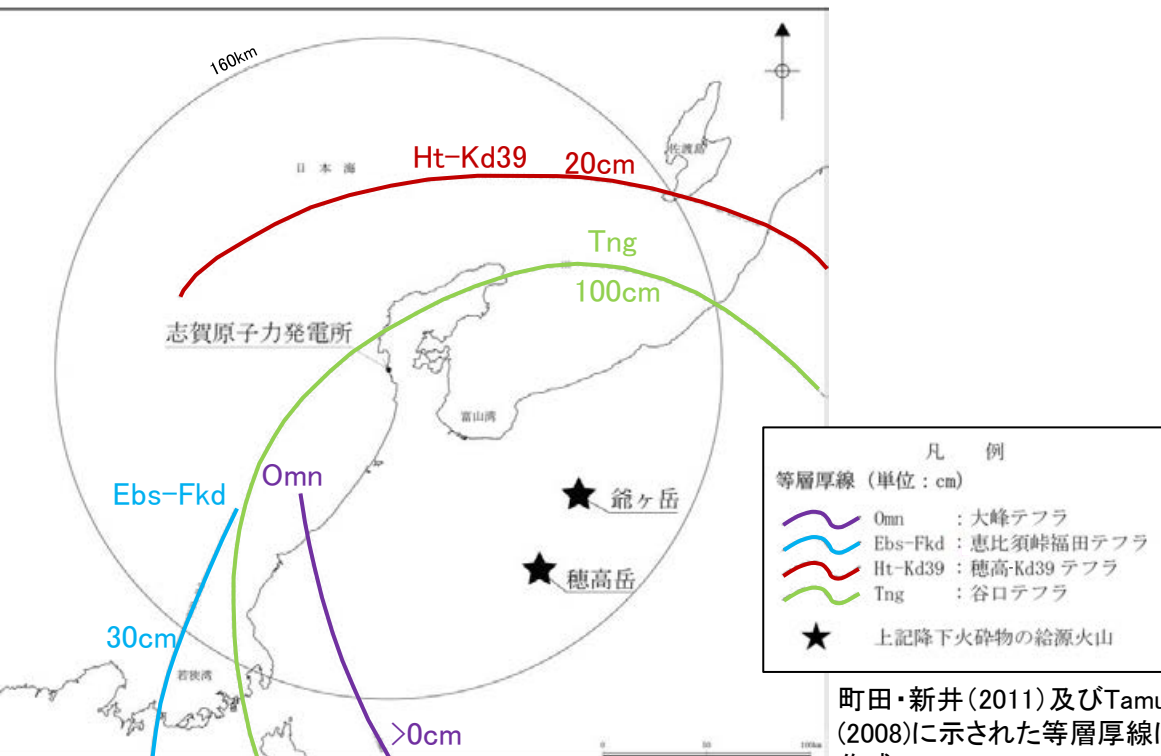
3.1.1.1(1) 文献調査(等層厚線図)

○日本列島における降下火碎物の分布に関する文献調査を実施した。

○町田・新井(2011), 宝田ほか(2022), 星住ほか(2024)及びTamura et al.(2008)に基づき, 敷地及び敷地周辺に分布する可能性のある13の降下火碎物を抽出した。



地理的領域内の中を給源とする降下火碎物



<敷地及び敷地周辺に分布する可能性のある降下火碎物>

※各降下火碎物の分布の詳細は補足資料2

降下火碎物	記号	年代 (万年前)	給源火山	敷地周辺の 層厚(cm)*	文献名
鬼界アカホヤテフラ	K-Ah	0.73 * ¹	鬼界カルデラ	地理的 領域外 の火山	0~20
鬱陵隠岐テフラ	U-Oki	1.02 * ¹	鬱陵島		0~2
始良Tnテフラ	AT	3 * ²	始良カルデラ		16~32
大山倉吉テフラ	DKP	5.5以前 * ¹	大山		5~10
阿蘇4テフラ	Aso-4	8.8 * ³	阿蘇カルデラ		15以上
鬼界葛原テフラ	K-Tz	9.5 * ¹	鬼界カルデラ		0~2
阿多テフラ	Ata	10.5 * ¹	阿多カルデラ		0以上
三瓶木次テフラ	SK	10.5 * ¹	三瓶山		5以上
阿蘇3テフラ	Aso-3	13.3 * ⁴	阿蘇カルデラ	地理的 領域内 の火山	2~5
大峰テフラ	Omn	160~165 * ¹	爺ヶ岳		0以上
恵比須峠福田テフラ	Ebs-Fkd	170 * ¹	穂高岳		30~40
穂高-Kd39テフラ	Ht-Kd39	176 * ⁵	穂高岳		20以上
谷口テフラ	Tng	220~230 * ¹	爺ヶ岳		100以上

*1:町田・新井(2011), *2:宝田ほか(2022), *3:星住ほか(2023), *4:星住ほか(2024), *5:Tamura et al.(2008)

3. 火山事象の影響評価

3.1 降下火碎物の影響評価

3.1.1 文献・地質調査に基づく評価

3.1.1.1 降下火碎物に関する文献・地質調査

(1) 文献調査(等層厚線図)

(2) 文献調査(地質調査結果)

(3) 降下火碎物に関する当社地質調査

(4) 調査結果まとめ

3.1.1.2 紙源火山における同規模噴火の可能性の検討

3.1.1.3 評価まとめ

3.1.2 降下火碎物シミュレーションによる評価

3.1.2.1 シミュレーションを実施する降下火碎物の選定

(1) 分布実績に基づく降下火碎物の選定

(2) 地理的領域内の火山による降下火碎物の選定

(3) 地理的領域外の火山による降下火碎物の選定

(4) 選定結果まとめ

3.1.2.2 降下火碎物シミュレーション

(1) 白山(南竜火山灰)

(2) 立山(立山DテフラA, Cユニット)

(3) 御嶽山(御嶽伊那テフラ)

(4) 鬱陵島(鬱陵隠岐テフラ)

(5) 大山(大山生竹テフラ)

3.1.2.3 評価まとめ

3.1.3 降下火碎物の密度及び粒径

3.1.4 降下火碎物の影響評価まとめ

3.2 降下火碎物以外の火山事象の影響評価

3.1.1.1(2) 文献調査(地質調査結果) — 調査結果概要 —

○敷地周辺で実施された地質調査に関する文献調査を実施した結果、敷地周辺において、鬼界アカホヤテフラ(K-Ah)、姶良Tnテフラ(AT)、阿蘇4テフラ(Aso-4)、鬼界葛原テフラ(K-Tz)及び三瓶木次テフラ(SK)の5つの降下火碎物の確認が報告されている。



文献調査(地質調査結果)に基づく敷地周辺での降下火碎物の確認位置

文献調査(地質調査結果)により
敷地周辺で確認された降下火碎物の最大層厚

降下火碎物	記号	確認された最大層厚(cm)	文献[確認地点]
鬼界アカホヤテフラ	K-Ah	0.5	東野ほか(2014) みなみかた [南潟]
姶良Tnテフラ	AT	15	産業技術総合研究所(2011) ほんごう [本江]
阿蘇4テフラ	Aso-4	7	産業技術総合研究所(2011) みじろ [水白]
鬼界葛原テフラ	K-Tz	— (分析により検出)	渡辺ほか(2015) たかはま [高浜西]
三瓶木次テフラ	SK	3	杉戸ほか(2004) みじろ [水白]

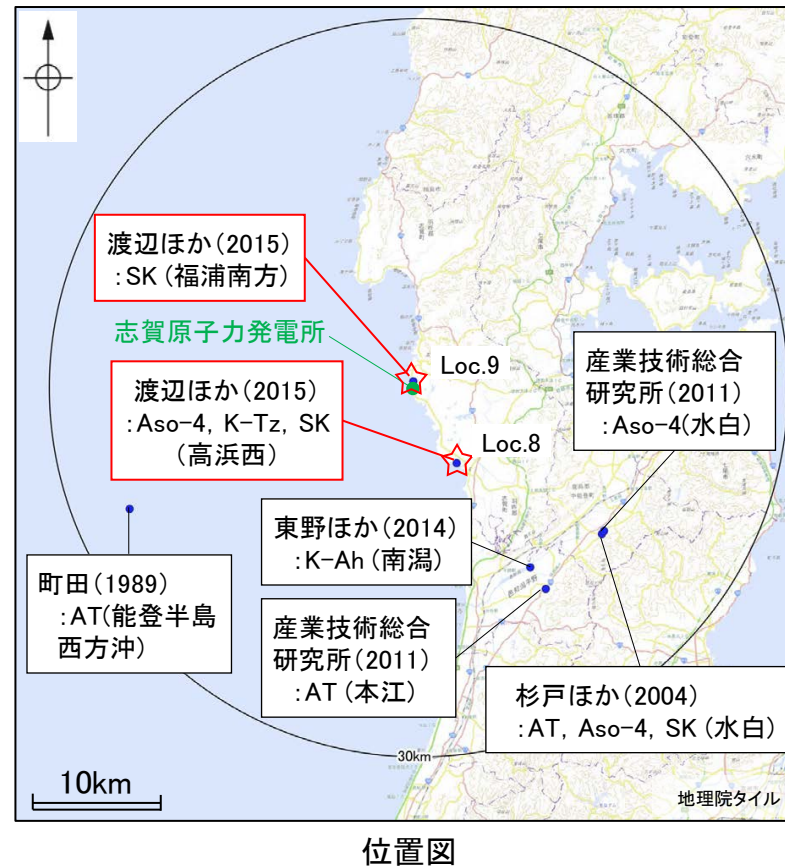
<凡例>

● : 確認地点

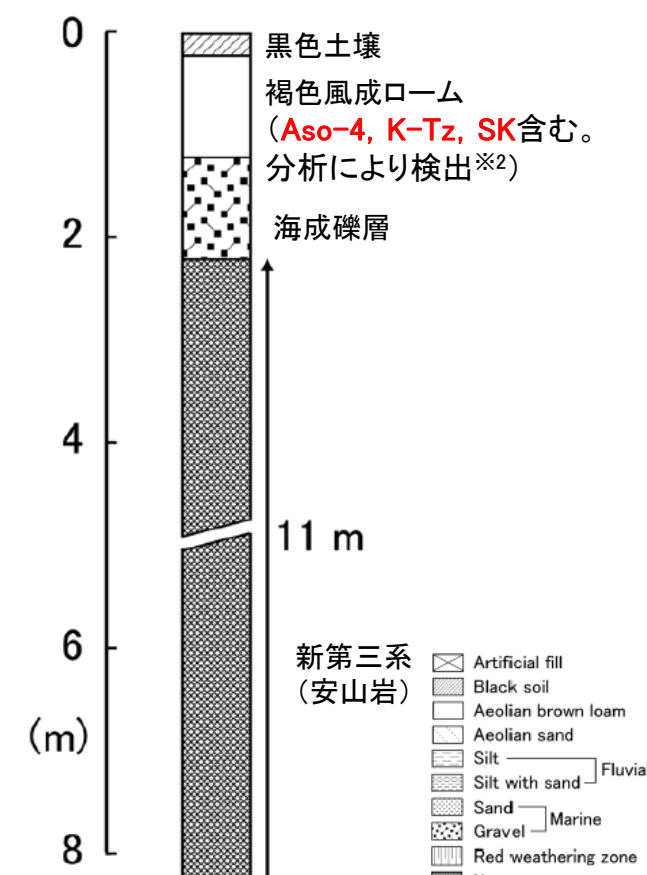
3.1.1.1(2) 文献調査(地質調査結果) — 渡辺ほか(2015) —

○渡辺ほか(2015)では、敷地北方の福浦南方地点(Loc.9)において露頭調査を実施しており、層厚約2cm(写真より読み取る^{※1})の三瓶木次テフラ(SK)を確認している(右下図)。また、敷地から南方に約7km離れた高浜西地点(Loc.8)において露頭調査を実施しており、火山ガラスの屈折率等から阿蘇4テフラ(Aso-4), 鬼界葛原テフラ(K-Tz)及び三瓶木次テフラ(SK)を確認している(左下図)。

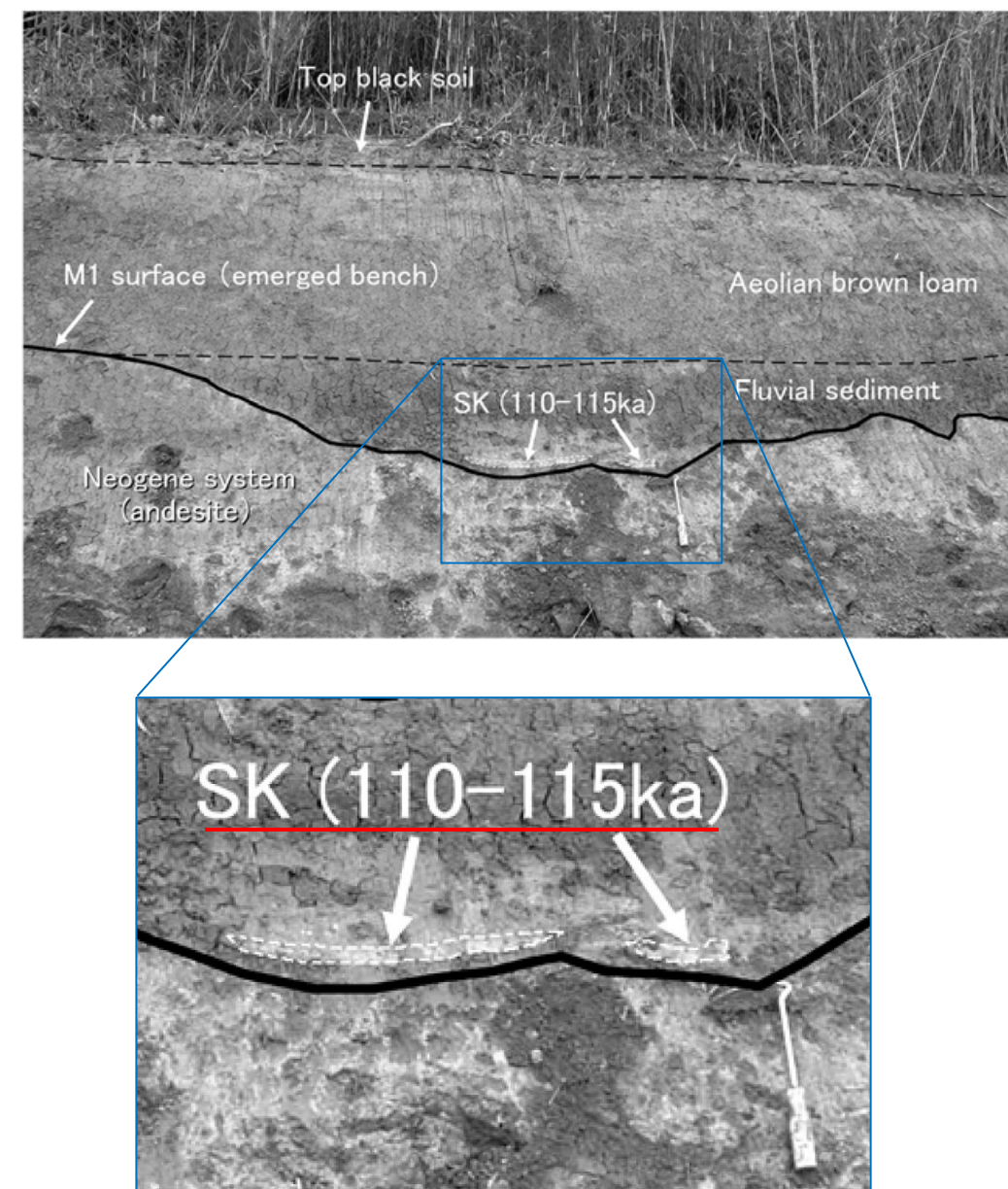
※1: 文献中に堆積層厚の記載はないため、ねじり鎌の大きさを参考にSKの層厚を約2cmと読み取った。



たかはま
【高浜西地点(Loc.8)】



ふくら
【福浦南方地点(Loc.9)】

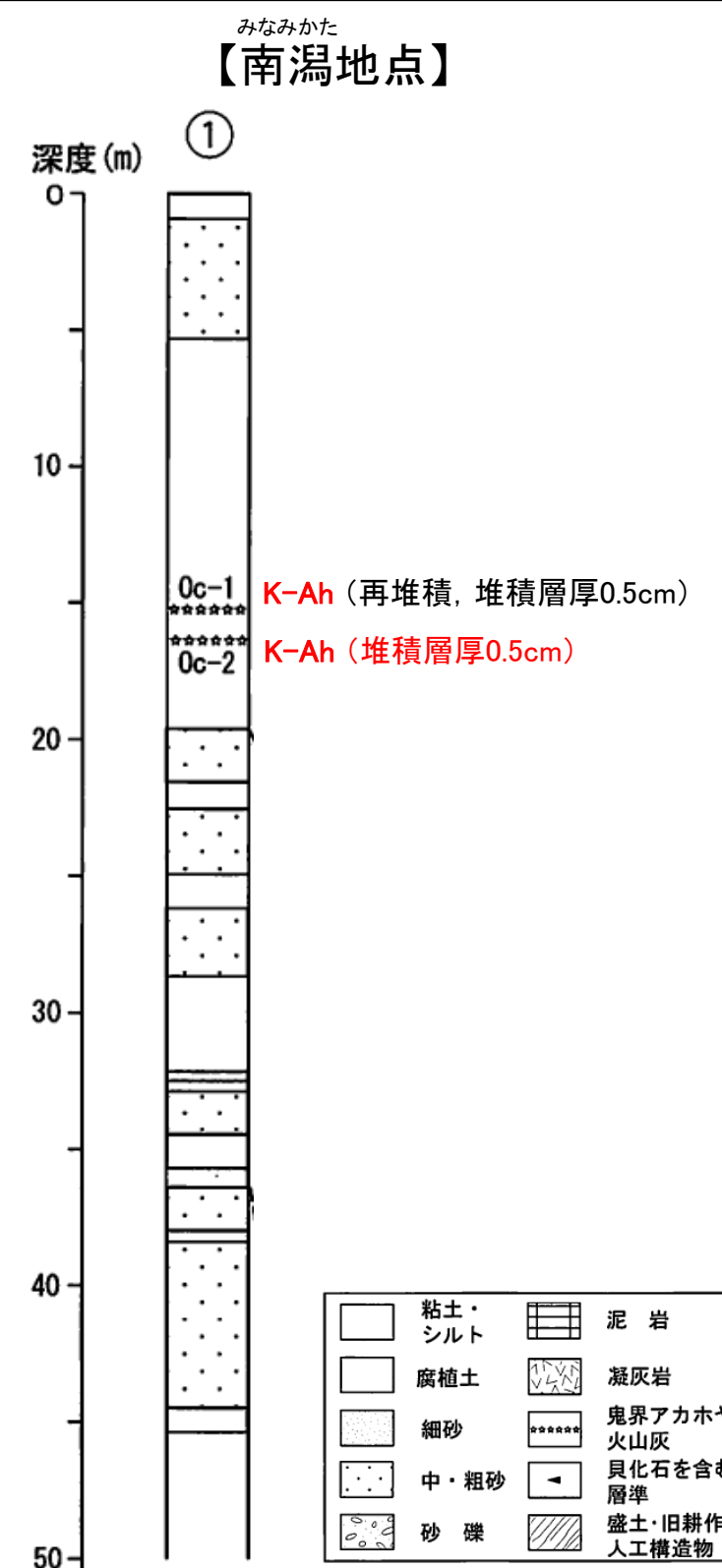
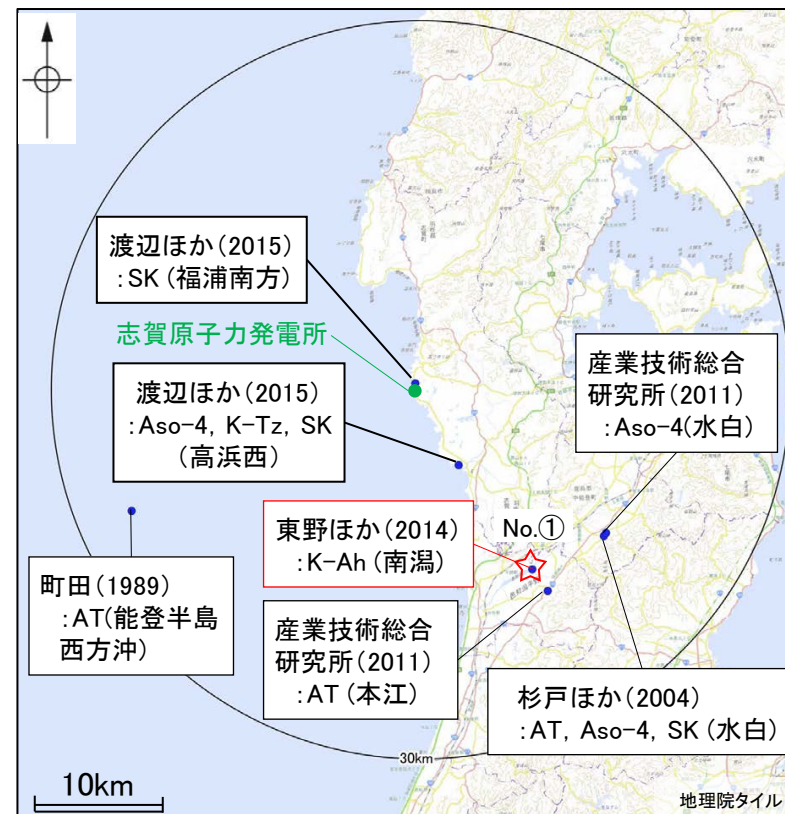


層厚約2cm(写真より読み取る^{※1})のSKが確認される。

※2: 渡辺ほか(2015)によると、褐色風成ローム層中には黒雲母が肉眼で確認でき、顕微鏡観察により、少量の火山ガラスやβ石英が含まれるとされ、火山ガラスの屈折率の結果を踏まえて、Aso-4, K-Tz, SKに対比している。

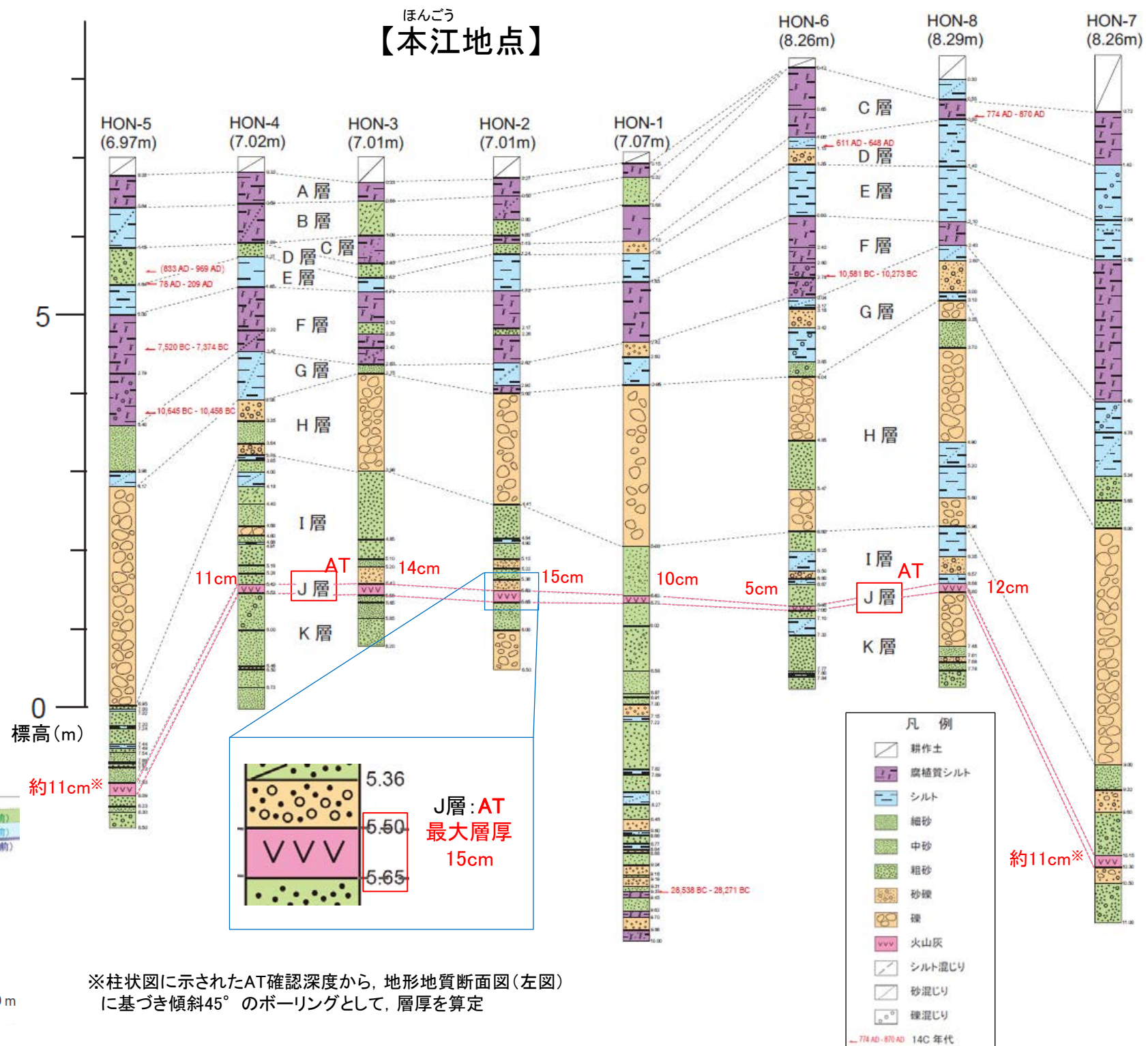
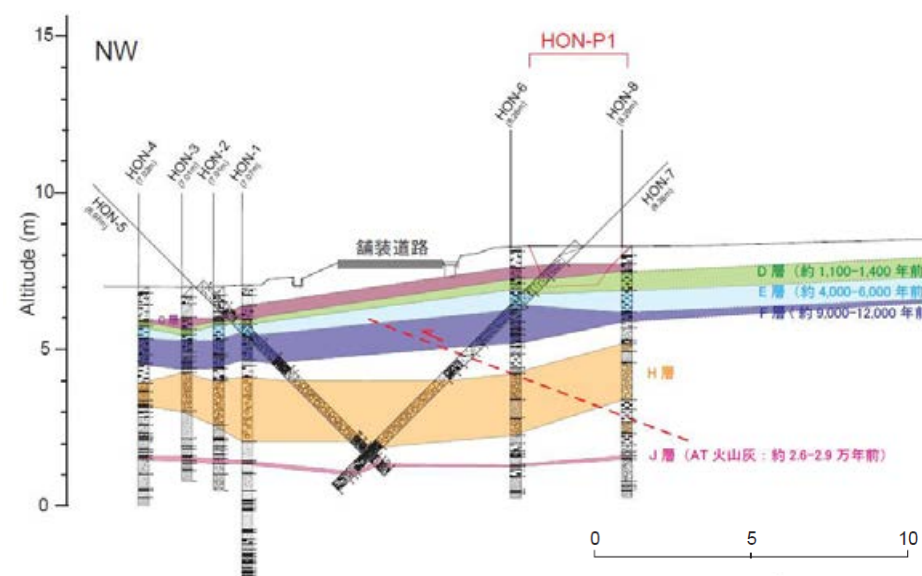
3.1.1.1(2) 文献調査(地質調査結果) – 東野ほか(2014) –

- 東野ほか(2014)では、敷地から南方に約17km離れた南潟地点においてボーリング調査を実施しており、No.①孔の深度15.2m及び16.3mにおいて鬼界アカホヤテフラ(K-Ah)を確認している。
- 東野ほか(2014)によると、これらの2層の堆積層厚は、いずれも0.5cmであり、上位のK-Ahは再堆積であると解釈している。



3.1.1.1(2) 文献調査(地質調査結果) —産業技術総合研究所(2011)①—

- 産業技術総合研究所(2011)では、敷地から南方に約19km離れた本江地点において群列ボーリング調査を実施しており、複数孔で始良Tnテフラ(AT)を確認している。このうち、ATの層厚が最大となるのはHON-2孔(深度5.50～5.65m区間)の15cmである。
- なお、本江地点の群列ボーリングの計8孔で確認されているATの平均層厚は約11cmである。



3.1.1.1(2) 文献調査(地質調査結果) —産業技術総合研究所(2011)②—

○産業技術総合研究所(2011)では、敷地から南東方に約19km離れた水白地点において群列ボーリング調査を実施しており、MJR-5孔の深度19.84～19.91m区間ににおいて層厚7cmの阿蘇4テフラ(Aso-4)を確認している。

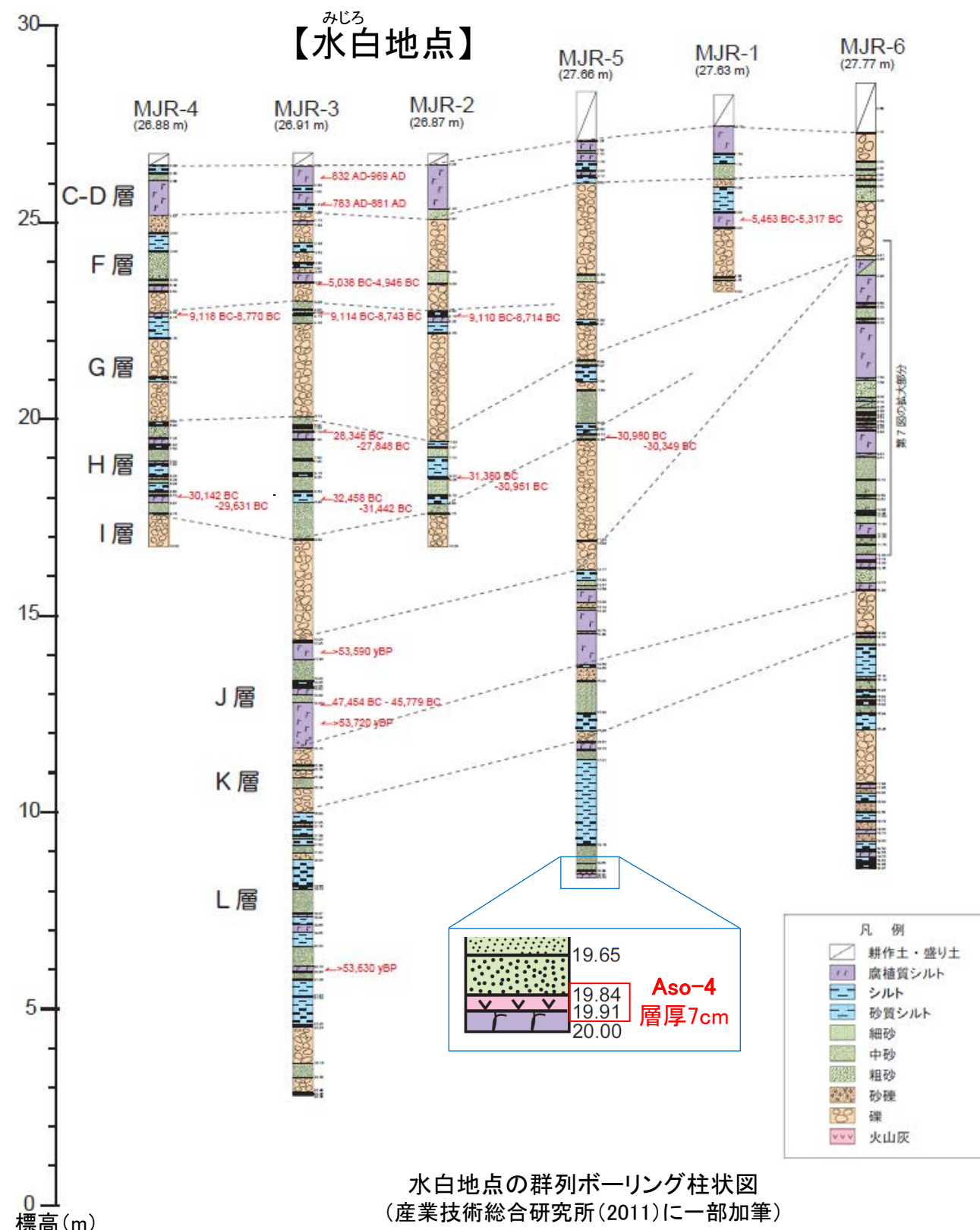
○なお、MJR-5孔は断層に近接しており(左下図)、隣接孔(MJR-3孔及びMJR-6孔)においてMJR-5孔でAso-4を確認した深度付近も含めて火山灰層が確認されていないこと(右下図)から、MJR-5孔で確認したAso-4は断層の影響等で局所的に厚く堆積している可能性がある。



位置図



調査位置図 (産業技術総合研究所(2011)に一部加筆)

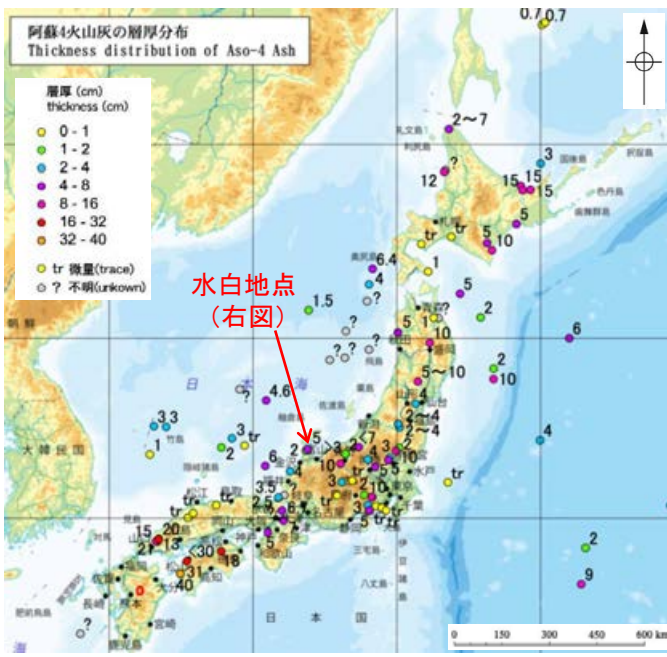
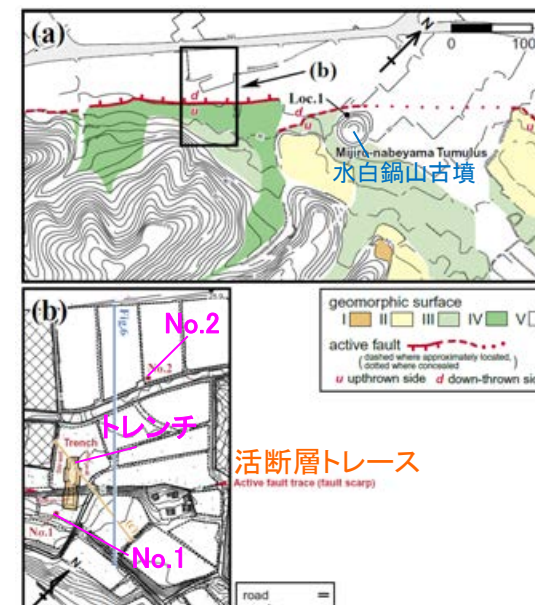
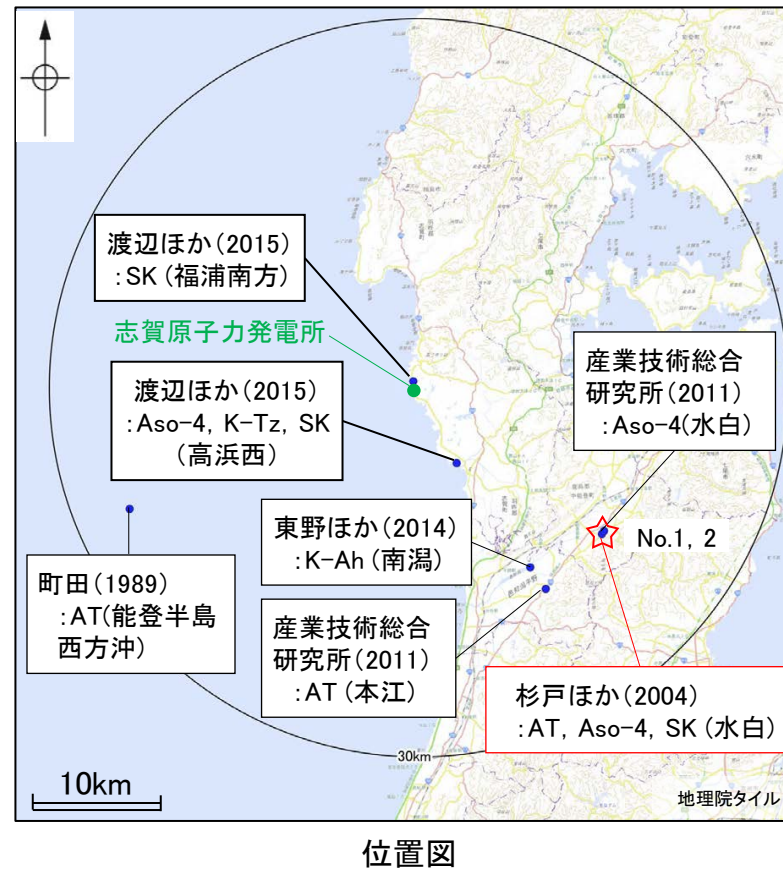


3.1.1.1(2) 文献調査(地質調査結果) — 杉戸ほか(2004) —

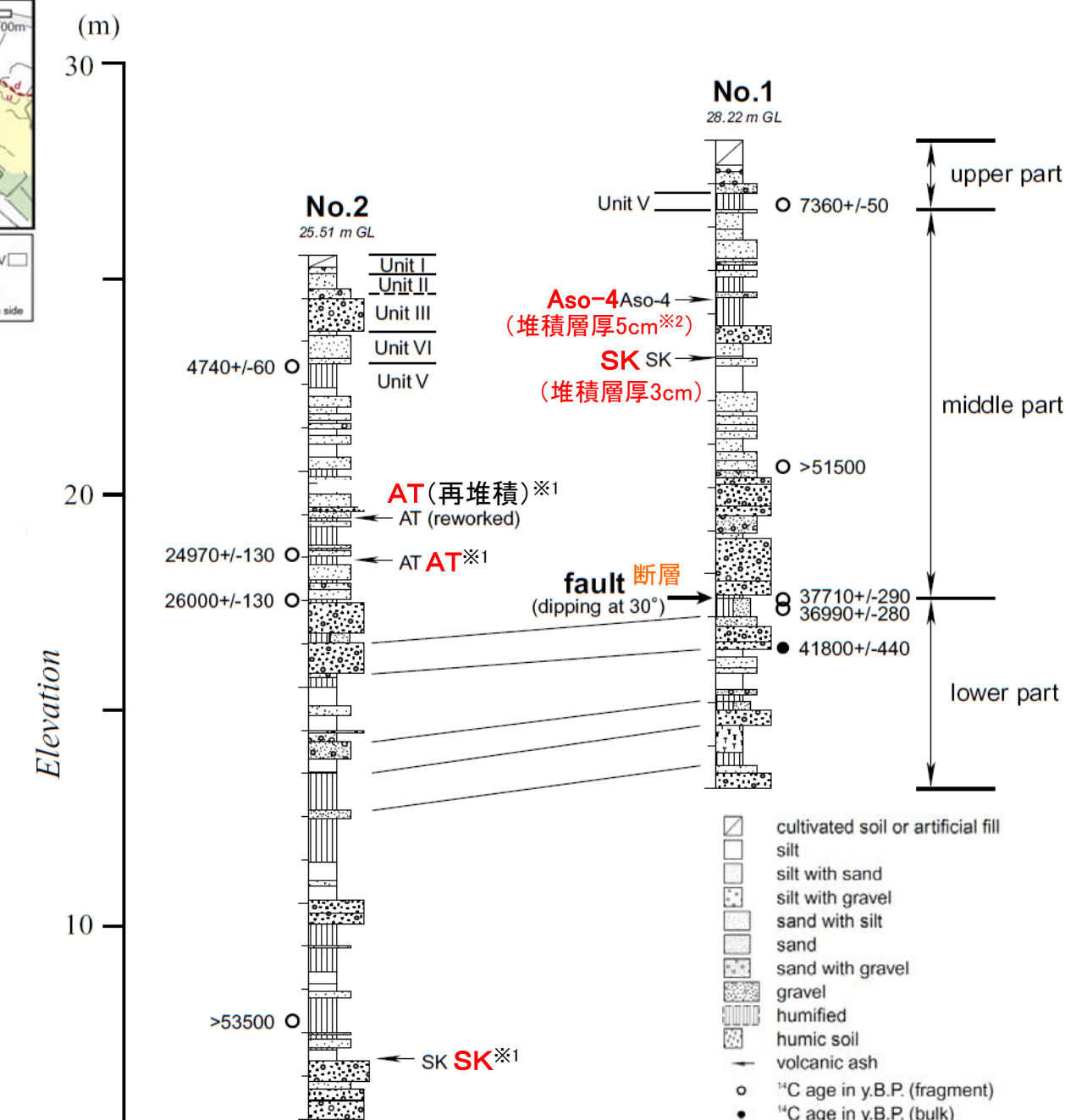
○ 杉戸ほか(2004)では、敷地から南東方に約19km離れた水白地点においてボーリング調査を実施しており、No.1孔の深度3.7mにおいて阿蘇4テフラ(Aso-4)と深度5.00～5.03m区間で層厚3cmの三瓶木次テフラ(SK)を確認している。また、No.2孔の深度6.1m及び7.05mにおいて始良Tnテフラ(AT, 上位は再堆積と解釈されている)、深度18.6mにおいてSKを確認している。

○ 杉戸ほか(2004)のNo.1孔で確認したAso-4の層厚については、星住ほか(2023)で示された水白地点の5cm(左下図)に対応すると考えられる。

○ なお、No.1孔は断層に近接しており、杉戸ほか(2004)ではNo.1孔に隣接したトレンチにおいてレンズ状に分布したAso-4の確認も報告されていることから、No.1孔では、断層の影響等により局所的に火山灰が厚く堆積している可能性がある。



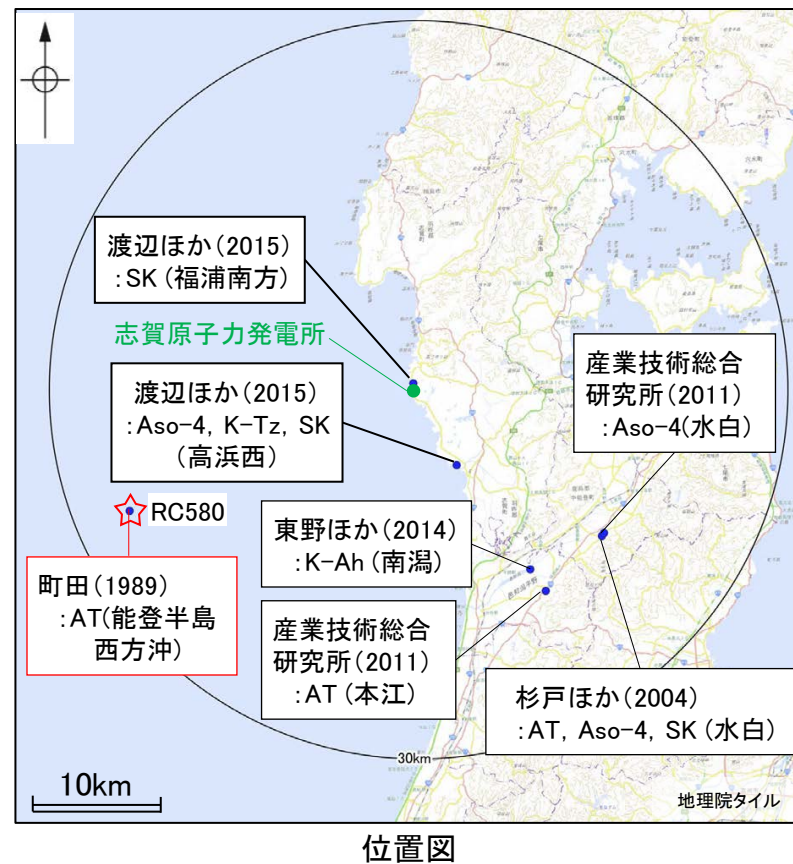
みじろ
【水白地点】



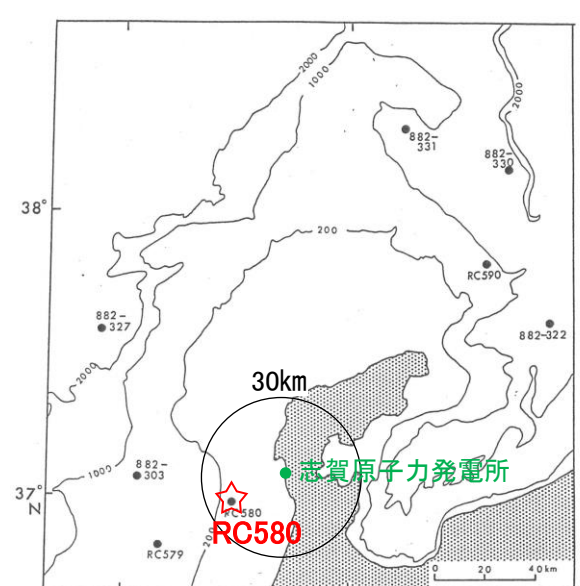
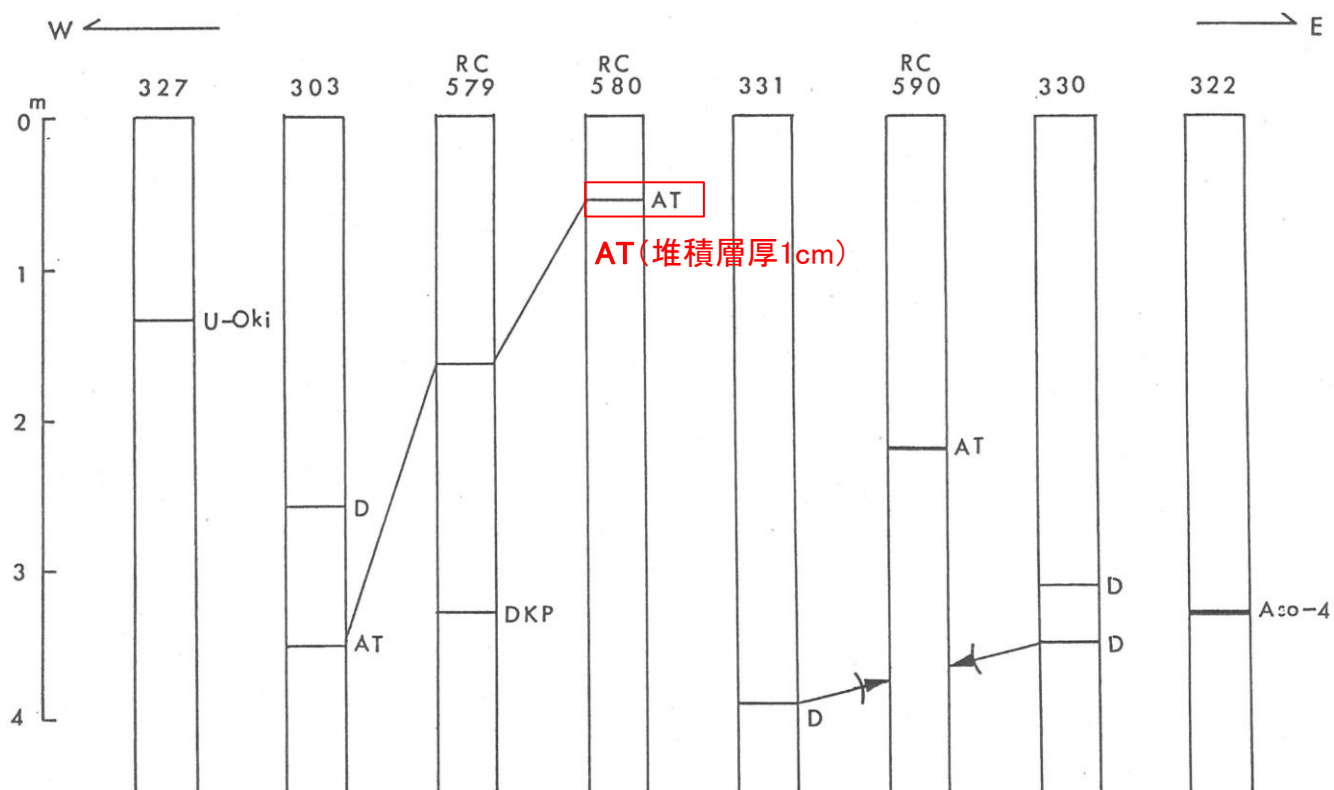
水白地点のボーリング断面図
(杉戸ほか(2004)に一部加筆)

3.1.1.1(2) 文献調査(地質調査結果) 一町田(1989)

○町田(1989)では、敷地から西方に約25km離れた能登半島西方沖地点(RC580)においてボーリング調査を実施しており、層厚1cmの始良Tnテフラ(AT)を確認している。



【能登半島西方沖地点(RC580)】



(町田(1989)に一部加筆)

能登半島周辺海域のピストンコア中で確認されたテフラ一覧

コア番号	コアの位置			テフラの深度 (厚さ) cm	テフラ の種類	平均最大 粒径 mm	火山ガラス		本質鉱物	同定
	緯度(N)	経度(E)	水深(m)				タイプ	屈折率 n		
882-303 6/7	37° 04.47'	136° 03.93'	508	259-260 (1)	b-2	0.7	pm	1.504-1.512 (1.507-1.512)	ho, bi, (opx)	大山系
" 303 7/7				350-355.5 (5.5)	a	0.6	bw	1.498-1.501 (1.500)	ho n ₂ =1.675-1.683, opx γ=1.703 rare	始良Tn 火山灰(AT)
" 322 5/5	37° 37.29'	137° 53.32'	1497	329-332 (3)	a	0.3	bw	1.506-1.510 (1.507-1.509)	rare(ho)	阿蘇4 火山灰(Aso-4)
" 327 4/7	37° 35.76'	135° 54.33'	2665	135-136 (1)	b-1	0.6	pm	1.521-1.527 (1.523-1.525)	ho n ₂ =1.688 bi, (af), kaersutite af n ₁ =1.523	鬱陵隕石火山灰(U-oki)?
" 330 4/5	38° 09.35'	137° 43.27'	1849	311-311.5 (0.5)	b-2	0.3	pm	1.506-1.515 (1.507-1.513)	rare(bi, opx, cpx)	大山系, 再堆積の可能性あり
" 330 5/5				351-353 (2)	b-2	0.3	pm	1.507-1.513	ho, bi, (opx)	大山系
" 331 5/5	38° 17.86'	137° 15.27'	1279	387-388 (1)	b-2	0.3	pm	1.506-1.515	ho n ₂ =1.677-1.684 ho, bi, (opx)	大山系
RC579 2/3	36° 48.74'	136° 09.59'	335	162-162.5 (0.5)	a	0.5	bw	1.500-1.502 (1.501-1.501)	ho n ₂ =1.678-1.683 rare	AT
" CC				327-328 (1)	b-2	0.3	pm	1.500-1.502 (1.501)	ho, bi, (opx)	大山系吉野石(DKP)
RC580 2/3	36° 58.58'	136° 27.72'	168	54-55 (1)	a	0.6	bw	1.499-1.501 (1.501)	ho n ₂ =1.672-1.680 opx γ=1.74-1.705 rare	AT
RC590 2/3	37° 49.75'	137° 36.51'	470	220-221 (1)	a	0.6	bw	1.498-1.502 (1.500)	rare	AT
" 3/3				221-222 (1)	a	0.6	bw	1.499-1.501 (1.500)	rare	AT

AT(堆積層厚1cm)

町田(1989)に一部加筆

3. 火山事象の影響評価

3.1 降下火碎物の影響評価

3.1.1 文献・地質調査に基づく評価

3.1.1.1 降下火碎物に関する文献・地質調査

- (1) 文献調査(等層厚線図)
- (2) 文献調査(地質調査結果)
- (3) 降下火碎物に関する当社地質調査**
- (4) 調査結果まとめ

3.1.1.2 紙源火山における同規模噴火の可能性の検討

3.1.1.3 評価まとめ

3.1.2 降下火碎物シミュレーションによる評価

3.1.2.1 シミュレーションを実施する降下火碎物の選定

- (1) 分布実績に基づく降下火碎物の選定
- (2) 地理的領域内の火山による降下火碎物の選定
- (3) 地理的領域外の火山による降下火碎物の選定
- (4) 選定結果まとめ

3.1.2.2 降下火碎物シミュレーション

- (1) 白山(南竜火山灰)
- (2) 立山(立山DテフラA, Cユニット)
- (3) 御嶽山(御嶽伊那テフラ)
- (4) 鬱陵島(鬱陵隠岐テフラ)
- (5) 大山(大山生竹テフラ)

3.1.2.3 評価まとめ

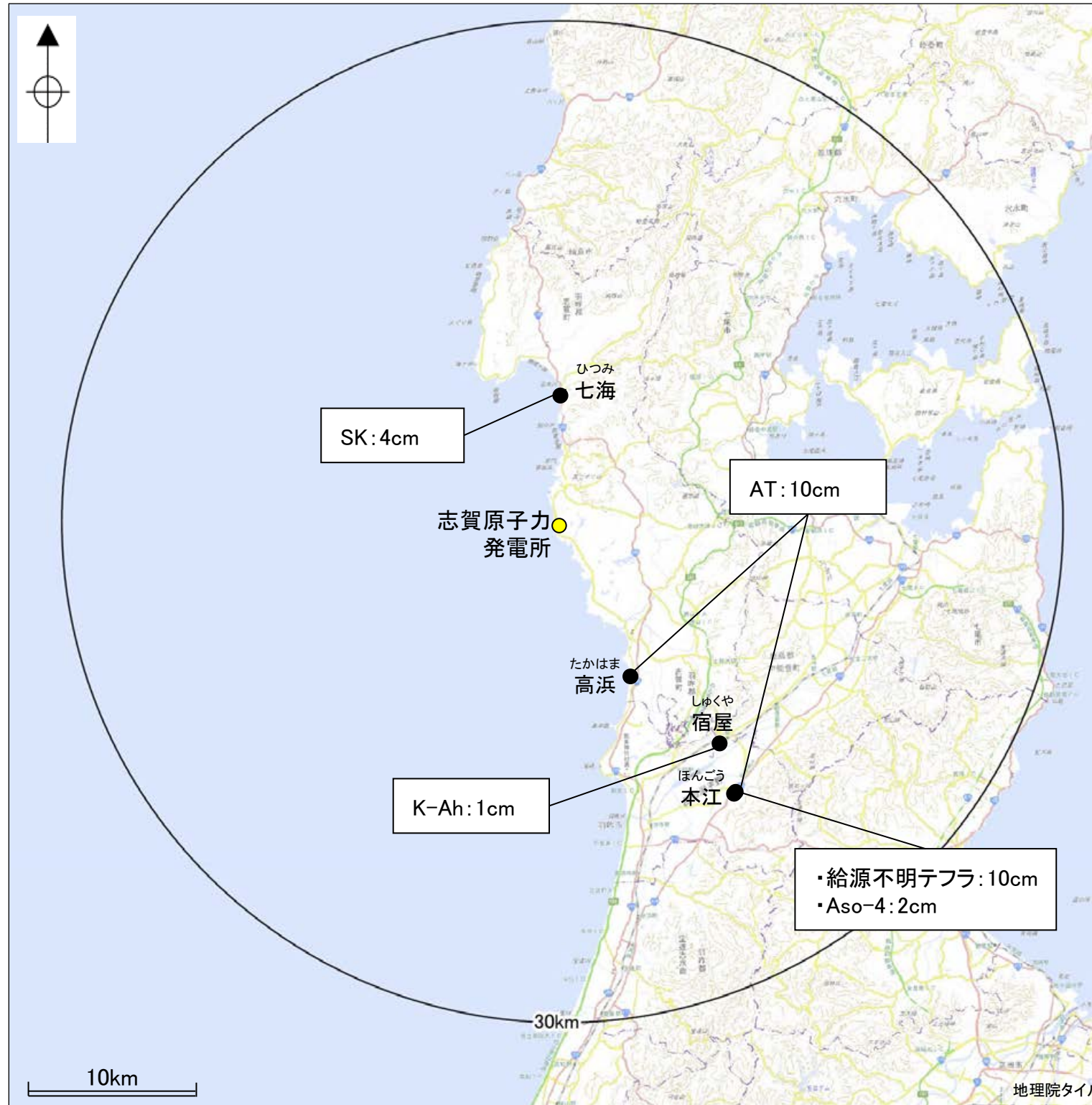
3.1.3 降下火碎物の密度及び粒径

3.1.4 降下火碎物の影響評価まとめ

3.2 降下火碎物以外の火山事象の影響評価

3.1.1.1(3) 降下火碎物に関する当社地質調査 一調査結果概要一

○当社が実施した地質調査(他機関との共同研究を含む)により、敷地及び敷地周辺において分布することが確認された降下火碎物は、鬼界アカホヤテフラ(K-Ah)、始良Tnテフラ(AT)、大山倉吉テフラ(DKP)、阿蘇4テフラ(Aso-4)、鬼界葛原テフラ(K-Tz)、三瓶木次テフラ(SK)、加久藤テフラ(Kkt)及び給源不明テフラである。



当社地質調査により確認した降下火碎物の最大層厚及び確認位置

<当社地質調査により敷地及び敷地周辺で確認された降下火碎物>

降下火碎物	記号	年代 (万年前)	確認された 最大層厚(cm)
鬼界アカホヤテフラ	K-Ah	0.73 *1	しゅくや 1 [宿屋]
始良Tnテフラ	AT	3 *2	ほんごう たかはま 10 [本江, 高浜]
大山倉吉テフラ	DKP	5.5以前 *1	—※ (分析により検出)
阿蘇4テフラ	Aso-4	8.8 *3	ほんごう 2 [本江]
鬼界葛原テフラ	K-Tz	9.5 *1	—※ (分析により検出)
三瓶木次テフラ	SK	10.5 *1	ひつみ 4 [七海]
かくとう 加久藤テフラ	Kkt	32~33 *1	—※ (分析により検出)
給源不明テフラ	—	約40 *4	ほんごう 10 [本江]

*1:町田・新井(2011)

*2:宝田ほか(2022)

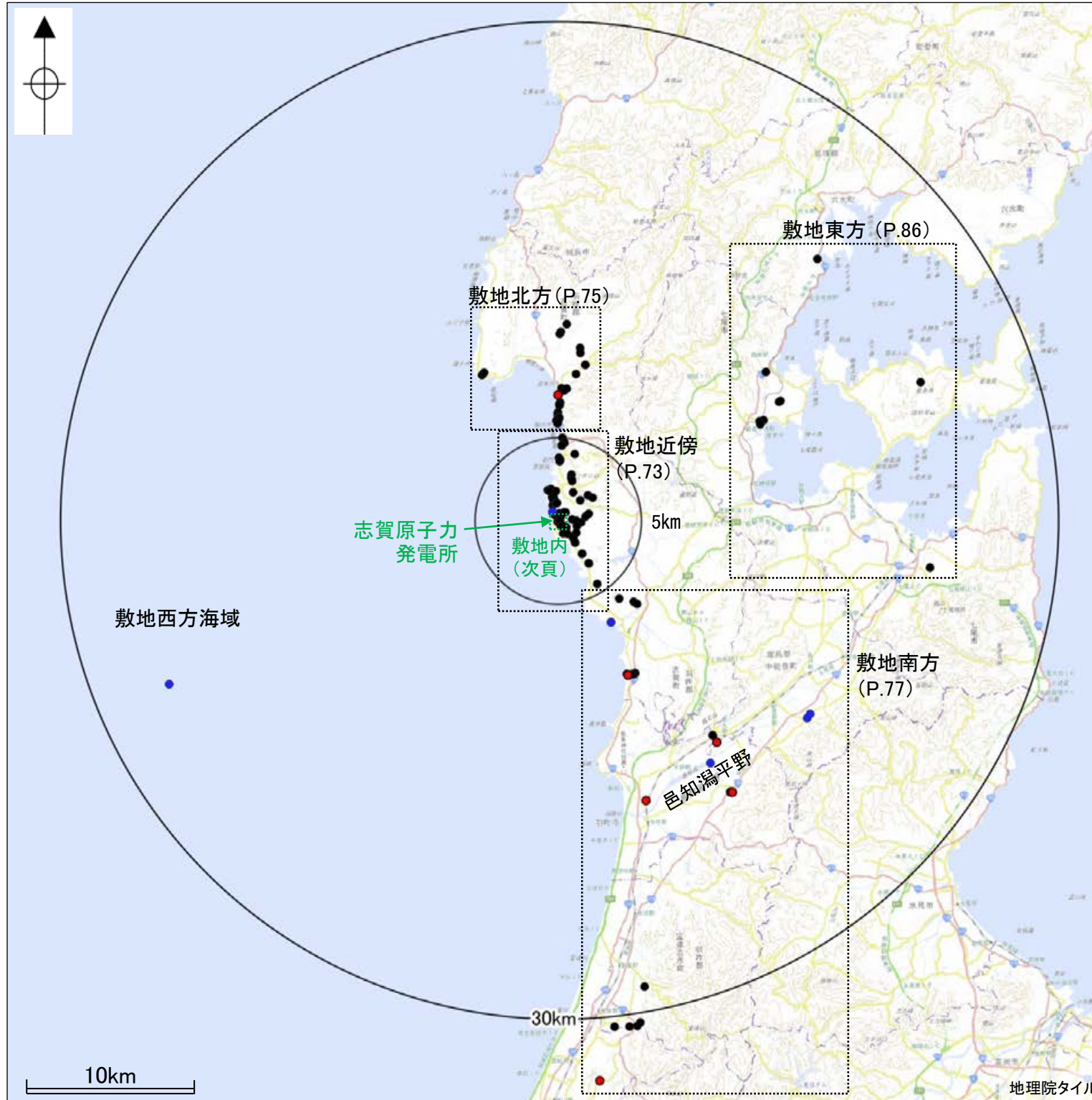
*3:星住ほか(2023)

*4:ジルコンのFT年代値

※左図には、層厚を確認した降下火碎物の最大層厚確認位置のみを記載。分析により検出した調査位置を含む調査結果の詳細については、次々頁以降。

3.1.1.1(3) 降下火碎物に関する当社地質調査 一降下火碎物の確認位置一

- 敷地及び敷地周辺(半径約30kmの範囲)における降下火碎物の確認位置を以下に示す(各エリアの調査結果は、次頁以降)。
- 計154地点において、降下火碎物を確認した。これらの多くは、肉眼では明瞭な降下火碎物の地層として確認されず、火山灰分析により検出されたものである。
- 敷地及び敷地近傍(半径5kmの範囲)では目視可能な降下火碎物は確認されず、層厚の確認地点は、敷地南方の邑知潟平野等の一部の地点(計8地点)に限られる。



<敷地及び敷地周辺で確認された降下火碎物の地点数>

エリア	当社地質調査		(参考) 文献
	層厚を確認	分析で検出	
敷地内	0	20	0
敷地近傍(5km)	0	61	1
敷地北方	1	35	0
敷地南方	7	21	5
敷地東方	0	9	0
敷地西方海域	0	0	1
計	8	146	7
		154	

<凡例>

- 一降下火碎物の確認地点一
- : 当社調査(層厚を確認※) : 8地点
 ● : 当社調査(分析で検出) : 146地点
 ● : 文献調査(地質調査※) : 7地点

※火山灰分析により検出した降下火碎物を含む

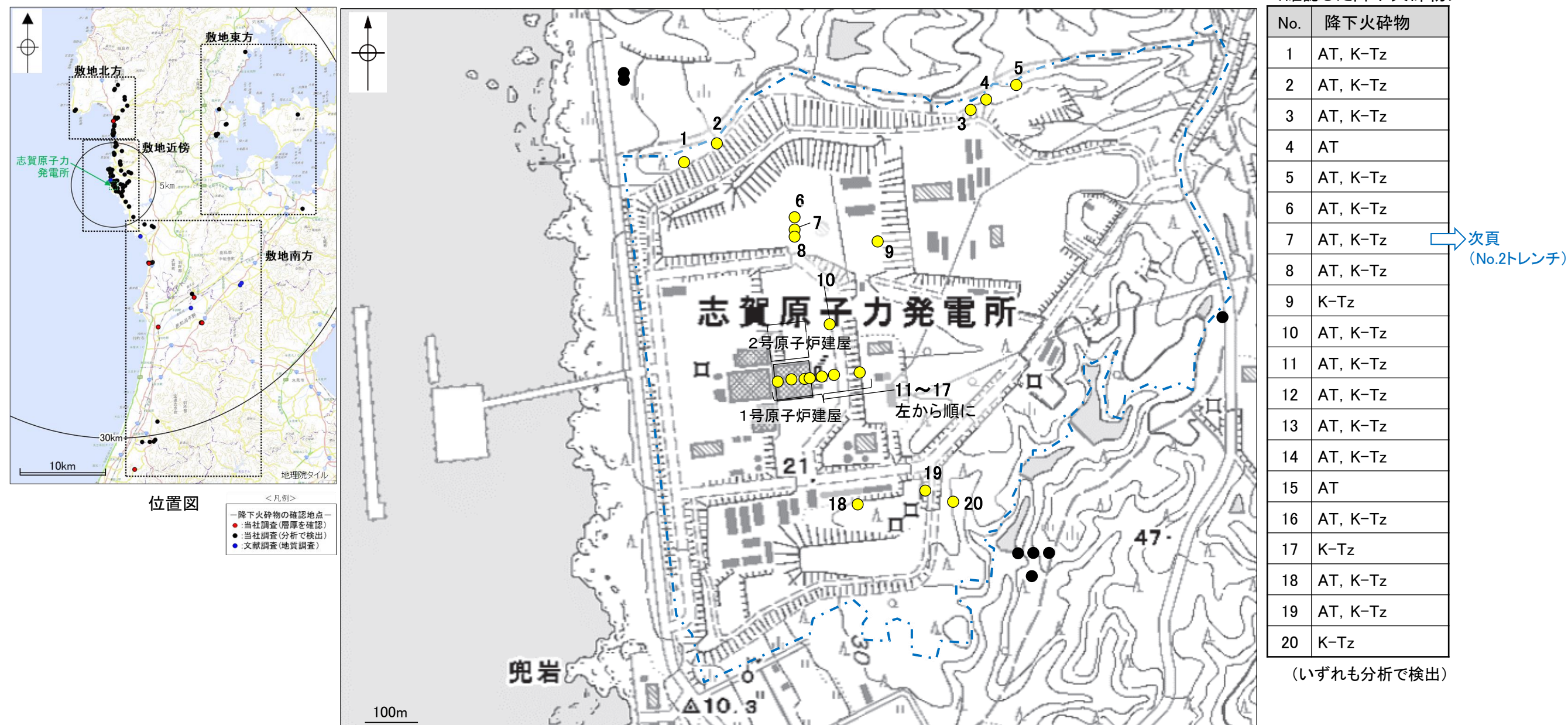
3.1.1.1(3) 降下火碎物に関する当社地質調査 一敷地内一

○敷地の地質は、中新世の別所岳安山岩類と、これを覆う第四紀の堆積物からなる。

○敷地内※において露頭調査やボーリング調査等を実施した結果、肉眼では明瞭な降下火碎物の地層として確認されないものの、連続サンプリング及び火山灰分析により、姶良Tnテフラ(AT)及び鬼界葛原テフラ(K-Tz)が検出された(調査結果の例として、No.2トレンチ(地点No.7)の結果を次頁に示す)。

※当資料で示す「敷地」は、原子炉建屋等を含む周辺監視区域に相当する範囲を示している。

(設置変更許可申請書における「敷地」は、大坪川ダム周辺を含む当社の所有地の範囲を示している。)



この図は、国土地理院発行の2万5千分の1版地形図を使用したものである。

降下火碎物の確認位置(敷地内※)

<凡例>

- 降下火碎物の確認地点—
- : 当社調査(分析で検出、敷地内※)
 - : 当社調査(分析で検出、敷地外)

地点No.7

【No.2トレンチ】

○No.2トレンチでは、連続サンプリング及び火山灰分析により鬼界葛原テフラ(K-Tz)が検出された(AT混在含む)。



位置図

<火山灰分析結果の例(TE2-2上)>

試料番号	テフラ名	火山ガラスの形態別含有量 (/3000粒子)				重鉱物の含有量 (/3000粒子)	β 石英 (/3000粒子)	備考	火山ガラスの屈折率(nd)			角閃石の屈折率(n2)		
		Opx	Gho	Cum	1.500	1.510	1.670	1.680	1.690					
1		10 20 30 40	100 200	10 20										
2	AT混在	10 20	100 200	10 20										
3		10 20	100 200	10 20										
4		10 20	100 200	10 20										
5		10 20	100 200	10 20										
6		10 20	100 200	10 20										
7		10 20	100 200	10 20										
8		10 20	100 200	10 20										
9	K-Tz	10 20	100 200	10 20										
10		10 20	100 200	10 20										
11		10 20	100 200	10 20										
12		10 20	100 200	10 20										
13		10 20	100 200	10 20										
14		10 20	100 200	10 20										
15		10 20	100 200	10 20										

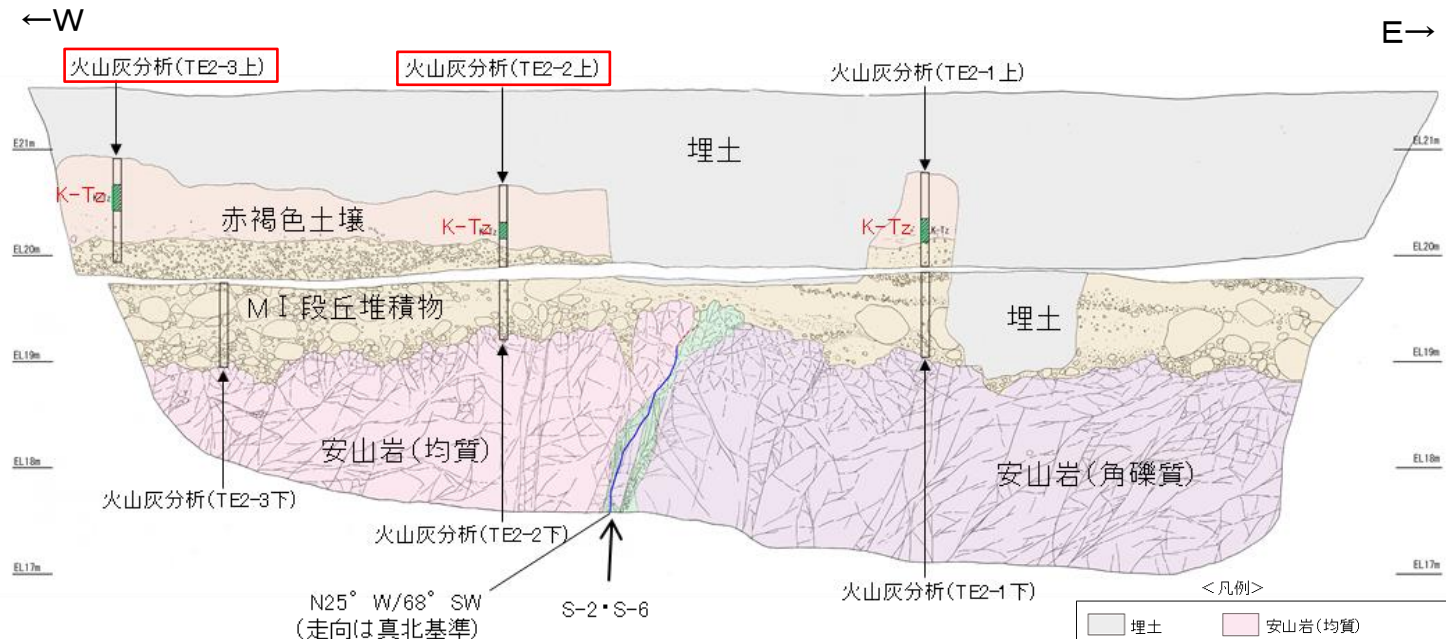
試料は5cm間隔

<火山灰分析結果の例(TE2-3上)>

試料番号	テフラ名	火山ガラスの形態別含有量 (/3000粒子)				重鉱物の含有量 (/3000粒子)	β 石英 (/3000粒子)	備考	火山ガラスの屈折率(nd)			角閃石の屈折率(n2)		
		Opx	Gho	Cum	1.500	1.510	1.670	1.680	1.690					
1		100 200	50 100 500	10 20 30 40										
2	AT混在	10 20	100 200	10 20										
3		10 20	100 200	10 20										
4		10 20	100 200	10 20										
5		10 20	100 200	10 20										
6		10 20	100 200	10 20										
7		10 20	100 200	10 20										
8		10 20	100 200	10 20										
9		10 20	100 200	10 20										
10		10 20	100 200	10 20										
11		10 20	100 200	10 20										
12		10 20	100 200	10 20										
13		10 20	100 200	10 20										
14		10 20	100 200	10 20										
15		10 20	100 200	10 20										
16		10 20	100 200	10 20										
17		10 20	100 200	10 20										
18		10 20	100 200	10 20										

試料は5cm間隔

その他の火山灰分析結果は**補足資料3 P.3-3, 4**



スケッチ(北壁面)



トレンチ写真(北壁面)

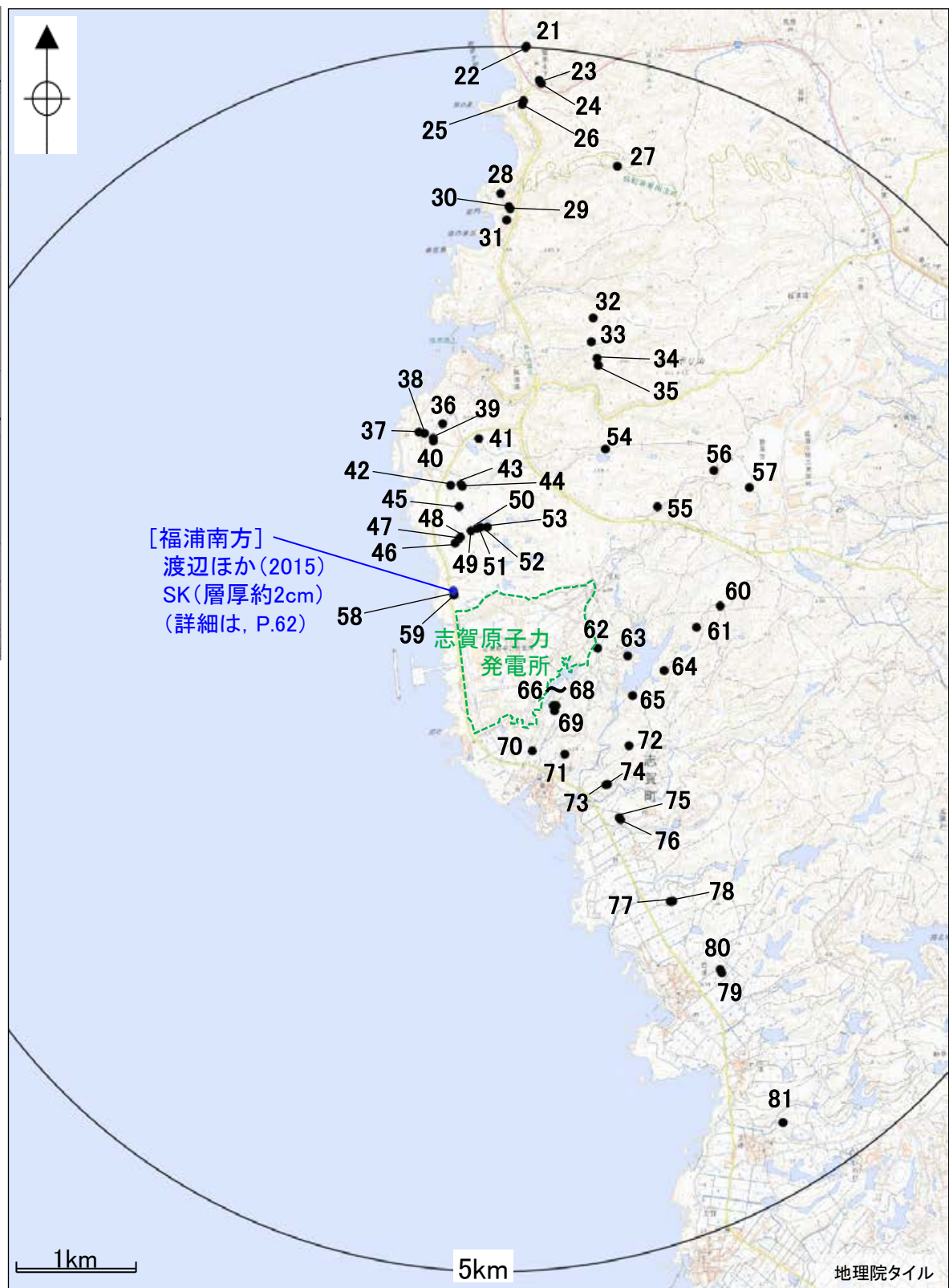
3.1.1.1(3) 降下火碎物に関する当社地質調査 一敷地近傍一

○当社地質調査のうち、敷地近傍(半径5km)で降下火碎物を確認した調査結果を以下に示す。敷地内と同様に、肉眼では明瞭な降下火碎物の地層として確認されないものの、火山灰分析により検出された(調査結果の例として、敷地北方ピット・ボーリング(地点No.58)の結果を次頁に示す)。



位置図

<凡例>
—降下火碎物の確認地点—
●:当社調査(分析で検出)
●:当社調査(分析で検出)
●:文献調査(地質調査)



敷地近傍での当社地質調査による降下火碎物の確認位置(敷地内を除く)

<確認した降下火碎物(いずれも分析で検出)>

No.	降下火碎物	No.	降下火碎物
21	K-Tz	52	AT
22	AT, K-Tz, SK	53	AT
23	K-Ah, AT, K-Tz	54	AT, K-Tz
24	AT	55	AT, K-Tz
25	AT, SK	56	AT, K-Tz
26	AT, K-Tz	57	AT, K-Tz
27		58	DKP, Aso-4, K-Tz, SK
28		59	K-Ah, AT, K-Tz
29		60	AT
30		61	AT, K-Tz
31		62	K-Ah, AT
32		63	K-Ah, AT, K-Tz
33		64	K-Ah, AT, K-Tz
34		65	AT, K-Tz
35		66	AT
36		67	AT, K-Tz
37		68	AT, Aso-4, K-Tz
38		69	AT, K-Tz
39		70	AT, K-Tz
40		71	K-Tz
41		72	K-Ah, AT
42		73	K-Tz
43		74	K-Tz
44		75	K-Tz
45		76	AT, K-Tz
46		77	AT, K-Tz
47		78	AT
48		79	K-Tz
49		80	K-Tz
50		81	AT, K-Tz
51	AT		

次頁
(敷地北方ピット・
ボーリング)

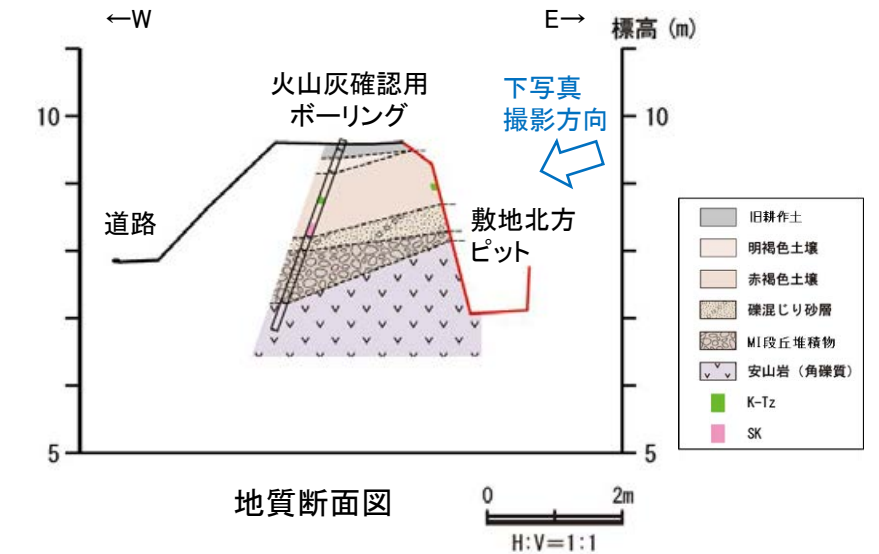
地点No.58

【敷地北方ピット・ボーリング】

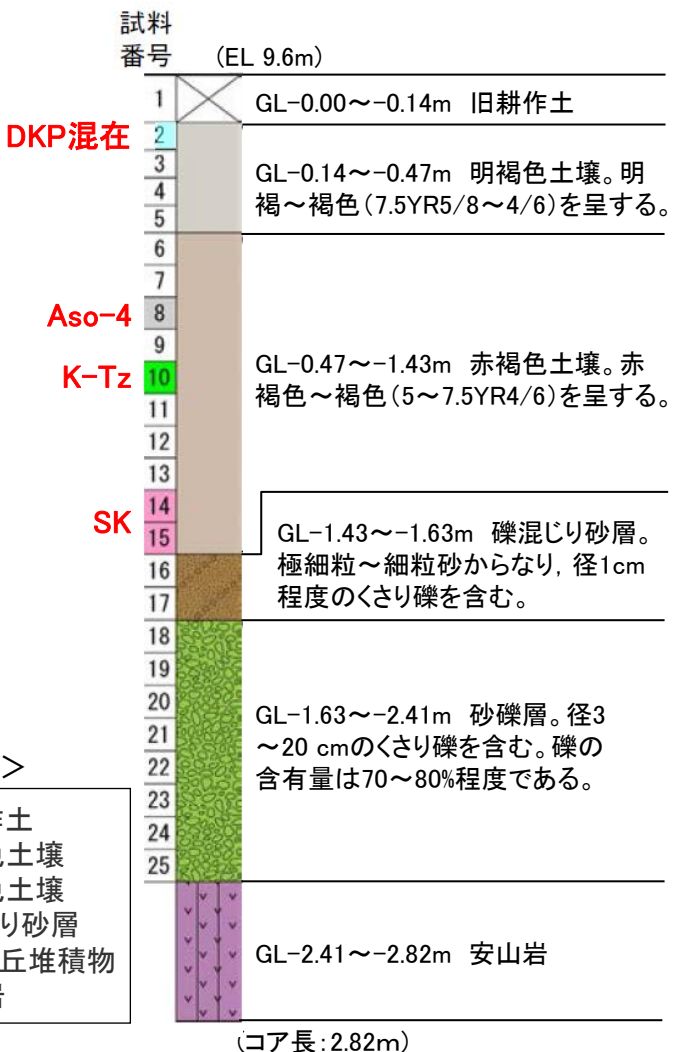
○敷地近傍の敷地北方ピット・ボーリングでは、肉眼では明瞭な降下火碎物の地層として確認されないが、連続サンプリング・火山灰分析により、大山倉吉テフラ(DKP), 阿蘇4テフラ(Aso-4), 鬼界葛原テフラ(K-Tz)及び三瓶木次テフラ(SK)が検出された。



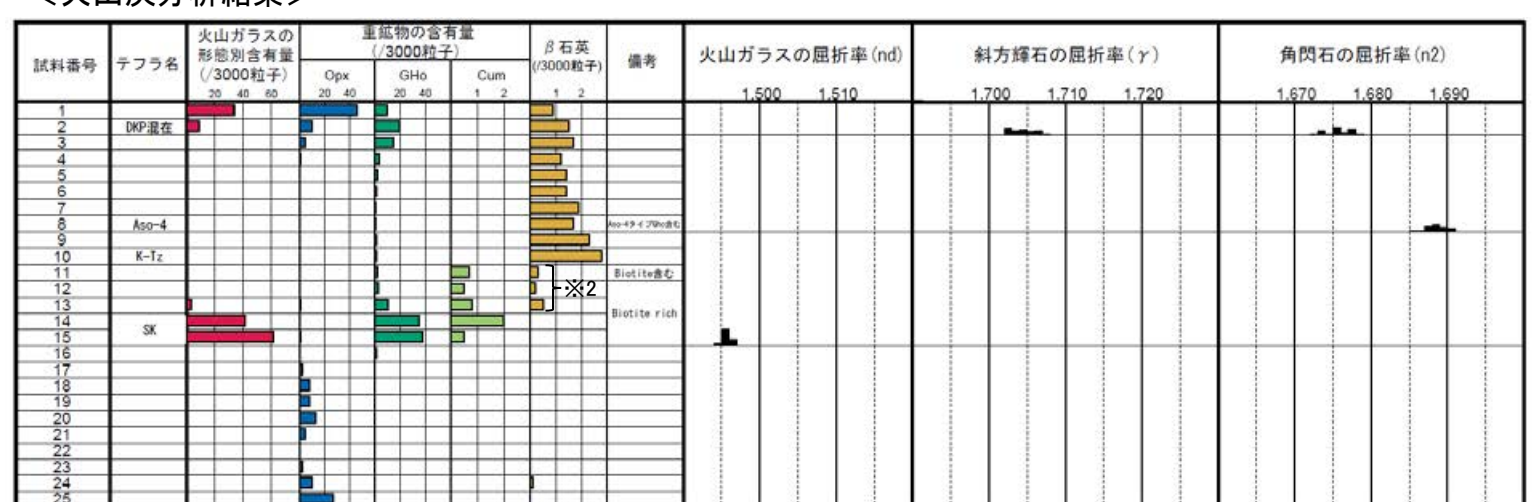
位置図



ピット写真



柱状図
(各テフラはいずれも、分析により検出)



バブルウォール(Bw)タイプ
パミス(Pm)タイプ
低発泡(O)タイプ

Opx:斜方輝石
GHO:緑色普通角閃石
Cum:カムシングトン角閃石



※2: K-Tzの降灰層準と認定した箇所よりも下位に
検出されたβ石英は、浸透等によるものと判断。

SK検出深度における火山ガラスの主成分分析結果は、[補足資料3 P.3-5](#)



コア写真※1

※1: 斜めボーリング(傾斜70° 西方向)で掘削

3.1.1.1(3) 降下火碎物に関する当社地質調査 一敷地北方一

○当社地質調査のうち、敷地より北方の富来周辺で降下火碎物を確認した調査結果を以下に示す（層厚を確認した七海地点（地点No.100）の調査結果の詳細は次頁）。

<確認した降下火碎物>

No.	降下火碎物
82	AT, DKP, K-Tz
83	AT, K-Tz
84	AT, K-Tz
85	AT, K-Tz
86	AT, K-Tz
87	K-Tz
88	AT, Aso-4, K-Tz, SK
89	AT, K-Tz
90	K-Tz, SK
91	AT, DKP, Aso-4, K-Tz
92	K-Tz
93	AT, K-Tz, SK
94	AT, Aso-4, K-Tz
95	AT, K-Tz, SK
96	K-Tz, SK
97	K-Tz, SK
98	SK
99	AT, K-Tz
100	SK(4cm)
101	K-Tz, SK
102	AT, K-Tz
103	AT
104	AT, SK
105	K-Tz, SK
106	AT, K-Tz, SK
107	K-Tz, SK
108	AT, K-Tz
109	AT, K-Tz
110	AT, K-Tz
111	AT, K-Tz, SK
112	K-Tz
113	AT, K-Tz
114	AT
115	AT, K-Tz
116	AT, K-Tz
117	AT, K-Tz

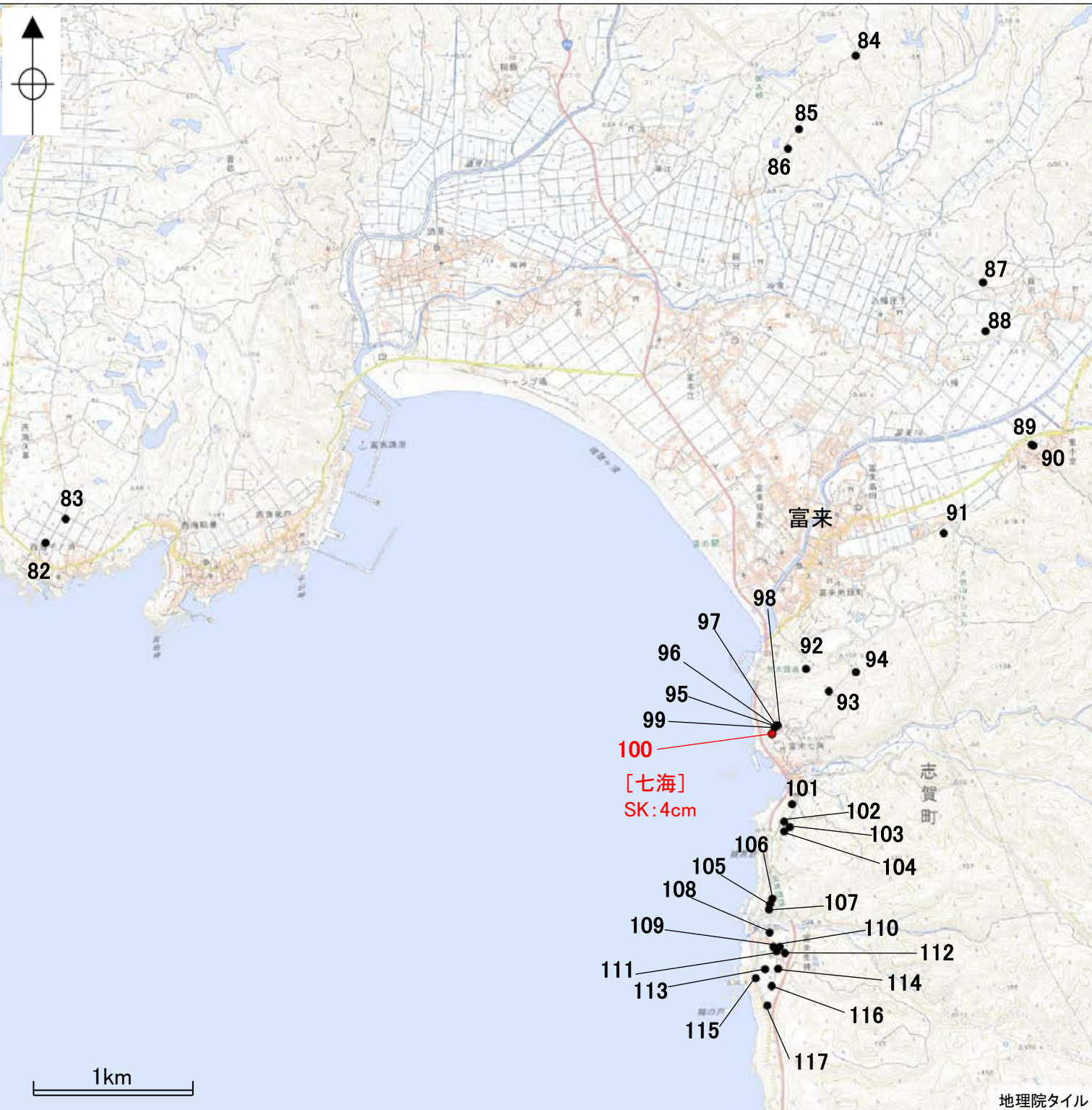
次頁
(七海地点
ST-N06孔)

位置図

<凡例>
—降下火碎物の確認地点—
●:当社調査(層厚を確認)
●:当社調査(分析で検出)
●:文献調査(地質調査)

<凡例>

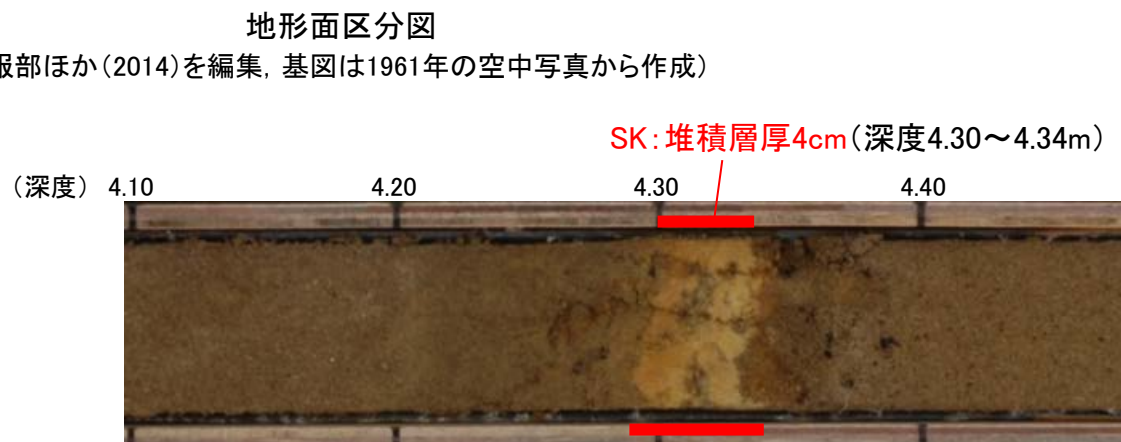
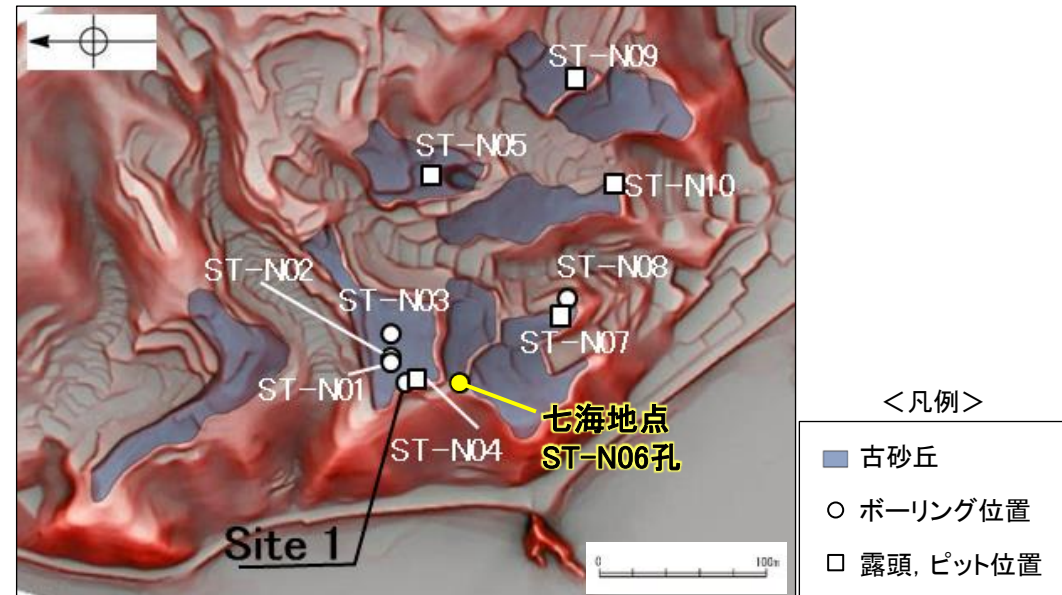
—降下火碎物の確認地点—
●:当社調査(層厚を確認)
●:当社調査(分析で検出)



地点No.100

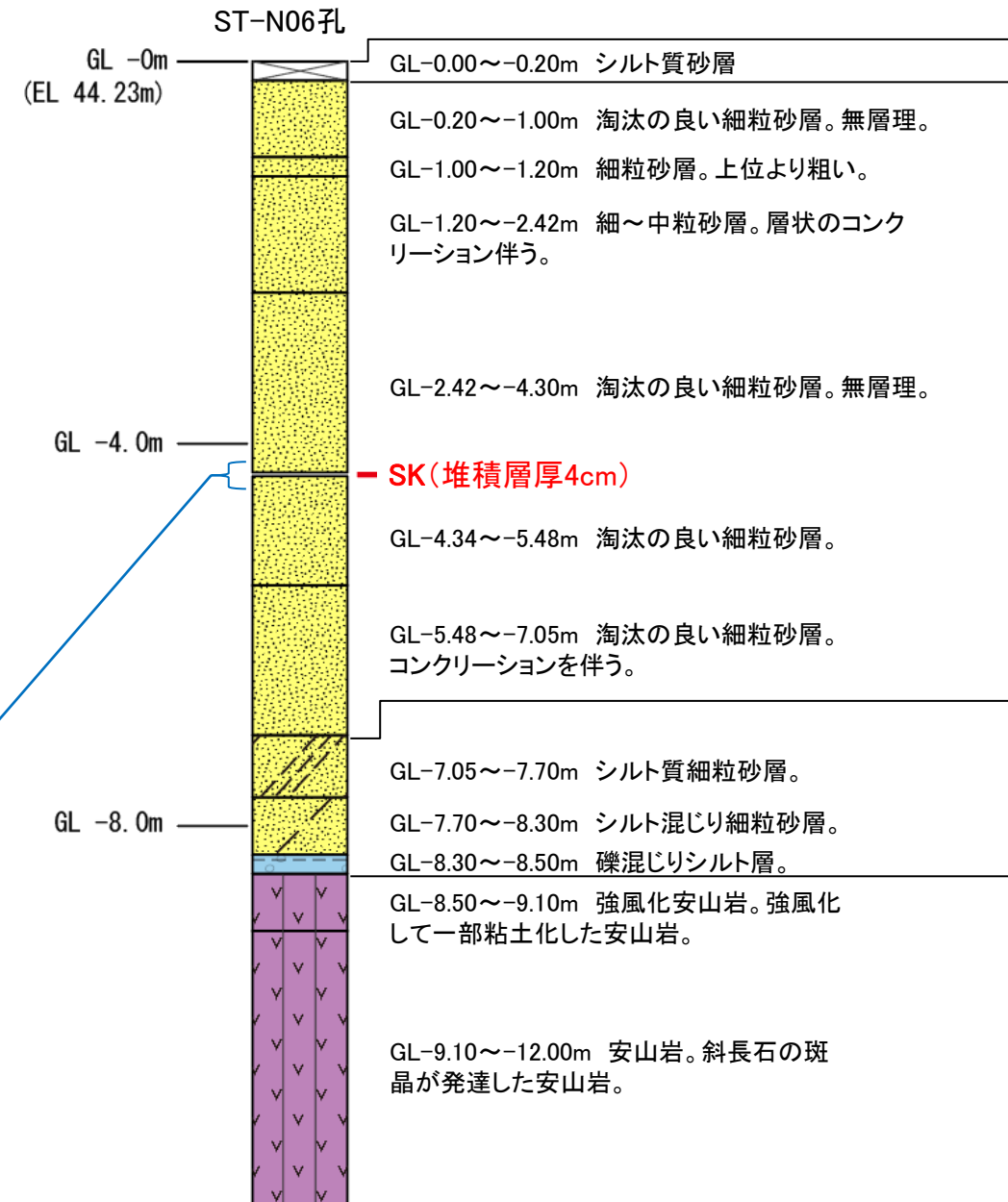
【七海地点】

○七海地点で実施したボーリング調査(ST-N06孔)により、層厚4cmの三瓶木次テフラ(SK)を確認した。



コア写真

全区間のボーリングコア写真は、
補足資料3 P.3-6



<火山灰分析結果>

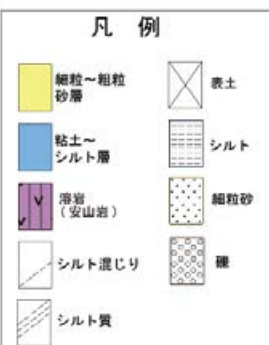
分析対象	テフラ名	火山ガラスの形態別含有量(/3000粒子)	重鉱物の含有量(/3000粒子)			長石・石英(/3000粒子)	備考	火山ガラスの屈折率(nd)	
			斜方輝石	普通角閃石	黒雲母			1.500	1.510
火山灰層 (深度4.30~4.35m)*	SK (対比結果)	200 600 1000	10 20 30	10 20 30	10 20 30	50 100 150			
三瓶木次テフラ (SK) (町田・新井, 2011)	SK	パミス					黒雲母, 石英		

*確認される火山灰層の層厚は4cmだが、採取区間は4.30~4.35m(5cm)とした

■ バブルウォール(Bw)タイプ
■ パミス(Pm)タイプ

SK検出深度における火山ガラスの主成分分析結果は、補足資料3 P.3-7

柱状図



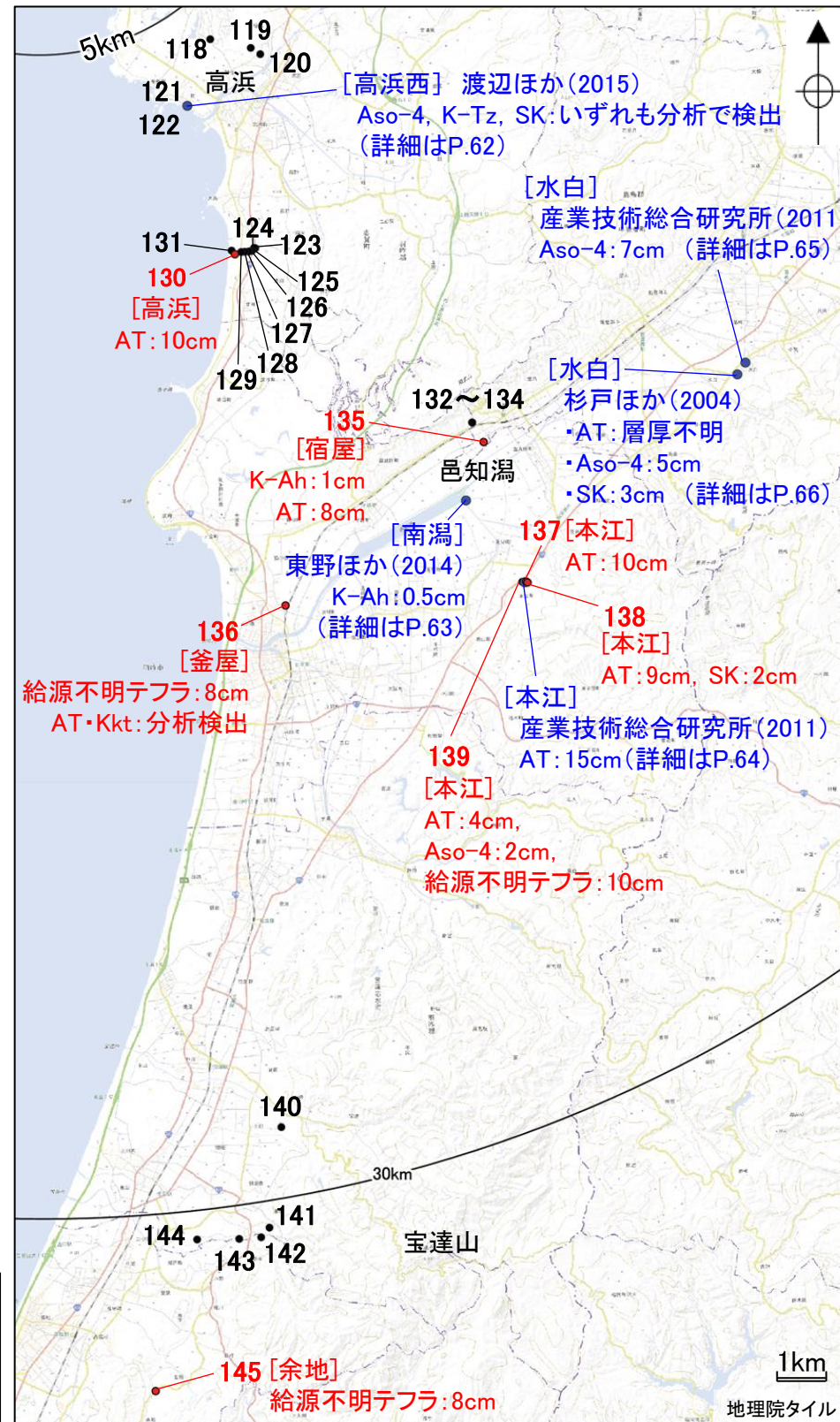
3.1.1.1(3) 降下火碎物に関する当社地質調査 一敷地南方一

○当社地質調査のうち、敷地の南方の高浜～邑知潟～宝達山周辺で降下火碎物を確認した調査結果を以下に示す（代表的な地点の調査結果は次頁以降。給源不明テフラについては、詳細な観察結果及び堆積状況に関する当社の解釈を含む）。



<凡例>

- 降下火碎物の確認地点
 - : 当社調査(層厚を確認)
 - : 当社調査(分析で検出)
 - : 文献調査(地質調査)



敷地南方での当社地質調査による降下火碎物の確認位置

<確認した降下火碎物>

No.	降下火碎物
118	AT
119	K-Tz
120	K-Tz
121	AT, DKP, Aso-4, K-Tz, SK
122	K-Tz, SK
123	K-Tz
124	Kkt
125	Kkt
126	Kkt
127	Kkt
128	Kkt
129	Kkt
130	AT(10cm)
131	Kkt
132	AT
133	AT
134	AT
135	K-Ah(1cm), AT(8cm)
136	AT・Kkt(分析検出), 給源不明テフラ(8cm)
137	AT(10cm)
138	AT(9cm), SK(2cm)
139	AT(4cm), Aso-4(2cm), 給源不明テフラ(10cm)
140	AT, DKP
141	DKP, Aso-4, K-Tz
142	AT, DKP, K-Tz
143	AT, DKP, K-Tz
144	AT, DKP, Aso-4, K-Tz
145	給源不明テフラ(8cm)

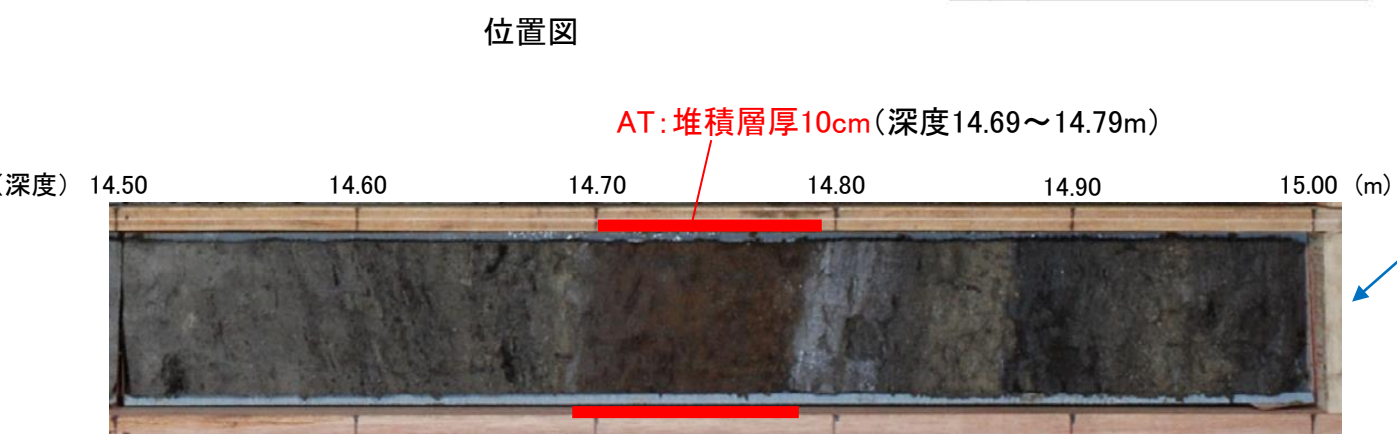
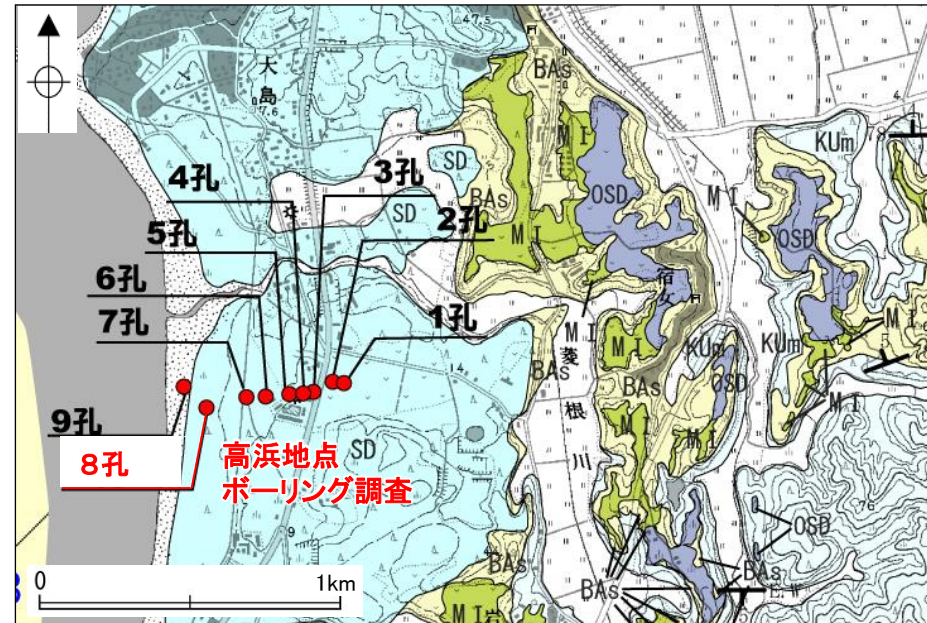
<凡例>

- 層厚を確認した調査地点
- 分析で検出した調査地点

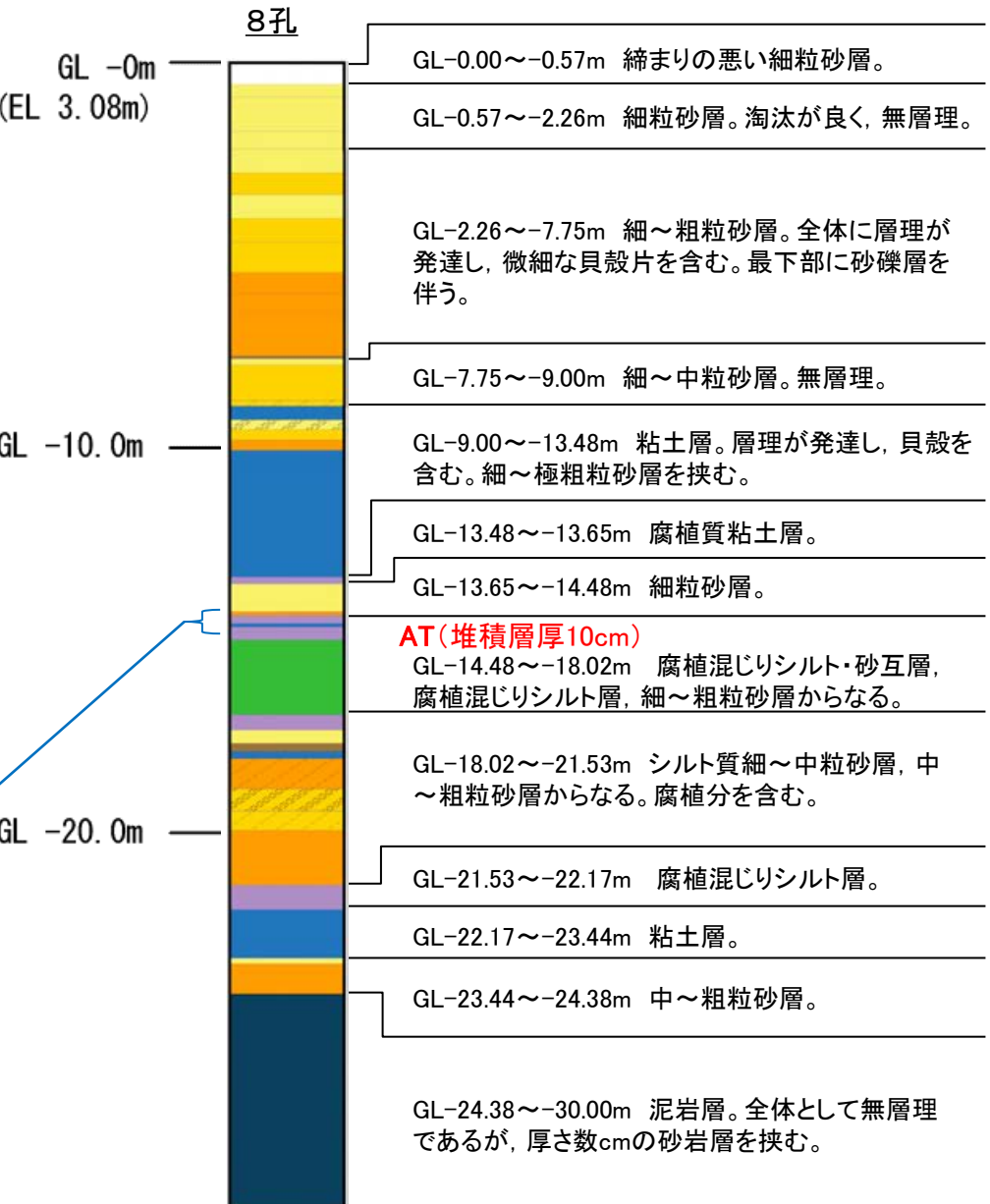
地点No.130

【高浜地点(AT)】

○高浜地点で実施したボーリング調査(8孔)により、層厚10cmの始良Tnテフラ(AT)を確認した。



全区間のボーリングコア写真は、
補足資料3 P.3-8



<火山灰分析結果>

分析対象	テフラ名	火山ガラスの形態別含有量(/3000粒子)※	重鉱物の含有量(/3000粒子)※			長石・石英※(/3000粒子) 50 100 150	備考	火山ガラスの屈折率(nd)	
			斜方輝石	普通角閃石	黒雲母			1.500	1.510
ガラス質火山灰層 (No.8孔深度14.69 ～14.79m)	AT (対比結果)	バブルウォール、 バミス	1000 2000	10 20 30	10 20 30	10 20 30	斜方輝石 > 単斜輝石、 普通角閃石		
始良Tnテフラ(AT) (町田・新井、2011)	AT	バブルウォール、 バミス					斜方輝石、単斜輝石(普通角閃石、 石英)	1.500	1.510

■バブルウォール(Bw)タイプ
■バミス(Pm)タイプ

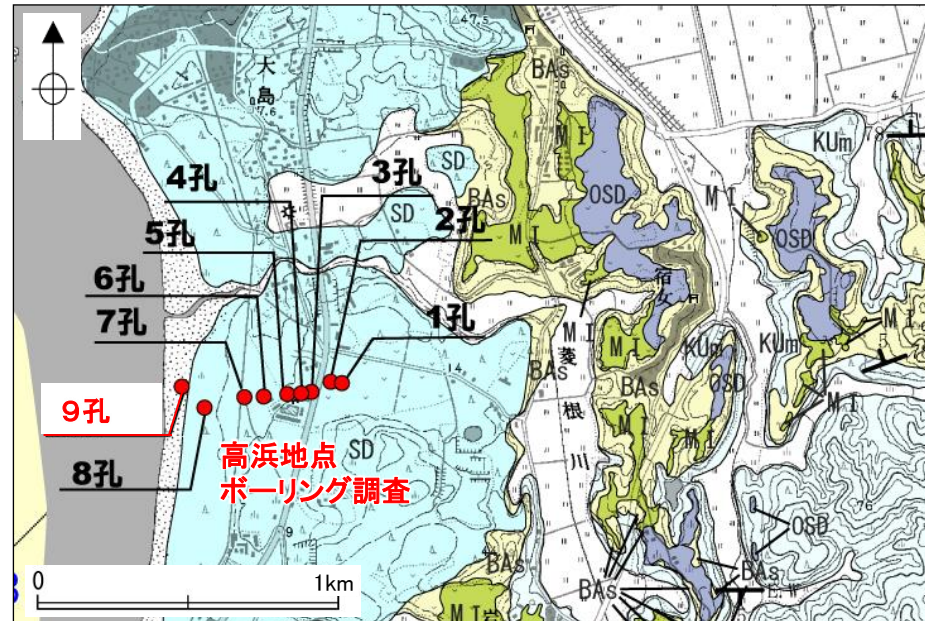
※実際には合計300粒子のカウントを実施



地点No.131

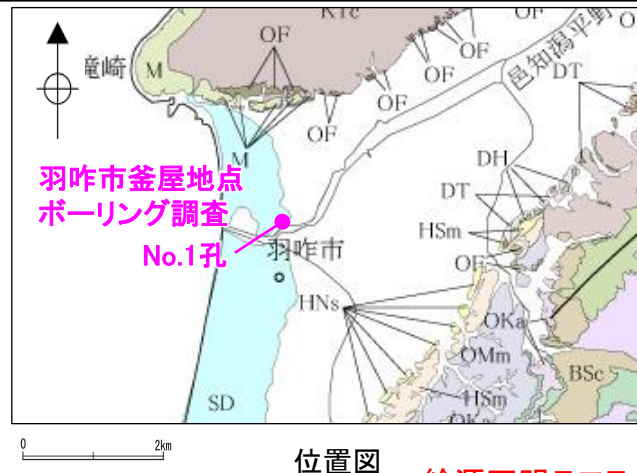
【高浜地点(Kkt)】

○高浜地点で実施したボーリングコア(9孔)の火山灰分析結果から、加久藤テフラ(Kkt)が検出された。



【釜屋地点(給源不明テフラ)】

- 羽咋市釜屋地点で実施したボーリング調査(No.1孔)により、姶良Tnテフラ(AT), 加久藤テフラ(Kkt)及び緑灰色を呈する給源不明テフラ(層厚8cm)を確認している。
- 給源不明テフラは、中部更新統の砂層中の105.09~105.17m区間に確認され、含まれるジルコンのFT年代は 0.40 ± 0.07 Maであり、風化の影響で火山ガラスが消失している。
- 風化火山灰層の上位においては、ATが深度43.40~43.60m区間、Kktが深度98.00~98.60m区間の火山灰分析によって、それぞれ検出された。



地層・岩石名	
SD	砂丘砂層
	沖積層
M	中段段丘堆積層
DT	高階層
DH	堆生累層・西田層
HNs	中川砂岩層・村上シルト岩層・矢田砂岩層
HSm	崎山シルト岩層・杉野層シルト岩層・ 森田シルト岩層
O	音川層
OMm	虫崎泥岩層・姿泥岩層(下部層)・ 聖宮川泥岩層・吉倉泥岩層
OKa	葛葉瓦層
OMn	新宮砂岩岩層
HSm	流瀬岩層・ 黒瀬谷層
OTe	石動山輝岩層

全区間のボーリングコア写真及びKktに関する火山灰分析結果の詳細は、[補足資料3 P.3-11~14](#)

(深度) 105.00 105.10 105.20 105.30 105.40 105.50 (m)



コア写真

<給源不明テフラに関するコア観察結果(コア写真の再観察結果)>

- 明緑灰色の風化した細粒火山灰層であり、下方に向かってわずかに粗粒化している。
- 火山灰層と上位の砂層とは明瞭に区分されるものの、下位の砂層との境界は、やや不明瞭である。不明瞭な部分も含めると層厚は8cmである。
- 火山灰層の上下の砂層は、いずれも暗緑灰色を呈し、粒径や構成粒子も類似している。
- 上位の砂層中には、火山灰が取り込まれている状況は確認されない。

<給源不明テフラの堆積状況に関する当社の解釈>

- 火山灰層の上下の砂層は、色調や粒径等が類似することから、テフラの降下・堆積の前後で砂の供給・堆積が同様に継続していたことが示唆され、上下の砂層で時代的な相違はなく、整合的に堆積したと考えられる。
- 上位の砂層中に取り込まれた火山灰は確認されず、火山灰層と上位の砂層が明瞭に区分されることから、上位の砂層には再堆積したものは含まれないと考えられる。
- 整合的に堆積し、再堆積が生じていないと考えられることから、火山灰が概ね初生的な堆積層厚を保持しているものと解釈される。

<火山灰分析結果>

分析対象	テフラ名	火山ガラスの形態別含有量(/3000粒子)	重鉱物の含有量(/3000粒子)			長石・石英(/3000粒子)	備考	火山ガラスの屈折率(nd)
			斜方輝石	普通角閃石	黒雲母			
明緑灰色の風化した細粒火山灰層(深度105.16m)	風化火山灰(給源不明)	バブルウォール1/3000粒子	100 200	10 20 30	10 20 30	50 100 150	β 石英 微量含む	ジルコン 多く含む (火山ガラス残存せず)

No.1孔 (EL 3.51m)

GL-0.00m
GL-2.81m
GL-3.69m
GL-4.94m



GL-0.00~2.81m 盛土。

GL-2.81~3.69m 砂丘砂；細粒砂層。

GL-3.69~4.94m 沖積層；シルト砂互層。

GL-4.94~37.70m 沖積層；極細～粗粒砂層。
一部に、水平な層理や斜交層理を伴う。
貝化石や生痕化石を含む。

GL-37.70~43.26m 沖積層；粘土～砂混じりシルト層。
暗色を呈する。貝化石や生痕化石を含む。

GL-43.26~43.45m 沖積層；腐植質粘土層。
AT(分析検出)

GL-43.45~46.30m 上部更新統；粘土層。明るいオリーブ灰色を呈する。

GL-46.30~57.50m 上部更新統；
腐植混じりシルト、粗粒砂、砂礫の互層

GL-57.50~71.25m 上部更新統；極細～粗粒砂層。
一部に層理を伴う。生痕化石を含む。

GL-71.25~74.25m 上部更新統；シルト～極細粒砂層。
一部に層理を伴う。カキの貝殻を含む。

GL-74.25~78.98m 上部更新統；淘汰の悪い砂層。生痕化石を含む。

GL-78.98~81.92m 中部更新統；腐植混じりシルトと細粒砂の互層。

GL-81.92~85.05m 中部更新統；細粒砂層。生痕化石を含む。

GL-85.05~87.18m 中部更新統；シルト層。暗色を呈する。

GL-87.18~87.75m 中部更新統；シルト層。生痕化石を含む。

GL-87.75~103.75m 中部更新統；腐植混じりシルトと細粒砂の互層。下部は粗～極粗粒砂層と砂礫層。

Kkt(分析検出)

-給源不明テフラ(堆積層厚8cm)

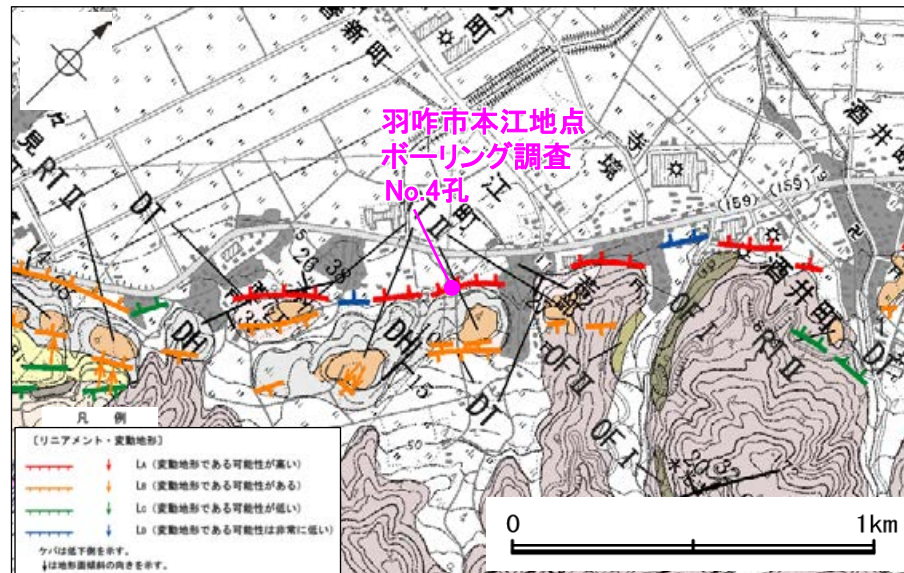
GL-103.75~115.00m 中部更新統；細粒砂岩。緑灰色を呈する。上部に生痕化石を含む。下部に水平な層理を伴う。

柱状図

地点No.137

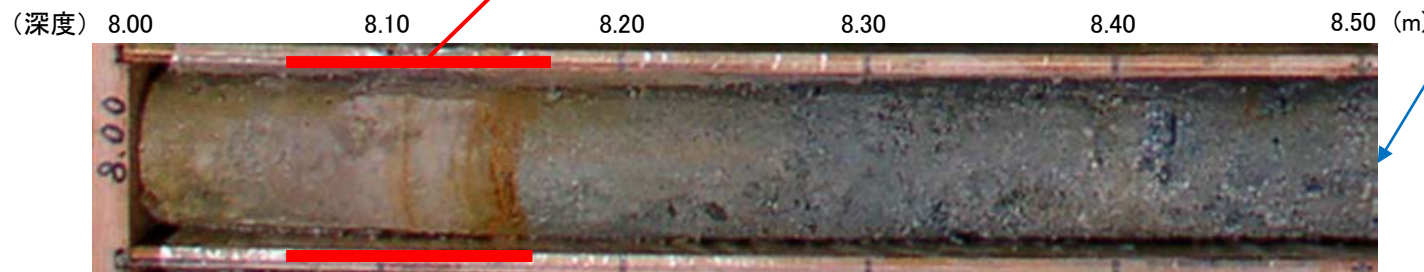
【本江地点(AT)】

○羽咋市本江地点で実施したボーリング調査(No.4孔)により、層厚10cmの始良Tnテフラ(AT)を確認した。



位置図

AT:堆積層厚10cm(深度8.05~8.15m)



コア写真

全区間のボーリングコア写真は、
補足資料3 P.3-15

<火山灰分析結果>

分析対象	テフラ名	火山ガラスの形態別含有量(/3000粒子) ^{※1} 1000 2000	重鉱物の含有量(/3000粒子) ^{※1}			長石・石英 ^{※1} /3000粒子 50 100 150	備考	火山ガラスの屈折率(nd)	
			斜方輝石	普通角閃石	黒雲母			1.500	1.510
火山灰層(No.4孔 深度8.10~8.15m) ^{※2}	AT (対比結果)								
始良Tnテフラ(AT) (町田・新井, 2011)	AT	バブルウォール、 バミス				斜方輝石、単斜輝石 (普通角閃石、 石英)			

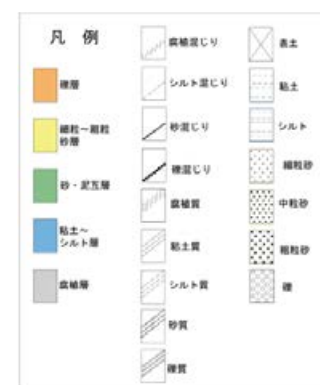
■バブルウォール(Bw)タイプ
■バミス(Pm)タイプ
■低発泡(O)タイプ

※1: 実際には合計200粒子のカウントを実施

※2: 局所的に試料を採取し分析



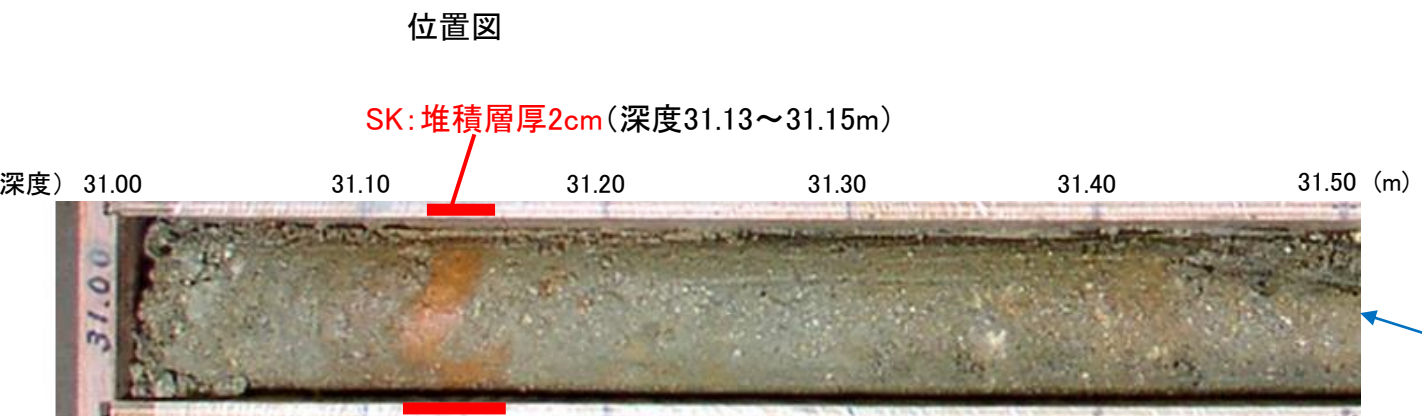
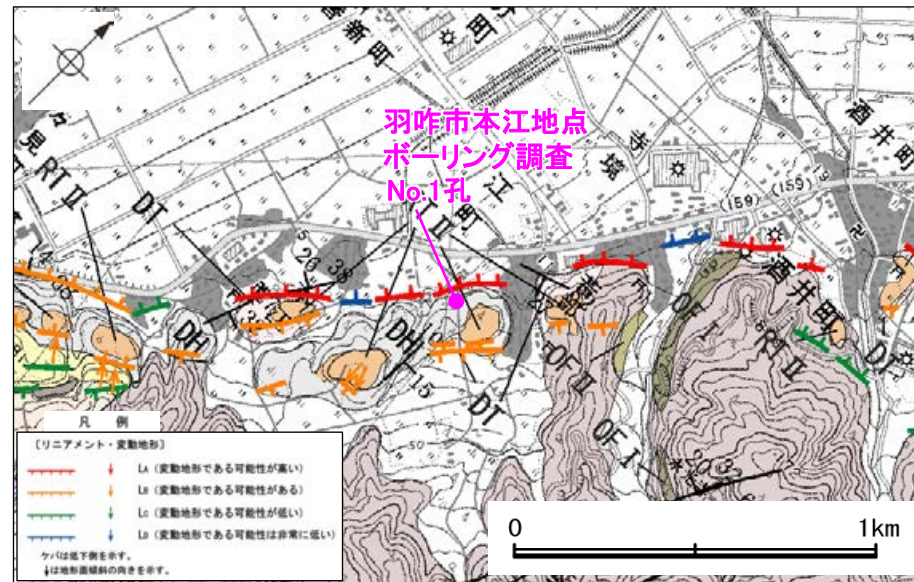
柱状図



地点No.138

【本江地点(SK)】

○羽咋市本江地点で実施したボーリング調査(No.1孔)により、層厚9cmの始良Tnテフラ(AT)及び層厚2cmの三瓶木次テフラ(SK)を確認した。このうち、確認したSKに関する調査結果を以下に示す。



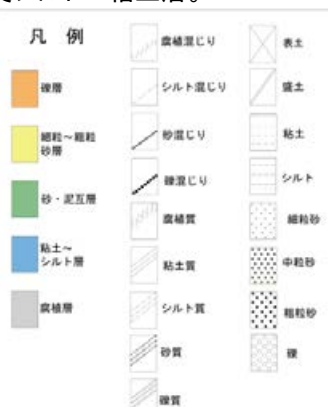
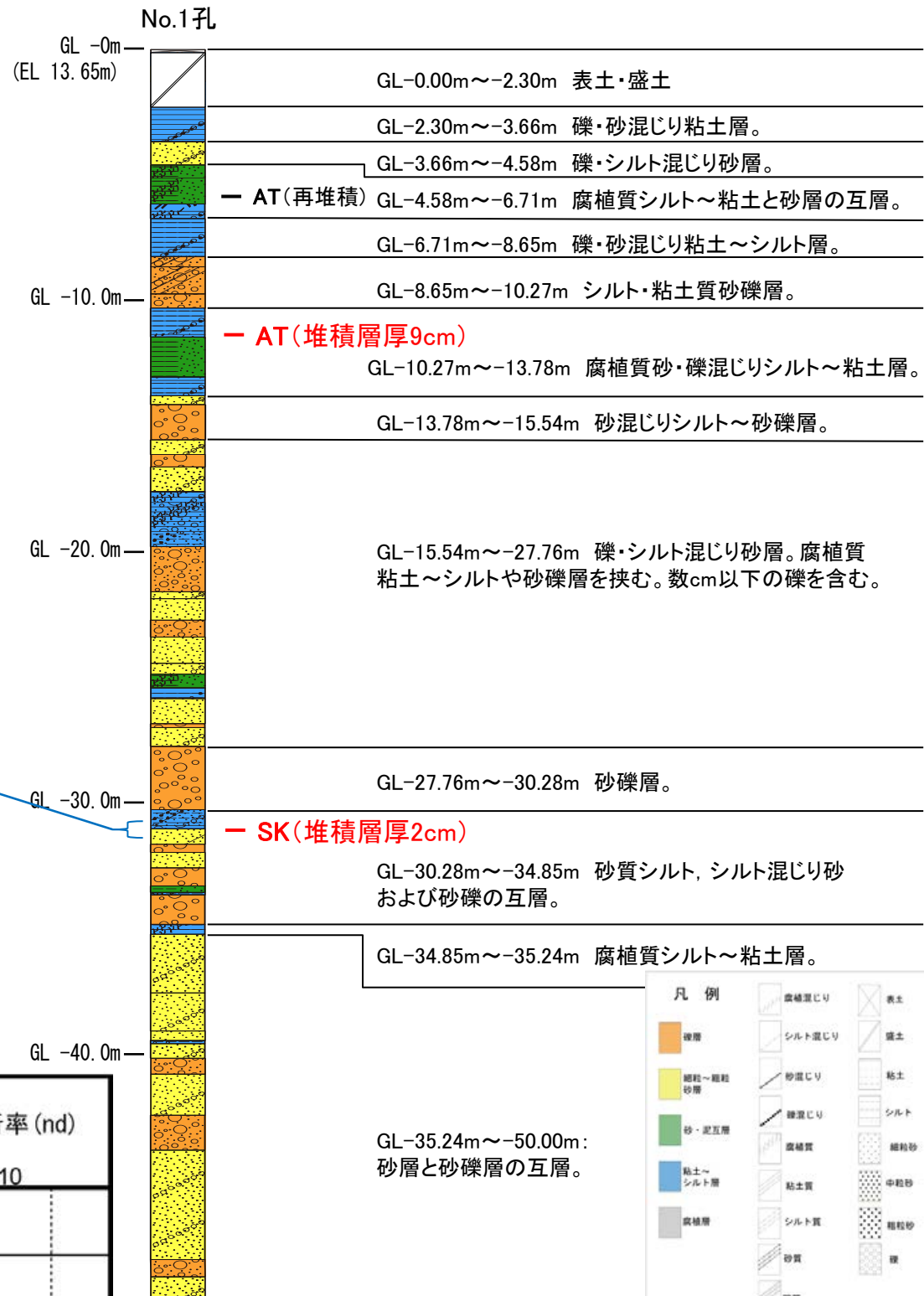
全区間のボーリングコア写真は、
補足資料3 P.3-16

<火山灰分析結果>

分析対象	テフラ名	火山ガラスの形態別含有量(/3000粒子)※ 1000 2000	重鉱物の含有量(/3000粒子)※ 斜方輝石 10 20 30 普通角閃石 20 40 60 黒雲母 20 40 60			長石・石英※ (/3000粒子) 500 1500	備考	火山ガラスの屈折率(nd) 1.500 1.510	
			斜方輝石	普通角閃石	黒雲母			1.500	1.510
火山灰層(No.1孔 深度31.13~31.15m)	SK (対比結果)						黒雲母、普通角閃石 石英、不透明鉱物		
三瓶木次テフラ(SK) (町田・新井, 2011)	SK	バミス					黒雲母、石英		

■バブルウォール(Bw)タイプ

※実際には合計200粒子のカウントを実施



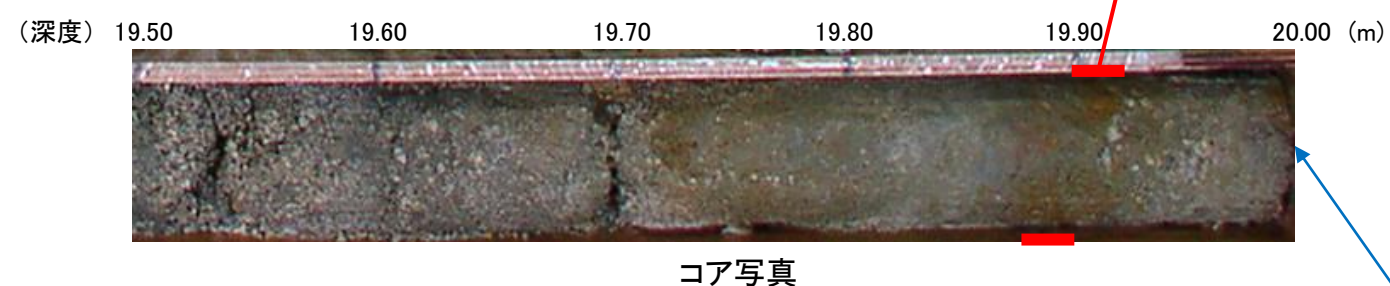
【本江地点(Aso-4)】

○羽咋市本江地点で実施したボーリング調査(GS-OC-1孔)※により、始良Tnテフラ(AT), 阿蘇4テフラ(Aso-4)及び給源不明テフラを確認している。各テフラの層厚は、ATで4cm(深度5.19~5.23m区間), Aso-4で2cm(深度19.88~19.90m区間), 桃色がかった灰白色の給源不明テフラで10cm(深度66.60~66.70m区間)である。

○このうち、Aso-4に関するコア写真及び火山灰分析結果を以下に示す(給源不明テフラについては、次頁)。



位置図



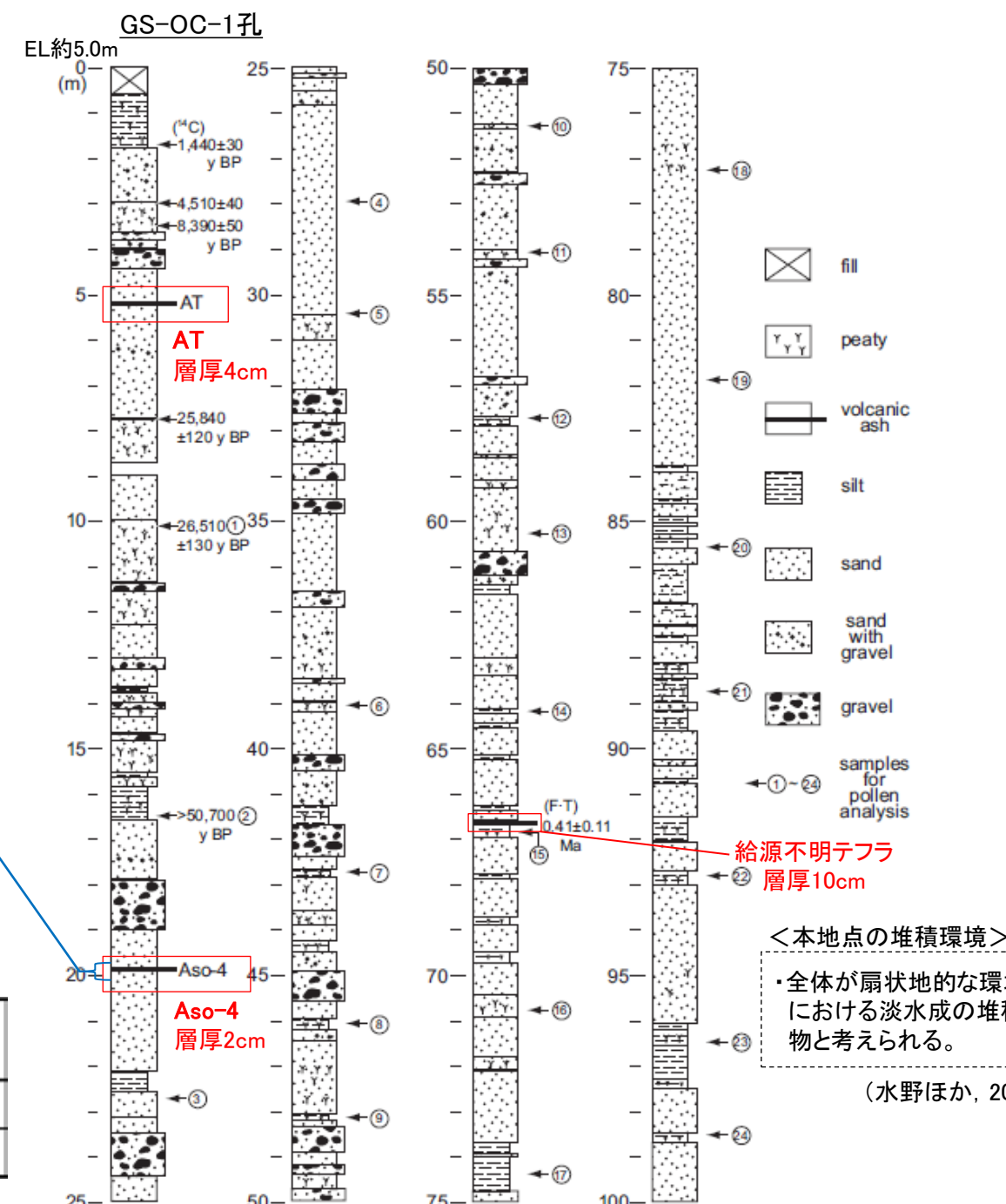
コア写真

Aso-4: 堆積層厚2cm
(深度19.88~19.90m)

<火山灰分析結果>

分析対象	テフラ名	火山ガラスの形態別含有量(/3000粒子)	重鉱物の含有量(/3000粒子)			長石・石英母(/3000粒子)	備考	火山ガラスの屈折率(nd)		斜方輝石の屈折率(γ)	
			斜方輝石	普通角閃石	黒雲母			1,500	1,510	1,700	1,710
黄褐色火山灰層(深度19.88~19.90m)	Aso-4(対比結果)	バブルウォール	100	20	30	10	20	30	50	100	150
阿蘇4テフラ(Aso-4)(町田・新井, 2011)	Aso-4	バブルウォール, バミス									

※産業技術総合研究所と当社が共同で実施した調査結果(水野ほか, 2003)

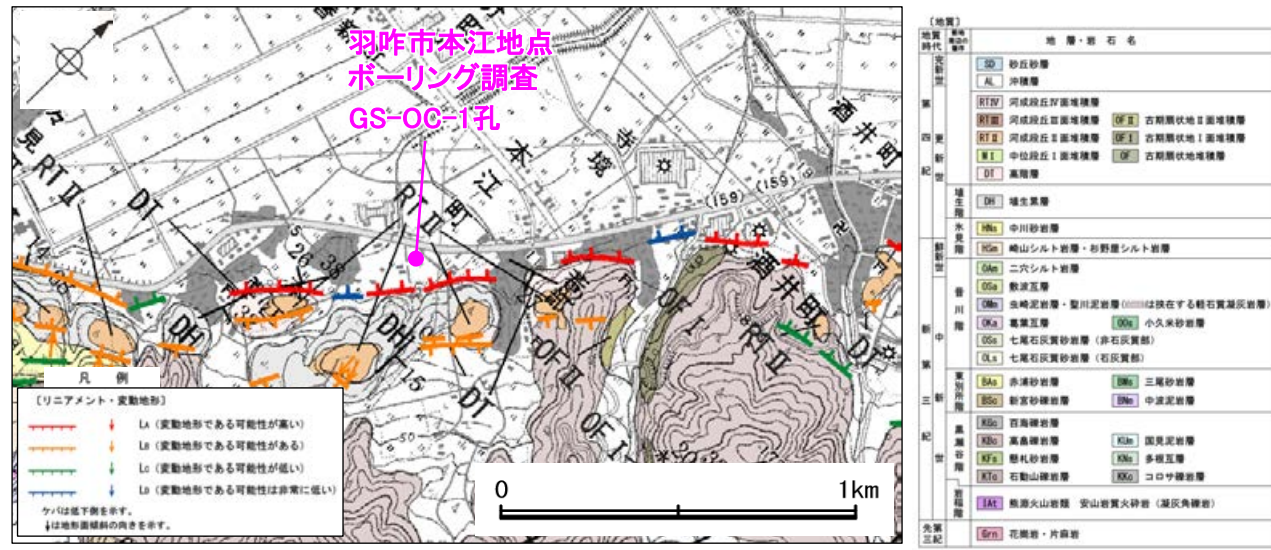


全区間のボーリングコア写真是
補足資料3 P.3-17, 18

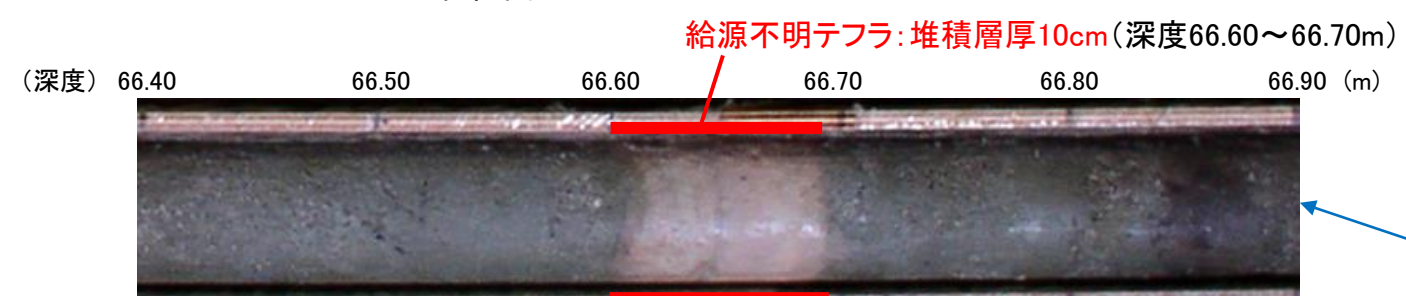
柱状図
(水野ほか(2003)に一部加筆)

【本江地点(給源不明テフラ)】

- 羽咋市本江地点のGS-OC-1孔※により確認した、姶良Tnテフラ(AT), 阿蘇4テフラ(Aso-4)及び給源不明テフラのうち、給源不明テフラについて詳細を以下に示す。
- 給源不明テフラは、中部更新統の砂層中に確認され、含まれるジルコンのFT年代は 0.41 ± 0.11 Maであり、風化の影響で火山ガラスが消失している。
- コア観察及び本地点の堆積環境を踏まえると、確認した給源不明テフラの層厚(堆積層厚10cm)は、概ね初生的な堆積層厚を保持しているものと解釈される。



位置図



コア写真

<給源不明テフラに関するコア観察結果(コア写真の再観察結果)>

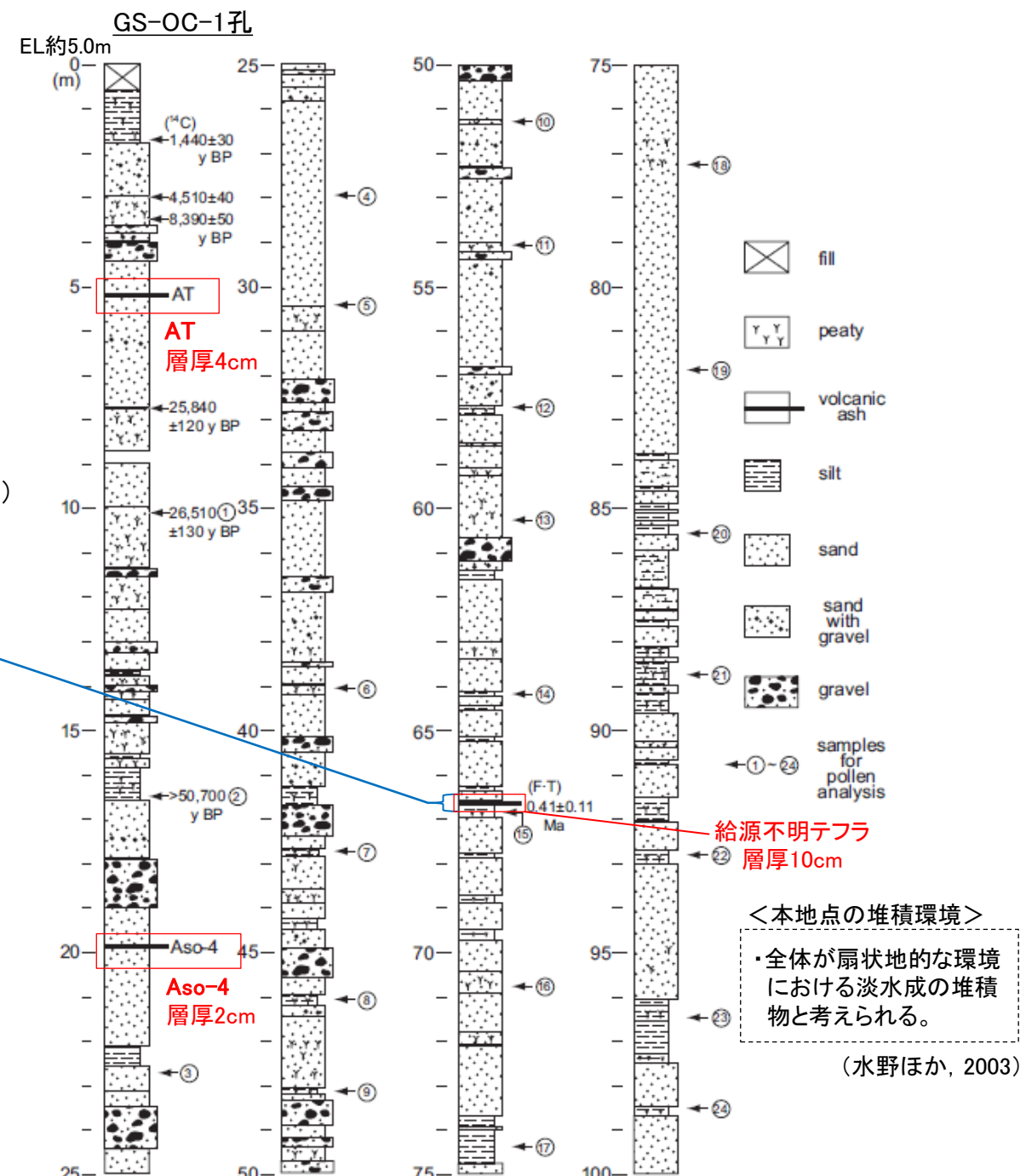
- ・桃色がかった灰白色の風化した細粒火山灰層であり、上下の砂層とは明瞭に区分される。
- ・火山灰層の上下の砂層は、いずれも灰色を呈し、粒径や構成粒子も類似している。
- ・上位の砂層中には、火山灰が取り込まれている状況は確認されない。



<給源不明テフラの堆積状況に関する当社の解釈>

- ・火山灰層の上下の砂層は、色調や粒径等が類似することから、テフラの降下・堆積の前後で砂の供給・堆積が同様に継続していたことが示唆され、上下の砂層で時代的な相違ではなく、整合的に堆積したと考えられる。
- ・上位の砂層中に取り込まれた火山灰は確認されず、火山灰層と上位の砂層が明瞭に区分されることから、上位の砂層には再堆積したものは含まれないと考えられる。
- ・整合的に堆積し、再堆積が生じていないと考えられることから、火山灰が概ね初生的な堆積層厚を保持しているものと解釈される。

*産業技術総合研究所と当社が共同で実施した調査結果(水野ほか, 2003)



全区間のボーリングコア写真は
補足資料3 P.3-17, 18

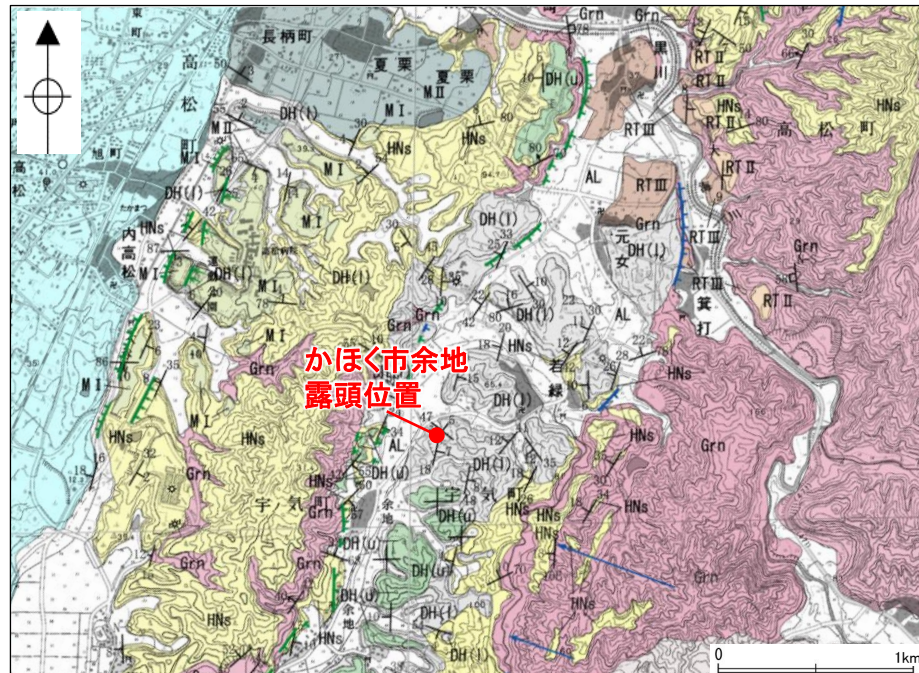
地点No.145

【余地地点(給源不明テフラ)】

○かほく市余地地点の露頭において、中部更新統の埴生累層の砂層中に挟在する風化した細粒火山灰層(給源不明テフラ)を確認した。

○この火山灰層の層厚は最大で8cmであり、白色～桃白色を呈し、著しく粘土化している。

○火山灰分析の結果、火山ガラスは風化消失しており、ジルコンのFT年代は 0.41 ± 0.11 Maを示す。



位置図

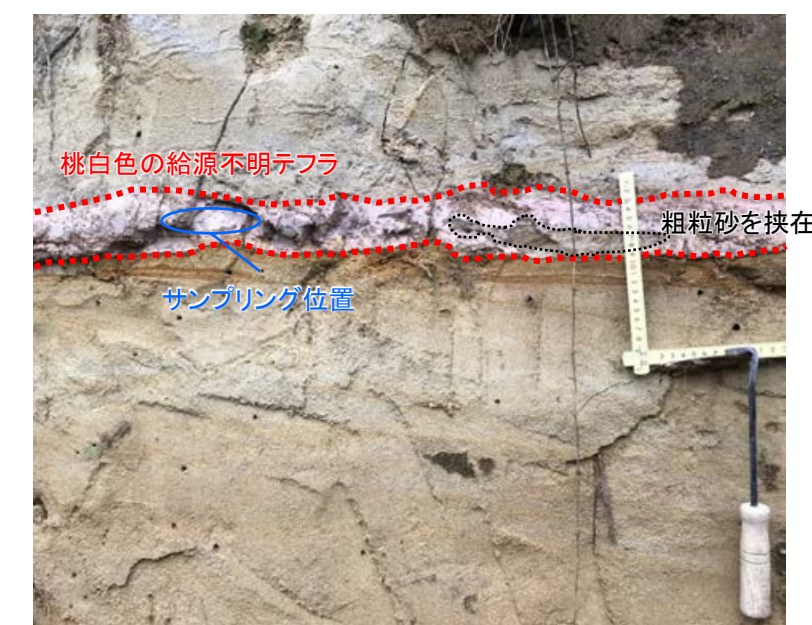
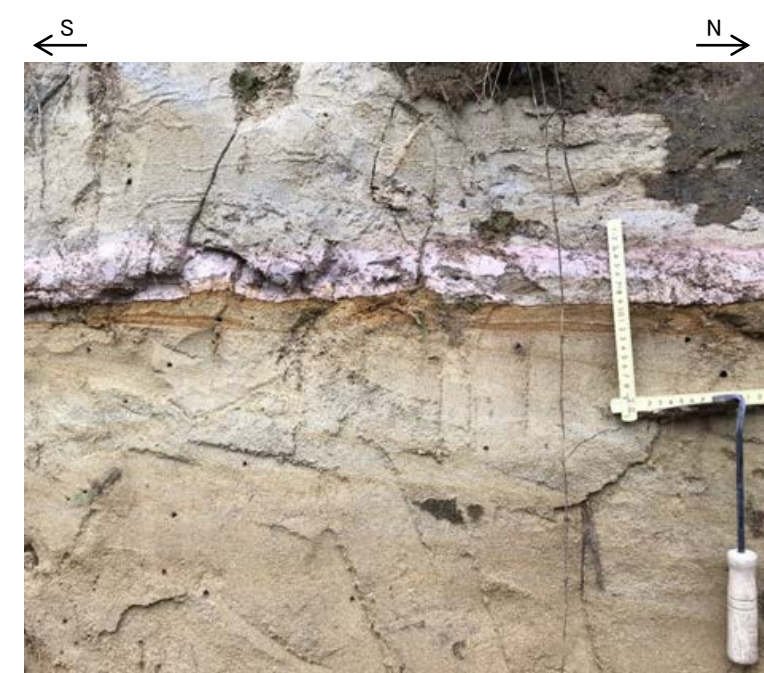
地質時代	地層番号	地層・岩石名		
		SD	AL	
全新世		砂丘砂層		
第四更新紀		沖積層		
		RT III 河成段丘Ⅲ面堆積層		
		DF II 古期扇状地Ⅱ面堆積層		
		DF I 古期扇状地Ⅰ面堆積層		
		M II 中位段丘Ⅱ面堆積層		
		M I 中位段丘Ⅰ面堆積層		
堆生階	DH(u)	埴生累層(上部)	DH(l)	埴生累層(下部)
水見階	HNs	中川砂岩層		
中新第三紀	KWc	河合砂礫岩層		
	KUd	瓜生累層		
古第三紀	NDs	太田累層		
先第三紀	Gra	花崗岩・片麻岩		



<給源不明テフラに関する露頭観察結果>

- ・白色～桃白色の風化した細粒火山灰層であり、上下の砂層とは明瞭に区分される。
- ・火山灰は著しく粘土化しており、1mm以下の粒子がわずかに確認できるものの、火山灰層を構成する粒子の粒径は計測できない。
- ・火山灰層中には、粗粒砂がレンズ状に含まれるが、火山灰層全体の層厚は概ね一定であり、最大8cmである。
- ・火山灰層の上下の砂層は、色調が若干異なるが、粒径や構成粒子は概ね類似する。

露頭写真

露頭拡大写真
(上: 加筆なし, 下: 加筆あり)

<火山灰分析結果>

分析対象	テフラ名	火山ガラスの形態別含有量(/300粒子)	重鉱物の含有量(/300粒子)			備考	火山ガラスの屈折率(nd)	
			斜方輝石	普通角閃石	黒雲母		長石・石英(/300粒子)	1,500
かほく市余地	風化火山灰		100	200	10 20 30	50 100 150	10 20 30	1,510
								(火山ガラス残存せず)

3.1.1.1(3) 降下火碎物に関する当社地質調査 一敷地東方一

○当社地質調査のうち、敷地の東方の七尾湾周辺で降下火碎物を確認した調査結果を以下に示す。肉眼では明瞭な降下火碎物の地層として確認されないものの、火山灰分析により検出された。



<確認した降下火碎物>

No.	降下火碎物
146	AT, Aso-4, K-Tz
147	AT
148	AT, K-Tz
149	AT, K-Tz
150	AT
151	AT
152	AT
153	AT
154	AT

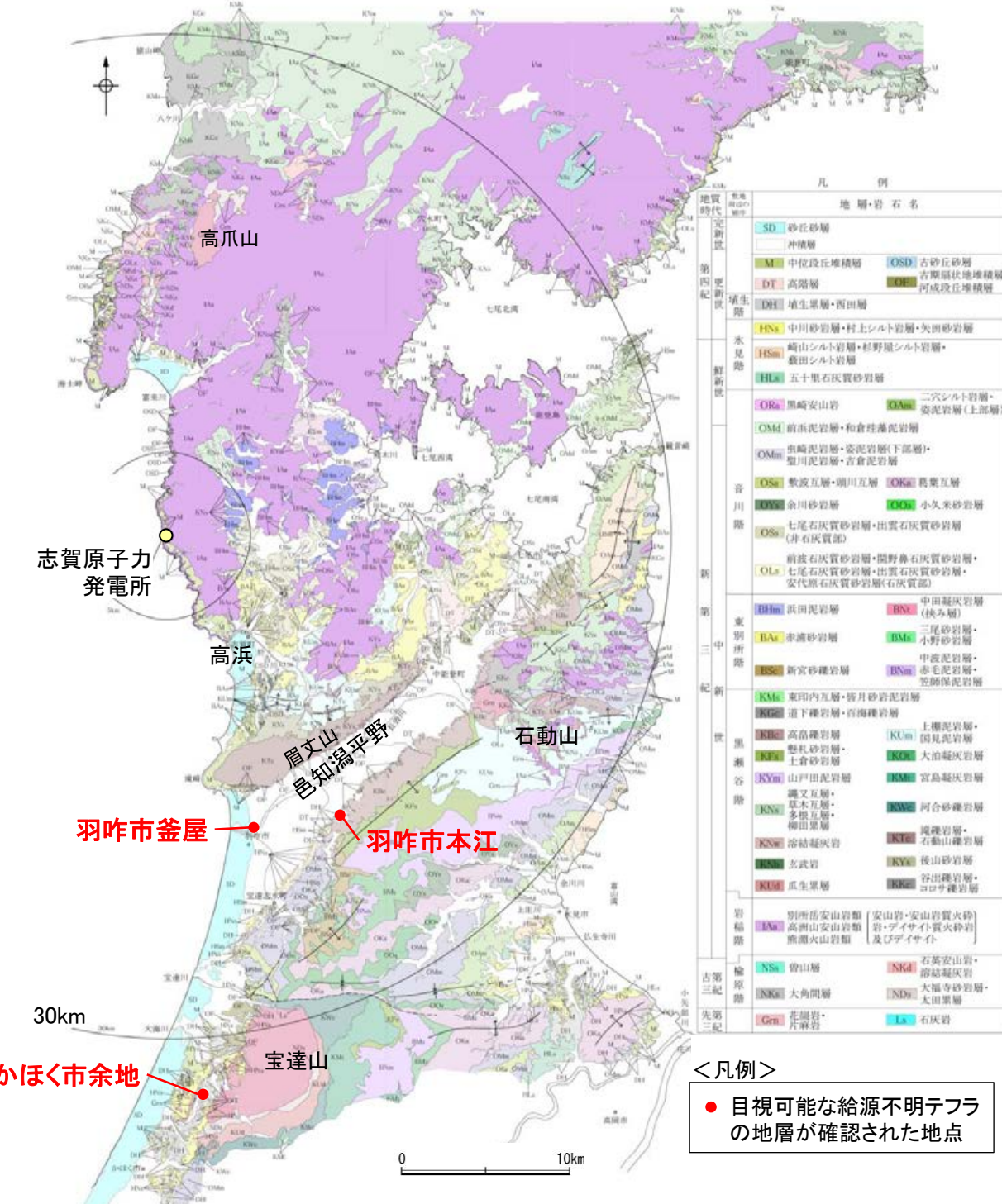
(いずれも分析で検出)

3.1.1.1(3) 降下火碎物に関する当社地質調査 — 確認した給源不明テフラの特徴 —

○邑知潟平野以南の3地点において、目視可能な給源不明テフラを確認した。

○これらは、火山ガラスが風化消失しておりテフラの対比ができるものの、いずれも中部更新統の砂層中に挟在しており、層厚は8cm～10cmでジルコンのFT年代は約40万年前を示し、共通の特徴を有している(右下表)。

○羽咋市釜屋地点のボーリング調査では、給源不明テフラの上位に中期更新世の加久藤テフラ(Kkt)を分析検出している。



(納野(1993)等を踏まえ、地表地質調査結果及び各種分析結果を加味し、当社作成)

<当社地質調査により確認した目視可能な給源不明テフラの特徴>

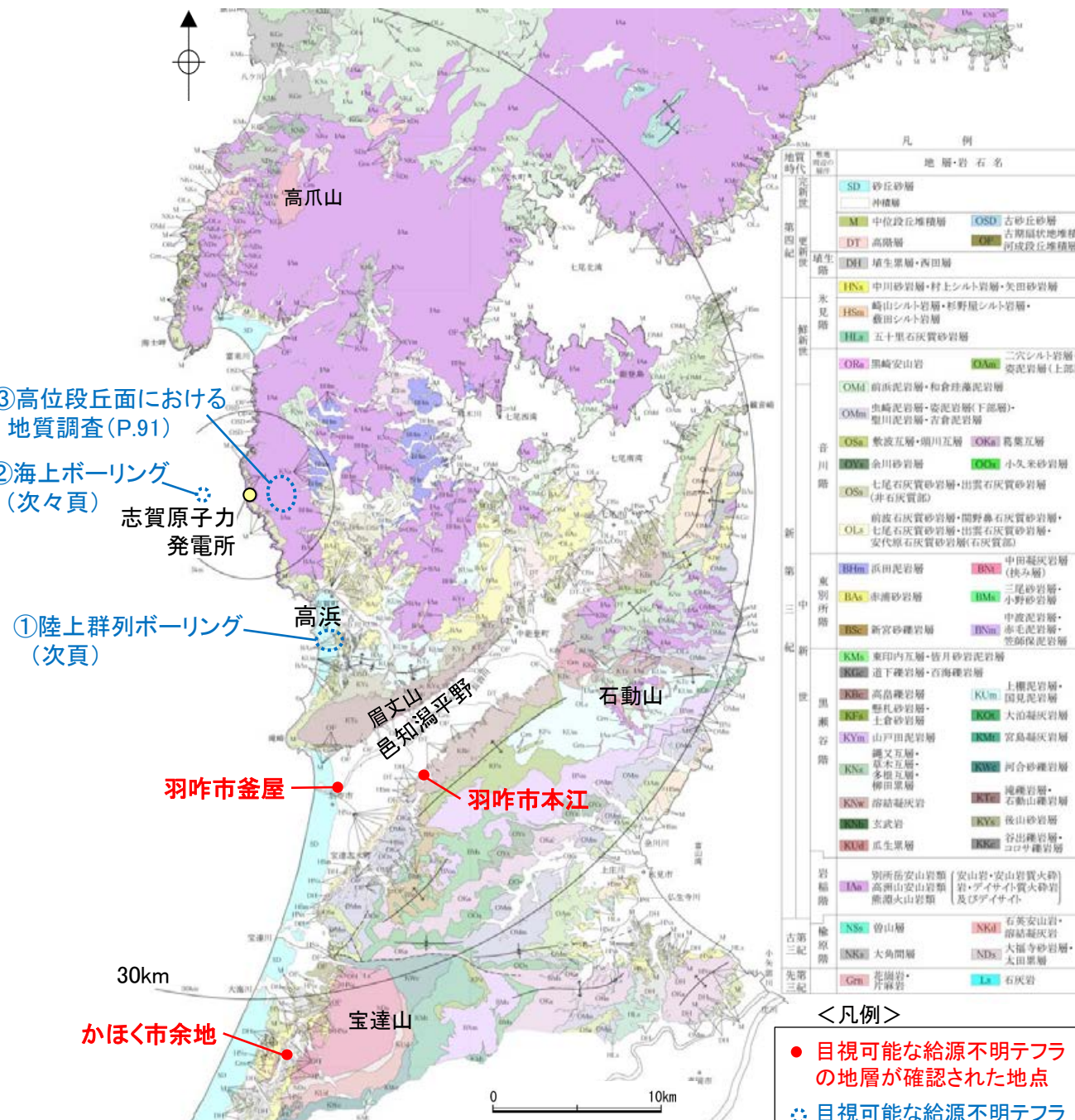
地点	羽咋市釜屋 (詳細は、P.80)	羽咋市本江 (詳細は、P.84)	かほく市余地 (詳細は、P.85)
調査方法	ボーリング調査	ボーリング調査	露頭調査
地層	中部更新統の砂層	中部更新統の砂層	中部更新統の砂層
確認位置	<ul style="list-style-type: none"> ・深度105.09～105.17mにおいて、中部更新統の砂層中に挟在 ・約7m上位には、Kkt(32～33万年前※1)を分析検出 	<ul style="list-style-type: none"> ・深度66.60～66.70mにおいて、中部更新統の砂層中に挟在 	<ul style="list-style-type: none"> ・中部更新統の砂層中に挟在
性状	 <ul style="list-style-type: none"> ・明緑灰色※2を呈し、風化した細粒火山灰層 	 <ul style="list-style-type: none"> ・桃色がかった灰白色※2を呈し、風化した細粒火山灰層 	 <ul style="list-style-type: none"> ・白色～桃白色※2を呈し、風化した細粒火山灰層
層厚	8cm	10cm	8cm
火山灰分析結果	火山ガラス 風化消失	火山ガラス 風化消失	火山ガラス 風化消失
年代測定結果	0.40±0.07Ma (FT年代)	0.41±0.11Ma (FT年代)	0.41±0.11Ma (FT年代)

※1:町田・新井(2011)による。

※2:降下火碎物の色調は、堆積環境により二次的に変化する場合がある。例えば、降下火碎物の主成分化学組成として含まれる鉄成分は、酸化的な環境下においては三価の鉄として色調は赤色系統や黒色を呈するが、還元的な環境下では、二価の鉄の緑色系統の色調となりうる。(地学団体研究会編(1982)等を参考)

3.1.1.1(3) 降下火碎物に関する当社地質調査 —給源不明テフラの分布に関する検討—

- 敷地周辺(半径約30km)の地質調査において、給源不明テフラは、邑知潟平野以南の3地点(羽咋市本江、羽咋市釜屋、かほく市余地)のみで確認された(前頁)。
- 給源不明テフラが、邑知潟平野よりも敷地に近い北側において、より厚く堆積している可能性について、【I：邑知潟平野よりも北側の当社地質調査】及び【II：第四紀火山の位置】から、検討を行った。
- 【I】邑知潟平野よりも北側の当社地質調査を整理した結果、下記の①～③の調査地点において、給源不明テフラの降灰年代と同じ中期更新世の堆積物が分布し、目視可能な給源不明テフラが認められないことを確認した(詳細は、次頁以降)。
- 【II】地理的領域内の第四紀火山について、邑知潟平野よりも南側には多くの火山が分布するが、邑知潟平野よりも北側には、第四紀火山は存在しない(P.18)。
- 以上より、給源不明テフラの給源は邑知潟平野よりも南側に位置する火山で、給源不明テフラは、邑知潟平野よりも北側でより厚く堆積していないと考えられる。



(紹野(1993)等を踏まえ、地表地質調査結果及び各種分析結果を加味し、当社作成)

<凡例>

- 目視可能な給源不明テフラの地層が確認された地点
- ○ 目視可能な給源不明テフラが確認されなかった代表的な調査地点

【確認した目視可能な給源不明テフラ】(前頁)

- ・中部更新統の砂層中に挟在。
- ・ジルコンのFT年代は、約40万年前。

邑知潟平野以南の
3地点で確認

<検討目的>

給源不明テフラが、邑知潟平野よりも敷地に近い北側において、より厚く堆積している可能性を検討

【I：邑知潟平野よりも北側の当社地質調査】(次頁～P.91)

調査地点	① 陸上群列ボーリング (高浜地点)	② 海上ボーリング (敷地近傍海域)	③ 高位段丘面 における地質調査 (敷地近傍)
調査内容	ボーリング調査 (9本、計250m)	ボーリング調査 (1本、44m)	ボーリング、ピット 調査等(計11地点)
調査地点の特徴	浅海成の堆積物	海成の堆積物	風成の堆積物
	中期更新世の加久 藤テフラを複数孔(7 本)で連続して確認。		給源不明テフラの FT年代(約40万年 前)よりも古い時代 に相当する中期更 新世の海成段丘面 に位置する。
調査結果	目視可能な給源不明テフラは確認されない。		
記載頁	次頁	次々頁	P.91

給源不明テフラの降灰年代と同じ中期更新世の堆積物が分布する
調査地点において、目視可能な給源不明テフラが認められない。

【II：第四紀火山の位置】(P.18)

地理的領域内の第四紀火山 の位置を確認

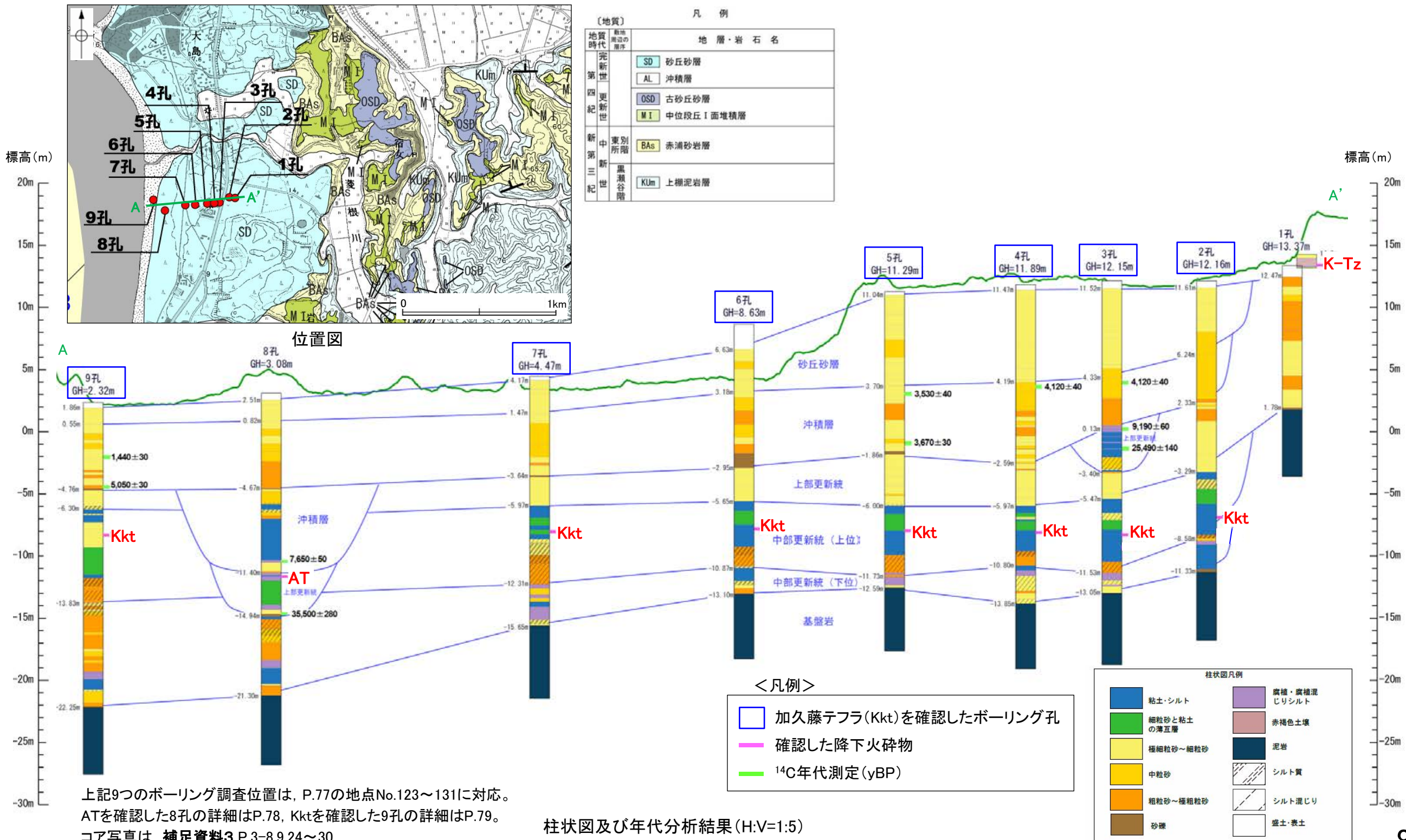
邑知潟平野よりも南側には
多くの火山が分布するが、
邑知潟平野よりも北側には
第四紀火山は存在しない。

<検討結果>

給源不明テフラの給源は邑知潟平野よりも南側に位置する火山で、
給源不明テフラは、邑知潟平野よりも北側でより厚く堆積していないと考えられる。

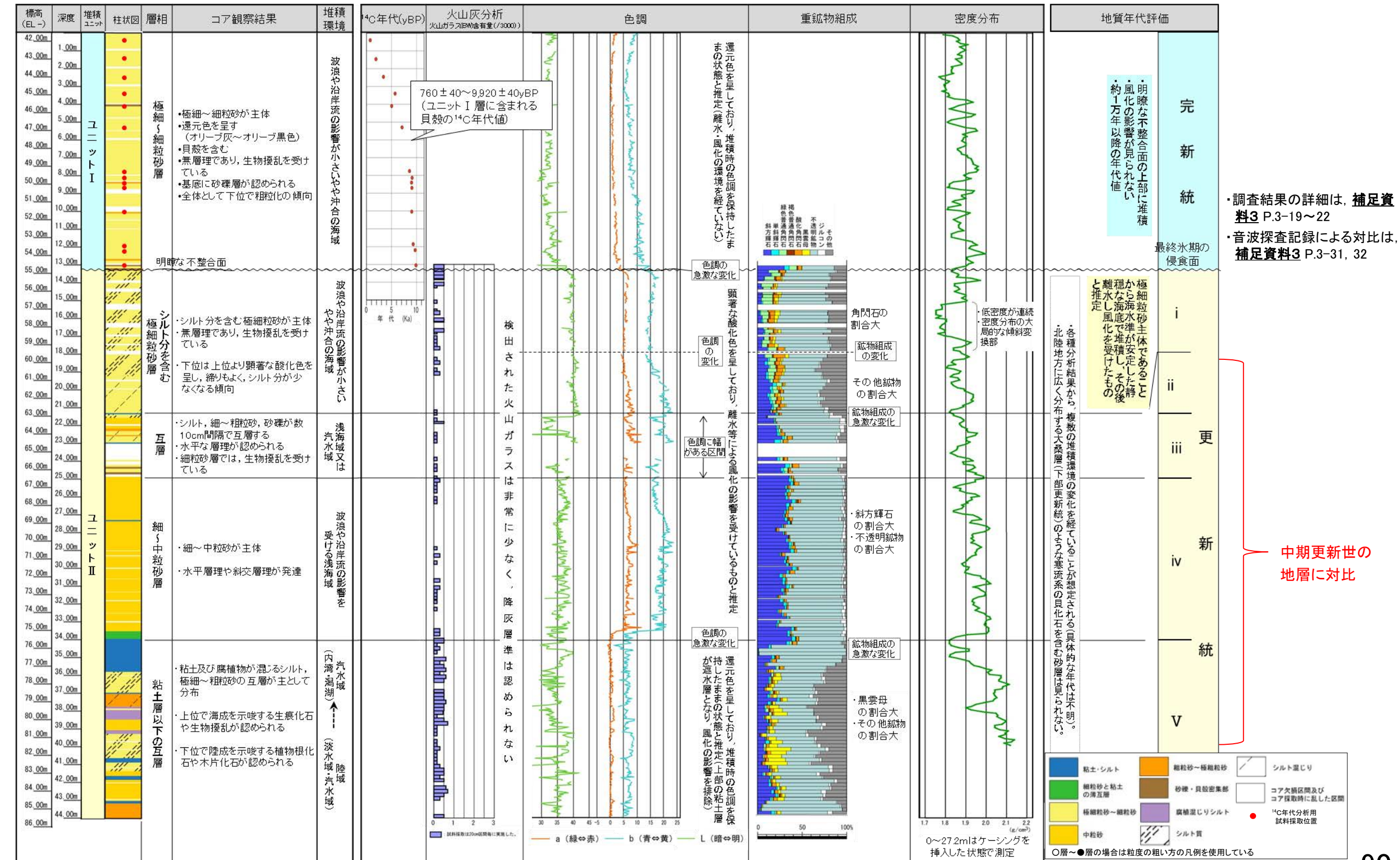
【邑知潟平野より北側の当社地質調査結果①(高浜地点の陸上群列ボーリング)】

- 羽咋市釜屋地点のボーリング調査では、給源不明テフラの上位に中期更新世の加久藤テフラ(Kkt, 32~33万年前)が確認されている(P.80)。
- 高浜地点の陸上群列ボーリング調査では、複数孔(7本)で連続的にKktが確認され、羽咋市釜屋地点と同じ中期更新世の浅海成の堆積物が分布しているが、Kktの下位も含めた周囲の深度に目視可能な給源不明テフラは確認されない(下図)。



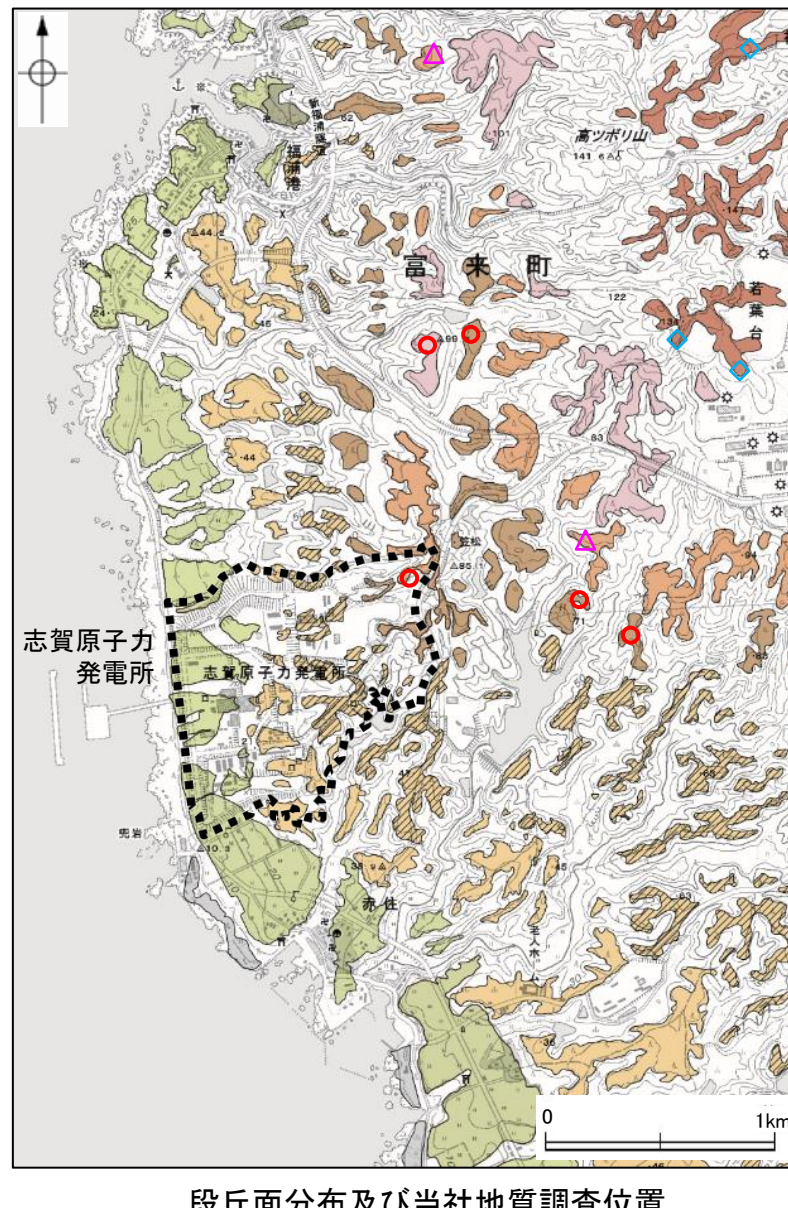
【邑知潟平野より北側の当社地質調査結果②(敷地近傍の海上ボーリング)】

○敷地近傍海域で実施した海上ボーリングにおいて、高浜地点から連続する中期更新世の地層を確認しているが、目視可能な給源不明テフラは確認されない。



【邑知潟平野より北側の当社地質調査結果③(敷地近傍の高位段丘面における地質調査)】

- 敷地近傍陸域から北方にかけては、新第三紀の別所岳安山岩類を基盤として中期更新世の段丘面が形成されており、多くの地点で地質調査を実施している。
- このうち、当社段丘面区分における高位段丘面のいくつかの調査地点は、「日本の海成段丘アトラス」(小池・町田, 2001)によるmT₁₁面・mT₁₃面・mT₁₅面(給源不明テフラのFT年代(約40万年前)よりも古い時代に相当)に位置する(左下図)。
- これらの段丘面で実施した当社地質調査の結果、目視可能な給源不明テフラは確認されない(調査結果の詳細は、[補足資料3 P.3-33~43](#))。

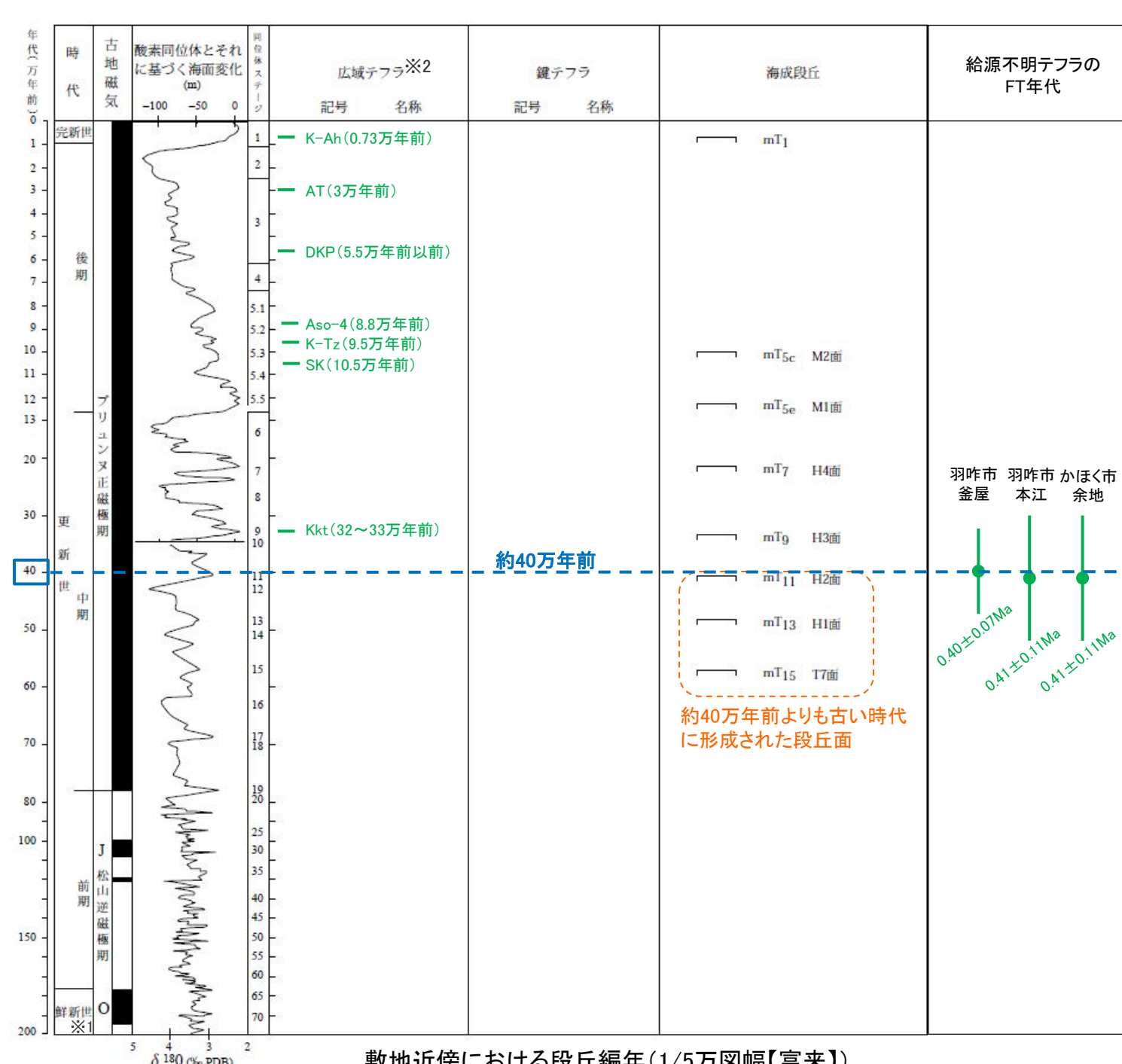


段丘面凡例	
最高位段丘面群	中位段丘Ⅲ面
高位段丘V面	古期扇状地面
高位段丘IV面	古期扇状地Ⅰ面
高位段丘III面	古期扇状地Ⅱ面
高位段丘II面	古期扇状地Ⅲ面
高位段丘I面	河成段丘面
中位段丘I面	沖積段丘面
中位段丘II面	砂丘

<凡例>

小池・町田(2001)の段丘面に位置する調査位置

- mT₁₁面上
- △ mT₁₃面上
- ◇ mT₁₅面上



3. 火山事象の影響評価

3.1 降下火碎物の影響評価

3.1.1 文献・地質調査に基づく評価

3.1.1.1 降下火碎物に関する文献・地質調査

- (1) 文献調査(等層厚線図)
- (2) 文献調査(地質調査結果)
- (3) 降下火碎物に関する当社地質調査
- (4) 調査結果まとめ**

3.1.1.2 紙源火山における同規模噴火の可能性の検討

3.1.1.3 評価まとめ

3.1.2 降下火碎物シミュレーションによる評価

3.1.2.1 シミュレーションを実施する降下火碎物の選定

- (1) 分布実績に基づく降下火碎物の選定
- (2) 地理的領域内の火山による降下火碎物の選定
- (3) 地理的領域外の火山による降下火碎物の選定
- (4) 選定結果まとめ

3.1.2.2 降下火碎物シミュレーション

- (1) 白山(南竜火山灰)
- (2) 立山(立山DテフラA, Cユニット)
- (3) 御嶽山(御嶽伊那テフラ)
- (4) 鬱陵島(鬱陵隠岐テフラ)
- (5) 大山(大山生竹テフラ)

3.1.2.3 評価まとめ

3.1.3 降下火碎物の密度及び粒径

3.1.4 降下火碎物の影響評価まとめ

3.2 降下火碎物以外の火山事象の影響評価

3.1.1.1(4) 調査結果まとめ

- 文献調査(等層厚線図、地質調査結果)及び当社地質調査の結果、敷地及び敷地周辺に分布する可能性がある15の降下火碎物が抽出された。
- 15の降下火碎物のうち、給源が特定できない降下火碎物は、給源不明テフラのみである。

- 町田・新井(2011)及びTamura et al.(2008)によると、給源火山が特定できる14降下火碎物は、いずれも広域テフラである。
- 敷地及び敷地周辺における当社地質調査結果(確認した降下火碎物及びその層厚)は、文献調査(地質調査結果)と概ね整合していることを確認した。なお、姶良Tnテフラ及び阿蘇4テフラについては、当社地質調査結果よりも大きな層厚が文献により報告されているが、これらの文献で示された確認地点は断層に近接しており、断層の影響等で局所的に厚く堆積している可能性がある(P.64~66)。
- 給源不明テフラは、邑知潟平野以南の3地点のみで確認された、中部更新統の砂層中に挟在するFT年代が約0.4Maを示す風化火山灰層である。また、邑知潟平野よりも北側の当社地質調査において、目視可能な給源不明テフラは確認されず、邑知潟平野よりも北側に第四紀火山は存在しないことから、給源不明テフラの給源は邑知潟平野よりも南側に位置する火山で、給源不明テフラは、邑知潟平野よりも敷地に近い北側でより厚く堆積していないと考えられる。(P.88)。

<敷地及び敷地周辺(約30kmの範囲)に分布する可能性のある降下火碎物の文献及び当社地質調査結果>

給源火山ごとに整理

降下火碎物 記号	年代 (万年前)	給源火山	敷地及び敷地周辺における層厚(cm)			
			文献調査		当社地質調査 (最大層厚)	
			等層厚線図	地質調査結果(最大層厚)		
鬼界アカホヤテフラ	K-Ah	0.73 ^{*1}	鬼界カルデラ	0~20 ^{*1}	0.5 ^{*6}	1
鬼界葛原テフラ	K-Tz	9.5 ^{*1}		0~2 ^{*1}	分析により検出 ^{*7}	分析により検出
阿多テフラ	Ata	10.5 ^{*1}		0以上 ^{*1}	—	—
姶良Tnテフラ	AT	3 ^{*2}		16~32 ^{*2}	15 ^{*8}	10
加久藤テフラ	Kkt	32~33 ^{*1}		(等層厚線範囲外)	—	分析により検出
阿蘇4テフラ	Aso-4	8.8 ^{*3}		15以上 ^{*1}	7 ^{*8}	2 ^{*10}
阿蘇3テフラ	Aso-3	13.3 ^{*4}		2~5 ^{*4}	—	—
鬱陵隠岐テフラ	U-Oki	1.02 ^{*1}		0~2 ^{*1}	—	—
三瓶木次テフラ	SK	10.5 ^{*1}		5以上 ^{*1}	3 ^{*9}	4
大山倉吉テフラ	DKP	5.5以前 ^{*1}	大山	5~10 ^{*1}	—	分析により検出
大峰テフラ	Omn	160~165 ^{*1}		0以上 ^{*1}	—	—
谷口テフラ	Tng	220~230 ^{*1}		100以上 ^{*5}	—	—
恵比須峠福田テフラ	Ebs-Fkd	170 ^{*1}		30~40 ^{*1}	—	—
穂高-Kd39テフラ	Ht-Kd39	176 ^{*5}	穂高岳	20以上 ^{*5}	—	—
給源不明テフラ	約40 (FT年代)			(該当無し)	(該当無し)	10 ^{*10}

*1:町田・新井(2011), *2:宝田ほか(2022), *3:星住ほか(2023), *4:星住ほか(2024),

—:未確認

*5:Tamura et al.(2008), *6:東野ほか(2014), *7:渡辺ほか(2015), *8:産業技術総合研究所(2011),

*9:杉戸ほか(2004), *10:水野ほか(2003)(産業技術総合研究所と当社が共同で実施した調査結果)

3. 火山事象の影響評価

3.1 降下火碎物の影響評価

3.1.1 文献・地質調査に基づく評価

3.1.1.1 降下火碎物に関する文献・地質調査

- (1) 文献調査(等層厚線図)
- (2) 文献調査(地質調査結果)
- (3) 降下火碎物に関する当社地質調査
- (4) 調査結果まとめ

3.1.1.2 紙源火山における同規模噴火の可能性の検討

3.1.1.3 評価まとめ

3.1.2 降下火碎物シミュレーションによる評価

3.1.2.1 シミュレーションを実施する降下火碎物の選定

- (1) 分布実績に基づく降下火碎物の選定
- (2) 地理的領域内の火山による降下火碎物の選定
- (3) 地理的領域外の火山による降下火碎物の選定
- (4) 選定結果まとめ

3.1.2.2 降下火碎物シミュレーション

- (1) 白山(南竜火山灰)
- (2) 立山(立山DテフラA, Cユニット)
- (3) 御嶽山(御嶽伊那テフラ)
- (4) 鬱陵島(鬱陵隠岐テフラ)
- (5) 大山(大山生竹テフラ)

3.1.2.3 評価まとめ

3.1.3 降下火碎物の密度及び粒径

3.1.4 降下火碎物の影響評価まとめ

3.2 降下火碎物以外の火山事象の影響評価

3.1.1.2 納入火山における同規模噴火の可能性の検討 - 検討対象とする火山 -

○文献調査及び当社地質調査結果を踏まえ抽出した敷地及び敷地周辺に分布する可能性がある降下火碎物について、その納入火山において発電所運用期間中に同規模噴火が発生する可能性を検討する。

○検討対象は、抽出した15の降下火碎物のうち、納入不明テフラを除く14の降下火碎物であり、その納入火山は以下に示す10の火山である。



敷地及び敷地周辺に分布する可能性のある降下火碎物
の給源火山位置

<同規模噴火の可能性の検討を行う降下火碎物及び給源火山>

降下火碎物	記号	給源火山	
鬼界アカホヤテフラ	K-Ah	地理的領域外の火山	鬼界カルデラ
鬼界葛原テフラ	K-Tz		
阿多テフラ	Ata		阿多カルデラ
始良Tnテフラ	AT		始良カルデラ
加久藤テフラ	Kkt		加久藤カルデラ
阿蘇4テフラ	Aso-4		阿蘇カルデラ
阿蘇3テフラ	Aso-3		
鬱陵隠岐テフラ	U-Oki		鬱陵島
三瓶木次テフラ	SK		三瓶山
大山倉吉テフラ	DKP		大山
大峰テフラ	Omn	地理的領域内の火山	爺ヶ岳
谷口テフラ	Tng		
恵比須峠福田テフラ	Ebs-Fkd		穂高岳
穂高-Kd39テフラ	Ht-Kd39		

3.1.1.2 給源火山における同規模噴火の可能性の検討 – 検討内容 –

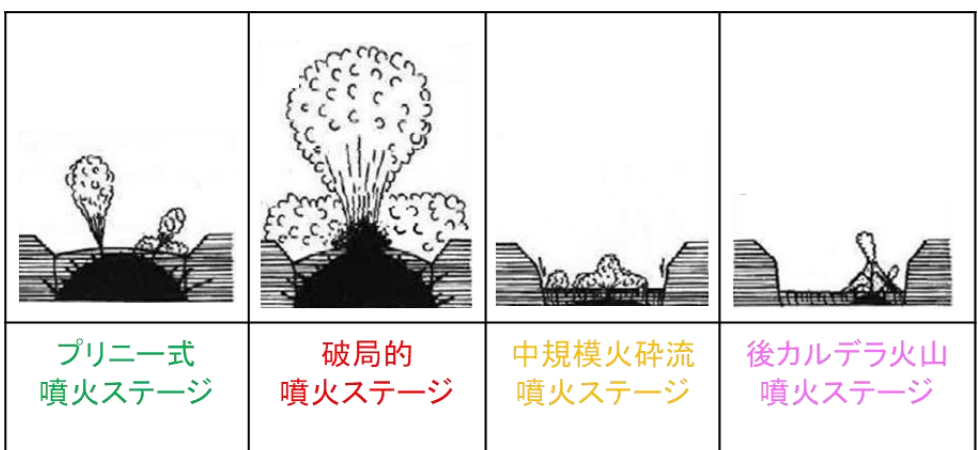
○検討対象となる14の降下火碎物は、いずれも広い範囲で分布が確認されている広域テフラであり、噴出規模が大きく分布範囲が広いこれらの降下火碎物噴出イベントの前には、地下に大量の珪長質マグマの蓄積が必要となると考えられる。

○よって、マグマの蓄積の観点から、各給源火山の活動履歴及び地下構造について文献調査を行う。同規模噴火の可能性を検討する際の、文献調査の観点を以下に示す。

【活動履歴】

- ・最後の活動終了からの期間と全活動期間の比較、破局的噴火※の活動間隔と最新の破局的噴火からの経過時間との比較等の活動履歴情報から、給源火山の同規模噴火の可能性を検討する。
- ・九州のカルデラ(鬼界、阿多、姶良、加久藤、阿蘇カルデラ)の活動履歴については、Nagaoka(1988)によるカルデラ火山の噴火ステージ区分を参考とする(下図)。

※町田・新井(2011)に従い、VEI(火山爆発度指数:Volcanic Explosivity Index)7以上の噴火を「破局的噴火」と定義する。

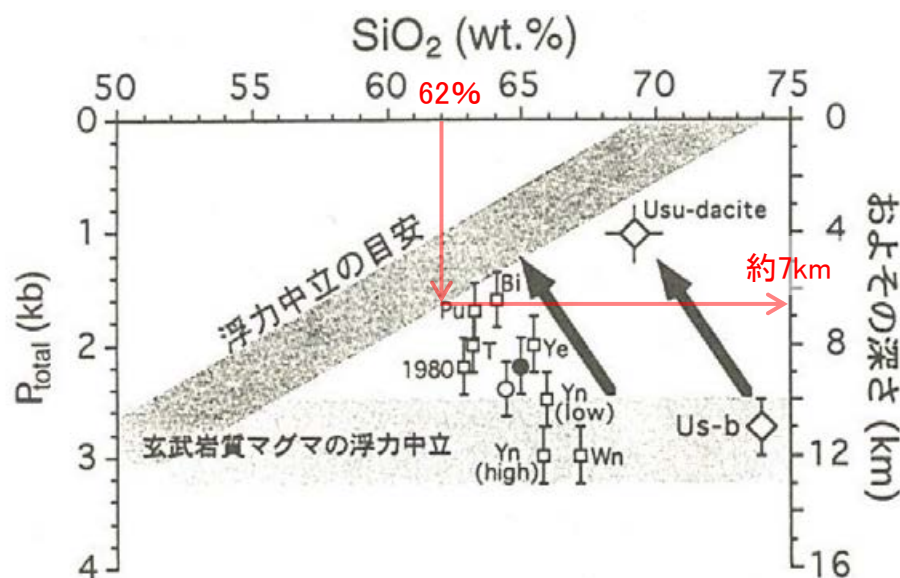


- ・プリニー式噴火ステージ: 破局的噴火に先行してプリニー式噴火が間接的に発生
- ・破局的噴火ステージ: 破局的噴火が発生
- ・中規模火碎流噴火ステージ: 破局的噴火時の残存マグマによる火碎流噴火が発生
- ・後カルデラ火山噴火ステージ: 多様な噴火様式の小規模噴火が発生

カルデラ火山の噴火ステージ区分
(Nagaoka(1988)に基づき作成)

【地下構造】

- ・地下構造に関する地球物理学・化学的情報を整理し、低速度域等の大規模な珪長質マグマ溜まりの存在を示唆する構造の有無を検討する。
- ・評価の対象とする珪長質マグマ溜まりの深度については、東宮(1997)から想定される珪長質マグマの浮力中立点約7kmとする。



地殻の密度とマグマの密度が釣り合う深さ(浮力中立点)は、珪長質マグマ(デイサイト質～流紋岩質、 SiO_2 量62wt.%以上(兼岡・井田, 1997))であれば、7km以浅である。

マグマの組成(SiO_2 量)とマグマ溜まり深度の関係
(東宮(1997)に一部加筆)

マグマの SiO_2 量と密度 (兼岡・井田(1997)に基づき作成)

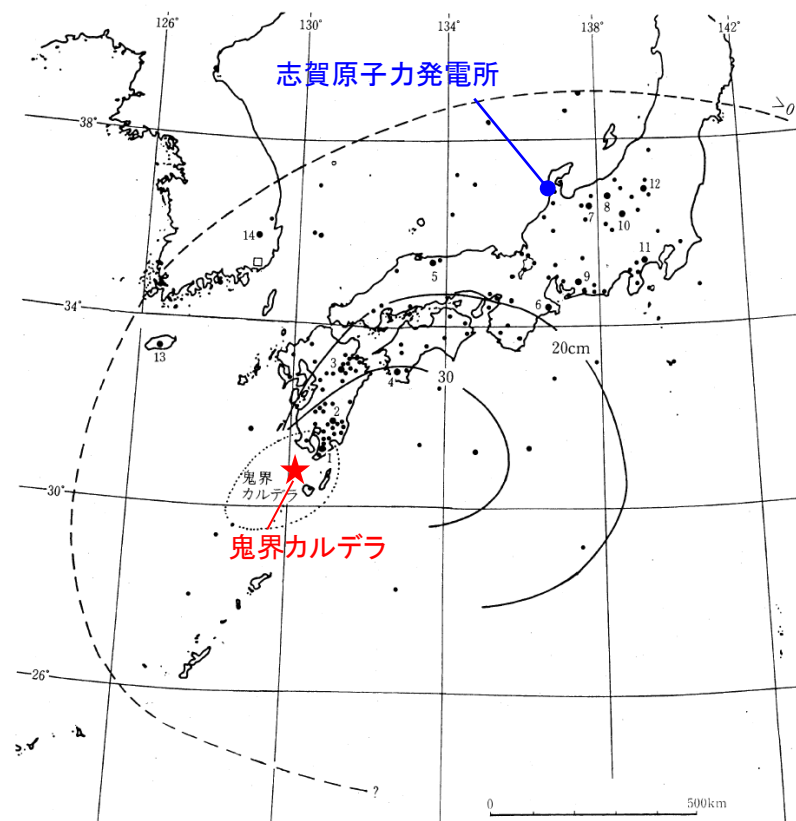
マグマの性質 マグマの種類	玄武岩質	安山岩質	デイサイト質	流紋岩質
	←苦鉄質			珪長質→
SiO_2 量(wt.%)	45~53.5	53.5~62	62~70	70以上
密度(kg/m³)	2700	2400	2300	2200

3.1.1.2 納入火山における同規模噴火の可能性の検討 – 鬼界カルデラ(活動履歴) –

【鬼界カルデラの活動履歴】

○Nagaoka(1988)及び町田・新井(2011)に基づけば、鬼界アカホヤテフラ及び鬼界葛原テフラの給源である鬼界カルデラにおける噴出量100km³を超える破局的噴火の活動間隔は約5万年以上であり、最新の破局的噴火からの経過期間(約0.7万年)に比べて十分長い。よって、破局的噴火までには十分な時間的余裕があると考えられる。

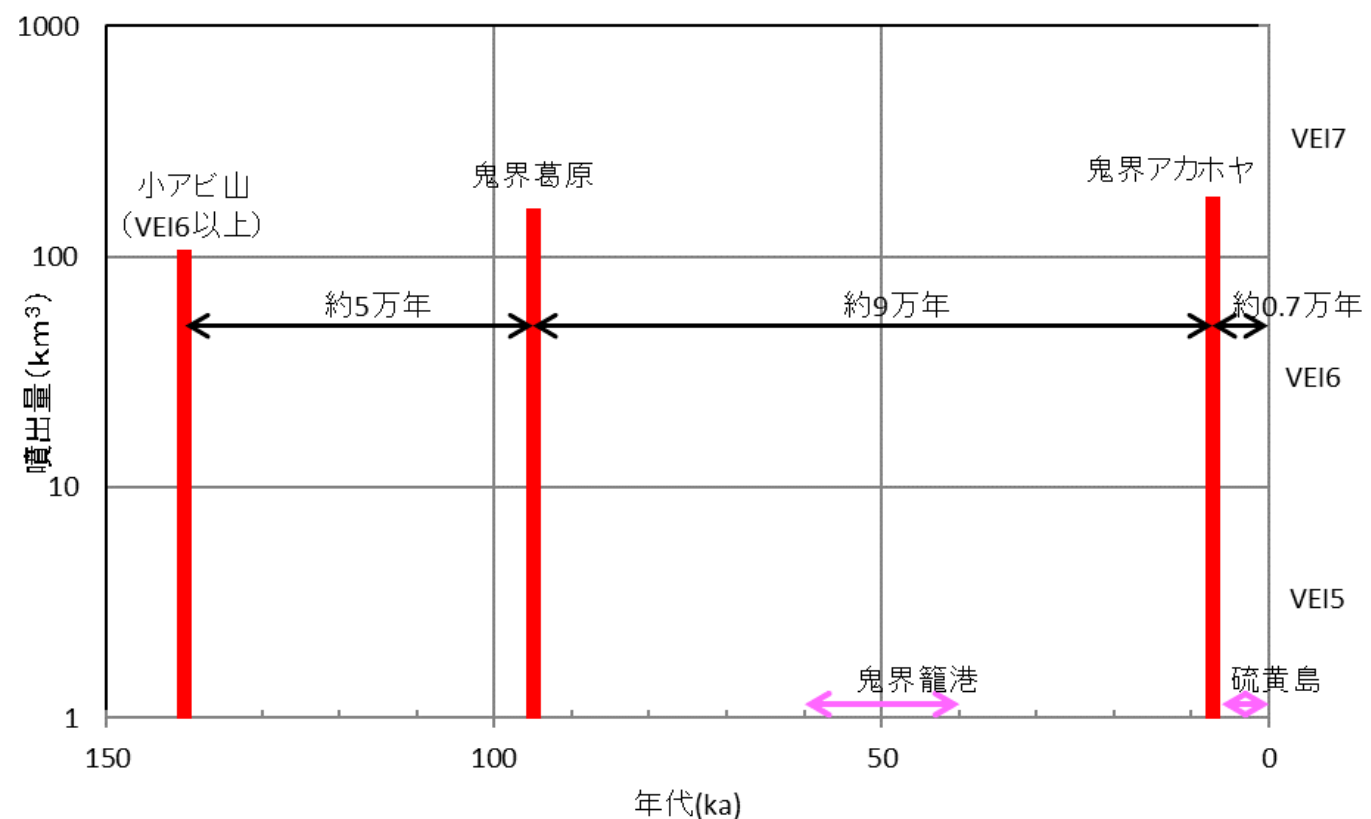
○Nagaoka(1988)によると、鬼界カルデラの現在の活動期は、薩摩硫黄島における後カルデラ火山噴火ステージとされている。



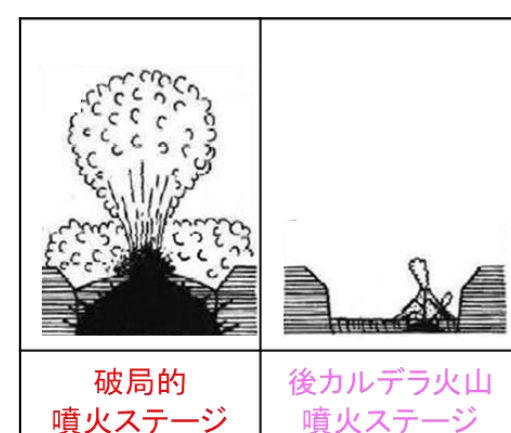
●:確認地点(数字は以下の地点番号に対応)
点線内は火碎流堆積物(K-Ky)の分布範囲を示す。
模式地(大きな黒丸):1.垂水市堀切, 2.霧島町永池, 3.久住町一帯, 4.宿毛市小川, 5.関金町鴨ヶ丘, 6.大台町柄原, 7.立山町弥陀ヶ原, 8.妙高町大久保, 9.作手村大野原, 10.軽井沢町成沢, 11.二宮町押切川新幹線下, 12.尾瀬ヶ原, 13.西帰浦, 14.古礼里。

鬼界アカホヤテフラの分布 (町田・新井(2011)に一部加筆)

鬼界アカホヤテフラ及び鬼界葛原テフラ
に関する詳細は、[補足資料2 P.2-2](#)



鬼界カルデラの活動史
(Nagaoka(1988)を参考に町田・新井(2011)に基づき作成)



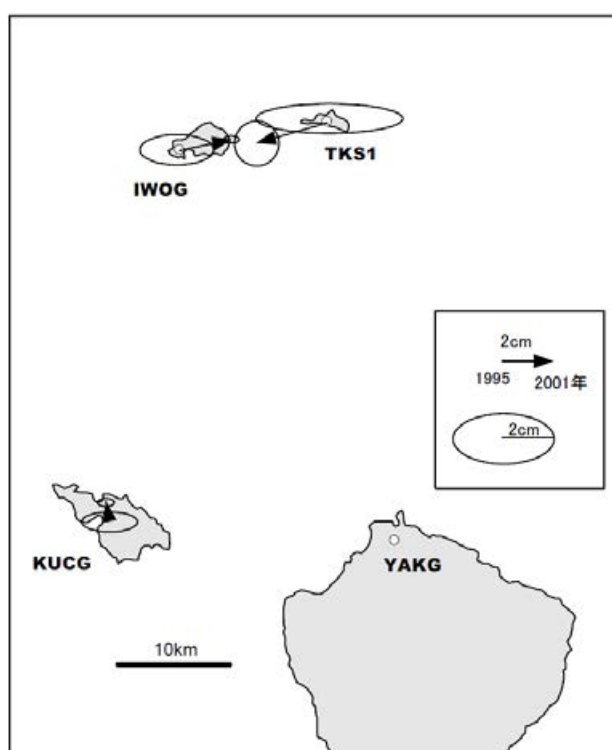
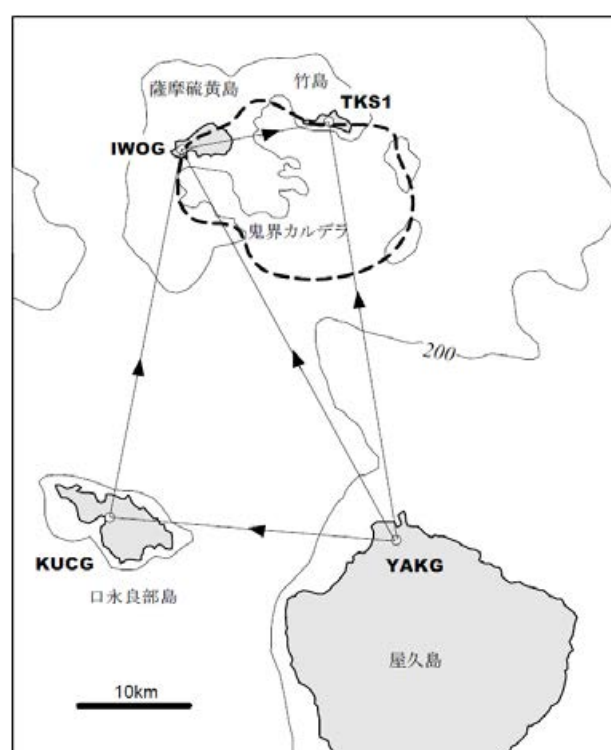
噴火ステージ区分
(Nagaoka(1988)に基づき作成)

3.1.1.2 納入火山における同規模噴火の可能性の検討 – 鬼界カルデラ(地下構造) –

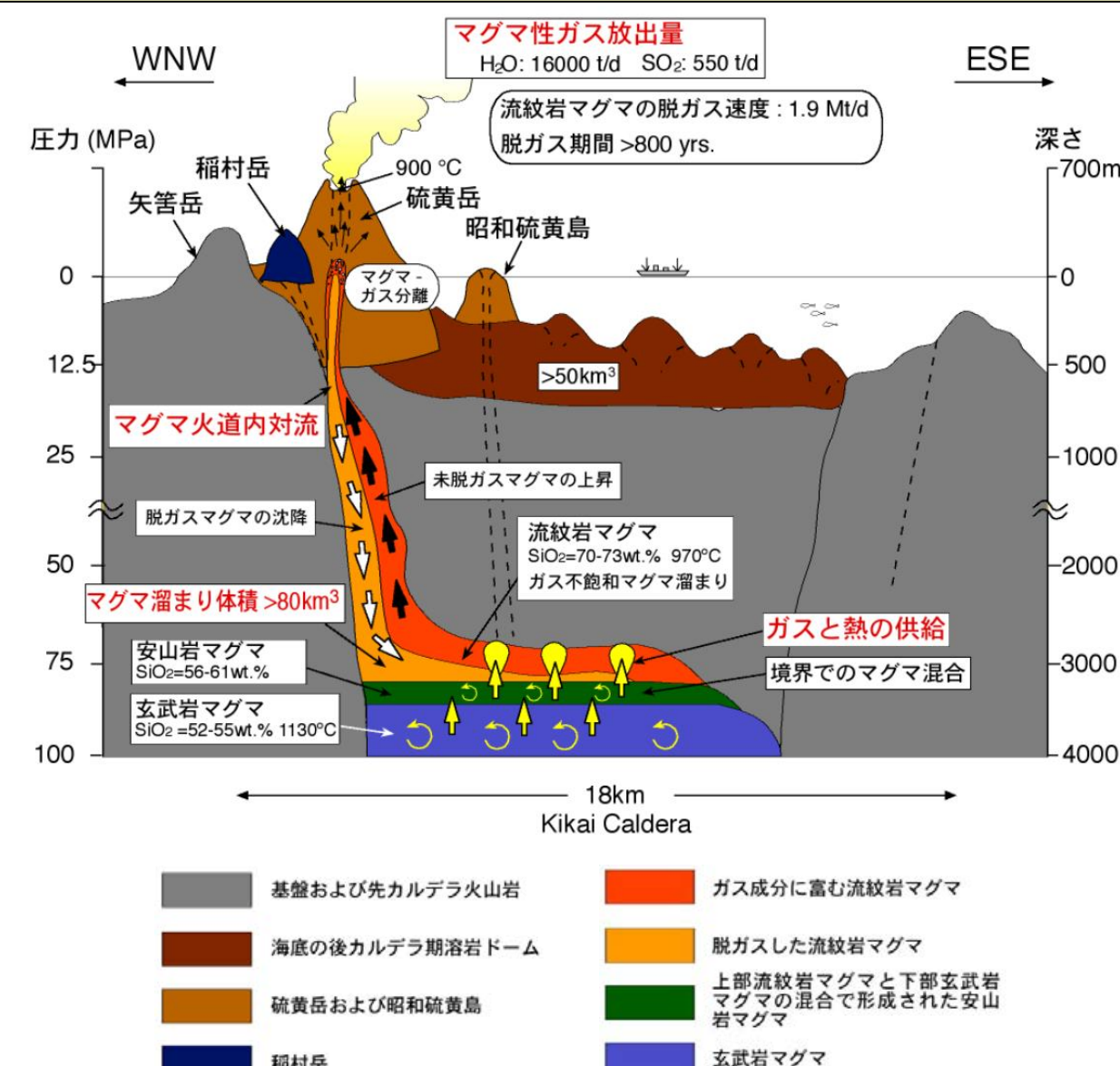
【鬼界カルデラの地下構造】

- 文献調査の結果、鬼界カルデラ周辺では、マグマの供給に伴う膨張等の地殻変動は認められていない。また、鬼界カルデラ直下にはマグマ溜まりの形成が推定されているものの、そのマグマ溜まりのほとんどが玄武岩質マグマとされている。
- ・井口ほか(2002)では、薩摩硫黄島、口永良部島、屋久島、竹島に設置されたGPSを用いて、1995年6月～2001年1月期間の変位量の解析を行っており、解析の結果から、顕著な膨張は鬼界カルデラ周辺では検出されておらず、少なくとも最近数年間には鬼界カルデラには深部からの新たなマグマの供給はない判断できるとしている(左下図)。
- ・篠原ほか(2008)によると、メルト包有物に関する検討から、地下3kmにマグマ溜まりの上面を推定し、現在の火山ガスの放出量から、 80 km^3 以上のマグマ溜まりが推定されるとし、火山ガスの起源のほとんどを地下深くに潜在している玄武岩マグマとしている(右下図)。

- 鬼界カルデラの活動履歴及び地下構造の状況を踏まえ、鬼界アカホヤテフラ及び鬼界葛原テフラと同規模の噴火が発生する可能性は十分小さいと評価した。



測地学的情報によるマグマ溜まりの供給
(井口ほか, 2002)

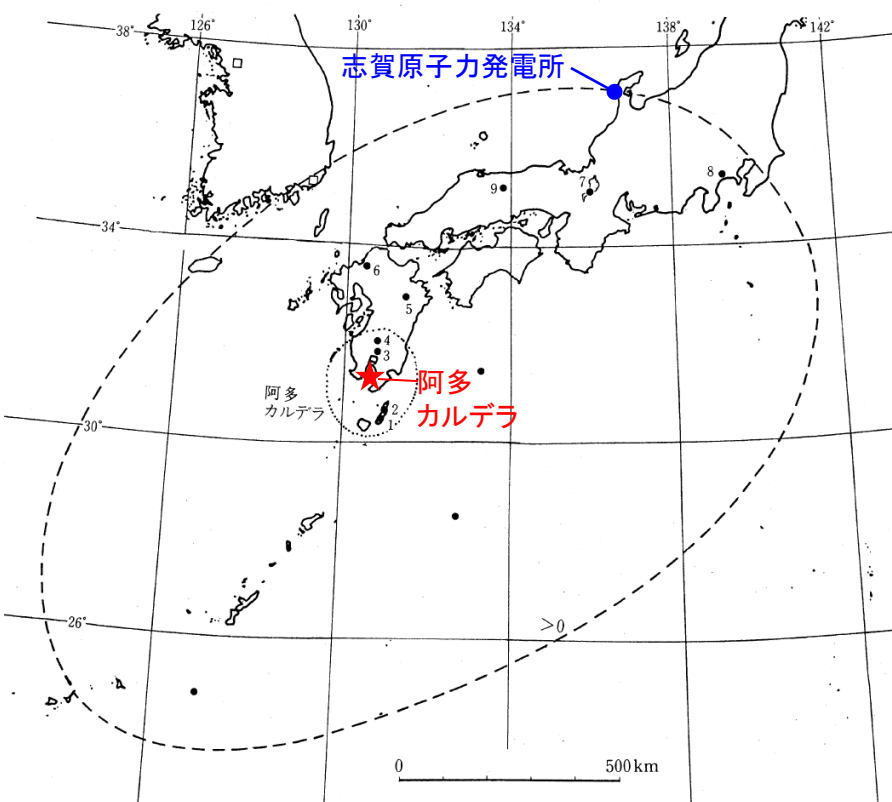


地球化学的情報によるマグマ溜まりモデル
(篠原ほか, 2008)

3.1.1.2 給源火山における同規模噴火の可能性の検討 —阿多カルデラ(活動履歴)–

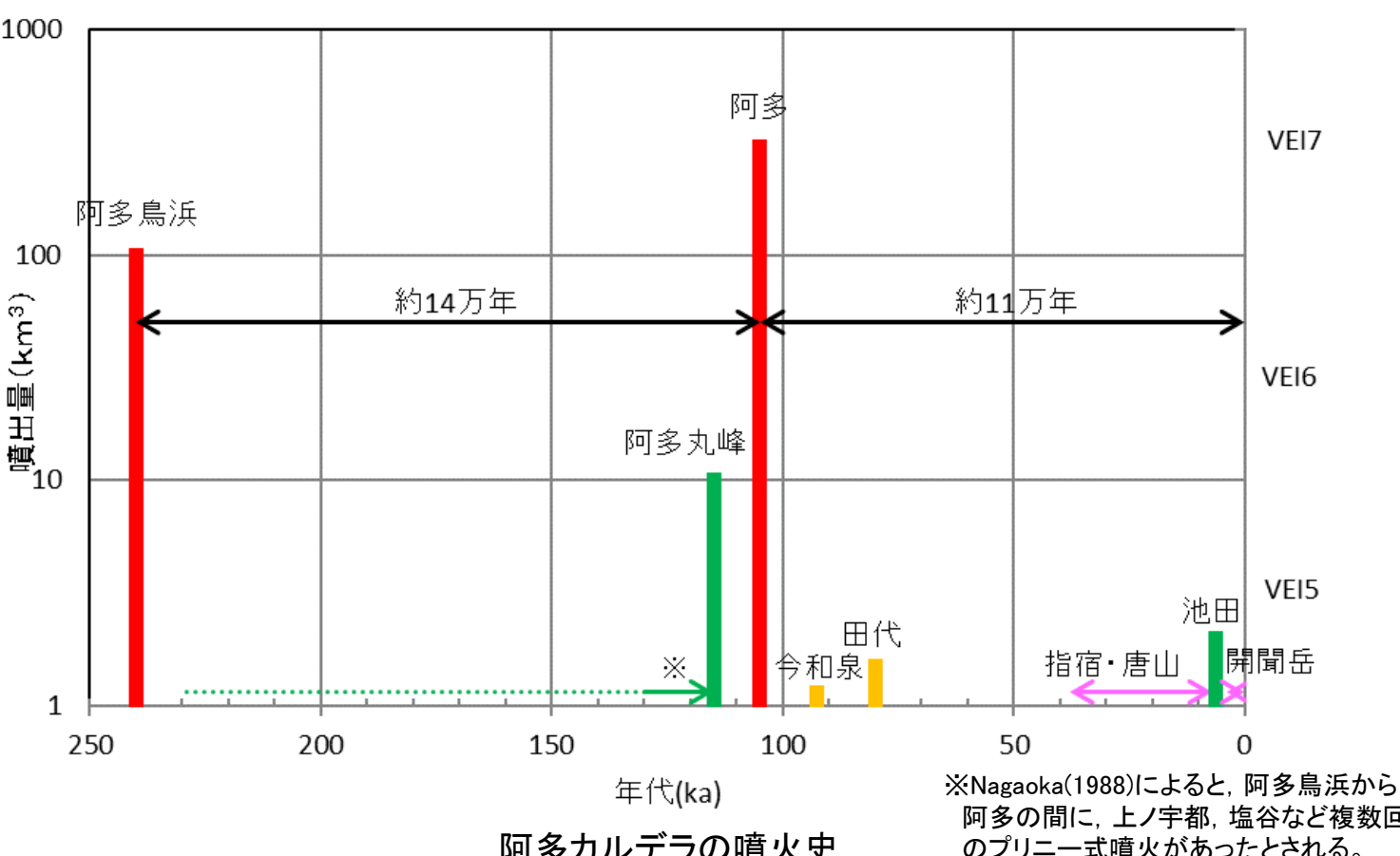
【阿多カルデラの活動履歴】

- Nagaoka(1988)及び町田・新井(2011)に基づけば、阿多テフラの給源である阿多カルデラにおける噴出量100km³を超える破局的噴火の最短間隔(約14万年)が、最新の破局的噴火からの経過時間(約11万年)に比べて長い(右下図)。よって、次の破局的噴火までには十分な時間的余裕があると考えられる。
- Nagaoka(1988)に基づけば、現在の阿多カルデラの活動は、開聞岳における後カルデラ火山噴火ステージもしくは池田におけるプリニー式噴火ステージの初期段階と考えられる。

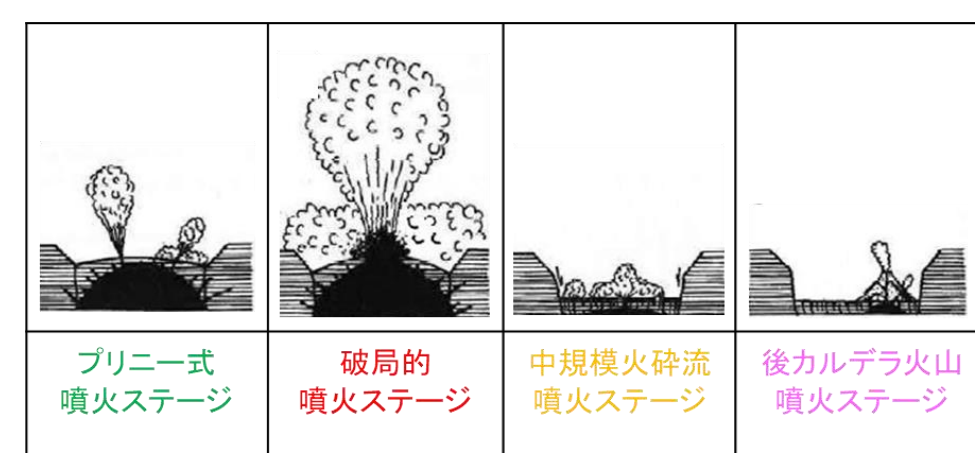


阿多テフラの分布
(町田・新井(2011)に一部加筆)

阿多テフラに関する詳細は、補足資料2 P.2-3



(Nagaoka(1988)を参考に町田・新井(2011)に基づき作成)



噴火ステージ区分
(Nagaoka(1988)に基づき作成)

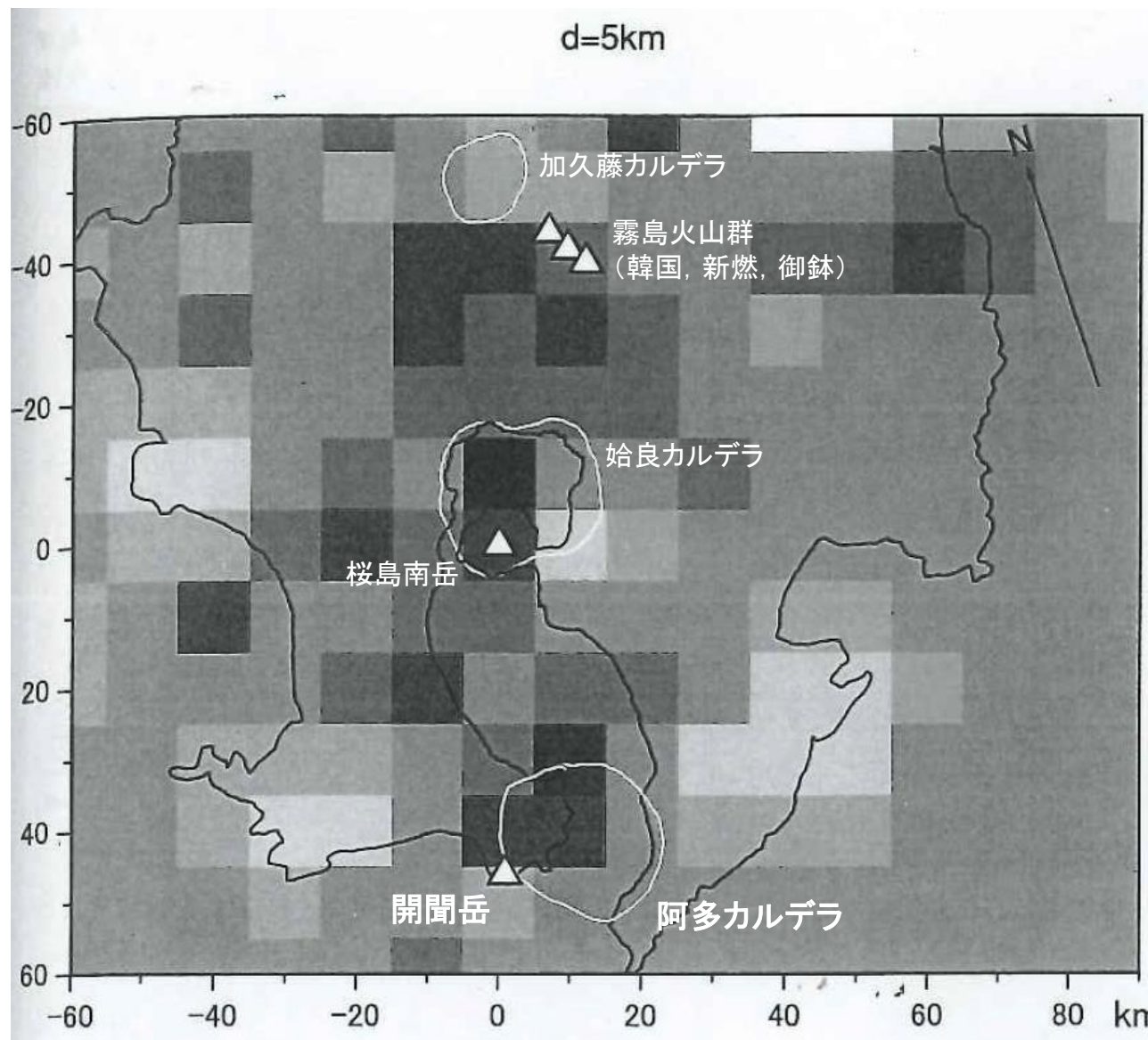
3.1.1.2 紙源火山における同規模噴火の可能性の検討 —阿多カルデラ(地下構造)ー

【阿多カルデラの地下構造】

○西ほか(2001)によると、阿多カルデラ周辺の地震波(P波)速度構造において、深度5kmに低速度異常域が認められるが(下図)、この低速度異常域は熱水活動に関連するものとされている。

○よって、阿多カルデラの地下浅部に大規模なマグマ溜まりはないと考えられる。

○阿多カルデラの活動履歴及び地下構造の状況を踏まえ、阿多テフラと同規模の噴火が発生する可能性は十分小さいと評価した。

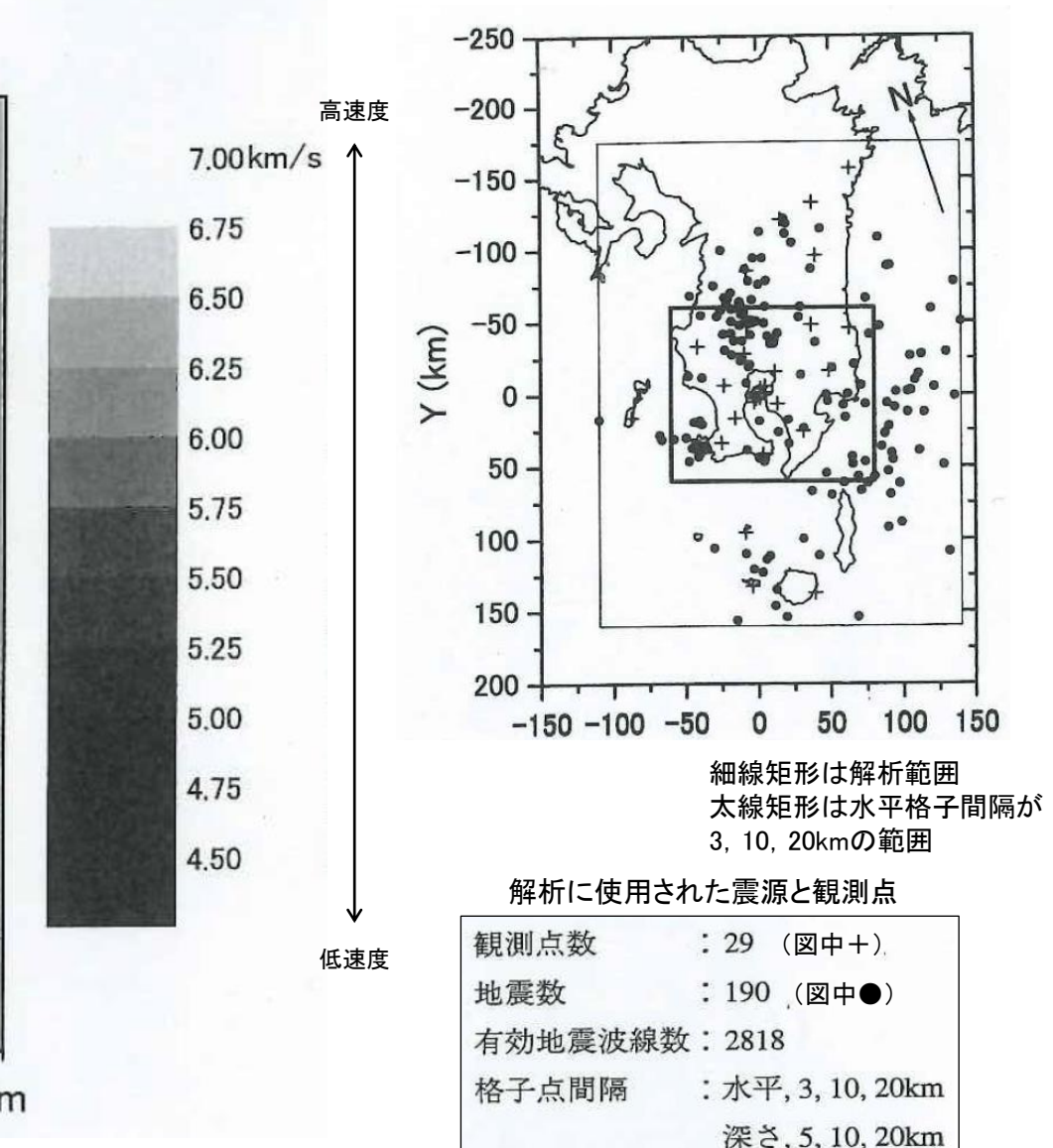


<阿多カルデラ周辺の低速度異常域>

- ・薩摩半島南東端には阿多カルデラ、指宿地域の熱水活動に関連した低速度異常域が認められる。

(西ほか, 2001)

阿多カルデラ地下のP波速度構造
(西ほか(2001)に一部加筆)

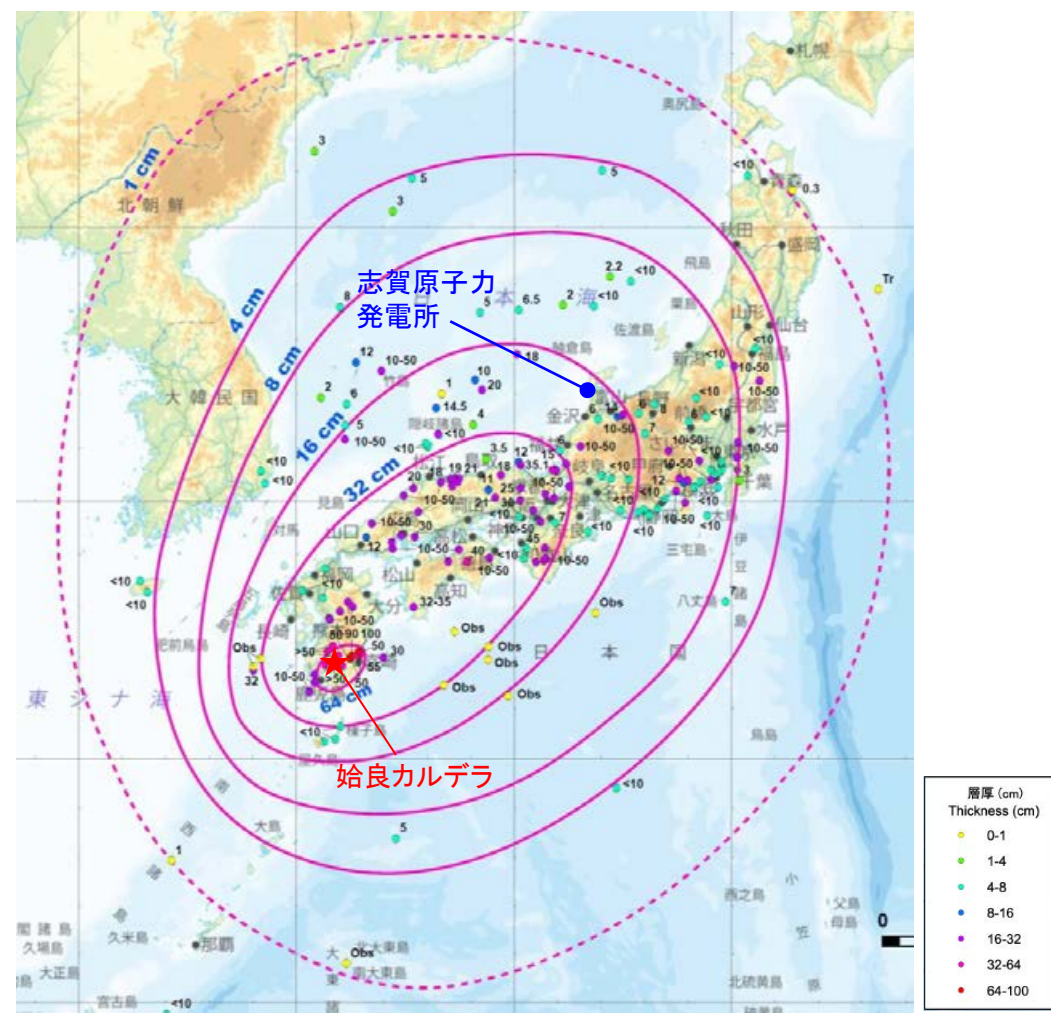


3.1.1.2 純源火山における同規模噴火の可能性の検討 – 始良カルデラ(活動履歴) –

【始良カルデラの活動履歴】

○Nagaoka(1988), 町田・新井(2011)及び宝田ほか(2022)に基づけば、姶良Tnテフラの給源である姶良カルデラにおける噴出量100km³を超える破局的噴火の活動間隔(約6万年以上)は、最新の破局的噴火(約3万年前の姶良Tnテフラの噴出)からの経過期間と比べ十分に長く、破局的噴火に先行して発生するプリニー式噴火ステージの兆候が認められない。よって、破局的噴火までには十分な時間的余裕があると考えられる。

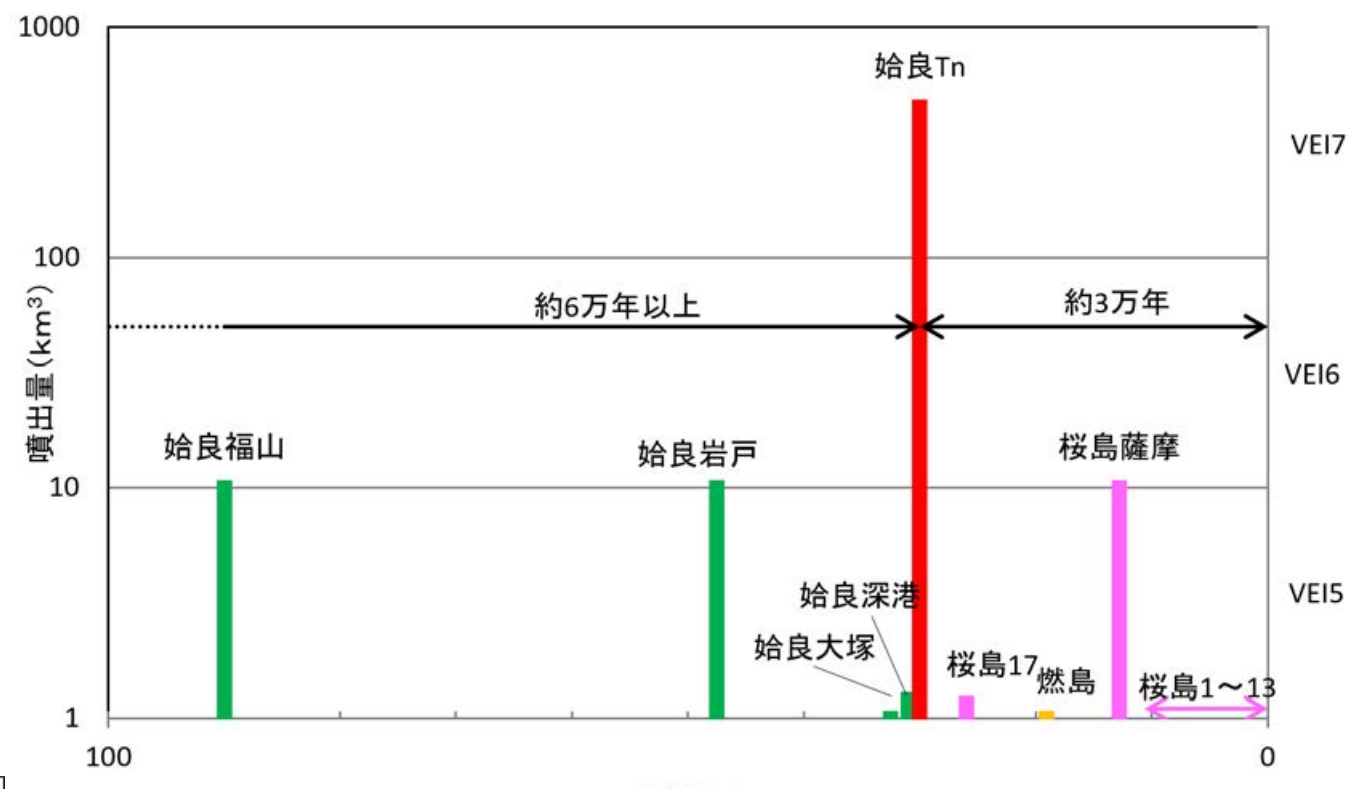
○Nagaoka(1988)に基づけば、現在の姶良カルデラの活動期は、後カルデラ火山噴火ステージ(桜島の活動)と考えられる。



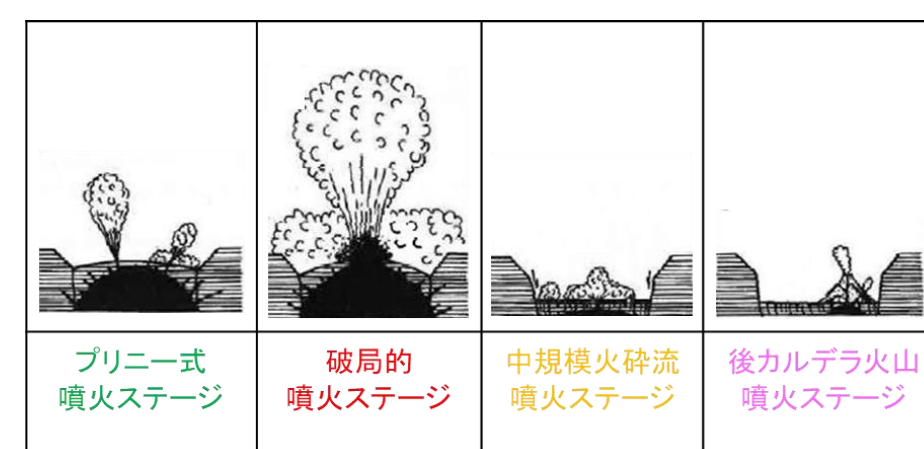
各地点の数値は層厚(cm), Obs: 火山灰の確認地点, Tr: 微量

始良Tnテフラの分布
(宝田ほか(2022)に一部加筆)

始良Tpテフラに関する詳細は、**補足資料2 P.2-3**



(Nagaoka(1988)を参考に町田・新井(2011)及び宝田ほか(2022)に基づき作成)



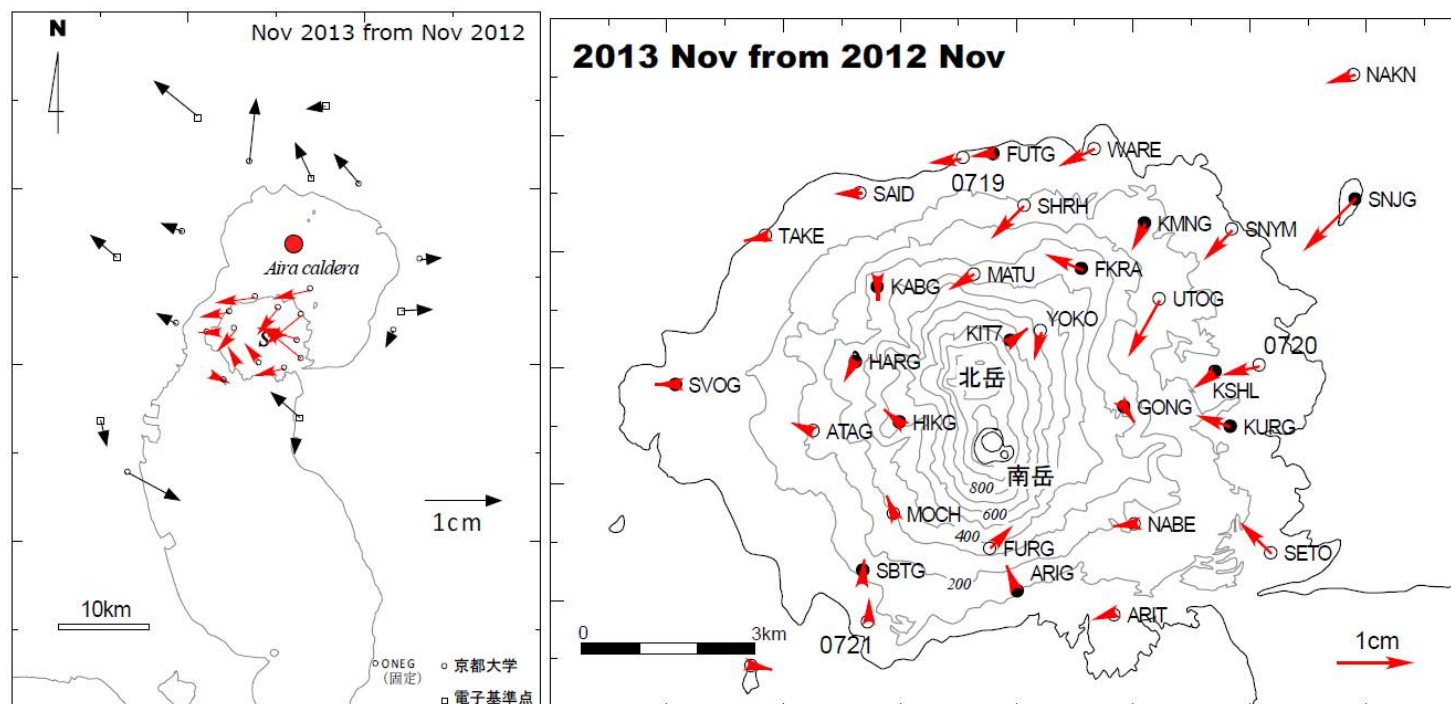
噴火ステージ区分 (Nagaoka(1988)に基づき作成)

3.1.1.2 紙源火山における同規模噴火の可能性の検討－姶良カルデラ(地下構造)－

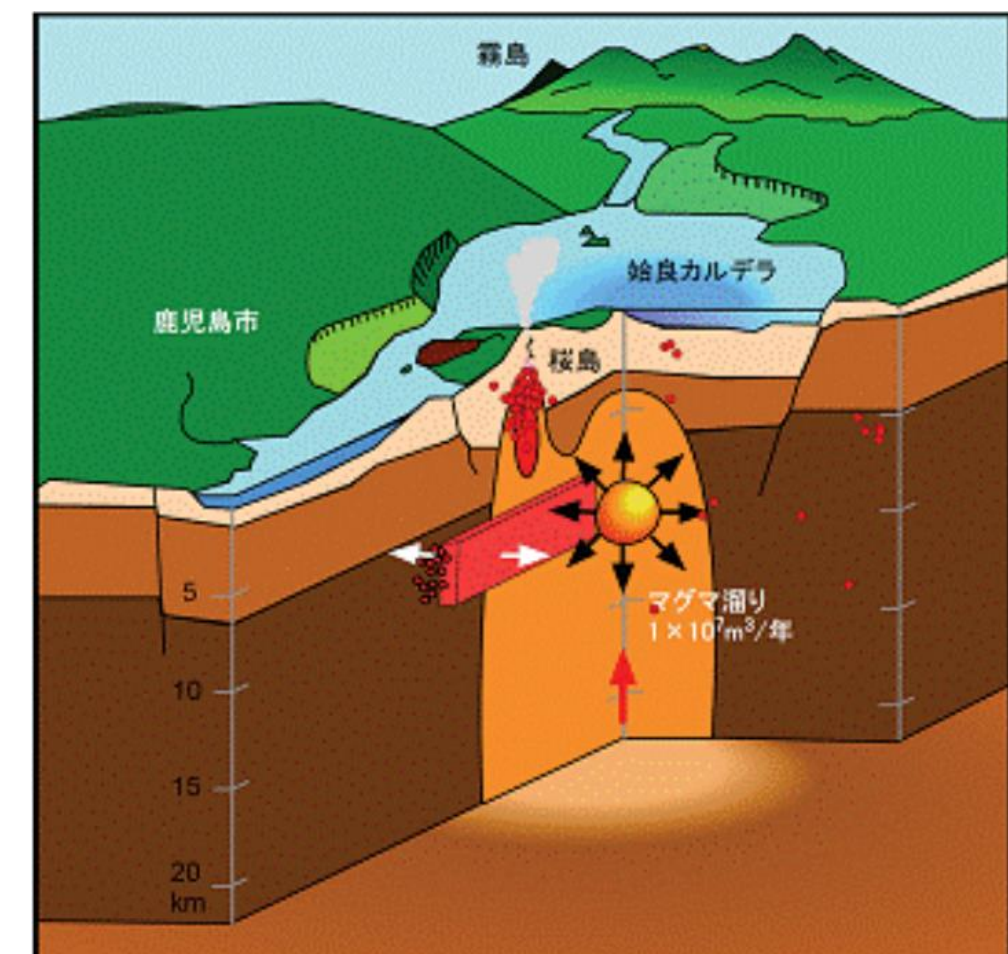
【姶良カルデラの地下構造】

- 井口ほか(2014)によると、GPS連続観測及びGPS稠密繰り返し観測の結果から、姶良カルデラ中央部を中心とする外向きの放射状の水平変位が認められ(左下図)、姶良カルデラ中央部下の深さ10kmの位置に圧力源が推定されている。
- 気象庁(2013)によると、姶良カルデラの地下約10kmに主マグマ溜まりが存在し、副マグマ溜まりは桜島の直下約4kmに存在すると推定されている(右下図)。
- 上記の通り、姶良カルデラ中央部の地下約10kmにマグマ溜まりの存在が推定されているものの、このマグマ溜まりは、東宮(1997)による珪長質マグマの浮力中立点の深度約7kmより深い位置にあると推察される。

○姶良カルデラの活動履歴及び地下構造の状況を踏まえ、姶良Tnテフラと同規模の噴火が発生する可能性は十分小さいと評価した。



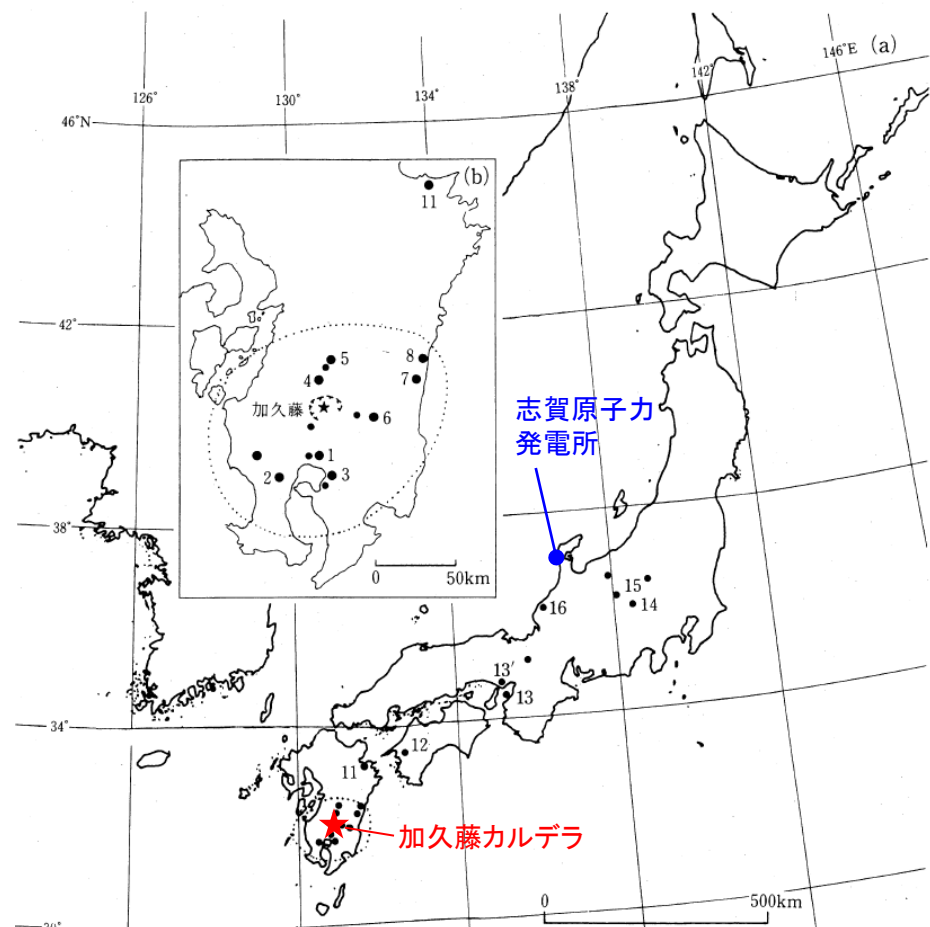
水平変位ベクトル(左図: 姶良カルデラ、右図: 桜島)
(井口ほか, 2014)



3.1.1.2 納入火山における同規模噴火の可能性の検討 — 加久藤カルデラ(活動履歴) —

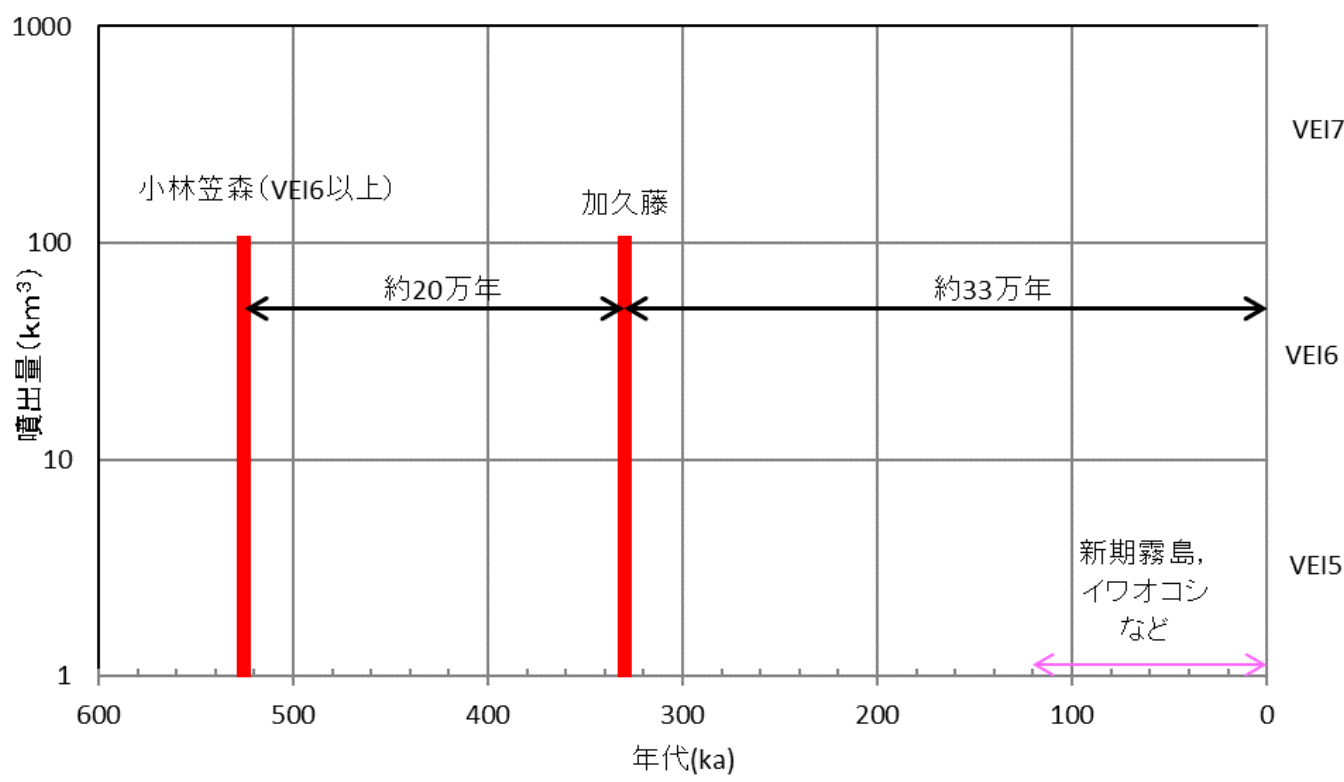
【加久藤カルデラの活動履歴】

- Nagaoka(1988)及び町田・新井(2011)に基づけば、加久藤カルデラにおける噴出量100km³を超える破局的噴火の活動間隔(約20万年)は、最新の破局的噴火からの経過時間(約33万年)に比べて短い。よって、破局的噴火のマグマ溜まりを形成している可能性、破局的噴火を発生させる供給系ではなくなっている可能性等が考えられる。
- 加久藤カルデラにおける最新の破局的噴火以降は、霧島山においてイワオコシ軽石等の多様な噴火様式の小規模噴火が発生していることから、霧島山における後カルデラ火山噴火ステージが継続していると考えられる。



●: 確認地点(数値は地点番号)
....: 火碎流の分布範囲
★: 噴出源の推定位置

加久藤カルデラに関する詳細は、[補足資料2 P.2-9](#)



噴火ステージ区分
(Nagaoka(1988)に基づき作成)

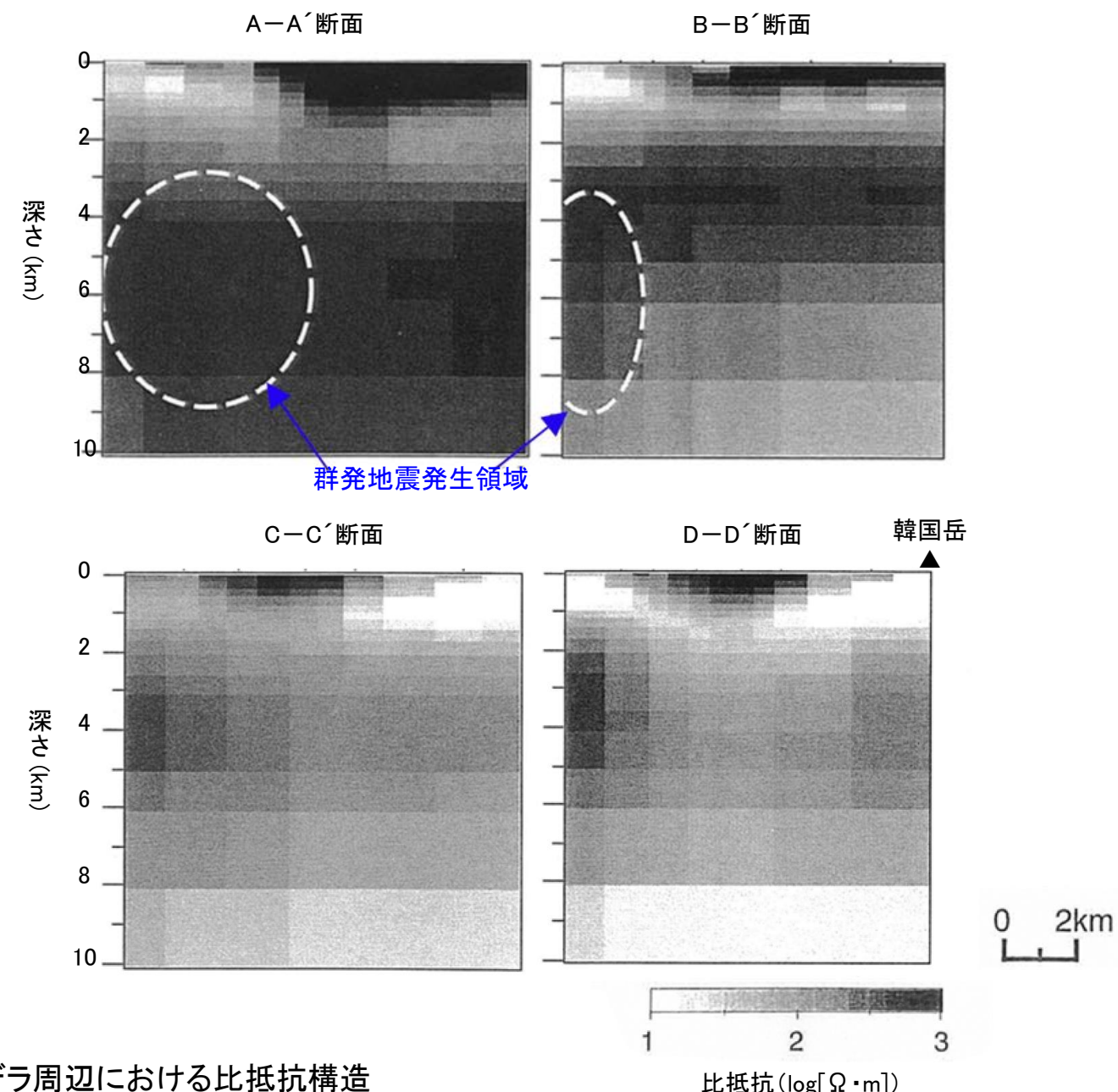
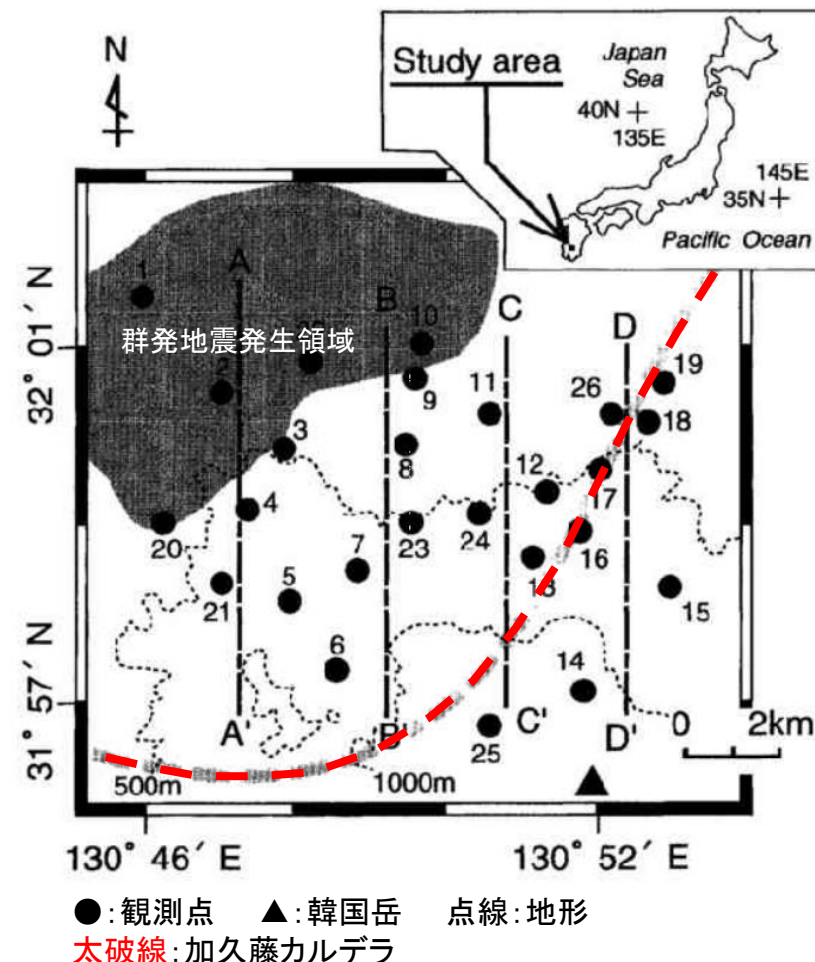
3.1.1.2 給源火山における同規模噴火の可能性の検討－加久藤カルデラ(地下構造)－

【加久藤カルデラの地下構造】

○Goto et al.(1997)によると、加久藤カルデラでの群発地震発生領域(1968年のえびの群発地震(M6.1)等)を対象としたMT法(magnetotelluric法:自然電磁場変動を測定し、地下の電気伝導度を推定する方法)による調査を実施した結果、群発地震発生領域には、大規模な流体は存在しないとされている。また、当該調査による比抵抗構造によると、加久藤カルデラ周辺では深さ約10km以浅で低比抵抗領域は認められない。

○よって、加久藤カルデラの地下浅部に大規模なマグマ溜まりはないと考えられる。

○加久藤カルデラの活動履歴及び地下構造の状況を踏まえ、加久藤テフラと同規模の噴火が発生する可能性は十分小さいと評価した。

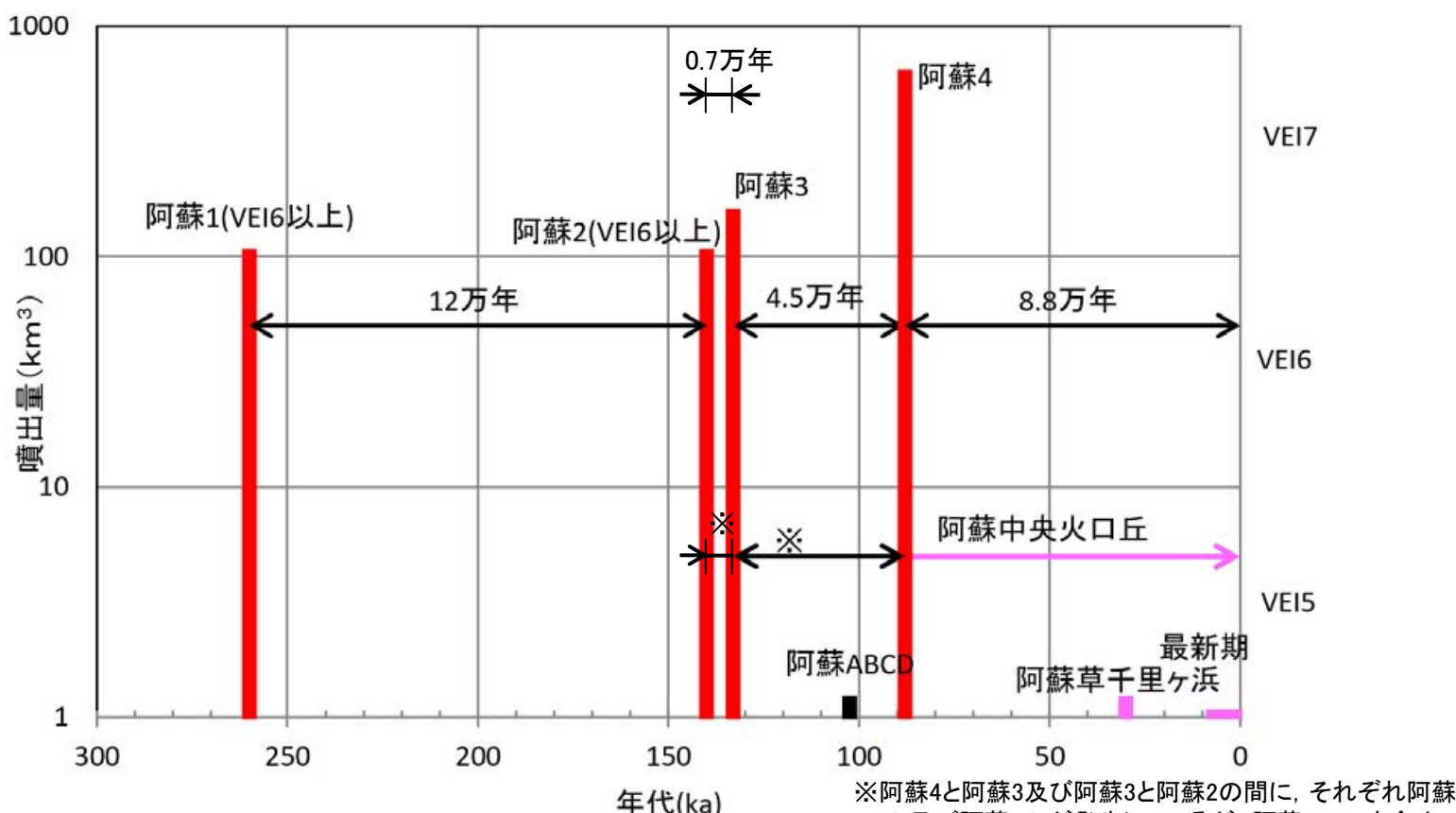
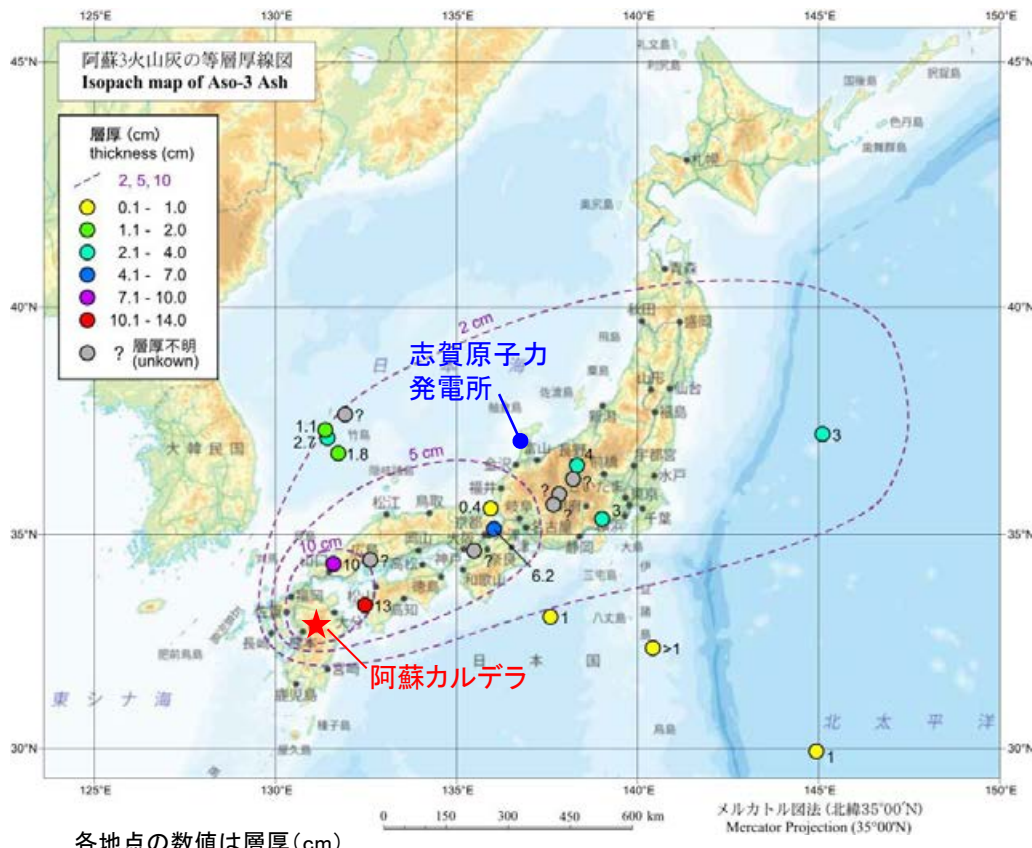


加久藤カルデラ周辺における比抵抗構造
(Goto et al.(1997)に一部加筆)

3.1.1.2 納入火山における同規模噴火の可能性の検討 —阿蘇カルデラ(活動履歴)ー

【阿蘇カルデラの活動履歴】

- Nagaoka(1988), 町田・新井(2011)及び星住ほか(2023, 2024)に基づけば、阿蘇4テフラ及び阿蘇3テフラの給源である阿蘇カルデラの現在の活動は、最後の噴出量100km³を超える破局的噴火(約8.8万年前の阿蘇4テフラの噴出)以降、阿蘇山において草千里ヶ浜軽石等の多様な噴火様式による小規模噴火が発生している。よって、現在の阿蘇カルデラの噴火活動は、阿蘇山における後カルデラ火山噴火ステージの活動と考えられる(右下図)。
- また、破局的噴火の最短の活動間隔(約0.7万年)は、最後の破局的噴火からの経過期間(約8.8万年)と比べて短いため、破局的噴火のマグマ溜まりを形成している可能性、もしくは破局的噴火を発生させるマグマ供給系はなくなっている可能性が考えられる(右下図)。



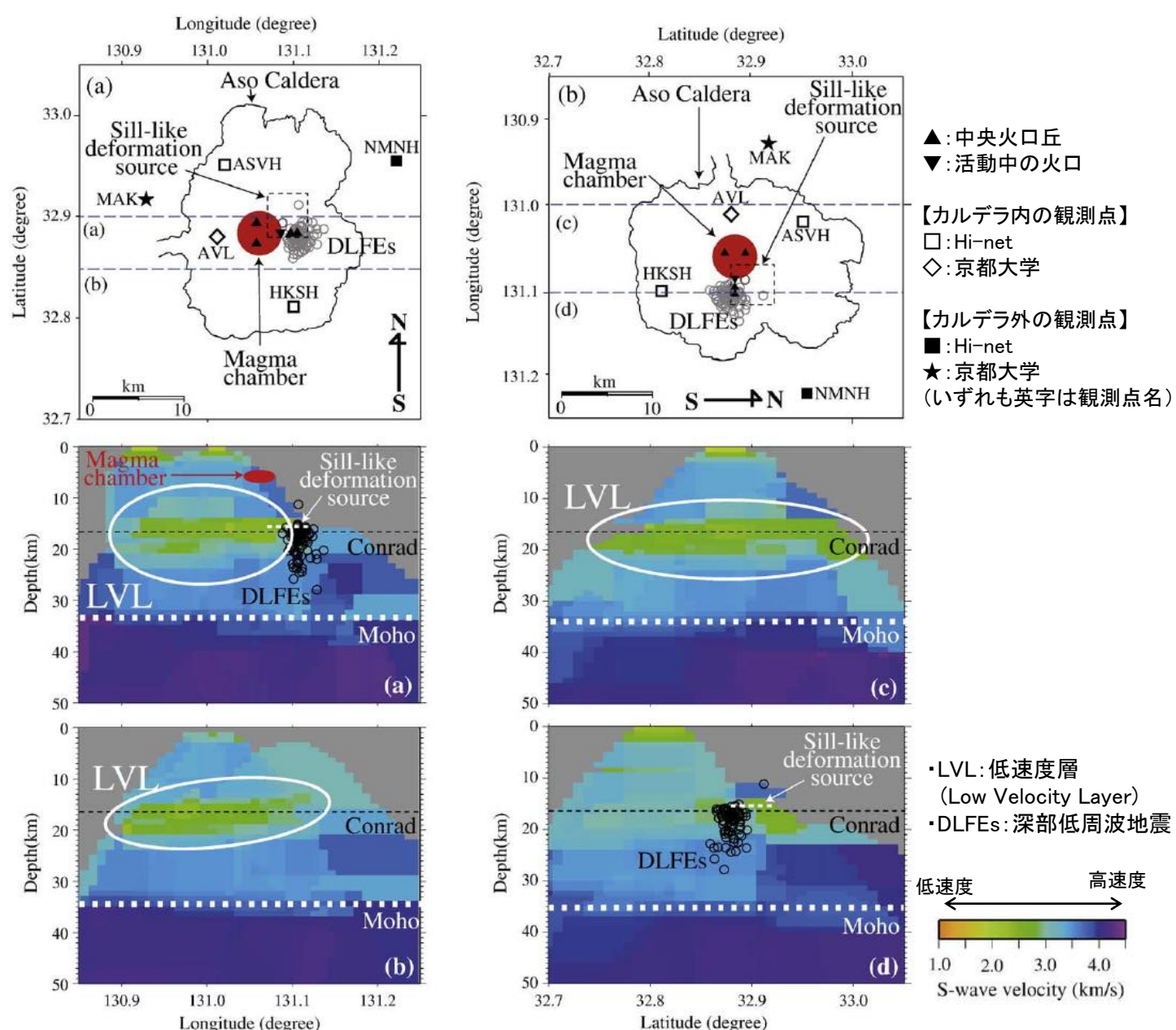
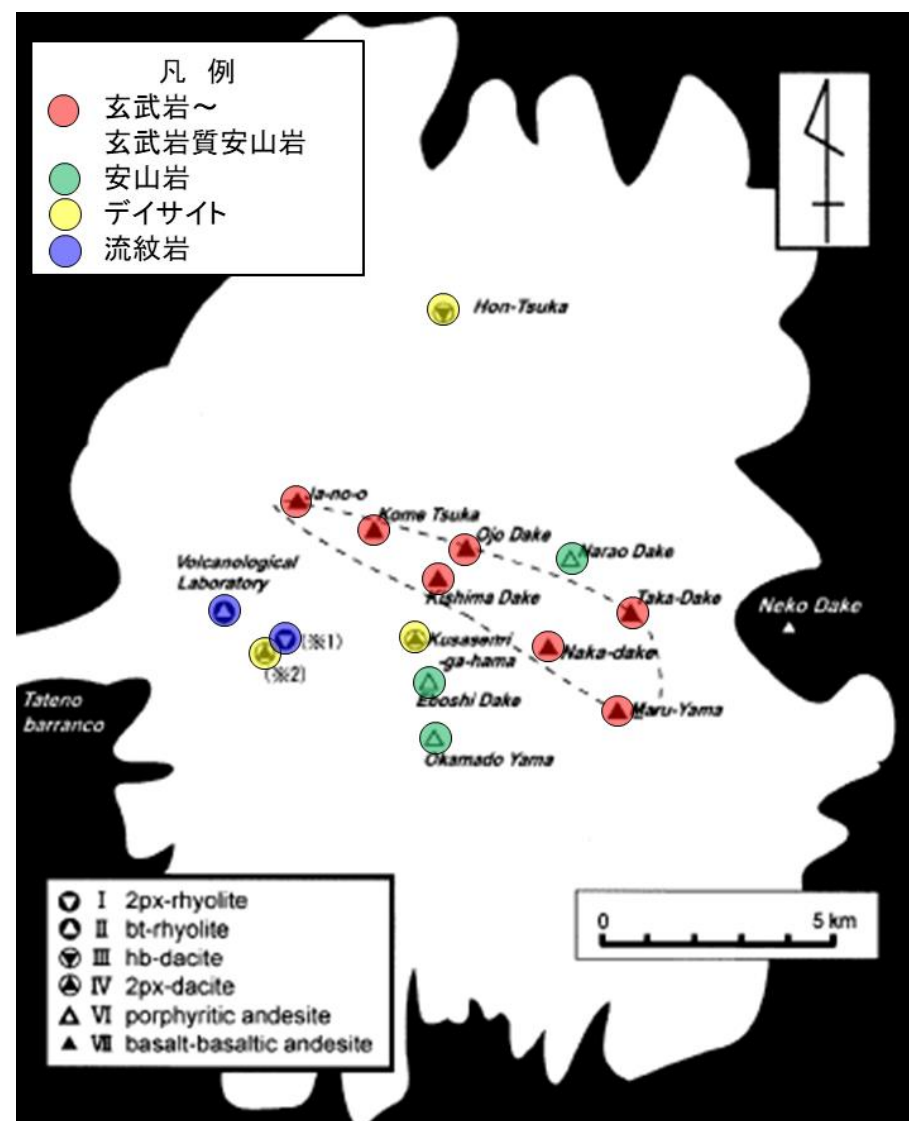
噴火ステージ区分
(Nagaoka(1988)に基づき作成)

3.1.1.2 給源火山における同規模噴火の可能性の検討 —阿蘇カルデラ(地下構造)–

【阿蘇カルデラの地下構造】

- 三好ほか(2005)によると、後カルデラ期では、苦鉄質火山噴出物(玄武岩～玄武岩質安山岩)の供給火口がカルデラ中央部に分布し、その周辺により珪長質な火山噴出物の給源火口が分布する傾向があるとされる。この火口分布は大規模な珪長質マグマ溜まりがカルデラ直下に存在する場合に想定される分布とは異なるため、カルデラ形成期に存在した大規模な単一のマグマ溜まりは後カルデラ期には存在しなくなったと考えられる(左下図)。
- Abe et al.(2010)によると、阿蘇カルデラ西部の深度約10～24kmには、S波速度の低速度層が確認され(右下図)、5～15%のメルトもしくは10～30%の水が含まれている可能性があるとされる。この低速度層が仮に大規模なマグマ溜まりであるとしても、その分布深度は、東宮(1997)による珪長質マグマの浮力中立点の深度約7kmより深い位置にあると推察される。

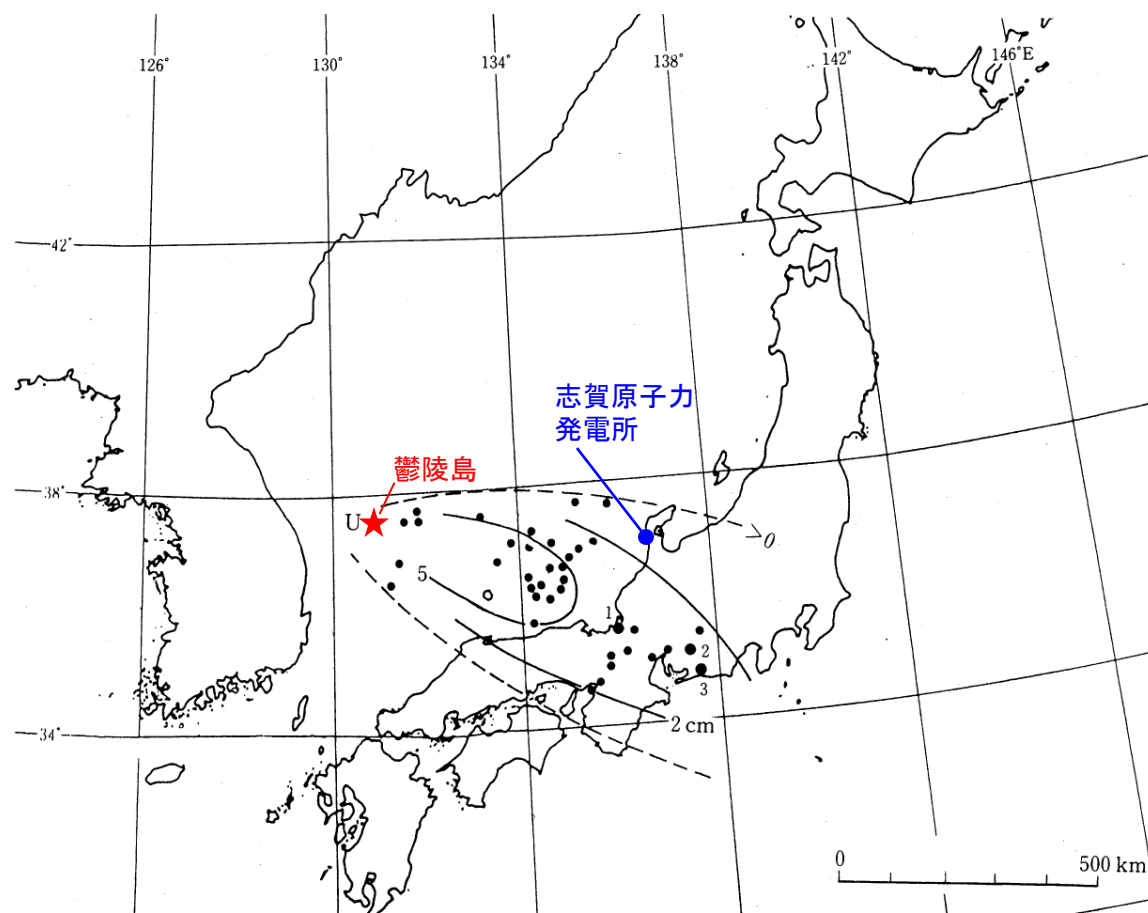
○阿蘇カルデラの活動履歴及び地下構造の状況を踏まえ、阿蘇3及び阿蘇4テフラと同規模の噴火が発生する可能性は十分小さいと評価した。



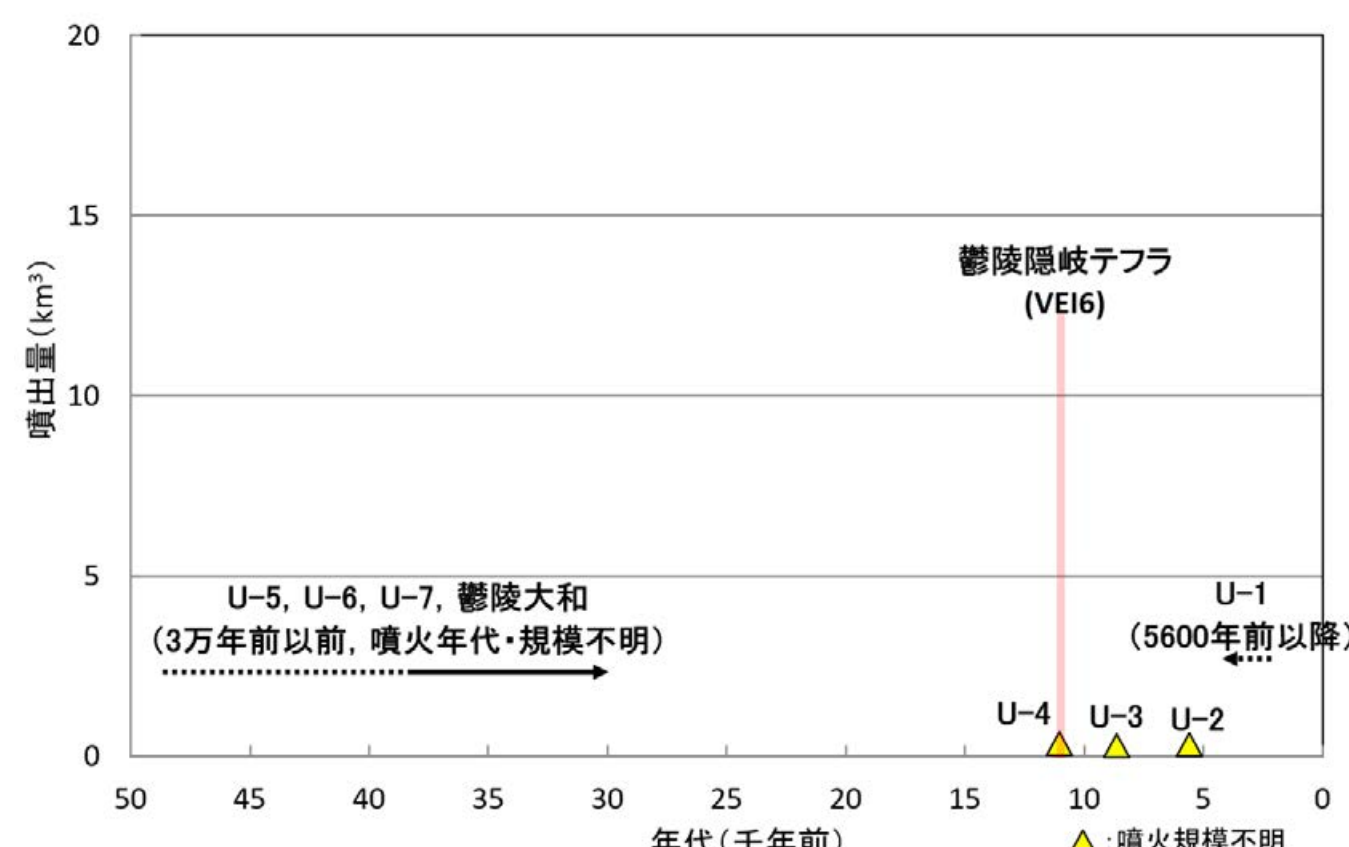
3.1.1.2 給源火山における同規模噴火の可能性の検討 —鬱陵島(活動履歴)—

【鬱陵島の活動履歴】

- 町田・新井(2011)によると、鬱陵隠岐テフラの給源である鬱陵島では、完新世においてVEI 6規模の鬱陵隠岐テフラ(U-4)をもたらす噴火が発生し、それ以降、少なくとも3回(U-3, U-2, U-1)の噴火が発生しているが、それぞれの噴火規模は不明である。ただし、最新噴火であるU-1については、鬱陵島の中央火口丘(卵峰)形成に関わる水蒸気爆発のテフラとされる。
- また、鬱陵隠岐テフラの噴火以前の活動については、U-5, U-6などのテフラをもたらす噴火が発生したとされるが、その噴火年代や規模は不明である。
- なお、椎原ほか(2013)や東野ほか(2019)によると、日本列島に分布する鬱陵隠岐テフラには、U-4及びU-3が混在しているとされる。



鬱陵隠岐テフラの分布
(町田・新井(2011)に一部加筆)



鬱陵島の活動史
(須藤ほか(2007), 町田・新井(2011), 椎原ほか(2013), 東野ほか(2019)に基づき作成)

鬱陵隠岐テフラに関する詳細は、[補足資料2 P.2-5](#)

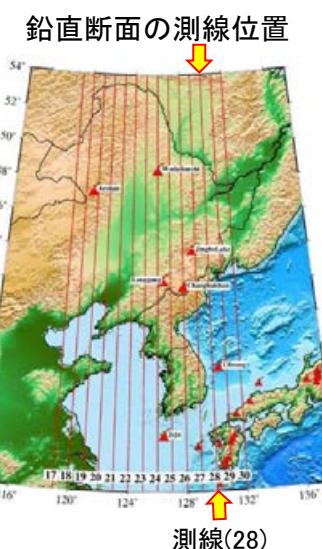
3.1.1.2 給源火山における同規模噴火の可能性の検討 —鬱陵島(地下構造)ー

【鬱陵島の地下構造】

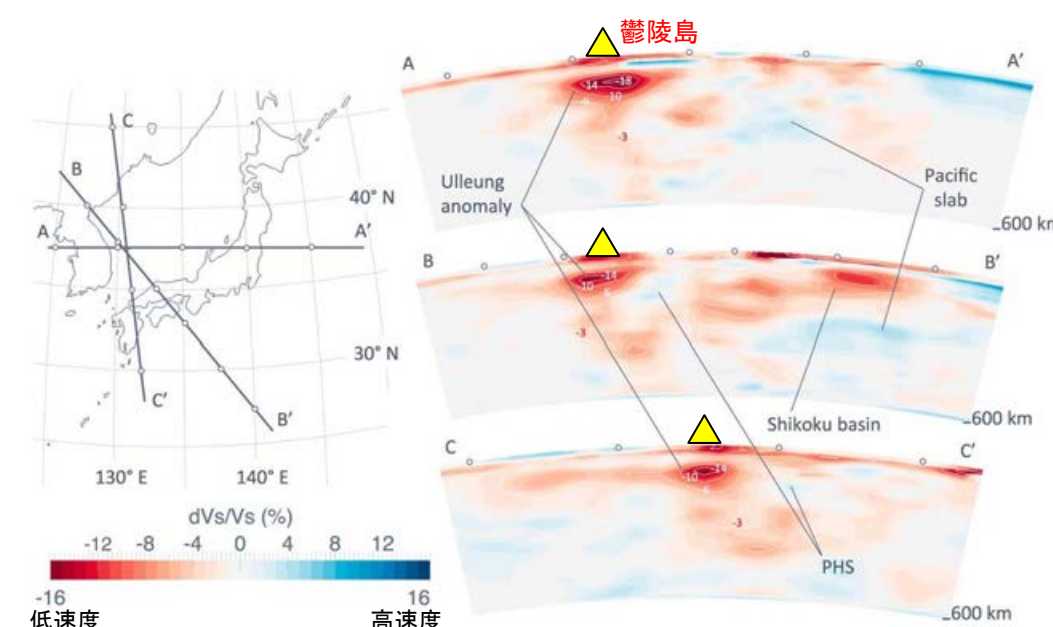
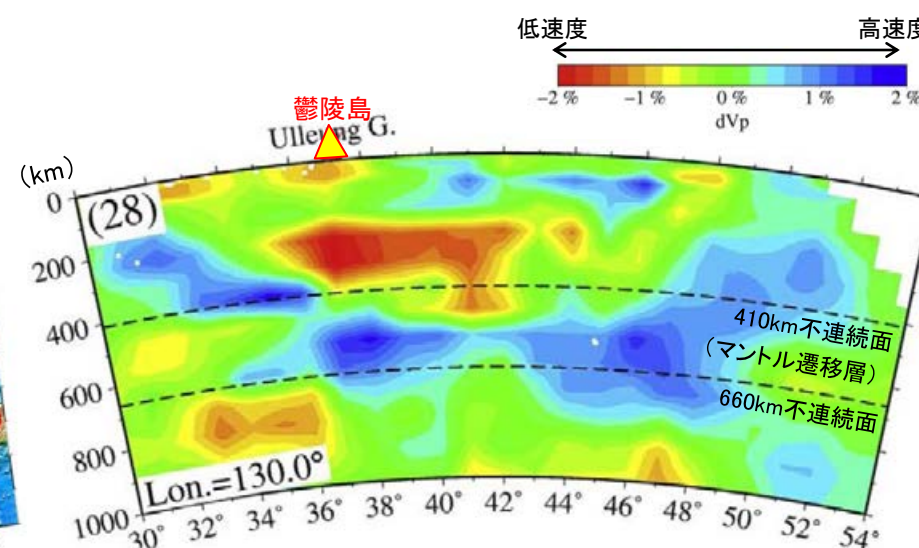
○地震波速度構造に関する文献調査の結果、鬱陵島の地下深部には顕著な低速度層が認められる。鬱陵島直下の地下浅部におけるマグマ溜まりの状況に関する詳細な知見は得られておらず、地下浅部に大規模なマグマ溜まりが存在していることは否定できない。

- ・Ma et al.(2018)は、鬱陵島の地下深部に認められるVp低速度層(左下図)について、太平洋スラブやフィリピン海スラブの沈み込みに伴う、マントル内の高温で湿潤なアセノスフェア物質の上昇・活発な対流に成因があるとし、それが火山の形成に繋がっていると考察している。
- ・Simuté et al.(2016)も、Vs偏差の鉛直断面図と水平断面図(深度20km)において鬱陵島地下に低速度異常が確認できるとし、マントル遷移層内またはその上部の流動に関連した不安定性の結果として生じているとの仮説を提示している(右下図)。

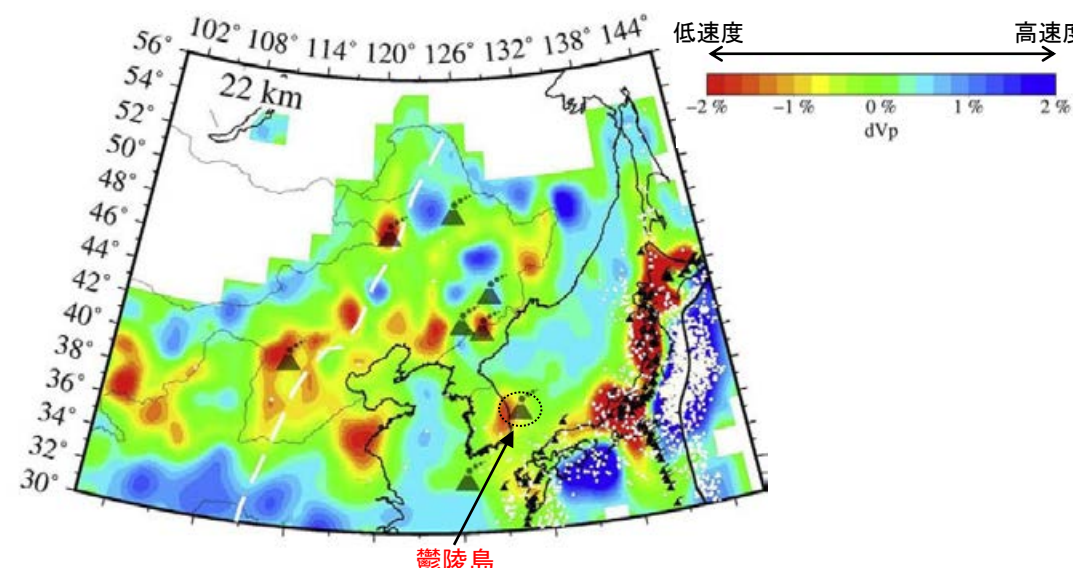
○鬱陵島の活動履歴及び地下構造の状況を踏まえ、鬱陵島付近における同規模の噴火が発生する可能性は否定できないと評価した。



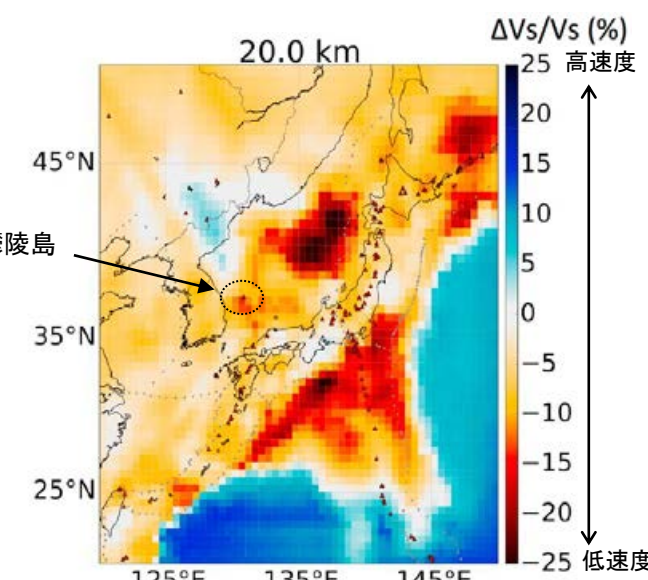
鬱陵島を通る南北測線におけるVp偏差鉛直断面
(Ma et al.(2018)に一部加筆)



鬱陵島を通る3測線におけるVs偏差鉛直断面
(Simuté et al.(2016)に一部加筆)



鬱陵島付近のVp偏差水平断面
(Ma et al.(2018)に一部加筆)

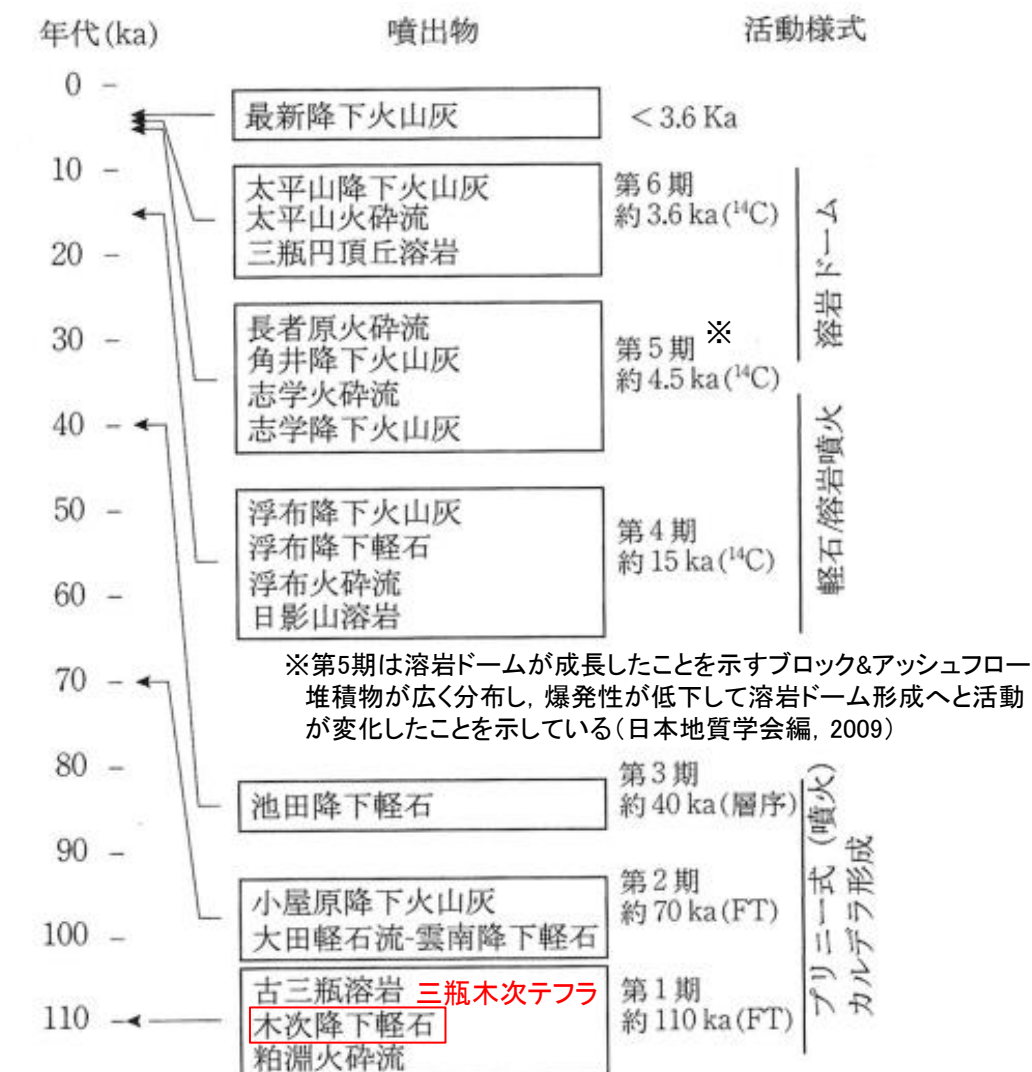
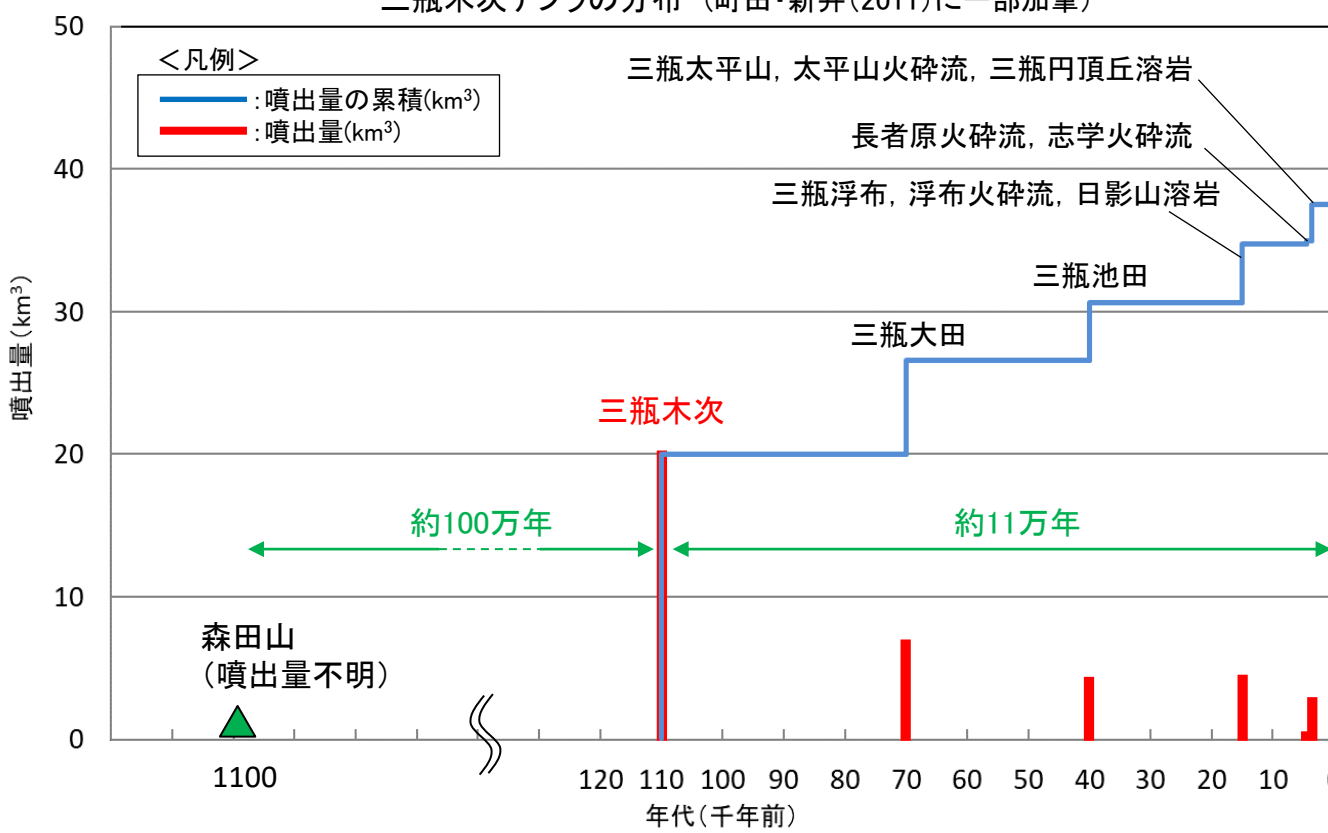
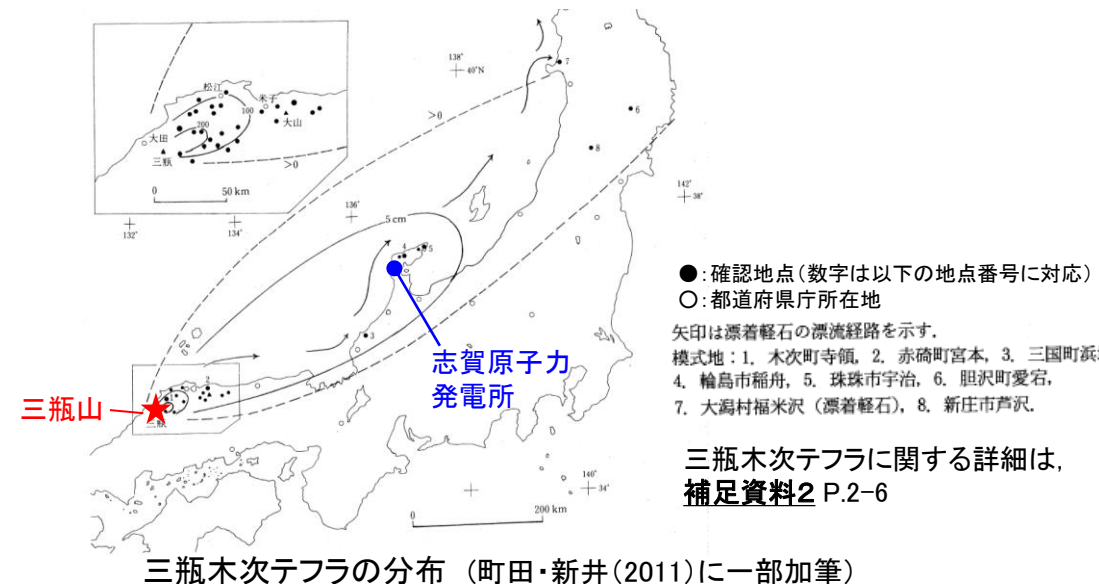


鬱陵島付近のVs偏差水平断面
(Simuté et al.(2016)に一部加筆)

3.1.1.2 紙源火山における同規模噴火の可能性の検討 —三瓶山(活動履歴)—

【三瓶山の活動履歴】

- 三瓶木次テフラの給源である三瓶山の活動履歴について、地質調査総合センター編(2023)によると、森田山は、「三瓶カルデラ形成以前の山体で、古三瓶あるいは先三瓶といわれる、先カルデラ火山」とされることから、森田山の噴火も含めて評価する(詳細は次頁)。
- 日本地質学会編(2009)によると、三瓶木次テフラは約11万年前の第1期に噴出し、約4,500年前の第5期以降の三瓶山の活動は、溶岩ドームを形成する活動へと変化し、爆発性が低下したとされている(右下図)。
- 森田山の噴火以降において、最も規模の大きな噴火は三瓶木次テフラ噴出時であり、約110万年前の森田山の噴火以降、噴火規模の最も大きな三瓶木次テフラの噴出までの期間(約100万年)は、三瓶木次テフラの噴出からの経過時間(約11万年)に比べ十分に長い(左下図)。



- ・約11万年前の噴火以降は、第1期から第6期に区分され、爆発的軽石噴火が優勢な第1-3期及び溶岩の噴出が優勢な第4-6期の2つに分けられる。
- ・第1期から第3期にかけては、3回のプリニイ式の流紋岩質軽石噴火があり、これらの爆発的噴火により、現在のカルデラが形成された。
- ・第4期においてもサブ・プリニイ式の噴火が発生しているが、噴出物はディサイト質(日影山溶岩)に変わり、第5期以降は溶岩ドームを形成する活動へと変化し、爆発性が低下した。

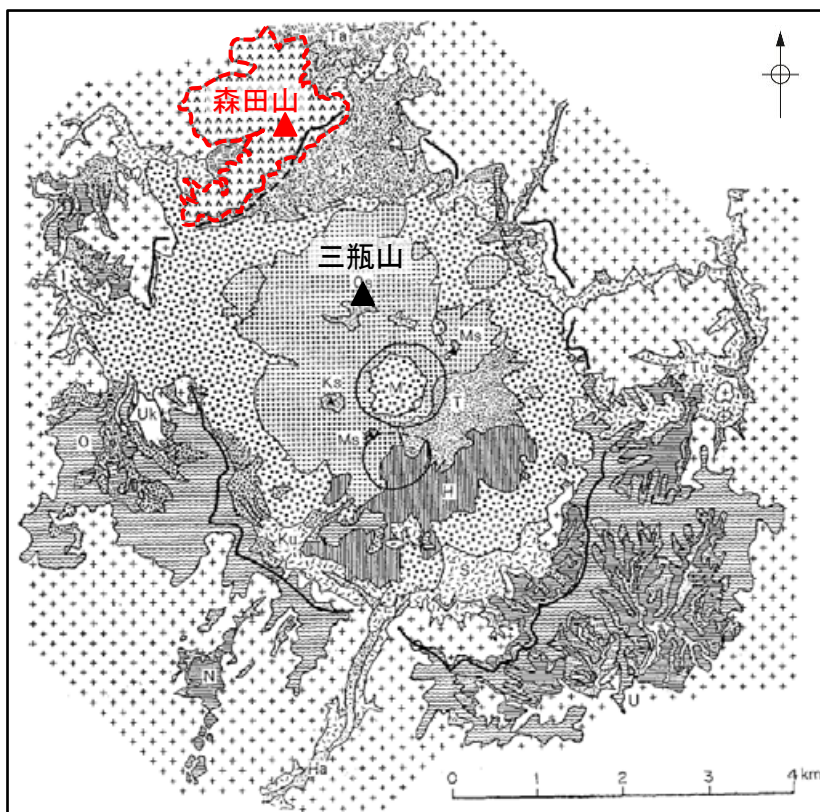
三瓶山の噴火史

(日本地質学会編, 2009)

(日本地質学会編(2009)に一部加筆)

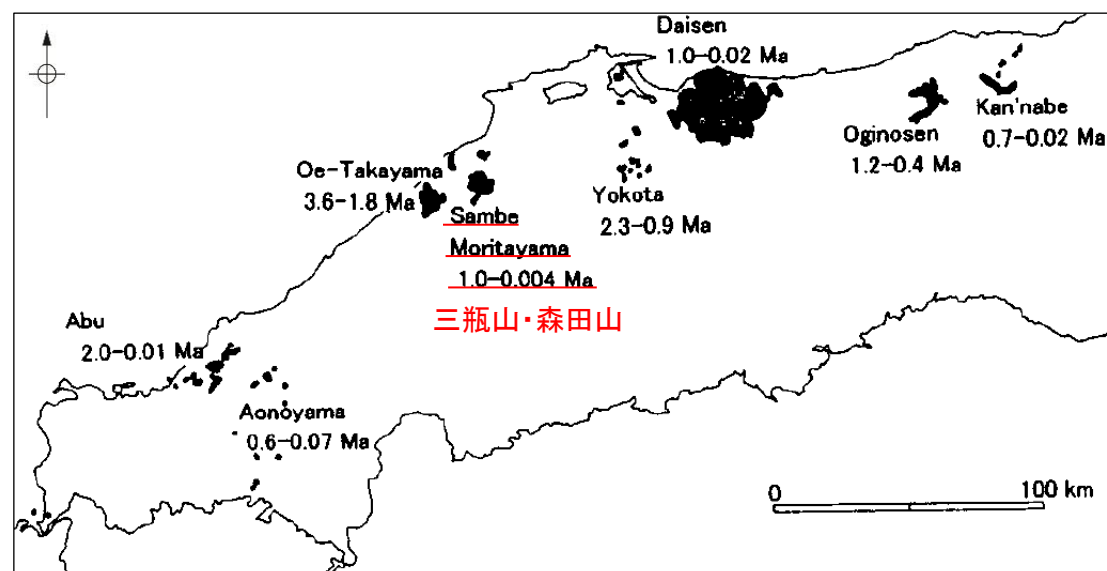
【森田山を含めた三瓶山の活動履歴】

- 地質調査総合センター編(2023)では、三瓶山と森田山を区別して整理しているが、その一方で、森田山は、「三瓶カルデラ形成以前の山体で、古三瓶あるいは先三瓶といわれる、先カルデラ火山」としていることから、三瓶山の噴火履歴の検討にあたっては、森田山の噴火も含めて評価する。
- 松浦・土谷(2003)は、森田山溶岩は更新世前期の約110万年前に噴出した溶岩ドームであり、三瓶火山は山陰地域の鮮新世以降の一般的な火山活動継続期間と同程度の100万年に及ぶ長い活動レンジを持っているとしている。また、森田山溶岩は、時間的・空間的分布の上で三瓶火山噴出物に密接に伴っていると見られ、三瓶火山の最初の活動として生じた可能性が考えられるとしている。服部ほか(1983)も、カルデラ北部の森田山は古三瓶火山の一部としている。
- 服部ほか(1983)によると、森田山の噴火(約110万年前)から三瓶木次テフラの噴出(約11万年前)までの期間は、三瓶カルデラより小型の成層火山あるいは単成火山群が存在していた可能性が高いとされている。また、この期間に広域火山灰を降下させる規模の噴火が起こったという知見は得られていない。

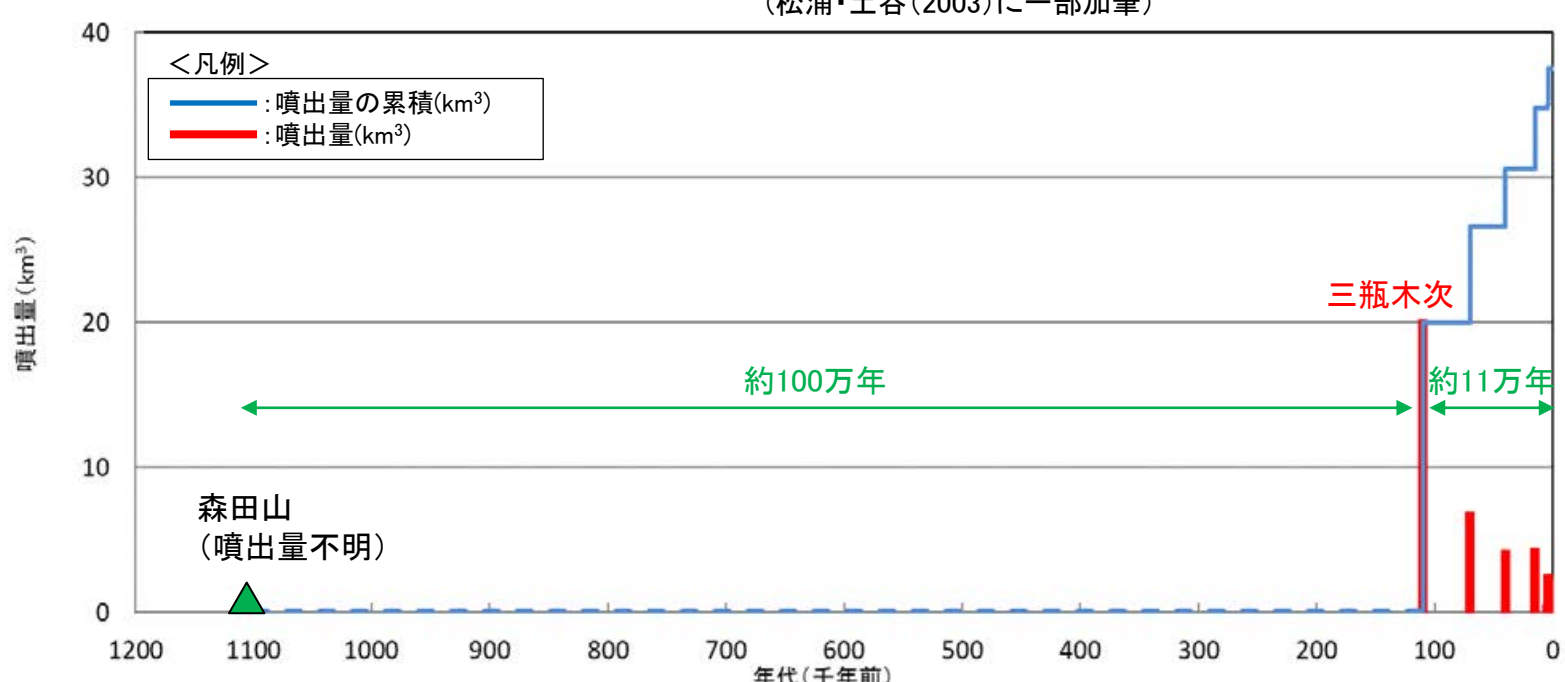


三瓶山と森田山の位置関係
(服部ほか(1983)に一部加筆)

凡例	
地質時代	層序
完新世	L 観河成・湖成堆積物
	F 沖積層・星羅堆積物
	Tf 大平山陥下火成堆積物
	Ta 太平山火成流堆積物
第3期	Sd 三瓶円錐丘溶岩
	KI 北の原溶岩
	Tp 多根火成流堆積物
	Spf 三瓶陥下火成堆積物
第2期	Op 小田火成流堆積物
	Ob 小田ベースサージ堆積物
	Hl 日影山溶岩
	Ub 上山ベースサージ堆積物
更新後期	Sf 三瓶陥下火成堆積物
	Sp 三瓶火成流堆積物
	Sb 三瓶ベースサージ堆積物
最終	Os 古三瓶堆積物
	花園君類・火山岩類



山陰地域の鮮新世以降の一般的な火山活動継続期間
(松浦・土谷(2003)に一部加筆)



三瓶山(森田山含む)の階段ダイヤグラム
(町田・新井(2011), 第四紀火山カタログ委員会編(1999), 日本地質学会編(2009), 須藤ほか(2007)に基づき作成)

3.1.1.2 納源火山における同規模噴火の可能性の検討 —三瓶山(地下構造)ー

【三瓶山の地下構造】

<地震波速度構造>

・Zhao et al.(2011)では、三瓶山の北東～南東側の地下深部に広がる低速度層と低周波微小地震の存在から、マグマ溜まりが存在する可能性を示唆しており、この低速度層は、三瓶山の地下20km以深に位置している(左下図)。

・防災科学技術研究所の三次元地震波速度構造2022年度版(Matsubara et al., 2022)では、三瓶山周辺の地下約5km以浅及び20km以深に低速度領域が存在する(右下図)。このうち、約5km以浅の低速度領域については、水平方向に広く連続し下方には連続しないことから、マグマ溜まりではなく広域的な浅部地質構造を反映したものと判断した。

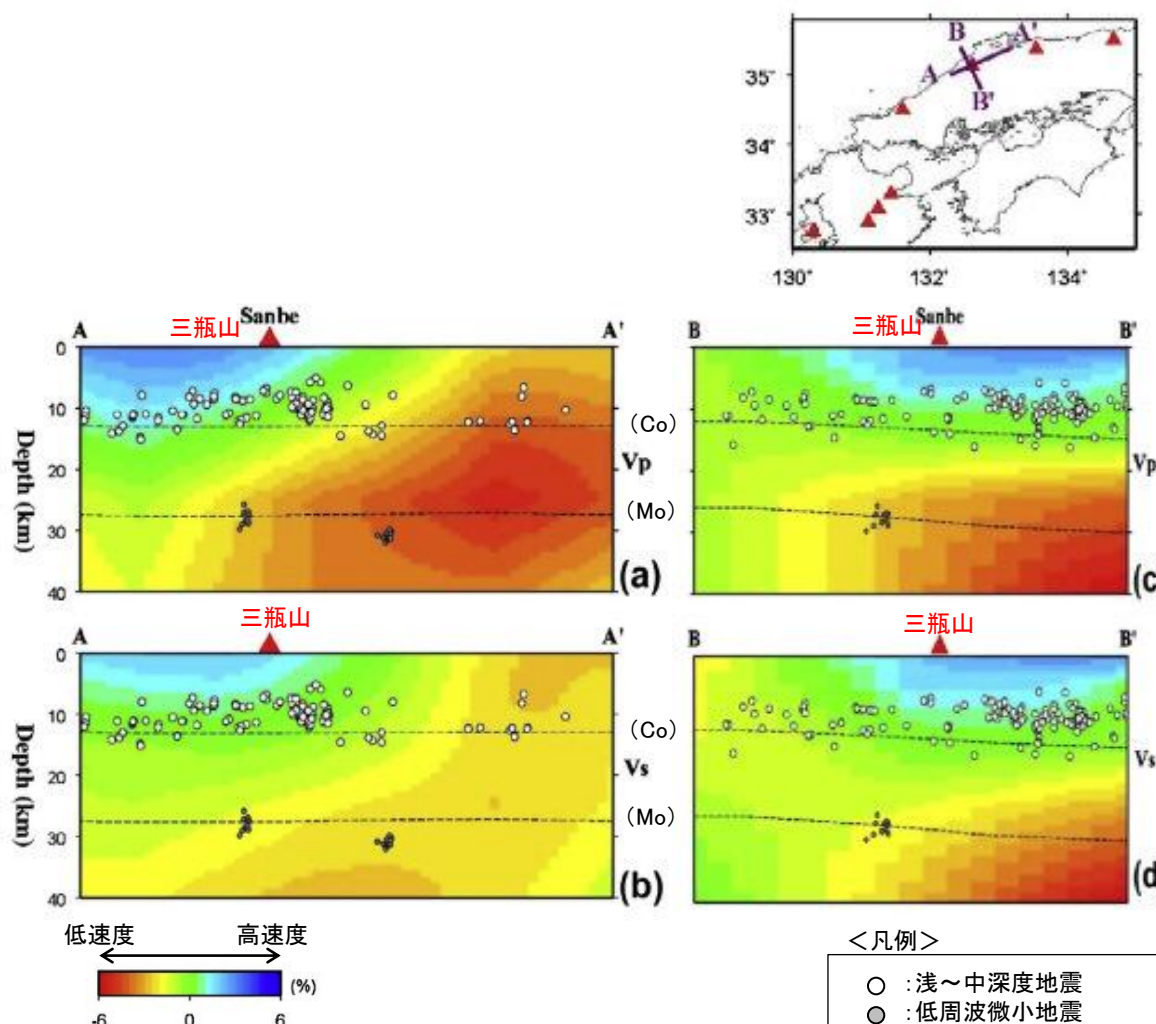
<比抵抗構造>

・比抵抗構造調査の結果、三瓶山南側の地下20km付近にZhao et al.(2011)に示される地震波速度構造の低速度層と調和的な低比抵抗体の存在が認められる(次頁)。

○三瓶山の地下構造(地震波速度構造及び比抵抗構造)に関する知見によると、三瓶山では地下20km以深において、マグマ溜まりの可能性が示唆される領域が示されている。仮に、この領域をマグマ溜まりと評価した場合でも、東宮(1997)による珪長質マグマの浮力中立点の深度7kmよりも深い位置にあると考えられる。

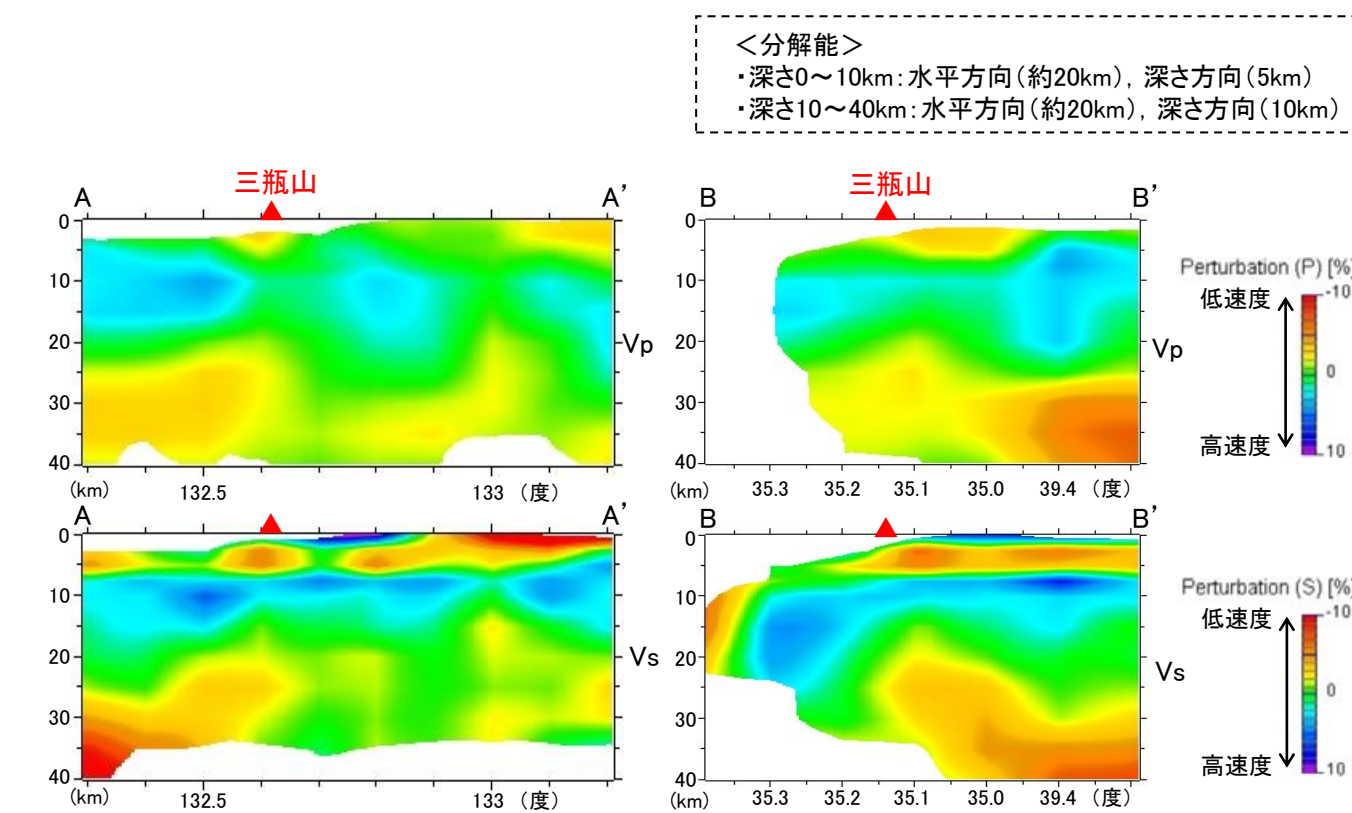
○三瓶山の活動履歴及び地下構造の状況を踏まえ、三瓶木次テフラと同規模の噴火が発生する可能性は十分小さいと評価した。

【地震波速度構造(Zhao et al., 2011)】



三瓶山周辺の地震波速度構造
(Zhao et al.(2011)に一部加筆)

【地震波速度構造(防災科学技術研究所)】

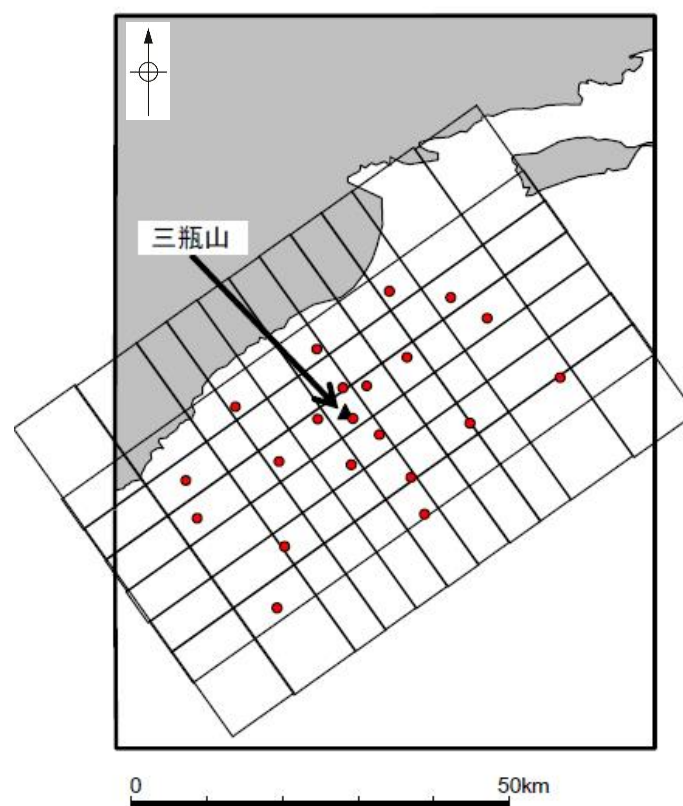


三瓶山周辺の地震波速度構造
(Matsubara et al.(2022)に基づき作成)

Zhao et al.(2011)と同じ断面。
白抜き表示は信頼度が低い深度

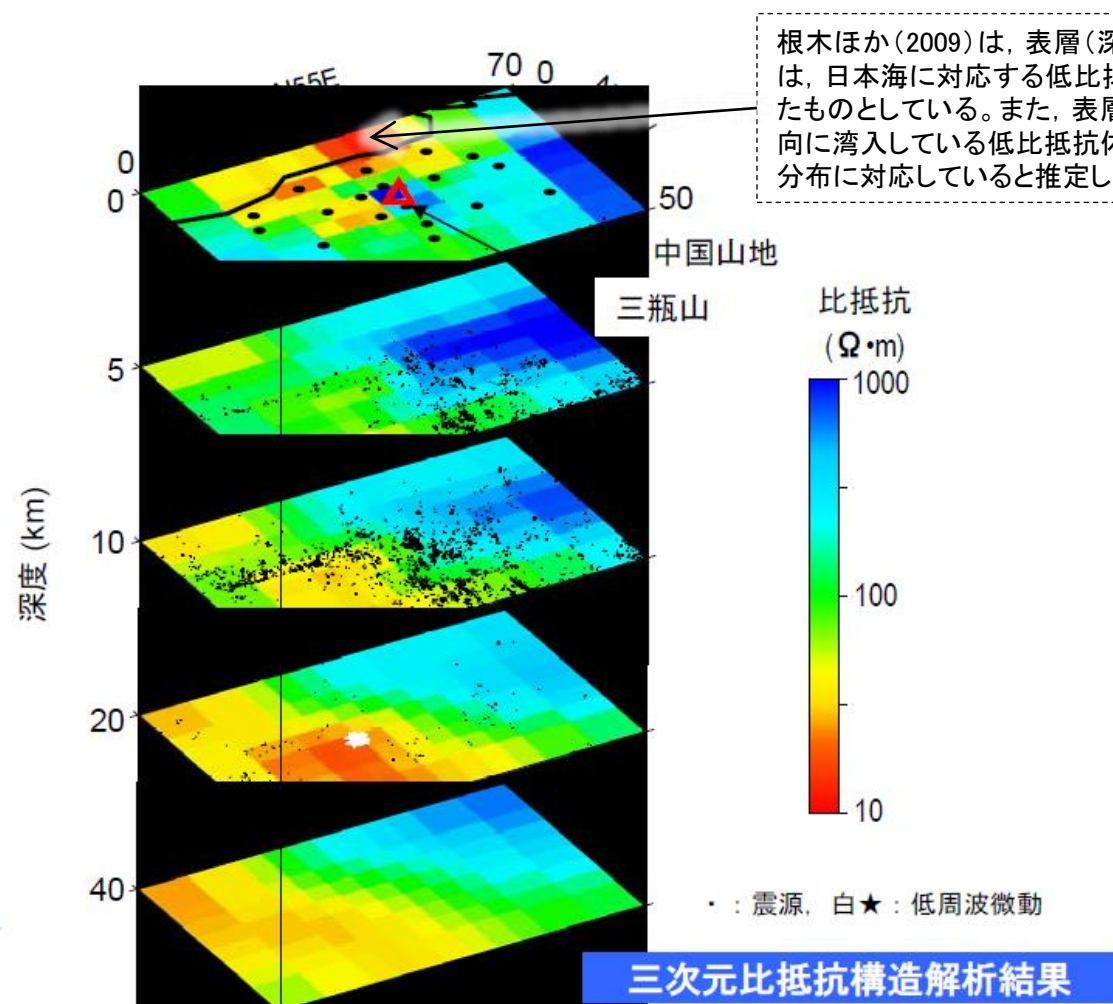
【三瓶山地下の比抵抗構造】

- 根木ほか(2009)は、三瓶山周辺において、MT法による地下深部の比抵抗構造調査を2008年11月に実施している。
- また、日本原子力研究開発機構(2009)は、根木ほか(2009)に示される三次元比抵抗構造解析結果をカラー表示し、三瓶山南側の地下20km付近に低比抵抗体の存在が認められるとしている。
- 三瓶山の南側の地下深部に広がる低比抵抗体は、Zhao et al.(2011)に示される地震波速度構造の低速度層の存在と調和的である。



●：観測点、実線：三次元解析のブロック境界

観測点の配置図



根木ほか(2009)は、表層（深度0km断面）に見られる赤色域は、日本海に対応する低比抵抗体（領域）が明瞭に再現されたものとしている。また、表層において海岸線から三瓶山方向に湾入している低比抵抗体（領域）は、グリーンタフの地質分布に対応していると推定している。

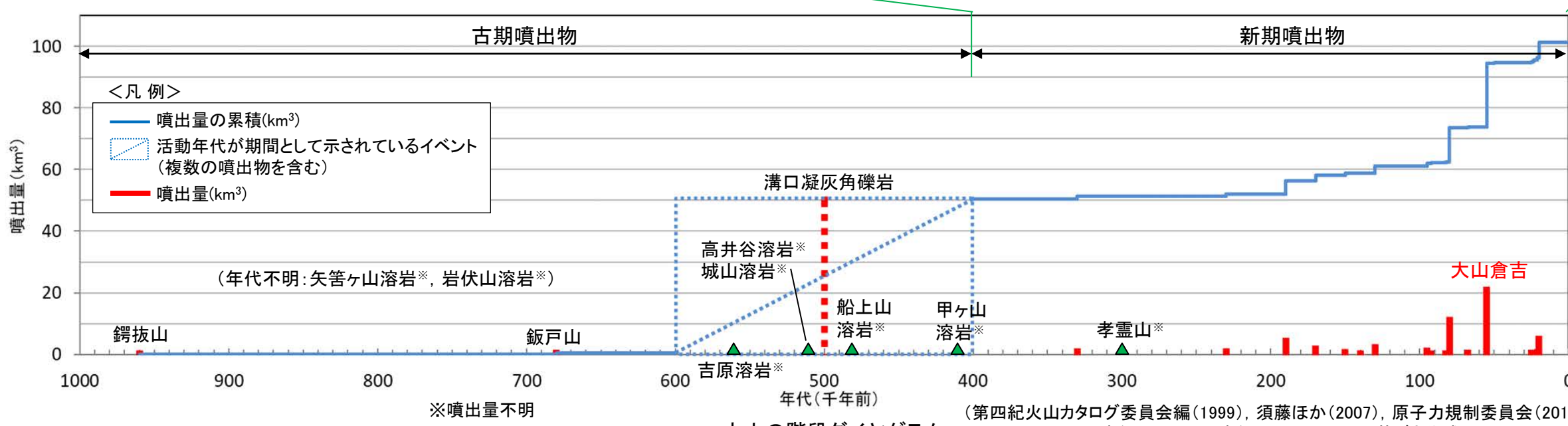
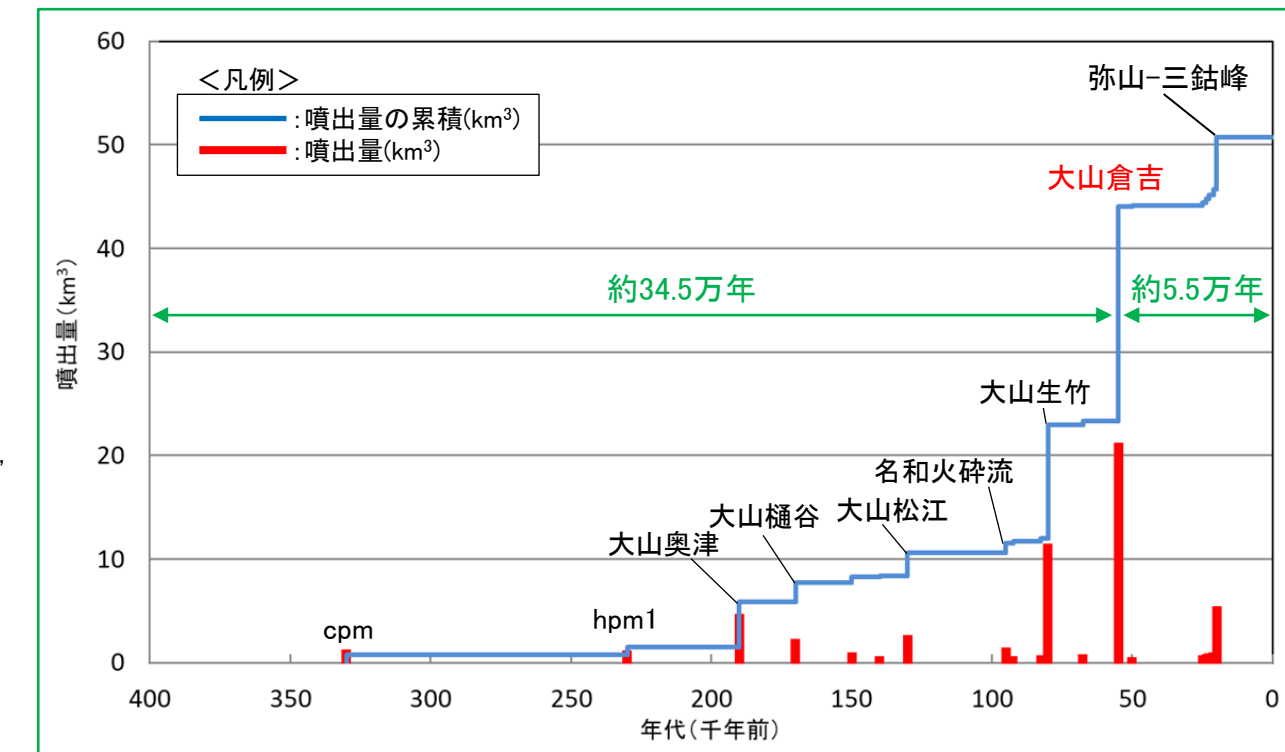
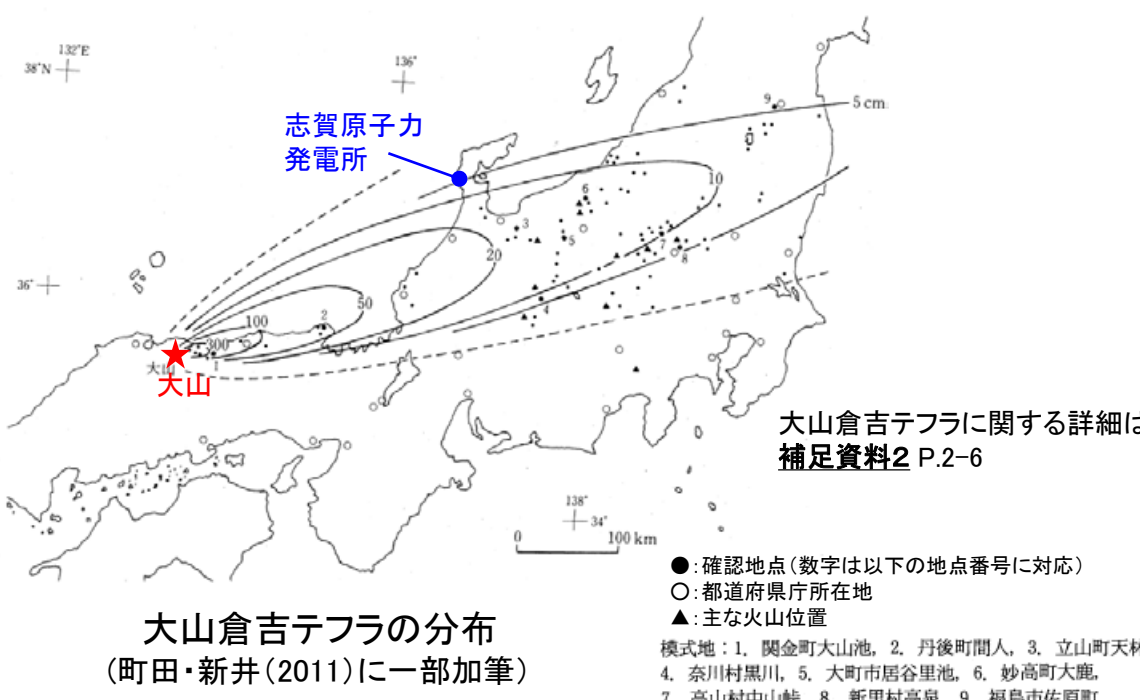
三瓶山周辺を対象とし、21点の観測点で調査を実施した。三次元比抵抗構造解析の結果から、三瓶山の南側の地下20km付近に低比抵抗体の存在が認められた。

三瓶山周辺の三次元MT比抵抗構造解析結果
(日本原子力研究開発機構, 2009)

3.1.1.2 納源火山における同規模噴火の可能性の検討－大山(活動履歴)－

【大山の活動履歴】

- 大山倉吉テフラの給源である大山の現在の活動期は、守屋(1983)の日本の第四紀火山の地形発達過程に基づく分類によると最終期である第4期とされ、米倉ほか(2001)によると、一般にこの第4期の噴出量は第1～3期と比べて少なく、数km³とされる。
- 津久井(1984)等の知見に基づく活動履歴(下図)によると、大山は100万年前頃に火山活動を開始し(古期噴出物)、60万年前～40万年前にかけて溝口凝灰角礫岩等が噴出・堆積し、約40万年前以降(新期噴出物)では爆発的噴火を繰り返したとされる。新期噴出物において、最も規模の大きな噴火は大山倉吉テフラであるが、これに至る期間(約34.5万年)は、大山倉吉テフラ噴出以降の経過期間(約5.5万年)に比べて十分に長い。
- また、マグマ供給系に関する知見によると、約2万年前の最終噴火では、低噴出期のトレンドに戻っているとされる(詳細は次頁)。

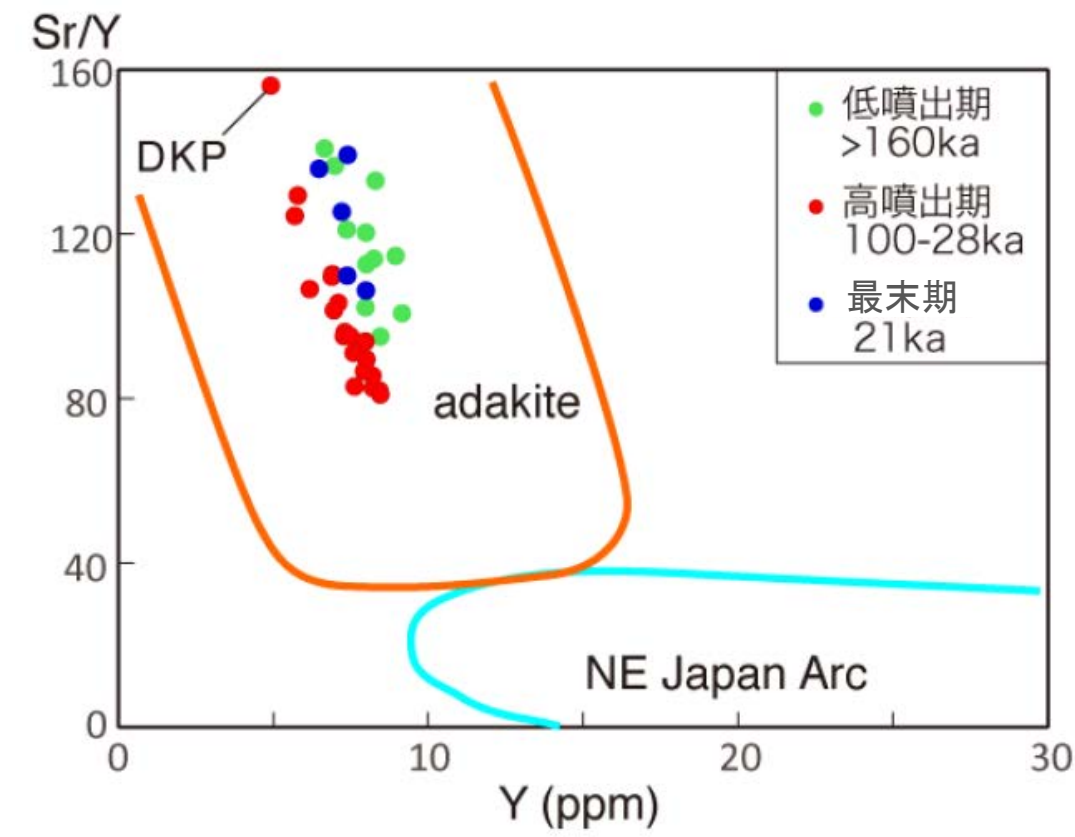
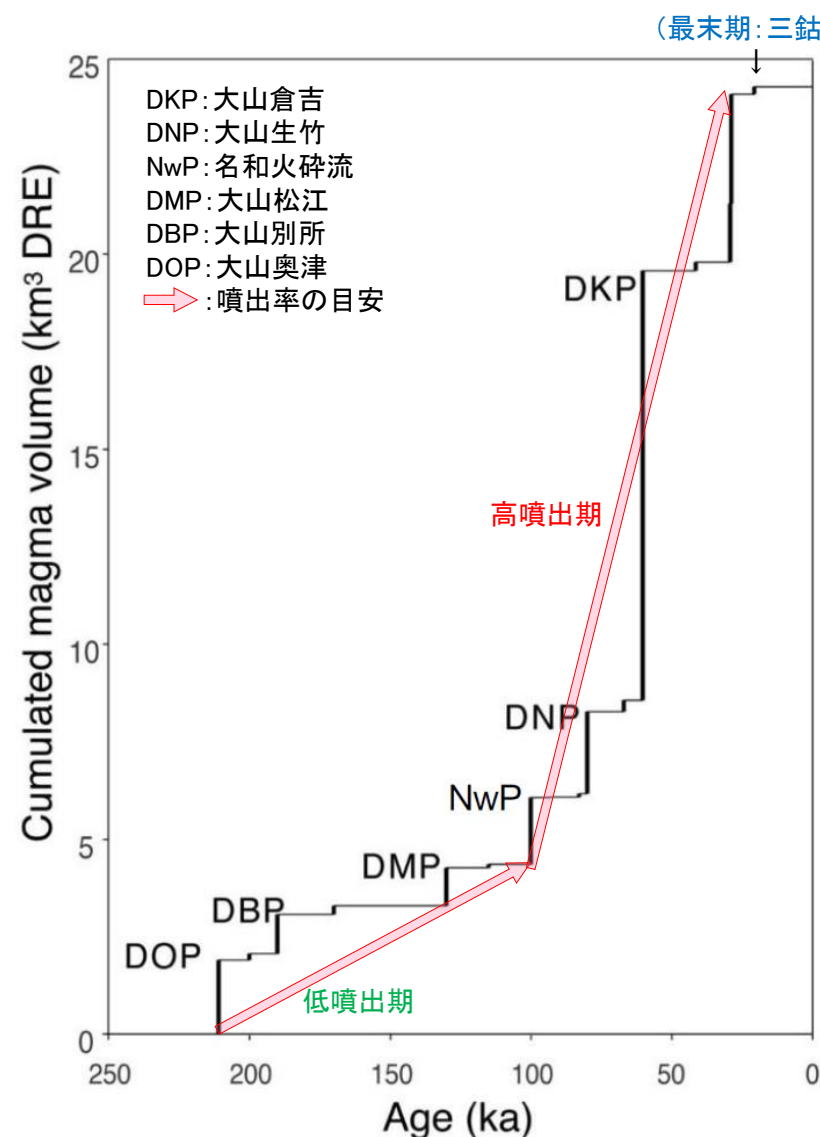


【大山のマグマ供給系に関する検討】

○原子力規制庁(2019)では、大山の活動履歴及び岩石学的見地に基づくマグマ供給系について、以下の総括的な報告がなされ、高噴出期と低噴出期では化学組成のトレンドが明瞭に異なるとされる。

- ・大山火山の活動は、約10万年前の名和火碎流(NwP)噴火前後から階段の傾きが急になり、噴出率が大きくなる傾向が認められる(左下図)。
- ・微量元素分析結果(右下図)から、高噴出期と低噴出期では、噴出物が異なる組成トレンドをもつことが明瞭に分かる。
- ・最末期に噴出量が急減する(左下図)とともに、スラブが溶融したメルトの寄与を示す指標(Sr/Y比)が上昇(右下図)して噴火活動を停止していることは、約10万年前から始まった高温マントルの関与が約2万年前にはほとんどなくなり、噴火が継続できなくなったと解釈できる。

○また、原子力規制委員会(2019b)によると、約2万年前の最終噴火では、低噴出期のトレンドに戻っているとされる。



大山の階段ダイヤグラム
(原子力規制庁(2019)*に一部加筆)

大山火山噴出物の微量元素比(Sr/Y-Y)
(原子力規制庁(2019)に一部加筆)

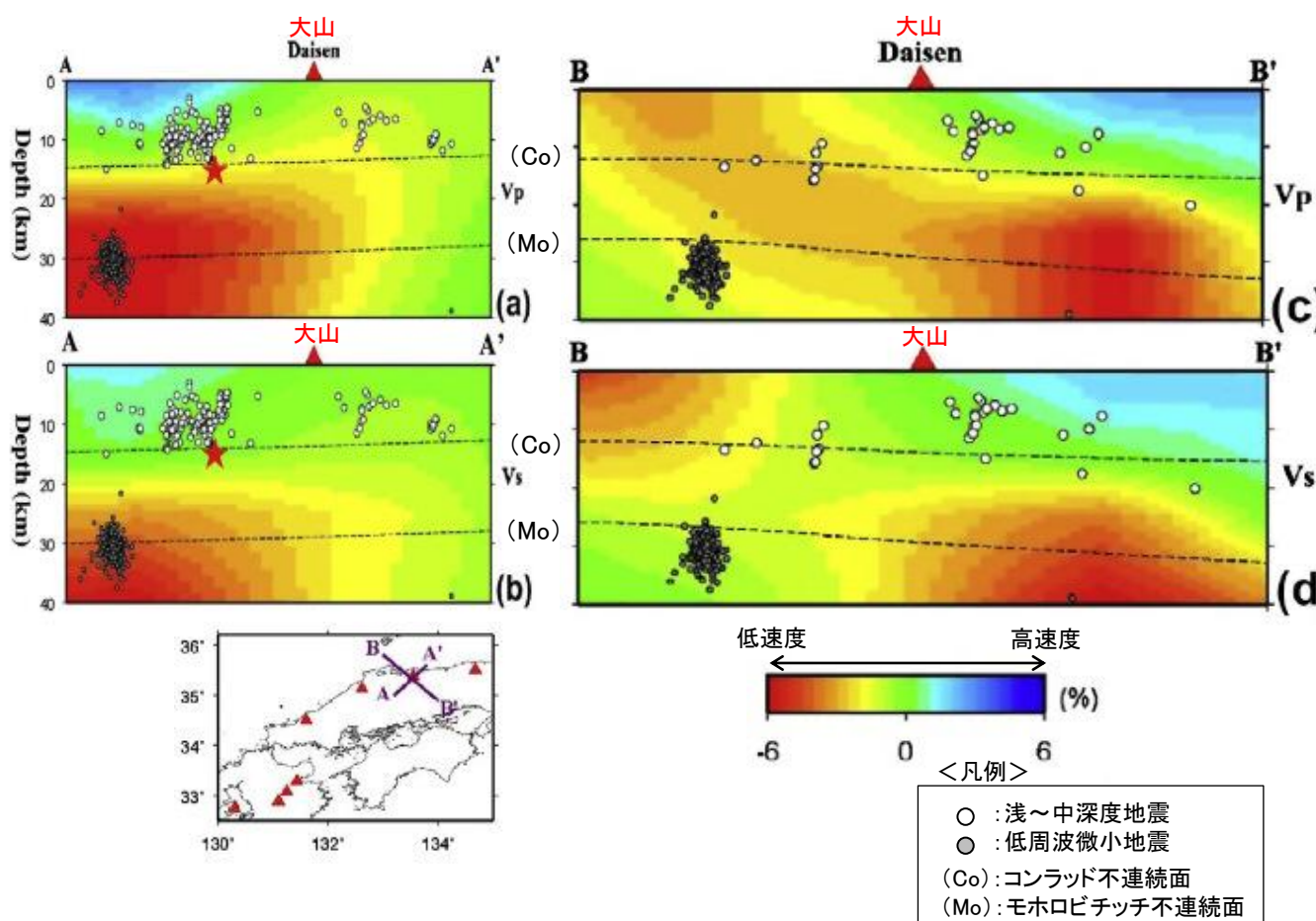
*最新知見であるYamamoto and Hoang(2019)においては、原子力規制庁(2019)で示された階段ダイヤグラムから年代・噴出量等が一部変更されているものの、噴出率の傾向に変化はない。

3.1.1.2 納源火山における同規模噴火の可能性の検討－大山(地下構造)－

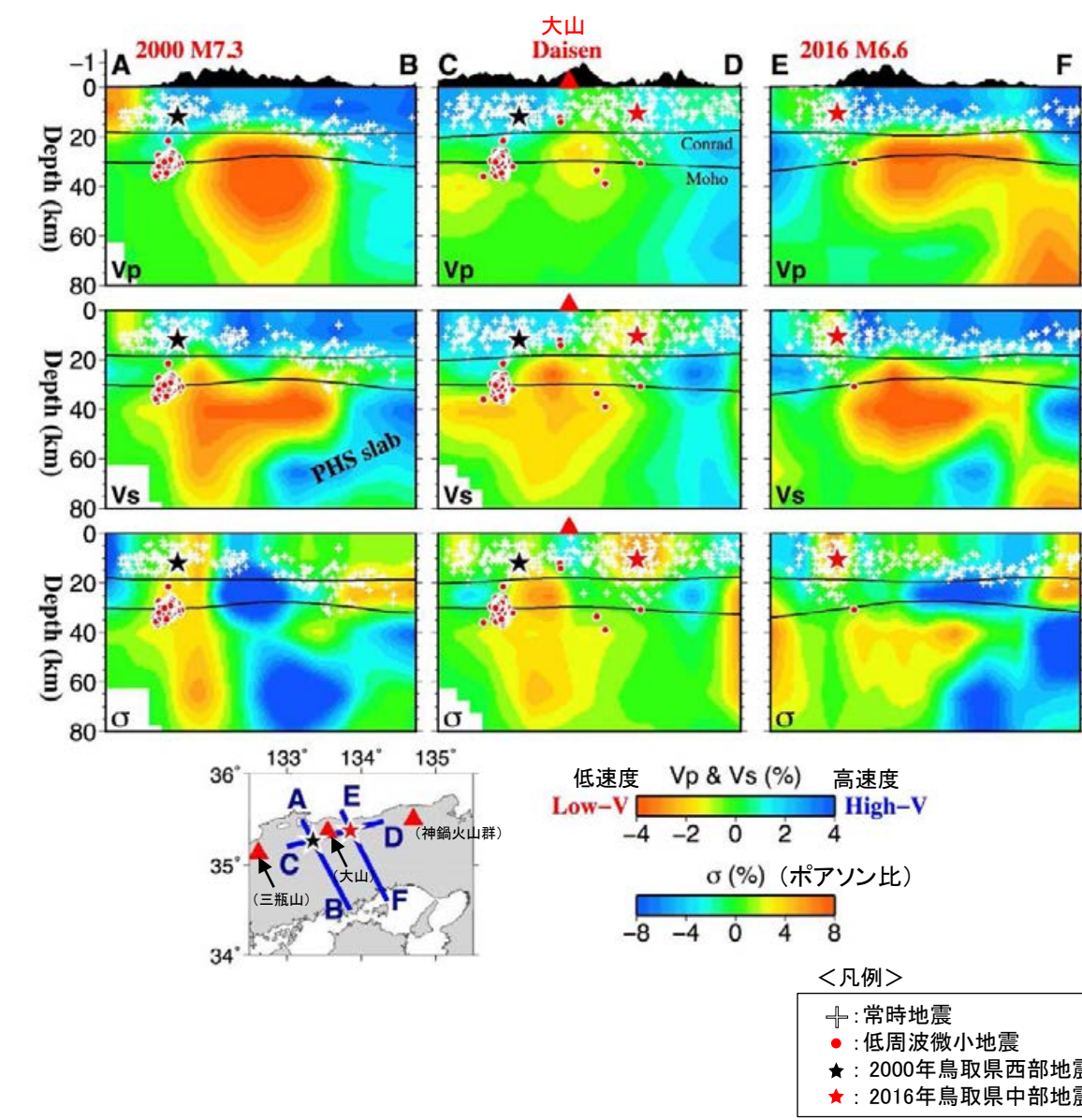
【大山の地下構造】

- Zhao et al.(2011)では、大山の地下深部に広がる低速度層と、大山の西で生じている低周波地震の存在から、地下深部にマグマ溜まりが存在する可能性が示唆されている(左下図)。
- この低速度層を仮にマグマ溜まりとして評価した場合においても、深度20km以深に位置しており、東宮(1997)による珪長質マグマの浮力中立点の深度7kmよりも深い位置にあると推察される。
- なお、後続研究であるZhao et al.(2018)における大山周辺地下の地震波速度構造解析結果においても、深度20km以深に低速度領域が広がっており(右下図)、大局的には低速度領域の深度に変化は認められない。

○ 大山の活動履歴及び地下構造の状況を踏まえ、大山倉吉テフラと同規模の噴火が発生する可能性は十分小さいと評価した。



大山周辺の地震波速度構造
(Zhao et al.(2011)に一部加筆)



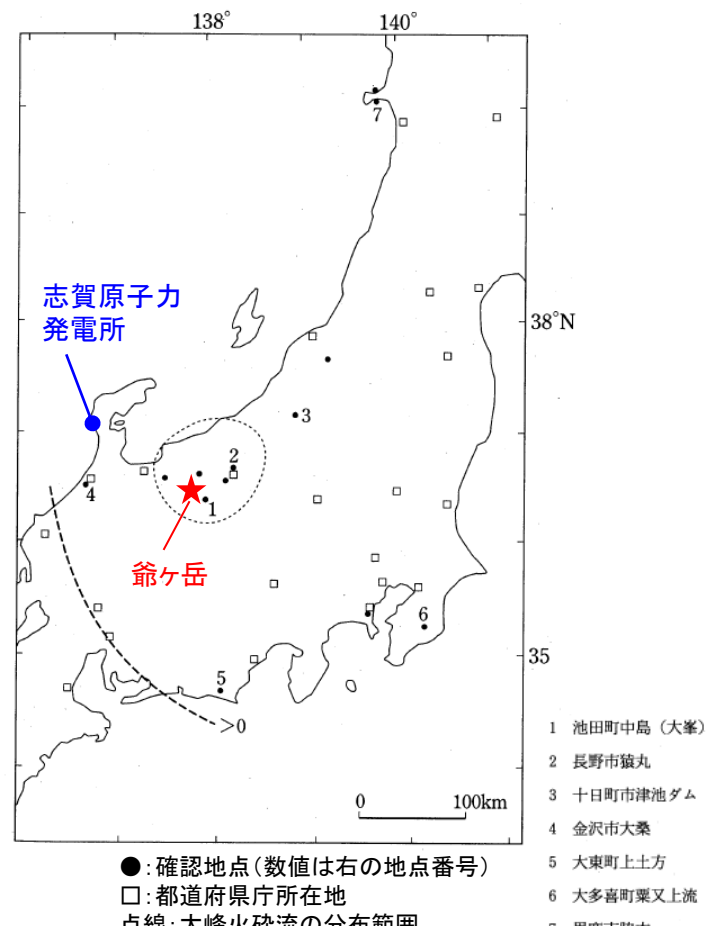
大山周辺の地震波速度構造
(Zhao et al.(2018)に一部加筆)

3.1.1.2 紙源火山における同規模噴火の可能性の検討 —爺ヶ岳—

○1章(原子力発電所に影響を及ぼし得る火山の抽出)において、大峰テフラ及び谷口テフラの給源である爺ヶ岳は、最後の活動終了からの期間(約120万年)が全活動期間(約110万年)よりも長い火山であり、将来の活動可能性が十分小さいと評価した(P.22)。

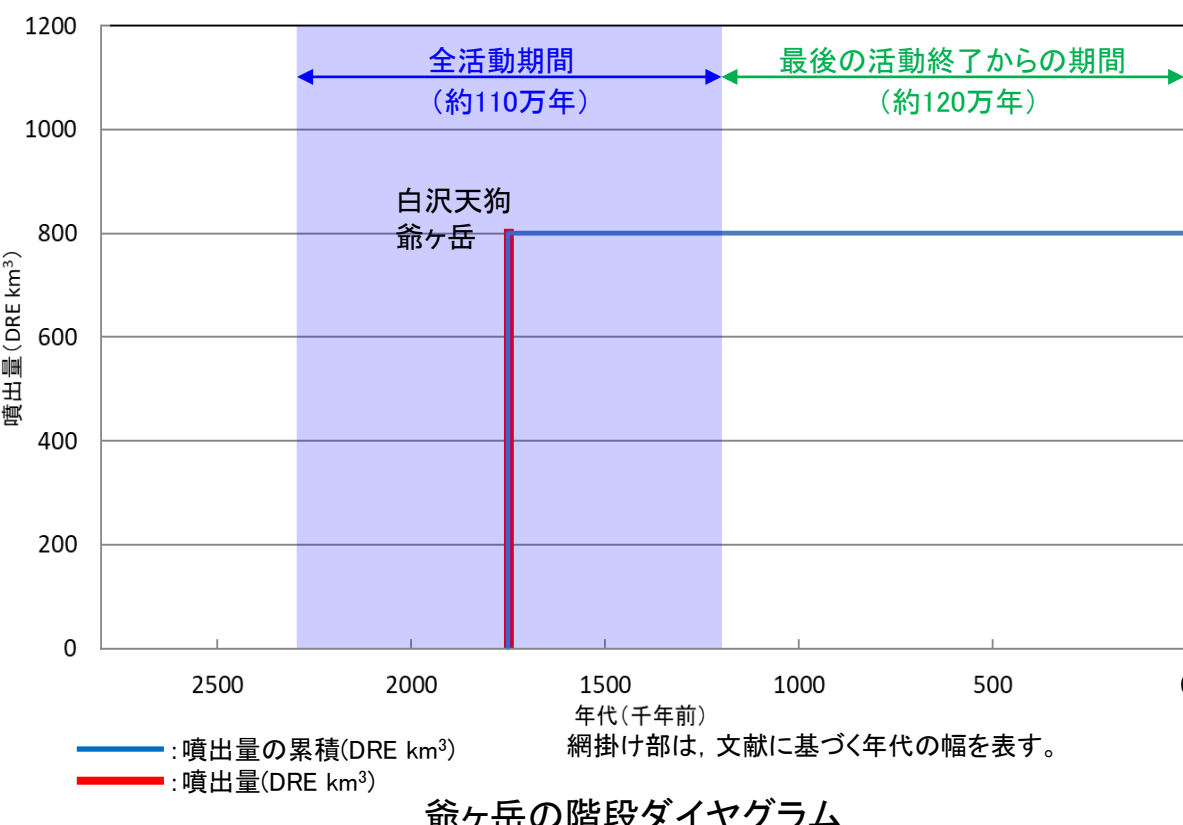
○なお、及川(2003)によると、爺ヶ岳を含む飛騨山脈の火成活動は3つの活動期(Stage I ~ III)に区分され、大峰テフラ及び谷口テフラを発生させた時期はStage Iで、現在の活動期(Stage III)では、東西圧縮の地殻応力場で成層火山の活動が主であり、噴出量10km³程度以下の規模の活動が卓越するとされる(次々頁)。

○爺ヶ岳は、将来の活動可能性が十分小さい火山であることから、大峰テフラ及び谷口テフラと同規模の噴火が発生する可能性は十分小さいと評価した。



大峰テフラ及び谷口テフラに関する詳細は、[補足資料2 P.2-7](#)

活動履歴				
年代 (千年前)	活動期、火山名	噴出物名	噴出量 (DRE km ³)	参考文献
2300 ^{*1} ～1200 ^{*2}	白沢天狗 (2300 ^{*1} ～1600 ^{*1*3} ka)	白沢天狗流紋岩 SK100 大峰テフラ , 火碎流 谷口テフラ , 火碎流	不明 100 ^{*3} 100 ^{*3} 300 ^{*3}	*1 町田・新井(2011) *2 原山ほか(2000) *3 及川(2003)
	爺ヶ岳 (2000 ^{*3} ～1200 ^{*2} ka)	大峰帶 爺ヶ岳火山岩類	300 ^{*3} 不明	



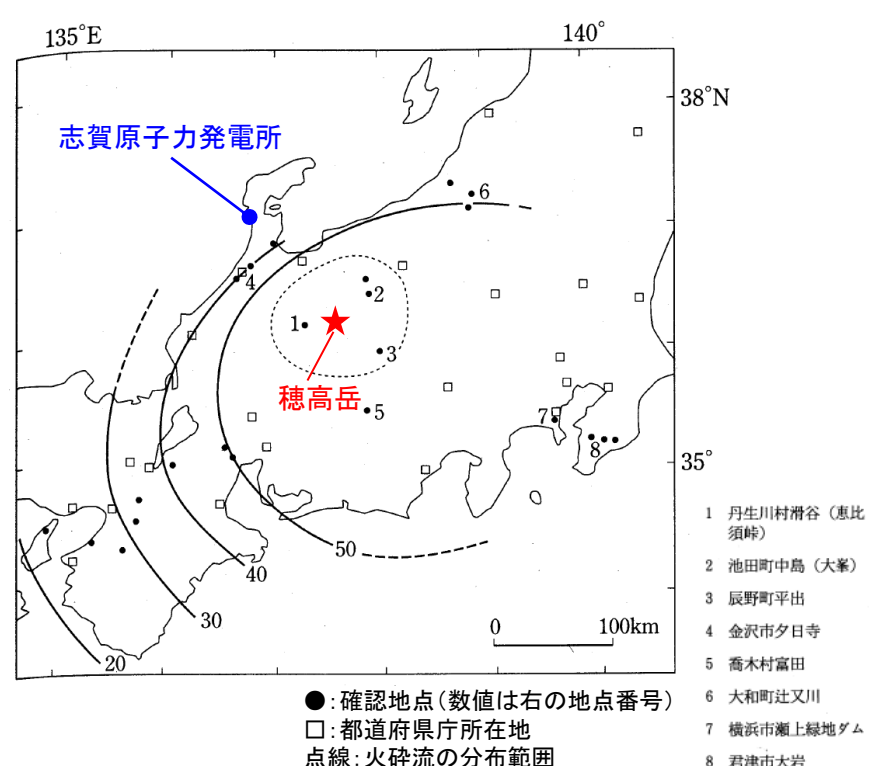
爺ヶ岳の活動履歴の詳細は、[補足資料1 P.1-18～23](#)

3.1.1.2 紙源火山における同規模噴火の可能性の検討 —穂高岳—

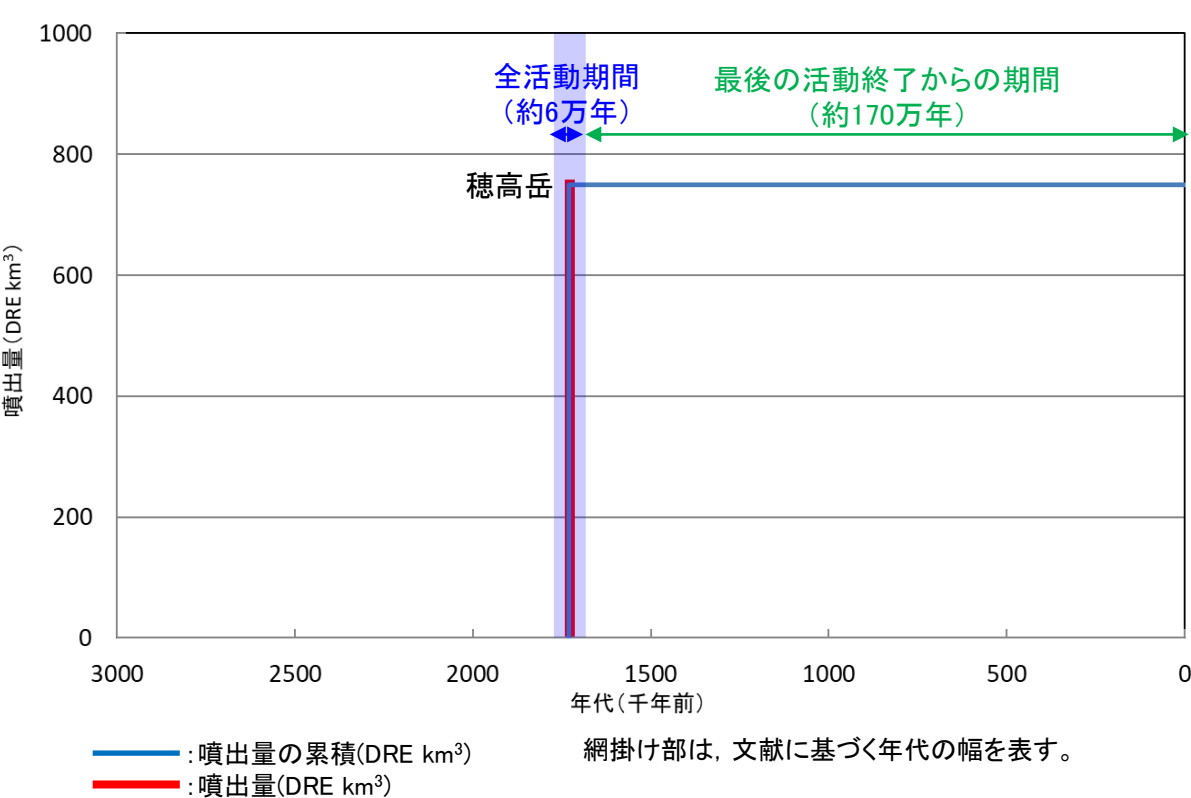
○1章(原子力発電所に影響を及ぼし得る火山の抽出)において、恵比須峠福田テフラ及び穂高-Kd39テフラの給源である穂高岳は、最後の活動終了からの期間(約170万年)が全活動期間(約6万年)よりも長い火山であり、将来の活動可能性が十分小さいと評価した(P.22)。

○なお、及川(2003)によると、穂高岳を含む飛騨山脈の火成活動は3つの活動期(Stage I ~ III)に区分され、恵比須峠福田テフラ及び穂高-Kd39テフラを発生させた時期はStage Iで、現在の活動期(Stage III)では、東西圧縮の地殻応力場で成層火山の活動が主であり、噴出量10km³程度以下の規模の活動が卓越するとされる(次頁)。

○穂高岳は、将来の活動可能性が十分小さい火山であることから、恵比須峠福田テフラ及び穂高-Kd39テフラと同規模の噴火が発生する可能性は十分小さいと評価した。



活動履歴				
年代 (千年前)	活動期、火山名	噴出物名	噴出量 (DRE km ³)	参考文献
1760 ^{*1} ～1700 ^{*2}	穂高岳	恵比須峠福田テフラ 恵比須峠火碎堆積物 等	350 ^{*1}	*1 及川(2003) *2 西来ほか編(2014)
		丹生川火碎流 穂高-Kd39テフラ 穂高安山岩 等	400 ^{*1}	

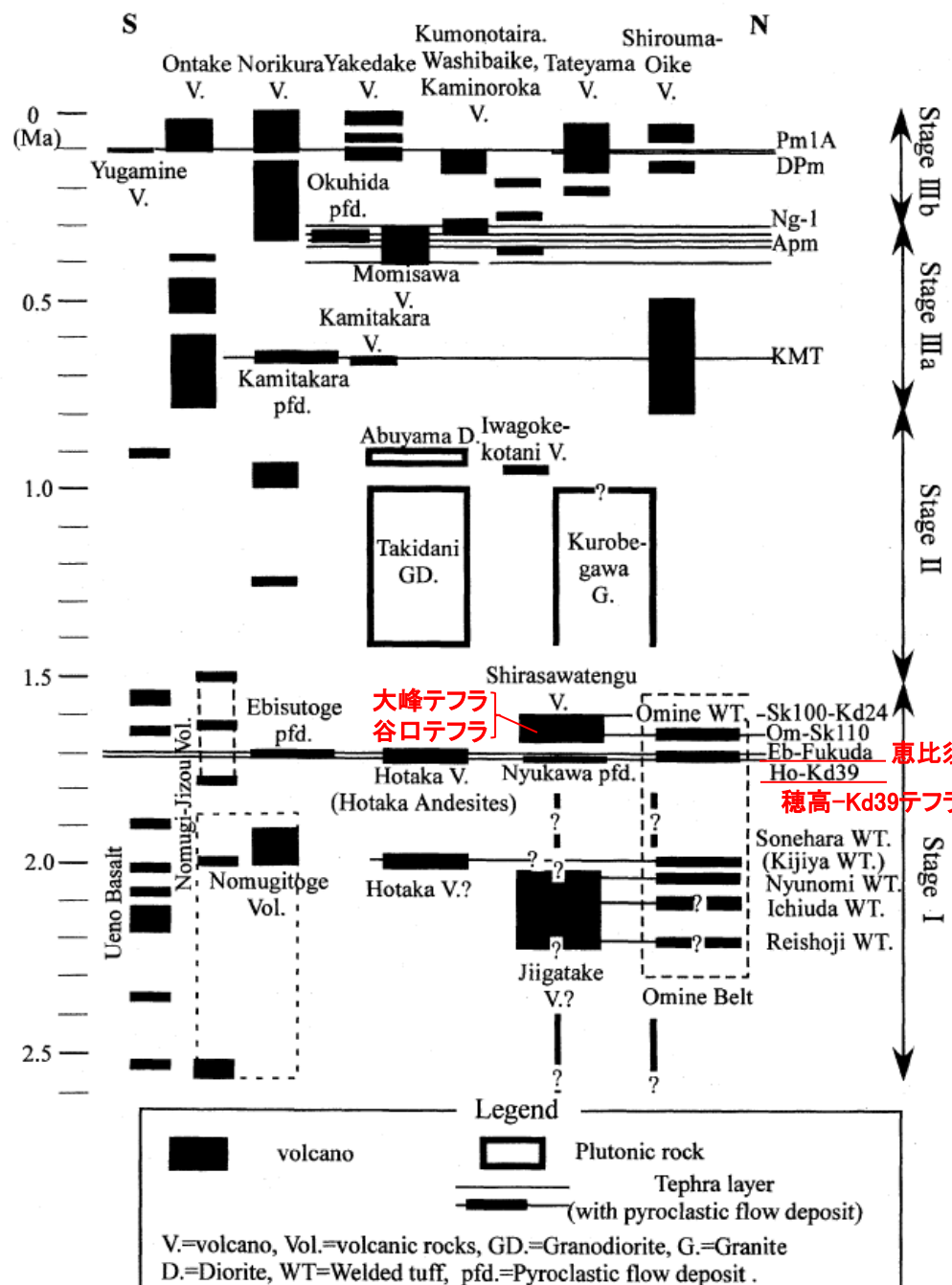


穂高岳の階段ダイヤグラム

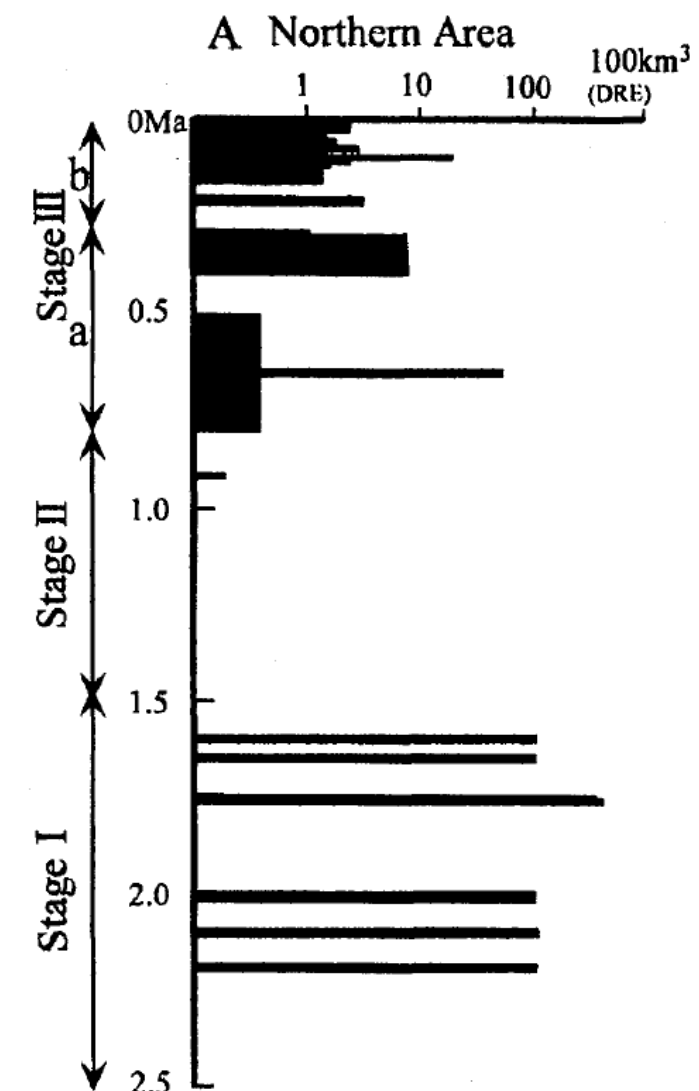
穂高岳の活動履歴の詳細は、[補足資料1 P.1-27](#)

【飛騨山脈の活動期に関する知見(及川, 2003)】

- 及川(2003)によると、飛騨山脈での火成活動は3つの活動期(Stage I ~ III)に区分され、大峰テフラ、谷口テフラ、恵比須峠福田テフラ及び穂高-Kd39テフラを発生させた時期はいずれもStage Iとされる。
- 飛騨山脈において、このStage Iの活動は、伸張場ないし中間的な地殻応力場のもとでの、カルデラを形成するような大規模な火山活動であったと考えられる。現在の活動期であるStage III(0.8Ma~0Ma)は、東西圧縮応力場のもとで、成層火山形成を主体とした活動が継続していると考えられる。



- Stage III (0.8Ma~0Ma)**
 - 東西圧縮の地殻応力場での立山～御嶽山等の成層火山の形成で特徴付けられる。
 - 噴出量10km³程度かそれ以下の規模の活動が卓越
 - Stage I に比べ噴出量は1桁以上小さい。
- Stage II (1.5Ma~0.8Ma)**
 - 火山活動が低調な時期
- Stage I (2.5Ma~1.5Ma)**
 - 伸張場ないし中間的な地殻応力場の火山活動
 - カルデラ形成を伴う大規模火碎流が噴出



1万年あたりのマグマ噴出量の時間変化
(及川(2003)に一部加筆)

3.1.1.2 給源火山における同規模噴火の可能性の検討－検討結果まとめ－

○敷地及び敷地周辺に分布する可能性のある降下火碎物の給源火山における発電所運用期間中の同規模噴火の可能性を検討した結果、鬱陵島を除き、給源火山における同規模噴火の可能性は十分に小さいと評価した。

<給源火山における同規模噴火の可能性の検討結果>



敷地及び敷地周辺に分布する可能性のある降下火碎物
の給源火山位置

降下火碎物 記号	給源火山		地理的領域外の火山	地理的領域内の火山	給源火山における同規模噴火の可能性の検討結果 (記載頁)
	記号	名前			
鬼界アカホヤテフラ K-Ah		鬼界カルデラ			可能性は十分に小さい (P.97, 98)
鬼界葛原テフラ K-Tz					可能性は十分に小さい (P.99, 100)
阿多テフラ Ata		阿多カルデラ			可能性は十分に小さい (P.101, 102)
姶良Tnテフラ AT		姶良カルデラ			可能性は十分に小さい (P.103, 104)
加久藤テフラ Kkt		加久藤カルデラ			可能性は十分に小さい (P.105, 106)
阿蘇4テフラ Aso-4		阿蘇カルデラ			可能性は否定できない (P.107, 108)
阿蘇3テフラ Aso-3					可能性は十分に小さい (P.109~112)
鬱陵隠岐テフラ U-Oki		鬱陵島			可能性は十分に小さい (P.113~115)
三瓶木次テフラ SK		三瓶山			可能性は十分に小さい (P.116, 118)
大山倉吉テフラ DKP		大山			可能性は十分に小さい (P.117, 118)
大峰テフラ Omn		爺ヶ岳			
谷口テフラ Tng					
恵比須崎福田テフラ Ebs-Fkd		穂高岳			
穂高-Kd39テフラ Ht-Kd39					

3. 火山事象の影響評価

3.1 降下火碎物の影響評価

3.1.1 文献・地質調査に基づく評価

3.1.1.1 降下火碎物に関する文献・地質調査

- (1) 文献調査(等層厚線図)
- (2) 文献調査(地質調査結果)
- (3) 降下火碎物に関する当社地質調査
- (4) 調査結果まとめ

3.1.1.2 紙源火山における同規模噴火の可能性の検討

3.1.1.3 評価まとめ

3.1.2 降下火碎物シミュレーションによる評価

3.1.2.1 シミュレーションを実施する降下火碎物の選定

- (1) 分布実績に基づく降下火碎物の選定
- (2) 地理的領域内の火山による降下火碎物の選定
- (3) 地理的領域外の火山による降下火碎物の選定
- (4) 選定結果まとめ

3.1.2.2 降下火碎物シミュレーション

- (1) 白山(南竜火山灰)
- (2) 立山(立山DテフラA, Cユニット)
- (3) 御嶽山(御嶽伊那テフラ)
- (4) 鬱陵島(鬱陵隠岐テフラ)
- (5) 大山(大山生竹テフラ)

3.1.2.3 評価まとめ

3.1.3 降下火碎物の密度及び粒径

3.1.4 降下火碎物の影響評価まとめ

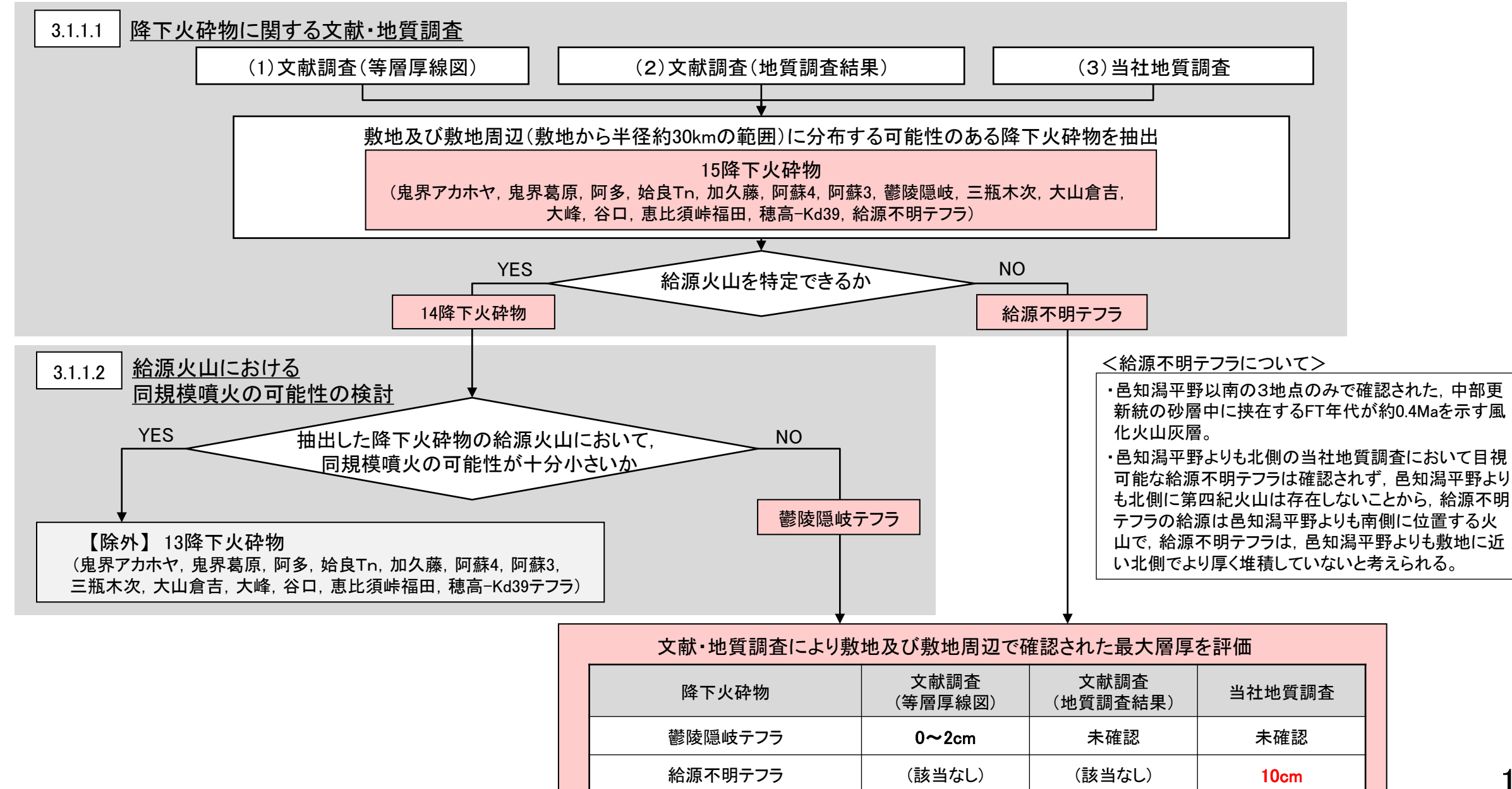
3.2 降下火碎物以外の火山事象の影響評価

3.1.1.3 評価まとめ

- 降下火碎物に関する文献調査及び地質調査の結果、敷地及び敷地周辺に分布する可能性のある15の降下火碎物が抽出された。
- このうち、給源火山が特定できない降下火碎物は、給源不明テフラのみであり、その層厚は最大10cmである。
- 給源火山が特定できる降下火碎物について、給源火山における同規模噴火の可能性の検討の結果、鬱陵隠岐テフラを除く13の降下火碎物は、それらの給源火山において同規模噴火が原子力発電所の運用期間中に発生する可能性が十分小さい。鬱陵隠岐テフラは、敷地周辺の地質調査では確認されていないものの、文献（町田・新井、2011）に示される等層厚線図によると、敷地周辺での層厚は0～2cmとされる。
- 給源不明テフラについて、邑知潟平野よりも北側の当社地質調査において目視可能な給源不明テフラは確認されず、邑知潟平野よりも北側に第四紀火山は存在しないことから、給源不明テフラは、邑知潟平野よりも敷地に近い北側でより厚く堆積していないと考えられる。

○以上より、文献・地質調査により抽出した敷地及び敷地周辺に分布する可能性のある降下火碎物のうち、給源火山が特定できない降下火碎物（給源不明テフラ）及び給源火山における同規模噴火の可能性が否定できない降下火碎物（鬱陵隠岐テフラ）の敷地及び敷地周辺の層厚を踏まえ、文献・地質調査に基づく降下火碎物の層厚は、10cmと評価する。

＜降下火碎物に関する文献・地質調査に基づく評価結果＞



3. 火山事象の影響評価

3.1 降下火碎物の影響評価

3.1.1 文献・地質調査に基づく評価

3.1.1.1 降下火碎物に関する文献・地質調査

- (1) 文献調査(等層厚線図)
- (2) 文献調査(地質調査結果)
- (3) 降下火碎物に関する当社地質調査
- (4) 調査結果まとめ

3.1.1.2 紙源火山における同規模噴火の可能性の検討

3.1.1.3 評価まとめ

3.1.2 降下火碎物シミュレーションによる評価

3.1.2.1 シミュレーションを実施する降下火碎物の選定

- (1) 分布実績に基づく降下火碎物の選定
- (2) 地理的領域内の火山による降下火碎物の選定
- (3) 地理的領域外の火山による降下火碎物の選定
- (4) 選定結果まとめ

3.1.2.2 降下火碎物シミュレーション

- (1) 白山(南竜火山灰)
- (2) 立山(立山DテフラA, Cユニット)
- (3) 御嶽山(御嶽伊那テフラ)
- (4) 鬱陵島(鬱陵隠岐テフラ)
- (5) 大山(大山生竹テフラ)

3.1.2.3 評価まとめ

3.1.3 降下火碎物の密度及び粒径

3.1.4 降下火碎物の影響評価まとめ

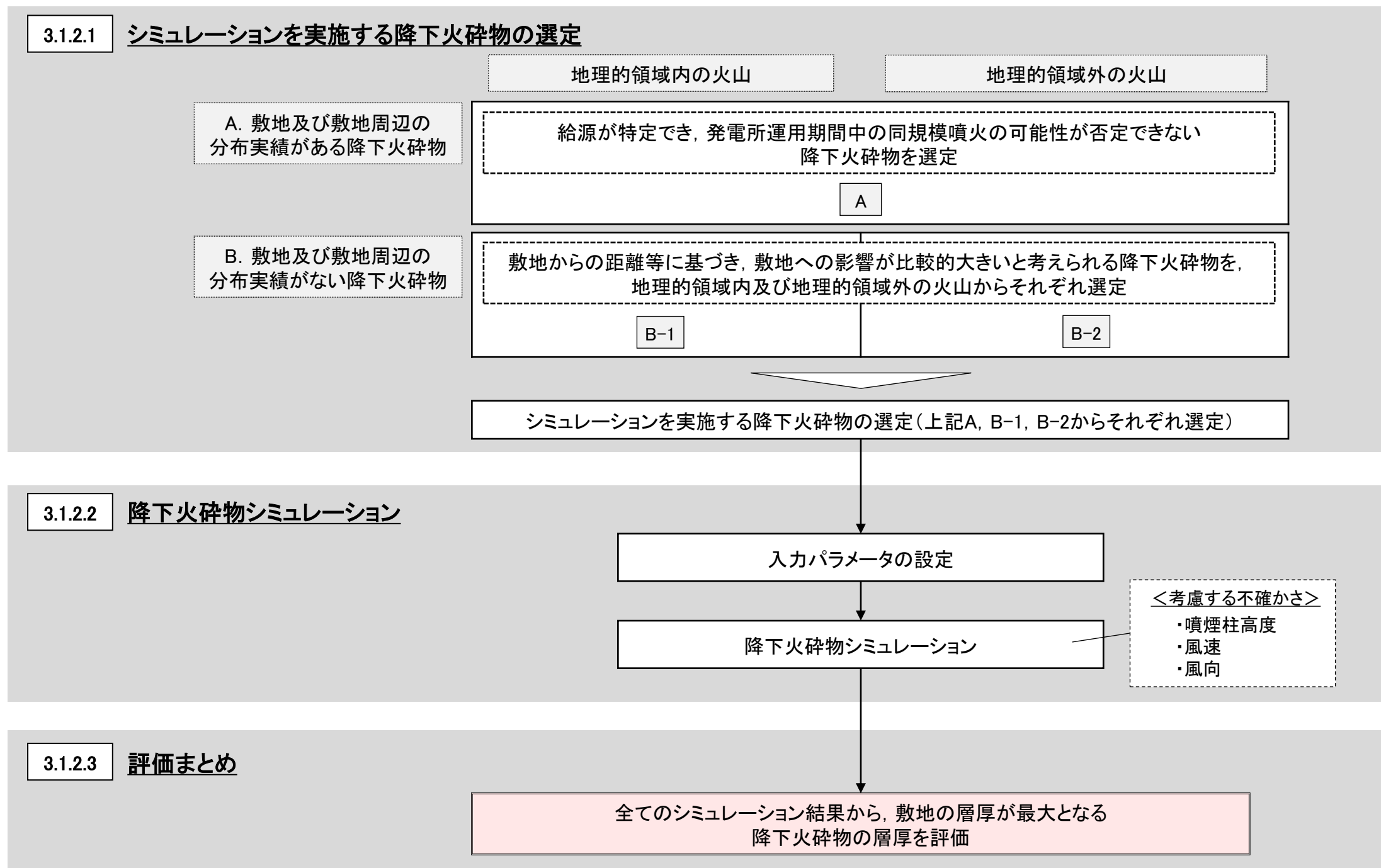
3.2 降下火碎物以外の火山事象の影響評価

3.1.2 降下火碎物シミュレーションによる評価 一評価方法一

○降下火碎物シミュレーションによる評価は、以下のとおり実施する。

- ・はじめに、シミュレーションを実施する降下火碎物を選定する。選定にあたっては、地理的領域内及び地理的領域外の火山から、敷地及び敷地周辺の分布実績や敷地からの距離等に基づき、敷地への影響が比較的大きいと考えられる降下火碎物を選定する。
- ・選定した降下火碎物を対象に、文献等に基づき入力パラメータを設定し、噴煙柱高度、風速及び風向の不確かさを考慮したシミュレーションを実施する。
- ・全てのシミュレーション結果から、敷地の層厚が最大となる降下火碎物の層厚を評価する。

<降下火碎物シミュレーションによる評価の流れ>



3. 火山事象の影響評価

3.1 降下火碎物の影響評価

3.1.1 文献・地質調査に基づく評価

3.1.1.1 降下火碎物に関する文献・地質調査

- (1) 文献調査(等層厚線図)
- (2) 文献調査(地質調査結果)
- (3) 降下火碎物に関する当社地質調査
- (4) 調査結果まとめ

3.1.1.2 紙源火山における同規模噴火の可能性の検討

3.1.1.3 評価まとめ

3.1.2 降下火碎物シミュレーションによる評価

3.1.2.1 シミュレーションを実施する降下火碎物の選定

- (1) 分布実績に基づく降下火碎物の選定
- (2) 地理的領域内の火山による降下火碎物の選定
- (3) 地理的領域外の火山による降下火碎物の選定
- (4) 選定結果まとめ

3.1.2.2 降下火碎物シミュレーション

- (1) 白山(南竜火山灰)
- (2) 立山(立山DテフラA, Cユニット)
- (3) 御嶽山(御嶽伊那テフラ)
- (4) 鬱陵島(鬱陵隠岐テフラ)
- (5) 大山(大山生竹テフラ)

3.1.2.3 評価まとめ

3.1.3 降下火碎物の密度及び粒径

3.1.4 降下火碎物の影響評価まとめ

3.2 降下火碎物以外の火山事象の影響評価

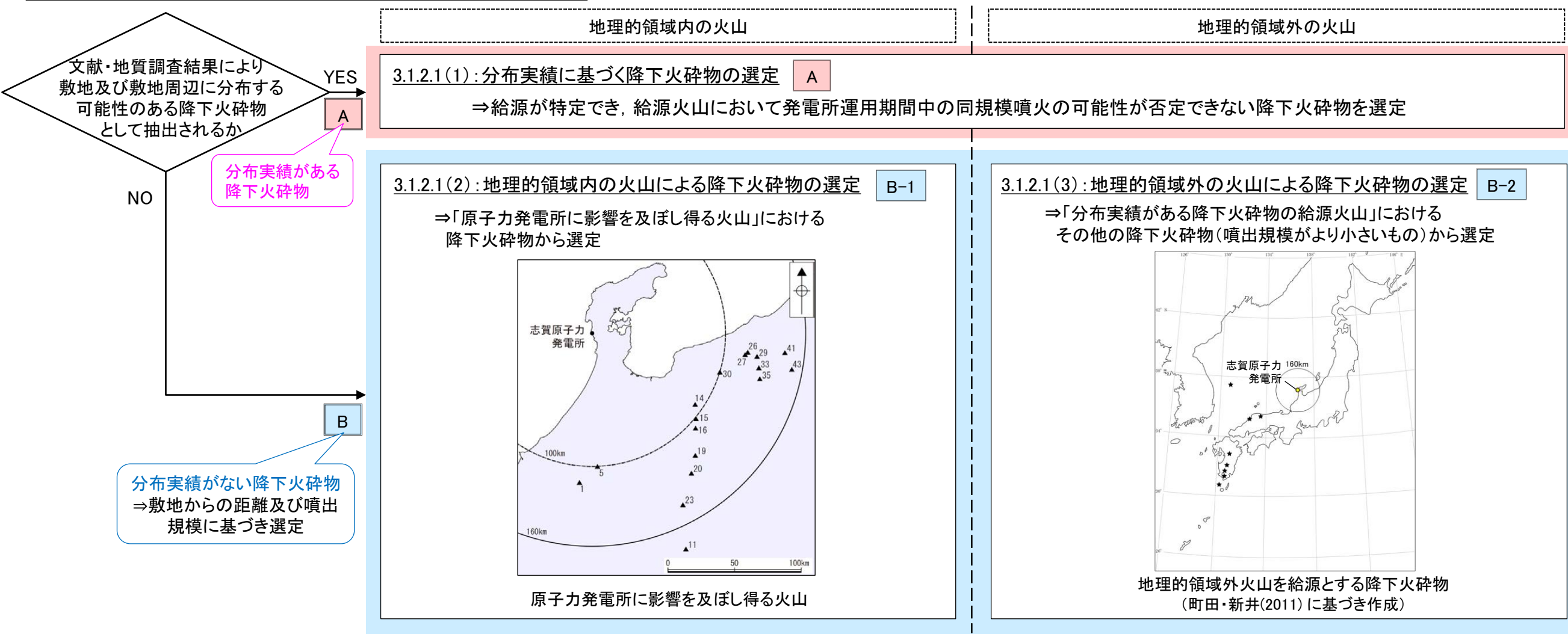
3.1.2.1 シミュレーションを実施する降下火碎物の選定 一選定方法一

○シミュレーションを実施する降下火碎物について、「敷地及び敷地周辺の分布実績」及び「敷地からの距離及び噴出規模」に基づいて、敷地への影響が大きいと考えられる降下火碎物を選定する。

- ・【A】分布実績がある降下火碎物※(文献・地質調査結果により敷地及び敷地周辺に分布する可能性のある降下火碎物として抽出されたもの)のうち、給源が特定でき、給源火山において発電所運用期間中の同規模噴火の可能性が否定できない降下火碎物を対象に降下火碎物シミュレーションを実施する。
- ・【B】分布実績がない降下火碎物※(文献・地質調査結果により敷地及び敷地周辺に分布する可能性のある降下火碎物として抽出されなかったもの)についても、同程度の規模の噴火が今後発生した場合に敷地へ影響を及ぼす可能性もあることから、敷地からの距離及び噴出規模を踏まえ、地理的領域内及び地理的領域外の火山からそれぞれ、敷地への影響が比較的大きいと考えられる降下火碎物を、以下のとおり追加で選定する。
 - 【B-1】地理的領域内の火山：「原子力発電所に影響を及ぼし得る火山」を対象に、活動履歴等を整理し、敷地からの距離及び噴出規模の観点で、敷地への影響が比較的大きいと考えられる降下火碎物を選定する。
 - 【B-2】地理的領域外の火山：「分布実績がある降下火碎物の給源火山」における他の降下火碎物(噴出規模がより小さいもの)について、敷地からの距離及び噴出規模の観点で、敷地への影響が比較的大きいと考えられる降下火碎物を選定する。

※以下、文献・地質調査結果により、敷地及び敷地周辺に分布する可能性のある降下火碎物として抽出された降下火碎物を「分布実績がある降下火碎物」、抽出されなかった降下火碎物を「分布実績がない降下火碎物」という。

＜シミュレーションを実施する降下火碎物の選定方法＞



3. 火山事象の影響評価

3.1 降下火碎物の影響評価

3.1.1 文献・地質調査に基づく評価

3.1.1.1 降下火碎物に関する文献・地質調査

- (1) 文献調査(等層厚線図)
- (2) 文献調査(地質調査結果)
- (3) 降下火碎物に関する当社地質調査
- (4) 調査結果まとめ

3.1.1.2 紙源火山における同規模噴火の可能性の検討

3.1.1.3 評価まとめ

3.1.2 降下火碎物シミュレーションによる評価

3.1.2.1 シミュレーションを実施する降下火碎物の選定

- (1) 分布実績に基づく降下火碎物の選定
- (2) 地理的領域内の火山による降下火碎物の選定
- (3) 地理的領域外の火山による降下火碎物の選定
- (4) 選定結果まとめ

3.1.2.2 降下火碎物シミュレーション

- (1) 白山(南竜火山灰)
- (2) 立山(立山DテフラA, Cユニット)
- (3) 御嶽山(御嶽伊那テフラ)
- (4) 鬱陵島(鬱陵隠岐テフラ)
- (5) 大山(大山生竹テフラ)

3.1.2.3 評価まとめ

3.1.3 降下火碎物の密度及び粒径

3.1.4 降下火碎物の影響評価まとめ

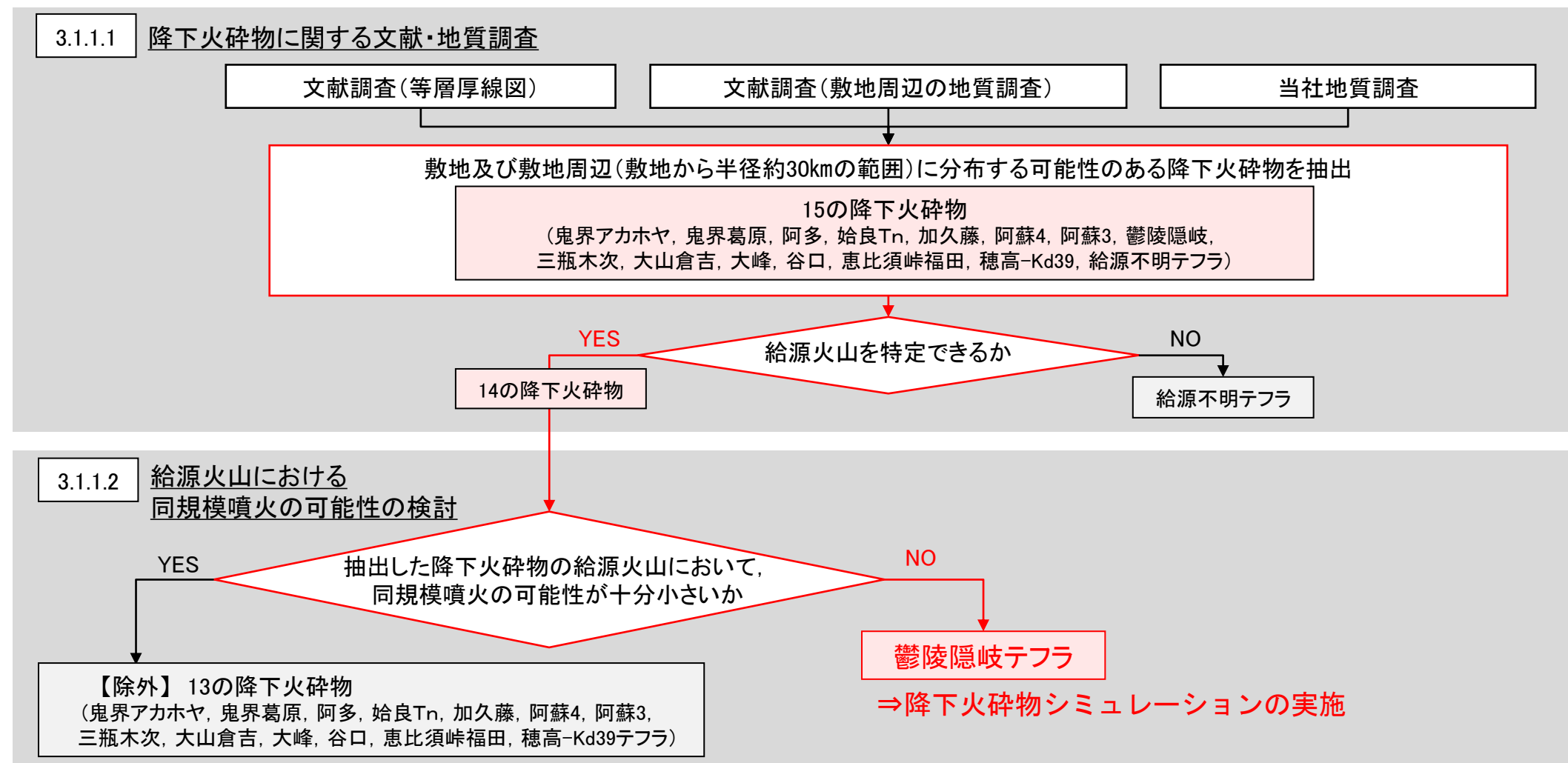
3.2 降下火碎物以外の火山事象の影響評価

3.1.2.1(1) 分布実績に基づく降下火碎物の選定 —選定結果—

【A】分布実績がある降下火碎物からの選定

- 分布実績に基づく降下火碎物の選定として、分布実績がある降下火碎物のうち、給源が特定でき、給源火山において発電所運用期間中の同規模噴火の可能性が否定できない降下火碎物をシミュレーションの対象として選定する。
 - 「3.1.1 文献・地質調査に基づく評価」の結果を踏まえると、上記条件を満たす降下火碎物は、鬱陵島を給源とする鬱陵隠岐テフラのみである（下図）。
 - 須藤ほか（2007）によると、鬱陵隠岐テフラの見かけ体積は、 12.22km^3 （VEI6）とされている。
- よって、分布実績に基づく降下火碎物シミュレーションの対象として、鬱陵島（鬱陵隠岐テフラ、見かけ体積 12.22km^3 ）を選定した。

<分布実績に基づく降下火碎物の選定>



3. 火山事象の影響評価

3.1 降下火碎物の影響評価

3.1.1 文献・地質調査に基づく評価

3.1.1.1 降下火碎物に関する文献・地質調査

- (1) 文献調査(等層厚線図)
- (2) 文献調査(地質調査結果)
- (3) 降下火碎物に関する当社地質調査
- (4) 調査結果まとめ

3.1.1.2 紙源火山における同規模噴火の可能性の検討

3.1.1.3 評価まとめ

3.1.2 降下火碎物シミュレーションによる評価

3.1.2.1 シミュレーションを実施する降下火碎物の選定

- (1) 分布実績に基づく降下火碎物の選定
- (2) 地理的領域内の火山による降下火碎物の選定
- (3) 地理的領域外の火山による降下火碎物の選定
- (4) 選定結果まとめ

3.1.2.2 降下火碎物シミュレーション

- (1) 白山(南竜火山灰)
- (2) 立山(立山DテフラA, Cユニット)
- (3) 御嶽山(御嶽伊那テフラ)
- (4) 鬱陵島(鬱陵隠岐テフラ)
- (5) 大山(大山生竹テフラ)

3.1.2.3 評価まとめ

3.1.3 降下火碎物の密度及び粒径

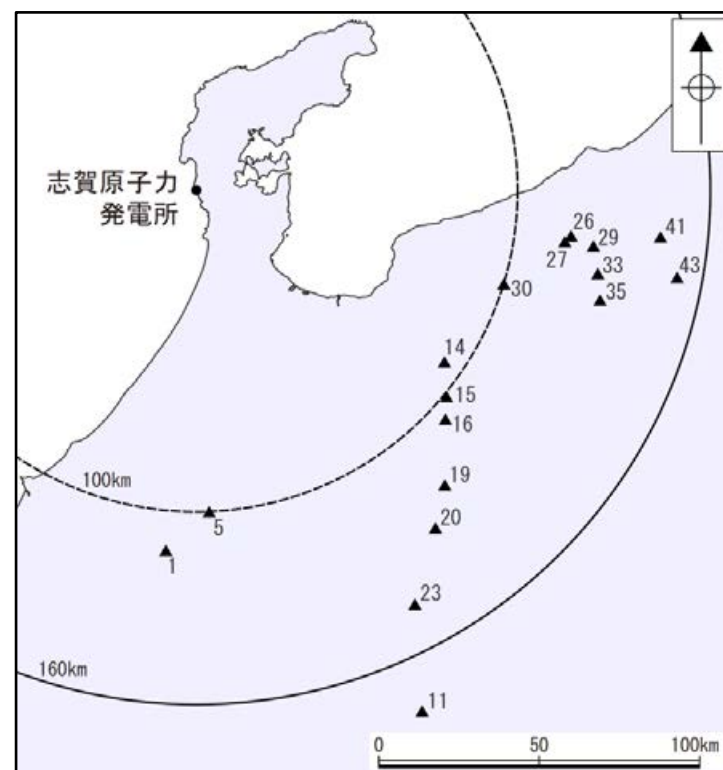
3.1.4 降下火碎物の影響評価まとめ

3.2 降下火碎物以外の火山事象の影響評価

3.1.2.1(2) 地理的領域内の火山による降下火碎物の選定 一過去最大の噴出規模一

【B-1】分布実績がない降下火碎物(地理的領域内の火山)からの選定

- 地理的領域内の火山による分布実績がない降下火碎物からの選定として、原子力発電所に影響を及ぼし得る17火山を対象として、敷地からの距離及び噴出規模の観点で、敷地への影響が比較的大きいと考えられる降下火碎物を選定する。
- 17火山の活動履歴に関する文献調査により、各火山の噴出イベント一覧表を作成し※、降下火碎物を含む過去最大の噴出規模を抽出した(右下表)。
- 降下火碎物の発生実績または降下火碎物の噴出量に関する知見が確認されなかつた7火山については、降下火碎物を含むイベントが発生していたとしても小規模と考えられることから、降下火碎物が原子力発電所に影響を及ぼす可能性が十分に小さいと評価した。
- 降下火碎物を含む噴火イベントの噴出量に関する知見が確認された残りの10火山のうち、過去最大の噴出規模がVEI4以下となる7火山については、発電所運用期間中において敷地への影響を考慮する噴出規模として、過去最大規模を考慮する。一方で、過去最大の噴出規模がVEI5以上となる3火山(立山(弥陀ヶ原), 御嶽山, 飯縄山)については、活動履歴等を整理した上で、発電所運用期間中において敷地への影響を考慮する噴出規模を設定する(次頁以降)。



<原子力発電所に影響を及ぼし得る火山における降下火碎物の噴出規模>

※各火山の噴出イベント一覧表については、[補足資料4](#)

火山名	敷地からの距離(km)	敷地への方位	降下火碎物を含む過去最大の噴出規模			発電所運用期間中において敷地への影響を考慮する噴出規模
			降下火碎物	規模(VEI)	噴出規模の根拠	
1 きょうがたけ 経ヶ岳	113	北	(降下火碎物の噴出量に関する知見は確認されない)			
5 はくさん 白山	101	北	南竜火山灰	4	田島ほか(2005)	同左(過去最大の噴出規模)
11 うえのかざんぐん 上野火山群	177	北北西	(降下火碎物の噴出量に関する知見は確認されない)			
14 たてやま みだがはら 立山(弥陀ヶ原)	94	北西	立山Dテフラ	6	及川(2003)	次頁, 次々頁
15 かみのろうか 上廊下	101	北西	(降下火碎物の発生実績は確認されない)			
16 わしば・くものたいら 鷲羽・雲ノ平	106	北西	鷲羽Bテフラ	3	原田ほか(2023)	同左(過去最大の噴出規模)
19 やけだけ 焼岳	120	北西	焼岳-上部峠沢テフラ8	2	及川ほか(2002)	同左(過去最大の噴出規模)
20 のりくらだけ 乗鞍岳	129	北西	位ヶ原テフラ	3	奥野ほか(1994)	同左(過去最大の噴出規模)
23 おんたけさん 御嶽山	146	北北西	御嶽第1テフラ 御嶽湯町テフラ	6	町田・新井(2011) Matsu'ura and Komatsubara(2024)	P.132~137
26 にいがたやけやま 新潟焼山	118	西	焼山-高谷池火山灰a, b	3	地質調査総合センター編(2021b)	同左(過去最大の噴出規模)
27 にいがたかなやま 新潟金山	116	西	(降下火碎物の発生実績は確認されない)			
29 みょうこうさん 妙高山	125	西	妙高兼俣・関山テフラ	4	須藤ほか(2007)	同左(過去最大の噴出規模)
30 しろうまおおいけ 白馬大池	100	西北西	(降下火碎物の噴出量に関する知見は確認されない)			
33 くろひめやま 黒姫山	128	西北西	黒姫大平テフラ	4	須藤ほか(2007)	同左(過去最大の噴出規模)
35 いいづなやま 飯縄山	130	西北西	飯縄上樽aテフラ	5	鈴木(2001)	P.138
41 くろいわやま 黒岩山	145	西	(降下火碎物の発生実績は確認されない)			
43 たかやしろやま 高社山	152	西	(降下火碎物の噴出量に関する知見は確認されない)			

降下火碎物が原子力発電所に影響を及ぼす可能性が十分に小さいと評価した火山

過去最大の噴出規模がVEI5以上となる火山

3.1.2.1(2) 地理的領域内の火山による降下火碎物の選定 —立山で考慮する噴出規模—

○立山(弥陀ヶ原)(以下、「立山」という)の活動は、中野ほか(2010)によると、4つの活動期に区分され、過去最大の降下火碎物イベントである立山Dテフラは第2期に室堂平と五色ヶ原の間で発生したとされる(左下図)。

○木村(1987)によると、立山Dテフラは5つのユニットに区分される。噴出量の比率はA及びCユニットが最大で、その噴出量は見かけ体積 3.1km^3 と考えられる。(次頁)

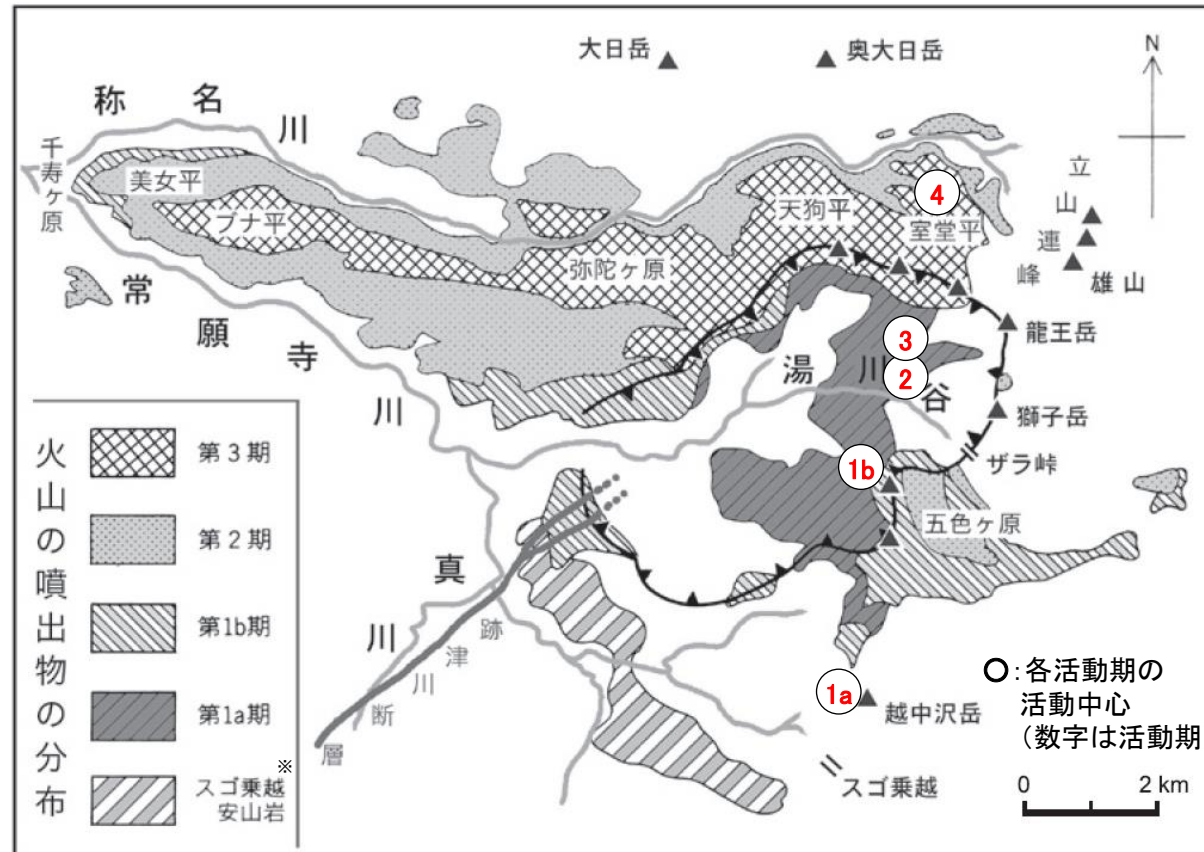
○立山DテフラAユニット及びCユニットの噴出量(3.1km^3)は、立山Dテフラを除く降下火碎物の噴出量を上回る(右下図)。

○発電所運用期間中の敷地への影響を考慮する噴出規模として、立山DテフラのAユニットもしくはCユニット(以下、立山DテフラA,Cユニット)を考慮する。

<立山の各活動期の概要>

- ・第1期: 第1a期では湯川谷火山岩類を構成する溶岩・火碎岩が噴出し、第1b期では五色ヶ原をつくる溶岩(中ノ谷溶岩等)が流出した。
- ・第2期: 火山体から東方へ広く分布する立山Dテフラと、北～西山麓にかけて分布する称名滝火碎流等を噴出した。
- ・第3期: 二ノ谷溶岩や玉殿溶岩等の噴出物の活動期であり、この活動期の中で立山Eテフラが噴出した。
- ・第4期: 約4万年前以降の室堂平周辺における爆裂火口の形成期であり、マグマ本質物の噴出は認められていない。

(中野ほか(2010)に基づき作成)



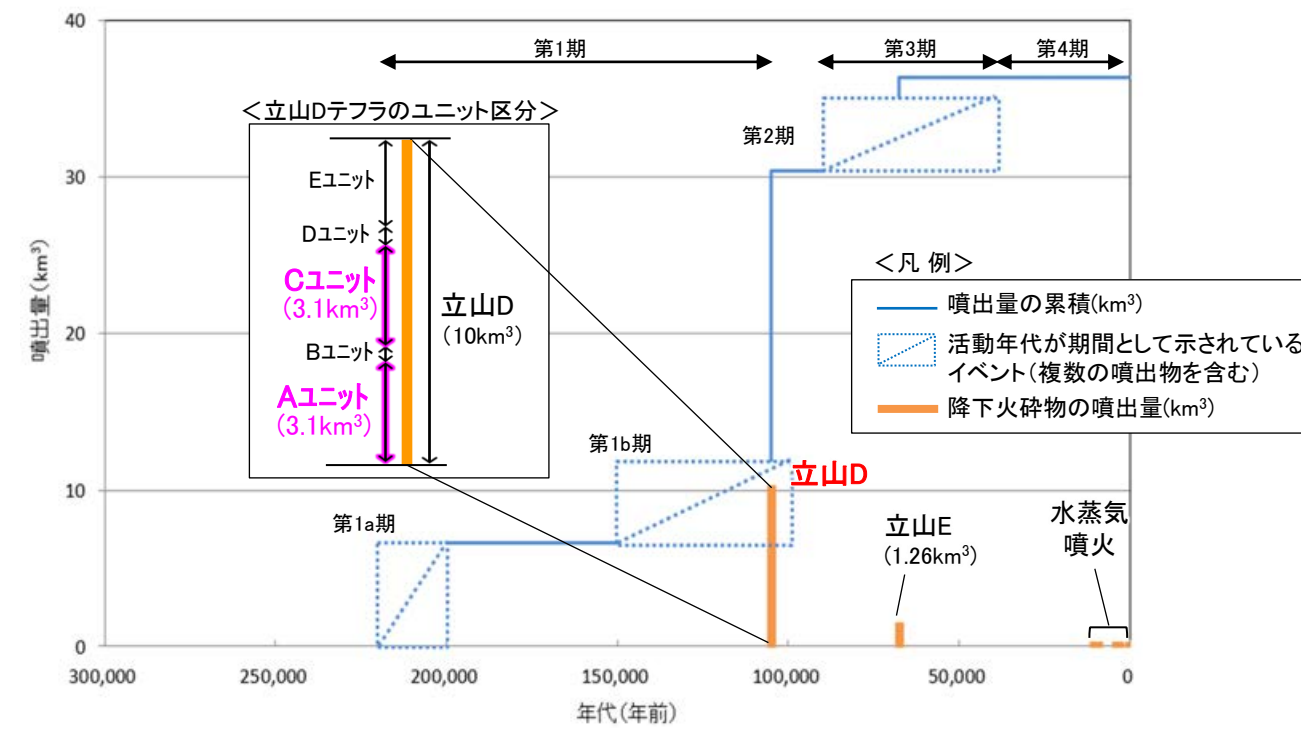
※スゴ乗越安山岩は上廊下起源

立山の地質図
(中野ほか(2010)に一部加筆)

<立山の活動履歴>

年代(千年前)	活動期	噴出物名	噴出量(km^3)	参考文献
40 ^{*1} ～AD1949 ^{*2}	第4期	1949年噴火 地獄谷類質テフラ 等	0.011以上 ^{*1*4} (水蒸気噴火)	
	第3期	玉殿溶岩 立山Eテフラ 二ノ谷溶岩 等	5.96 ^{*5*6*8}	*1 中野ほか(2010) *2 気象庁編(2013)
	第2期	ザラ峰溶結火碎岩 称名滝火碎流 立山Dテフラ 等	18.5 ^{*6*7*8}	*3 町田・新井(2011) *4 地質調査総合センター編(2021b)
	第1b期	中ノ谷溶岩 有峰トンネル溶岩 等	5.3 ^{*6*8}	*5 須藤ほか(2007) *6 及川(2003)
220 ^{*1} ～200 ^{*1}	第1a期	湯川谷火山岩類	6.6 ^{*6*8}	*7 Yamasaki et al.(1966)

*8 山元(2015)及び地質調査総合センター編(2021b)を参考にマグマ換算体積(DRE)から見かけ体積へ換算



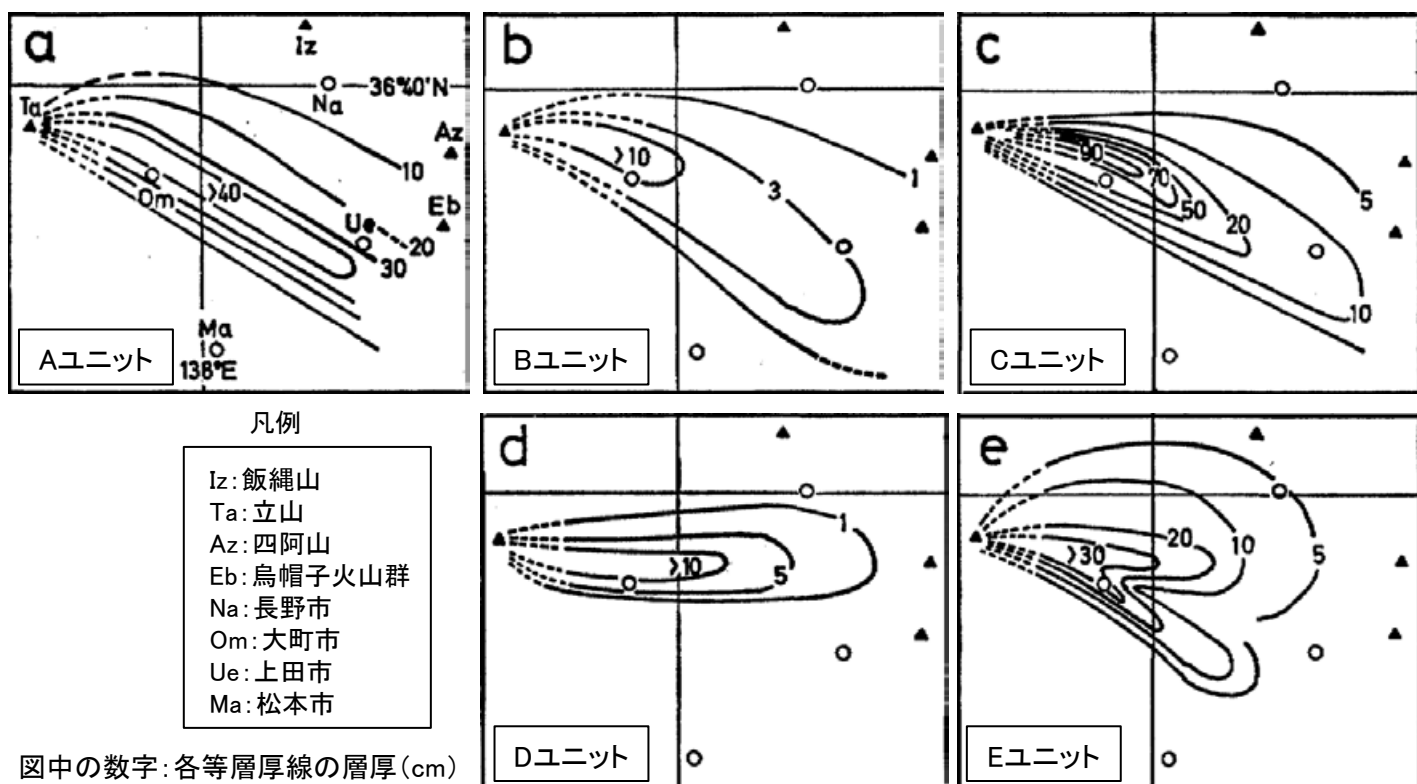
立山の階段ダイヤグラム

中野ほか(2010), 気象庁編(2013), 町田・新井(2011), 地質調査総合センター編(2021b), 須藤ほか(2007), 及川(2003), 木村(1987)及びYamasaki et al.(1966)より作成

【立山Dテフラの5つのユニット】

- 木村(1987)では、立山Dテフラ(Dpm)を、下位よりA～Eの5つの堆積ユニットに区分しており、特徴が異なる各ユニットは、広く追跡することができるところである。また、各ユニットの内部も、層相の相違及び上方細粒化堆積構造等でさらに細分されると報告している。
- 立山Dテフラの各ユニットは明確に区分され、さらにユニット内部も細分化されることから、各ユニットは同一の噴煙柱から供給されたものではなく、異なる噴火フェーズによる堆積物であると考えられる。よって、立山Dテフラについては、5つのユニットのうち、噴出量が最大となるユニットの噴出規模を考慮する。
- 木村(1987)に示された各ユニットの等層厚線の面積から各ユニットの噴出量の比率を算出した結果、Aユニット及びCユニット比率が31%で最大となつたことから、これらのユニットの噴出量が最大であったと考えられる。
- 以上より、敷地への影響を考慮する噴出規模として立山DテフラのAユニットもしくはCユニットを考慮する。
- 及川(2003)に示された噴出量(DRE 4km^3)に基づくと、立山Dテフラ全量の噴出量は見かけ体積で 10km^3 となることから^{*1}、立山DテフラAユニット及びCユニットの見かけ体積を 3.1km^3 (VEI5相当)と評価する。

*1: 地質調査総合センター編(2021b)に示されたマグマ密度 2.5g/cm^3 、堆積物密度 1.0g/cm^3 により算出



<木村(1987)による立山Dテフラ各ユニットの特徴と噴出量比率>

木村(1987)によるユニット区分		噴出量比率 ^{*2}
ユニット名	特徴	
Aユニット	黄白色軽石	31%
Bユニット	黒色から暗灰色火山灰層の互層	5%
Cユニット	黄白色軽石	31%
Dユニット	暗褐色火山灰および暗褐色石質火山礫	6%
Eユニット	暗褐色から暗緑色石質火山礫	27%

敷地への影響を考慮する噴出規模

*2: 噴出量比率の算定方法の詳細は、[補足資料4 P.4-6](#)

3.1.2.1(2) 地理的領域内の火山による降下火碎物の選定 —御嶽山で考慮する噴出規模—

○御嶽山における過去最大規模の降下火碎物噴出イベントである御嶽第1テフラ及び御嶽湯町テフラは、町田・新井(2011)及びMatsu'ura and Komatsubara(2024)によると、中部～関東・東北地方にかけて広く分布する広域テフラであり、いずれもVEI6相当の噴火であると考えられる(御嶽湯町テフラの詳細は次頁)。

○このような非常に規模の大きい噴出イベントの前には、地下に大量のマグマ蓄積が必要となると考えられるため、「3.1.1.2 給源火山における同規模噴火の可能性の検討」(P.96)と同様の観点で、御嶽山の活動履歴及び地下構造について検討を行った上で、発電所運用期間中の敷地への影響を考慮する噴出規模を設定した。

【御嶽山の活動履歴】

○御嶽山の活動は、活動休止期を挟んで古期御嶽火山と新期御嶽火山に分けられる。さらに、新期御嶽火山の活動は3つのステージに分けられ、御嶽第1テフラ及び御嶽湯町テフラが発生したステージ(O1ステージ)はプリニー式噴火や溶岩ドームの活動を主体とした活動期であり、御嶽湯町テフラまでの大量の軽石噴火によってカルデラが形成されたと考えられている。その後の成層火山体成長(O2ステージ)を経て、現在は山頂付近の小円錐火山群を主な活動域とする最新静穏期(O3ステージ)である。(P.134)

○O1ステージからO2ステージへの活動様式の転換に伴い、そのマグマタイプも変化している(P.134)。

○新期御嶽火山の活動の中では、御嶽第1テフラ(見かけ体積50km³)及び御嶽湯町テフラ(見かけ体積20km³以上)の噴出規模が突出して大きい。一方で、数km³規模の噴火は、これらの降下火碎物の噴出以降においても複数発生しており、単独の降下火碎物としては御嶽伊那テフラ(見かけ体積5km³)が最大である(P.135)。

【御嶽山の地下構造】

○御嶽山の地下構造(地震波速度構造及び比抵抗構造)に関する知見によると、東宮(1997)による珪長質マグマの浮力中立点とされる7km以浅には顕著な低速度領域は確認されず、大規模なマグマ溜まりの存在は示唆されていない(P.136, 137)。

・御嶽山地下の地震波速度構造について、地下約10km以深の広い範囲に低速度かつ低Vp/Vs領域が、地下数kmの浅部に水平方向に連続する低Vs領域が確認できる(P.136)。

・御嶽山の比抵抗構造について、地震波速度構造で確認された地下数kmの浅部の低速度域に対応する低比抵抗領域は認められない。また、御嶽山南東の断層沿い及び地下深度8km以深に低比抵抗領域が確認されるが、マグマから脱水した水と考えられている(P.137)。

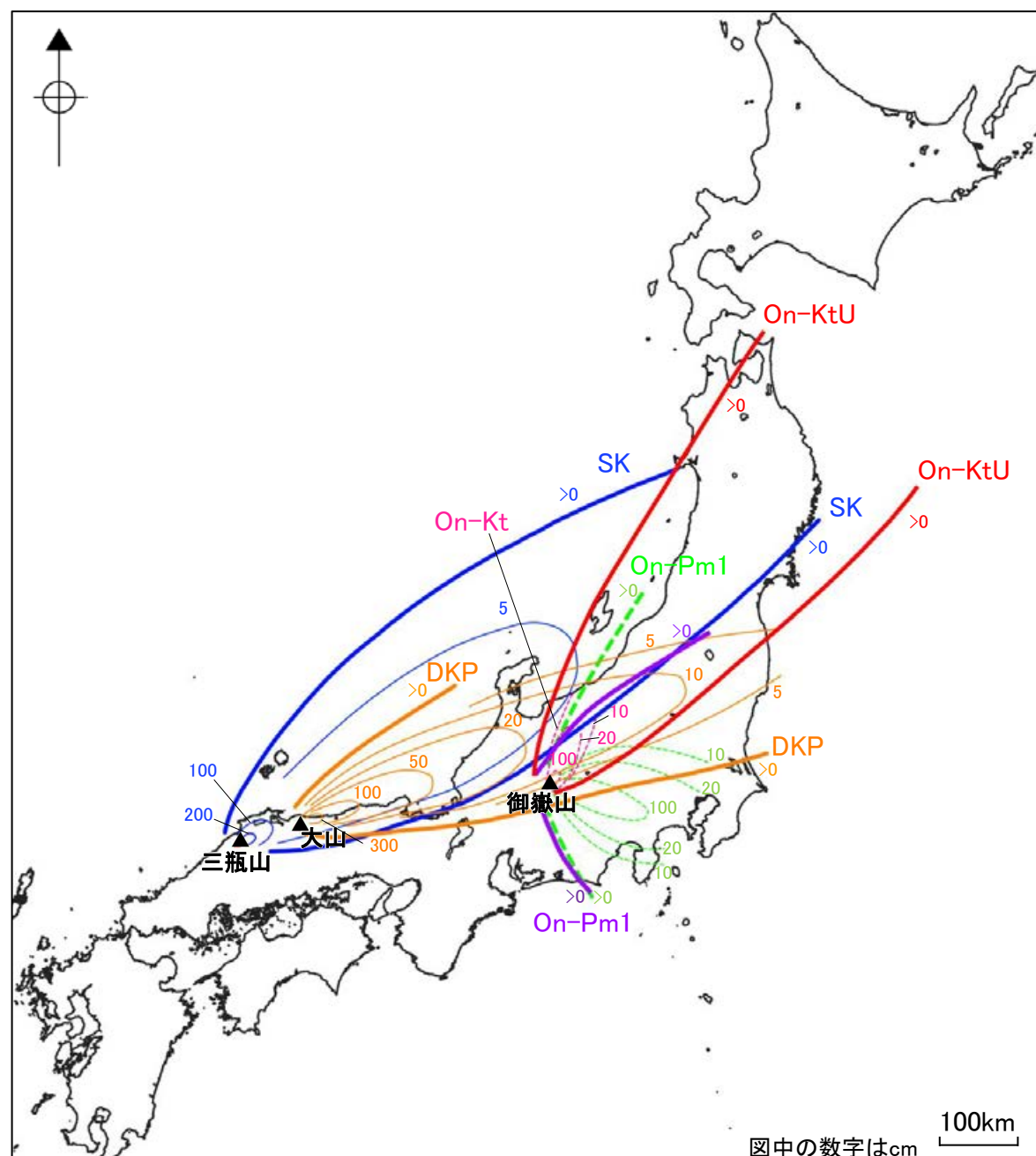
○御嶽山の活動履歴及び地下構造の状況を踏まえ、発電所運用期間中に御嶽第1テフラ及び御嶽湯町テフラと同規模の噴火が発生する可能性は十分小さいと評価した。

○発電所運用期間中の敷地への影響を考慮する噴出規模として、御嶽第1テフラ及び御嶽湯町テフラを除き最大規模の噴火である御嶽伊那テフラの噴出規模(見かけ体積5km³)を考慮する。



【御嶽湯町テフラに関する最新知見と噴出規模】

- Matsu'ura and Komatsubara(2024)により、東北地方に分布する御嶽山起源の降下火碎物の対比が再検討され、御嶽湯町テフラの分布域が大幅に見直された。
- 御嶽湯町テフラ(上部ユニット※)は、御嶽山から東北地方にかけて分布することが明らかにされたが、0cm等層厚線のみが示され、体積に関する記載はない。一方で、明らかにされた本テフラの分布範囲(0cm等層厚線)は、国内の主なVEI6クラスの噴火(大山倉吉テフラ、三瓶木次テフラ、御嶽第1テフラ)の範囲に匹敵するほど広域に分布する(下図)。
- よって、Matsu'ura and Komatsubara(2024)に示された御嶽湯町テフラ(上部ユニット)の分布範囲(0cm等層厚線)を踏まえ、大山倉吉テフラや三瓶木次テフラの分布範囲(0cm等層厚線)及び体積を参考に、御嶽湯町テフラの見かけ体積を20km³以上と評価した。



*1:須藤ほか(2007)
*2:町田・新井(2011)

国内の主なVEI6クラスの広域テフラの分布
(Matsu'ura and Komatsubara(2024), 町田・新井(2011)に示された等層厚線に基づき作成)

※Matsu'ura and Komatsubara(2024)では、御嶽湯町テフラの下部ユニット(On-KtL)についても御嶽山から東方の2地点で確認されたことが記載されているが、その分布域の詳細は示されていない。

<凡例>

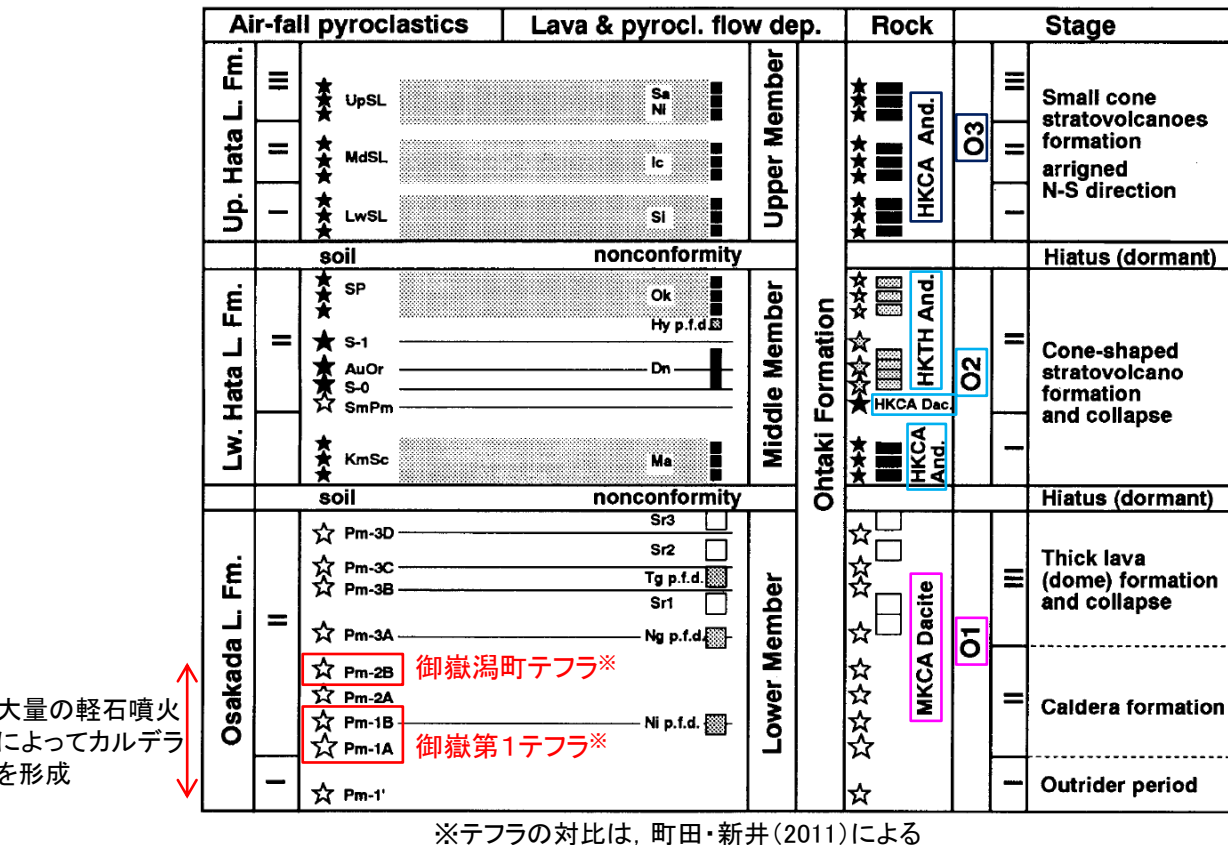
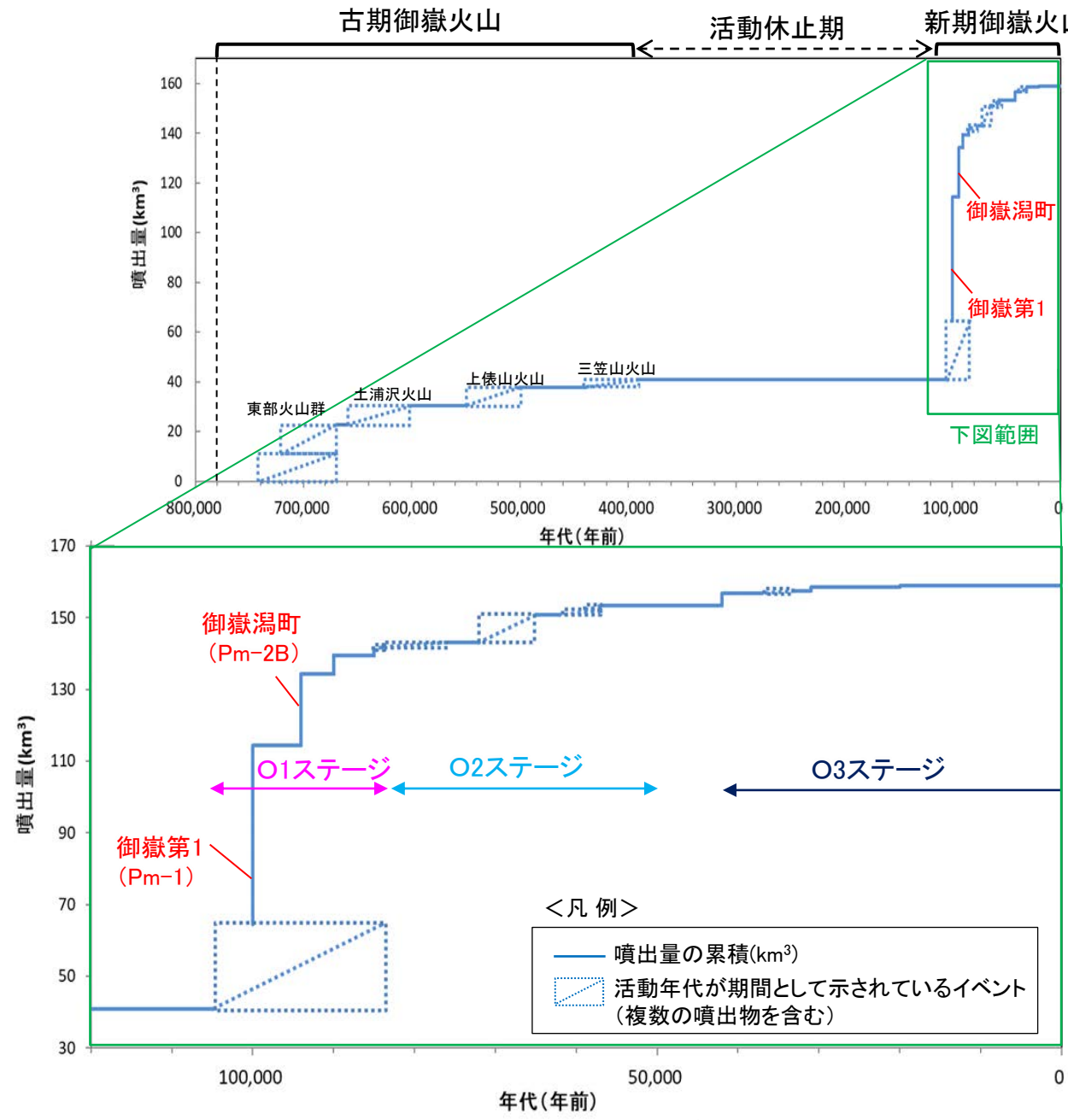
- On-KtU 御嶽湯町テフラ(上部ユニット※)の等層厚線*3:0cm
- (参考)従来の御嶽湯町テフラ(On-Kt)の等層厚線*4:10, 20, 100cm
- On-Pm1 御嶽第1テフラの等層厚線*3:0cm
- (参考)従来の御嶽第1テフラ(On-Pm1)の等層厚線*4:0, 10, 20, 100cm
- SK 三瓶木次テフラの等層厚線*4:0, 5, 100, 200cm
- DKP 大山倉吉テフラの等層厚線*4:0, 5, 10, 20, 50, 100, 300cm

*3:Matsu'ura and Komatsubara(2024)
*4:町田・新井(2011)

【御嶽山の活動履歴(活動ステージ)】

○小林(1993), 木村(1993)及び山元(2015)によると、御嶽山の活動は、活動休止期を挟んで古期御嶽火山と新期御嶽火山に分けられ、さらに新期御嶽火山の活動は3つのステージに分けられ、各ステージの活動様式及びマグマタイプについて以下のように整理されている。

- ・御嶽第1テフラ(Pm-1)や御嶽湯町テフラ(Pm-2B)が発生したステージ(O1ステージ)は、プリニー式噴火や溶岩ドームの活動を主体とした活動期であり、御嶽湯町テフラまでの大量の軽石噴火によってカルデラが形成されたと考えられる。その後、成層火山体成長(O2ステージ)を経て、現在は山頂付近の小円錐火山群を主な活動域とする最新静穏期(O3ステージ)である。
- ・O1ステージから活動休止期を挟んでO2ステージへの活動様式の転換に伴い、そのマグマタイプもMid-Kカルクアルカリデイサイトから、High-Kカルクアルカリ安山岩～デイサイト、High-Kソレアイト安山岩の活動に変化している。



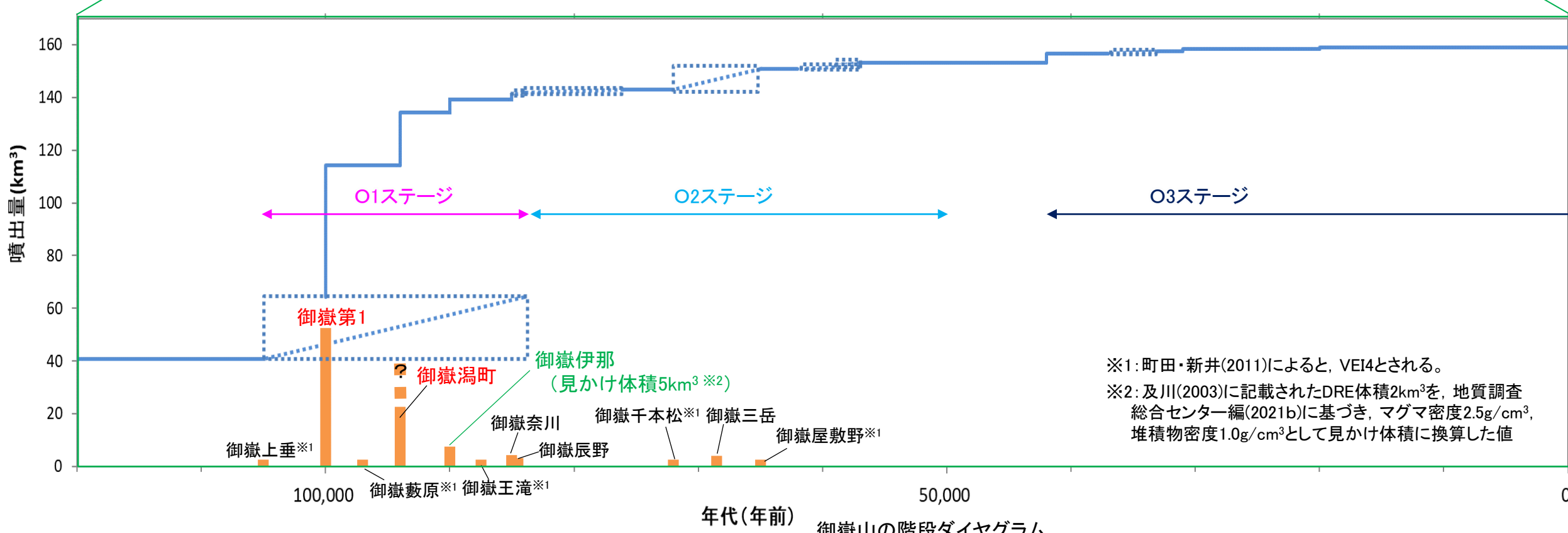
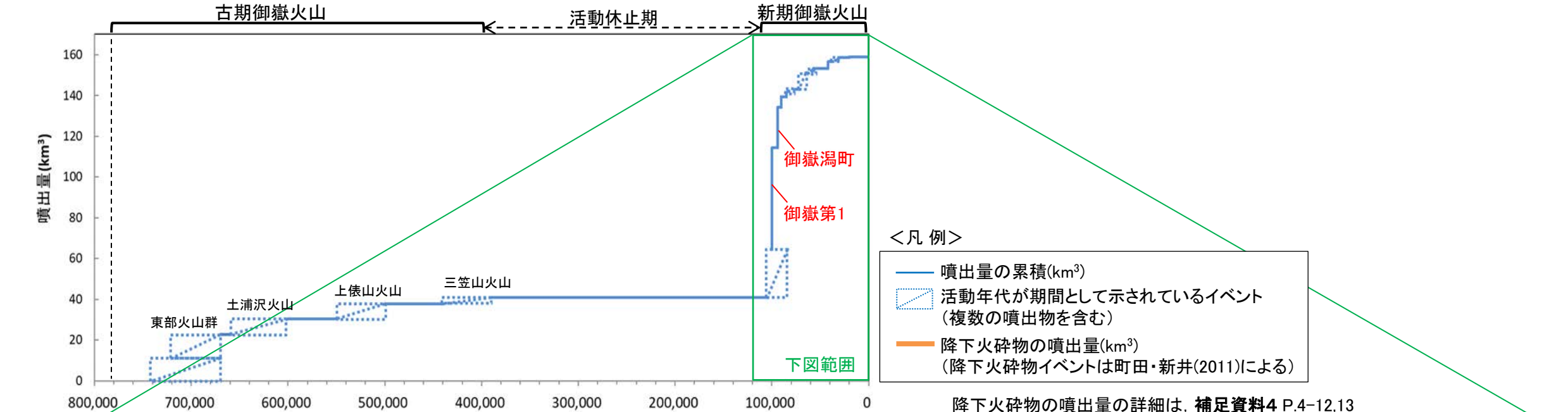
新期御嶽火山活動ステージ	活動様式	マグマタイプ
O3ステージ	山頂付近の小円錐火山群の形成	High-Kカルクアルカリ安山岩(HKCA And.)
O2ステージ	安山岩溶岩の大量噴出による成層火山の形成	High-Kカルクアルカリ安山岩(HKCA And.)～デイサイト(HKCA Dac.), High-Kソレアイト安山岩(HKTH And.)
O1ステージ	デイサイト～流紋岩質のプリニー式噴火と、カルデラ陥没及び溶岩ドームの形成	Mid-Kカルクアルカリデイサイト(MKCA Dacite)

後期更新世以降の御嶽山の活動ステージ

(木村(1993)に基づき作成)

【御嶽山の活動履歴(降下火碎物の噴出規模)】

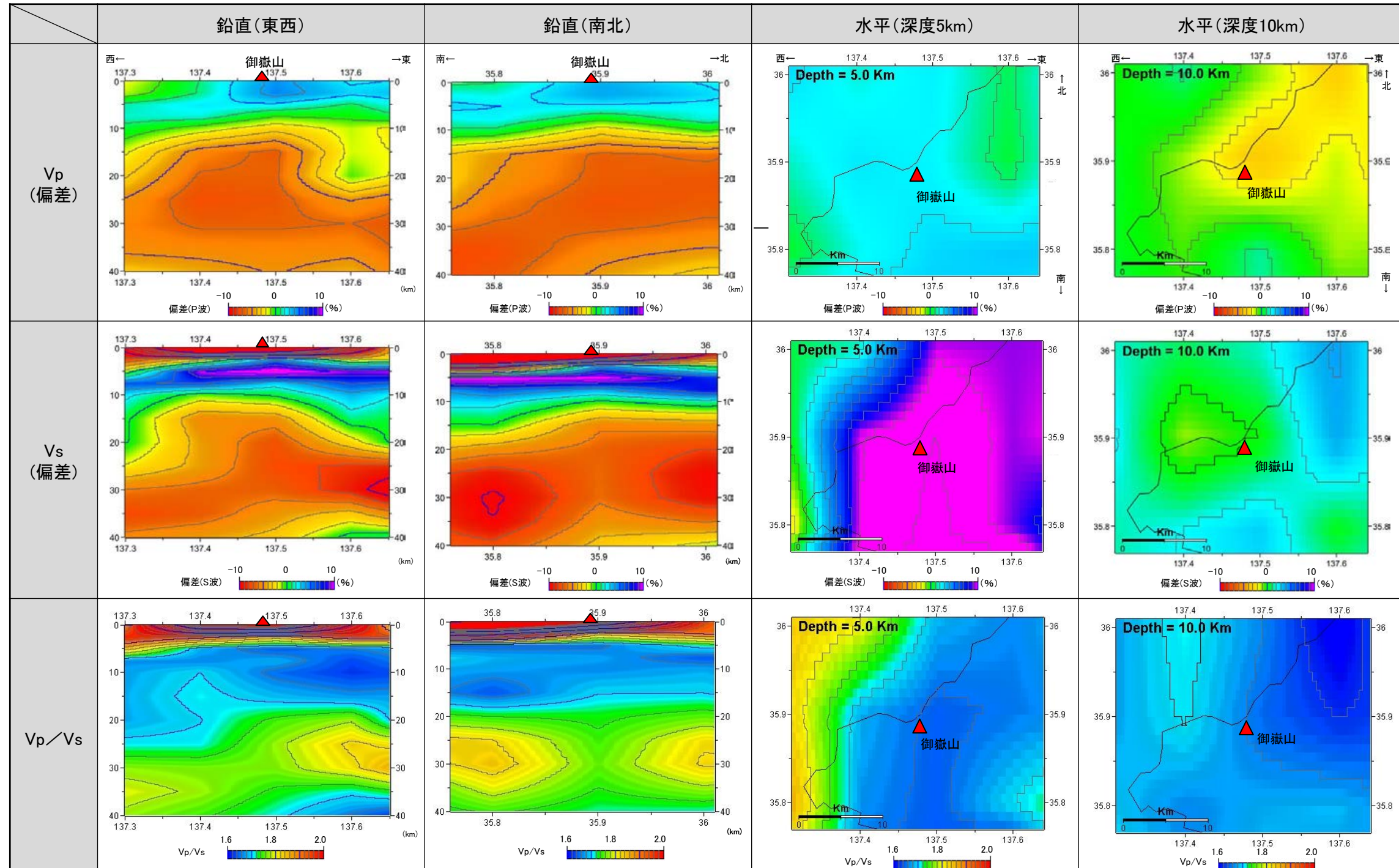
- 新期御嶽火山の活動の中では、御嶽第1テフラ(見かけ体積50km³)及び御嶽渕町テフラ(見かけ体積20km³以上)の噴出規模が突出して大きい(下図)。
- 一方で、数km³規模の噴火は、これらの降下火碎物の噴出以降においても複数発生しており、単独の降下火碎物の噴出量としては、御嶽伊那テフラ(見かけ体積5km³)が最大である。



【御嶽山の地下構造(地震波速度構造)】

○御嶽山の地震波速度構造について、防災科学技術研究所の三次元地震波速度構造2022年度版(Matsubara et al., 2022)では、御嶽山周辺の地下約10km以深の広い範囲に低速度かつ低Vp/Vs領域が認められる。

○また、地下数kmの浅部において、低Vs領域が水平方向に広く連続して分布している。



御嶽山周辺の地震波速度構造
(Matsubara et al.(2022)に基づき作成)

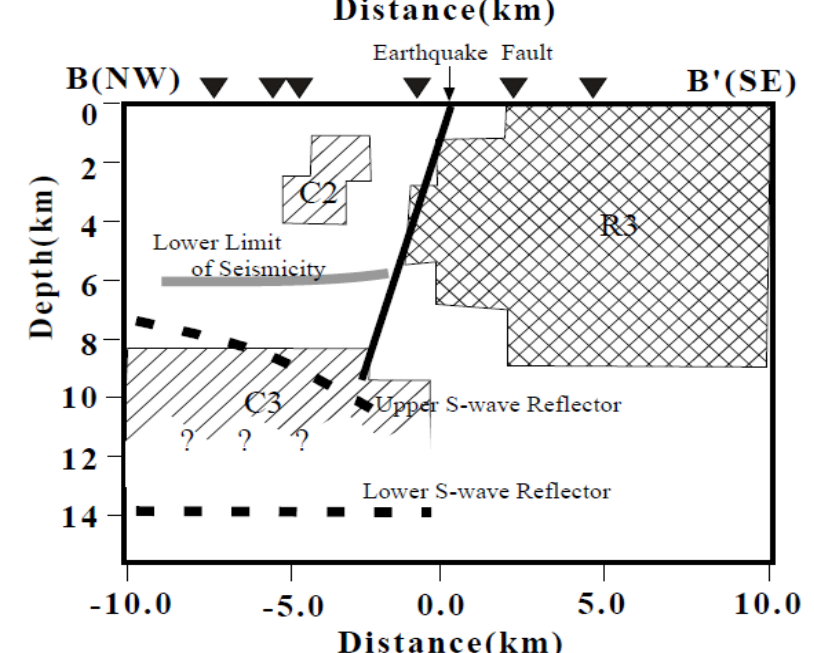
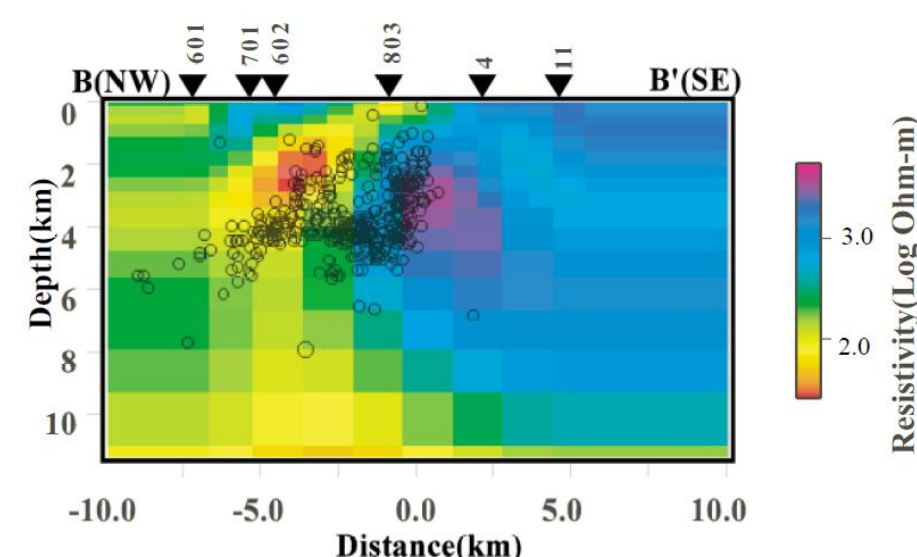
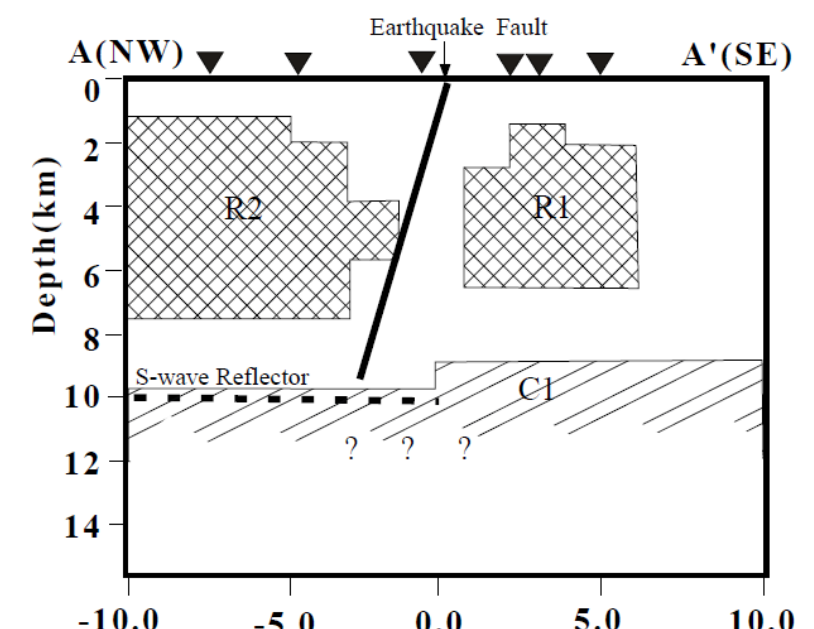
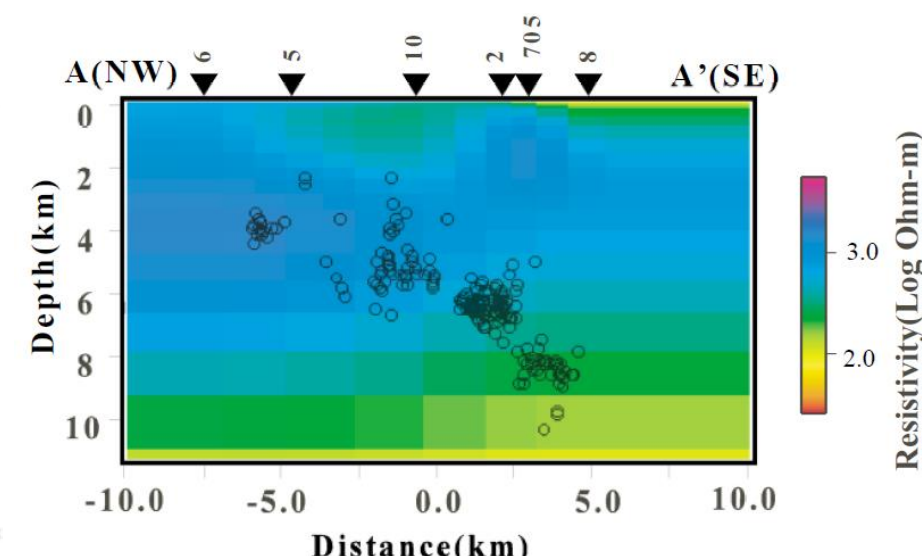
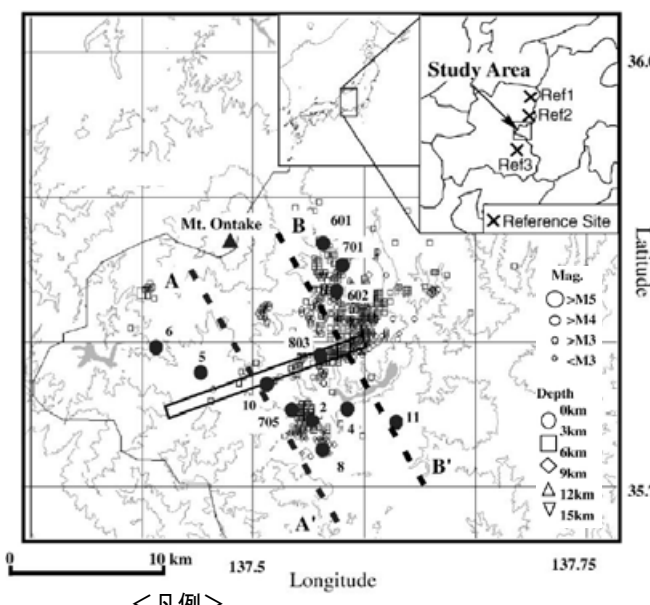
<分解能>
・深さ0~10km: 水平方向(約20km), 深さ方向(5km)
・深さ10~40km: 水平方向(約20km), 深さ方向(10km)

【御嶽山の地下構造(比抵抗構造)】

○Kasaya et al.(2002)では、御嶽山南東部において実施したMT探査により、以下のような地下の比抵抗構造が推定されている。

- ・地震活動(断層活動)が非活発的な御嶽山頂真南側のA-A'測線では、一様に高比抵抗である。
- ・地震活動が活発な御嶽山頂南東のB-B'測線には顕著な低比抵抗領域があり、高比抵抗との境界部は地震断層(1984年の長野県西部地震)の位置と一致した。深度8km以深の低比抵抗領域(C3)の上限は概ねS波反射面と一致しており、マグマから脱水した水と考えられる。

○Kasaya et al.(2002)による比抵抗構造では、地震波速度構造(前頁)で確認された地下数kmの浅部の低Vs領域に対応する低比抵抗領域は認められない。



3.1.2.1(2) 地理的領域内の火山による降下火碎物の選定 一飯縄山で考慮する噴出規模一

○早津(2008)によると、飯縄山の活動履歴は、以下のとおりとされ、発電所運用期間中に過去最大規模の降下火碎物噴出イベントである飯縄上樽aテフラと同規模の噴火が発生する可能性は十分小さいと考えられる。

- ・飯縄山は二つの活動期間(第Ⅰ活動期、第Ⅱ活動期)に大別され、第Ⅰ活動期は、約34万年前ごろ、第Ⅱ活動期は約23万年前に始まり、飯縄上樽aテフラは第Ⅱ活動期に発生した(左下図)。
- ・飯縄山は妙高火山群を構成する火山(多世代火山)の1つであり、その活動は玄武岩のマグマによって開始され、デイサイト質マグマの活動によって終わる。第Ⅱ活動期においても、噴出するマグマの性質が玄武岩質⇒安山岩質⇒デイサイト質へと変化しており、約15万年前に主要な活動は終了し、現在は活動休止期間となっている。この特徴は妙高火山群を構成する各火山において共通して認められる(右下図)。
- ・約6万年前に水蒸気爆発が発生しているが、それ以降の噴火の形跡はなく、噴気活動や高温の温泉の湧出等は全く認めることができず、現在、火山活動は完全に停止状態にあると考えられる。

○また、飯縄山を給源とする降下火碎物のうち、飯縄上樽aテフラ以外の噴出イベントの噴出量に関する知見は確認されず、発生していたとしても小規模であると考えられる(補足資料4 P.4-20)。

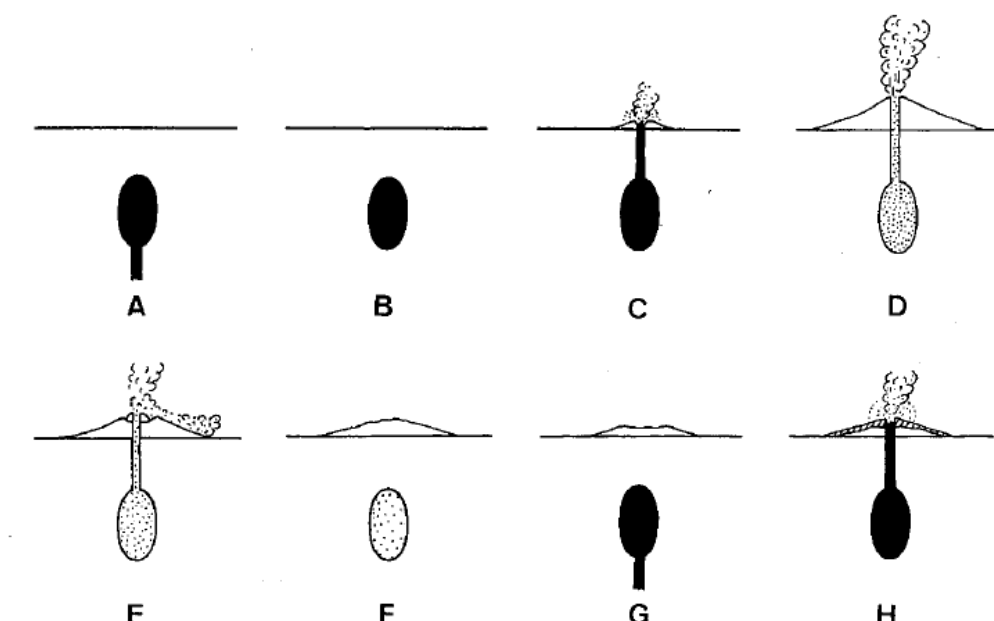
○飯縄山の活動履歴を踏まえると、飯縄上樽aテフラと同規模の噴火が発生する可能性は十分小さく、飯縄上樽aテフラ以外の噴出イベントは小規模であると考えられることから、発電所運用期間中に飯縄山の降下火碎物が原子力発電所に影響を及ぼす可能性は十分小さいと評価した。

年代 (ka)	形成史区分	地層名				岩質
		火山体	指標テフラ層	崩壊堆積物	その他	
	第Ⅱ休止期		高山火山灰層 (IZ-TY)			
150	第Ⅱ活動期 溶岩ドーム期	怪無山溶岩流 高デッキ溶岩流 天狗岳溶岩流 1340m峰溶岩流 富士見山溶岩流 大頭山溶岩流 念仏池溶岩流	飯縄上樽aテフラ 上樽軽石層 (IZ-KT)			角閃石安山岩質 (H) ～ デイサイト質 (H)
			西山軽石層 (IZ-NY)			輝石安山岩質 (H)
	Ⅱ活動期 カルデラ期				越水岩屑なだれ堆積物	角閃石・輝石安山岩質 (H)
		第3期	諸沢火碎流堆積物			
170-190	成層火山期	第2期	笠山溶岩流 飯縄山溶岩層 飯縄火碎流堆積物	古間スコリア層 (IZ-FM)		輝石安山岩質 (P)
						かんらん石・輝石 安山岩質 (P)
220-230	第1期		龍原溶岩層 大沢溶岩層 鳥居川火碎堆積物 1017m峰スコリア層 瑪瑙山溶岩層 黒滝スコリア層 西沢溶岩層		牟礼岩屑なだれ堆積物	玄武岩質 (P)
						安山岩質 (H) ～ デイサイト質 (H)
	第Ⅰ休止期					
340	第Ⅰ活動期		桂沢溶岩層 殿沢溶岩層 瑪瑙沢溶岩層			

H:しそ輝石質岩系、P:ピジョン輝石質岩系。

飯縄山の噴火史

(早津(2008)に一部加筆)



A:玄武岩質マグマの上昇によるマグマだまりの形成

B:地下深部からのマグマの供給停止

C:玄武岩質マグマの噴出による噴火活動開始

D・E:マグマは玄武岩質⇒安山岩質⇒デイサイト質へと変化し山体が成長

F:マグマは自力噴火の能力を失い、噴火活動が終了

G:地下深部から新たな玄武岩質マグマが上昇し、前回とほぼ同じ地点にマグマ溜まりを形成

H:玄武岩質マグマによる新たな噴火活動開始

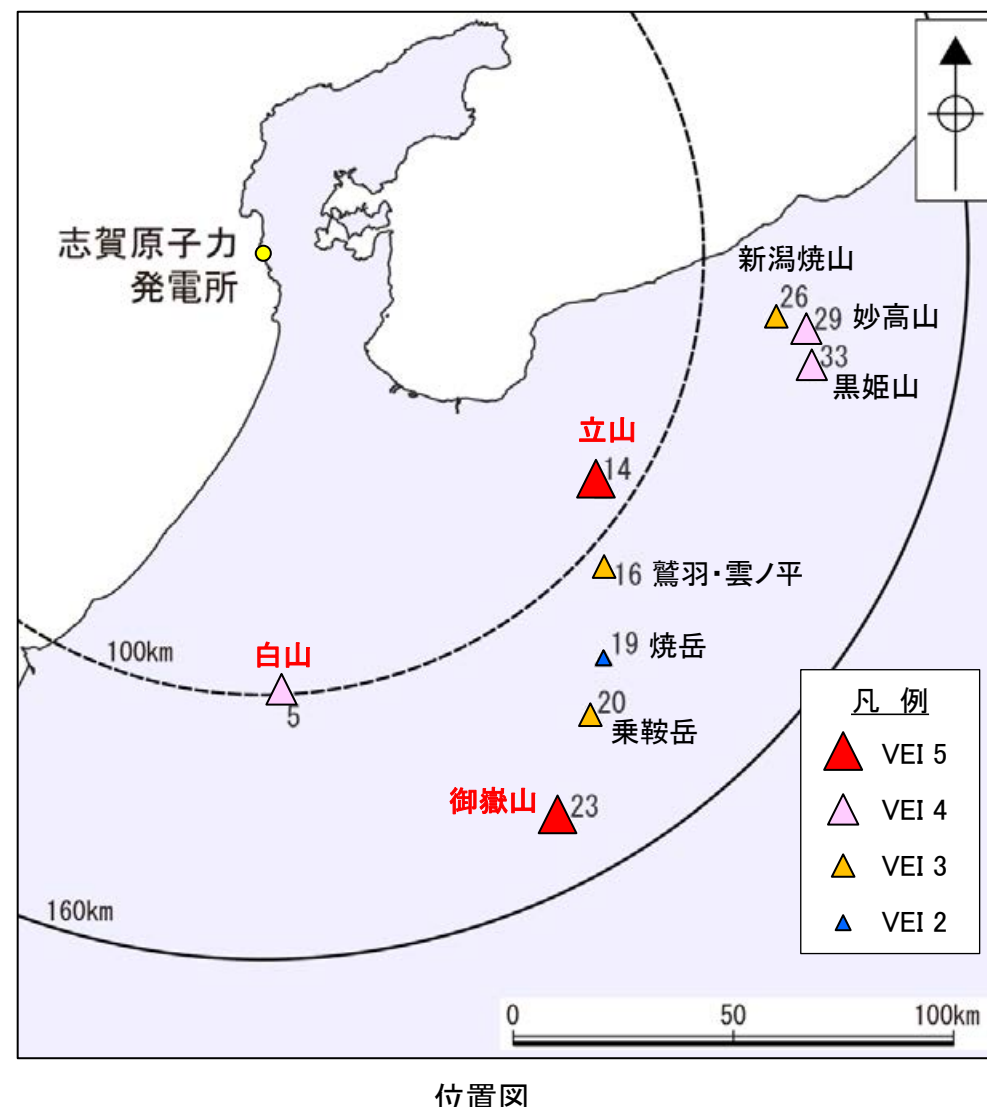
妙高火山群の形成とマグマだまりの関係

(早津(2008)に基づき作成)

3.1.2.1(2) 地理的領域内の火山による降下火碎物の選定 一選定結果一

- 原子力発電所に影響を及ぼし得る火山(17火山)のうち、降下火碎物の発生実績または降下火碎物の噴出量に関する知見が確認されなかつた7火山を除く10火山において、発電所運用期間中において敷地への影響を考慮する噴出規模を下表のとおり設定した。
- このうち、噴出規模がVEI5以上(見かけ体積が 1km^3 以上)となるものは、立山の立山DテフラA,Cユニット及び御嶽山の御嶽伊那テフラである。
- また、噴出規模がVEI4以下の火山のうち、敷地からの距離が最も近い火山は白山である。白山の南竜火山灰の噴出規模は、田島ほか(2005)に基づくと見かけ体積 0.1125 km^3 である。
- 以上より、地理的領域内の火山による降下火碎物シミュレーションの対象として、噴出規模がVEI5以上である立山(立山DテフラA,Cユニット)及び御嶽山(御嶽伊那テフラ)、噴出規模がVEI4以下の火山のうち敷地からの距離が最も近い白山(南竜火山灰)を選定した。

※各火山の活動履歴(噴火イベント)の
詳細については、[補足資料4](#)



火山名	敷地からの距離(km)	敷地への方位	敷地への影響を考慮する噴出規模		
			降下火碎物	規模 (VEI)	噴出規模の根拠
5 はくさん 白山	101	北	南竜火山灰	4	田島ほか(2005)
14 たてやま 立山	94	北西	立山DテフラA,Cユニット	5	及川(2003) 木村(1987)
16 わしば・くものたいら 鶯羽・雲ノ平	106	北西	鶯羽Bテフラ	3	原田ほか(2023)
19 やけだけ 焼岳	120	北西	焼岳-上部峠沢テフラ8	2	及川ほか(2002)
20 のりくらだけ 乗鞍岳	129	北西	位ヶ原テフラ	3	奥野ほか(1994)
23 おんたけさん 御嶽山	146	北北西	御嶽伊那テフラ	5	及川(2003)
26 にいがたやけやま 新潟焼山	118	西	焼山-高谷池火山灰a, b	3	地質調査総合センター編(2021b)
29 みょうこうさん 妙高山	125	西	妙高兼俣・関山テフラ	4	須藤ほか(2007)
33 くろひめやま 黒姫山	128	西北西	黒姫大平テフラ	4	須藤ほか(2007)
35 いいづなやま 飯縄山	130	西北西	(活動履歴を踏まえると、降下火碎物が原子力発電所に影響を及ぼす可能性が十分に小さい)		早津(2008)

■ 噴出規模がVEI5以上であることから、選定した降下火碎物

■ 噴出規模がVEI4以下の火山のうち、敷地からの距離が最も近いことから、選定した降下火碎物

3. 火山事象の影響評価

3.1 降下火碎物の影響評価

3.1.1 文献・地質調査に基づく評価

3.1.1.1 降下火碎物に関する文献・地質調査

- (1) 文献調査(等層厚線図)
- (2) 文献調査(地質調査結果)
- (3) 降下火碎物に関する当社地質調査
- (4) 調査結果まとめ

3.1.1.2 紙源火山における同規模噴火の可能性の検討

3.1.1.3 評価まとめ

3.1.2 降下火碎物シミュレーションによる評価

3.1.2.1 シミュレーションを実施する降下火碎物の選定

- (1) 分布実績に基づく降下火碎物の選定
- (2) 地理的領域内の火山による降下火碎物の選定
- (3) 地理的領域外の火山による降下火碎物の選定
- (4) 選定結果まとめ

3.1.2.2 降下火碎物シミュレーション

- (1) 白山(南竜火山灰)
- (2) 立山(立山DテフラA, Cユニット)
- (3) 御嶽山(御嶽伊那テフラ)
- (4) 鬱陵島(鬱陵隠岐テフラ)
- (5) 大山(大山生竹テフラ)

3.1.2.3 評価まとめ

3.1.3 降下火碎物の密度及び粒径

3.1.4 降下火碎物の影響評価まとめ

3.2 降下火碎物以外の火山事象の影響評価

3.1.2.1(3) 地理的領域外の火山による降下火碎物の選定 一選定方法一

【B-2】分布実績がない降下火碎物(地理的領域外の火山)からの選定

- 地理的領域外の火山による分布実績がない降下火碎物からの選定として、「分布実績がある降下火碎物の給源火山」における他の降下火碎物(噴出規模がより小さい降下火碎物)を対象として、敷地からの距離や噴出規模の観点で、敷地への影響が比較的大きいと考えられる火山を選定する。
- 「分布実績がある降下火碎物の給源火山」のうち、地理的領域外の火山は、九州地方の火山、中国地方の火山及び鬱陵島である。このうち、鬱陵島については、分布実績がある鬱陵島岐テフラと同規模噴火の可能性が否定できないことから、シミュレーション対象として鬱陵島岐テフラを選定した(P.127)。九州地方の火山及び中国地方の火山を給源とする分布実績がある降下火碎物については、給源火山において発電所運用期間中の同規模噴火の可能性が十分小さいと評価したもの(P.119)、これらの給源火山における他の降下火碎物(噴出規模がより小さい降下火碎物)の影響について検討する。
- 検討の対象となるこれらの降下火碎物については、噴出規模が一定以下となると考えられることから、距離の観点で敷地への影響が比較的大きくなる火山を整理した上で、シミュレーション対象とする降下火碎物を選定する。
- 中国地方の火山(大山・三瓶山)については、敷地からの距離が鬱陵島よりも近く、降下火碎物による敷地への影響が鬱陵島を上回る可能性があることから、大山及び三瓶山の活動履歴等を整理し、敷地からの距離や噴出規模により、シミュレーションを実施する降下火碎物を選定する(次頁以降)。残りの九州地方の火山については、中国地方の火山よりも敷地からの距離が遠いことから、中国地方の火山よりも降下火碎物による敷地への影響が小さいと評価した。

3.1.1

降下火碎物
に関する
文献・地質調査

3.1.2.1

シミュレーション
を実施する
降下火碎物の
選定

本選定【B-2】内容

- ・噴出規模が一定以下となると考えられることから、距離の観点で敷地への影響が比較的大きくなる火山を整理した上で、シミュレーション対象とする降下火碎物を選定

<九州地方の火山>

中国地方の火山よりも敷地からの距離が遠いことから、中国地方の火山よりも敷地への影響が小さいと評価

<中国地方の火山(大山・三瓶山)>

敷地からの距離が鬱陵島よりも近く、降下火碎物による敷地への影響が鬱陵島を上回る可能性があることから、大山及び三瓶山の活動履歴等を整理し、敷地からの距離や噴出規模によりシミュレーションを実施する降下火碎物を選定(詳細は次頁以降)。

<分布実績がある降下火碎物の給源火山(地理的領域外)>

エリア	九州地方	中国地方	韓国
給源火山	姶良カルデラ等	大山	三瓶山
降下火碎物	姶良Tnテフラ(AT等)	大山倉吉テフラ(DKP)	鬱陵島岐テフラ(U-Oki)
給源火山における同規模噴火の可能性	可能性は十分小さい		

【B: 分布実績がない降下火碎物】 を対象として検討

- ・給源火山における同規模噴火の可能性が十分小さいことから、分布実績がある降下火碎物(AT等)は検討対象外とする。
- ・一方で、これらの給源火山における他の降下火碎物(噴出規模がより小さい降下火碎物)の影響について検討する。

【A: 分布実績がある降下火碎物】 を対象として検討

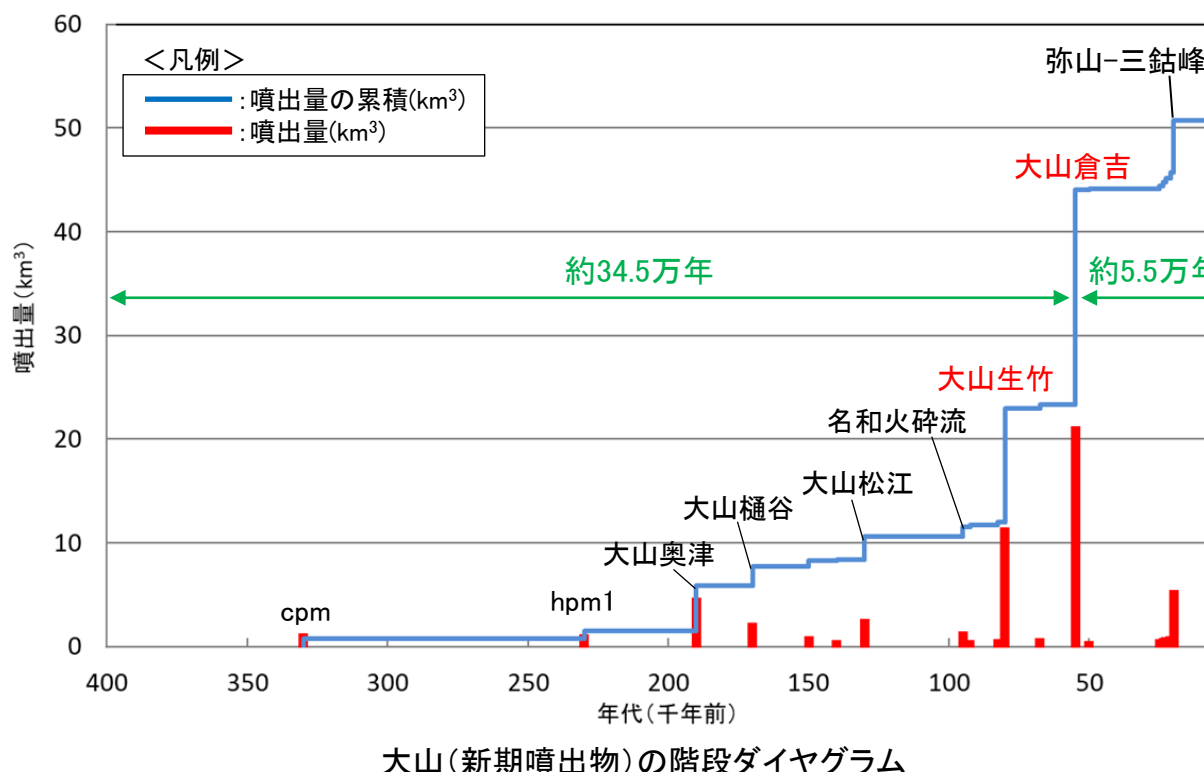
- ・給源火山における同規模噴火の可能性が否定できないことから、分布実績がある降下火碎物である鬱陵島岐テフラを検討対象とする。



「分布実績がある降下火碎物の給源火山」の位置
(町田・新井(2011)に基づき作成)

3.1.2.1(3) 地理的領域外の火山による降下火碎物の選定 一大山で考慮する噴出規模一

- 大山の活動履歴及び地下構造の状況を踏まえ、発電所運用期間中に、新期噴出物のうち最も規模の大きな噴火である大山倉吉テフラ(DKP)と同規模の噴火が発生する可能性は十分小さいと評価した(P.113~115)。
- 一方で、それよりも噴出規模の小さい数km³~10km³程度以下の規模の噴火は、大山倉吉テフラの噴出以前若しくは以降においても繰り返し発生している。原子力規制委員会(2019a)等によると、新期噴出物のうち大山倉吉テフラを除き最も規模が大きな噴火は、大山生竹テフラである(左下図)。
- 大山生竹テフラの噴出規模について、原子力規制委員会(2018)は、大山生竹テフラ(DNP)の噴出規模は10km³以上と考えられるとしている。さらに、関西電力(2019, 2020)は、DNPについて、既往知見を総括した等層厚線図を作成し、噴出量を見かけ体積11.0km³と算出している(右下図)。
- 以上より、発電所運用期間中の敷地への影響を考慮する噴出規模として、新期噴出物のうち大山倉吉テフラを除き最大規模の噴火である大山生竹テフラの噴出規模(見かけ体積11.0km³)を考慮する。

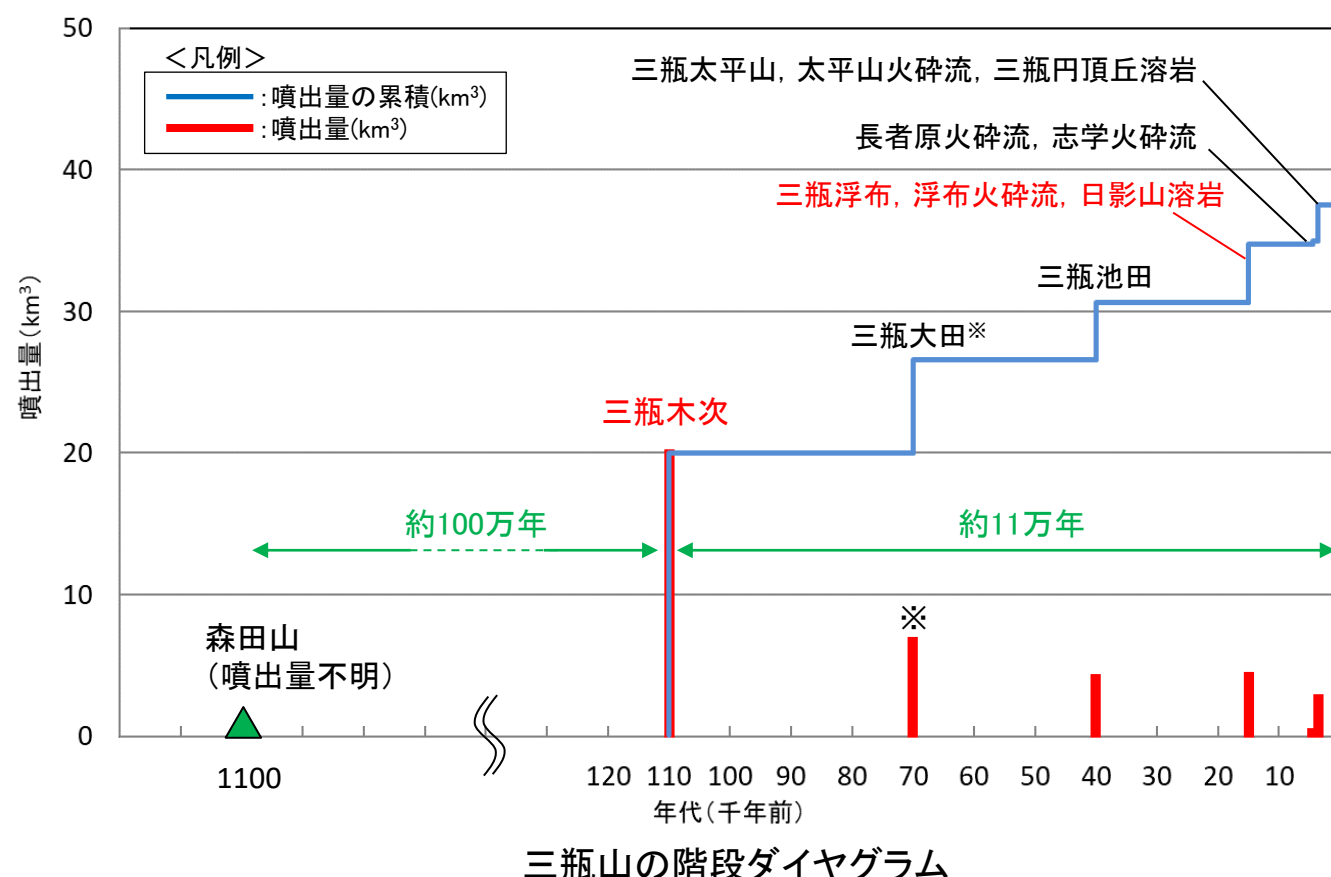


(原子力規制委員会(2019a), 関西電力(2019), 須藤ほか(2007), 第四紀火山カタログ委員会編(1999), 津久井ほか(1985), 津久井(1984)に基づき作成)



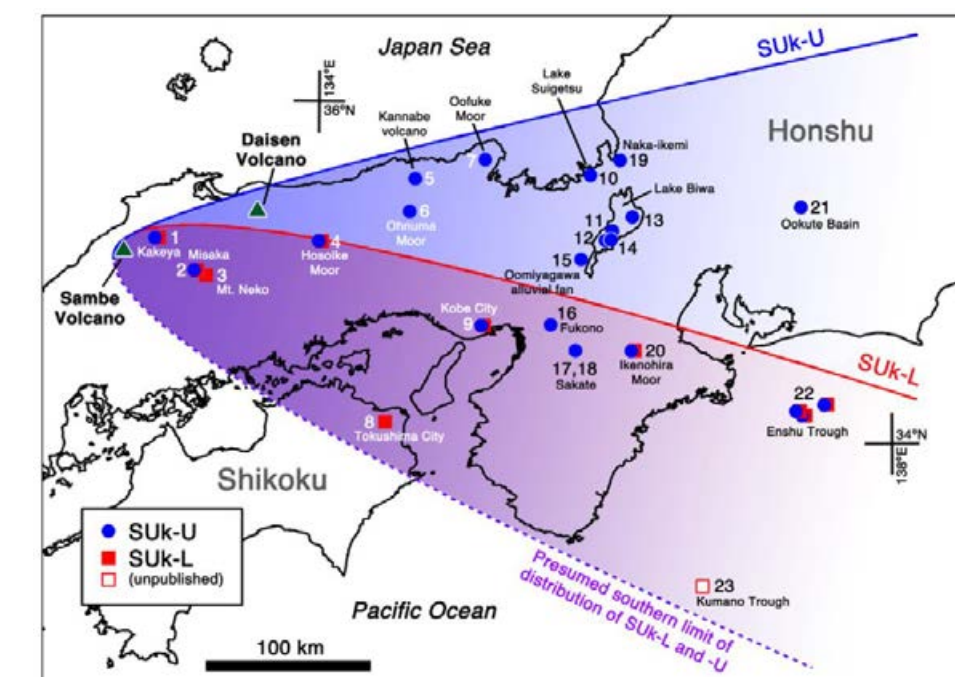
3.1.2.1(3) 地理的領域外の火山による降下火碎物の選定 —三瓶山で考慮する噴出規模—

- 三瓶山の活動履歴及び地下構造の状況を踏まえ、発電所運用期間中に、森田山の噴火以降において最も規模の大きな噴火である三瓶木次テフラ(SK)と同規模の噴火が発生する可能性は十分小さいと評価した(P.109~112)。
- 一方で、それよりも噴出規模の小さい数km³以下の規模の噴火は、三瓶木次テフラの噴出以降においても繰り返し発生している(左下図)。第四紀火山カタログ委員会編(1999)等の以下の知見を踏まえると、三瓶木次テフラを除き降下火碎物の噴出量が最大の噴火は、三瓶浮布テフラである。
 - ・三瓶木次テフラ以降の噴火で最大とされる三瓶大田(SOd; 見かけ体積6.6km³)について、町田・新井(2011)は火碎流堆積物の分布域として記載している。また、服部ほか(1983)は、降下火碎物の分布面積・層厚は、火碎流堆積物と比較して著しく小さいとしている。
 - ・第四紀火山カタログ委員会編(1999)によると、池田降下軽石の噴出量は見かけ体積4.0km³、浮布降下軽石(SUk)・浮布火碎流の噴出量は見かけ体積4.0km³で同時期の日影山溶岩を併せると4.15km³、太平山火碎流・降下火山灰・三瓶円頂丘溶岩は見かけ体積2.6km³とされる。
- 以上より、発電所運用期間中の敷地への影響を考慮する噴出規模として、森田山の噴火以降において三瓶木次テフラを除き降下火碎物の噴出量が最大である三瓶浮布テフラ(見かけ4.15km³)の噴出規模を考慮する。



(地質調査総合センター編(2023), 町田・新井(2011), 日本地質学会編(2009), 須藤ほか(2007), 第四紀火山カタログ委員会編(1999), 服部ほか(1983)に基づき作成)

※三瓶大田は、火碎流堆積物が中心
(町田・新井(2011)及び服部ほか(1983))



上位のSUk-Uと下位のSUk-Lの2イベントに分かれ、SUk-LはSUk-Uと比較し厚く堆積する。
(図中の数値は地点番号)

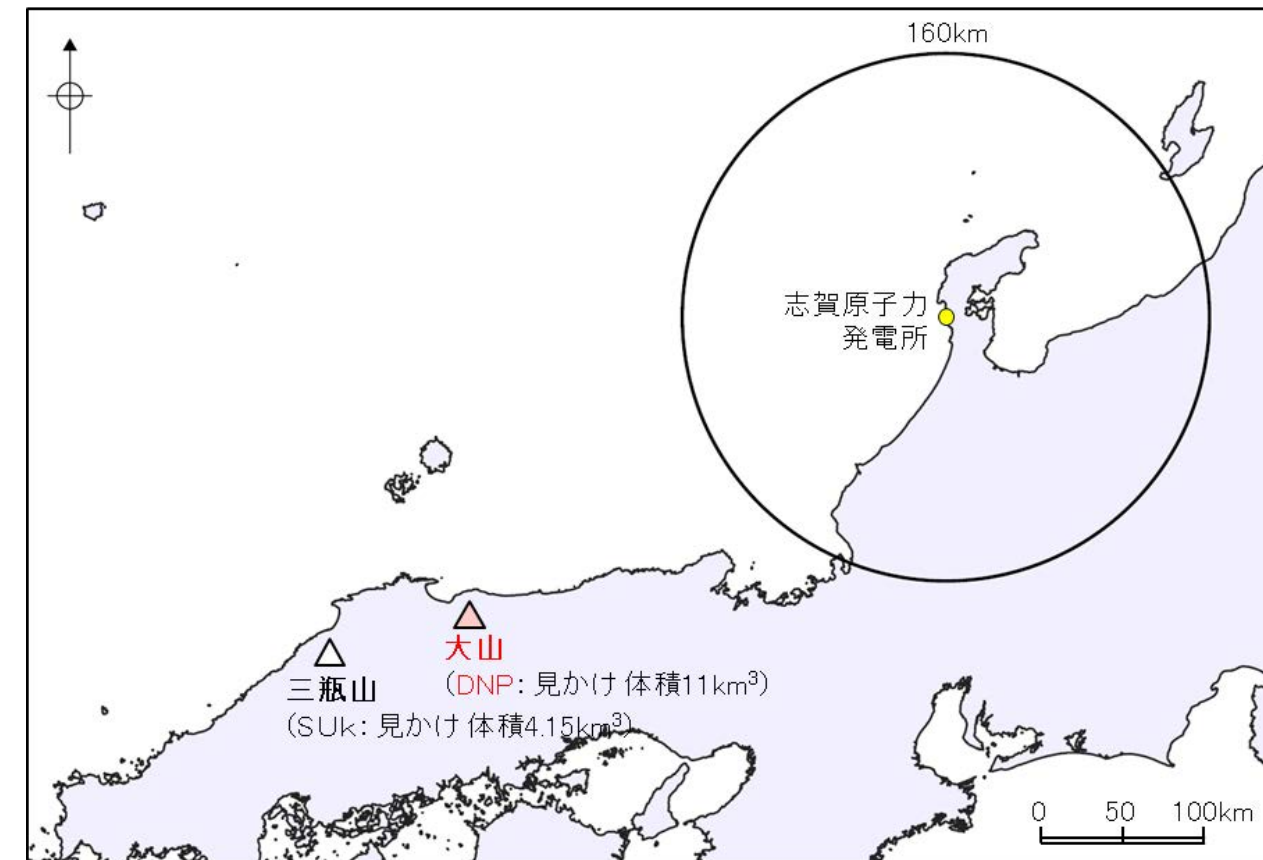
3.1.2.1(3) 地理的領域外の火山による降下火碎物の選定 一選定結果一

- 地理的領域外の火山による降下火碎物の選定にあたり、大山及び三瓶山において、発電所運用期間中の敷地への影響を考慮する噴出規模として、それぞれ大山生竹テフラ及び三瓶浮布テフラを設定した。これらの火山の位置や噴出規模により、シミュレーションの対象とする降下火碎物を選定する。
- 大山は、三瓶山よりも敷地からの距離が近く、敷地からの両火山への方位はほとんど変わらない。
- また、設定した敷地への影響を考慮する噴出規模について、大山生竹テフラ(DNP: 見かけ体積 11.0km^3)は、三瓶浮布テフラ(SUk: 見かけ体積 4.15km^3)よりも大きい。
- よって、敷地に対しては、三瓶山(三瓶浮布テフラ)と比較して、大山(大山生竹テフラ)の方が降下火碎物による影響が大きいと評価した。
- 以上より、地理的領域外の火山による降下火碎物シミュレーションの対象として、大山(大山生竹テフラ、見かけ体積 11.0km^3)を選定した。

<大山・三瓶山において降下火碎物の敷地への影響を考慮する噴出規模>

火山	敷地からの距離	敷地からの方位	敷地への影響を考慮する噴出規模	
大山	342km	西南西	大山生竹テフラ (DNP)	見かけ体積 : 11.0km^3 (噴出規模VEI6)
三瓶山	427km	西南西	三瓶浮布テフラ (SUk)	見かけ体積 : 4.15km^3 (噴出規模VEI5)

■ シミュレーションの対象として選定した降下火碎物



3. 火山事象の影響評価

3.1 降下火碎物の影響評価

3.1.1 文献・地質調査に基づく評価

3.1.1.1 降下火碎物に関する文献・地質調査

- (1) 文献調査(等層厚線図)
- (2) 文献調査(地質調査結果)
- (3) 降下火碎物に関する当社地質調査
- (4) 調査結果まとめ

3.1.1.2 紙源火山における同規模噴火の可能性の検討

3.1.1.3 評価まとめ

3.1.2 降下火碎物シミュレーションによる評価

3.1.2.1 シミュレーションを実施する降下火碎物の選定

- (1) 分布実績に基づく降下火碎物の選定
- (2) 地理的領域内の火山による降下火碎物の選定
- (3) 地理的領域外の火山による降下火碎物の選定
- (4) 選定結果まとめ

3.1.2.2 降下火碎物シミュレーション

- (1) 白山(南竜火山灰)
- (2) 立山(立山DテフラA, Cユニット)
- (3) 御嶽山(御嶽伊那テフラ)
- (4) 鬱陵島(鬱陵隠岐テフラ)
- (5) 大山(大山生竹テフラ)

3.1.2.3 評価まとめ

3.1.3 降下火碎物の密度及び粒径

3.1.4 降下火碎物の影響評価まとめ

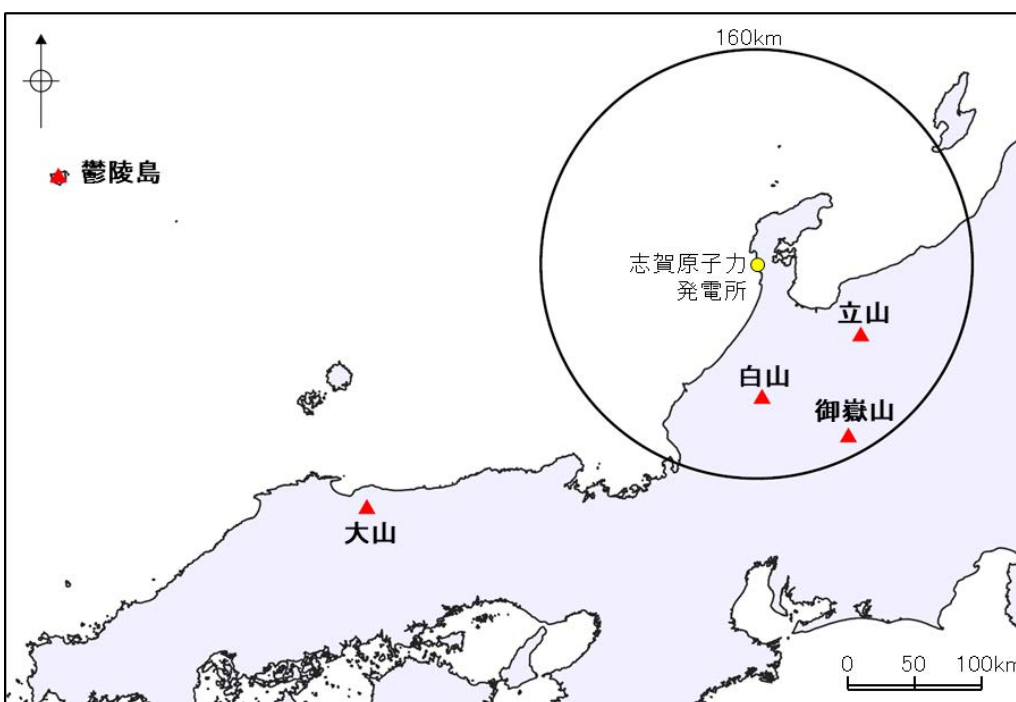
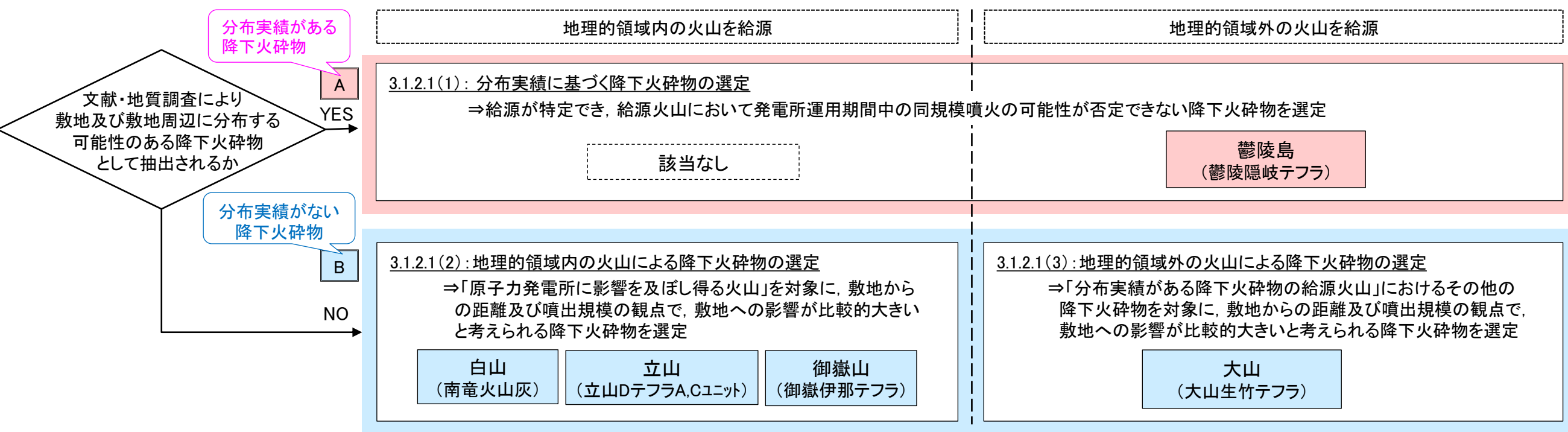
3.2 降下火碎物以外の火山事象の影響評価

3.1.2.1(4) 選定結果まとめ

○シミュレーションを実施する降下火碎物として、敷地への影響が比較的大きいと考えられる以下5つの降下火碎物を選定した。

- ・分布実績がある降下火碎物のうち、給源が特定でき、給源火山において発電所運用期間中の同規模噴火の可能性が否定できない鬱陵島の鬱陵隠岐テフラをシミュレーション対象として選定した。
- ・分布実績がない降下火碎物について、敷地からの距離及び噴出規模の観点で、敷地への影響が比較的大きいと考えられる降下火碎物として、白山の南竜火山灰、立山の立山DテフラA,Cユニット、御嶽山の御嶽伊那テフラ及び大山の大山生竹テフラをシミュレーション対象として選定した。

<シミュレーションを実施する降下火碎物の選定結果>



位置図

<選定した落火碎物の噴出量>

	火山	敷地からの 距離	落火碎物	噴出量：見かけ体積 (噴出規模)
地理的 領域内 の火山	白山	101km	南竜火山灰	0.1125km ³ (VEI4)
	立山	94km	立山Dテフラ A,Cユニット	3.1km ³ (VEI5)
	御嶽山	146km	御嶽伊那テフラ	5.0km ³ (VEI5)
地理的 領域外 の火山	鬱陵島	522km	鬱陵隠岐テフラ	12.22km ³ (VEI6)
	大山	342km	大山生竹テフラ	11.0km ³ (VEI6)

3. 火山事象の影響評価

3.1 降下火碎物の影響評価

3.1.1 文献・地質調査に基づく評価

3.1.1.1 降下火碎物に関する文献・地質調査

- (1) 文献調査(等層厚線図)
- (2) 文献調査(地質調査結果)
- (3) 降下火碎物に関する当社地質調査
- (4) 調査結果まとめ

3.1.1.2 紙源火山における同規模噴火の可能性の検討

3.1.1.3 評価まとめ

3.1.2 降下火碎物シミュレーションによる評価

3.1.2.1 シミュレーションを実施する降下火碎物の選定

- (1) 分布実績に基づく降下火碎物の選定
- (2) 地理的領域内の火山による降下火碎物の選定
- (3) 地理的領域外の火山による降下火碎物の選定
- (4) 選定結果まとめ

3.1.2.2 降下火碎物シミュレーション

- (1) 白山(南竜火山灰)
- (2) 立山(立山DテフラA, Cユニット)
- (3) 御嶽山(御嶽伊那テフラ)
- (4) 鬱陵島(鬱陵隠岐テフラ)
- (5) 大山(大山生竹テフラ)

3.1.2.3 評価まとめ

3.1.3 降下火碎物の密度及び粒径

3.1.4 降下火碎物の影響評価まとめ

3.2 降下火碎物以外の火山事象の影響評価

3.1.2.2 降下火碎物シミュレーション —「Tephra2」の概要—

- 解析コード「Tephra2」を用いて、降下火碎物シミュレーションを実施する。
- Tephra2 (Bonadonna et al., 2014) は移流拡散モデルを用いたシミュレーションプログラムであり、国の火山防災マップ作成指針(内閣府ほか, 2013)等で使用されている。
- 移流拡散モデルとは粒子(降下火碎物)の挙動を、重力による落下、風による移動(移流)及び空中で広がり散らばる現象(拡散)で計算するものである。
- 風は高度毎に水平な一方向に吹くものとされ、拡散も水平方向のみが考慮されており、粒子(降下火碎物)は火口上に仮定された均質な噴煙柱から放出される。

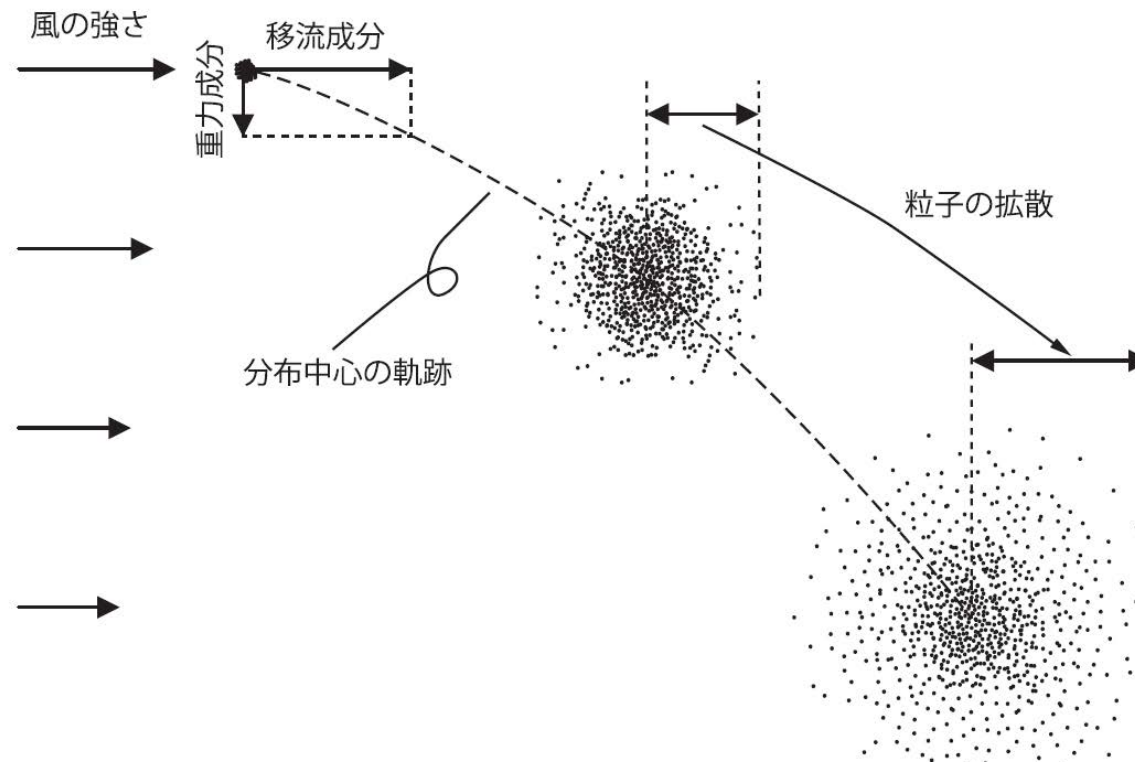


図 1 移流拡散モデルの概念図

粒子の分布中心の軌跡は、重力による落下と風による移流によって決まる。粒子の一団は時間 0 の時に点で表されるが、時間の経過とともに拡がっていく。

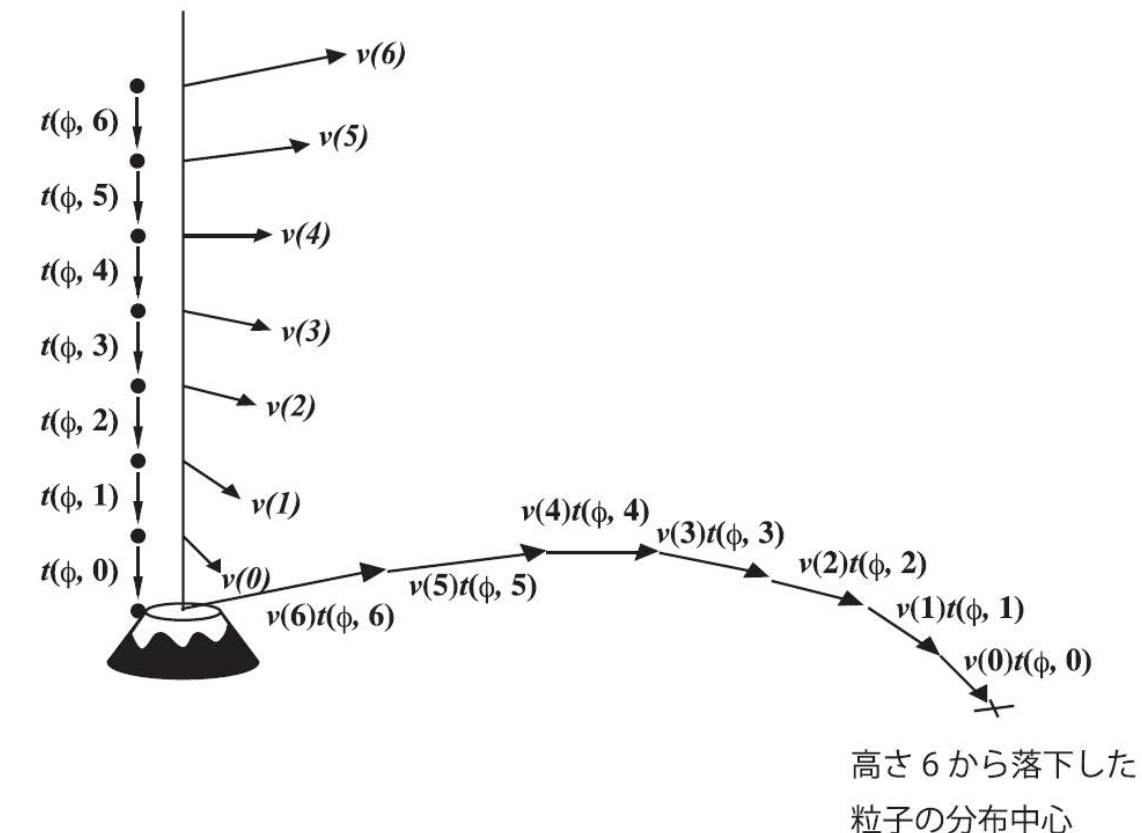


図 3 移流の概念図

火口直上の風が、高さ 0 から 6 までそれぞれベクトル $v(0) \sim v(6)$ で表されるとする。各高さ区間 n を落下する間に粒子が流されるベクトルは $v(n) t(\phi, n)$ で表されるので、高さ 6 から放出される粒子はこれら全ての積算が分布の中心のベクトルとなる。

3.1.2.2 降下火碎物シミュレーション —Tephra2のバグ修正—

- 日本火山学会2016年秋季大会(2016年10月13日～15日)のポスターセッションにおいて、大阪大学の佐伯准教授がTephra2の解析コードの粒子の落下速度の式に一部バグがあることを発表した(佐伯, 2016)。
- この指摘を受け、当社においてもTephra2の解析コードを確認したところ、同准教授が指摘したバグがあることが確認された。
- 本解析では、このプログラムコードのバグを修正済みの解析コードを使用している。
- 当社使用のTephra2の解析コードは、バグを当社独自に修正して用いていることから、産業技術総合研究所地質調査総合センターによりバグが修正されHP上(G-EVER)で公開・管理されているTephra2を用いて同様の条件で解析を行い、敷地における層厚を比較することにより、当社が使用するTephra2の妥当性を確認する※。

※妥当性の確認結果は、P.203

■バグの概要

給源直上から放出される火山灰粒子の落下速度は、落下する粒子が持つ慣性力と大気の粘性力の比から求まる粒子のレイノルズ数に応じて、以下に示す原理式を用いて算出しており、この原理式に基づく解析コードの一部にバグが確認された。

■粒子の落下速度(V_t)の原理式

粒子の落下速度(V_t)の計算式

$$V_t = \frac{gd^2(\rho_p - \rho_a)}{18\mu} \quad R_e < 6$$

$$V_t = \left[\frac{4g^2d^3(\rho_p - \rho_a)^2}{225\mu\rho_a} \right]^{1/3} \quad 6 \leq R_e < 500$$

$$V_t = \left[\frac{3.1gd(\rho_p - \rho_a)}{\rho_a} \right]^{1/2} \quad 500 \leq R_e$$

$R_e = \frac{d\rho_a V_t}{\mu}$: 粒子レイノルズ数 g : 重力加速度 d : 粒径
 ρ_p : 粒子密度 ρ_a : 大気密度 μ : 大気の粘性

■当社使用の「Tephra2」の解析コードの入手先

アメリカ国立科学財団(National Science Foundation)・VHubホームページ(<https://vhub.org/resources/tephra2>)
ダウンロード日: 2014年1月8日(Ver 1.91)

■原理式に基づく解析コードの修正箇所

・バグ修正前

```
temp1 = GRAV_SQRD_x_4 * part_density * part_density / AIR_VISCOSITY_x_225 * rho;
vti = ashdiam * pow(temp1, ONE_THIRD);
```

・バグ修正後

```
temp1 = GRAV_SQRD_x_4 * part_density * part_density / AIR_VISCOSITY_x_225 / rho;
vti = ashdiam * pow(temp1, ONE_THIRD);
```

バグ

修正

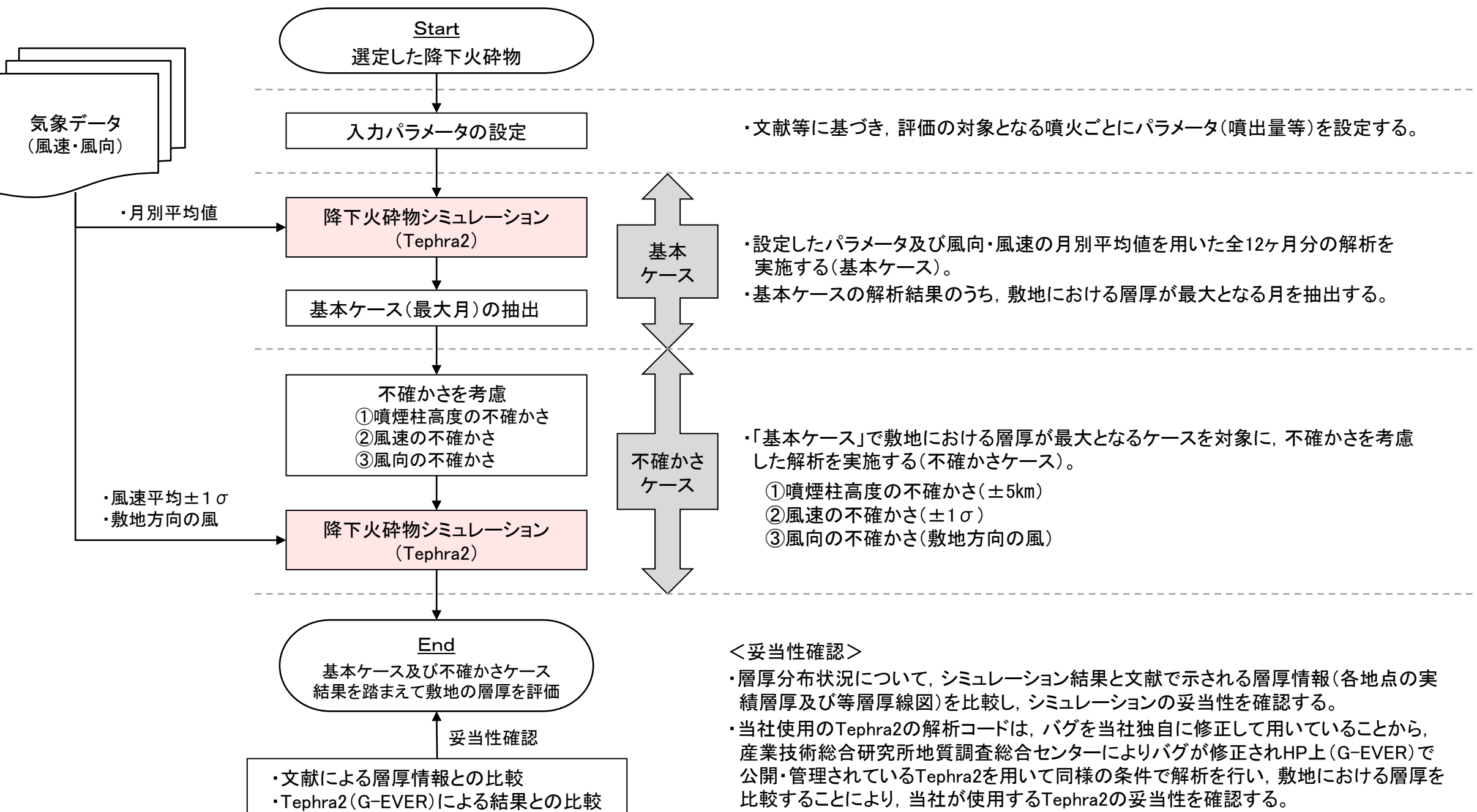
3.1.2.2 降下火碎物シミュレーション－評価の流れ－

○降下火碎物シミュレーションを用いた敷地における降下火碎物の層厚評価の流れを以下に示す。

○文献等により設定したパラメータに基づき全12ヶ月分の解析(基本ケース)を行い、さらに降下火碎物の噴火事象の不確かさを踏まえ、基本ケースのうち敷地における層厚が最大となるケースに対して噴煙柱高度、風速及び風向の不確かさを考慮した解析(不確かさケース)を実施した上で、敷地の層厚を評価する。

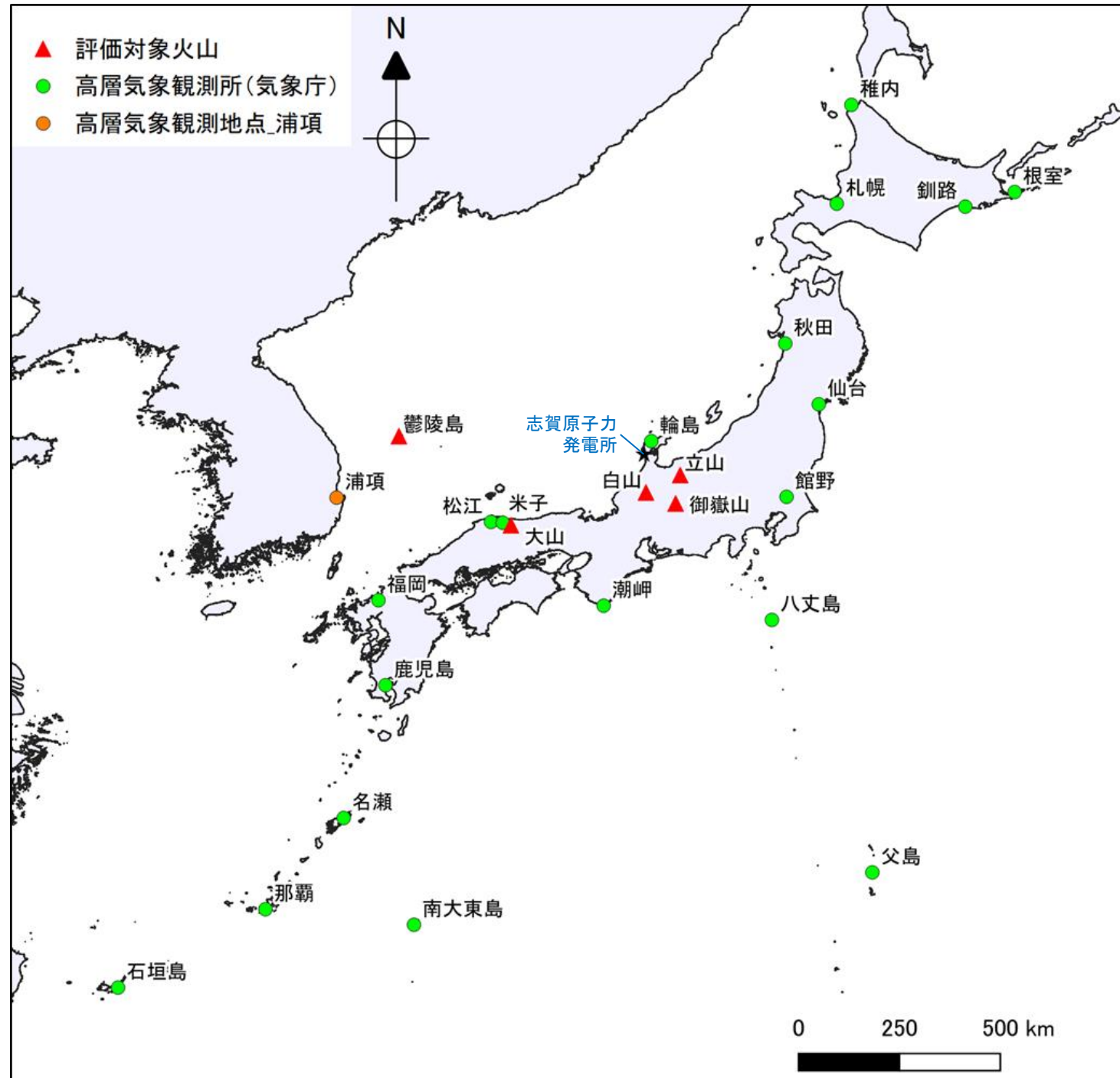
○また、文献による層厚情報及び産業技術総合研究所HP上のTephra2(G-EVER)による結果との比較により、シミュレーション結果及び当社使用のTephra2の妥当性を確認する。

■降下火碎物シミュレーションを用いた敷地の層厚評価の流れ



3.1.2.2 降下火碎物シミュレーション－気象データ－

- 降下火碎物シミュレーションに用いる風速及び風向の気象データは、各給源火山に最も近い観測所において、1988年～2020年の期間に1日2回の定時観測により取得されたデータを用いた。
- 輪島、米子及び松江の定時観測データは気象庁より、浦項の定時観測データはワイオミング大学より取得し、風速・風向の月別平均値を算出した（用いた気象データについて、次頁以降に示す）。



<シミュレーションに用いる気象データ>

火山	気象観測所 (データ期間)
白山	
立山	輪島 (1988.1～2020.12)
御嶽山	
鬱陵島	浦項 (1988.1～2020.12)
大山	米子 (1988.1～2010.2) 松江 (2010.3～2020.12)

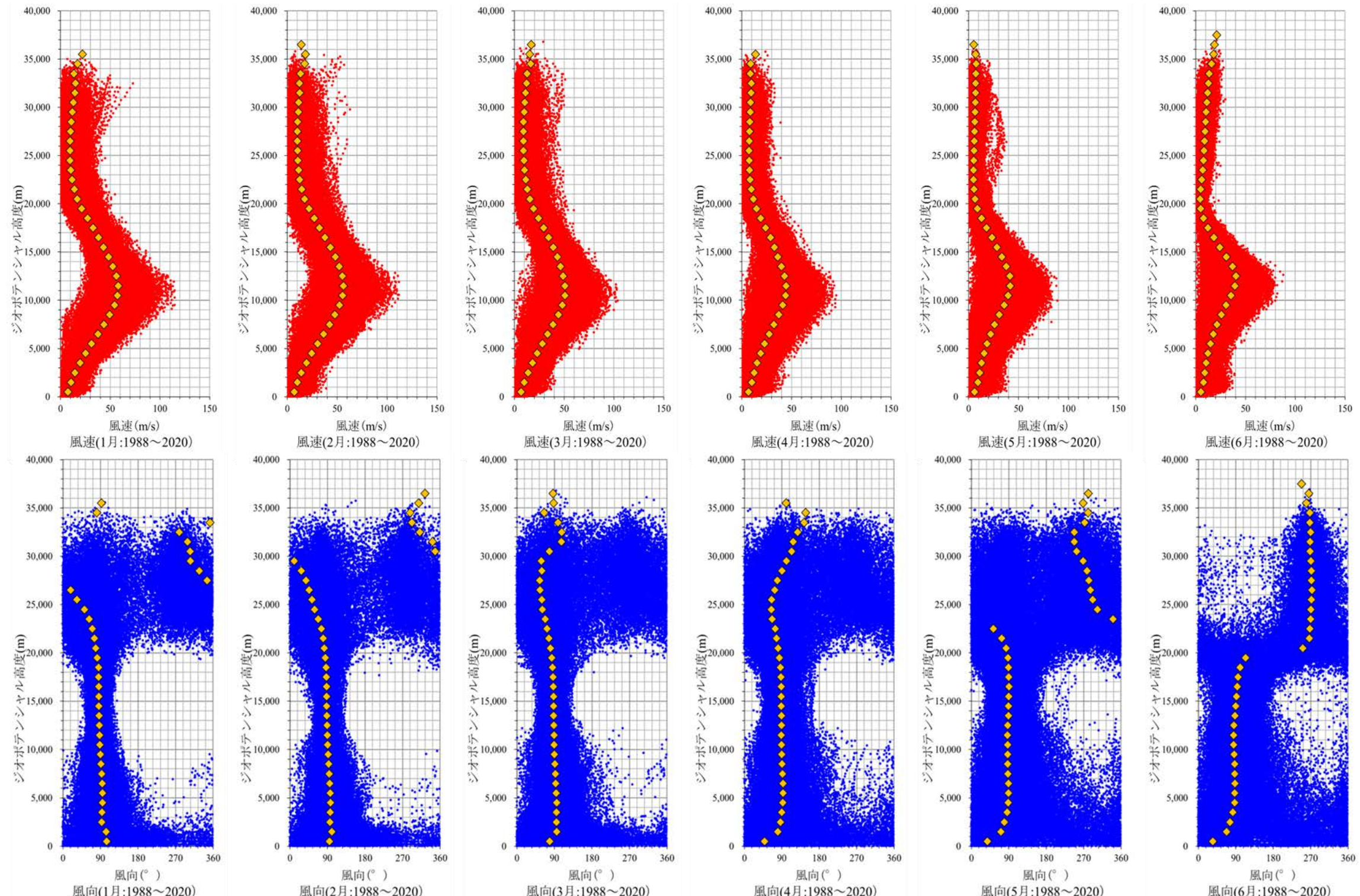
3.1.2.2 降下火碎物シミュレーション —気象データ(輪島)ー

○気象庁のWEBより取得した輪島の気象データ(1988~2020年の期間における風速・風向の定時観測データ)を以下に示す。風速・風向の月別平均値の算出にあたっては、1日2回の定時観測データを全て用いた。

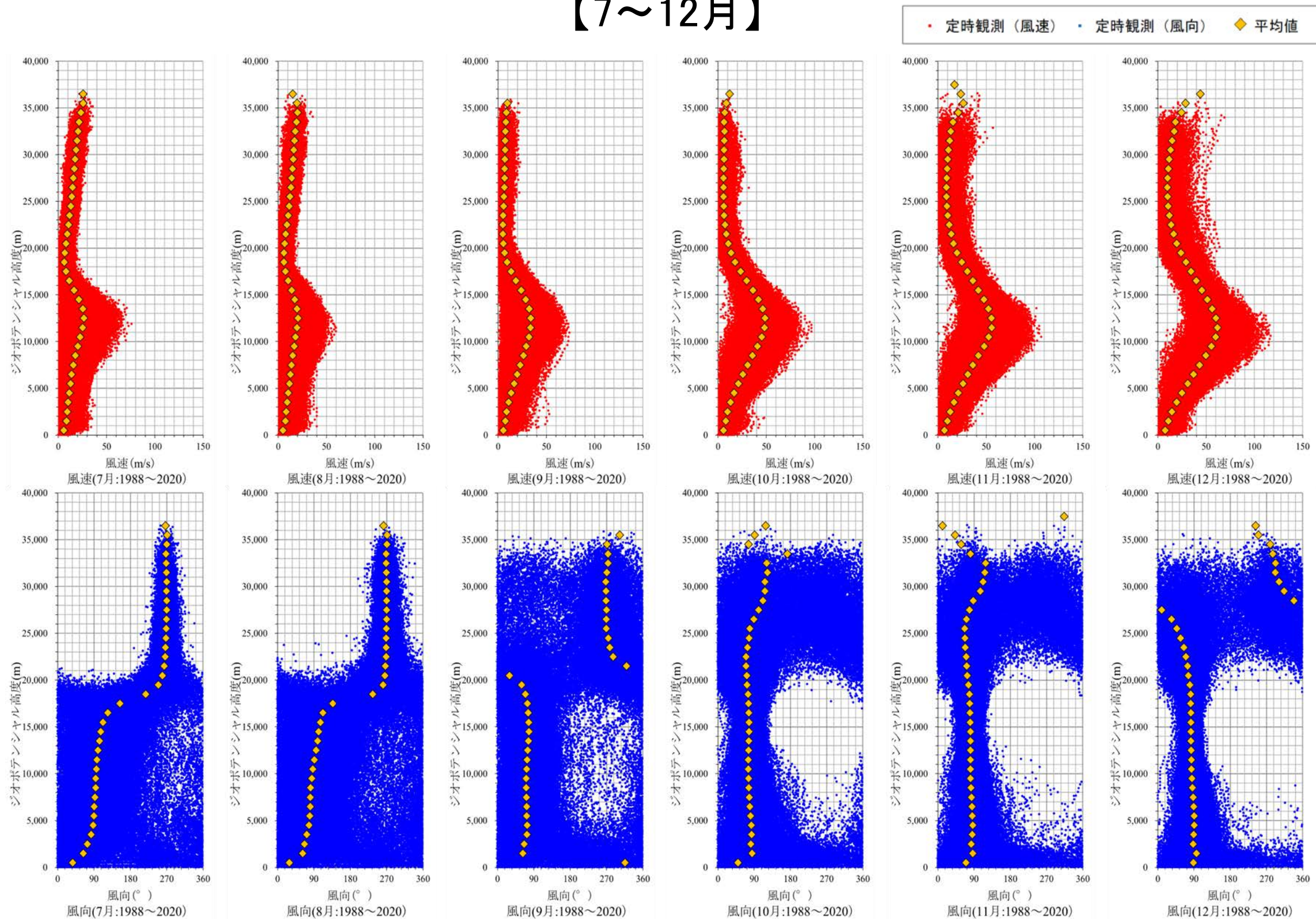
○風速は、各月とも高度約12kmで最大となり、夏季に小さくなる傾向がある。風向は、年間を通じて高度約20km以下では西風が卓越し、20km以上では月によってばらつきがあり、6月~9月では東風が卓越する。

【1~6月】

・ 定時観測（風速） · 定時観測（風向） ◆ 平均値



【7~12月】



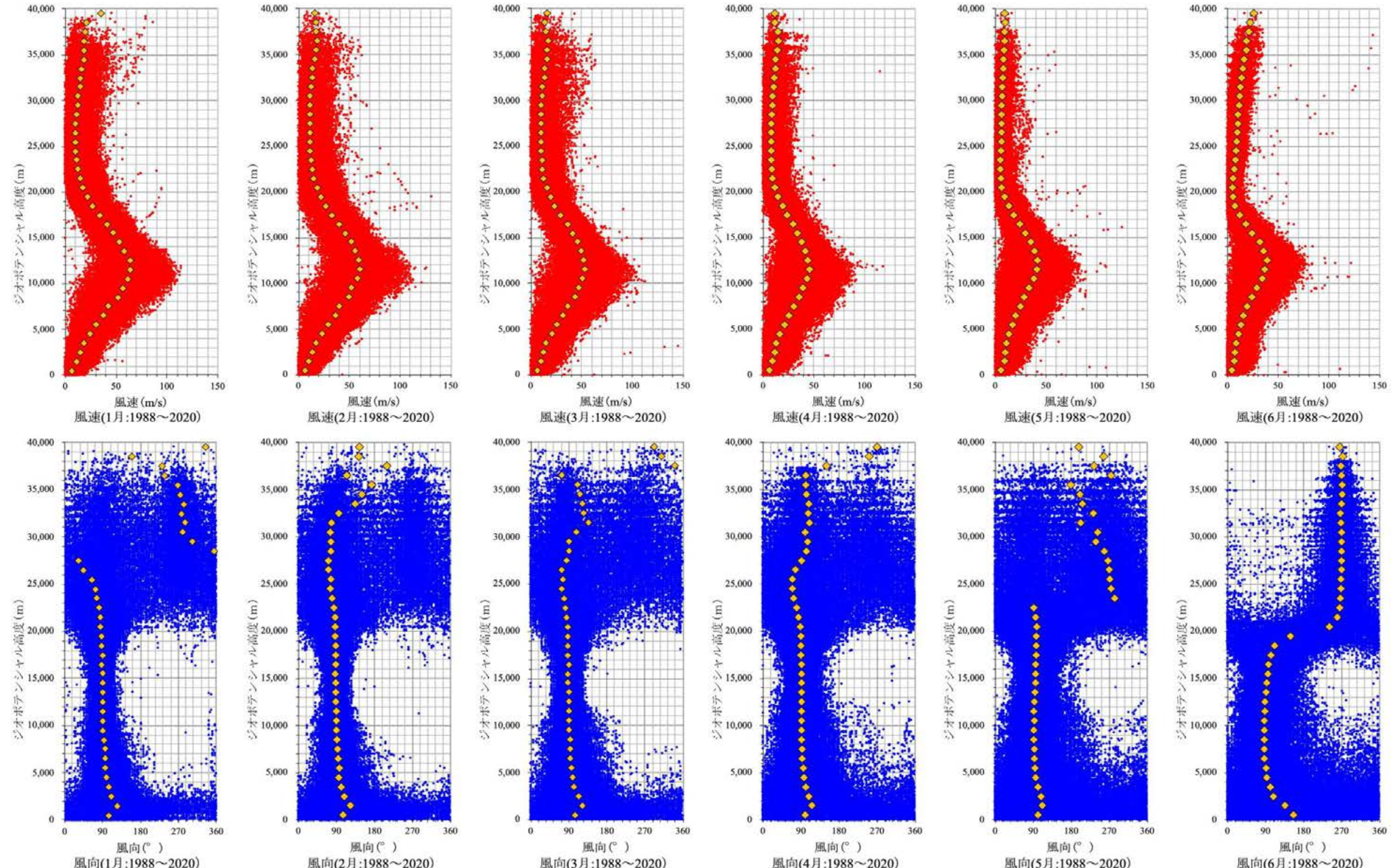
3.1.2.2 降下火碎物シミュレーション－気象データ(浦項)－

○ワイオミング大学のWEBより取得した浦項の気象データ(1988~2020年の期間における風速・風向の定時観測データ)を以下に示す。風速・風向の月別平均値の算出にあたっては、1日2回の定時観測データを全て用いた。

○風速は、各月とも高度約12kmで最大となり、夏季に小さくなる傾向がある。風向は、年間を通じて高度約20km以下では西風が卓越し、20km以上では月によってばらつきがあり、6月~9月では東風が卓越する。

【1~6月】

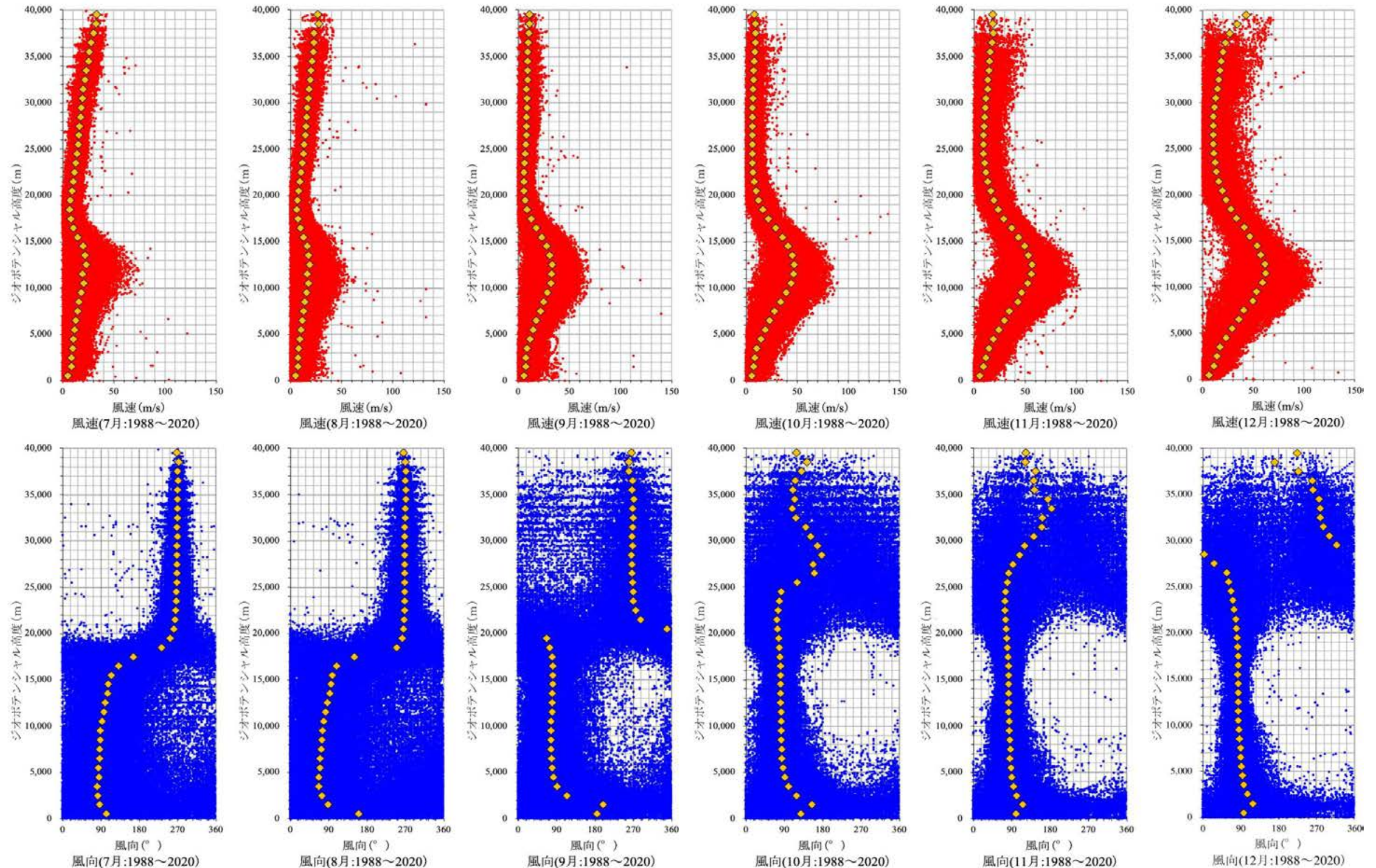
・ 定時観測（風速） · 定時観測（風向） ♦ 平均値



【風向】
0° : 南風
90° : 西風
180° : 北風
270° : 東風
(360° : 南風)

(7~12月)

・ 定時観測（風速） · 定時観測（風向） ◇ 平均値

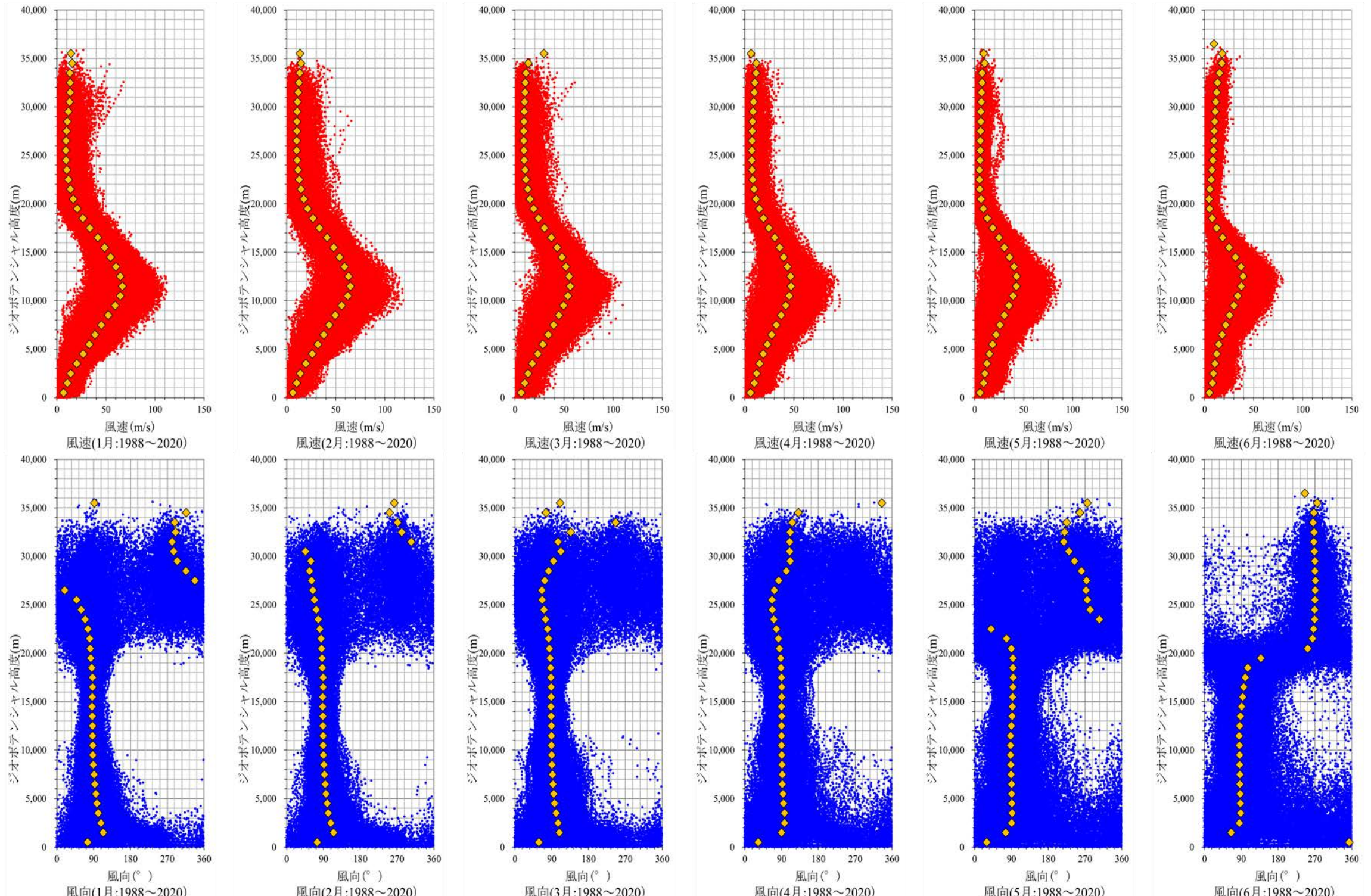


3.1.2.2 降下火碎物シミュレーション－気象データ(米子・松江)－

- 気象庁のWEBより取得した米子及び松江の気象データ(1988年～2020年の期間における風速・風向の定時観測データ)を以下に示す。米子は1988年から2010年2月、松江は2010年3月から2020年までのデータを用いている。風速・風向の月別平均値の算出にあたっては、1日2回の定時観測データを全て用いた。
- 風速は、各月とも高度約12kmで最大となり、夏季に小さくなる傾向がある。風向は、年間を通じて高度約20km以下では西風が卓越し、20km以上では月によってばらつきがあり、6月～9月では東風が卓越する。

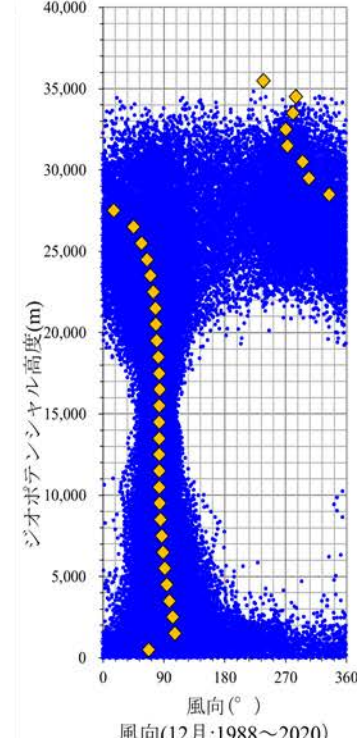
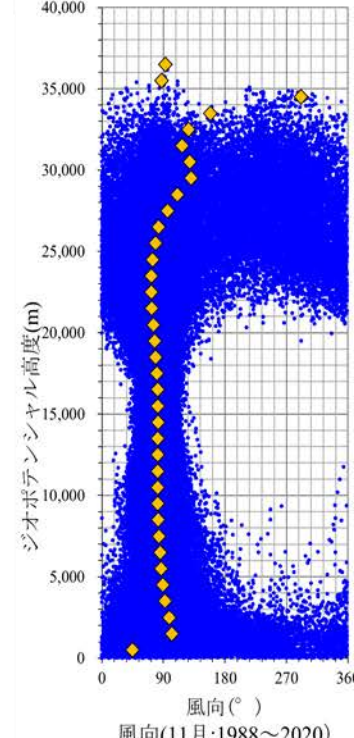
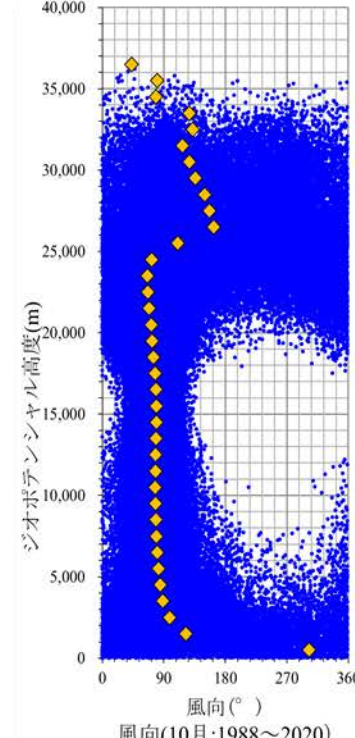
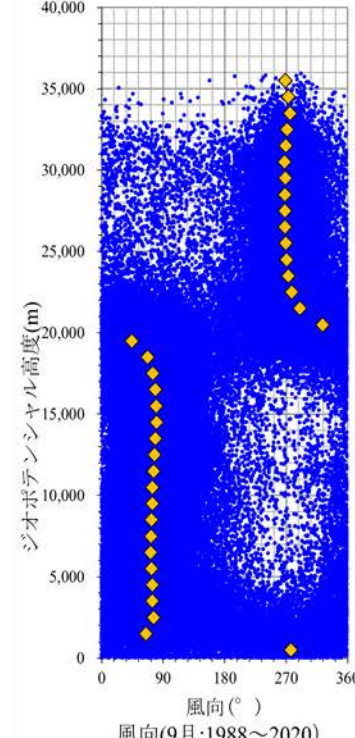
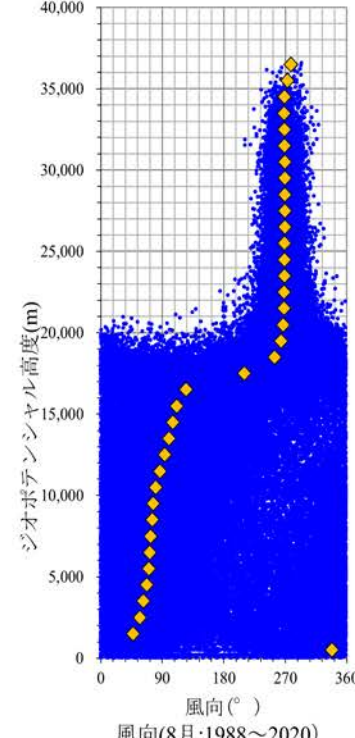
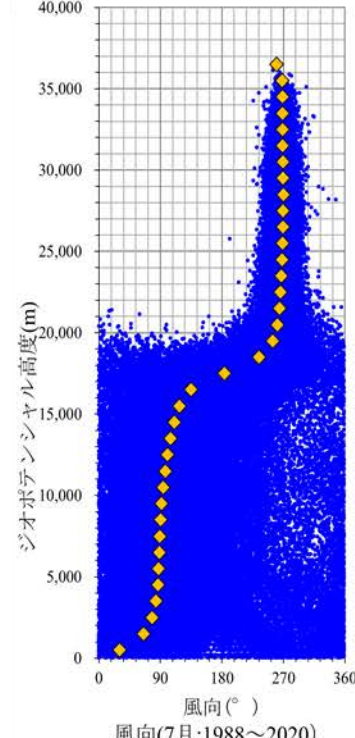
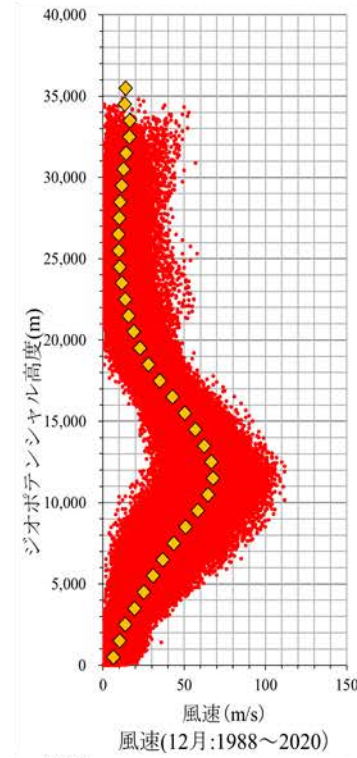
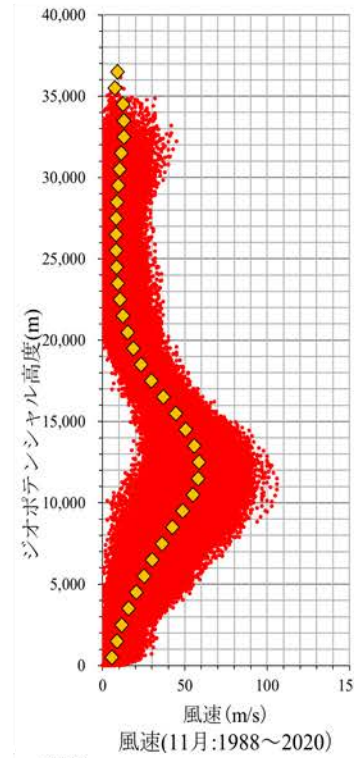
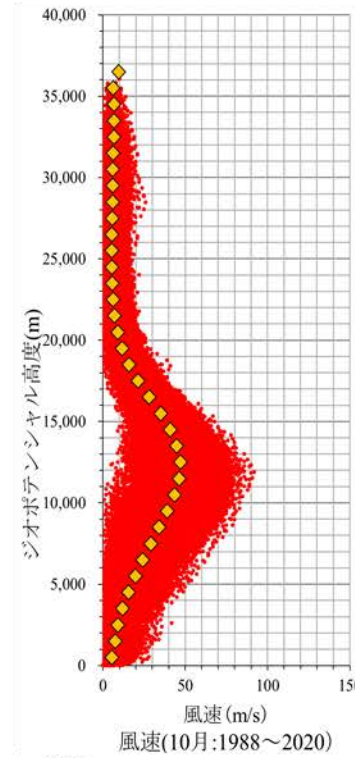
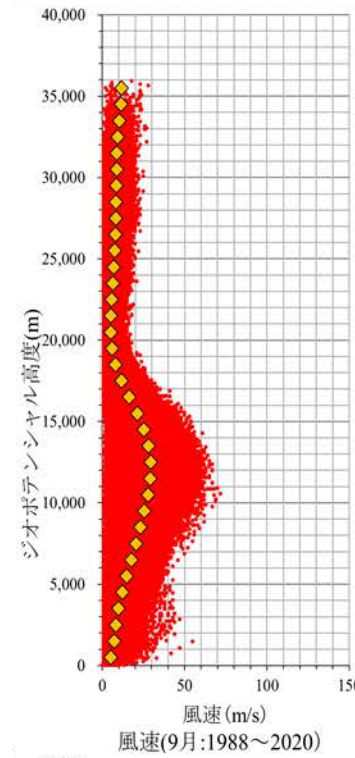
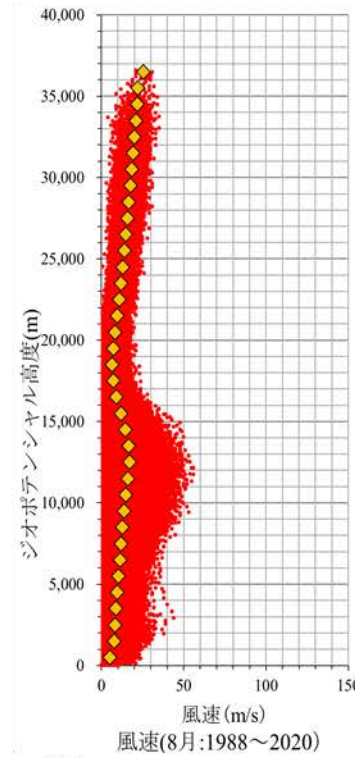
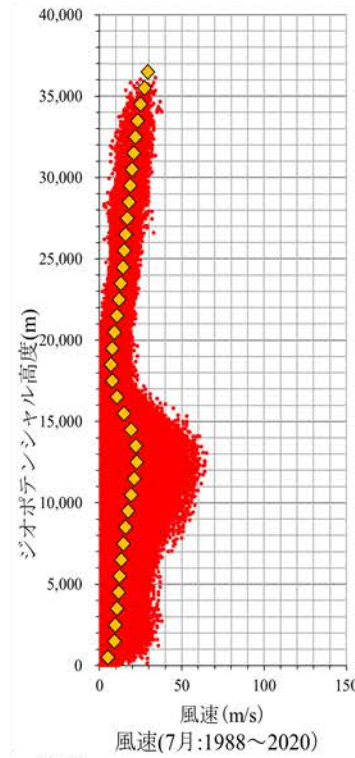
【1～6月】

・ 定時観測（風速） · 定時観測（風向） ♦ 平均値



【7～12月】

・ 定時観測（風速） · 定時観測（風向） ◆ 平均値



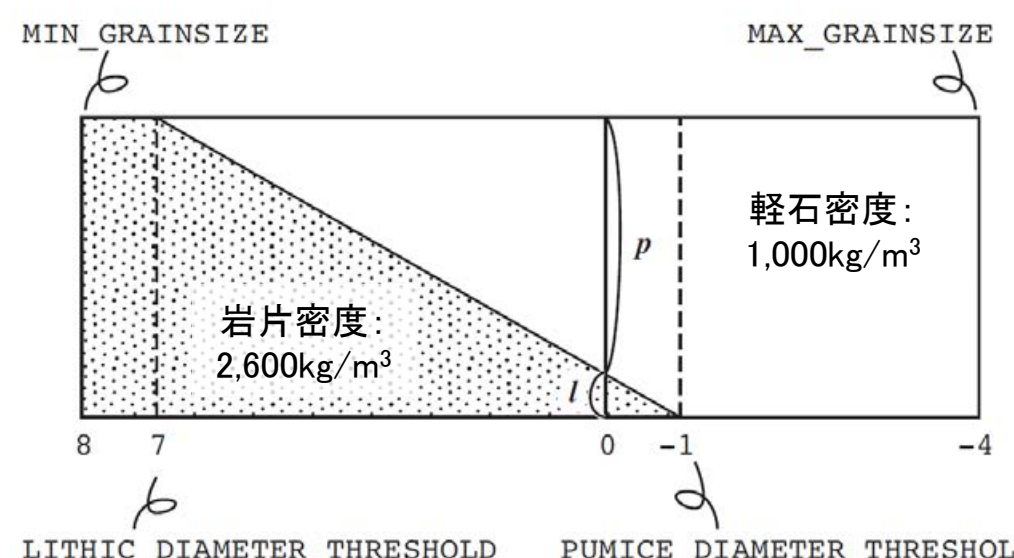
【風向】
 0° : 南風
 90° : 西風
 180° : 北風
 270° : 東風
 (360° : 南風)

3.1.2.2 降下火碎物シミュレーション –噴煙柱高度及び密度–

- 降下火碎物シミュレーションに用いる噴煙柱高度は、町田・新井(2011)を参考に、噴出規模(火山爆発指数：VEI)に応じた噴煙柱高度を設定した。
 - また、岩片密度及び軽石密度は、Tephra2のconfigfileに示された一般値を使用した。

【噴煙柱高度】

【密度】



Tephra2 では LITHIC_DIAMETER_THRESHOLD よりも小さい粒径では全てが岩片, PUMICE_DIAMETER_THRESHOLD より大きい粒径では全てが軽石とされ, それぞれ指定された密度が適用される. 両 threshold の間では, 岩片と軽石はそれぞれ図中 l と ρ のように比例配分され, 平均の密度がその径の粒子の密度とされる.

Tephra2で用いられる粒子密度の概念図 (萬年(2013)に一部加筆)

3. 火山事象の影響評価

3.1 降下火碎物の影響評価

3.1.1 文献・地質調査に基づく評価

3.1.1.1 降下火碎物に関する文献・地質調査

- (1) 文献調査(等層厚線図)
- (2) 文献調査(地質調査結果)
- (3) 降下火碎物に関する当社地質調査
- (4) 調査結果まとめ

3.1.1.2 紙源火山における同規模噴火の可能性の検討

3.1.1.3 評価まとめ

3.1.2 降下火碎物シミュレーションによる評価

3.1.2.1 シミュレーションを実施する降下火碎物の選定

- (1) 分布実績に基づく降下火碎物の選定
- (2) 地理的領域内の火山による降下火碎物の選定
- (3) 地理的領域外の火山による降下火碎物の選定
- (4) 選定結果まとめ

3.1.2.2 降下火碎物シミュレーション

- (1) 白山(南竜火山灰)
- (2) 立山(立山DテフラA, Cユニット)
- (3) 御嶽山(御嶽伊那テフラ)
- (4) 鬱陵島(鬱陵隠岐テフラ)
- (5) 大山(大山生竹テフラ)

3.1.2.3 評価まとめ

3.1.3 降下火碎物の密度及び粒径

3.1.4 降下火碎物の影響評価まとめ

3.2 降下火碎物以外の火山事象の影響評価

3.1.2.2(1) 白山(南竜火山灰) -入力パラメータ-

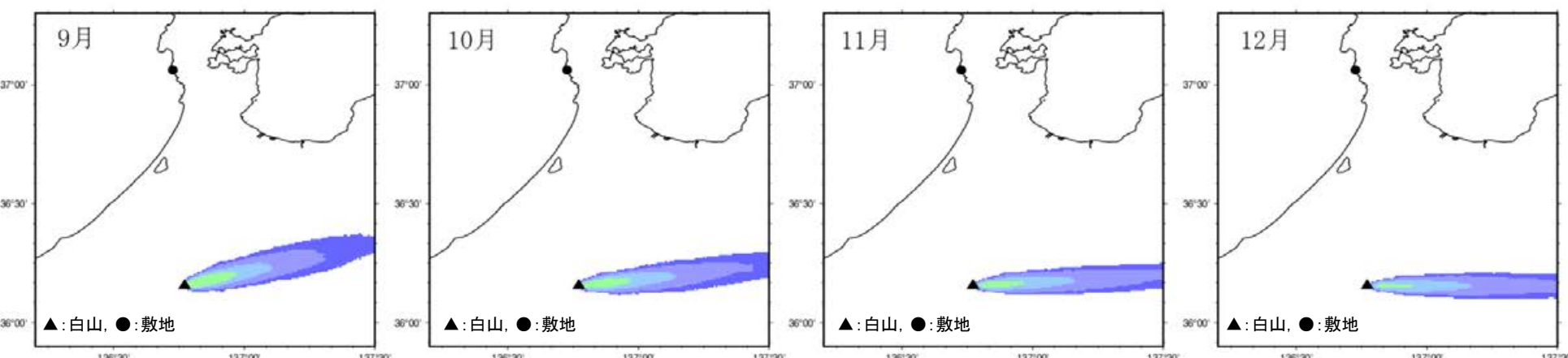
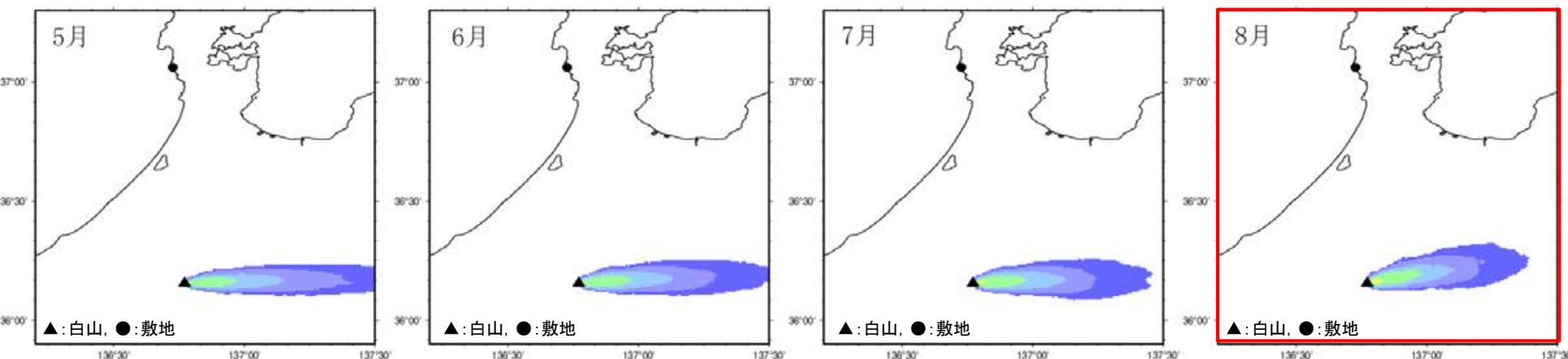
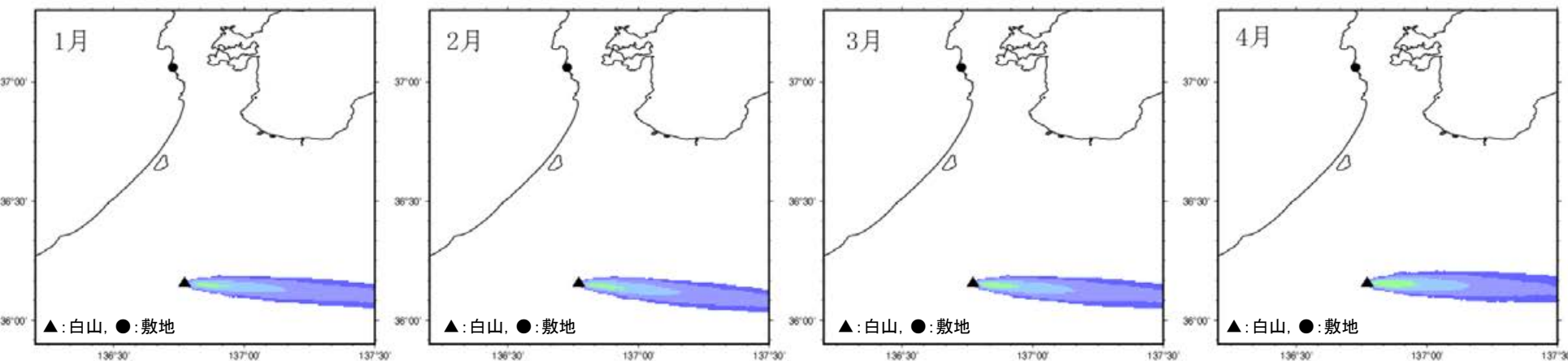
○白山(南竜火山灰)について、文献等の情報に基づき、以下のとおり入力パラメータ値を設定した。

降下火碎物	パラメータ	単位	設定値	設定根拠等
白山 (南竜火山灰)	給源	X(東距)	m	659, 351
		Y(北距)	m	4, 002, 600
		標高	m	2, 702
	噴出量	kg	1.125×10^{11}	<ul style="list-style-type: none"> ・見かけ体積 (0.1125km^3 : VEI4規模) × 堆積物密度 (1.0g/cm^3) -見かけ体積：マグマ噴出量(DRE : 0.045km^3) × マグマ密度(2.5g/cm^3) / 堆積物密度(1.0g/cm^3) -マグマ噴出量(DRE)：田島ほか(2005) -マグマの密度・堆積物密度：地質調査総合センター編 (2021b)
	噴煙柱高度	m	10, 000	町田・新井(2011)を参考に設定
	噴煙柱分割高さ	m	約100	萬年(2013)より設定
	粒径	最大	mm (Φ)	1, 024 (-10) Tephra2のconfigfileに示された珪長質噴火の一般値
		最小	mm (Φ)	1/1, 024 (10) Tephra2のconfigfileに示された珪長質噴火の一般値
		中央	mm (Φ)	1/16 (4.0) Tephra2のconfigfileに示されたVEI3及びVEI5の事例を参考に設定
		標準偏差	mm (Φ)	Tephra2のconfigfileに示されたVEI3及びVEI5の事例を参考に設定
	岩片密度	kg/m ³	2, 600	Tephra2のconfigfileに示された一般値
	軽石密度	kg/m ³	1, 000	Tephra2のconfigfileに示された一般値
	見かけの渦拡散係数	m ² /s	0. 04	萬年(2013)より設定
	拡散係数	m ² /s	2, 500	萬年(2013)を参考に設定
	Fall Time Threshold	s	3, 600	萬年(2013)より設定
	Plume Ratio	-	0. 1	Tephra2のconfigfileに示された事例を参考に設定
	気象データ (高度・風速・風向)	-	-	<ul style="list-style-type: none"> ・輪島特別地域気象観測所(旧輪島測候所)における高層気象観測記録(9時, 21時の風速・風向データ) ・データ取得期間：1988年1月1日～2020年12月31日 (データ取得日：2021年1月5日)

3.1.2.2(1) 白山(南竜火山灰) — 基本ケース —

- 南竜火山灰を対象として、輪島での風速・風向データ(月別平均値)を用いて降下火碎物シミュレーションを実施した結果、敷地における降下火碎物の層厚はいずれも0.01cm未満となった。
- このうち、敷地における層厚(降灰量)が最大となるのは、8月である※。

※敷地の層厚は、いずれの月も0.01cm未満であるが、堆積重量は8月が最大となる。



<シミュレーション結果(基本ケース)>

月	敷地の降灰量	
	層厚 (cm)	堆積重量 (kg/m ²)
1月	0.01cm未満	1.7×10^{-3}
2月	0.01cm未満	1.8×10^{-3}
3月	0.01cm未満	2.3×10^{-3}
4月	0.01cm未満	4.7×10^{-3}
5月	0.01cm未満	9.1×10^{-3}
6月	0.01cm未満	1.8×10^{-2}
7月	0.01cm未満	2.0×10^{-2}
8月	0.01cm未満	3.5×10^{-2}
9月	0.01cm未満	2.3×10^{-2}
10月	0.01cm未満	9.7×10^{-3}
11月	0.01cm未満	4.3×10^{-3}
12月	0.01cm未満	2.1×10^{-3}

□ 敷地における層厚(降灰量)が最大となる月

凡例
~1cm
1cm~2cm
2cm~5cm
5cm~10cm
10cm~25cm
25cm~50cm
50cm~100cm
100cm~200cm
200cm~

3.1.2.2(1) 白山(南竜火山灰) —考慮する不確かさ—

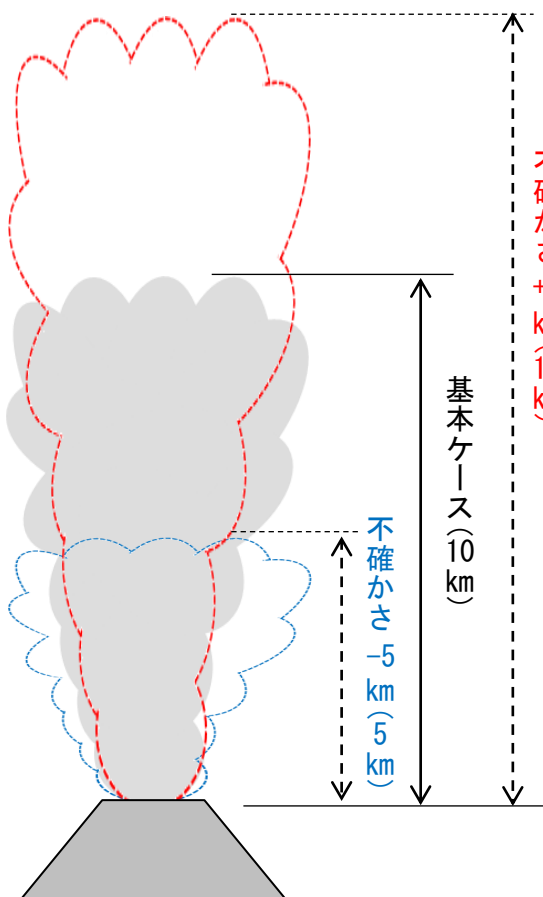
- 「基本ケース」で敷地における層厚が最大となる月(8月)を対象に、不確かさを考慮したシミュレーションを実施する。
- 8月の気象データを用いて、噴煙柱高度、風速及び風向の不確かさを考慮する。

<基本ケース（最大月8月）>

- ・噴煙柱高度10km
- ・8月の平均風速・風向

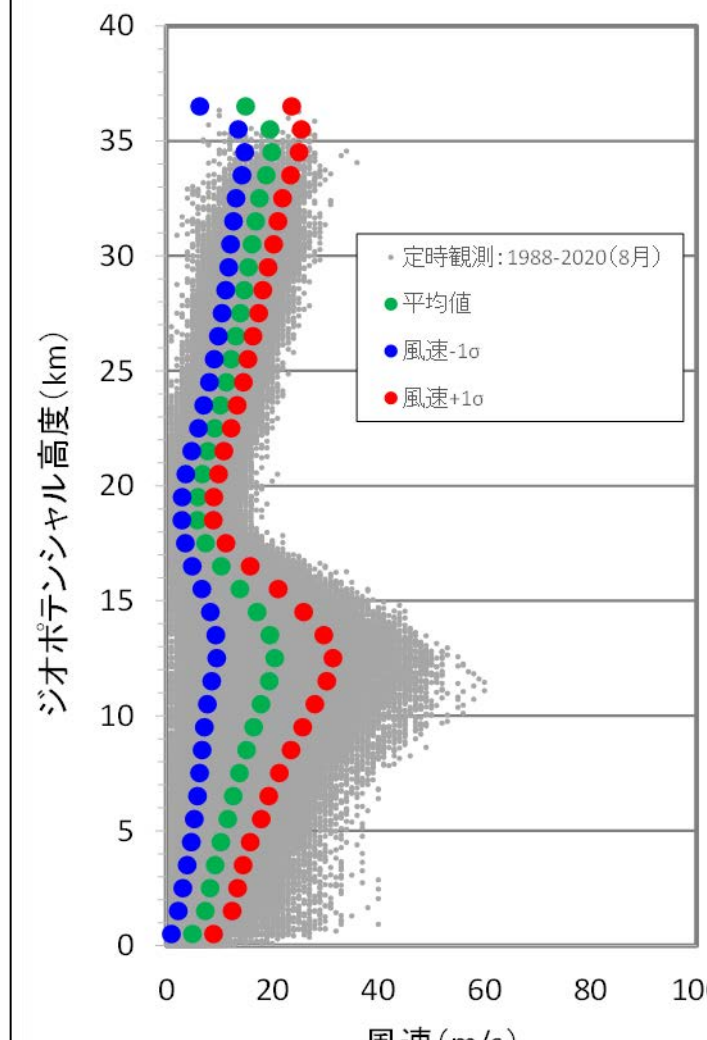
噴煙柱高度の不確かさ

基本ケース(10km)に対して
±5kmを考慮する。



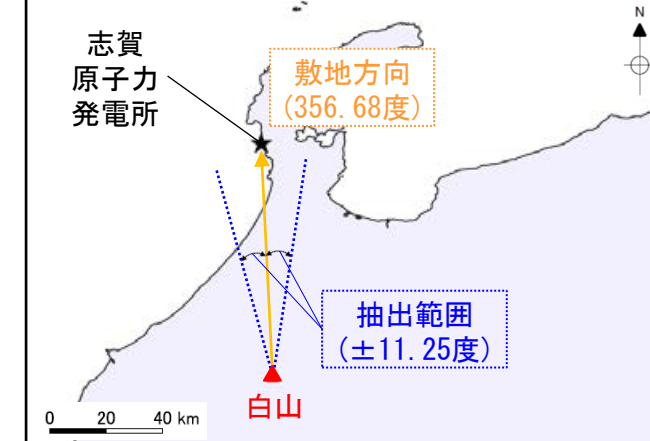
風速の不確かさ

基本ケース(平均風速)に対して
±1σ(標準偏差)を考慮する。

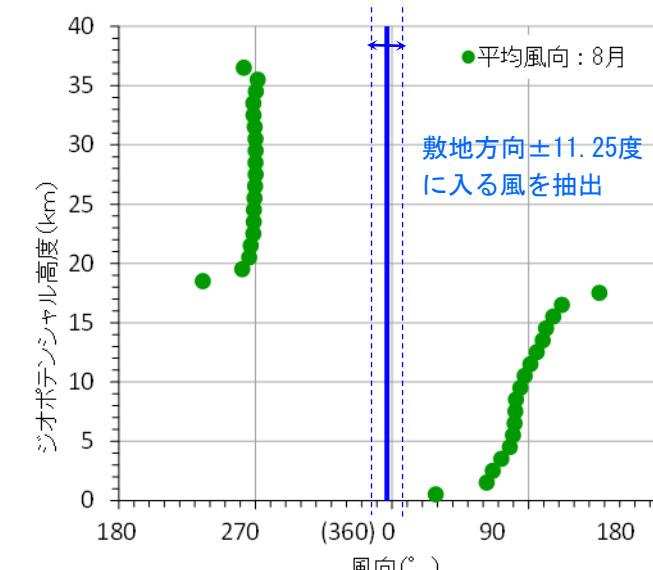


風向の不確かさ

基本ケース(平均風向)に対して
敷地方向の風を考慮する。



8月の観測記録のうち、風向の平均値が敷地方向(356.68度)
から16方位の1方位分の角度(±11.25度)に入る風を抽出し、
敷地方向の風を設定

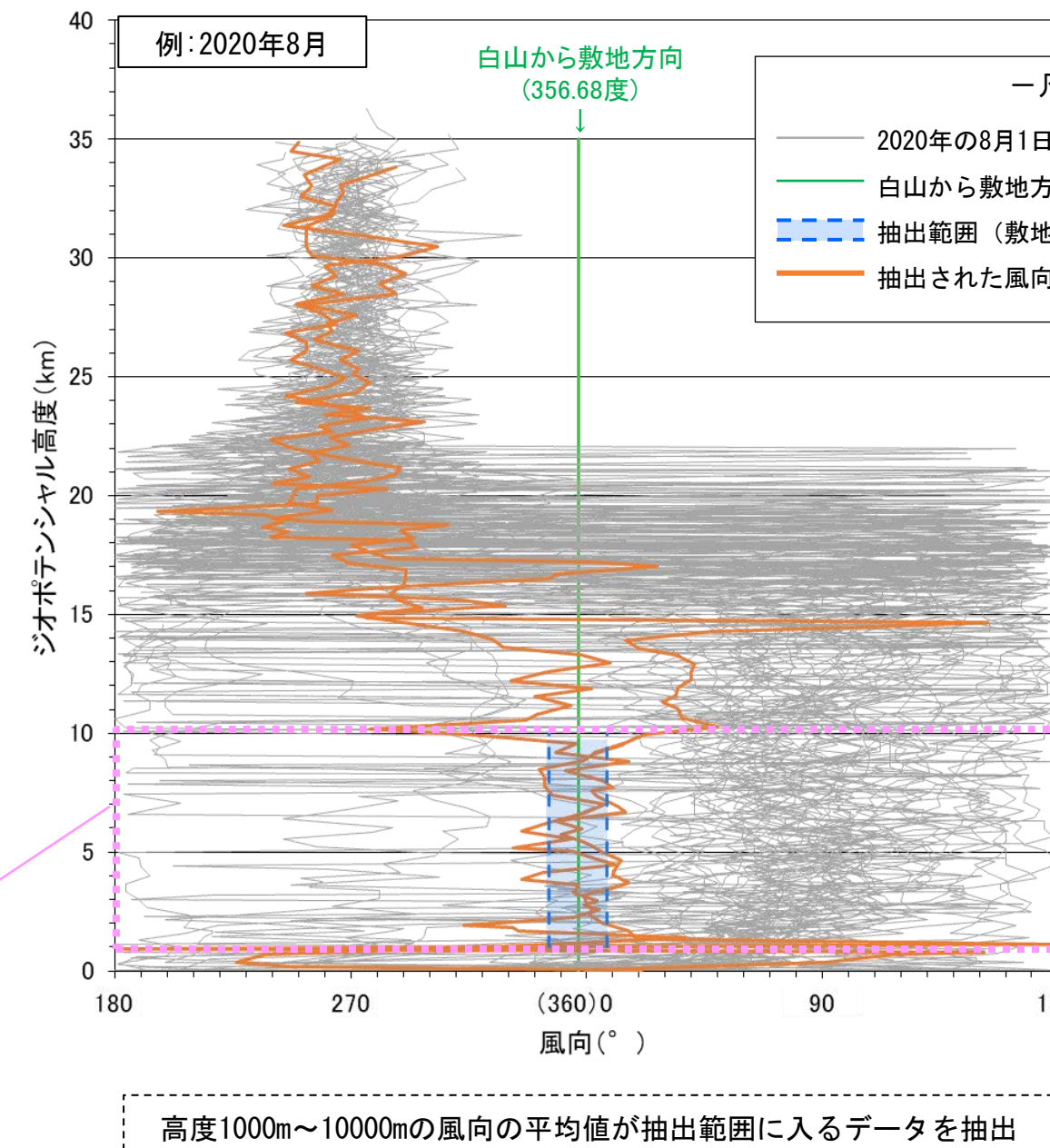
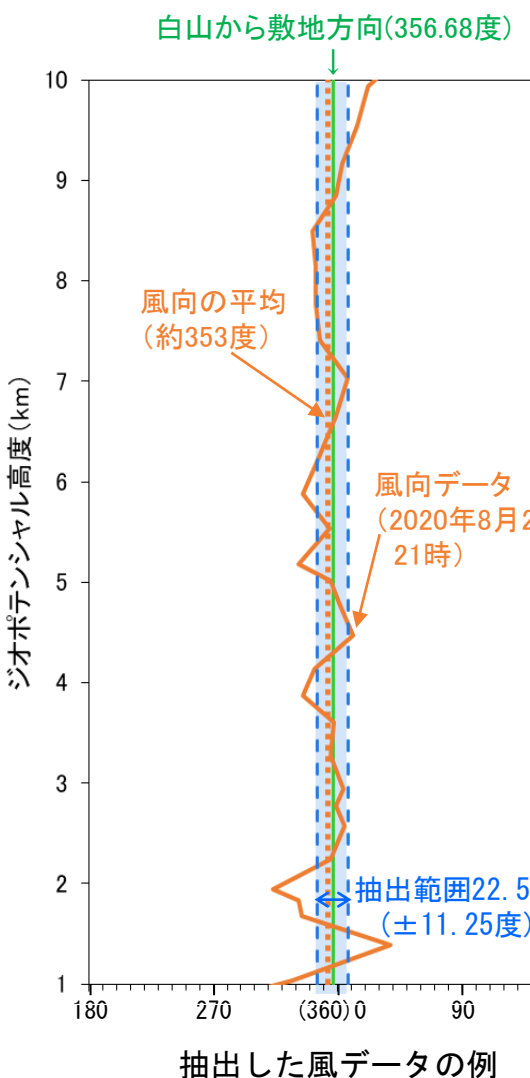
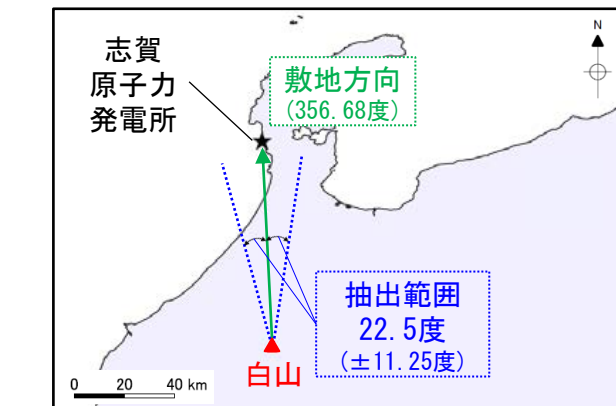


【敷地方向の風の作成方法】

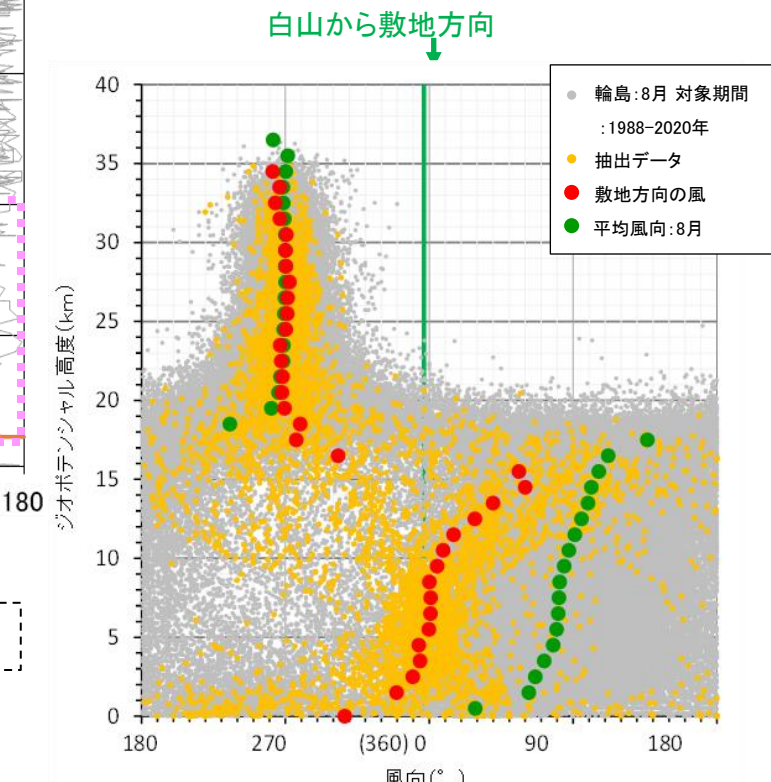
○日々の観測データのうち、敷地方向に向かう風として、高度1000m～10000m※の風向の平均値が給源火山から敷地方向の方位角を中心に22.5度(±11.25度)の範囲に入るデータを抽出する。抽出した風を用いて、高度1000m毎に合成し、敷地方向の風を作成する。

※対象とする高度は各シミュレーションでの噴煙柱高度を考慮して設定。

＜敷地方向に向かう風を抽出＞



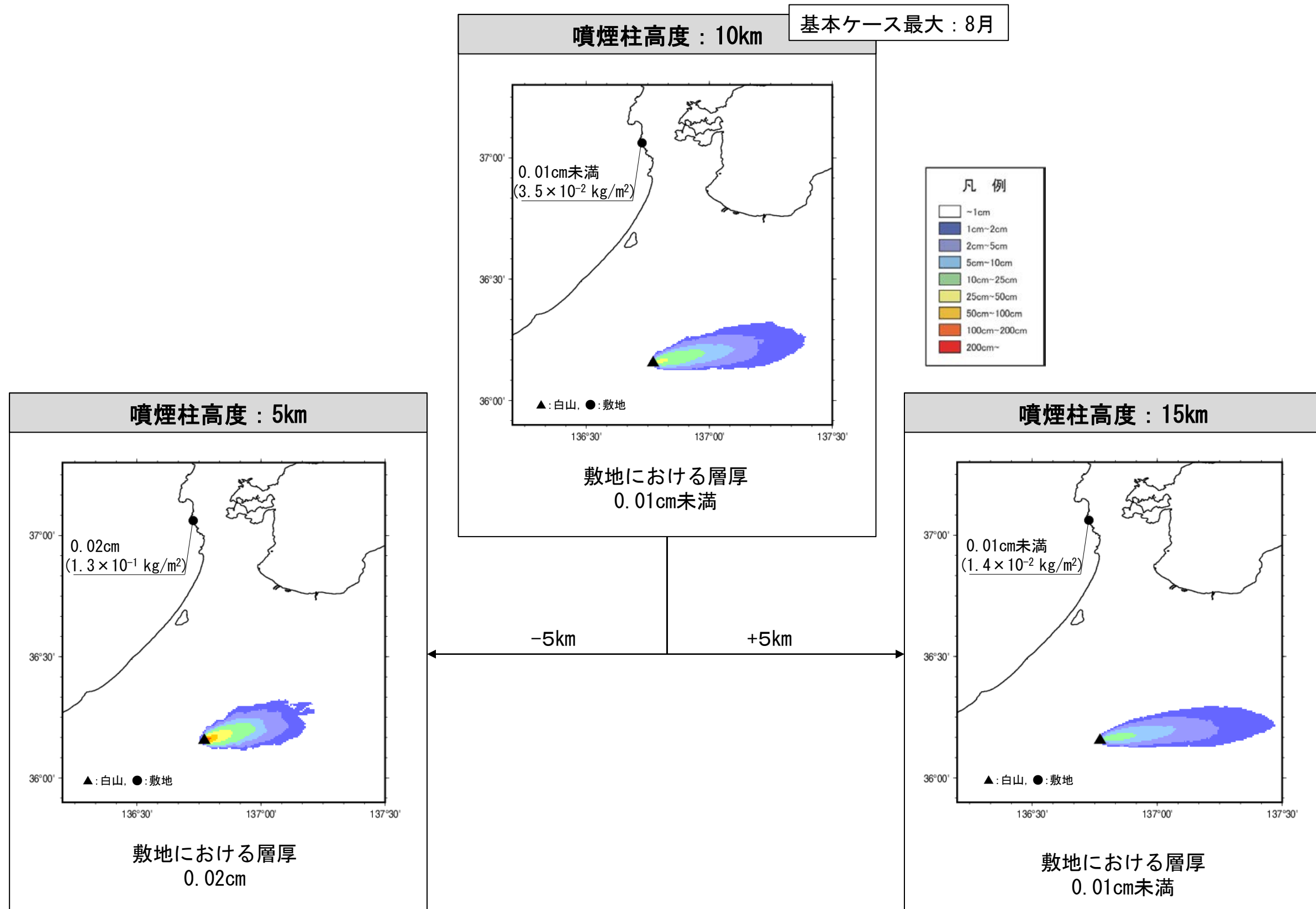
＜敷地方向の風を作成＞



抽出した風データを合成し
敷地方向の風を作成

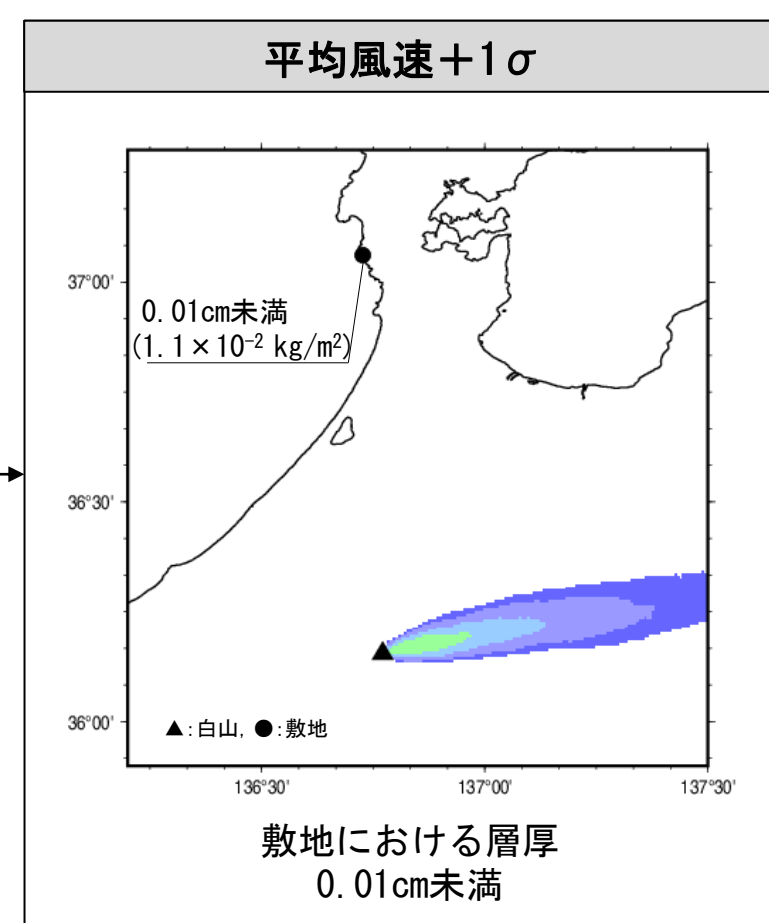
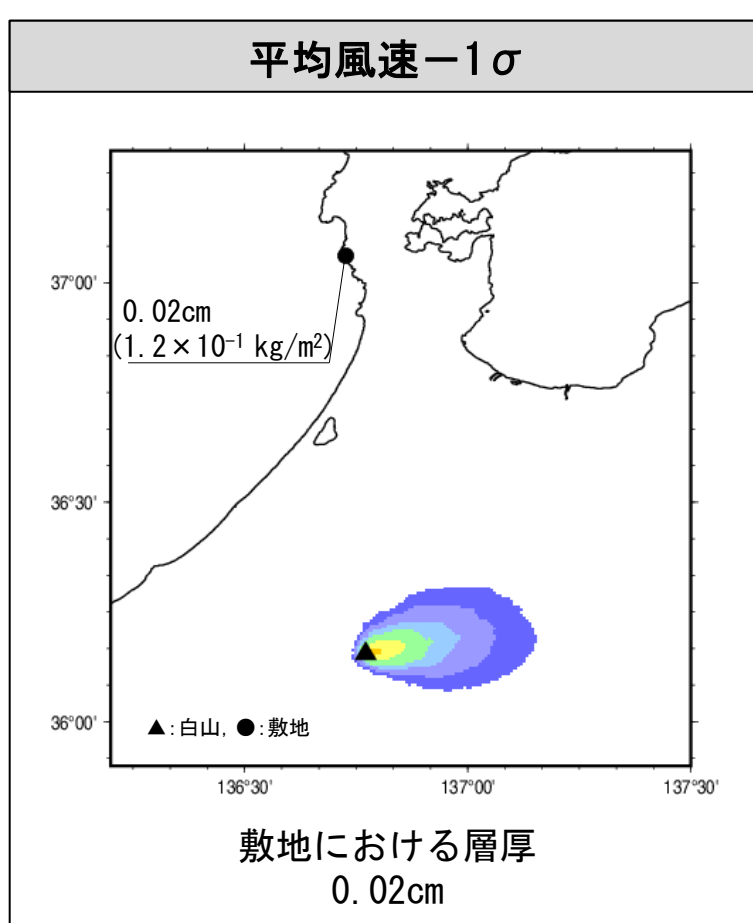
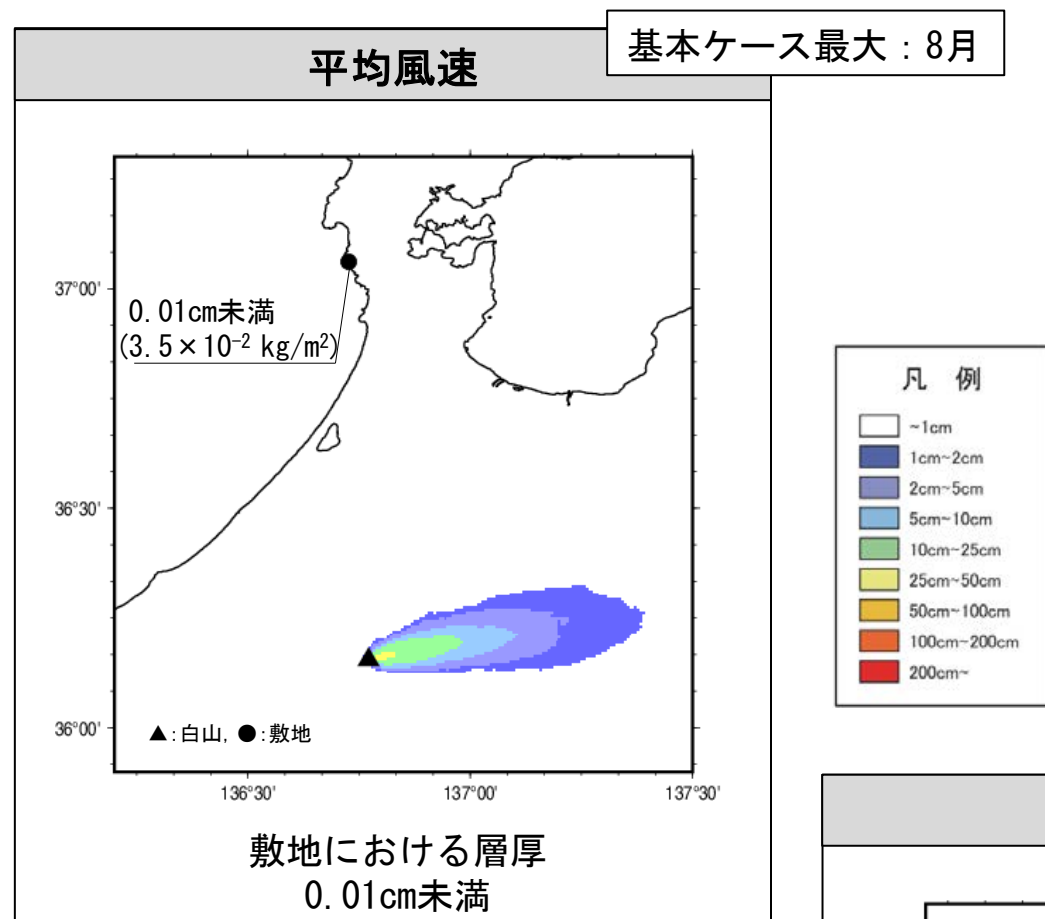
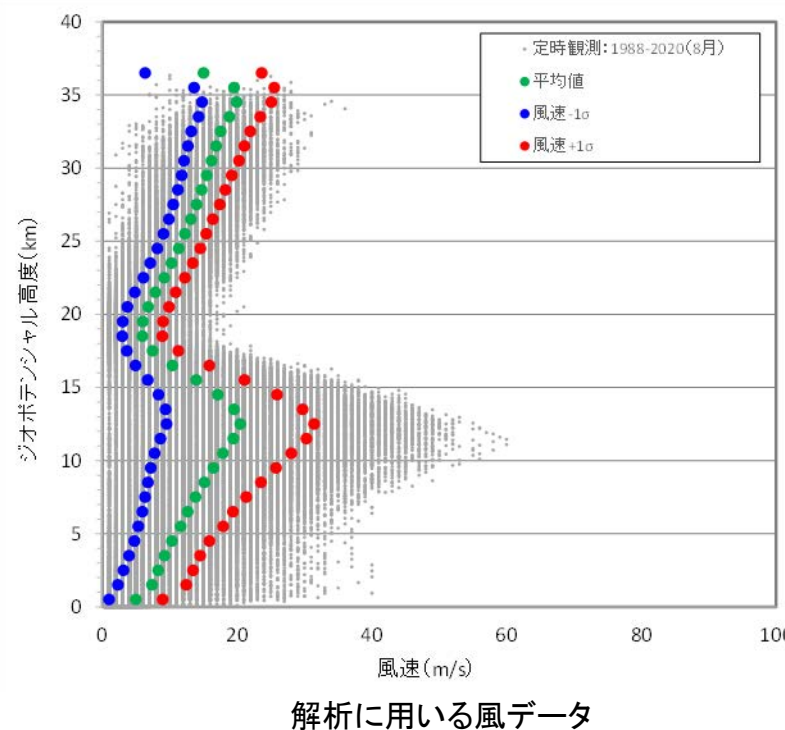
3.1.2.2(1) 白山(南竜火山灰) -不確かさケース(噴煙柱高度)-

○基本ケースのうち敷地における層厚が最大となった8月のケースを対象に、噴煙柱高度の不確かさとして、基本ケースの噴煙柱高度10kmに対して±5kmを考慮したシミュレーションを実施した結果、噴煙柱高度を5kmとしたケースで、敷地における層厚が0.02cmとなつた。



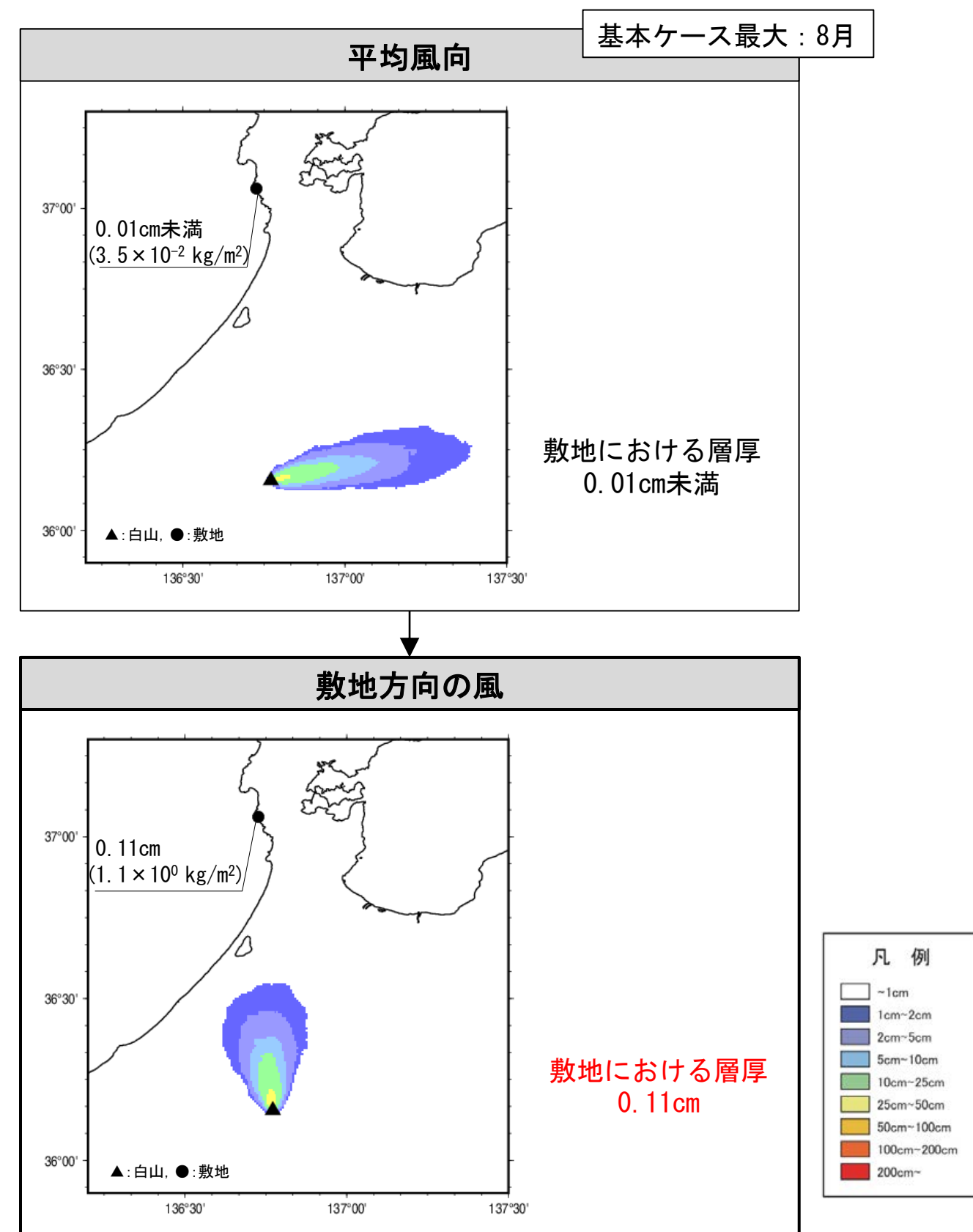
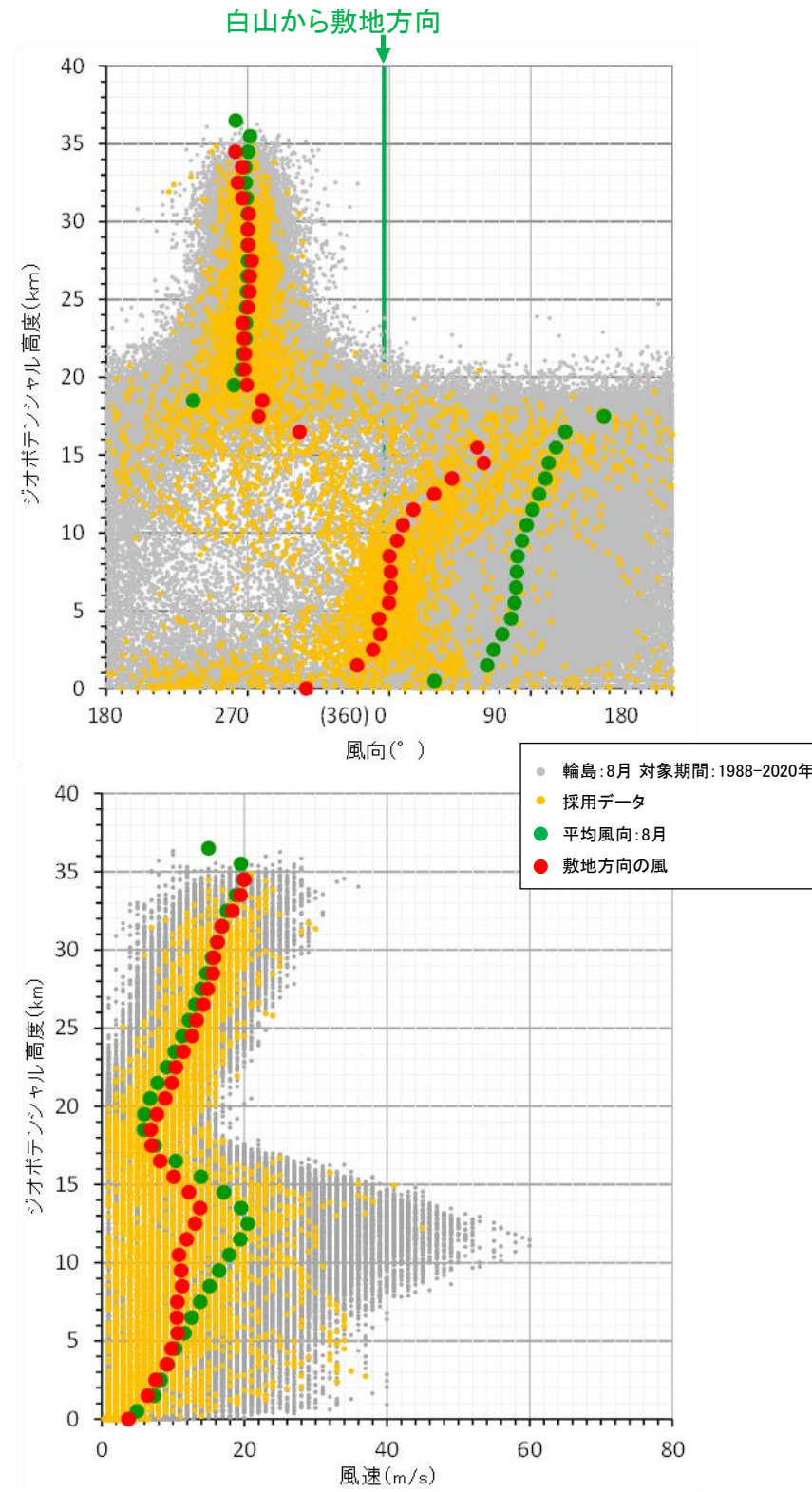
3.1.2.2(1) 白山(南竜火山灰) –不確かさケース(風速)–

○基本ケースのうち敷地における層厚が最大となった8月のケースを対象に、風速の不確かさとして、8月の平均風速に対して $\pm 1\sigma$ の風速を考慮したシミュレーションを実施した結果、平均風速 $\pm 1\sigma$ としたケースで、敷地における層厚が0.02cmとなった。



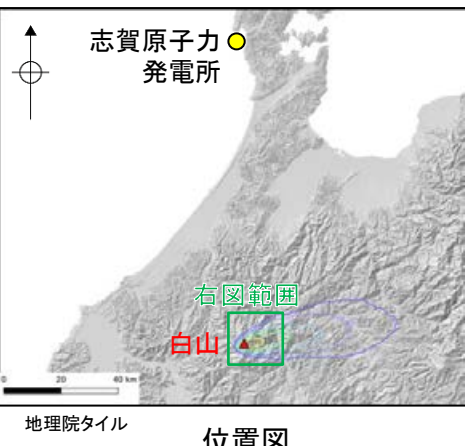
3.1.2.2(1) 白山(南竜火山灰)－不確かさケース(風向)－

○基本ケースのうち敷地における層厚が最大となった8月のケースを対象に、風向の不確かさとして、8月の観測値を用いて敷地方向の風を作成し、シミュレーションを実施した結果、敷地における層厚が0.11cmとなった。

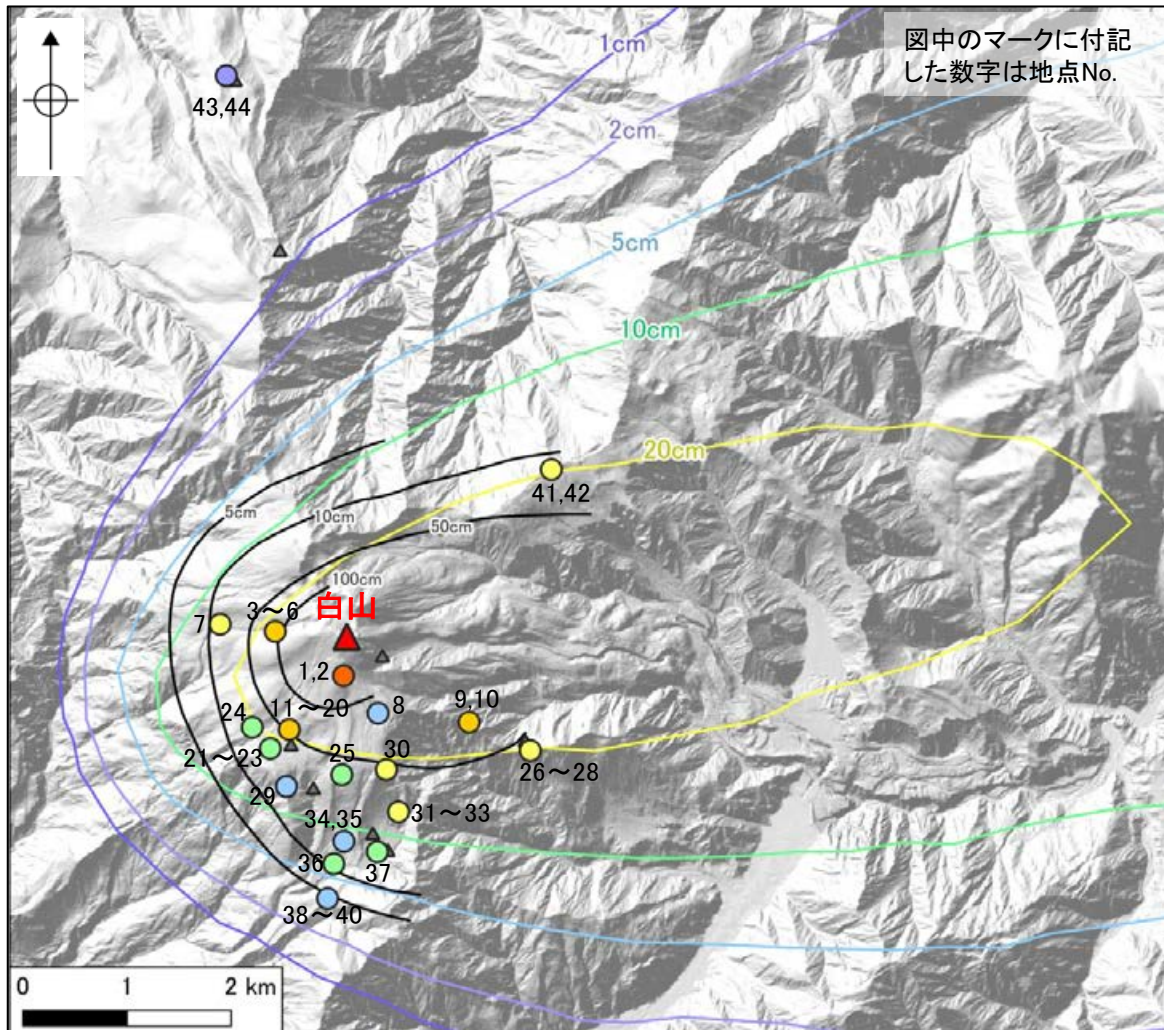


3.1.2.2(1) 白山(南竜火山灰) —シミュレーション結果と文献の比較—

- シミュレーション結果と文献で示される南竜火山灰の層厚を比較し、シミュレーションの妥当性を確認した。
- シミュレーション結果(基本ケース、8月)を山頂方向に平行移動で微調整した分布と、文献による各地点の実績層厚及び高柳・守屋(1991)による南竜火山灰の等層厚線を比較した結果、文献による層厚が白山周辺に限られるものの、シミュレーション結果と文献による層厚分布が概ね整合的であった。
- よって、白山(南竜火山灰)を対象とした降下火碎物シミュレーションは妥当と評価した。



<凡例>	
【文献による層厚】	
・各地点の実績層厚T (最大層厚、cm)	
● 2 < T ≤ 5	
● 5 < T ≤ 10	
● 10 < T ≤ 20	
● 20 < T ≤ 50	
● 50 < T ≤ 100	
● 100 < T ≤ 200	
△ 文献中に層厚が明記されていないものの、南竜火山灰層が確認された地点	
・等層厚線図	
—— 高柳・守屋(1991)の南竜火山灰層(Hm=10)の等層厚線図	
【シミュレーション結果】	
基本ケース(8月)のシミュレーション結果を山頂方向に平行移動	
—— 1cm	
—— 2cm	
—— 5cm	
—— 10cm	
—— 20cm	



文献で示される南竜火山灰層の層厚の
詳細については、[補足資料5\(1\)](#)

<文献による各地点の実績層厚>

地点No.	地点名	層厚	文献	地点No.	地点名	層厚	文献
1	室堂	>150cm	*1	24	水屋尻沢下流部	15cm	*1
2		>29cm		25	トンビ岩コース北方	14cm	
3		>20cm		26	大倉山 避難小屋付近	44cm	
4		>20cm		27		49cm	
5		100cm		28	エコーライン	14~20cm	*4
6		>20cm		29		>5cm	*1
7		27cm		30		32cm以上	*5
8		>7cm		31	展望歩道 周辺	>10cm	*1
9		51cm		32		31cm	
10		56cm		33		10cm	*6
11	千蛇ヶ池 周辺	>5cm	*1	34	トンビ岩 コース	3cm	*1
12		>7cm		35		10cm	
13		75cm		36	南竜ヶ馬場	15cm	
14		40cm		37		15~20cm	*3
15		13cm		38	南竜ヶ馬場 南方	6cm	*1
16		40cm以上	*2	39		4cm	
17		5~11cm	*3	40		4cm	*1
18		5~11cm		41	北弥陀ヶ原	>3cm	
19		39cm		42		23cm	
20	弥陀ヶ原～ 五葉坂周辺	29cm	*1	43	小桜平 ヒュッテ北方	5cm	*3
21		20cm前後		44		5cm	
22		7cm					
23		10cm					

*1:高柳・守屋(1991), *2:高橋・小林(2000),

*3:遠藤(1985), *4:酒寄ほか(2018),

*5:酒寄ほか(2003), *6:東野・酒寄(2007)

3. 火山事象の影響評価

3.1 降下火碎物の影響評価

3.1.1 文献・地質調査に基づく評価

3.1.1.1 降下火碎物に関する文献・地質調査

- (1) 文献調査(等層厚線図)
- (2) 文献調査(地質調査結果)
- (3) 降下火碎物に関する当社地質調査
- (4) 調査結果まとめ

3.1.1.2 紙源火山における同規模噴火の可能性の検討

3.1.1.3 評価まとめ

3.1.2 降下火碎物シミュレーションによる評価

3.1.2.1 シミュレーションを実施する降下火碎物の選定

- (1) 分布実績に基づく降下火碎物の選定
- (2) 地理的領域内の火山による降下火碎物の選定
- (3) 地理的領域外の火山による降下火碎物の選定
- (4) 選定結果まとめ

3.1.2.2 降下火碎物シミュレーション

- (1) 白山(南竜火山灰)
- (2) 立山(立山DテフラA, Cユニット)
- (3) 御嶽山(御嶽伊那テフラ)
- (4) 鬱陵島(鬱陵隠岐テフラ)
- (5) 大山(大山生竹テフラ)

3.1.2.3 評価まとめ

3.1.3 降下火碎物の密度及び粒径

3.1.4 降下火碎物の影響評価まとめ

3.2 降下火碎物以外の火山事象の影響評価

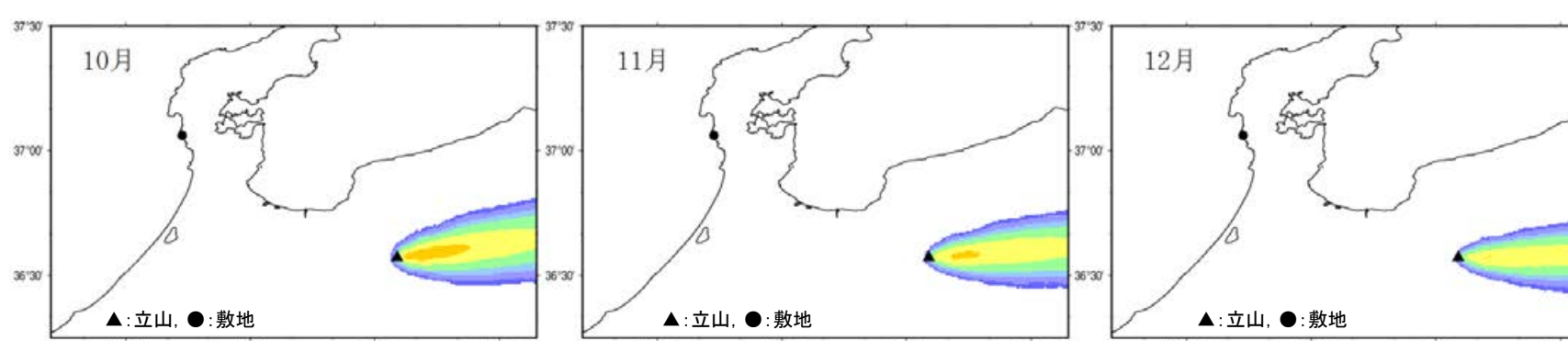
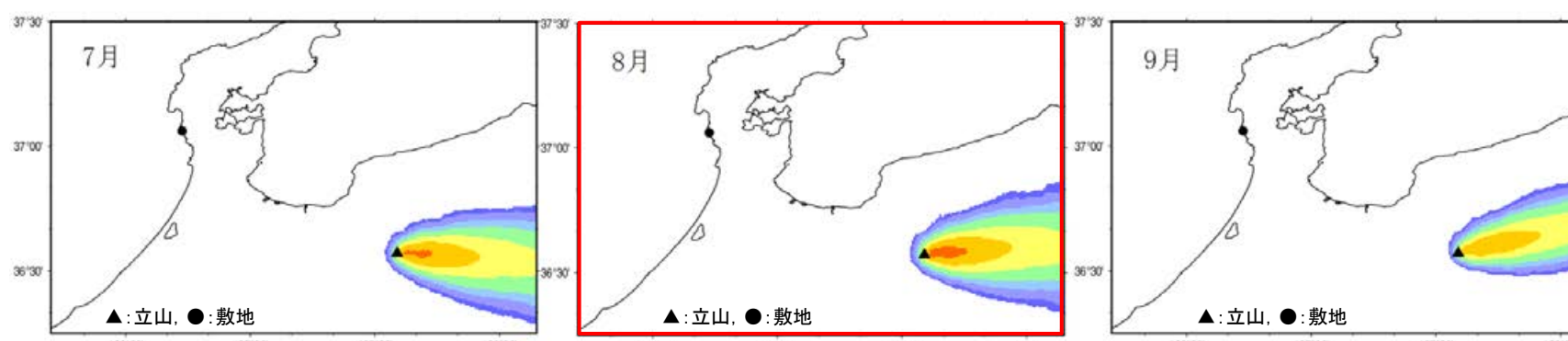
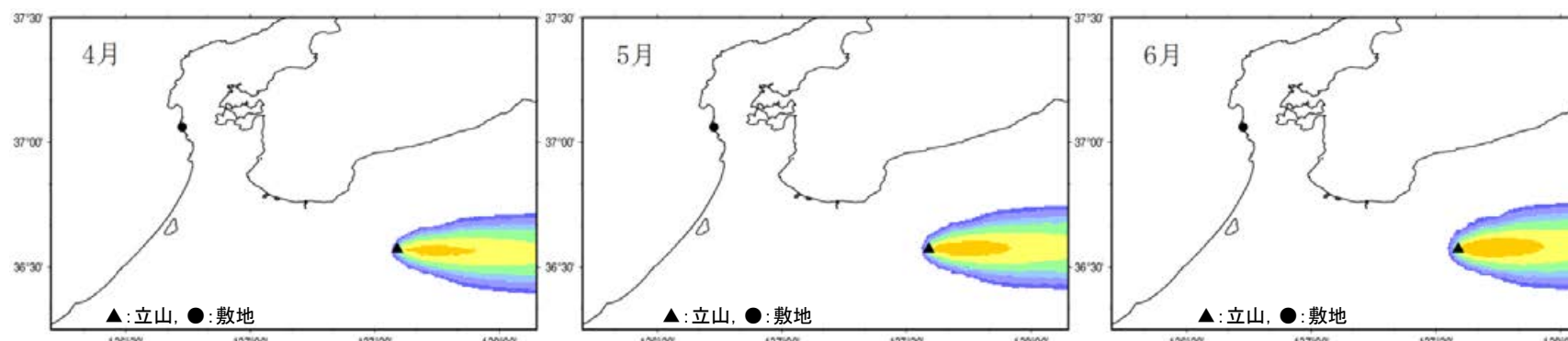
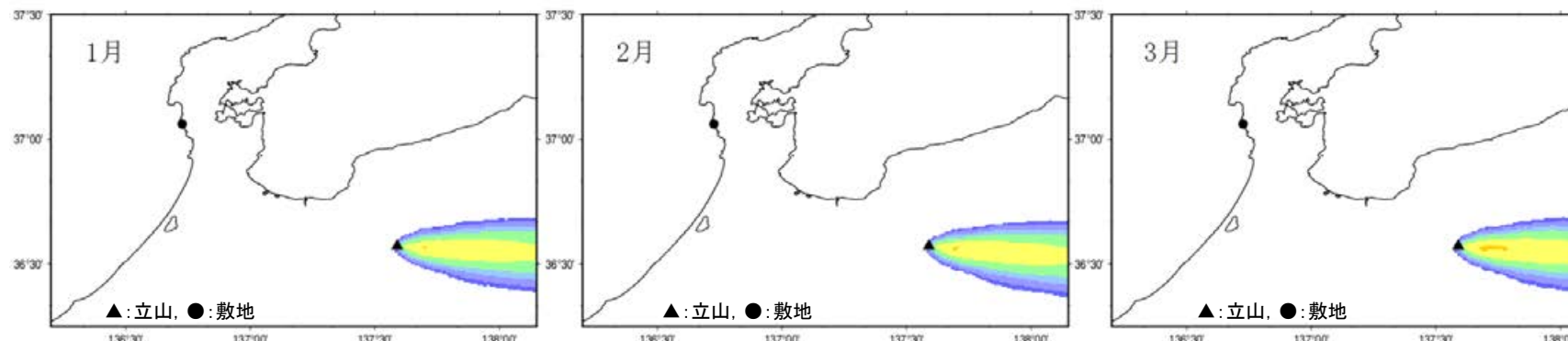
3.1.2.2(2) 立山(立山DテフラA,Cユニット) -入力パラメーター-

○立山(立山DテフラA,Cユニット)について、文献等の情報に基づき、以下のとおり入力パラメータ値を設定した。

降下火碎物	パラメータ	単位	設定値	設定根拠等
立山 (立山Dテフラ A,Cユニット)	給源	X(東距)	m	731,738
		Y(北距)	m	4,050,431
		標高	m	2,621
	噴出量	kg	3.1×10^{12}	地質調査総合センター編(2023)を参考に、国見岳の最高点の位置及び標高を設定 ・見かけ体積(3.1km ³ : VEI5規模) × 堆積物密度(1.0g/cm ³) -見かけ体積：及川(2003)の立山Dテフラ全量のマグマ噴出量(DRE: 4km ³)に、木村(1987)で示された各ユニットの等層厚線図から求めたユニット別の噴出量比率を乗じて算定(P. 131) -堆積物密度：地質調査総合センター編(2021b)
	噴煙柱高度	m	25,000	町田・新井(2011)を参考に設定
	噴煙柱分割高さ	m	約100	萬年(2013)より設定
	粒径	最大	mm (Φ)	1,024 (-10) Tephra2のconfigfileに示された珪長質噴火の一般値
		最小	mm (Φ)	1/1,024 (10) Tephra2のconfigfileに示された珪長質噴火の一般値
		中央	mm (Φ)	1/23 (4.5) Tephra2のconfigfileに示されたVEI5の事例を参考に設定
		標準偏差	mm (Φ)	1/8 (3.0) Tephra2のconfigfileに示されたVEI5の事例を参考に設定
	岩片密度	kg/m ³	2,600	Tephra2のconfigfileに示された一般値
	軽石密度	kg/m ³	1,000	Tephra2のconfigfileに示された一般値
	見かけの渦拡散係数	m ² /s	0.04	萬年(2013)より設定
	拡散係数	m ² /s	10,000	萬年(2013)を参考に設定
	Fall Time Threshold	s	3,600	萬年(2013)より設定
	Plume Ratio	-	0.1	Tephra2のconfigfileに示された事例を参考に設定
	気象データ (高度・風速・風向)	-	-	・輪島特別地域気象観測所(旧輪島測候所)における高層気象観測記録(9時, 21時の風速・風向データ) ・データ取得期間: 1988年1月1日～2020年12月31日(データ取得日: 2021年1月5日)

3.1.2.2(2) 立山(立山DテフラA,Cユニット) — 基本ケース —

- 立山DテフラA,Cユニットを対象として、輪島での風速・風向データ(月別平均値)を用いて降下火碎物シミュレーションを実施した結果、敷地における降下火碎物の層厚はいずれも0.01cm未満となった。
- このうち、敷地における層厚(降灰量)が最大となるのは、8月※である。

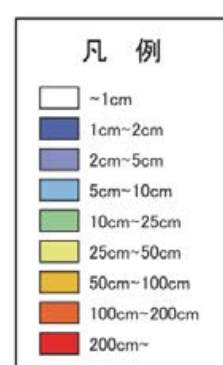


※敷地の層厚は、いずれの月も0.01cm未満であるが、堆積重量は8月が最大となる。

<シミュレーション結果(基本ケース)>

月	敷地の降灰量	
	層厚 (cm)	堆積重量 (kg/m ²)
1月	0.01cm未満	6.2×10^{-5}
2月	0.01cm未満	7.8×10^{-5}
3月	0.01cm未満	1.4×10^{-4}
4月	0.01cm未満	5.3×10^{-4}
5月	0.01cm未満	1.9×10^{-3}
6月	0.01cm未満	7.5×10^{-3}
7月	0.01cm未満	1.3×10^{-2}
8月	0.01cm未満	2.8×10^{-2}
9月	0.01cm未満	5.7×10^{-3}
10月	0.01cm未満	1.5×10^{-3}
11月	0.01cm未満	2.7×10^{-4}
12月	0.01cm未満	6.9×10^{-5}

□ 敷地における層厚(降灰量)が最大となる月



3.1.2.2(2) 立山(立山DテフラA,Cユニット) －考慮する不確かさ－

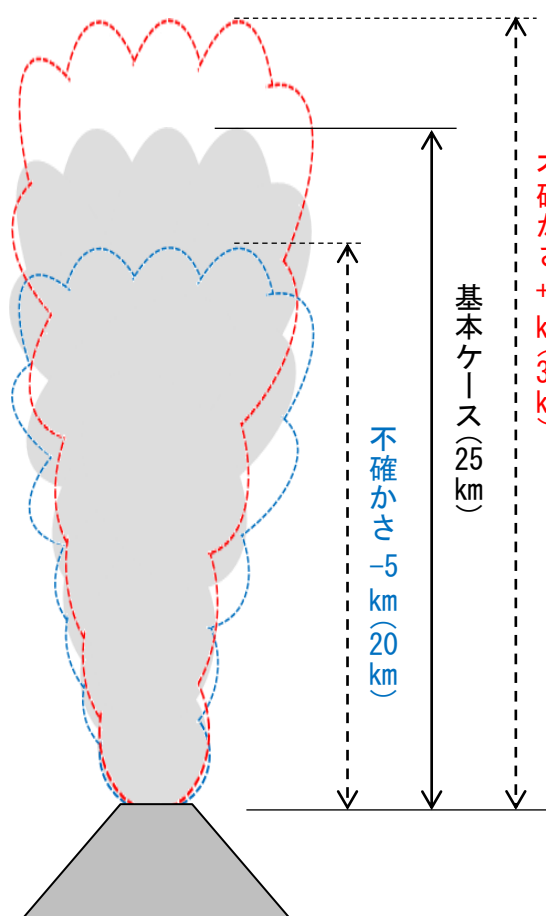
- 「基本ケース」で敷地における層厚が最大となる月(8月)を対象に、不確かさを考慮したシミュレーションを実施する。
- 8月の気象データを用いて、噴煙柱高度、風速及び風向の不確かさを考慮する。

<基本ケース（最大月8月）>

- ・噴煙柱高度25km
- ・8月の平均風速・風向

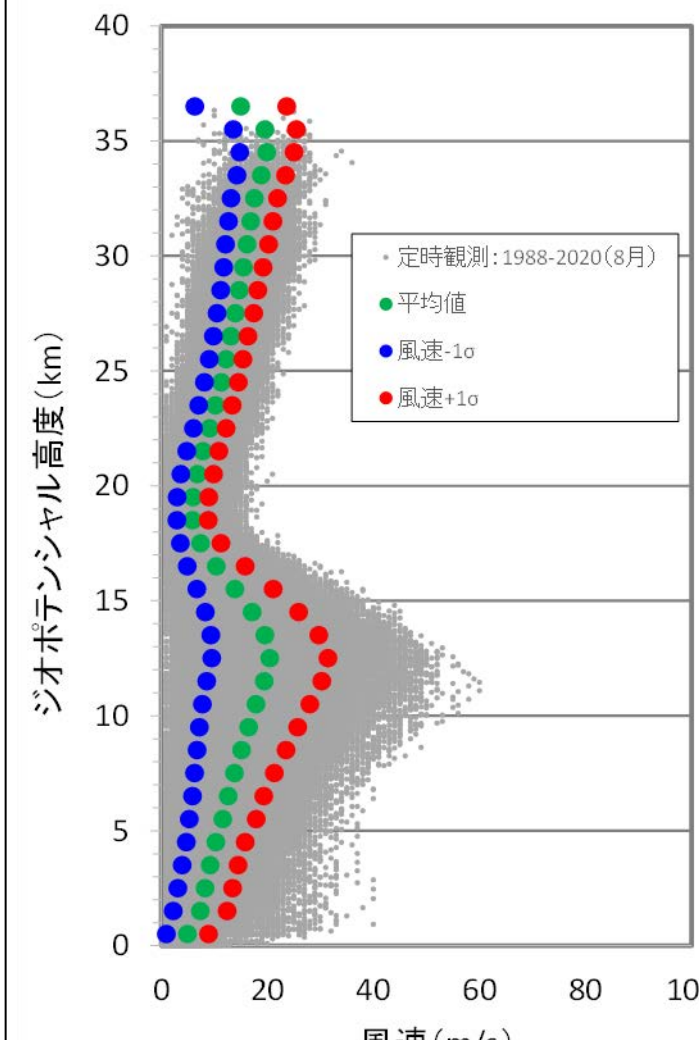
噴煙柱高度の不確かさ

基本ケース(25km)に対して
±5kmを考慮する。



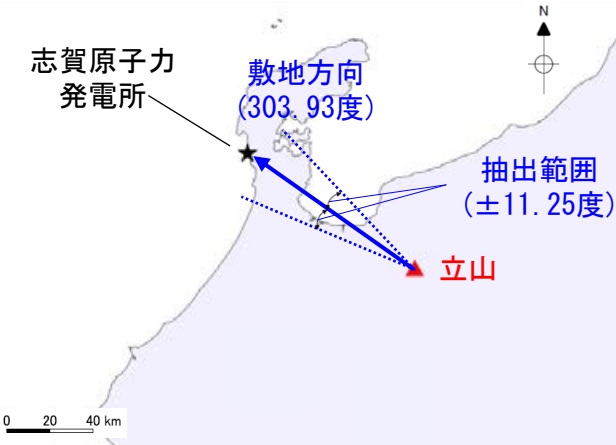
風速の不確かさ

基本ケース(平均風速)に対して
±1 σ (標準偏差)を考慮する。

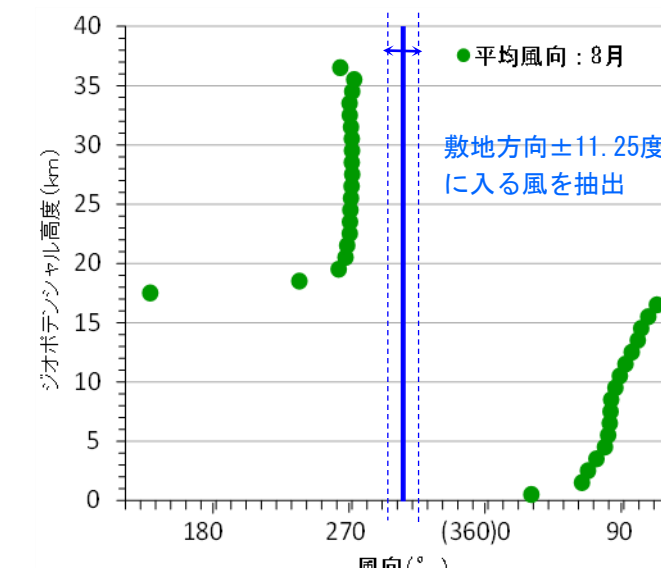


風向の不確かさ

基本ケース(平均風向)に対して
敷地方向の風を考慮する。



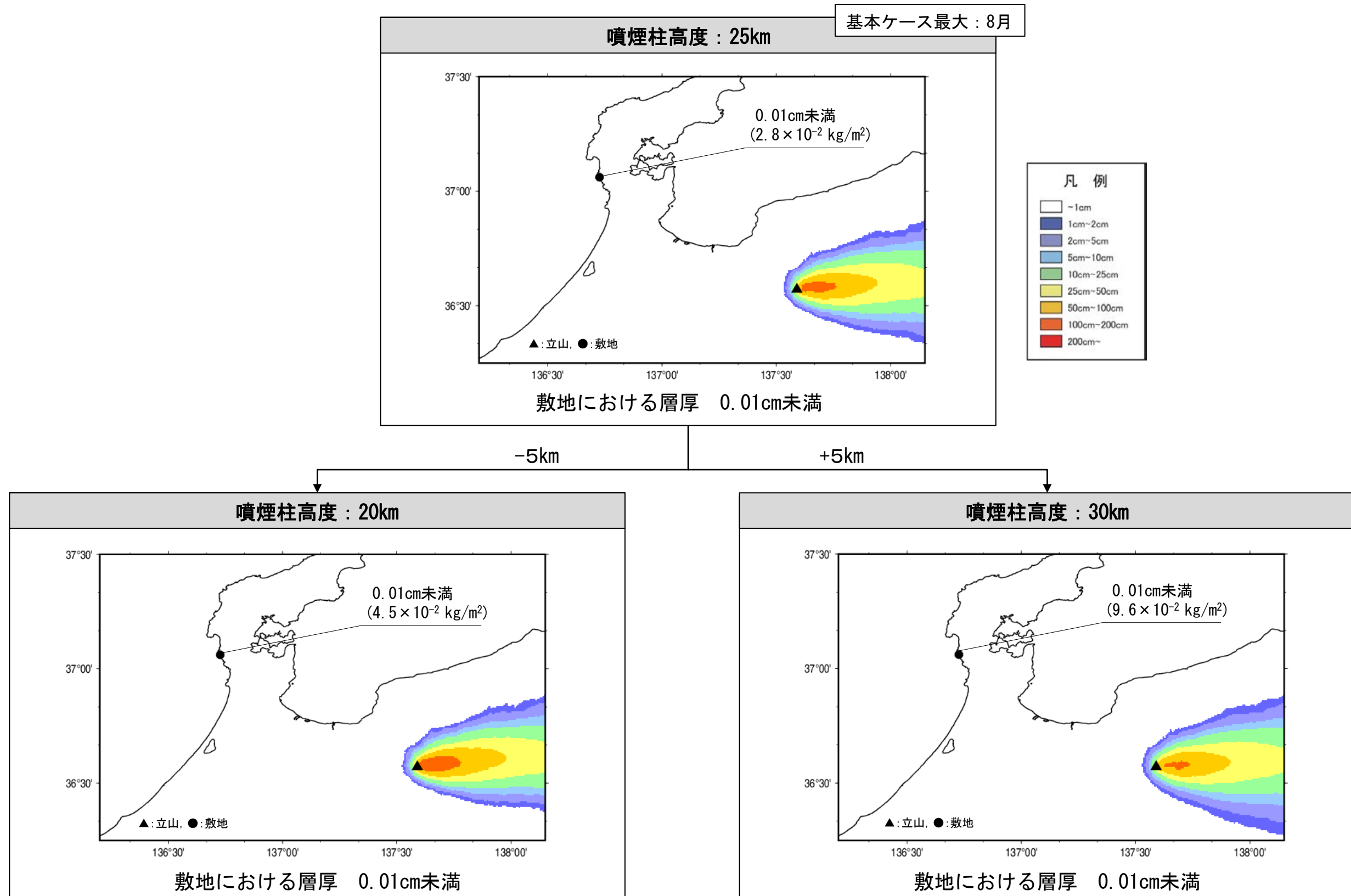
8月の観測記録のうち、風向の平均値が敷地方向(303.93度)から16方位の1方位分の角度(±11.25度)に入る風を抽出し、敷地方向の風を設定



3.1.2.2(2) 立山(立山DテフラA,Cユニット) －不確かさケース(噴煙柱高度)－

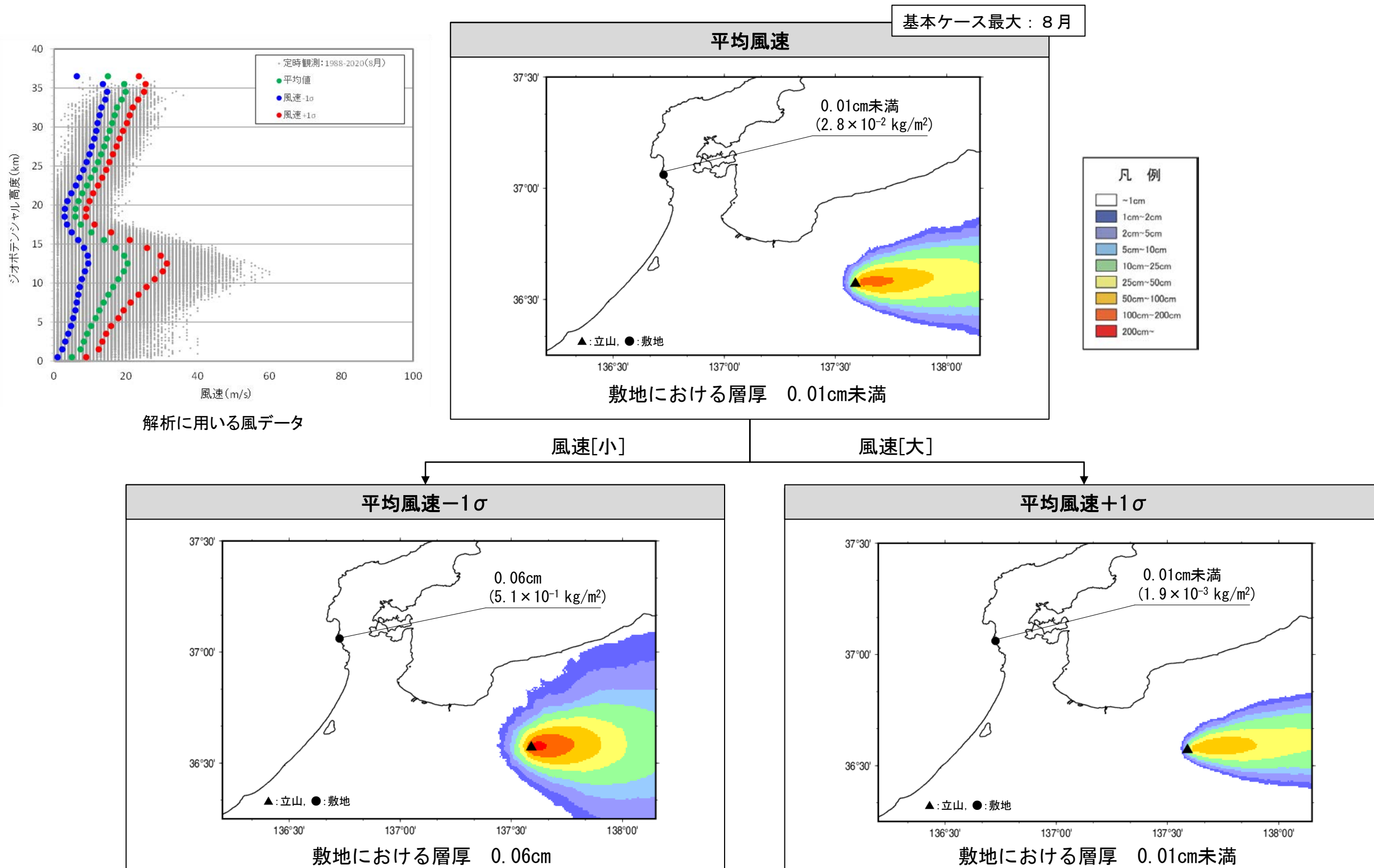
○基本ケースのうち敷地における層厚が最大となった8月のケースを対象に、噴煙柱高度の不確かさとして、基本ケースの噴煙柱高度25kmに対して±5kmを考慮したシミュレーションを実施した結果、敷地における層厚はいずれも0.01cm未満※となった。

※敷地の層厚は、いずれも0.01cm未満であるが、堆積重量は噴煙柱高度30kmが最大となる。



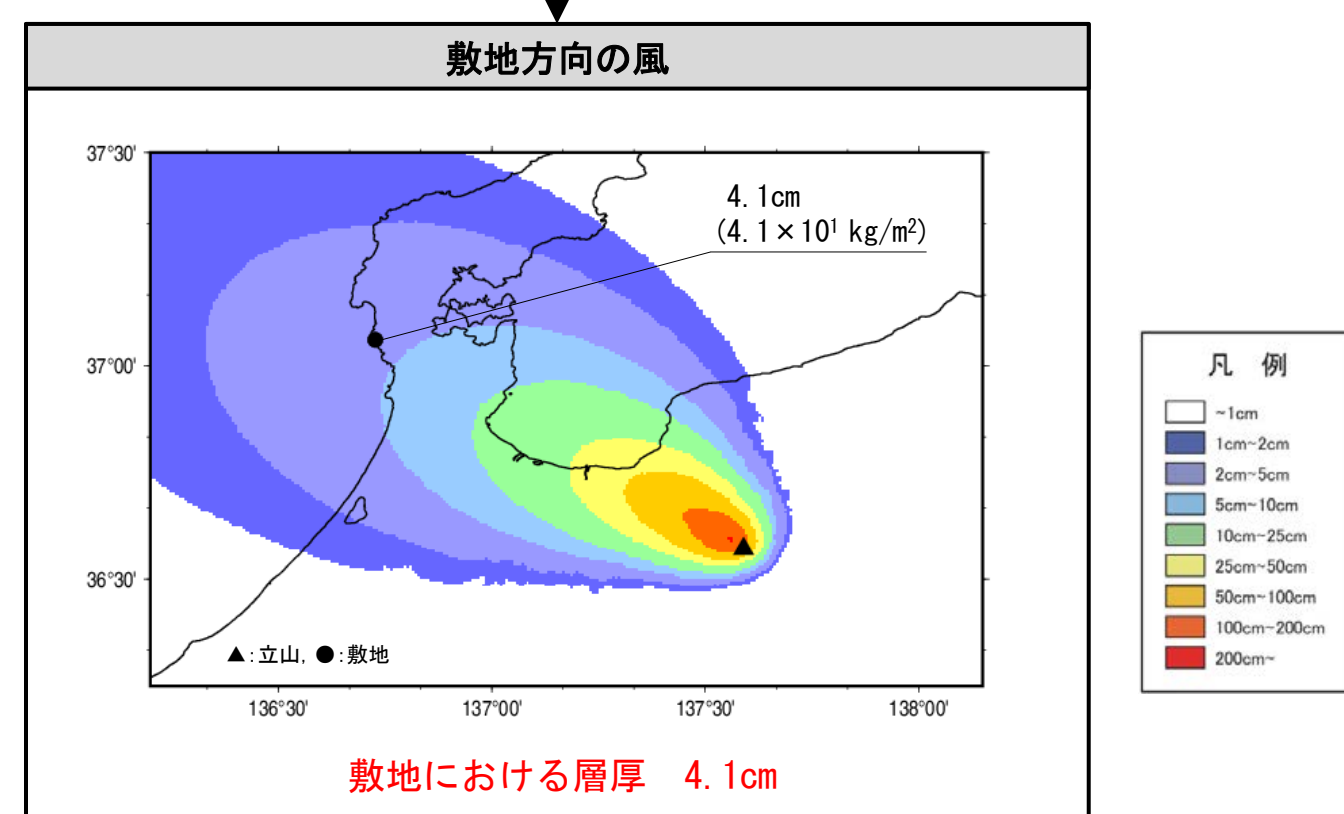
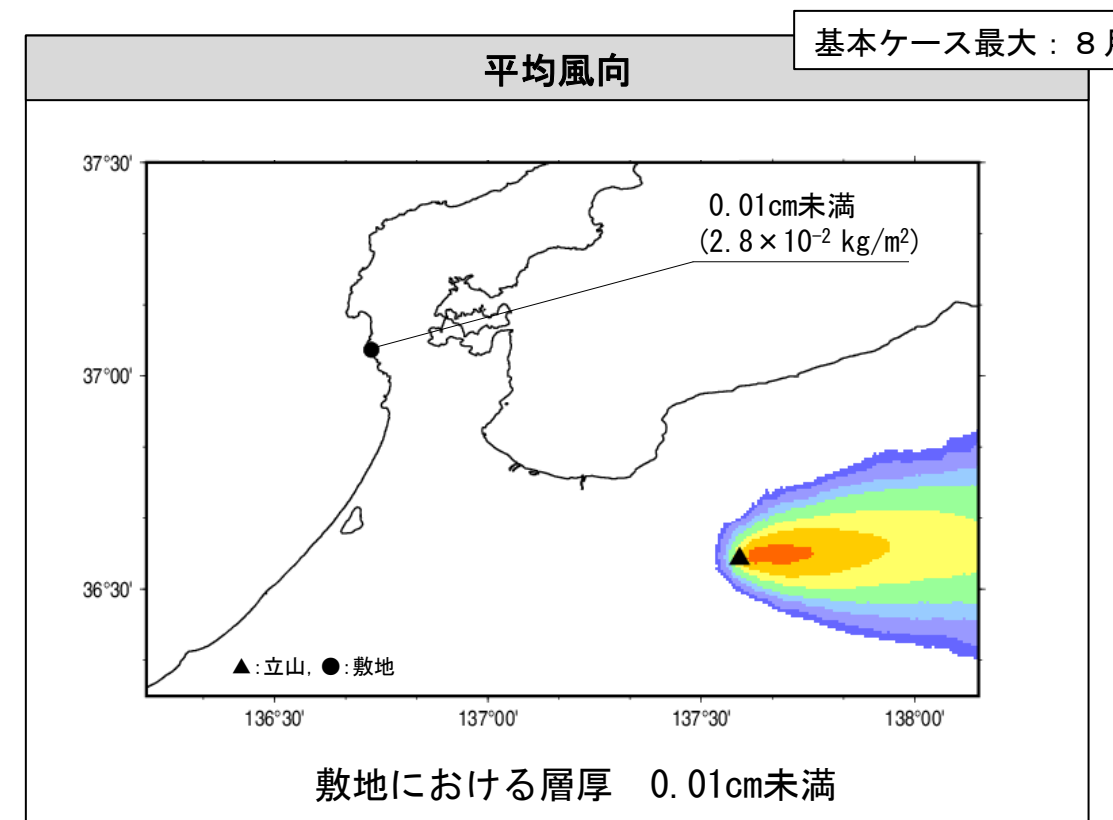
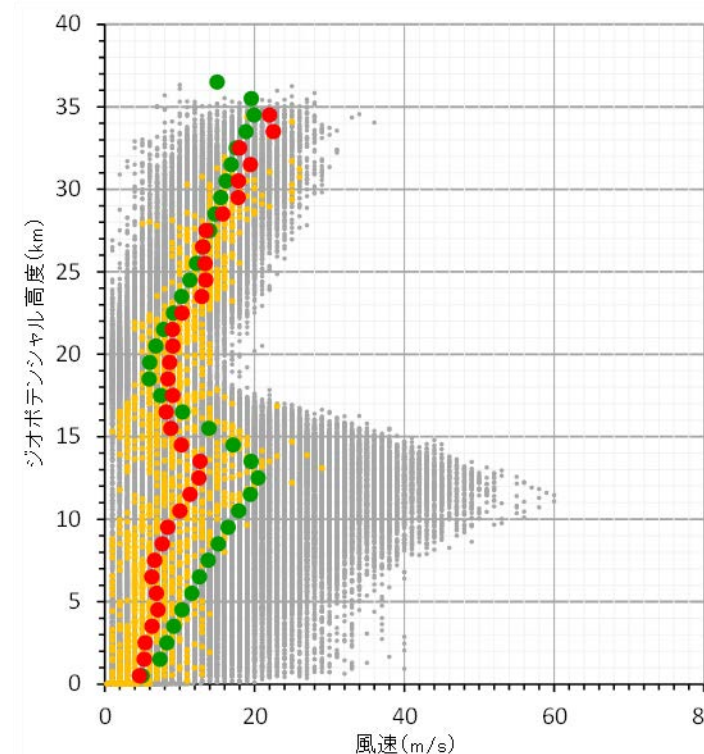
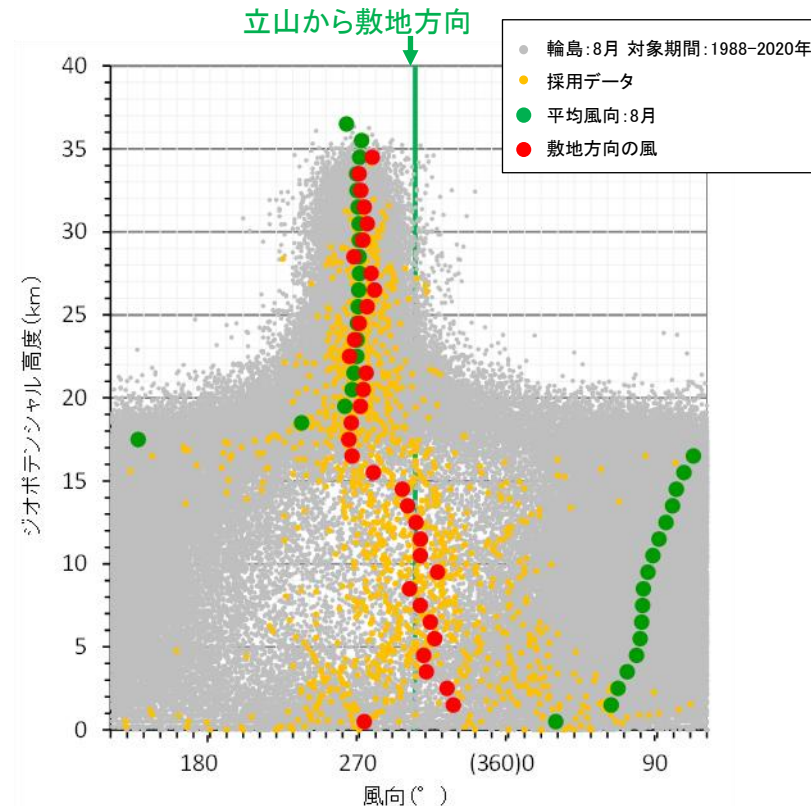
3.1.2.2(2) 立山(立山DテフラA,Cユニット) －不確かさケース(風速)－

○基本ケースのうち敷地における層厚が最大となった8月のケースを対象に、風速の不確かさとして、8月の平均風速に対して $\pm 1\sigma$ の風速を考慮したシミュレーションを実施した結果、平均風速 $\pm 1\sigma$ としたケースで、敷地における層厚が0.06cmとなつた。



3.1.2.2(2) 立山(立山DテフラA,Cユニット) －不確かさケース(風向)－

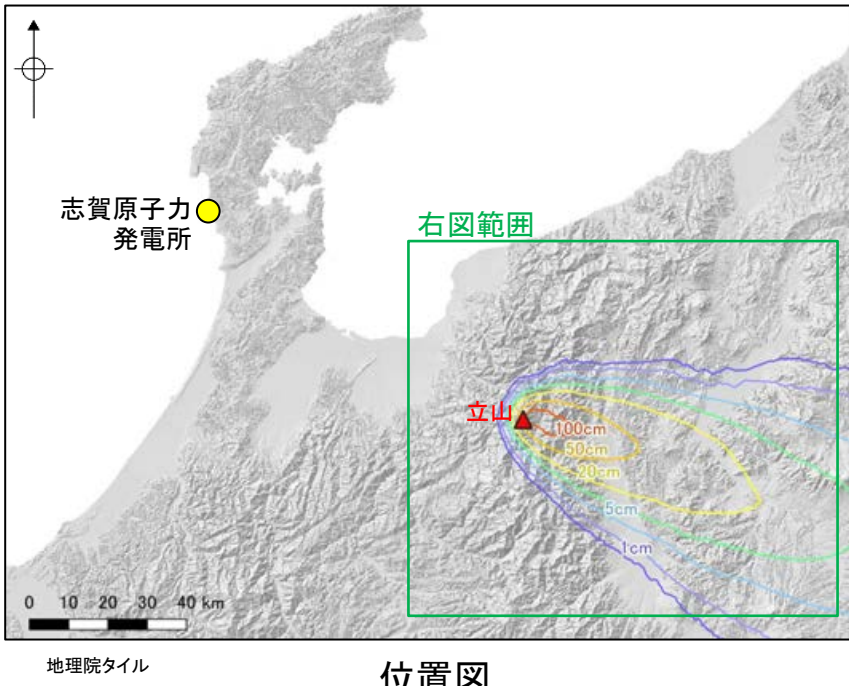
○基本ケースのうち敷地における層厚が最大となった8月のケースを対象に、風向の不確かさとして、8月の観測値を用いて敷地方向の風を作成し、シミュレーションを実施した結果、敷地における層厚が4.1cmとなった。



解析に用いる風データ

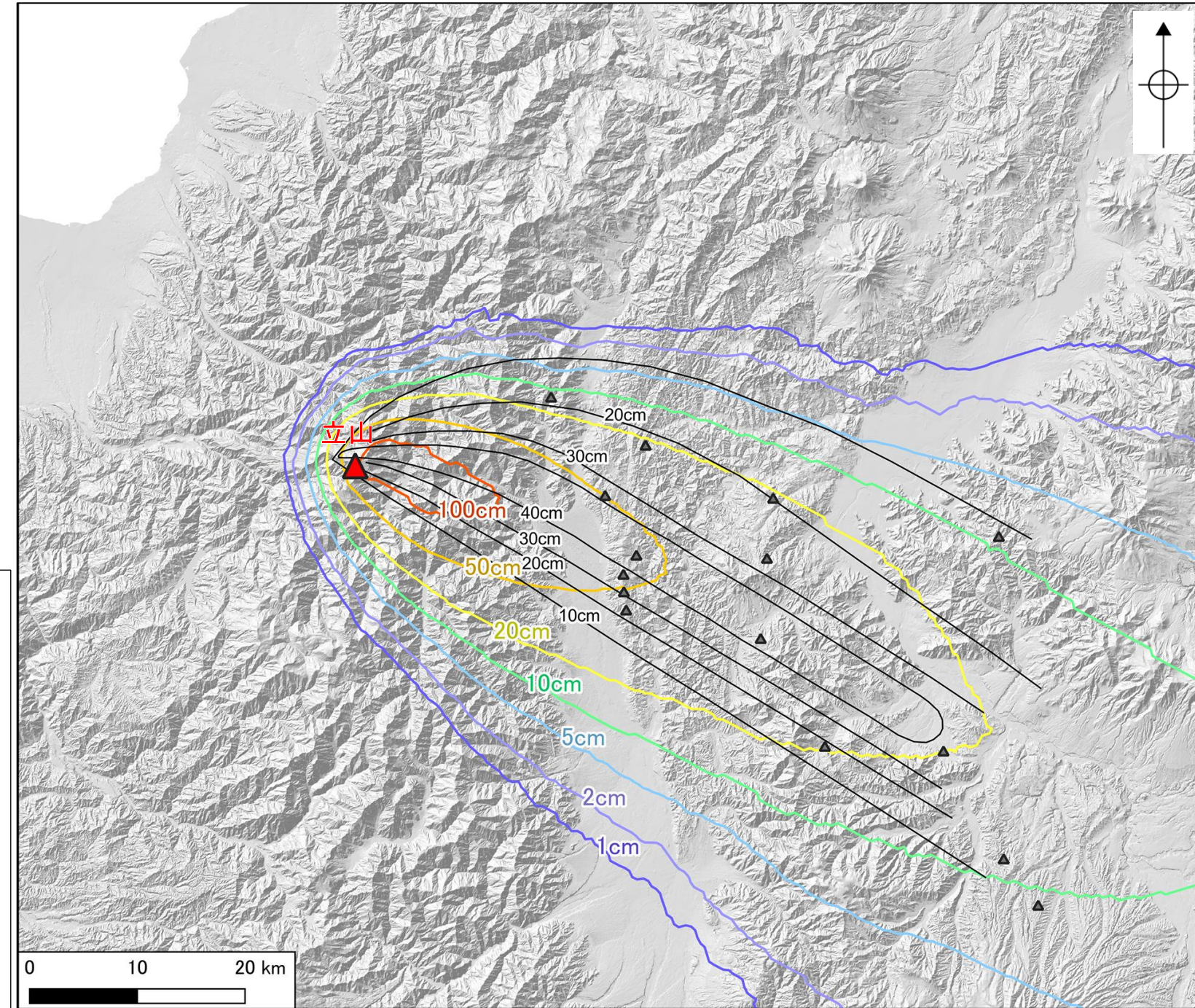
3.1.2.2(2) 立山(立山DテフラA,Cユニット) シミュレーション結果と文献の比較

- シミュレーション結果と文献で示される立山DテフラA, Cユニットの層厚を比較し、シミュレーションの妥当性を確認した。立山DテフラのAユニット及びCユニットについては、噴出量が同程度と考えられることから(P.131), 代表してAユニットを対象として比較を行った。
- シミュレーション結果(基本ケース, 8月)を実績分布主軸方向に回転させた分布と木村(1987)による立山DテフラAユニット(Dpm A)の等層厚線を比較した結果、シミュレーション結果の10cm及び20cmの分布が、等層厚線と概ね一致した。
- よって、立山(立山DテフラA, Cユニット)を対象とした降下火碎物シミュレーションは妥当と評価した。



<凡例>

【文献による層厚】
・(参考)立山Dテフラの確認地点
△ 木村(1987)において、立山Dテフラ(Dpm)の確認が報告された地点
・等層厚線図
— 木村(1987)の立山DテフラAユニットの等層厚線図
【シミュレーション結果】
基本ケース(8月)のシミュレーション結果を右回り24.5°回転
1cm 2cm 5cm 10cm 20 cm 50cm 100 cm



立山DテフラAユニットのシミュレーション結果と文献による層厚の比較

文献で示される立山Dテフラの詳細については、[補足資料5\(2\)](#)

3. 火山事象の影響評価

3.1 降下火碎物の影響評価

3.1.1 文献・地質調査に基づく評価

3.1.1.1 降下火碎物に関する文献・地質調査

- (1) 文献調査(等層厚線図)
- (2) 文献調査(地質調査結果)
- (3) 降下火碎物に関する当社地質調査
- (4) 調査結果まとめ

3.1.1.2 紙源火山における同規模噴火の可能性の検討

3.1.1.3 評価まとめ

3.1.2 降下火碎物シミュレーションによる評価

3.1.2.1 シミュレーションを実施する降下火碎物の選定

- (1) 分布実績に基づく降下火碎物の選定
- (2) 地理的領域内の火山による降下火碎物の選定
- (3) 地理的領域外の火山による降下火碎物の選定
- (4) 選定結果まとめ

3.1.2.2 降下火碎物シミュレーション

- (1) 白山(南竜火山灰)
- (2) 立山(立山DテフラA, Cユニット)
- (3) 御嶽山(御嶽伊那テフラ)
- (4) 鬱陵島(鬱陵隠岐テフラ)
- (5) 大山(大山生竹テフラ)

3.1.2.3 評価まとめ

3.1.3 降下火碎物の密度及び粒径

3.1.4 降下火碎物の影響評価まとめ

3.2 降下火碎物以外の火山事象の影響評価

3.1.2.2(3) 御嶽山(御嶽伊那テフラ) -入力パラメータ-

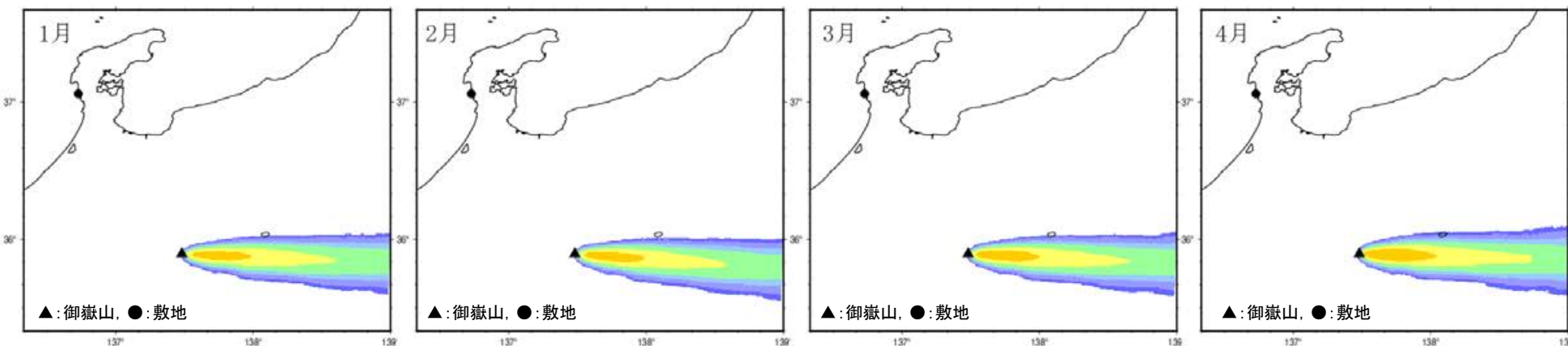
○御嶽山(御嶽伊那テフラ)について、文献等の情報に基づき、以下のとおり入力パラメータ値を設定した。

降下火碎物	パラメータ	単位	設定値	設定根拠等
御嶽山 (御嶽伊那テフラ)	給源	X(東距)	m	723, 898
		Y(北距)	m	3, 974, 933
		標高	m	3, 067
	噴出量	kg	5.0×10^{12}	<ul style="list-style-type: none"> ・見かけ体積 (5.0km³ : VEI5規模) × 堆積物密度 (1.0g/cm³) -見かけ体積：マグマ噴出量(DRE : 2km³) × マグマ密度(2.5g/cm³) / 堆積物密度(1.0g/cm³) -マグマ噴出量(DRE)：及川(2003)で示されたPm3A(竹本ほか(1987)で御嶽伊那テフラに対比)の値 -マグマの密度・堆積物密度：地質調査総合センター編 (2021b)
	噴煙柱高度	m	25, 000	町田・新井(2011)を参考に設定
	噴煙柱分割高さ	m	約100	萬年(2013)より設定
	粒径	最大	mm (Φ)	1, 024 (-10) Tephra2のconfigfileに示された珪長質噴火の一般値
		最小	mm (Φ)	1/1, 024 (10) Tephra2のconfigfileに示された珪長質噴火の一般値
		中央	mm (Φ)	1/23 (4.5) Tephra2のconfigfileに示されたVEI5の事例を参考に設定
		標準偏差	mm (Φ)	1/8 (3.0) Tephra2のconfigfileに示されたVEI5の事例を参考に設定
	岩片密度	kg/m ³	2, 600	Tephra2のconfigfileに示された一般値
	軽石密度	kg/m ³	1, 000	Tephra2のconfigfileに示された一般値
	見かけの渦拡散係数	m ² /s	0. 04	萬年(2013)より設定
	拡散係数	m ² /s	10, 000	萬年(2013)を参考に設定
	Fall Time Threshold	s	3, 600	萬年(2013)より設定
	Plume Ratio	-	0. 1	Tephra2のconfigfileに示された事例を参考に設定
	気象データ (高度・風速・風向)	-	-	<ul style="list-style-type: none"> ・輪島特別地域気象観測所(旧輪島測候所)における高層気象観測記録(9時, 21時の風速・風向データ) ・データ取得期間：1988年1月1日～2020年12月31日 (データ取得日：2021年1月5日)

3.1.2.2(3) 御嶽山(御嶽伊那テフラ) - 基本ケース -

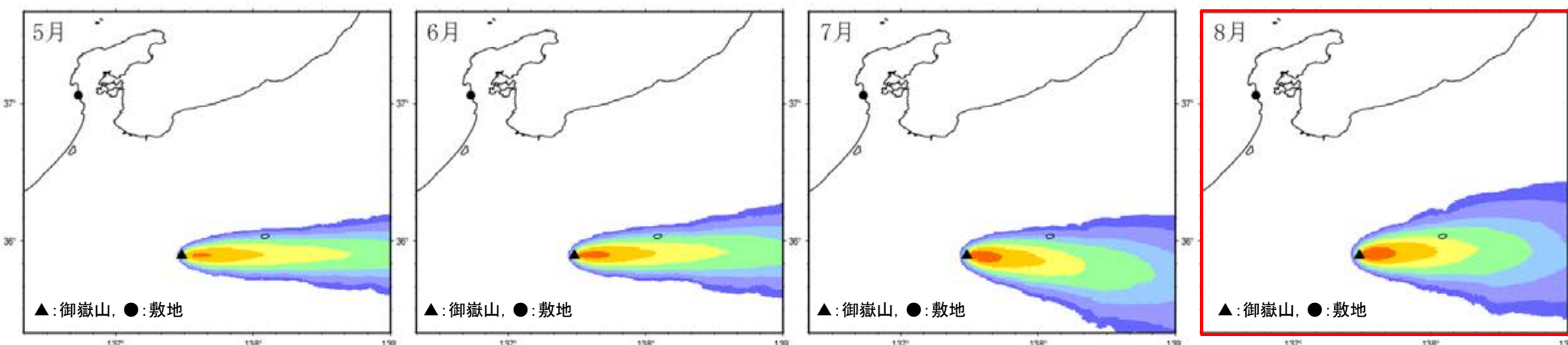
- 御嶽伊那テフラを対象に、輪島での風速・風向データ(月別平均値)を用いて降下火碎物シミュレーションを実施した結果、敷地における降下火碎物の層厚はいずれも0.01cm未満となった。
- このうち、敷地における層厚(降灰量)が最大となるのは、8月である※。

※敷地の層厚は、いずれの月も0.01cm未満であるが、堆積重量は8月が最大となる。

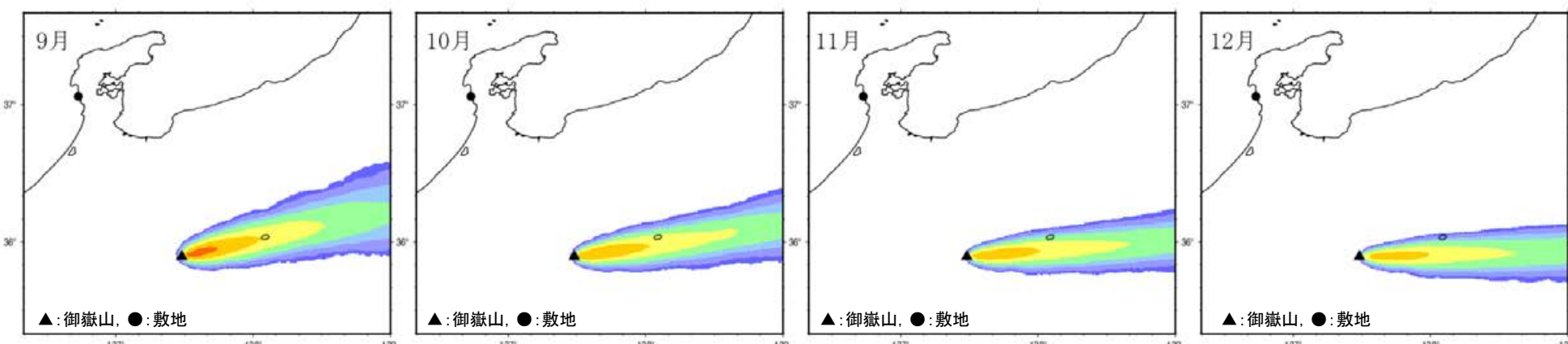


<シミュレーション結果(基本ケース)>

月	敷地の降灰量	
	層厚 (cm)	堆積重量 (kg/m ²)
1月	0.01cm未満	9.3×10^{-5}
2月	0.01cm未満	1.1×10^{-4}
3月	0.01cm未満	2.1×10^{-4}
4月	0.01cm未満	8.9×10^{-4}
5月	0.01cm未満	3.4×10^{-3}
6月	0.01cm未満	1.2×10^{-2}
7月	0.01cm未満	2.3×10^{-2}
8月	0.01cm未満	5.0×10^{-2}
9月	0.01cm未満	1.0×10^{-2}
10月	0.01cm未満	2.4×10^{-3}
11月	0.01cm未満	4.4×10^{-4}
12月	0.01cm未満	1.1×10^{-4}



□ 敷地における層厚(降灰量)が最大となる月



凡例	
~1cm	
1cm~2cm	
2cm~5cm	
5cm~10cm	
10cm~25cm	
25cm~50cm	
50cm~100cm	
100cm~200cm	
200cm~	

3.1.2.2(3) 御嶽山(御嶽伊那テフラ) -考慮する不確かさ-

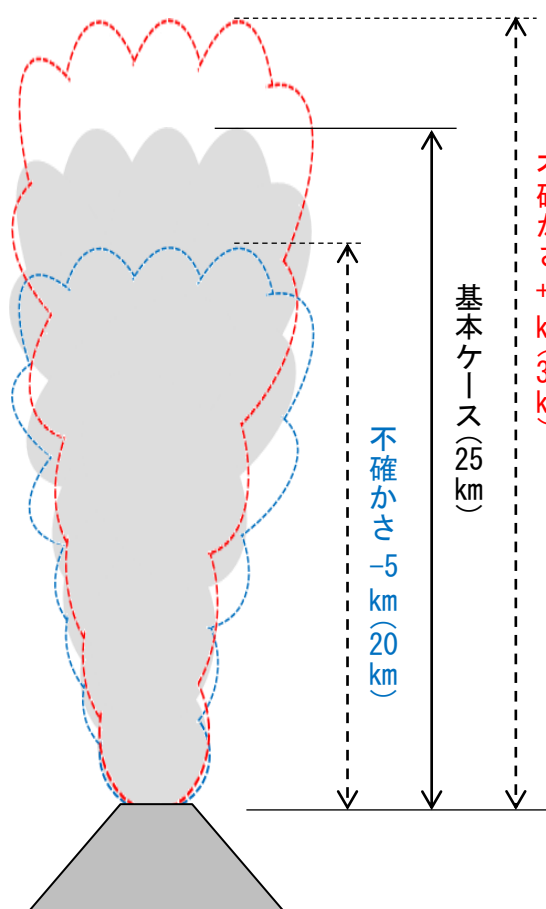
- 「基本ケース」で敷地における層厚が最大となる月(8月)を対象に、不確かさを考慮したシミュレーションを実施する。
- 8月の気象データを用いて、噴煙柱高度、風速及び風向の不確かさを考慮する。

<基本ケース（最大月8月）>

- ・噴煙柱高度25km
- ・8月の平均風速・風向

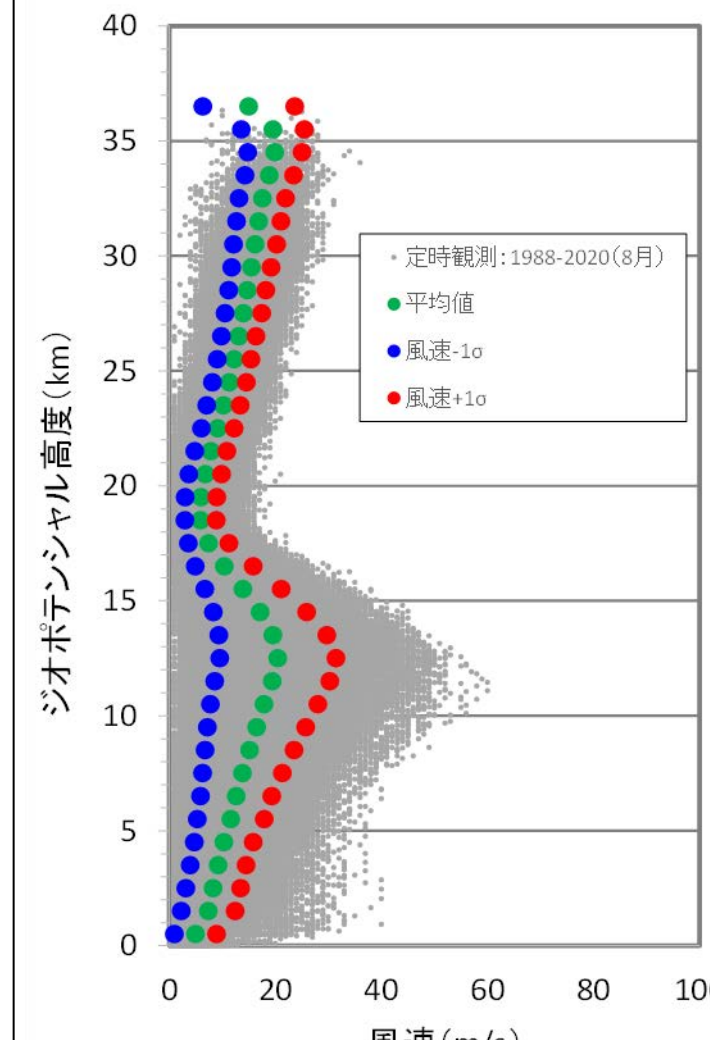
噴煙柱高度の不確かさ

基本ケース(25km)に対して
±5kmを考慮する。



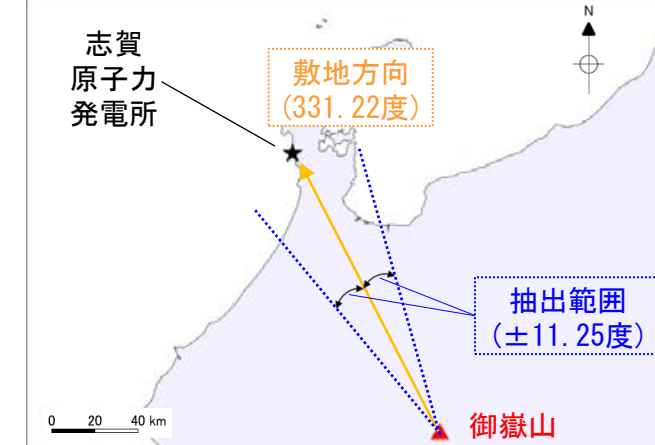
風速の不確かさ

基本ケース(平均風速)に対して
±1 σ (標準偏差)を考慮する。

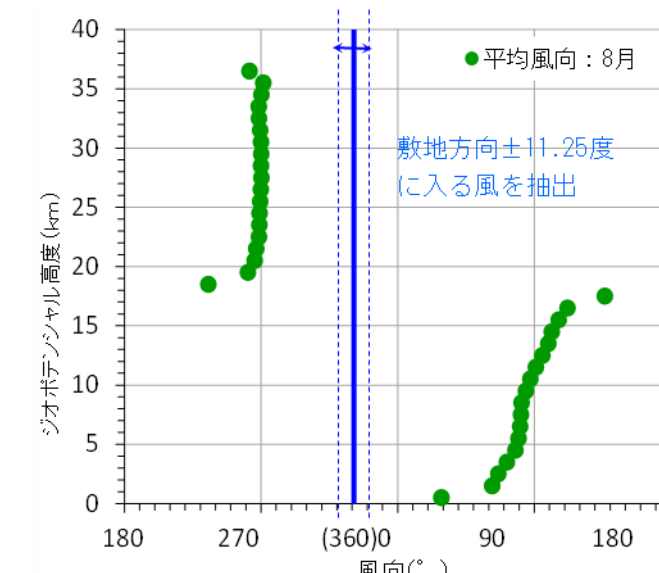


風向の不確かさ

基本ケース(平均風向)に対して
敷地方向の風を考慮する。

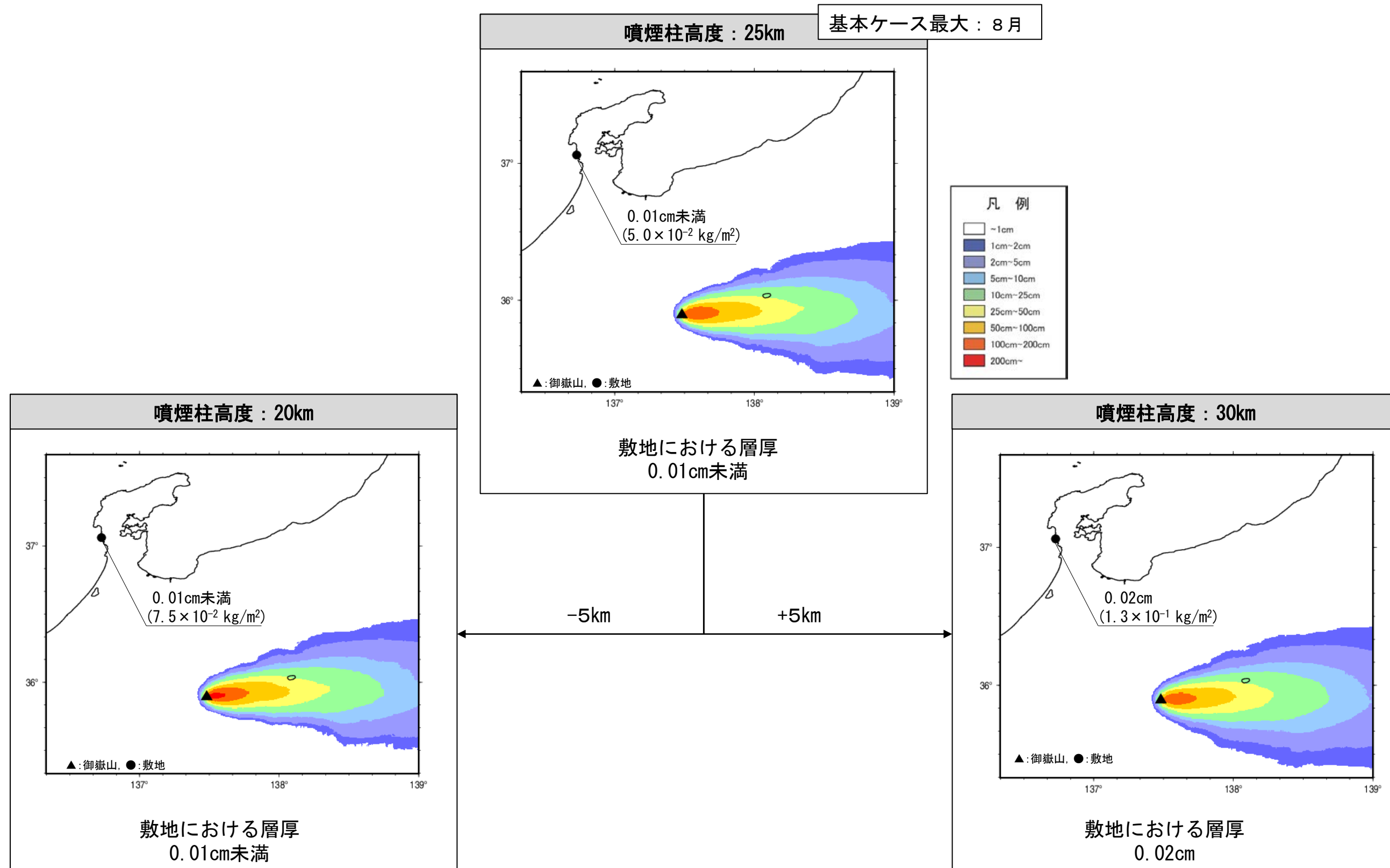


8月の観測記録のうち、風向の平均値が敷地方向(331.22度)
から16方位の1方位分の角度(±11.25度)に入る風を抽出し、
敷地方向の風を設定



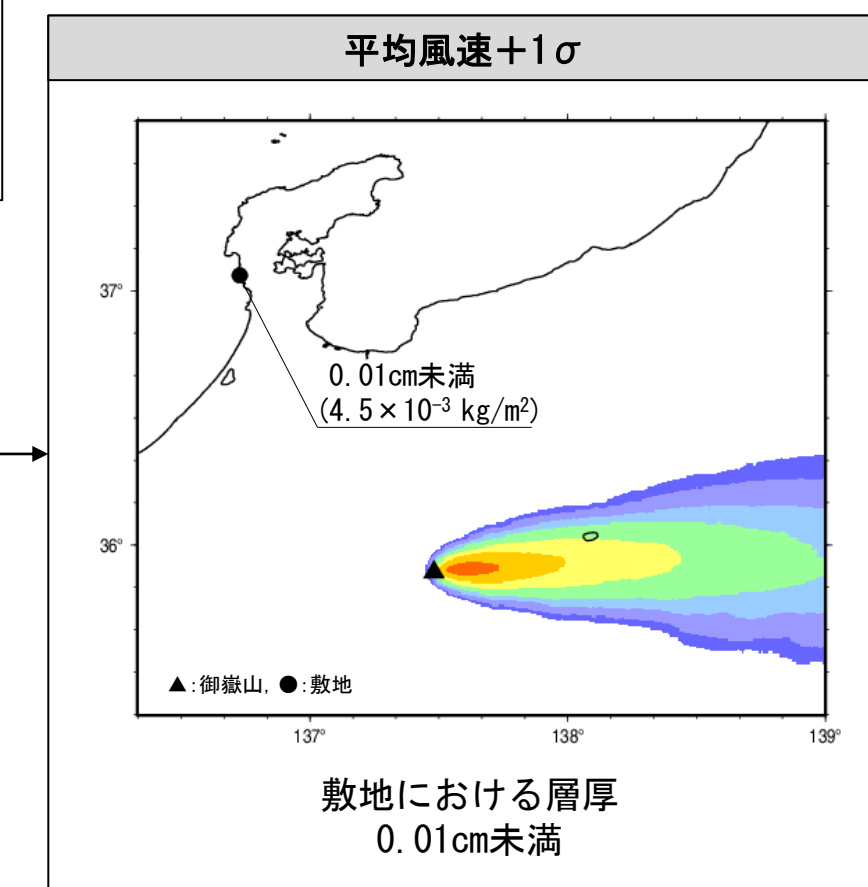
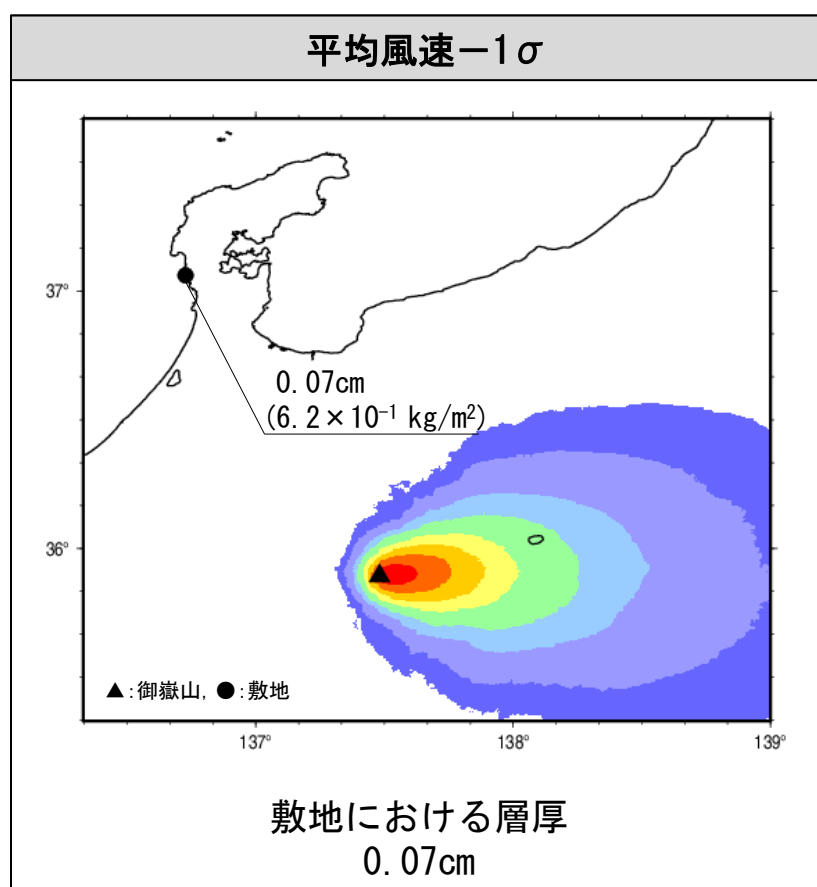
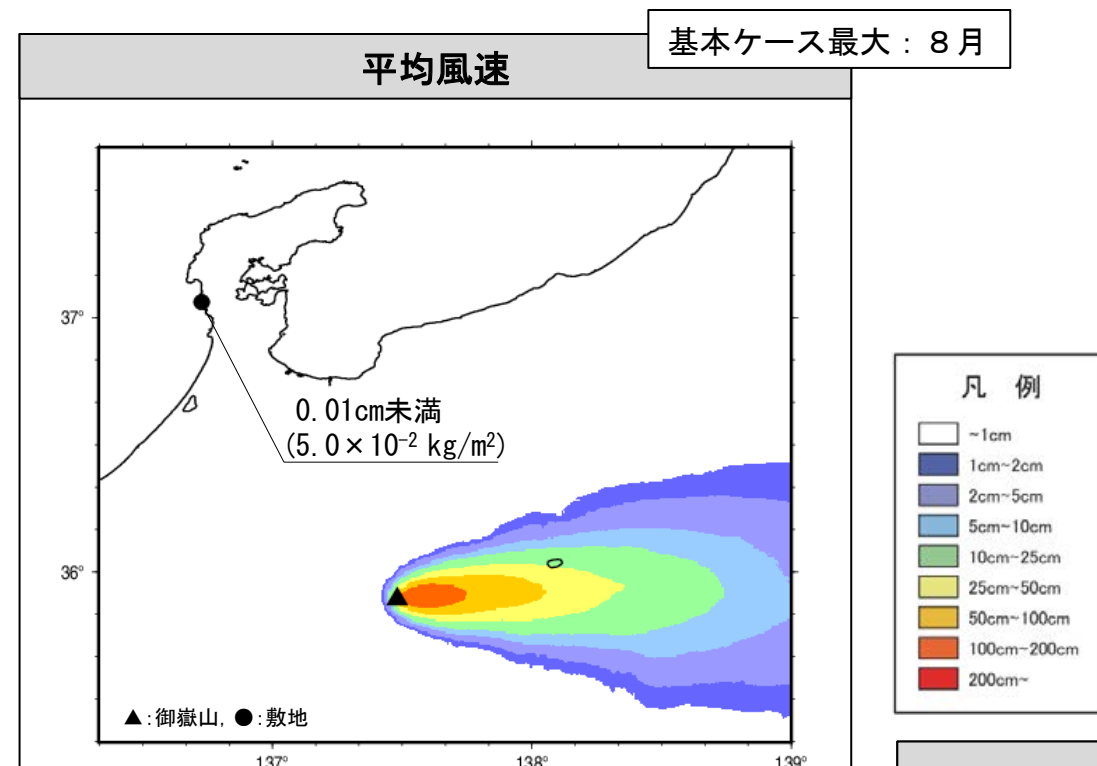
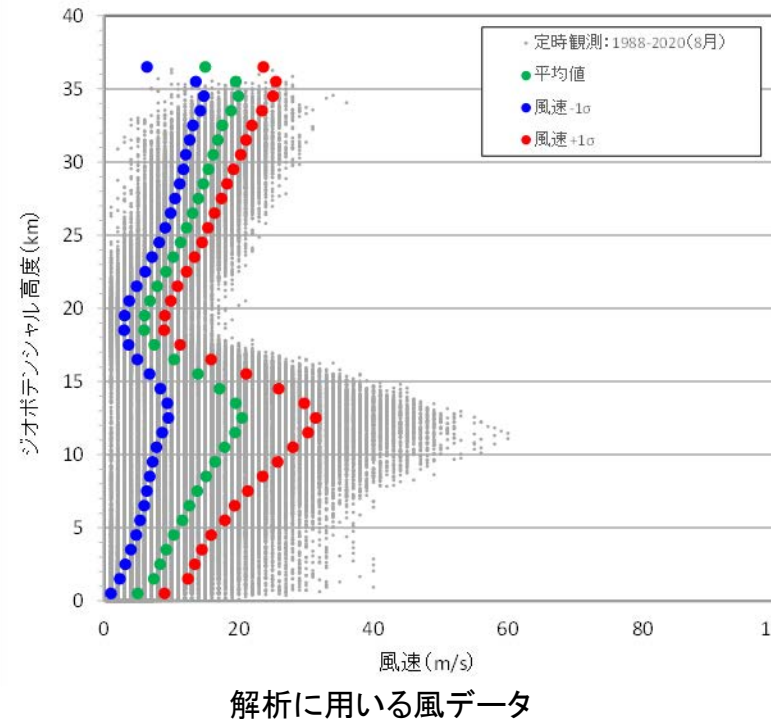
3.1.2.2(3) 御嶽山(御嶽伊那テフラ) －不確かさケース(噴煙柱高度)－

○基本ケースのうち敷地における層厚が最大となった8月のケースを対象に、噴煙柱高度の不確かさとして、基本ケースの噴煙柱高度25kmに対して±5kmを考慮したシミュレーションを実施した結果、噴煙柱高度を30kmとしたケースで、敷地における層厚が0.02cmとなった。



3.1.2.2(3) 御嶽山(御嶽伊那テフラ) -不確かさケース(風速)-

○基本ケースのうち敷地における層厚が最大となった8月のケースを対象に、風速の不確かさとして、8月の平均風速に対して $\pm 1\sigma$ の風速を考慮したシミュレーションを実施した結果、平均風速 -1σ としたケースで、敷地における層厚が0.07cmとなった。

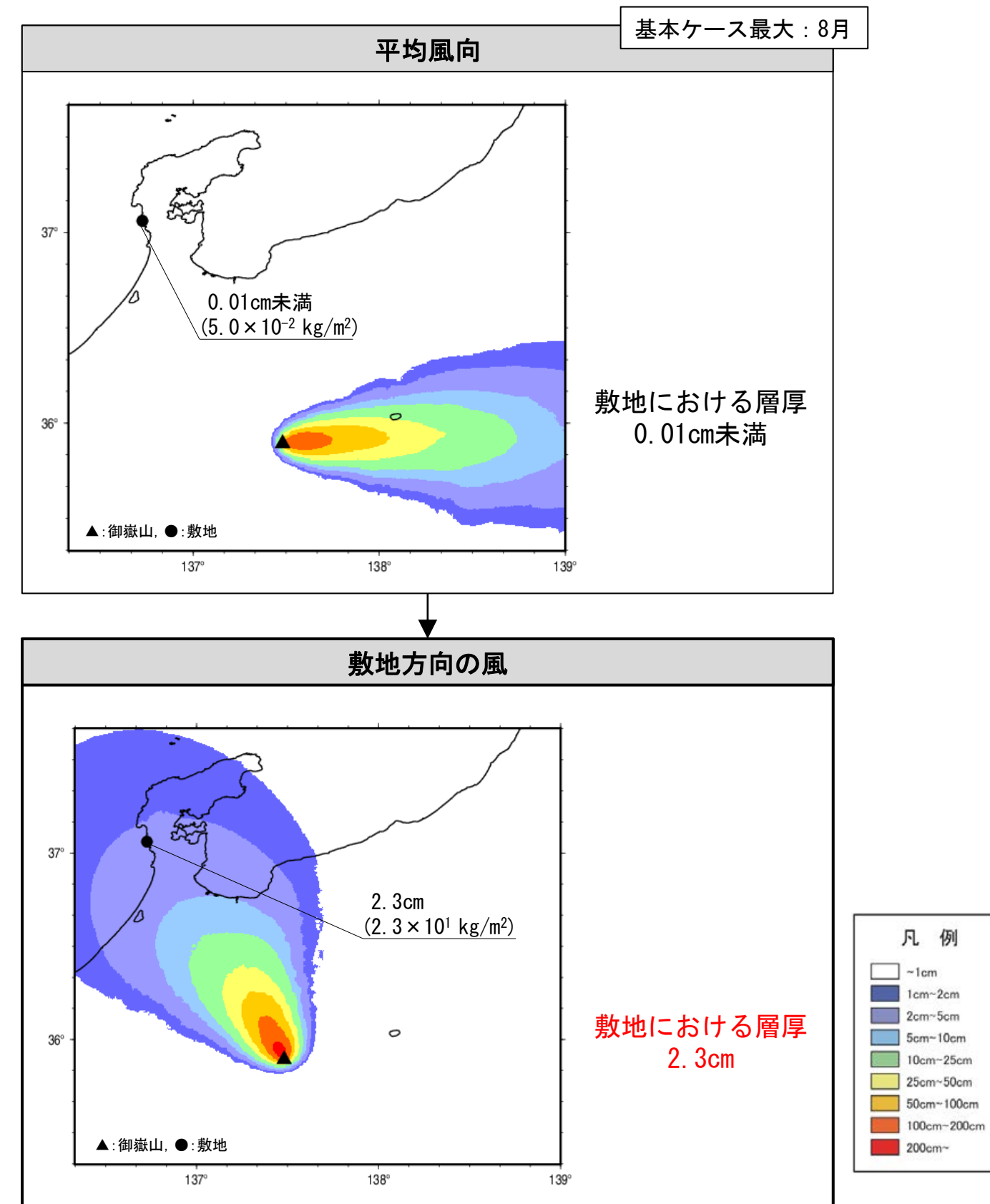
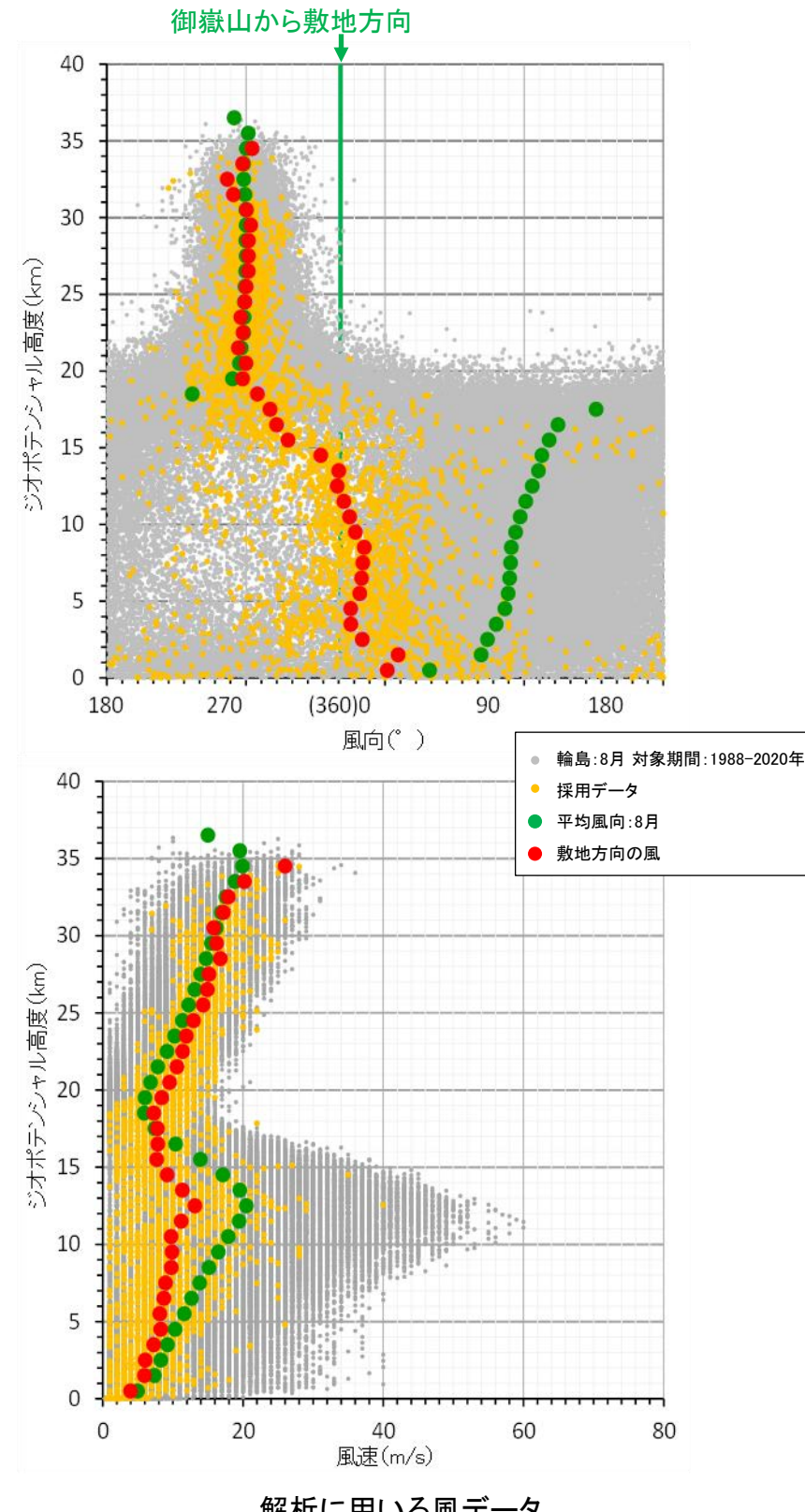


風速[小]

風速[大]

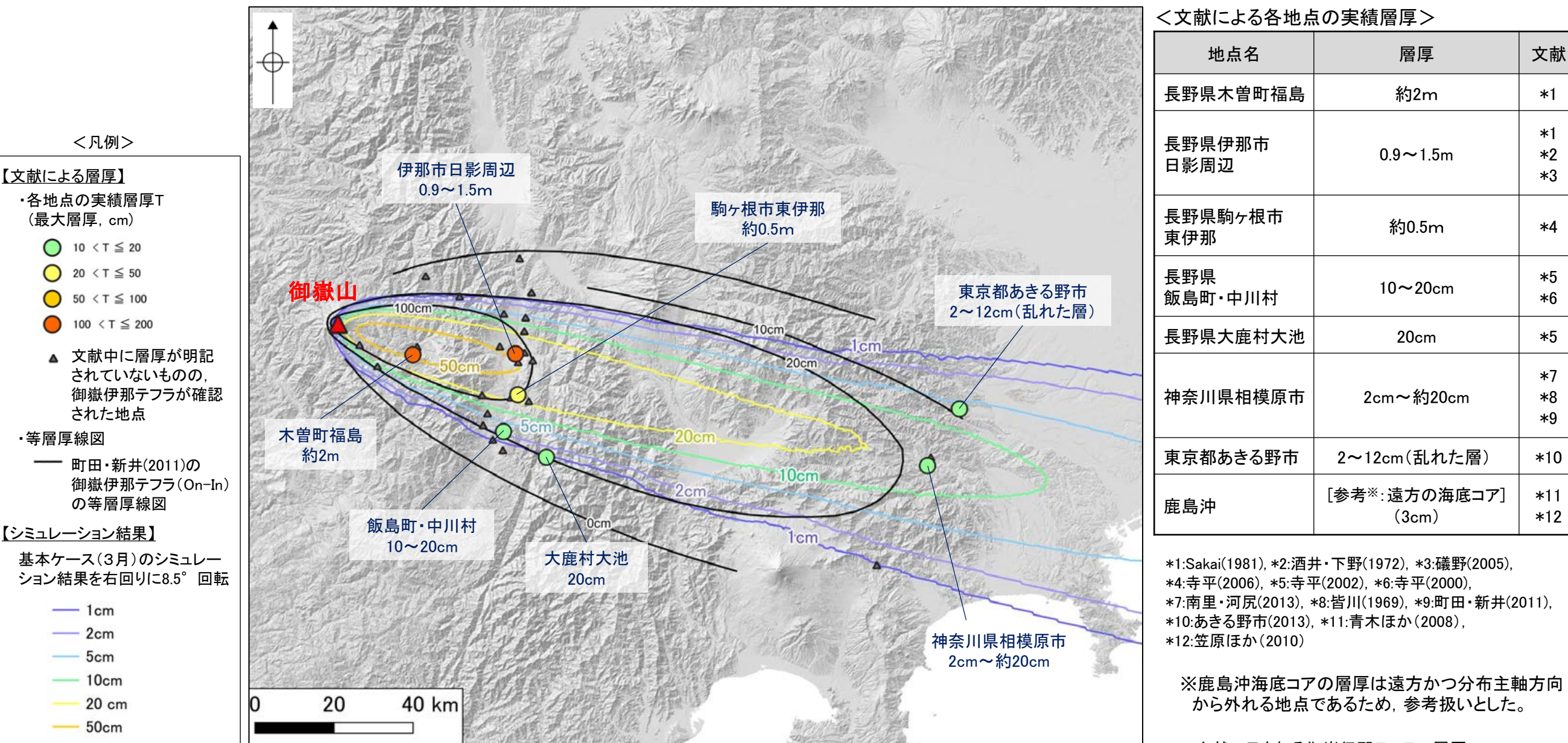
3.1.2.2(3) 御嶽山(御嶽伊那テフラ) -不確かさケース(風向)-

○基本ケースのうち敷地における層厚が最大となった8月のケースを対象に、風向の不確かさとして、8月の観測値を用いて敷地方向の風を作成し、シミュレーションを実施した結果、敷地における層厚が2.3cmとなった。



3.1.2.2(3) 御嶽山(御嶽伊那テフラ) —シミュレーション結果と文献の比較—

- シミュレーション結果と文献で示される御嶽伊那テフラの層厚を比較し、シミュレーションの妥当性を確認した。
- シミュレーション結果(基本ケース、3月)を実績分布主軸方向に回転させた分布と、文献による各地点の実績層厚及び町田・新井(2011)の等層厚線図を比較した結果、分布主軸方向について、シミュレーション結果と文献による実績層厚及び町田・新井(2011)の等層厚線図が概ね整合的であった。
- よって、御嶽山(御嶽伊那テフラ)を対象とした降下火碎物シミュレーションは妥当と評価した。



御嶽伊那テフラのシミュレーション結果と文献による層厚の比較

3. 火山事象の影響評価

3.1 降下火碎物の影響評価

3.1.1 文献・地質調査に基づく評価

3.1.1.1 降下火碎物に関する文献・地質調査

- (1) 文献調査(等層厚線図)
- (2) 文献調査(地質調査結果)
- (3) 降下火碎物に関する当社地質調査
- (4) 調査結果まとめ

3.1.1.2 紙源火山における同規模噴火の可能性の検討

3.1.1.3 評価まとめ

3.1.2 降下火碎物シミュレーションによる評価

3.1.2.1 シミュレーションを実施する降下火碎物の選定

- (1) 分布実績に基づく降下火碎物の選定
- (2) 地理的領域内の火山による降下火碎物の選定
- (3) 地理的領域外の火山による降下火碎物の選定
- (4) 選定結果まとめ

3.1.2.2 降下火碎物シミュレーション

- (1) 白山(南竜火山灰)
- (2) 立山(立山DテフラA, Cユニット)
- (3) 御嶽山(御嶽伊那テフラ)
- (4) 鬱陵島(鬱陵隠岐テフラ)
- (5) 大山(大山生竹テフラ)

3.1.2.3 評価まとめ

3.1.3 降下火碎物の密度及び粒径

3.1.4 降下火碎物の影響評価まとめ

3.2 降下火碎物以外の火山事象の影響評価

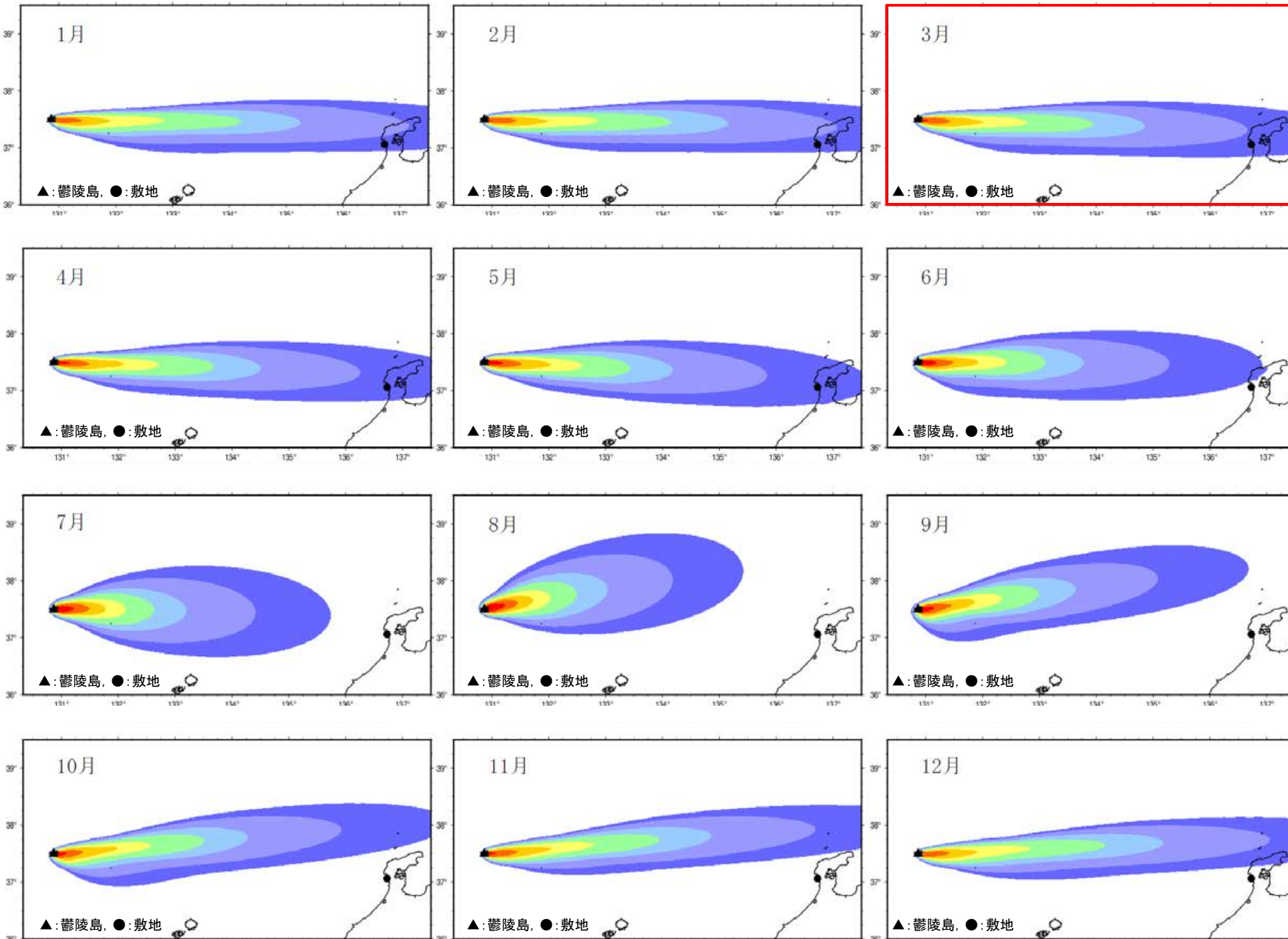
3.1.2.2(4) 鬱陵島(鬱陵隠岐テフラ) -入力パラメータ-

○鬱陵島(鬱陵隠岐テフラ)について、文献等の情報に基づき、以下のとおり入力パラメータ値を設定した。

降下火碎物	パラメータ	単位	設定値	設定根拠等
鬱陵島 (鬱陵隠岐テフラ)	給源	X(東距)	m	134, 598
		Y(北距)	m	4, 158, 149
		標高	m	984
	噴出量	kg	1.222×10^{13}	<ul style="list-style-type: none"> ・見かけ体積 (12.22km^3 : VEI6規模) × 堆積物密度 (1.0g/cm^3) -見かけ体積：須藤ほか(2007) -堆積物密度：地質調査総合センター編 (2021b)
	噴煙柱高度	m	25, 000	町田・新井(2011)を参考に設定
	噴煙柱分割高さ	m	約100	萬年(2013)より設定
	粒径	最大	mm (Φ)	1, 024 (-10) Tephra2のconfigfileに示された珪長質噴火の一般値
		最小	mm (Φ)	1/1, 024 (10) Tephra2のconfigfileに示された珪長質噴火の一般値
		中央	mm (Φ)	1/23 (4. 5) Tephra2のconfigfileに示されたVEI5の事例を参考に設定
		標準偏差	mm (Φ)	1/8 (3. 0) Tephra2のconfigfileに示されたVEI5の事例を参考に設定
	岩片密度	kg/m ³	2, 600	Tephra2のconfigfileに示された一般値
	軽石密度	kg/m ³	1, 000	Tephra2のconfigfileに示された一般値
	見かけの渦拡散係数	m ² /s	0. 04	萬年(2013)より設定
	拡散係数	m ² /s	10, 000	萬年(2013)を参考に設定
	Fall Time Threshold	s	3, 600	萬年(2013)より設定
	Plume Ratio	-	0. 1	Tephra2のconfigfileに示された事例を参考に設定
	気象データ (高度・風速・風向)	-	-	<ul style="list-style-type: none"> ・韓国浦項における高層気象観測記録 (9時, 21時の風速・風向データ) ・データ取得期間：1988年1月1日～2020年12月31日 (データ取得日：2021年1月7日)

3.1.2.2(4) 鬱陵島(鬱陵隠岐テフラ) - 基本ケース -

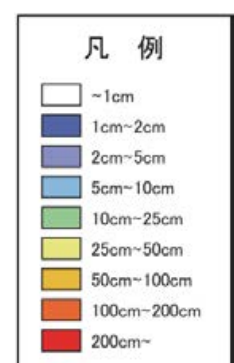
- 鬱陵隠岐テフラを対象として、浦項での風速・風向データ(月別平均値)を用いて降下火碎物シミュレーションを実施した結果、敷地における降下火碎物の層厚は、0.31~1.5cmとなった。
- このうち、敷地における層厚が最大となるのは、3月の場合の1.5cmである。



<シミュレーション結果(基本ケース)>

月	敷地の降灰量	
	層厚 (cm)	堆積重量 (kg/m ²)
1月	1.4	1.4×10^1
2月	1.4	1.4×10^1
3月	1.5	1.5×10^1
4月	1.4	1.4×10^1
5月	1.3	1.3×10^1
6月	0.92	9.2×10^0
7月	0.65	6.5×10^0
8月	0.34	3.4×10^0
9月	0.31	3.1×10^0
10月	0.37	3.7×10^0
11月	0.36	3.6×10^0
12月	0.57	5.7×10^0

敷地における層厚が最大となる月



3.1.2.2(4) 鬱陵島(鬱陵島隠岐テフラ) -考慮する不確かさ-

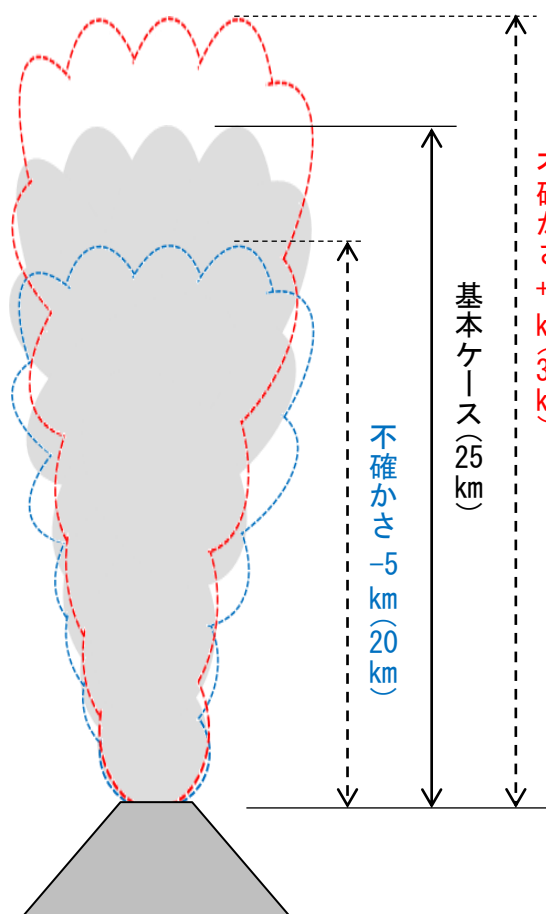
- 「基本ケース」で敷地における層厚が最大となる月(3月)を対象に、不確かさを考慮したシミュレーションを実施する。
- 3月の気象データを用いて、噴煙柱高度、風速及び風向の不確かさを考慮する。

<基本ケース（最大月3月）>

- ・噴煙柱高度25km
- ・3月の平均風速・風向

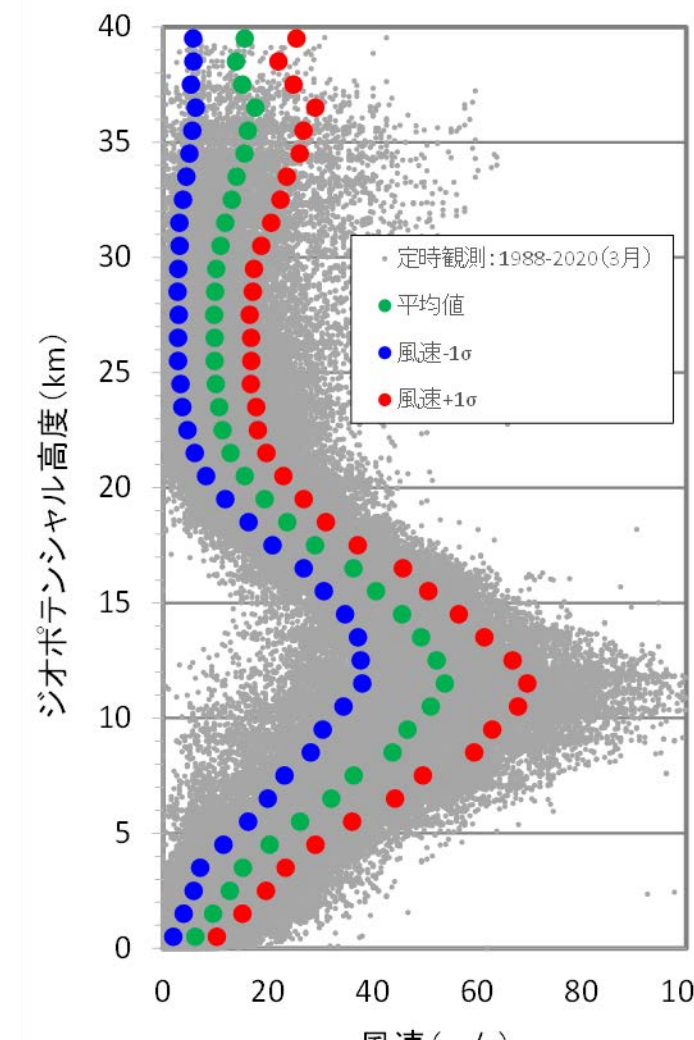
噴煙柱高度の不確かさ

基本ケース(25km)に対して
±5kmを考慮する。



風速の不確かさ

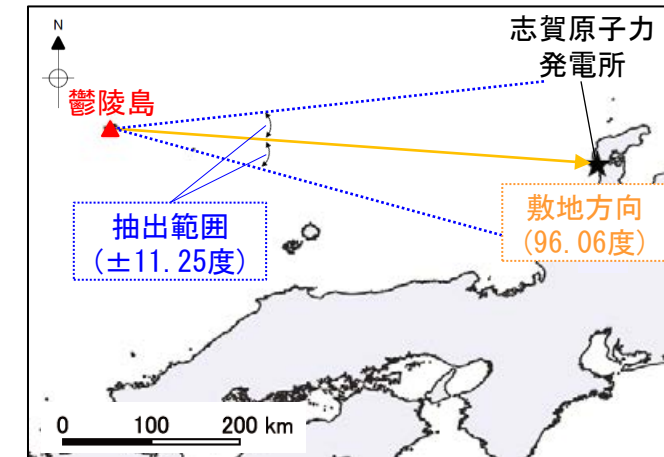
基本ケース(平均風速)に対して
±1 σ (標準偏差)を考慮する。



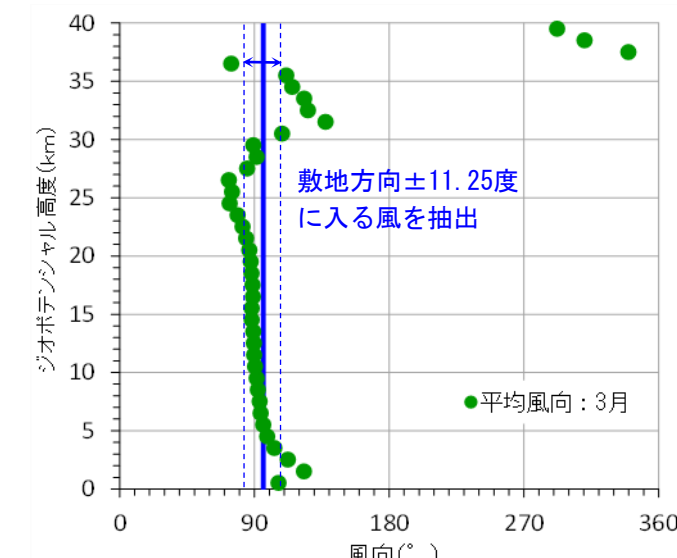
高度1km毎に風速データを整理し,
±1 σ の風速を設定

風向の不確かさ

基本ケース(平均風向)に対して
敷地方向の風を考慮する。

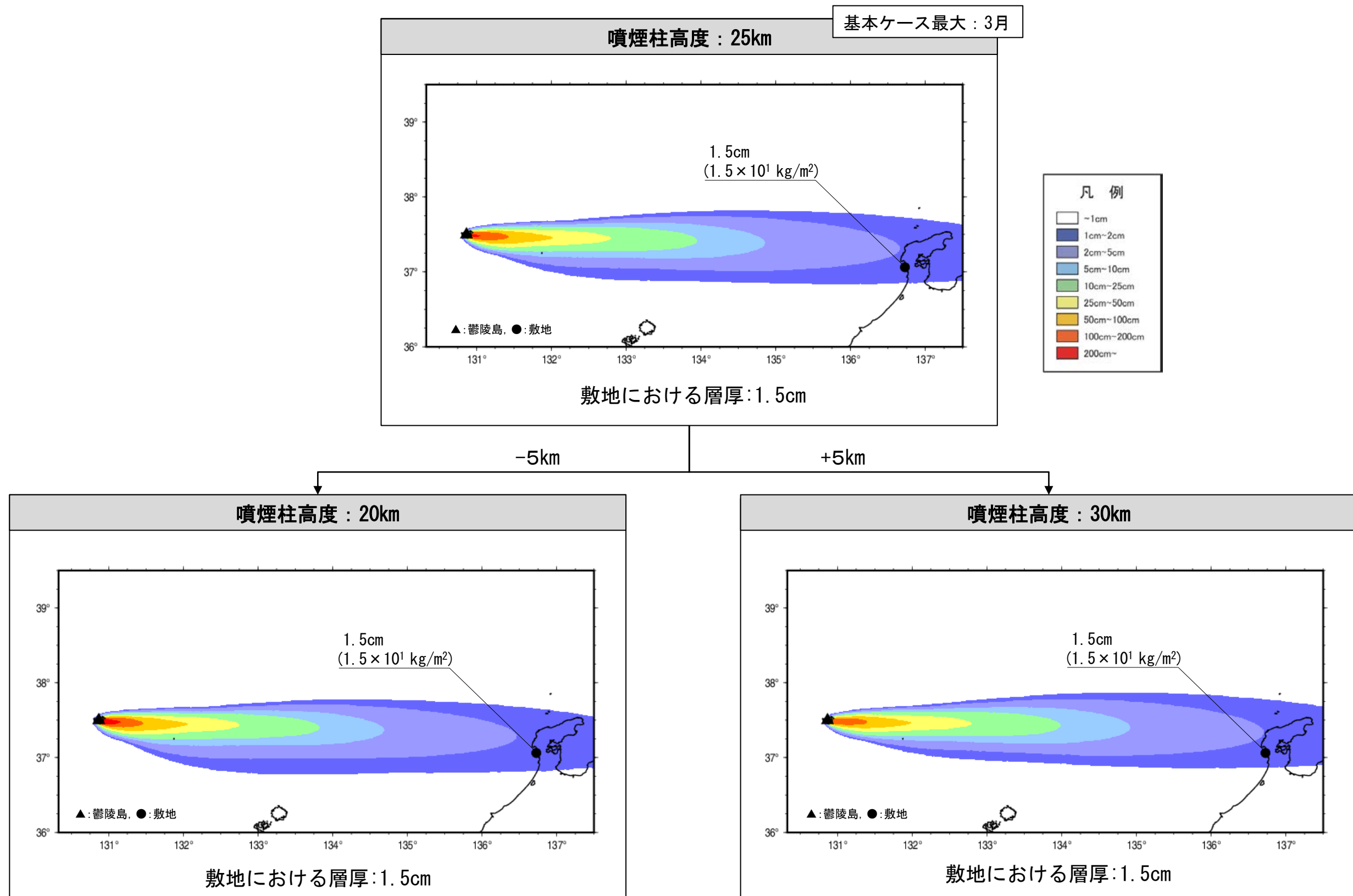


3月の観測記録のうち、風向の平均値が敷地方向(96.06度)
から16方位の1方位分の角度(±11.25度)に入る風を抽出し、
敷地方向の風を設定



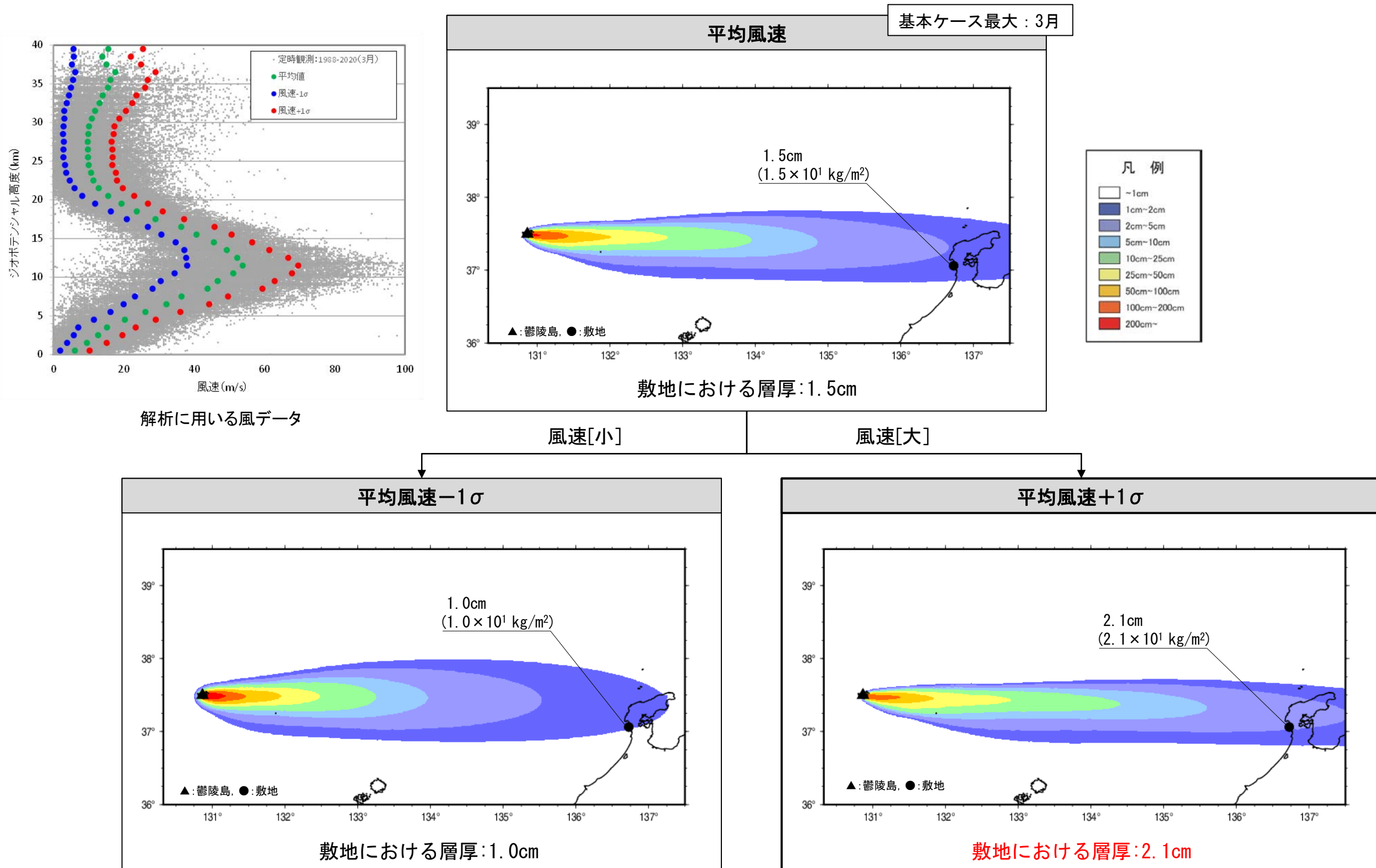
3.1.2.2(4) 鬱陵島(鬱陵島隕岐テフラ) -不確かさケース(噴煙柱高度)-

○基本ケースのうち敷地での層厚が最大となった3月のケースを対象に、噴煙柱高度の不確かさとして、基本ケースの噴煙柱高度25kmに対して±5kmを考慮した解析を実施した結果、敷地における層厚はいずれも1.5cmとなった。



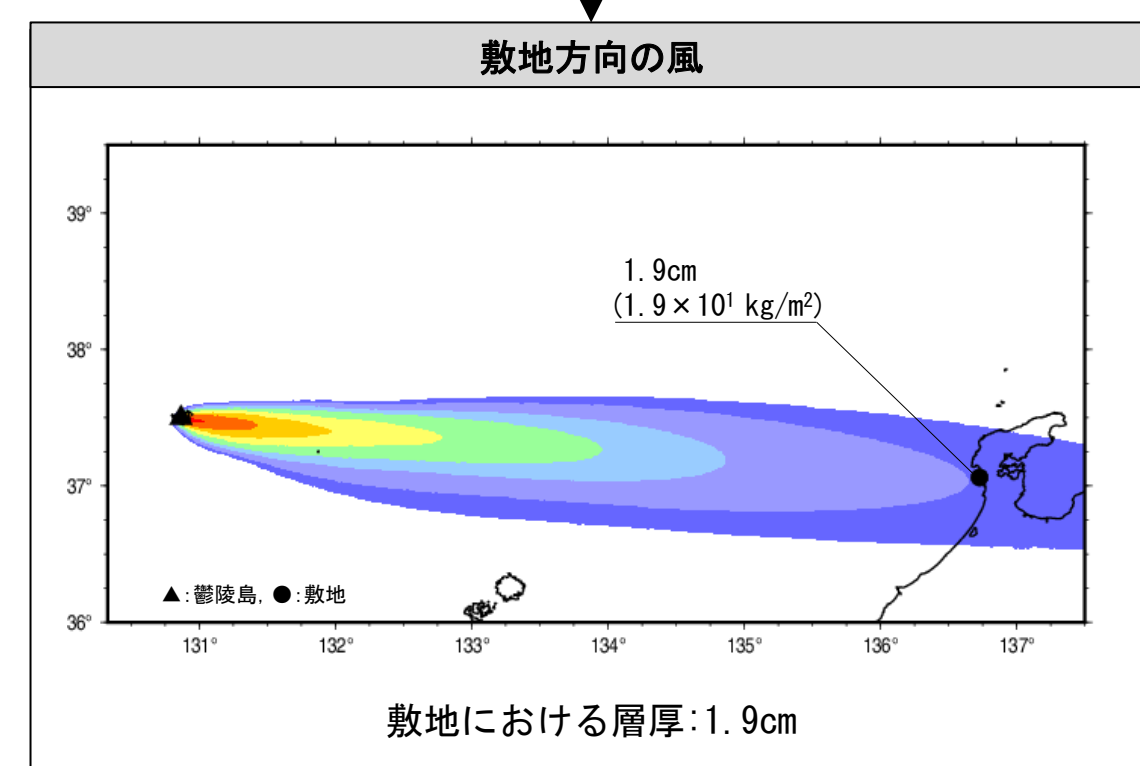
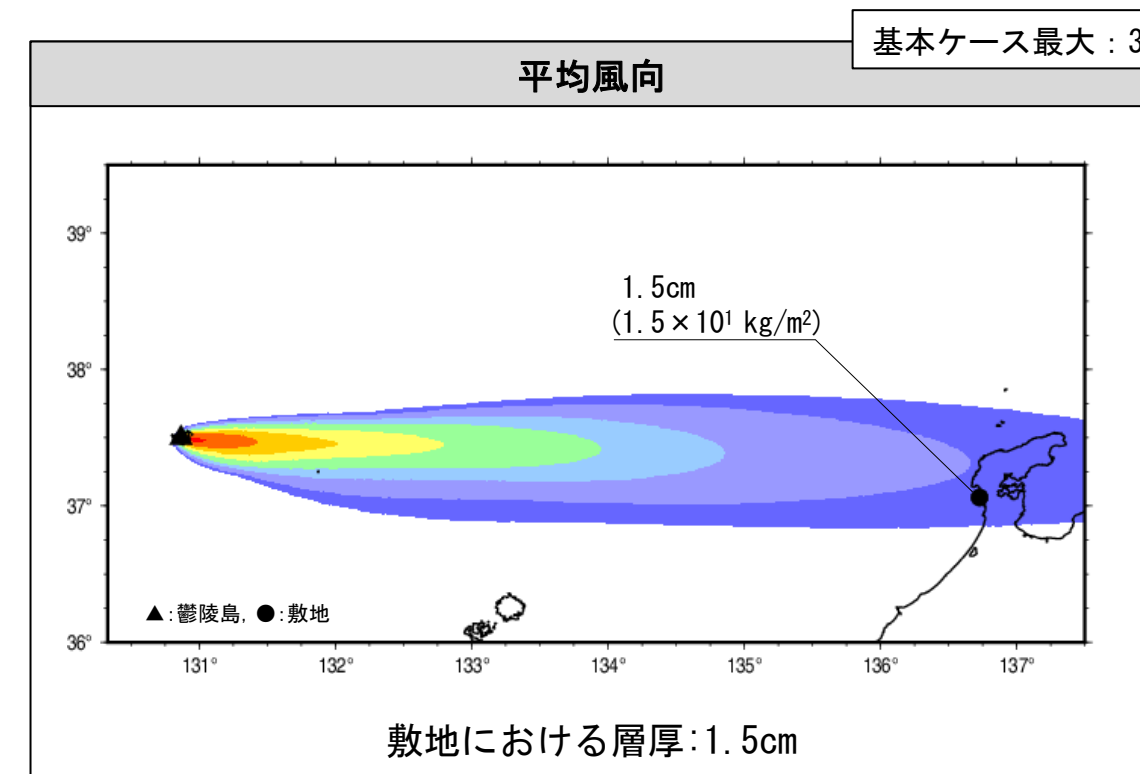
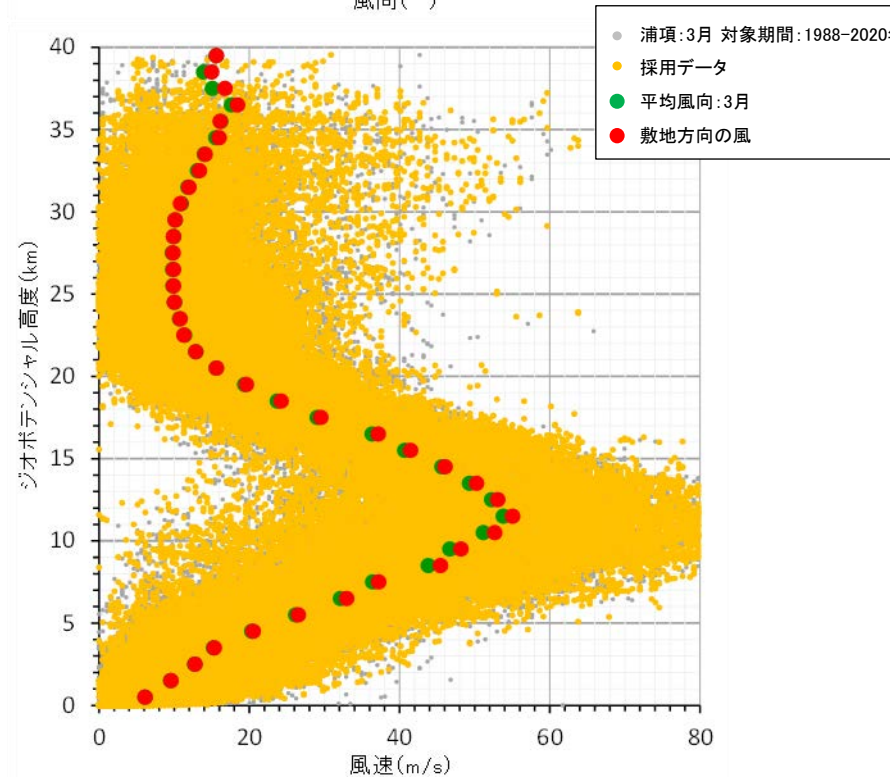
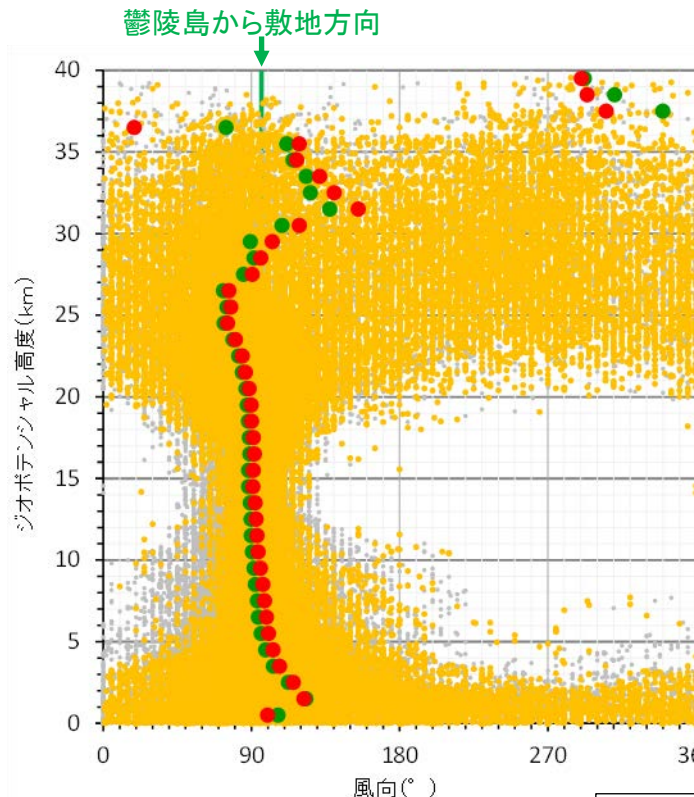
3.1.2.2(4) 鬱陵島(鬱陵島隕岐テフラ) -不確かさケース(風速)-

○基本ケースのうち敷地での層厚が最大となった3月のケースを対象に、風速の不確かさとして、3月の平均風速に対して $\pm 1\sigma$ の風速を考慮したシミュレーションを実施した結果、平均風速 $+1\sigma$ としたケースで、敷地における層厚が2.1cmとなった。



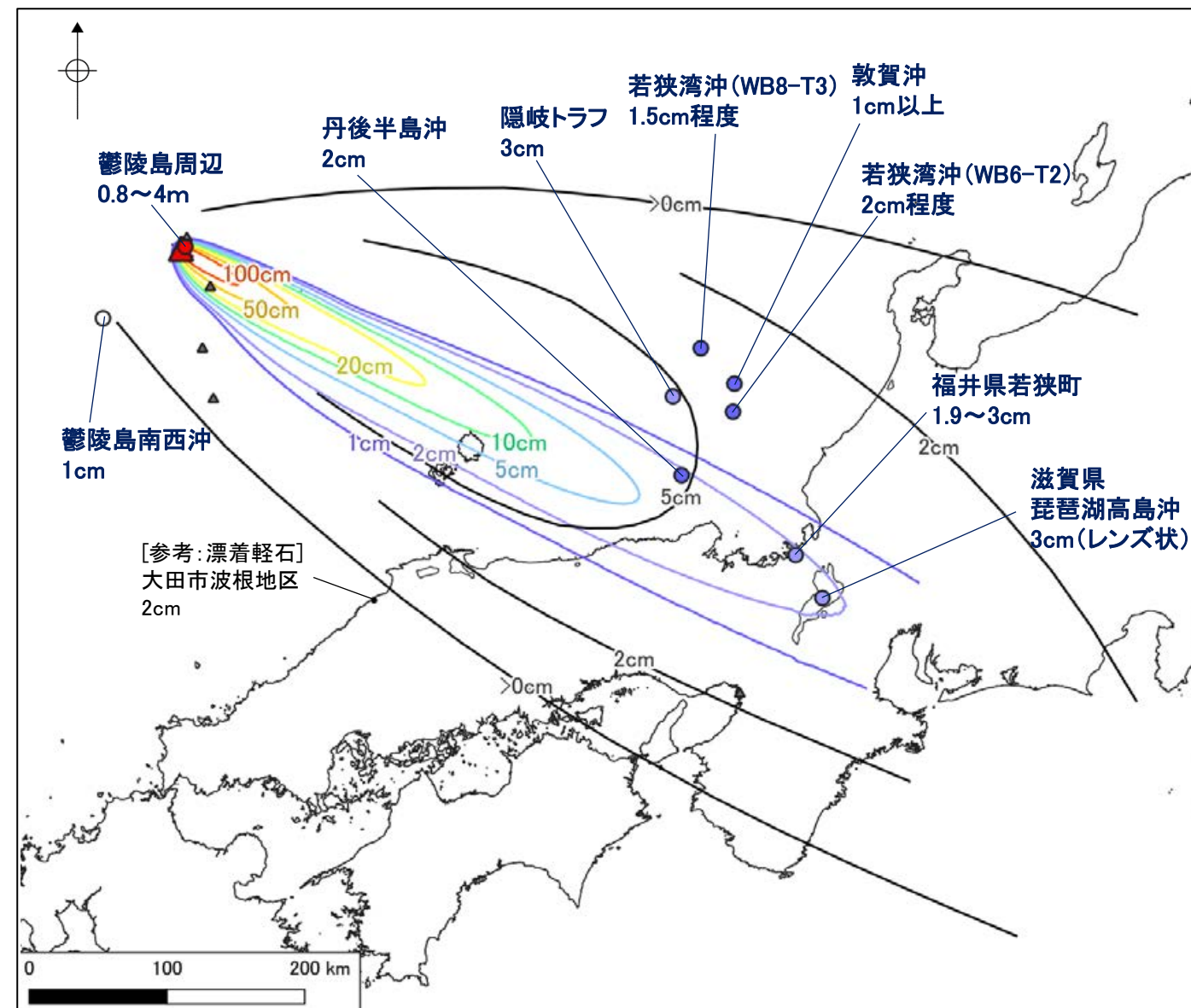
3.1.2.2(4) 鬱陵島(鬱陵島隕岐テフラ) -不確かさケース(風向)-

○基本ケースのうち敷地での層厚が最大となった3月のケースを対象に、風向の不確かさとして、3月の観測値を用いて敷地方向の風を作成しシミュレーションを実施した結果、敷地における層厚が1.9cmとなった。



3.1.2.2(4) 鬱陵島(鬱陵隠岐テフラ) —シミュレーション結果と文献の比較—

- シミュレーション結果と文献で示される鬱陵隠岐テフラの層厚を比較し、シミュレーションの妥当性を確認した。
- 鬱陵隠岐テフラについて、Shiihara et al.(2011)によると鬱陵島起源の完新世テフラのうちU-4テフラが鬱陵隠岐テフラ(U-Oki)に対比され、これまで鬱陵隠岐テフラに対比されたテフラにはU-2及びU-3テフラも含まれていることから、鬱陵隠岐テフラ(U-Oki)に関する文献のうち、Shiihara et al. (2011)等によりU-4テフラに対比されている情報のみを比較の対象とした。
- シミュレーション結果(基本ケース、2月)を実績分布主軸方向に回転させた分布と、文献による各地点の鬱陵隠岐テフラ(U-4テフラ)の実績層厚を比較した結果、シミュレーション結果と文献による陸域部分の実績層厚が概ね整合的であった。なお、文献による層厚情報として、町田・新井(2011)では鬱陵隠岐テフラ(U-Oki)の等層厚線図が示されているが、この等層厚線の根拠には近年の研究(Shiihara et al.(2011)等)によりU-2及びU-3に対比される情報も含まれていることから、参考扱いとする。
- よって、鬱陵島(鬱陵隠岐テフラ)を対象とした降下火碎物シミュレーションは妥当と評価した。



鬱陵隠岐テフラのシミュレーション結果と文献による層厚の比較

<文献による各地点の実績層厚>

地点名	層厚	文献
鬱陵島周辺	0.8~4m	*1 *2 *3
鬱陵島南西沖	1cm	*4
隠岐トラフ	3cm	*5, *6
丹後半島沖	2cm	*7
若狭湾沖(WB8-T3)	1.5cm程度	*8
敦賀沖	1cm以上	*5, *9
若狭湾沖(WB6-T2)	2cm程度	*8
福井県若狭町	1.9~3cm	
滋賀県琵琶湖高島沖	3cm(レンズ状)	*13, *7
島根県大田市波根地区	[参考:漂着軽石](2cm)	*10
福井県三方町(現 若狭町)	1.9~3cm	*11, *12 *5

*1:Kim et al.(2014), *2:町田ほか(1984), *3:Okuno et al.(2010),
*4:Chen et al.(2022), *5:Shiihara et al. (2011), *6:三浦ほか(1991),
*7:椎原ほか(2013), *8:長橋ほか(2022), *9:堂満ほか(2002),
*10:沢田ほか(1997), *11:Smith et al.(2011), *12:町田ほか(1981),
*13:吉川・井内(1991)

鬱陵隠岐テフラの分布に関する文献調査
結果の詳細は、[補足資料5\(4\)](#)

3. 火山事象の影響評価

3.1 降下火碎物の影響評価

3.1.1 文献・地質調査に基づく評価

3.1.1.1 降下火碎物に関する文献・地質調査

- (1) 文献調査(等層厚線図)
- (2) 文献調査(地質調査結果)
- (3) 降下火碎物に関する当社地質調査
- (4) 調査結果まとめ

3.1.1.2 紙源火山における同規模噴火の可能性の検討

3.1.1.3 評価まとめ

3.1.2 降下火碎物シミュレーションによる評価

3.1.2.1 シミュレーションを実施する降下火碎物の選定

- (1) 分布実績に基づく降下火碎物の選定
- (2) 地理的領域内の火山による降下火碎物の選定
- (3) 地理的領域外の火山による降下火碎物の選定
- (4) 選定結果まとめ

3.1.2.2 降下火碎物シミュレーション

- (1) 白山(南竜火山灰)
- (2) 立山(立山DテフラA, Cユニット)
- (3) 御嶽山(御嶽伊那テフラ)
- (4) 鬱陵島(鬱陵隠岐テフラ)
- (5) 大山(大山生竹テフラ)

3.1.2.3 評価まとめ

3.1.3 降下火碎物の密度及び粒径

3.1.4 降下火碎物の影響評価まとめ

3.2 降下火碎物以外の火山事象の影響評価

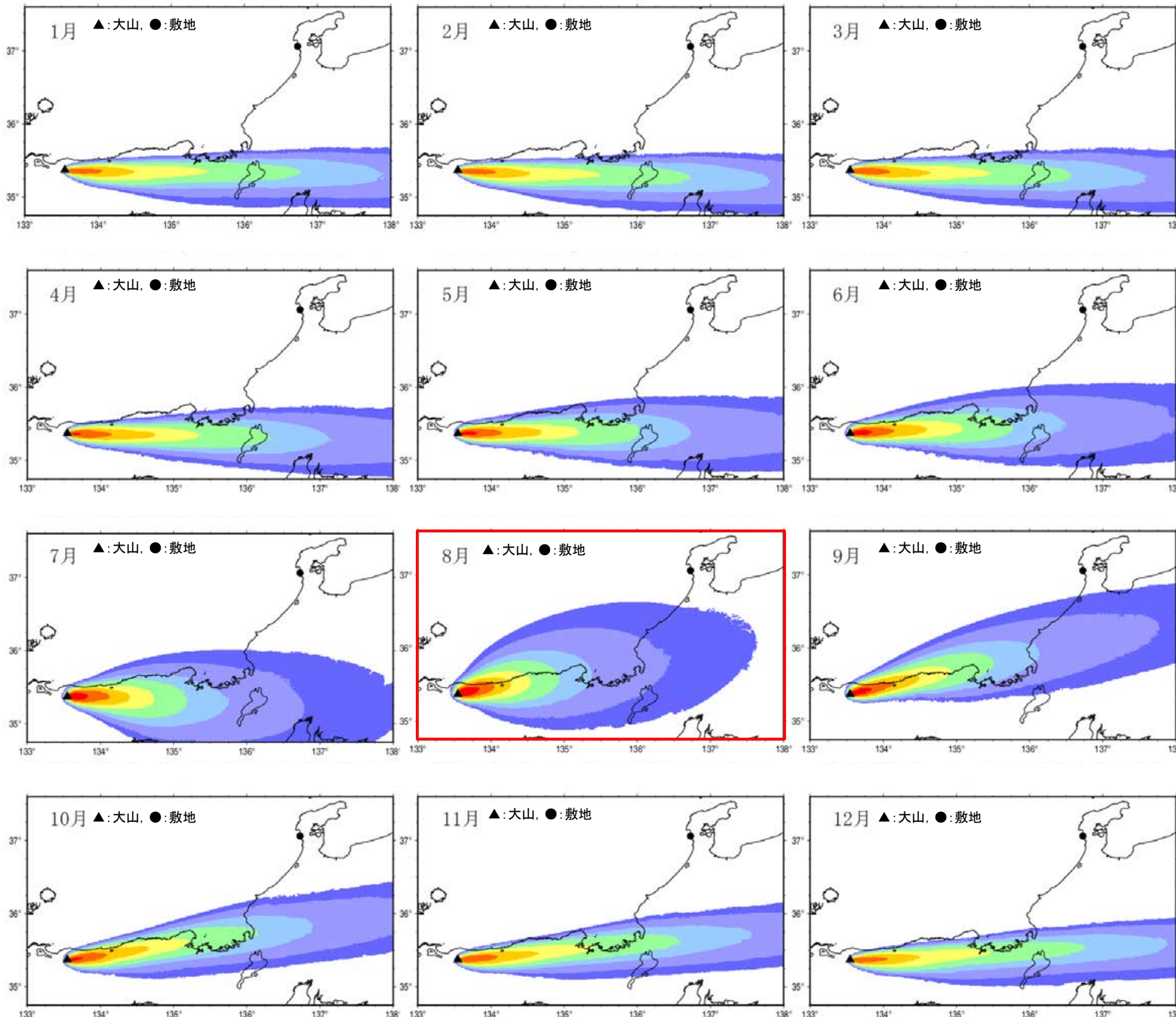
3.1.2.2(5) 大山(大山生竹テフラ) – 入力パラメーター

○大山(大山生竹テフラ)について、文献等の情報に基づき、以下のとおり入力パラメータ値を設定した。

降下火碎物	パラメータ	単位	設定値	設定根拠等
大山 (大山生竹テフラ)	X(東距)	m	367, 946	地質調査総合センター編(2023)を参考に、剣ヶ峰の最高点の位置及び標高を設定
	Y(北距)	m	3, 915, 180	
	標高	m	1, 729	
	噴出量	kg	1.1×10^{13}	・見かけ体積 (11.0km ³ : VEI6規模) × 堆積物密度 (1.0g/cm ³) -見かけ体積：関西電力(2019) -堆積物密度：地質調査総合センター編 (2021b)
	噴煙柱高度	m	25, 000	町田・新井(2011)を参考に設定
	噴煙柱分割高さ	m	約100	萬年(2013)より設定
	最大	mm (Φ)	1, 024 (-10)	Tephra2のconfigfileに示された珪長質噴火の一般値
	最小	mm (Φ)	1/1, 024 (10)	Tephra2のconfigfileに示された珪長質噴火の一般値
	中央	mm (Φ)	1/23 (4.5)	Tephra2のconfigfileに示されたVEI5の事例を参考に設定
	標準偏差	mm (Φ)	1/8 (3.0)	Tephra2のconfigfileに示されたVEI5の事例を参考に設定
	岩片密度	kg/m ³	2, 600	Tephra2のconfigfileに示された一般値
	軽石密度	kg/m ³	1, 000	Tephra2のconfigfileに示された一般値
	見かけの渦拡散係数	m ² /s	0. 04	萬年(2013)より設定
	拡散係数	m ² /s	10, 000	萬年(2013)を参考に設定
	Fall Time Threshold	s	3, 600	萬年(2013)より設定
	Plume Ratio	-	0. 1	Tephra2のconfigfileに示された事例を参考に設定
	気象データ (高度・風速・風向)	-	-	・米子・松江における高層気象観測記録 (9時, 21時の風速・風向データ) -データ取得期間 米子：1988年1月1日～2010年2月28日 (データ取得日：2021年1月5日) 松江：2010年3月1日～2020年12月31日 (データ取得日：2021年1月5日)

3.1.2.2(5) 大山(大山生竹テフラ) — 基本ケース —

- 大山生竹テフラを対象として、米子・松江での風速・風向データ(月別平均値)を用いて降下火碎物シミュレーションを実施した結果、敷地における降下火碎物の層厚は、0.01cm未満～0.55cmとなった。
- このうち、敷地における層厚(降灰量)が最大となるのは、8月の場合の0.55cmである。



<シミュレーション結果(基本ケース)>

月	敷地の降灰量	
	層厚 (cm)	堆積重量 (kg/m ²)
1月	0.01cm未満	4.4×10^{-3}
2月	0.01cm未満	5.5×10^{-3}
3月	0.01cm未満	1.4×10^{-2}
4月	0.01cm未満	6.9×10^{-2}
5月	0.03	2.7×10^{-1}
6月	0.07	6.4×10^{-1}
7月	0.12	1.2×10^0
8月	0.55	5.5×10^0
9月	0.41	4.1×10^0
10月	0.04	3.4×10^{-1}
11月	0.01cm未満	7.8×10^{-2}
12月	0.01cm未満	1.2×10^{-2}

□ 敷地における層厚が最大となる月

凡例
~1cm
1cm~2cm
2cm~5cm
5cm~10cm
10cm~25cm
25cm~50cm
50cm~100cm
100cm~200cm
200cm~

3.1.2.2(5) 大山(大山生竹テフラ) –考慮する不確かさ–

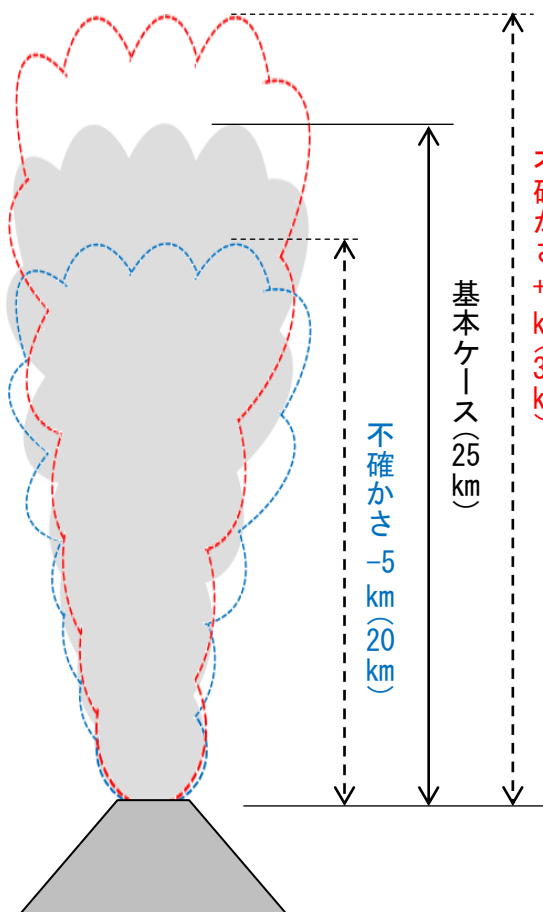
- 「基本ケース」で敷地における層厚が最大となる月(8月)を対象に、不確かさを考慮したシミュレーションを実施する。
- 8月の気象データを用いて、噴煙柱高度、風速及び風向の不確かさを考慮する。

<基本ケース（最大月8月）>

- ・噴煙柱高度25km
- ・8月の平均風速・風向

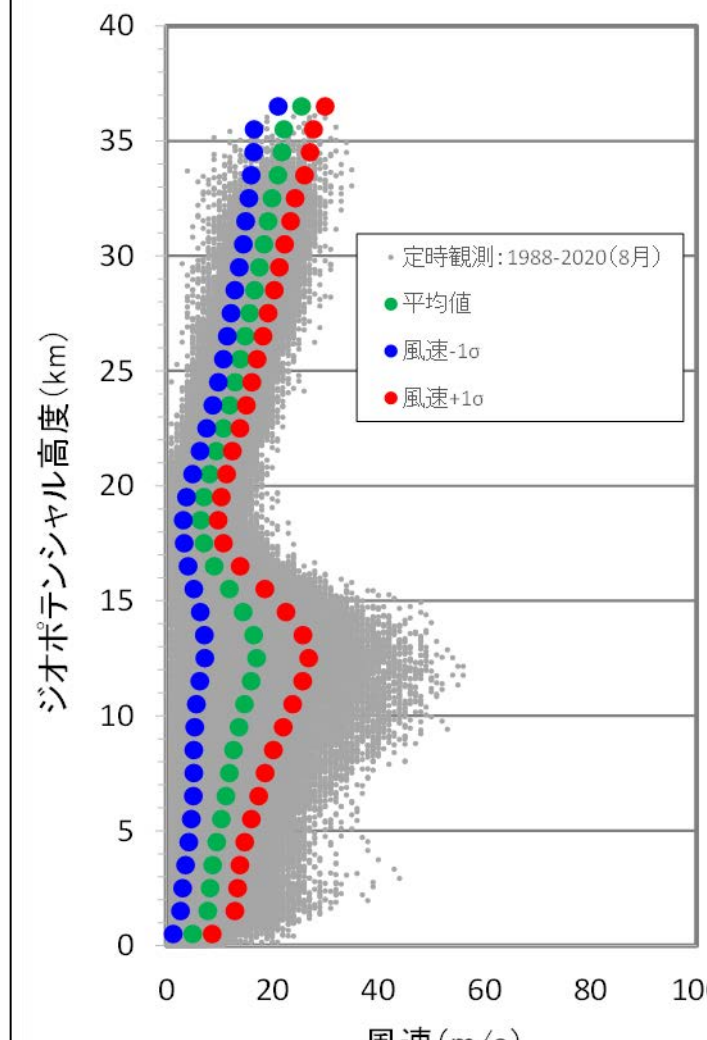
噴煙柱高度の不確かさ

基本ケース(25km)に対して
±5kmを考慮する。



風速の不確かさ

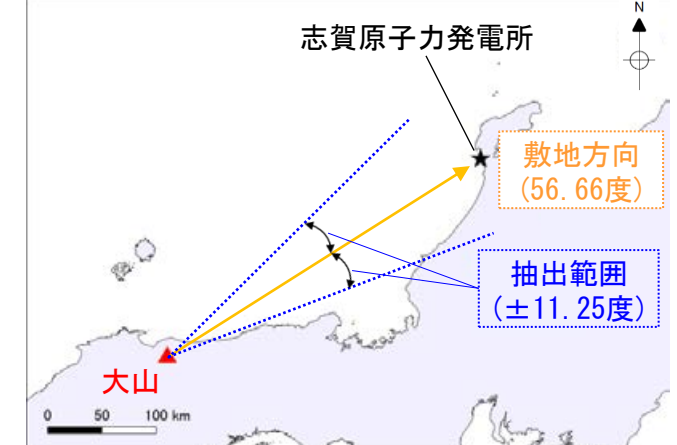
基本ケース(平均風速)に対して
±1σ(標準偏差)を考慮する。



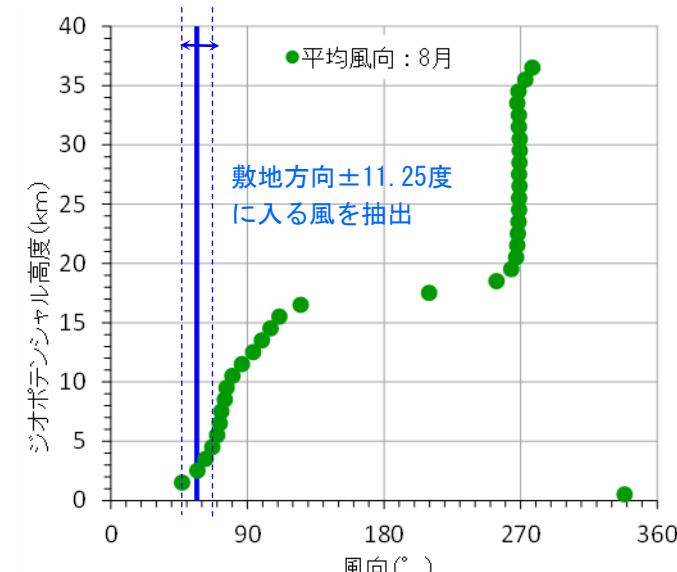
高度1km毎に風速データを整理し、
±1σの風速を設定

風向の不確かさ

基本ケース(平均風向)に対して
敷地方向の風を考慮する。

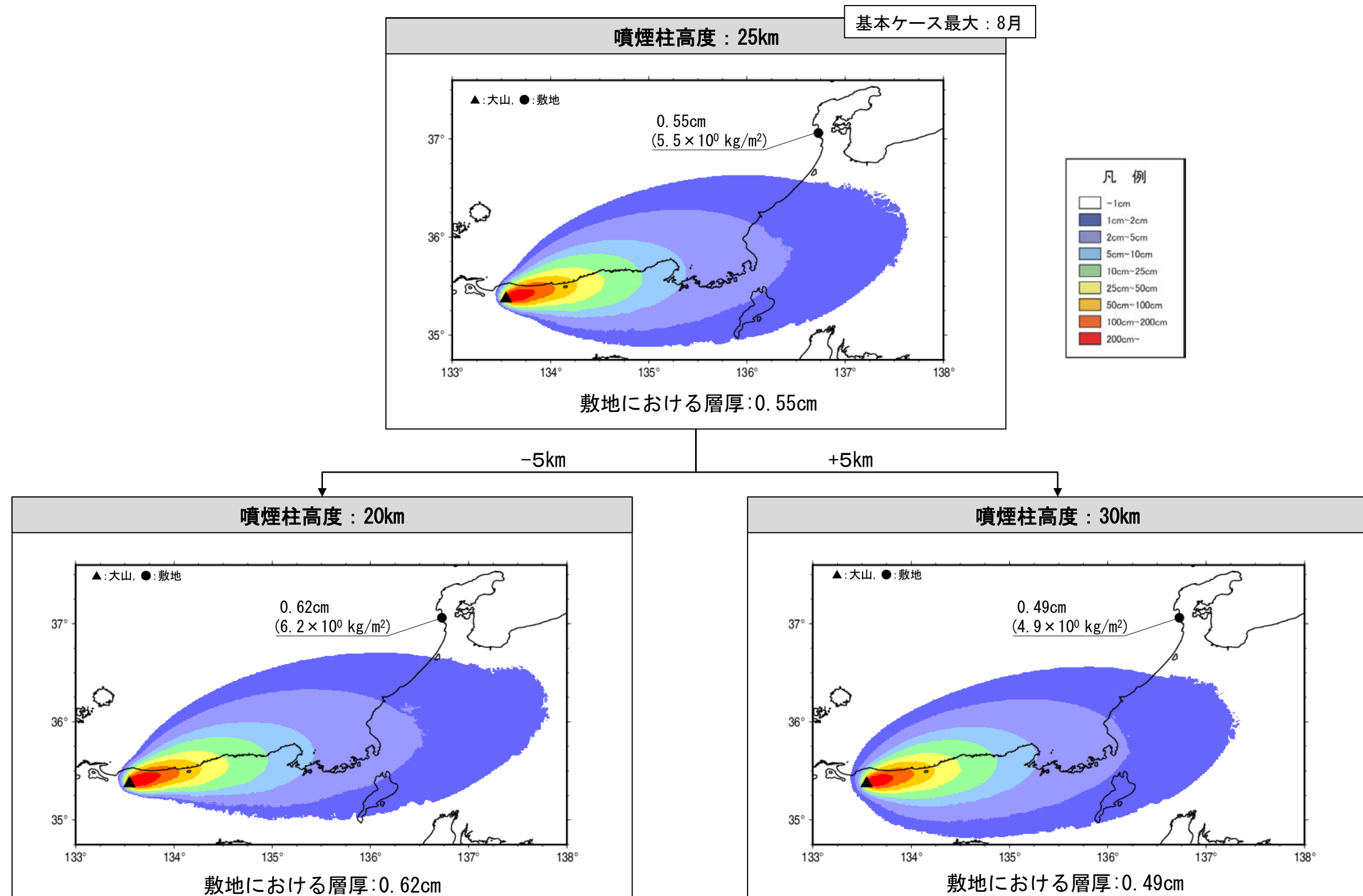


8月の観測記録のうち、風向の平均値が敷地方向(56.66度)から16方位の1方位分の角度(±11.25度)に入る風を抽出し、敷地方向の風を設定



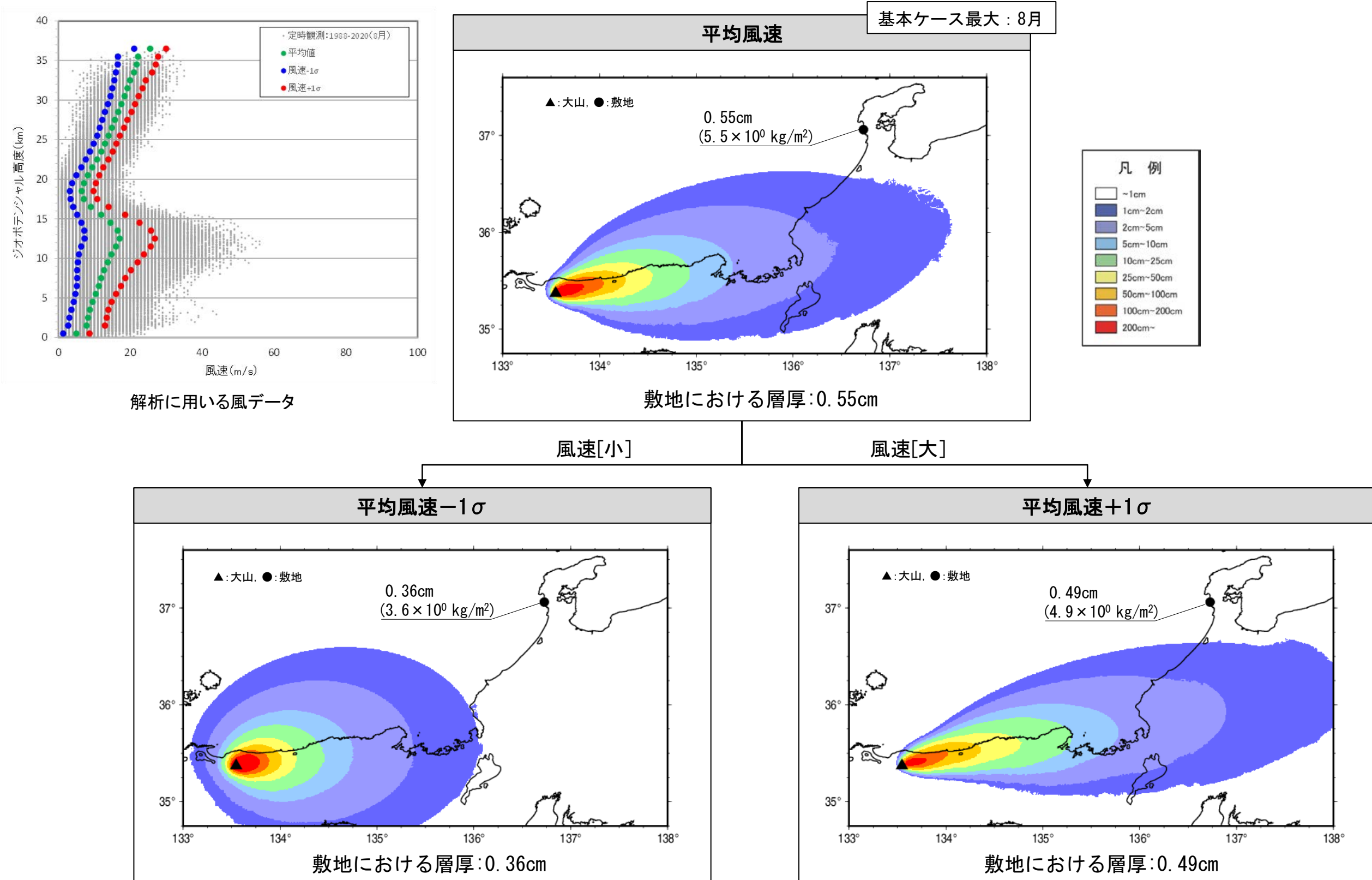
3.1.2.2(5) 大山(大山生竹テフラ) –不確かさケース(噴煙柱高度)–

○基本ケースのうち敷地での層厚が最大となった8月のケースを対象に、噴煙柱高度の不確かさとして、基本ケースの噴煙柱高度25kmに対して±5kmを考慮した解析を実施した結果、噴煙柱高度を20kmとしたケースで、敷地における層厚が0.62cmとなった。



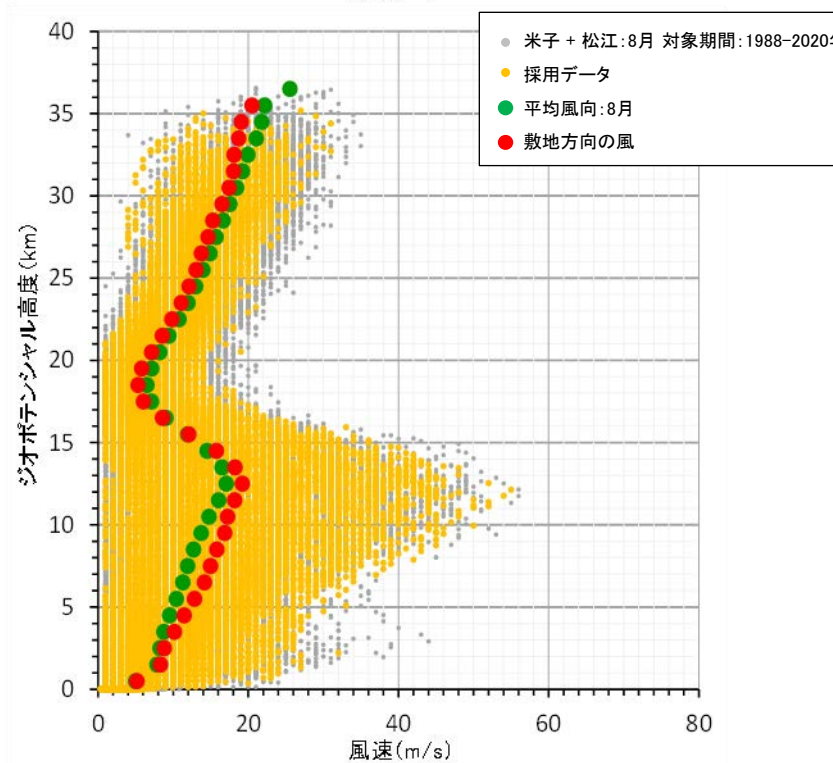
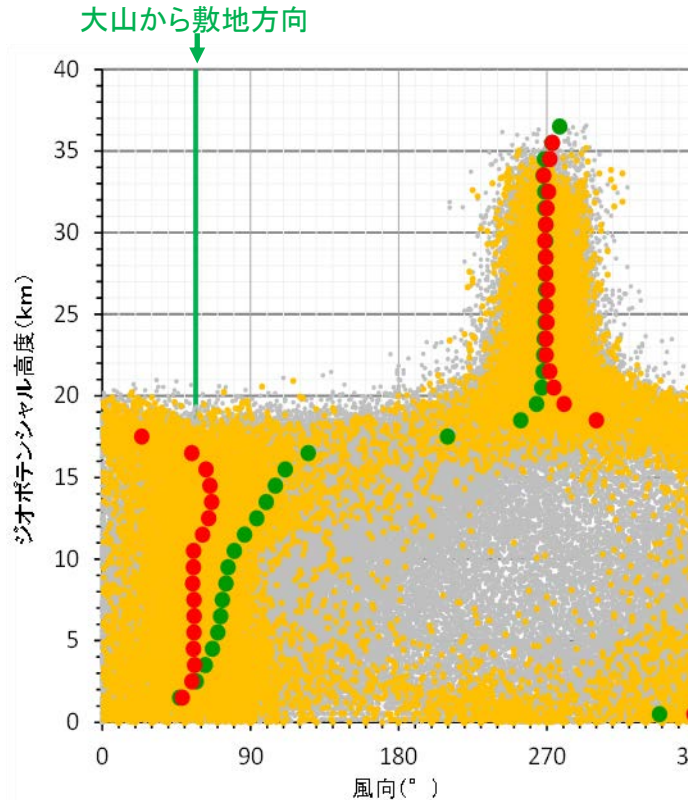
3.1.2.2(5) 大山(大山生竹テフラ) –不確かさケース(風速)–

○基本ケースのうち敷地での層厚が最大となった8月のケースを対象に、風速の不確かさとして、8月の平均風速に対して $\pm 1\sigma$ の風速を考慮したシミュレーションを実施した結果、基本ケース(8月)における敷地での層厚を下回る結果となった。

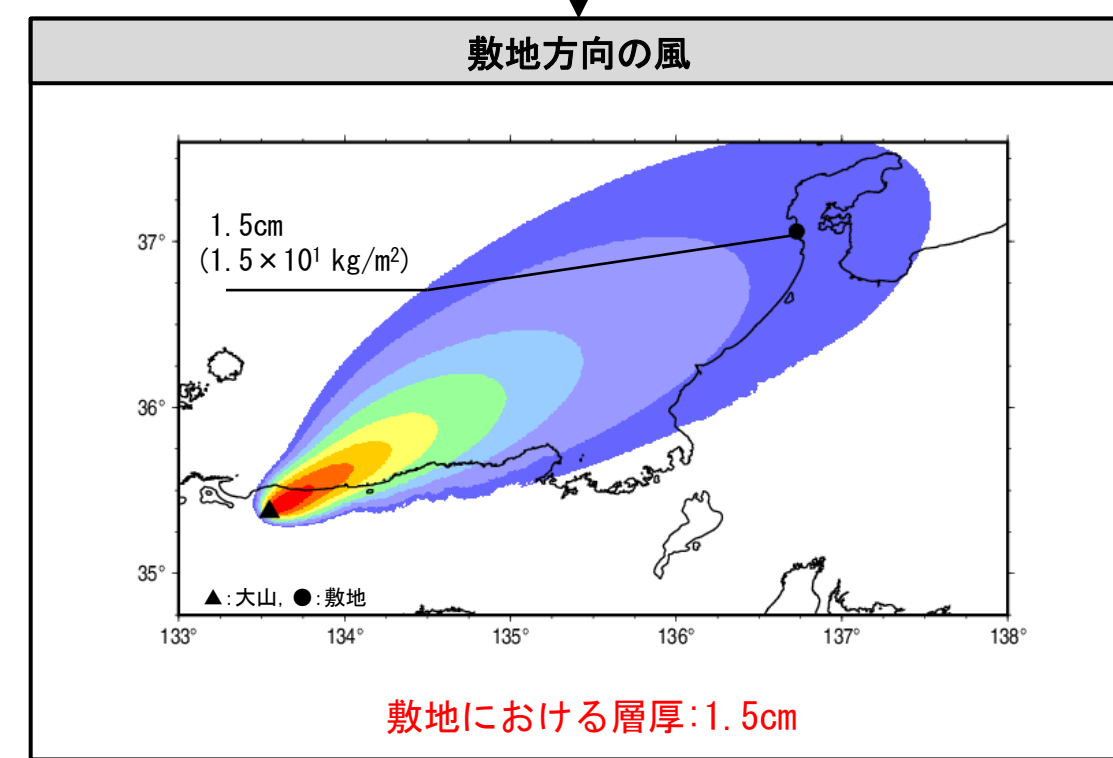
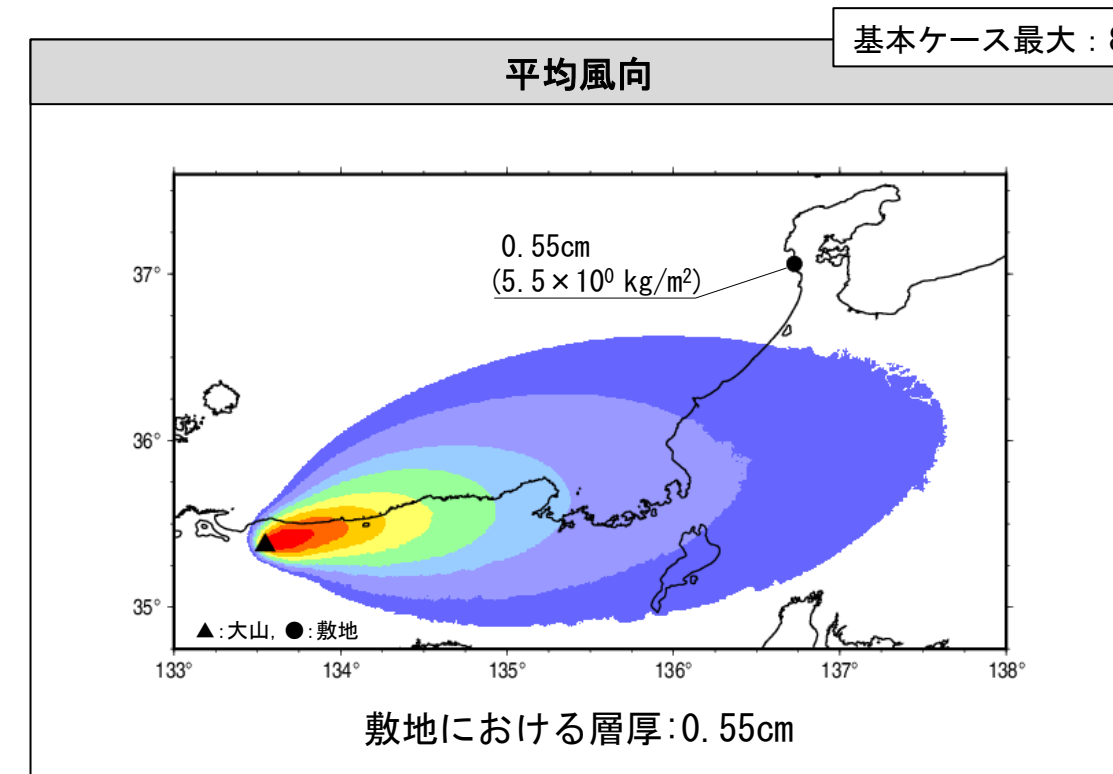


3.1.2.2(5) 大山(大山生竹テフラ) –不確かさケース(風向)–

○基本ケースのうち敷地での層厚が最大となった8月のケースを対象に、風向の不確かさとして、8月の観測値を用いて敷地方向の風を作成しシミュレーションを実施した結果、敷地における層厚が1.5cmとなった。

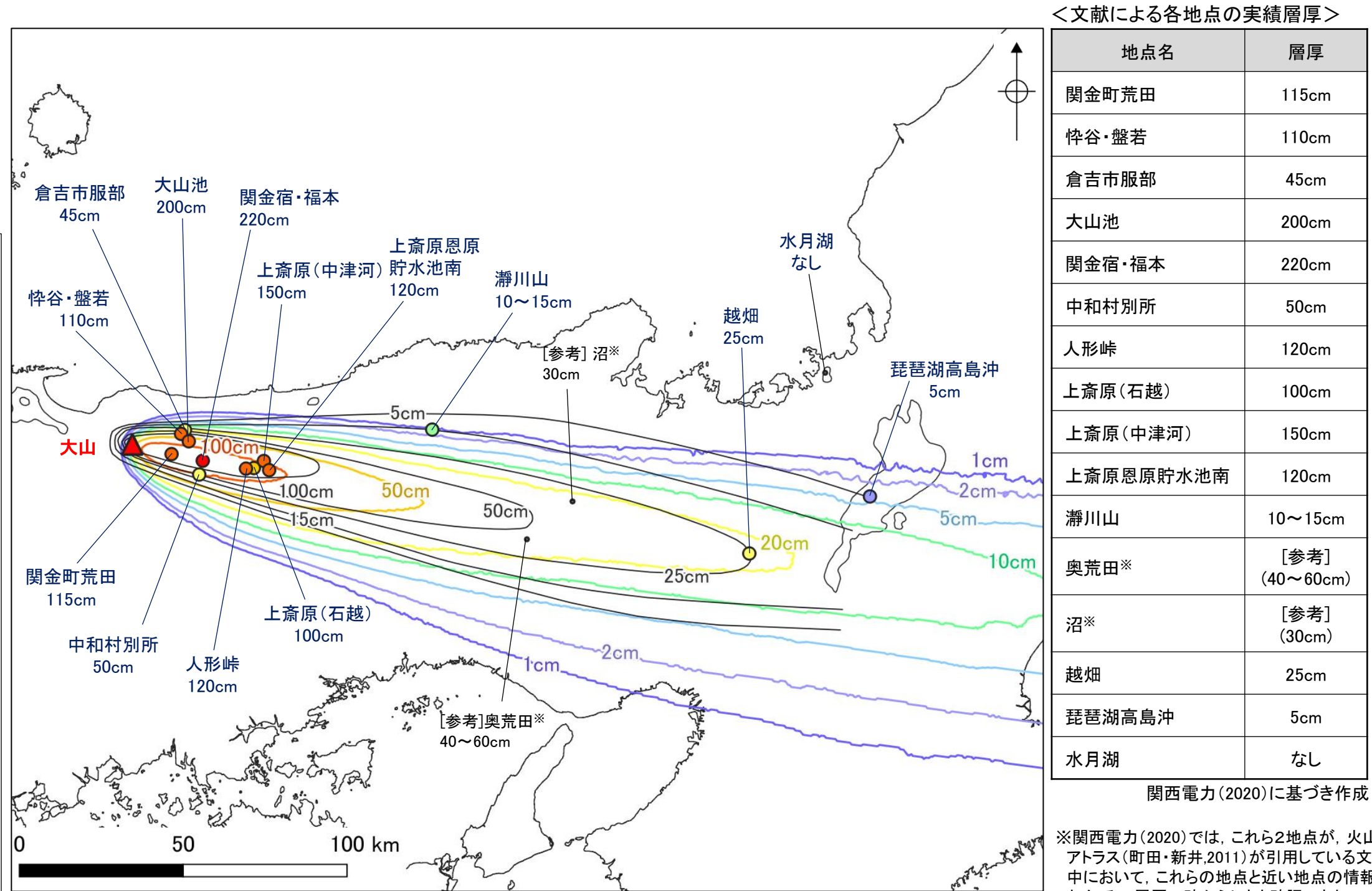


解析に用いる風データ



3.1.2.2(5) 大山(大山生竹テフラ) —シミュレーション結果と文献の比較—

- シミュレーション結果と文献で示される大山生竹テフラの層厚を比較し、シミュレーションの妥当性を確認した。
- 関西電力(2020)は、大山生竹テフラに関する文献調査及び地質調査結果を整理し、大山生竹テフラの等層厚線図を示している。
- シミュレーション結果(基本ケース、2月)を実績分布主軸方向に回転させた分布と、関西電力(2020)による各地点の実績層厚及び等層厚線を比較した結果、シミュレーション結果と文献による層厚の分布が概ね整合的であった。
- よって、シミュレーション結果と文献の比較により、大山(大山生竹テフラ)を対象とした降下火碎物シミュレーションは妥当と評価した。



3. 火山事象の影響評価

3.1 降下火碎物の影響評価

3.1.1 文献・地質調査に基づく評価

3.1.1.1 降下火碎物に関する文献・地質調査

- (1) 文献調査(等層厚線図)
- (2) 文献調査(地質調査結果)
- (3) 降下火碎物に関する当社地質調査
- (4) 調査結果まとめ

3.1.1.2 紙源火山における同規模噴火の可能性の検討

3.1.1.3 評価まとめ

3.1.2 降下火碎物シミュレーションによる評価

3.1.2.1 シミュレーションを実施する降下火碎物の選定

- (1) 分布実績に基づく降下火碎物の選定
- (2) 地理的領域内の火山による降下火碎物の選定
- (3) 地理的領域外の火山による降下火碎物の選定
- (4) 選定結果まとめ

3.1.2.2 降下火碎物シミュレーション

- (1) 白山(南竜火山灰)
- (2) 立山(立山DテフラA, Cユニット)
- (3) 御嶽山(御嶽伊那テフラ)
- (4) 鬱陵島(鬱陵隠岐テフラ)
- (5) 大山(大山生竹テフラ)

3.1.2.3 評価まとめ

3.1.3 降下火碎物の密度及び粒径

3.1.4 降下火碎物の影響評価まとめ

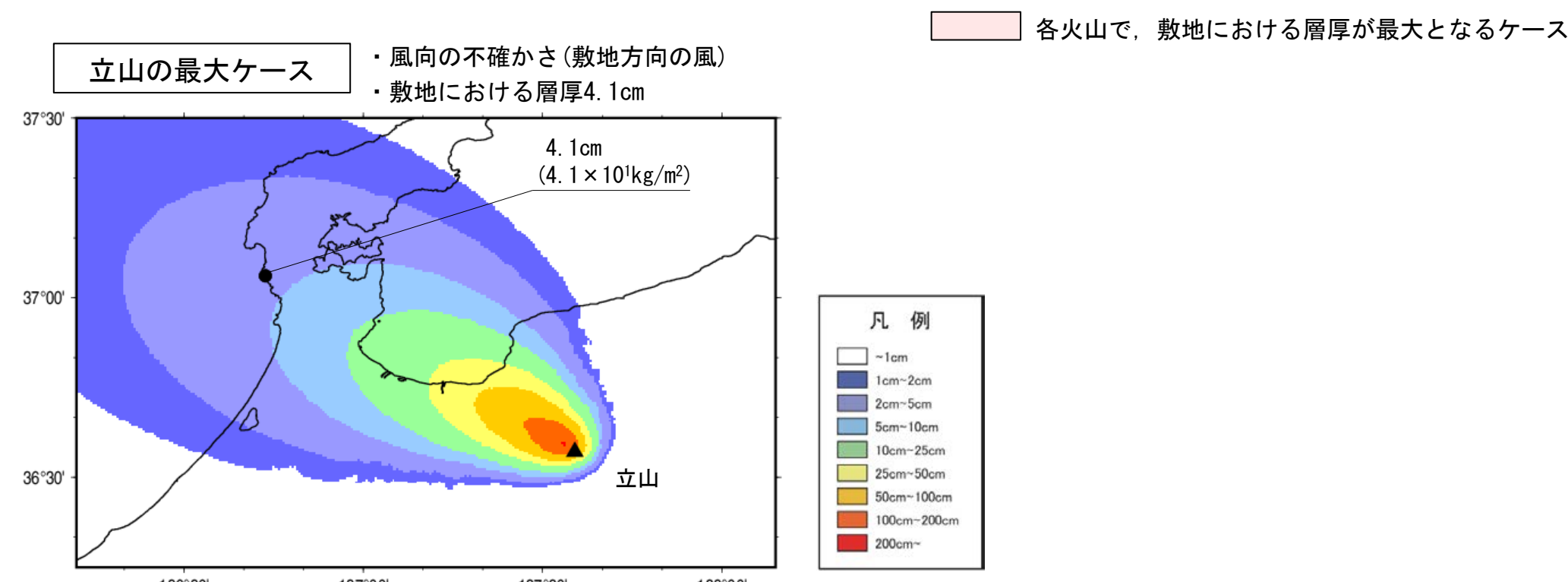
3.2 降下火碎物以外の火山事象の影響評価

3.1.2.3 評価まとめ

- 白山(南竜火山灰), 立山(立山DテフラA,Cユニット), 御嶽山(御嶽伊那テフラ), 鬱陵島(鬱陵隠岐テフラ)及び大山(大山生竹テフラ)を対象にTephra2を用いた降下火碎物シミュレーションを実施し, 降下火碎物の敷地における層厚を評価した。
- 不確かさを考慮した降下火碎物シミュレーションを実施した結果, 下表のとおり, 立山(立山DテフラA,Cユニット)の4.1cmが敷地において最大となった。
- なお, 当社使用のTephra2の解析コードについては, 産業技術総合研究所HP上のTephra2(G-EVER)による結果との比較により, 妥当性を確認している(次々頁)。

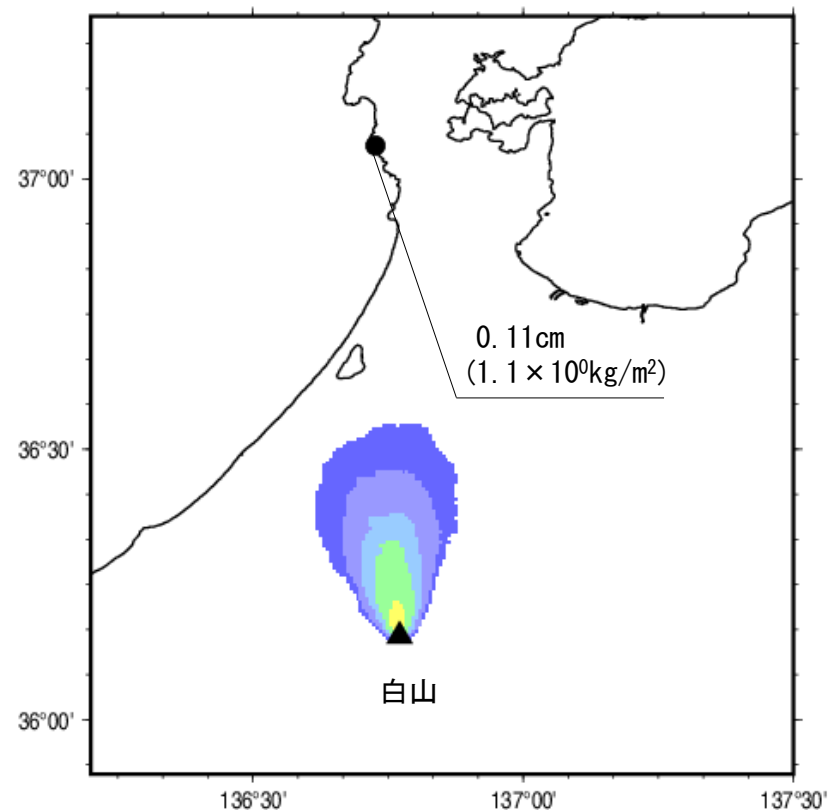
<降下火碎物シミュレーション結果一覧（敷地における層厚）>

検討項目		白山 (南竜火山灰)	立山 (立山DテフラA, Cユニット)	御嶽山 (御嶽伊那テフラ)	鬱陵島 (鬱陵隠岐テフラ)	大山 (大山生竹テフラ)
基本ケース (敷地における層厚の最大月)		0.01cm未満 (8月)	0.01cm未満 (8月)	0.01cm未満 (8月)	1.5cm (3月)	0.55cm (8月)
不確かさ ケース	噴煙柱 高度	-5km 0.02cm	0.01cm未満	0.01cm未満	1.5cm	0.62cm
	+5km	0.01cm未満	0.01cm未満	0.02cm	1.5cm	0.49cm
	風速	-1σ 0.02cm	0.06cm	0.07cm	1.0cm	0.36cm
	+1σ	0.01cm未満	0.01cm未満	0.01cm未満	2.1cm	0.49cm
	風向(敷地方向の風)	0.11cm	4.1cm	2.3cm	1.9cm	1.5cm



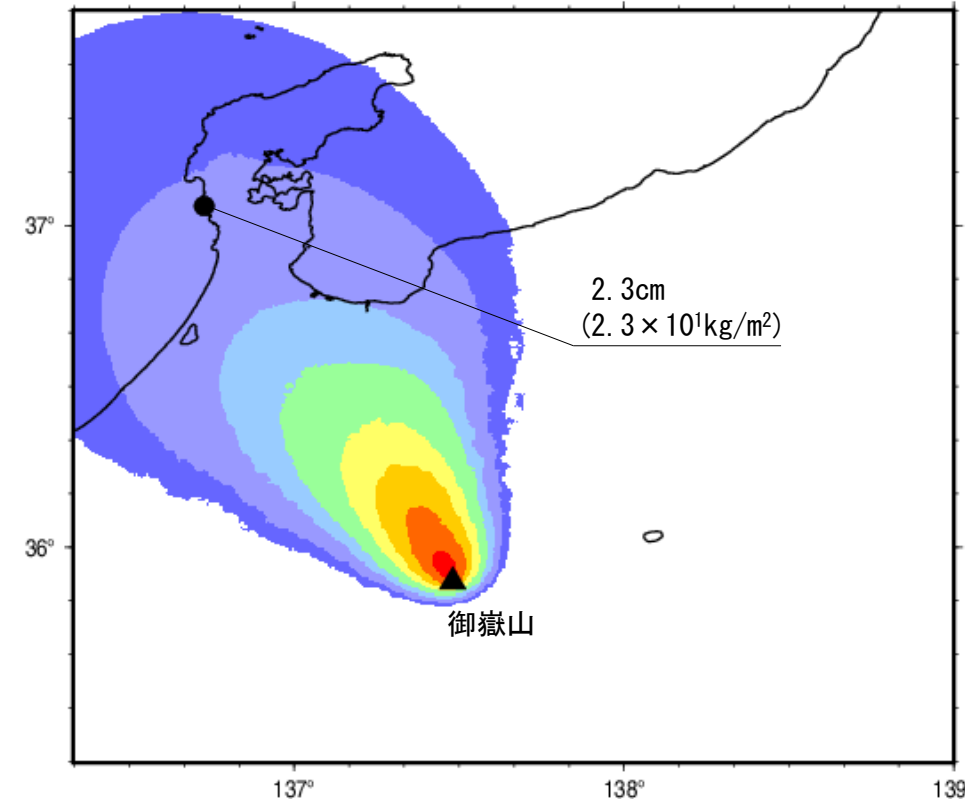
白山の最大ケース

- ・風向の不確かさ(敷地方向の風)
- ・敷地における層厚0.11cm



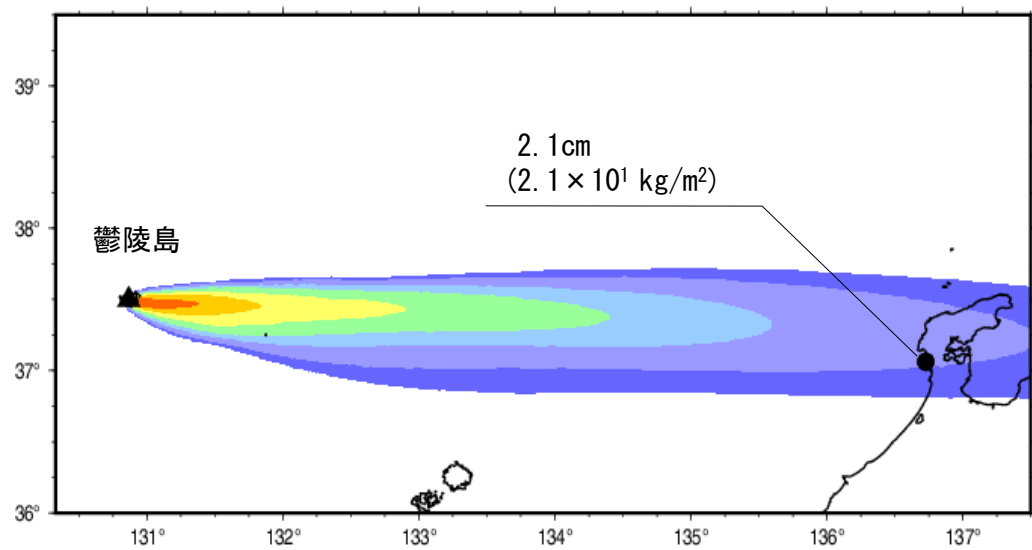
御嶽山の最大ケース

- ・風向の不確かさ(敷地方向の風)
- ・敷地における層厚2.3cm



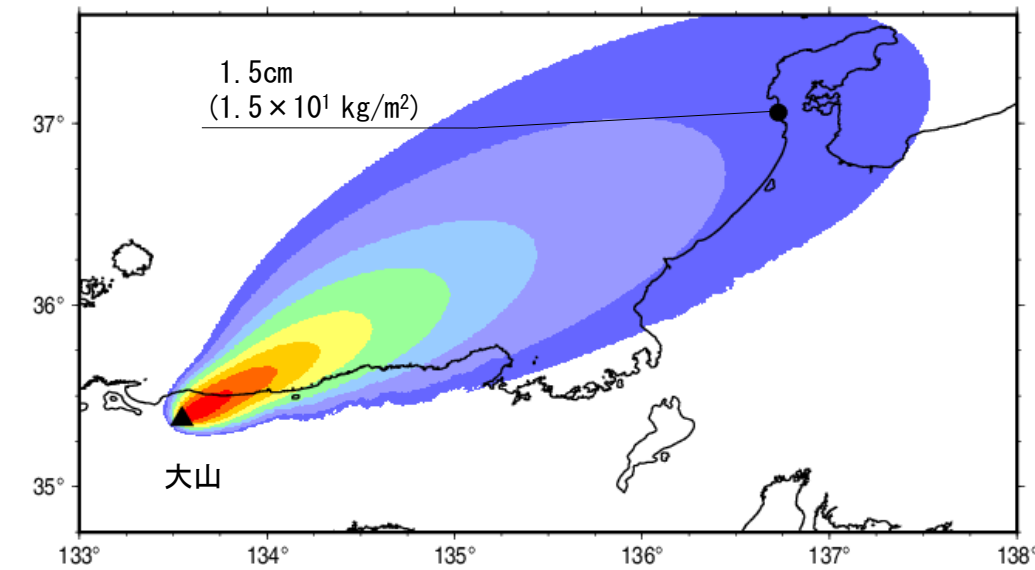
鬱陵島の最大ケース

- ・風速の不確かさ+1 σ
- ・敷地における層厚2.1cm



大山の最大ケース

- ・風向の不確かさ(敷地方向の風)
- ・敷地における層厚1.5cm



【産業技術総合研究所HP上のTephra2(G-EVER)による結果との比較】

○当社使用のTephra2の解析コードは、バグを当社独自に修正して用いていることから、産業技術総合研究所地質調査総合センターによりバグが修正されHP上(G-EVER)で公開・管理されているTephra2を用いて同様の条件で解析を行い、敷地における層厚を比較することにより、当社が使用するTephra2の妥当性を確認した。

○当社使用のTephra2とG-EVERでは、下表のとおり、ほぼ同様の結果が得られることから、当社使用のTephra2は妥当と評価した。

■降下火碎物シミュレーション結果一覧（敷地における層厚）

ケース		白山 (南竜火山灰)		立山 (立山DテフラA,Cユニット)		御嶽山 (御嶽伊那テフラ)		鬱陵島 (鬱陵隠岐テフラ)		大山 (大山生竹テフラ)	
		当社使用の Tephra2	産業技術総合 研究所HP上の Tephra2 (G-EVER)	当社使用の Tephra2	産業技術総合 研究所HP上の Tephra2 (G-EVER)	当社使用の Tephra2	産業技術総合 研究所HP上の Tephra2 (G-EVER)	当社使用の Tephra2	産業技術総合 研究所HP上の Tephra2 (G-EVER)	当社使用の Tephra2	産業技術総合 研究所HP上の Tephra2 (G-EVER)
基本 ケース	1月	0.01cm未満	0.01cm未満	0.01cm未満	0.01cm未満	0.01cm未満	0.01cm未満	1.4cm	1.4cm	0.01cm未満	0.01cm未満
	2月	0.01cm未満	0.01cm未満	0.01cm未満	0.01cm未満	0.01cm未満	0.01cm未満	1.4cm	1.5cm	0.01cm未満	0.01cm未満
	3月	0.01cm未満	0.01cm未満	0.01cm未満	0.01cm未満	0.01cm未満	0.01cm未満	1.5cm	1.6cm	0.01cm未満	0.01cm未満
	4月	0.01cm未満	0.01cm未満	0.01cm未満	0.01cm未満	0.01cm未満	0.01cm未満	1.4cm	1.5cm	0.01cm未満	0.01cm未満
	5月	0.01cm未満	0.01cm未満	0.01cm未満	0.01cm未満	0.01cm未満	0.01cm未満	1.3cm	1.4cm	0.03cm	0.04cm
	6月	0.01cm未満	0.01cm未満	0.01cm未満	0.01cm未満	0.01cm未満	0.01cm未満	0.92cm	0.96cm	0.07cm	0.06cm
	7月	0.01cm未満	0.01cm未満	0.01cm未満	0.01cm未満	0.01cm未満	0.01cm未満	0.65cm	0.67cm	0.12cm	0.17cm
	8月	0.01cm未満	0.01cm未満	0.01cm未満	0.01cm未満	0.01cm未満	0.01cm未満	0.34cm	0.37cm	0.55cm	0.55cm
	9月	0.01cm未満	0.01cm未満	0.01cm未満	0.01cm未満	0.01cm未満	0.01cm未満	0.31cm	0.35cm	0.41cm	0.33cm
	10月	0.01cm未満	0.01cm未満	0.01cm未満	0.01cm未満	0.01cm未満	0.01cm未満	0.37cm	0.40cm	0.04cm	0.02cm
	11月	0.01cm未満	0.01cm未満	0.01cm未満	0.01cm未満	0.01cm未満	0.01cm未満	0.36cm	0.38cm	0.01cm未満	0.01cm未満
	12月	0.01cm未満	0.01cm未満	0.01cm未満	0.01cm未満	0.01cm未満	0.01cm未満	0.57cm	0.59cm	0.01cm未満	0.01cm未満
不確かさ ケース	噴煙柱 高度	-5km	0.02cm	0.01cm未満	0.01cm未満	0.01cm未満	0.01cm未満	1.5cm	1.6cm	0.62cm	0.61cm
		+5km	0.01cm未満	0.01cm未満	0.01cm未満	0.01cm未満	0.02cm	0.01cm未満	1.5cm	1.6cm	0.49cm
	風速	-1σ	0.02cm	0.02cm	0.06cm	0.04cm	0.07cm	0.05cm	1.0cm	1.1cm	0.36cm
		+1σ	0.01cm未満	0.01cm未満	0.01cm未満	0.01cm未満	0.01cm未満	0.01cm未満	2.1cm	2.2cm	0.49cm
	風向(敷地方向の風)	0.11cm	0.17cm	4.1cm	5.0cm	2.3cm	2.6cm	1.9cm	1.9cm	1.5cm	1.6cm

3. 火山事象の影響評価

3.1 降下火碎物の影響評価

3.1.1 文献・地質調査に基づく評価

3.1.1.1 降下火碎物に関する文献・地質調査

- (1) 文献調査(等層厚線図)
- (2) 文献調査(地質調査結果)
- (3) 降下火碎物に関する当社地質調査
- (4) 調査結果まとめ

3.1.1.2 紙源火山における同規模噴火の可能性の検討

3.1.1.3 評価まとめ

3.1.2 降下火碎物シミュレーションによる評価

3.1.2.1 シミュレーションを実施する降下火碎物の選定

- (1) 分布実績に基づく降下火碎物の選定
- (2) 地理的領域内の火山による降下火碎物の選定
- (3) 地理的領域外の火山による降下火碎物の選定
- (4) 選定結果まとめ

3.1.2.2 降下火碎物シミュレーション

- (1) 白山(南竜火山灰)
- (2) 立山(立山DテフラA, Cユニット)
- (3) 御嶽山(御嶽伊那テフラ)
- (4) 鬱陵島(鬱陵隠岐テフラ)
- (5) 大山(大山生竹テフラ)

3.1.2.3 評価まとめ

3.1.3 降下火碎物の密度及び粒径

3.1.4 降下火碎物の影響評価まとめ

3.2 降下火碎物以外の火山事象の影響評価

3.1.3 降下火碎物の密度及び粒径 一密度一

○敷地に降下する火碎物の密度に関して文献調査を実施した。

○下記の文献において示された密度は、いずれも $1.5\text{g}/\text{cm}^3$ 以下である。

○よって、降下火碎物の密度(湿潤密度)を $1.5\text{g}/\text{cm}^3$ と設定した。

<降下火碎物の密度に関する文献調査結果>

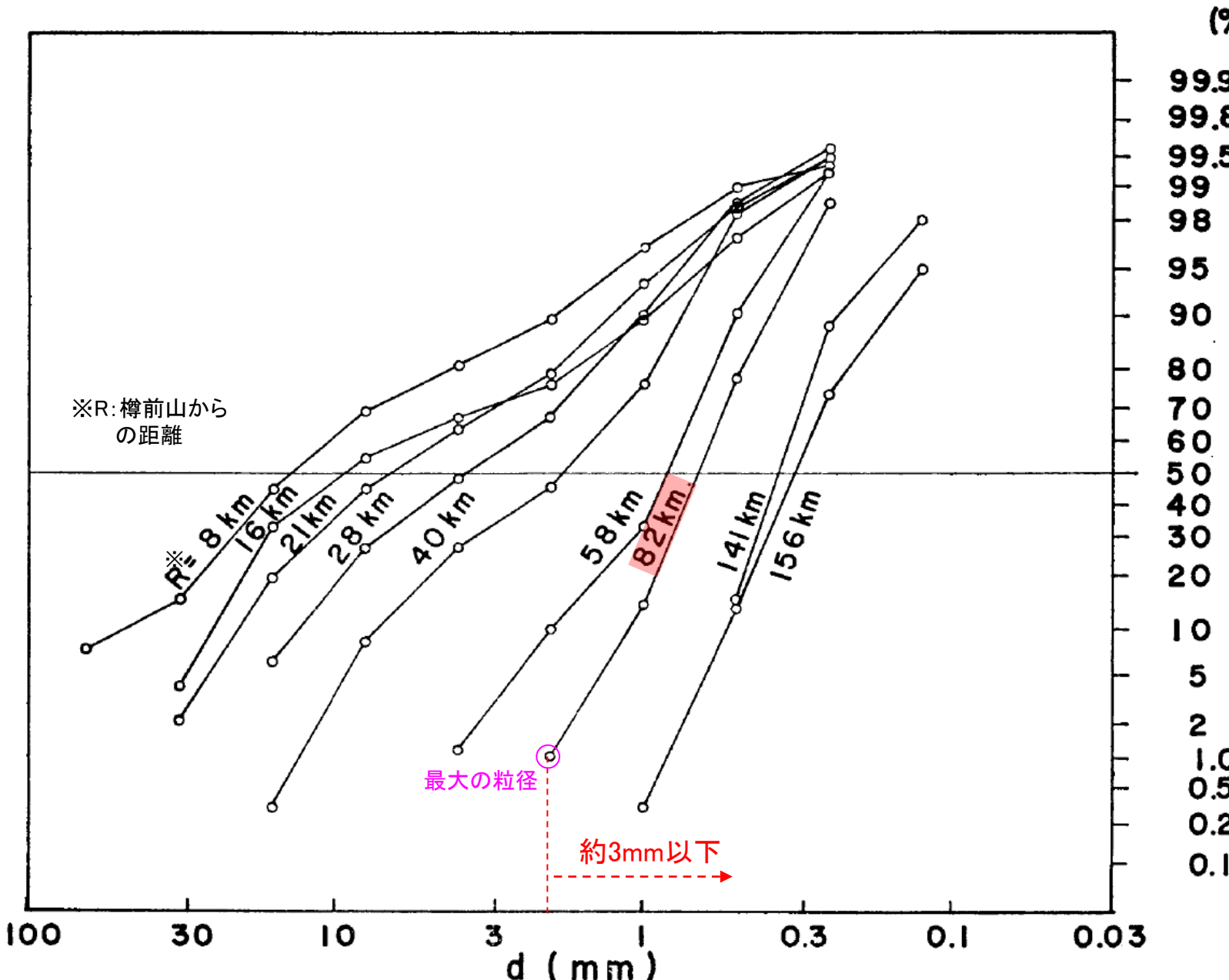
- ・宇井編(1997)によると、「乾燥した火山灰は密度が0.4～0.7であるが、湿ると1.2を超えることがある。」とされる。
- ・1万年噴火イベントデータ集(地質調査総合センター編, 2021b)によると、降下火碎物の見かけ堆積物密度は $1.0\text{ g}/\text{cm}^3$ 程度とされる。
- ・Umeda et al.(2013)及び梅田ほか(1999)によると、降下火碎物の堆積物密度は $1.5\text{ g}/\text{cm}^3$ とされる。
- ・土志田(2011)によると、湿潤状態の場合は $1.2\sim1.5\text{ g}/\text{cm}^3$ 以上に達することがあるとされる。
- ・須藤(2004)によると、堆積直後の乾燥した細粒の火山灰は、 1cm^3 当たり 1g 程度とされる。
- ・木佐ほか(2013)では、火山灰の飽和透水試験を行う上で、透水円筒への試料充填密度を $1.5\text{g}/\text{cm}^3$ と設定している。

3.1.3 降下火碎物の密度及び粒径 一粒径一

○敷地に降下する火碎物の粒径に関して文献調査を実施した。

○樽前山の降下火碎物における距離-粒度分布(鈴木ほか, 1973)を参照すると、敷地と原子力発電所に影響を及ぼし得る火山の距離が94km以上であることから、敷地へ降下する火碎物の最大粒径は約3mm以下と想定される。

○よって、降下火碎物の粒径を3mm以下と設定した。



敷地と原子力発電所に影響を及ぼし得る火山の距離が94km以上であることから、鈴木ほか(1973)に示される距離別の積算粒度分布のうち82kmの粒径分布曲線を参考し、3mm以下と設定した。

樽前山の降下火碎物の距離別の積算粒度分布
(鈴木ほか(1973)に一部加筆)

3. 火山事象の影響評価

3.1 降下火碎物の影響評価

3.1.1 文献・地質調査に基づく評価

3.1.1.1 降下火碎物に関する文献・地質調査

- (1) 文献調査(等層厚線図)
- (2) 文献調査(地質調査結果)
- (3) 降下火碎物に関する当社地質調査
- (4) 調査結果まとめ

3.1.1.2 紙源火山における同規模噴火の可能性の検討

3.1.1.3 評価まとめ

3.1.2 降下火碎物シミュレーションによる評価

3.1.2.1 シミュレーションを実施する降下火碎物の選定

- (1) 分布実績に基づく降下火碎物の選定
- (2) 地理的領域内の火山による降下火碎物の選定
- (3) 地理的領域外の火山による降下火碎物の選定
- (4) 選定結果まとめ

3.1.2.2 降下火碎物シミュレーション

- (1) 白山(南竜火山灰)
- (2) 立山(立山DテフラA, Cユニット)
- (3) 御嶽山(御嶽伊那テフラ)
- (4) 鬱陵島(鬱陵隠岐テフラ)
- (5) 大山(大山生竹テフラ)

3.1.2.3 評価まとめ

3.1.3 降下火碎物の密度及び粒径

3.1.4 降下火碎物の影響評価まとめ

3.2 降下火碎物以外の火山事象の影響評価

3.1.4 降下火碎物の影響評価まとめ

■文献・地質調査に基づく評価

- 降下火碎物に関する文献・地質調査の結果、敷地及び敷地周辺に分布する可能性のある降下火碎物として、15の降下火碎物を抽出した。
- このうち、給源火山が特定できない降下火碎物は、給源不明テフラのみであり、その層厚は最大10cmである。
- 給源火山が特定できる降下火碎物について、鬱陵島岐テフラを除く13の降下火碎物は、それらの給源火山において同規模噴火が原子力発電所の運用期間中に発生する可能性が十分小さいと評価した。鬱陵島岐テフラは、文献(町田・新井、2011)に示される等層厚線図によると、敷地周辺での層厚は0~2cmとされる。
- 給源不明テフラについて、邑知潟平野よりも北側の当社地質調査において目視可能な給源不明テフラは確認されず、邑知潟平野よりも北側に第四紀火山は存在しないことから、給源不明テフラは、邑知潟平野よりも敷地に近い北側でより厚く堆積していないと考えられる。
- 以上より、文献・地質調査に基づく降下火碎物の層厚は、10cmと評価する。

■降下火碎物シミュレーションによる評価

- 降下火碎物シミュレーションは、敷地及び敷地周辺に分布する降下火碎物のうち給源火山において同規模噴火の可能性が否定できない鬱陵島岐テフラを対象に実施した。さらに、地理的領域内の火山のうち原子力発電所に影響を及ぼし得る17火山及び地理的領域外の火山を給源とする降下火碎物から、噴出規模や敷地からの距離によって、白山の南竜火山灰、立山の立山DテフラA,Cユニット、御嶽山の御嶽伊那テフラ及び大山の大山生竹テフラをシミュレーション対象として選定した。

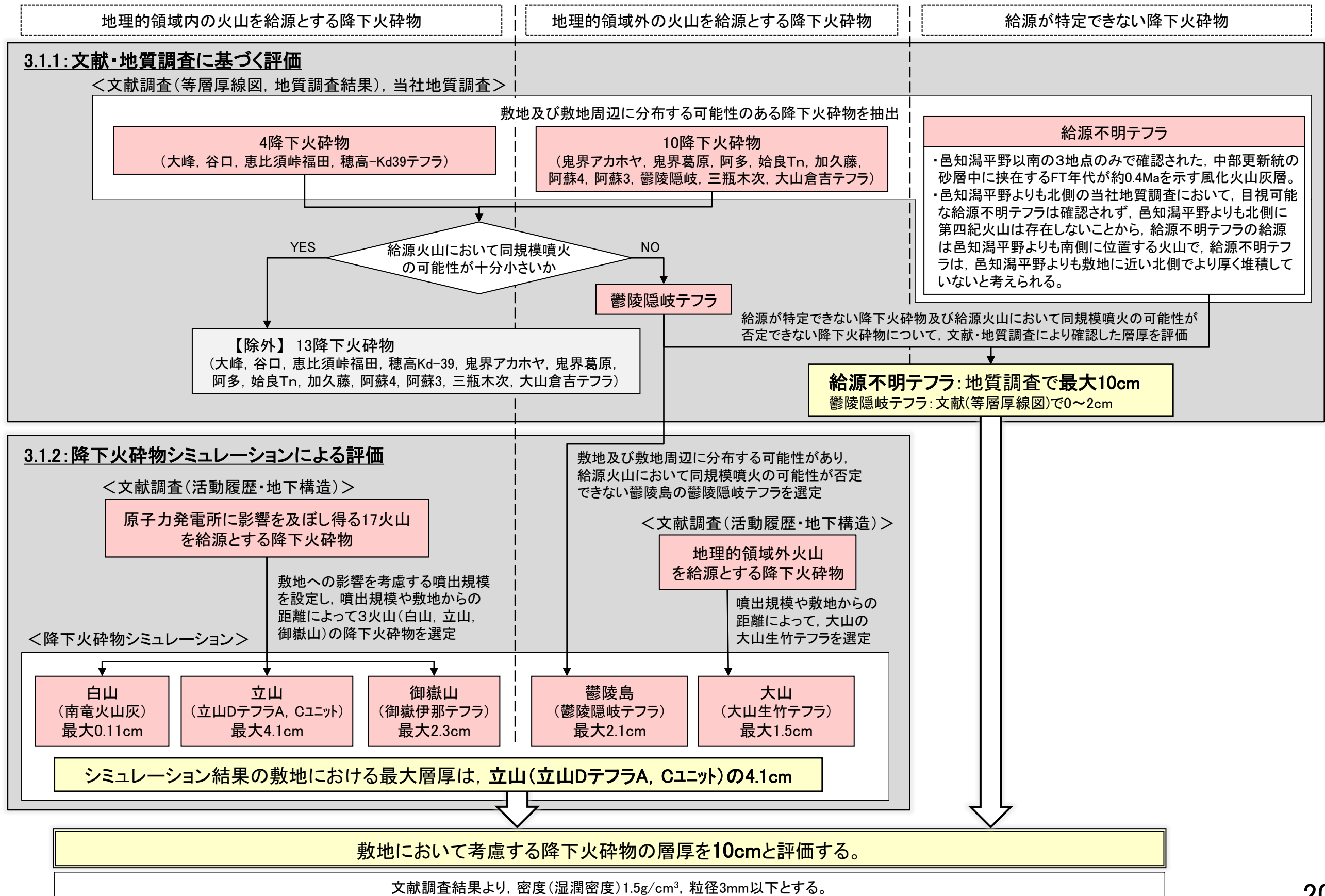
- 不確かさを考慮した降下火碎物シミュレーションを実施し、以下の結果が得られた。

- ・白山(南竜火山灰)では、風向の不確かさを考慮したケースで、敷地における層厚は最大0.11cm。
- ・立山(立山DテフラA,Cユニット)では、風向の不確かさを考慮したケースで、敷地における層厚は最大4.1cm。
- ・御嶽山(御嶽伊那テフラ)では、風向の不確かさを考慮したケースで、敷地における層厚は最大2.3cm。
- ・鬱陵島(鬱陵島岐テフラ)では、風速の不確かさ(+1σ)を考慮したケースで、敷地における層厚は最大2.1cm。
- ・大山(大山生竹テフラ)では、風向の不確かさを考慮したケースで、敷地における層厚は最大1.5cm。



- 降下火碎物に関する文献・地質調査結果及び降下火碎物シミュレーションの結果を踏まえ、敷地において考慮する降下火碎物の層厚を10cmと評価した。
- 降下火碎物の密度及び粒径は、文献調査結果から、密度(湿潤密度) 1.5g/cm^3 、粒径3mm以下と設定した。

■降下火碎物の影響評価結果



3. 火山事象の影響評価

3.1 降下火碎物の影響評価

3.1.1 文献・地質調査に基づく評価

3.1.1.1 降下火碎物に関する文献・地質調査

- (1) 文献調査(等層厚線図)
- (2) 文献調査(地質調査結果)
- (3) 降下火碎物に関する当社地質調査
- (4) 調査結果まとめ

3.1.1.2 紙源火山における同規模噴火の可能性の検討

3.1.1.3 評価まとめ

3.1.2 降下火碎物シミュレーションによる評価

3.1.2.1 シミュレーションを実施する降下火碎物の選定

- (1) 分布実績に基づく降下火碎物の選定
- (2) 地理的領域内の火山による降下火碎物の選定
- (3) 地理的領域外の火山による降下火碎物の選定
- (4) 選定結果まとめ

3.1.2.2 降下火碎物シミュレーション

- (1) 白山(南竜火山灰)
- (2) 立山(立山DテフラA, Cユニット)
- (3) 御嶽山(御嶽伊那テフラ)
- (4) 鬱陵島(鬱陵隠岐テフラ)
- (5) 大山(大山生竹テフラ)

3.1.2.3 評価まとめ

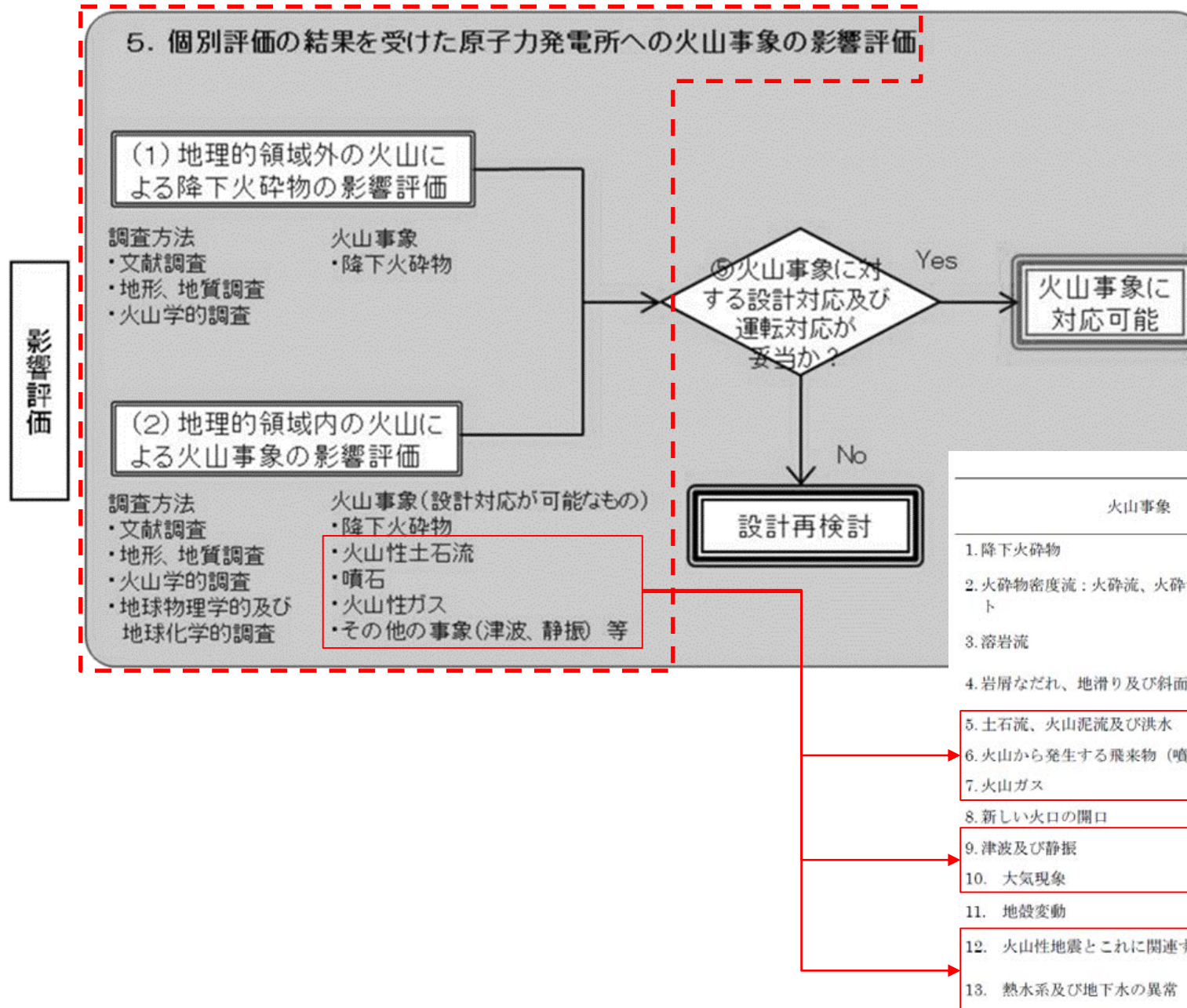
3.1.3 降下火碎物の密度及び粒径

3.1.4 降下火碎物の影響評価まとめ

3.2 降下火碎物以外の火山事象の影響評価

3.2 降下火碎物以外の火山事象の影響評価 —評価方法—

○原子力発電所に影響を及ぼし得る火山(17火山)による降下火碎物以外の設計対応が可能な火山事象の影響について、敷地からの距離及び敷地の地形条件等から検討を行う。

表1 原子力発電所に影響を与える可能性のある火山事象及び位置関係^{注1}

火山事象	潜在的に影響を及ぼす特性	原子力発電所との 位置関係
1. 降下火碎物	静的な物理的負荷、気中及び水中の研磨性及び腐食性粒子	注 2
2. 火碎物密度流：火碎流、火碎サージ及びプラスト	動的な物理的負荷、大気の過圧、飛来物の衝撃、300°C超の温度、研磨性粒子、毒性ガス	160km
3. 溶岩流	動的な物理的負荷、洪水及び水のせき止め、700°C超の温度	50km
4. 岩屑なだれ、地滑り及び斜面崩壊	動的な物理的負荷、大気の過圧、飛来物の衝撃、水のせき止め及び洪水	50km
5. 土石流、火山泥流及び洪水	動的な物理的負荷、水のせき止め及び洪水、水中の浮遊粒子	120km
6. 火山から発生する飛来物（噴石）	粒子の衝突、静的な物理的負荷、水中の研磨性粒子	10km
7. 火山ガス	毒性及び腐食性ガス、酸性雨、ガスの充満した湖、水の汚染	160km
8. 新しい火口の開口	動的な物理的負荷、地盤変動、火山性地震	注 3
9. 津波及び静振	水の氾濫	注 4
10. 大気現象	動的過圧、落雷、ダウンバースト風	注 4
11. 地盤変動	地盤変位、沈下又は隆起、傾斜、地滑り	注 4
12. 火山性地震とこれに関連する事象	継続的微動、多重衝撃	注 4
13. 热水系及び地下水の異常	热水、腐食性の水、水の汚染、氾濫又は湧昇、热水変質、地滑り、カルスト及びサーモカルストの変異、水圧の急変	注 4

(参考資料：IAEA SSG-21 及び JEAG4625)

注1：噴出中心と原子力発電所との距離が、表中の位置関係に記載の距離より短ければ、火山事象により原子力発電所が影響を受ける可能性があるものとする。

注2：降下火碎物に関しては、原子力発電所の敷地及び敷地付近の調査から求められる単位面積あたりの質量と同等の火山灰等が降下するものとする。

注3：新しい火口の開口については、原子力発電所の運用期間中に、新しい火口の開口の可能性を検討する。

注4：火山活動によるこれらの事象は、原子力発電所との位置関係によらず、個々に検討を行う。

3.2 降下火碎物以外の火山事象の影響評価 —評価結果—

○原子力発電所に影響を及ぼし得る火山(17火山)による設計対応が可能な火山事象の影響について、敷地からの距離及び敷地の地形条件等を踏まえ、降下火碎物以外の火山事象による原子力発電所への影響を考慮する必要はないと評価した。

<降下火碎物以外の火山事象の影響評価結果>

火山名	敷地から の距離 (km)	設計対応が可能な火山事象				他の事象 (津波、静振、大気現象、 火山性地震とこれに関連する事象、 熱水系及び地下水の異常)
		火山性土石流	噴石	火山ガス		
		0~120km	0~10km	0~160km		
1 経ヶ岳	113	○ 敷地周辺は各火山の山麓の河川流域には含まれないことから、原子力発電所への影響を考慮する必要はない。	○ いずれの火山も敷地から10km以遠に位置することから、原子力発電所への影響を考慮する必要はない。	○ 敷地は、日本海に面する沿岸部に位置し、火山ガスが敷地に滞留する地形ではないことから、原子力発電所への影響を考慮する必要はない。	○	各火山は敷地から十分離れており、日本海沿岸に位置しないことから、原子力発電所への影響を考慮する必要はない。
5 白山	101					
11 上野火山群	177					
14 立山(弥陀ヶ原)	94					
15 上廊下	101					
16 鶯羽・雲ノ平	106					
19 燃岳	120					
20 乗鞍岳	129					
23 御嶽山	146					
26 新潟焼山	118					
27 新潟金山	116					
29 妙高山	125					
30 白馬大池	100					
33 黒姫山	128					
35 飯縄山	130					
41 黒岩山	145					
43 高社山	152					

○:原子力発電所への影響を考慮する必要はない。

4. まとめ

4. まとめ

■原子力発電所に影響を及ぼし得る火山の抽出

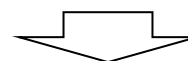
- 地理的領域内には、49の第四紀火山が分布する。
- これらの火山について、完新世の活動の有無及び将来の活動可能性を検討し、原子力発電所に影響を及ぼし得る火山として17火山（経ヶ岳、白山、上野火山群、立山（弥陀ヶ原）、上廊下、鶯羽・雲ノ平、焼岳、乗鞍岳、御嶽山、新潟焼山、新潟金山、妙高山、白馬大池、黒姫山、飯縄山、黒岩山、高社山）を抽出した。

■火山活動に関する個別評価

- 原子力発電所に影響を及ぼし得る17火山の敷地からの距離等から、火碎物密度流及び溶岩流等の設計対応不可能な火山事象が、発電所に影響を及ぼす可能性は十分小さいと評価した。
- また、各火山の過去最大規模の噴火を考慮しても、第四紀に設計対応不可能な火山事象が敷地に到達した可能性は十分小さく、モニタリング不要と評価した。

■火山事象の影響評価

- 降下火碎物に関する文献調査及び地質調査結果から抽出した敷地及び敷地周辺に分布する可能性のある15の降下火碎物のうち、給源が特定できない降下火碎物及び給源火山において発電所運用中の同規模噴火の可能性が否定できない降下火碎物の、敷地及び敷地周辺における最大層厚は、給源不明テフラの10cmである。
- 給源不明テフラについて、邑知潟平野よりも北側の当社地質調査において目視可能な給源不明テフラは確認されず、邑知潟平野よりも北側に第四紀火山は存在しないことから、給源不明テフラは、邑知潟平野よりも敷地に近い北側でより厚く堆積していないと考えられる。
- 白山の南竜火山灰、立山の立山DテフラA、Cユニット、御嶽山の御嶽伊那テフラ、鬱陵島の鬱陵隠岐テフラ及び大山の大山生竹テフラを対象として、降下火碎物シミュレーションを実施した結果、敷地における層厚は、最大で立山（立山DテフラA、Cユニット）の4.1cmとなった。
- 降下火碎物に関する文献・地質調査結果及び降下火碎物シミュレーションの結果を踏まえ、敷地において考慮する降下火碎物の層厚を10cmと評価した。
- 降下火碎物の密度及び粒径は、文献調査結果から、密度（湿潤密度） 1.5g/cm^3 、粒径3mm以下と設定した。
- 原子力発電所に影響を及ぼし得る火山（17火山）による設計対応が可能な火山事象の影響について、敷地からの距離及び敷地の地形条件等を踏まえ、降下火碎物以外の火山事象による原子力発電所への影響を考慮する必要はないと評価した。



○志賀原子力発電所において考慮すべき火山事象は、降下火碎物のみである。

○敷地において考慮する降下火碎物の層厚は10cm、密度（湿潤密度）は 1.5g/cm^3 、粒径3mm以下とする。

【巻末資料】

設置変更許可申請時からの変更内容

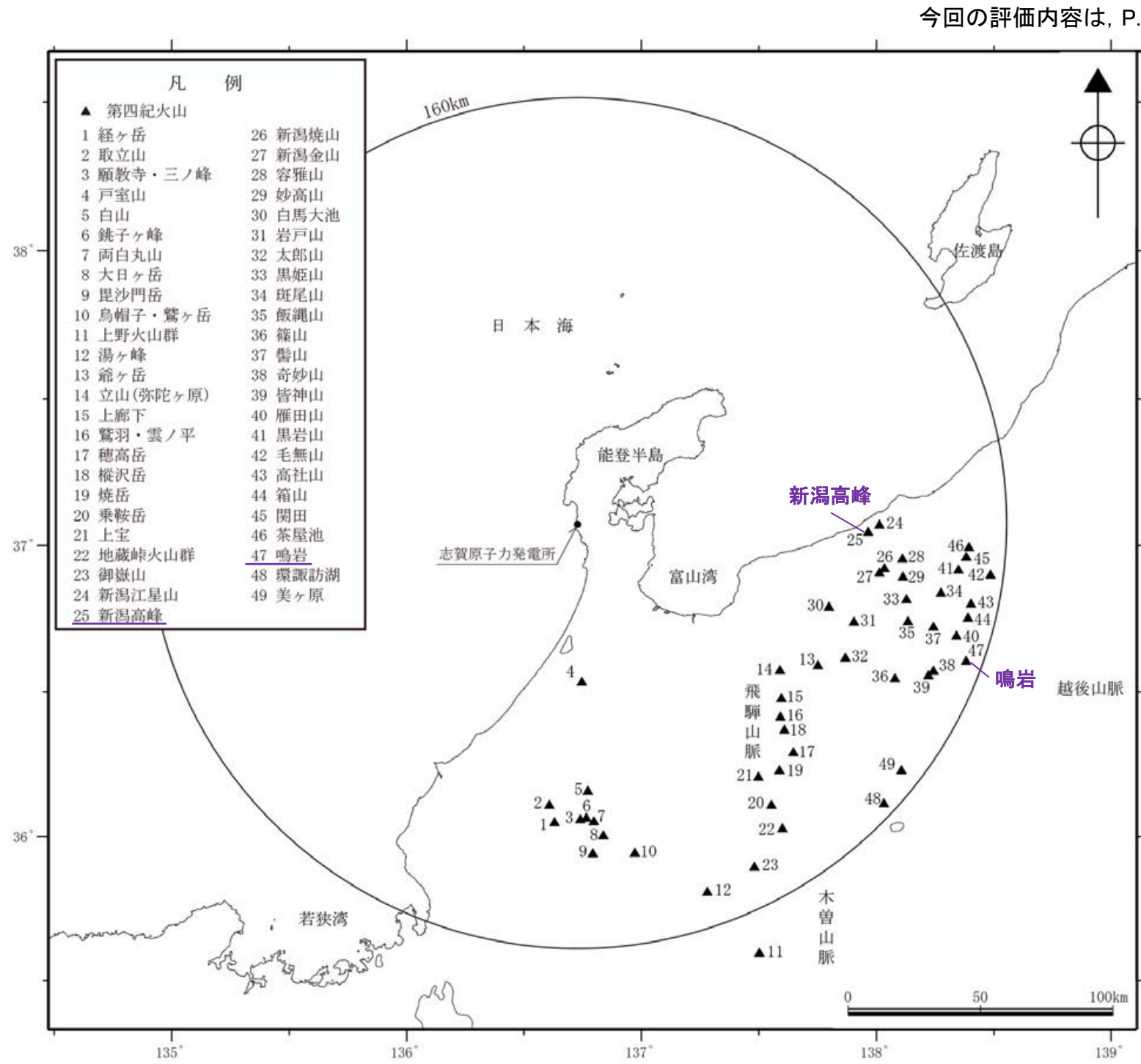
設置変更許可申請時からの変更内容 一地理的領域内の第四紀火山の抽出一

○地理的領域内の第四紀火山の抽出について、設置変更許可申請時以降の新知見を反映した「日本の火山(第3版)」のWeb版(地質調査総合センター編、2023)の情報を反映して抽出を行った。

○地質調査総合センター編(2023)に基づき、三峰山は鮮新世に活動した火山として第四紀火山から除外し、新潟高峰(新潟江星山から分離)及び鳴岩(地理的領域外の四阿山から分離)を新たに地理的領域内の第四紀火山として追加した。

火山名	敷地からの離隔(km)	火山名	敷地からの離隔(km)
1 経ヶ岳	113	26 新潟焼山	118
2 取立山	106	27 新潟金山	116
3 願教寺・三ノ峰	111	28 容雅山	124
4 戸室山	59	29 妙高山	125
5 白山	101	30 白馬大池	100
6 銚子ヶ峰	111	31 岩戸山	111
7 両白丸山	112	32 太郎山	113
8 大日ヶ岳	118	33 黒姫山	128
9 毘沙門岳	125	34 斑尾山	140
10 烏帽子・鷺ヶ岳	126	35 飯縄山	130
11 上野火山群	177	36 篠山	134
12 湯ヶ峰	148	37 髪山	140
13 爺ヶ岳	105	38 奇妙山	146
14 立山(弥陀ヶ原)	94	39 皆神山	145
15 上廊下	101	40 雁田山	150
16 鶯羽・雲ノ平	106	41 黒岩山	145
17 穂高岳	119	42 毛無山	158
18 横沢岳	110	43 高社山	152
19 焼岳	120	44 箱山	152
20 乗鞍岳	129	45 関田	148
21 上宝	118	46 茶屋池	149
22 地蔵峠火山群	139	47 鳴岩	155
23 御嶽山	146	48 環諏訪湖	157
24 新潟江星山	114	49 美ヶ原	154
25 新潟高峰	111		

今回の評価内容は、P.18



地理的領域内の第四紀火山の位置

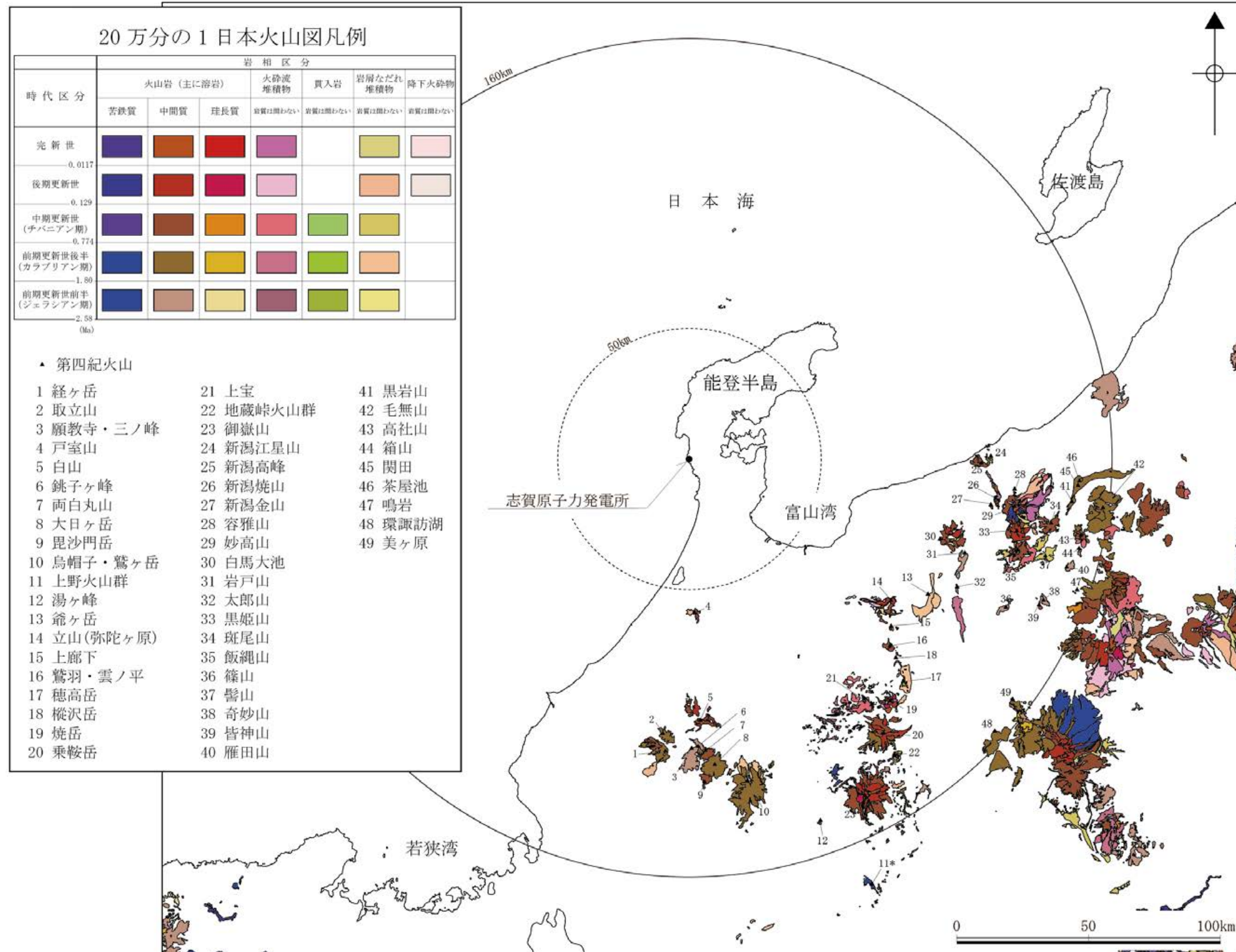
「日本の火山(第3版)」(地質調査総合センター編、2023)に基づき作成

紫字:設置変更許可申請時からの変更箇所

設置変更許可申請時からの変更内容 一火山地質図一

○火山地質図について、設置変更許可申請時以降の新知見(地質調査総合センター編(2021a, 2023))の内容を反映した図を新たに作成した。

今回の評価内容は、P.19



火山地質図

地質調査総合センター編(2021a, 2023)に基づき作成

設置変更許可申請時からの変更内容 －原子力発電所に影響を及ぼし得る火山の抽出－

- 原子力発電所に影響を及ぼし得る火山の抽出について、設置変更許可申請時以降の知見を反映した「日本の火山(第3版)」のWeb版(地質調査総合センター編、2023)を含む火山の活動年代が体系的に一覧で整理されている文献及び各火山に関する個別文献情報を評価に反映した。
- 追加した文献情報を用いて各火山の活動年代を更新し(次頁・次々頁)、その活動年代に基づき原子力発電所に影響を及ぼし得る火山の抽出を行った(P.221)。

＜原子力発電所に影響を及ぼし得る火山の抽出に用いた文献＞

紫字: 設置変更許可申請時以降、追加で評価に用いた文献

文献の内容	設置変更許可申請時の評価	今回の評価
火山の活動年代が体系的に一覧で整理されている文献	<ul style="list-style-type: none">・日本の火山(第3版): 中野ほか編(2013)・日本の第四紀火山カタログ: 第四紀火山カタログ委員会編(1999)・第四紀火山岩体・貫入岩体データベース: 西来ほか編(2012)・日本活火山総覧(第4版): 気象庁編(2013)	<p>最新版</p> <ul style="list-style-type: none">・日本の火山 Web版: 地質調査総合センター編(2023)・日本の第四紀火山カタログ: 第四紀火山カタログ委員会編(1999)・第四紀火山岩体・貫入岩体データベース: 西来ほか編(2012)・日本活火山総覧(第4版): 気象庁編(2013)・第四紀噴火・貫入活動データベース: 西来ほか編(2014)・20万分の1日本火山図: 地質調査総合センター編(2021a)・1万年噴火イベントデータ集: 地質調査総合センター編(2021b)
各火山に関する個別文献	(原子力発電所に影響を及ぼし得る火山の抽出に用いず)	<ul style="list-style-type: none">・清水ほか(1988): 両白-飛騨地域に分布する鮮新-更新世火山岩のK-Ar年代・田中・田村(2001): 両白山地, 経ヶ岳火山の岩石学・棚瀬ほか(2007): K-Ar年代測定に基づく両白山地の鮮新-更新世火山活動の時空分布 <p>等の地理的領域内の第四紀火山に関する文献</p>

【各火山の活動年代評価の更新】

○設置変更許可申請時以降、追加で考慮した文献を用いて、各火山の活動年代の評価を更新した。

○文献間で活動年代評価が異なる場合には、保守的に活動期間が長くなるような評価を行った。また、個別の各火山の文献情報に基づいて休止期間も考慮した。

■新知見及び各火山の個別文献情報を反映して活動年代評価を更新した火山(1/2)

今回の評価内容は、P.22, 23

火山名	【設置変更許可申請時の評価】			【今回の評価】			
	活動年代 (千年前)	全活動期間 (千年間)	最後の活動終了 からの期間 (千年間)	活動年代 (千年前)	全活動期間 (千年間)	最大休止期間 (千年間)	最後の活動終了 からの期間 (千年間)
取立山	1000 ~ 800	200	800	1380 ~ 760	620	—	760
願教寺・三ノ峰	3100 ~ 2500	600	2500	3200 ~ 2430	770	—	2430
戸室山	400 ~ 300	100	300	420 ~ 300	120	—	300
白山	400 ~ AD1659	400	完新世活動	430 ~ (最新噴火AD1659)	430	—	完新世活動
銚子ヶ峰	1500	—	1500	1500 ~ 1340	160	—	1340
毘沙門岳	300	—	300	400 ~ 250	150	—	250
鳥帽子・鷲ヶ岳	1600 ~ 1100	500	1100	1600 ~ 1050	550	—	1050
湯ヶ峰	100	—	100	120 ~ 100	20	—	100
爺ヶ岳	2000? ~ 1600	400	1600	2300 ~ 1200	1100	—	1200
立山(弥陀ヶ原)	220 ~ AD1836	220	完新世活動	220 ~ (最新噴火AD1949)	220	—	完新世活動
上廊下	400 ~ 200	200	200	400 ~ 190	210	—	190
鷲羽・雲ノ平	900 ~ 後期更新世	—	後期更新世	1000~900, 310~(最新噴火1950年前)	1000	590	完新世活動
穂高岳	1700	—	1700	1760 ~ 1700	60	—	1700
樅沢岳	400	—	400	450 ~ 290	160	—	290
焼岳	120 ~ AD1963	120	完新世活動	122~69, 27~(最新噴火AD1963)	122	42	完新世活動
乗鞍岳	1300 ~ 2	1298	2	1300~860, 320~(最新噴火500年前)	1300	540	完新世活動
上宝	700	—	700	750 ~ 550	200	—	550
地蔵峠火山群	3400 ~ 1600	1800	1600	3500~3400, 2600~2500, 2000~1600	1900	800	1600
御嶽山	750 ~ AD2007	750	完新世活動	780~390, 105~(最新噴火AD2014)	780	285	完新世活動

紫字: 設置変更許可申請時以降、追加で確認した文献情報を反映して活動年代評価を更新した箇所
(反映した文献の詳細は、[補足資料1](#))

■新知見及び各火山の個別文献情報を反映して活動年代評価を更新した火山(2/2)

今回の評価内容は、P.22, 23

火山名	【設置変更許可申請時の評価】			【今回の評価】			
	活動年代 (千年前)	全活動期間 (千年間)	最後の活動終了 からの期間 (千年間)	活動年代 (千年前)	全活動期間 (千年間)	最大休止期間 (千年間)	最後の活動終了 からの期間 (千年間)
新潟江星山	1200	—	1200	1650 ~ 920	730	—	920
新潟焼山	3 ~ AD1998	3	完新世活動	5 ~ (最新噴火AD2016)	5	—	完新世活動
新潟金山	中期更新世	—	中期更新世	780 ~ 130	650	—	130
容雅山	400	—	400	490 ~ 380	110	—	380
妙高山	300 ~ 1.6~1.3	298	完新世活動	330~260, 150~60, 43~(最新噴火1300年前)	330	110	完新世活動
白馬大池	800 ~ 後期更新世	—	後期更新世	800~500, 200~(最新噴火4000年前)	800	300	完新世活動
岩戸山	2100 or 2100以降	—	約2100	2400 ~ 1700	700	—	1700
太郎山	2100	—	2100	2200 ~ 2000	200	—	2000
黒姫山	250 ~ 50	200	50	260~250, 150~70, 55~43	217	100	43
斑尾山	700 ~ 500	200	500	700 ~ 490	210	—	490
飯縄山	340 ~ 150	190	150	340, 260~140, 60	280	80	60
篠山	前期更新世前半後期	—	前期更新世 前半後期	2580 ~ 1810	770	—	1810
髻山	200	—	200	220 ~ 180	40	—	180
皆神山	300	—	300	350 ~ 290	60	—	290
雁田山	2800 ~ 2400	400	2400	2800 ~ 2340	460	—	2340
黒岩山	前期更新世 ~ 中期更新世	—	中期更新世	1780 ~ 130	1650	—	130
毛無山	1600 ~ 1000	600	1000	1700 ~ 920	780	—	920
高社山	300 ~ 200	100	200	780 ~ 190	590	—	190
環諏訪湖	2200 ~ 1100	1100	1100	2400~1800, 1600~1000	1400	200	1000
美ヶ原	2100 ~ 1200	900	1200	2200 ~ 1200	1000	—	1200

紫字: 設置変更許可申請時以降、追加で確認した文献情報を反映して活動年代評価を変更した箇所
(反映した文献の詳細は、[補足資料1](#))

【原子力発電所に影響を及ぼし得る火山の評価結果】

- 更新した各火山の活動年代を用いて、将来の活動可能性評価を行った結果、7火山の評価が変更となった。
- 地蔵峠火山群及び環諏訪湖は、それぞれ及川(2003)及びNishiki et al.(2011)において示された休止期間を踏まえ、将来の活動可能性が十分小さい火山に評価を変更し、新潟金山、黒岩山及び高社山については、西来ほか編(2014)により示された活動年代を踏まえ、原子力発電所に影響を及ぼし得る火山に評価を変更した。
- なお、鷲羽・雲ノ平及び白馬大池については、設置変更許可申請時以降の新知見(地質調査総合センター編(2023)及び原田ほか(2023))を踏まえて完新世に活動を行った火山と評価を変更したが、原子力発電所に影響を及ぼし得る火山としての評価自体には変更はない。

今回の評価内容は、P.22, 23

<将来の活動可能性評価を変更した火山>

火山名	【設置変更許可申請時の評価】				【今回の評価】					変更の根拠となる文献
	活動年代 (千年前)	全活動期間 (千年間)	最後の活動終了からの期間 (千年間)	将来の活動可能性評価	活動年代 (千年前)	全活動期間 (千年間)	最大休止期間 (千年間)	最後の活動終了からの期間 (千年間)	将来の活動可能性評価	
わしばくものたいら 鷲羽・雲ノ平	900 ~ 後期更新世	—	後期更新世	将来の活動可能性が否定できない火山	1000～900, 310～(最新噴火1950年前)	1000	590	完新世活動	完新世に活動を行った火山	地質調査総合センター編(2023) 原田ほか(2023)
じぞうとうげかざんぐん 地蔵峠火山群	3400 ~ 1600	1800	1600	将来の活動可能性が否定できない火山	3500～3400, 2600～2500, 2000～1600	1900	800	1600	将来の活動可能性が十分小さい火山	及川(2003)
にいがたかなやま 新潟金山	中期更新世		—	中期更新世	将来の活動可能性が十分小さい火山	780 ~ 130	650	—	130	将来の活動可能性が否定できない火山
しろうまおおいけ 白馬大池	800 ~ 後期更新世	—	後期更新世	将来の活動可能性が否定できない火山	800～500, 200～(最新噴火4000年前)	800	300	完新世活動	完新世に活動を行った火山	地質調査総合センター編(2023)
くろいわやま 黒岩山	前期更新世 ~ 中期更新世	—	中期更新世	将来の活動可能性が十分小さい火山	1780 ~ 130	1650	—	130	将来の活動可能性が否定できない火山	西来ほか編(2014)
たかやしろやま 高社山	300 ~ 200	100	200	将来の活動可能性が十分小さい火山	780 ~ 190	590	—	190	将来の活動可能性が否定できない火山	西来ほか編(2014)
かんすわこ 環諏訪湖	2200 ~ 1100	1100	1100	将来の活動可能性が否定できない火山	2400～1800, 1600～1000	1400	200	1000	将来の活動可能性が十分小さい火山	Nishiki et al.(2011)

<凡例>

紫字: 設置変更許可申請時以降、追加で確認した文献情報を反映して活動年代評価を更新した箇所(反映した文献の詳細は、[補足資料1](#))

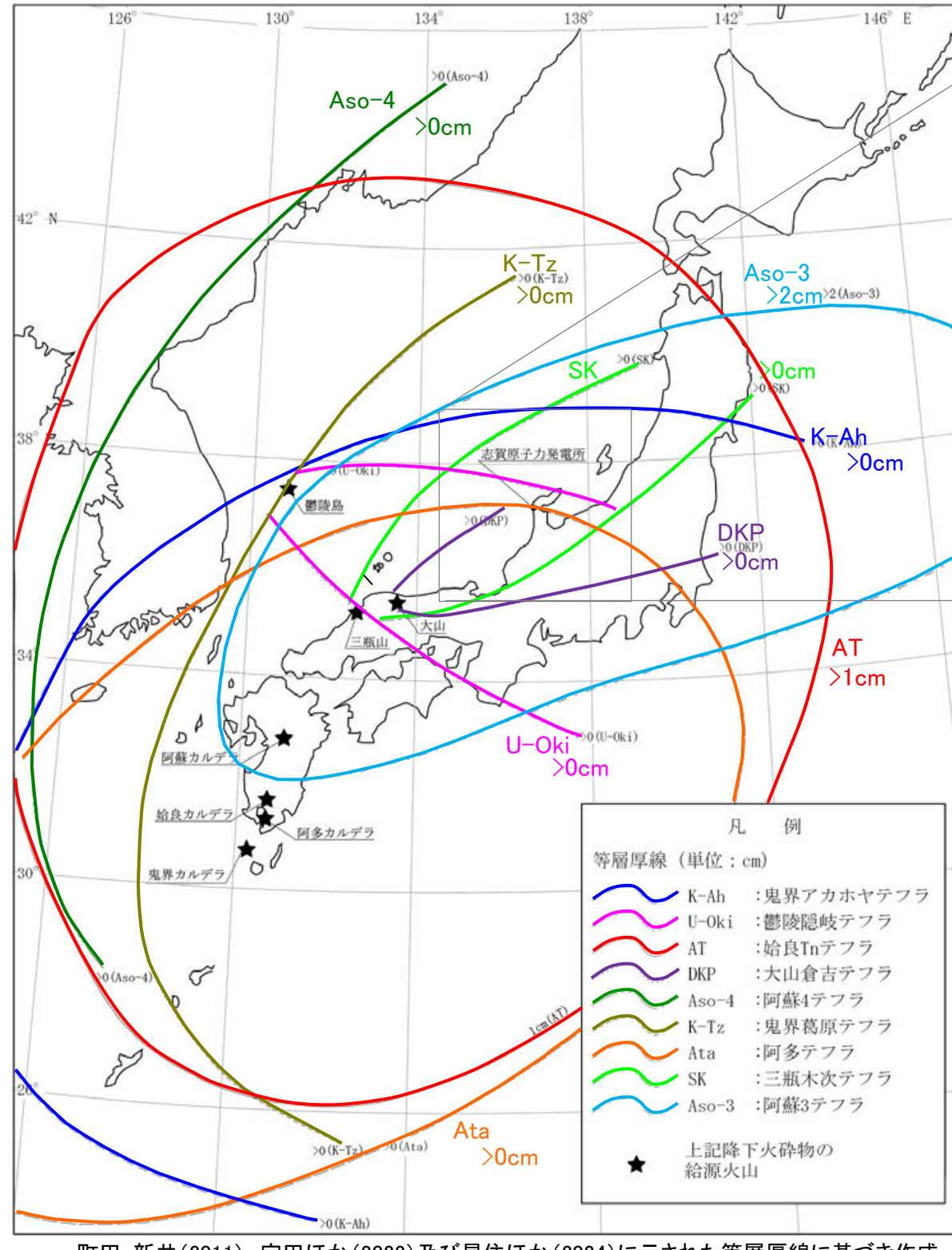
■「原子力発電所に影響を及ぼし得る火山」の評価を変更した火山

・「完新世に活動を行った火山」及び「将来の活動可能性が否定できない火山」⇒原子力発電所に影響を及ぼし得る火山

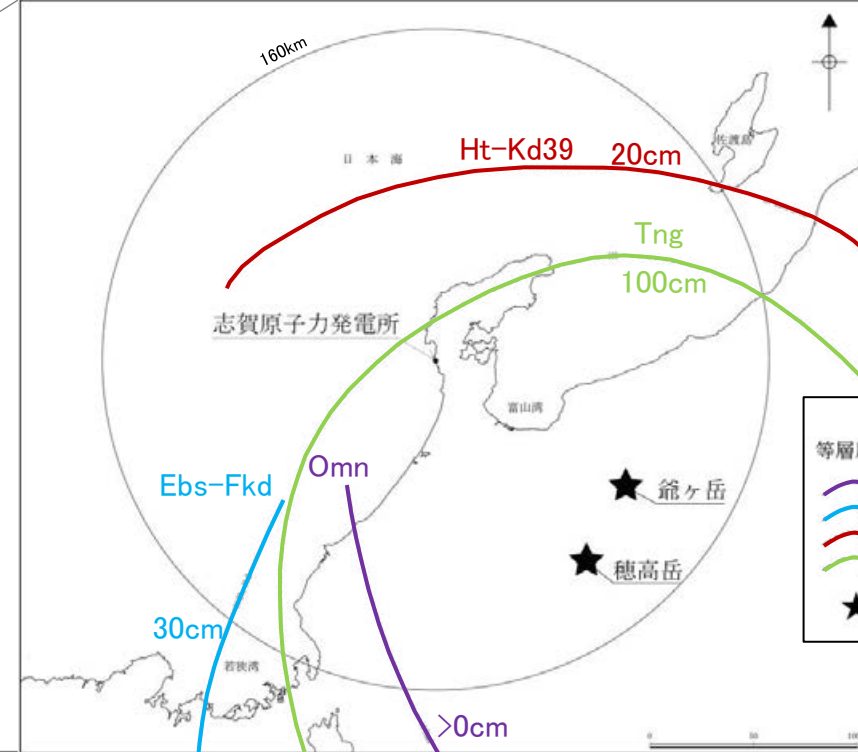
設置変更許可申請時からの変更内容 一降下火碎物に関する文献調査(等層厚線図)一

- 降下火碎物の等層厚線図に関する文献調査について、関連する文献の最新データを評価に反映した。
- 設置変更許可申請時は新編火山灰アトラスの第1刷(町田・新井, 2003)及びTamura et al.(2008)により敷地周辺に分布する可能性のある降下火碎物の抽出を行っていたが、今回の評価では、新編火山灰アトラスの第2刷(町田・新井, 2011), 宝田ほか(2022)及び星住ほか(2024)の内容を踏まえて再整理を行った。

地理的領域外の火山を給源とする降下火碎物



地理的領域内の火山を給源とする降下火碎物



今回の評価内容は、3.1.1.1(1)

<敷地及び敷地周辺に分布する可能性のある降下火碎物>

降下火碎物	記号	年代 (万年前)	給源火山	敷地周辺の 層厚(cm)	文献名
鬼界アカホヤテフラ	K-Ah	0.73 *1	鬼界カルデラ	地理的 領域外 の火山	0~20
鬱陵隠岐テフラ	U-Oki	1.02 *1	鬱陵島		0~2
始良Tnテフラ	AT	3 *2	始良カルデラ		16~32
大山倉吉テフラ	DKP	5.5以前 *1	大山		5~10
阿蘇4テフラ	Aso-4	8.8 *3	阿蘇カルデラ		15以上
鬼界葛原テフラ	K-Tz	9.5 *1	鬼界カルデラ		0~2
阿多テフラ	Ata	10.5 *1	阿多カルデラ		0以上
三瓶木次テフラ	SK	10.5 *1	三瓶山		5以上
阿蘇3テフラ	Aso-3	13.3 *4	阿蘇カルデラ		2~5
大峰テフラ	Omn	160~165 *1	爺ヶ岳	地理的 領域内 の火山	0以上
恵比須崎福田テフラ	Ebs-Fkd	170 *1	穂高岳		30~40
穂高-Kd39テフラ	Ht-Kd39	176 *5	穂高岳		20以上
谷口テフラ	Tng	220~230 *1	爺ヶ岳		100以上

*1: 町田・新井(2011), *2: 宝田ほか(2022), *3: 星住ほか(2023), *4: 星住ほか(2024), *5: Tamura et al.(2008)

設置変更許可申請時からの変更内容 一降下火碎物に関する文献調査(地質調査結果)一

- 敷地周辺の地質調査で確認された降下火碎物について、設置変更許可申請時は当社による地質調査結果のみを評価に反映していたが、今回の評価では、敷地周辺で実施された地質調査結果に関する文献調査を追加で実施した。
- その結果、鬼界アカホヤテフラ(K-Ah)、姶良Tnテフラ(AT)、鬼界葛原テフラ(K-Tz)、阿蘇4テフラ(Aso-4)、三瓶木次テフラ(SK)の5降下火碎物が報告されていることを確認した。

今回の評価内容は、3.1.1.1(2)



文献調査結果に基づく敷地及び敷地周辺での降下火碎物の確認位置

【設置変更許可申請時の評価】

(降下火碎物に関連した敷地周辺の地質調査結果に関する文献調査を実施せず)

追加

【今回の評価】

降下火碎物	記号	確認された最大層厚(cm)	文献 [確認地点]
鬼界アカホヤテフラ	K-Ah	0.5	東野ほか(2014) [南潟]
姶良Tnテフラ	AT	15	産業技術総合研究所(2011) [本江]
阿蘇4テフラ	Aso-4	7	産業技術総合研究所(2011) [水白]
鬼界葛原テフラ	K-Tz	分析検出	渡辺ほか(2015) [高浜西]
三瓶木次テフラ	SK	3	杉戸ほか(2004) [水白]

紫字: 設置許可申請時以降、文献調査を追加で実施

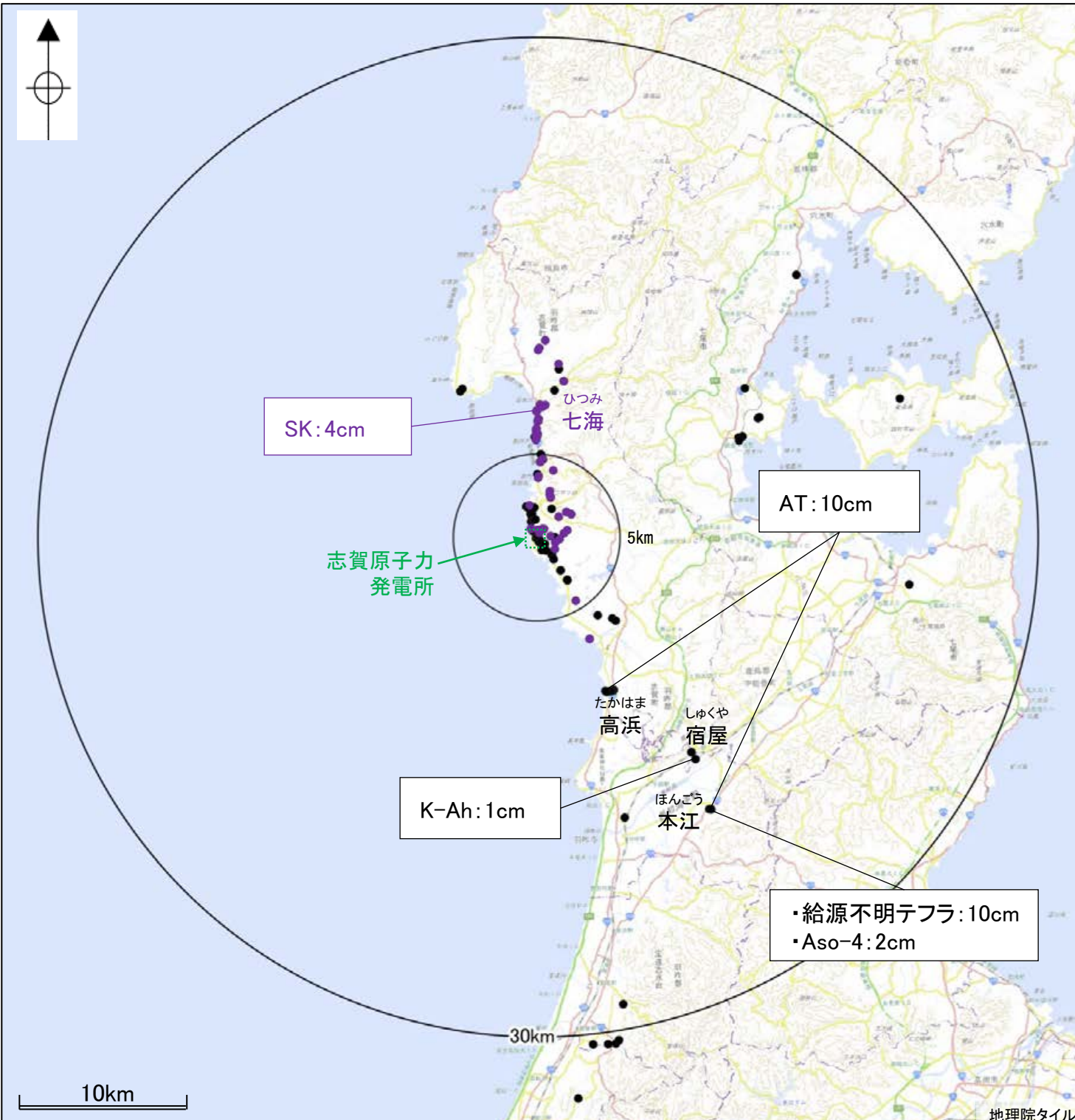
<凡例>

●: 設置変更許可申請時以降に確認した文献

設置変更許可申請時からの変更内容 一降下火碎物に関する当社地質調査一

○当社地質調査について、申請時以降に追加で実施した地質調査結果を反映した。

○敷地北方の七海地点では、設置変更許可申請時に敷地周辺で確認していた層厚よりも大きい4cmの三瓶木次テフラを確認した。



当社地質調査による降下火碎物の確認位置

<凡例>

●: 設置変更許可申請時の地質調査結果

●: 設置変更許可申請時以降に実施した地質調査結果

今回の評価内容は、3.1.1.1(3)

【設置変更許可申請時の評価】

降下火碎物	記号	確認された最大層厚(cm)
鬼界アカホヤテフラ	K-Ah	1 [宿屋]
姶良Tnテフラ	AT	10 [本江, 高浜]
大山倉吉テフラ	DKP	分析により検出
阿蘇4テフラ	Aso-4	2 [本江]
鬼界葛原テフラ	K-Tz	分析により検出
三瓶木次テフラ	SK	2 [本江]
加久藤テフラ	Kkt	分析により検出
給源不明テフラ	—	10 [本江]

追加

【今回の評価】

紫字: 追加箇所

降下火碎物	記号	確認された最大層厚(cm)
鬼界アカホヤテフラ	K-Ah	1 [宿屋]
姶良Tnテフラ	AT	10 [本江, 高浜]
大山倉吉テフラ	DKP	分析により検出
阿蘇4テフラ	Aso-4	2 [本江]
鬼界葛原テフラ	K-Tz	分析により検出
三瓶木次テフラ	SK	4 [七海]
加久藤テフラ	Kkt	分析により検出
給源不明テフラ	—	10 [本江]

設置変更許可申請時からの変更内容 一給源火山における同規模噴火の検討一

○文献・地質調査結果により抽出した、敷地及び敷地周辺に分布する可能性のある降下火碎物の給源火山における同規模噴火の可能性について、設置変更許可申請時は、地理的領域内の火山について、立地評価の中で活動履歴を整理し、同規模噴火の可能性の検討を実施していたが、今回の評価では、申請時以降の知見も踏まえて、地理的領域内及び領域外の火山について、活動履歴及び地下構造の観点から同規模噴火の可能性の検討を実施した。

○検討の結果、鬱陵島を除き、給源火山における同規模噴火の可能性は十分に小さいと評価した。

＜給源火山における同規模噴火の可能性の検討結果＞

今回の評価内容は、3.1.1.2



降下火碎物 記号	給源火山		給源火山における 同規模噴火の可能性の検討結果
	記号	名前	
鬼界アカホヤテフラ K-Ah	地理的 領域外 の火山	鬼界カルデラ	可能性は十分に小さい
鬼界葛原テフラ K-Tz		鬼界カルデラ	可能性は十分に小さい
阿多テフラ Ata		阿多カルデラ	可能性は十分に小さい
始良Tnテフラ AT		始良カルデラ	可能性は十分に小さい
加久藤テフラ Kkt		加久藤カルデラ	可能性は十分に小さい
阿蘇4テフラ Aso-4		阿蘇カルデラ	可能性は十分に小さい
阿蘇3テフラ Aso-3		阿蘇カルデラ	可能性は十分に小さい
鬱陵隠岐テフラ U-Oki		鬱陵島	可能性は否定できない
三瓶木次テフラ SK		三瓶山	可能性は十分に小さい
大山倉吉テフラ DKP		大山	可能性は十分に小さい
大峰テフラ Omn	地理的 領域内 の火山	穢ヶ岳	可能性は十分に小さい
谷口テフラ Tng		穢ヶ岳	可能性は十分に小さい
恵比須崎福田テフラ Ebs-Fkd		穢ヶ岳	可能性は十分に小さい
穂高-Kd39テフラ Ht-Kd39			可能性は十分に小さい

紫字: 設置変更許可申請時以降、給源火山における同規模噴火の可能性を追加で検討した内容

敷地及び敷地周辺に分布する可能性のある降下火碎物の
給源火山位置

設置変更許可申請時からの変更内容 ー降下火碎物シミュレーションー

- 設置変更許可申請時は、文献・地質調査に基づき敷地における降下火碎物の層厚評価を実施していたが、降下火碎物シミュレーションによる評価を追加で実施した。
- 降下火碎物シミュレーションの結果、敷地における層厚は、最大で立山(立山DテフラA,Cユニット)の4.1cmとなった。

【設置変更許可申請時の評価】

今回の評価内容の詳細は、3.1.2

(降下火碎物シミュレーションを実施せず)

追加

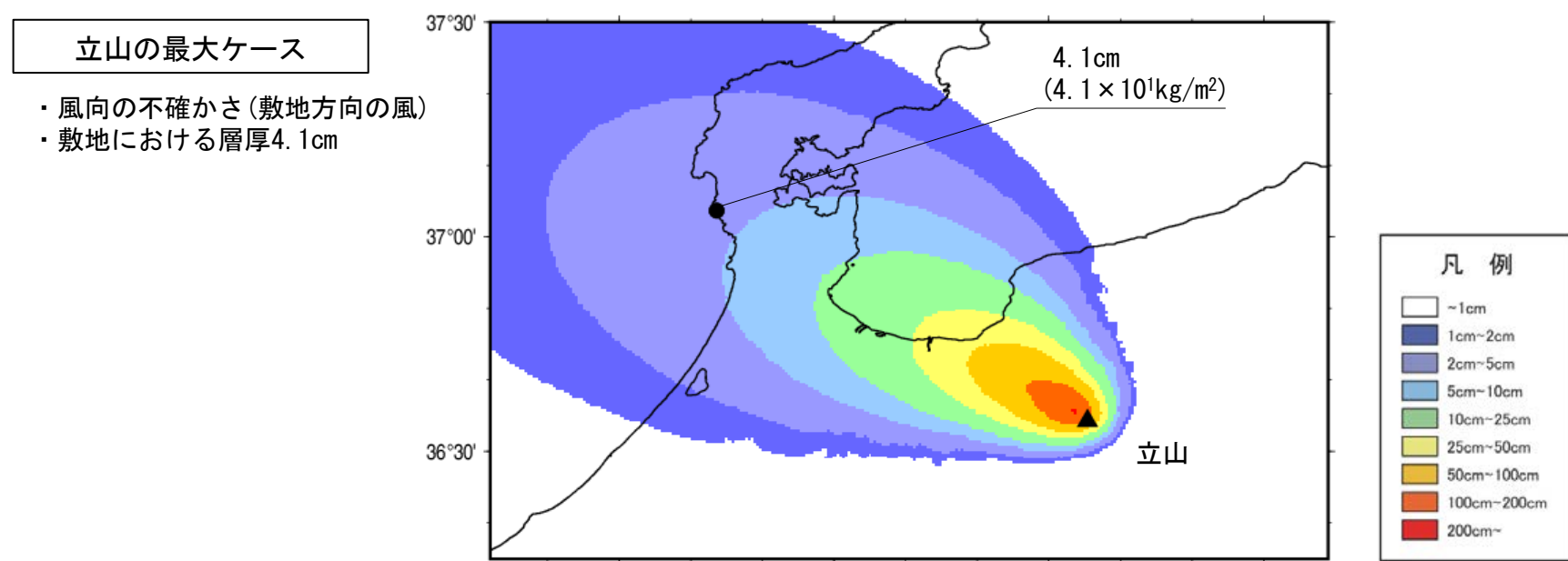
【今回の評価】

<降下火碎物シミュレーション結果一覧（敷地における層厚）>

紫字: 設置変更許可申請時以降、降下火碎物シミュレーションによる評価を追加で実施

検討項目		白山 (南竜火山灰)	立山 (立山DテフラA, Cユニット)	御嶽山 (御嶽伊那テフラ)	鬱陵島 (鬱陵隠岐テフラ)	大山 (大山生竹テフラ)
基本ケース (敷地における層厚の最大月)		0.01cm未満 (8月)	0.01cm未満 (8月)	0.01cm未満 (8月)	1.5cm (3月)	0.55cm (8月)
不確かさ ケース	噴煙柱 高度	-5km	0.02cm	0.01cm未満	0.01cm未満	1.5cm
		+5km	0.01cm未満	0.01cm未満	0.02cm	0.49cm
	風速	-1σ	0.02cm	0.06cm	0.07cm	0.36cm
		+1σ	0.01cm未満	0.01cm未満	0.01cm未満	0.49cm
	風向(敷地方向の風)	0.11cm	4.1cm	2.3cm	1.9cm	1.5cm

各火山で、敷地における層厚が最大となるケース



参考文献

- Abe, Y., Ohkura, T., Shibusaki, T., Hirahara, K., Kato, M. (2010) : Crustal structure beneath Aso Caldera, Southwest Japan, as derived from receiver function analysis, *Journal of Volcanology and Geothermal Research* 195, pp.1–12.
- 赤羽貞幸・加藤磧一・富樫茂子・金原啓司(1992) : 中野地域の地質, 地域地質研究報告, 5万分の1地質図幅, 地質調査所, 106p.
- あきる野市環境委員会自然環境調査部会(2013) : Ⅲあきる野市の地質・地形, pp3–35.
- 青木かおり・町田 洋(2006) : 日本に分布する第四紀後期広域テフラの主元素組成—K₂O-TiO₂図によるテフラの識別, 地質調査研究報告, 第57巻, 第7/8号, pp.239–258.
- 青木かおり・入野智久・大場忠道(2008) : 鹿島沖海底コアMD01-2421の後期更新世テフラ層序, 第四紀研究, 47巻, 6号, pp.391–407.
- Bonadonna, C., Connor, L. J., Connor, C. B. and Courtland, L. M. (2014) : “Tephra2” (Version 1.91 – published on 19 Sep 2014).
- 防災科学技術研究所：“気象庁一元化処理 震源要素”, <https://hinetwww11.bosai.go.jp/auth/?LANG=ja> (ダウンロード日: 2024年6月14日)
- Chen, X. Y., Blockley, S. P. E., Fletcher, R., Zhang, S., Kim, J. H., Park, M.H., Chen, C., Yin, J. and Xu, Y. G. (2022) : Holocene Tephrostratigraphy in the East Sea/Japan Sea: Implications for Eruptive History of Ulleungdo Volcano and Potential for Hemispheric Synchronization of Sedimentary Archives, *Journal of Geophysical Research: Solid Earth*, 127, e2021JB023243.
- 地学団体研究会編(1982) : 自然をしらべる地学シリーズ, 3, 土と岩石, 東海大学出版会, 200p.
- 地質調査所編(1992) : 日本地質アトラス(第2版), 朝倉書店.
- 地質調査総合センター(2019) : 日本列島及びその周辺域の熱データベース, 産業技術総合研究所地質調査総合センター.
- 地質調査総合センター編(2021a) : 20万分の1日本火山図(ver.1.0d), 産業技術総合研究所地質調査総合センター, <https://gbank.gsj.jp/volcano/vmap/>.
- 地質調査総合センター編(2021b) : 1万年噴火イベントデータ集(ver.2.5), 産業技術総合研究所地質調査総合センター, <https://gbank.gsj.jp/volcano/eruption/index.html>.
- 地質調査総合センター編(2023) : 日本の火山, 第四紀火山(ver.2.49), 産業技術総合研究所地質調査総合センター, https://gbank.gsj.jp/volcano/Quat_Vol/index.html.
- 第四紀火山カタログ委員会編(1999) : 日本の第四紀火山カタログ.
- 堂満華子・椎原美紀・鳥井真之・塚脇真二・尾田太良(2002) : 日本海南部KT96-17 P-2 コアの火山灰層序—大山草谷原軽石層(KsP)の噴出年代—.地質学雑誌, 第108巻, 第9号, pp.545–556.
- 遠藤邦彦(1985) : 白山の第四紀の地史, 2. 白山火山地域の火山灰と泥炭層の形成過程. 白山高山帯自然史調査報告書, pp.11–30.
- 原子力規制庁(2019) : 火山影響評価に係る科学的知見の整備, 安全研究成果報告, RREP-2019-4001.
- 原子力規制委員会(2013) : 原子力発電所の火山影響評価ガイド, 平成25年6月19日.
- 原子力規制委員会(2018) : 大山火山の大山生竹テフラの噴出規模見直しに伴う報告徵取命令の発出について(案), 平成30年12月12日.
- 原子力規制委員会(2019a) : 大山火山の大山生竹テフラの噴出規模の見直しに係る今後の規制上のアプローチについて, 第10回原子力規制委員会, 資料2.
- 原子力規制委員会(2019b) : 第8回地震・津波技術評価検討会, 参考資料1, 平成31年4月22日.
- Goto, T., Oshiman, N., Sumitomo, N. (1997) : The Resistivity Structure around the Hypocentral Area of the Ebino Earthquake Swarm in Kyushu District, Japan, *Journal of geomagnetism and geoelectricity*, 49, pp.1279–1291.
- 原田 真尋・石崎 泰男・沼田 和佳子・増渕 佳子(2023) : 見逃されていた活火山の発掘II: 鶩羽池と硫黄沢で完新世に発生した大規模水蒸気噴火, 日本地球惑星科学連合2023年大会予稿集, SVC36-05.
- 原山 智・高橋 浩・中野 俊・苅谷愛彦・駒澤正夫(2000) : 立山地域の地質, 地域地質調査報告, 5万分の1地質図幅, 地質調査所, 218p.
- 服部貴志・浜田昌明・高山陶子・小野田敏・坂下学・山口弘幸・平松良浩(2014) : 古砂丘・古期扇状地に関する空中写真を活用したDEM解析による地形特性の検討, 地形, 第35巻, 第4号, pp.331–350.
- 服部 仁・鹿野和彦・鈴木隆介・横山勝三・松浦浩久・佐藤博之(1983) : 三瓶山地域の地質, 地域地質研究報告, 5万分の1地質図幅, 地質調査所, 168p.
- 早津賢二(2008) : 妙高火山群—多世代火山のライフヒストリー, 実業公報社, 424p.
- 東野外志男(2014) : 新編 白山火山, 石川県自然保護センター編, 21p.
- 東野外志男・酒寄淳史(2007) : 南龍ヶ馬場のカンラン石に富むスコリアを含む新白山火山の火山灰, 石川県白山自然保護センター研究報告, 第34集, pp.1–9.

参考文献

- 東野外志男・中川重紀・小川義厚・田村糸子(2014) : 石川県一福井県北部海岸平野のボーリングコア中の鬼界アカホヤ火山灰, 日本海域研究, 第45号, pp.63–74.
- 東野外志男・曾田祐介・奥野 充(2019) : 主成分化学組成と14C年代による白山火山に産出するアルカリ岩質テフラ(Hm-2テフラ)と鬱陵島テフラとの対比, 地学雑誌, 128/3, pp.439–452.
- 星住英夫・宝田晋治・宮縁育夫・宮城磯治・山崎雅・金田泰明・下司信夫(2023) : 阿蘇カルデラ阿蘇4火碎流堆積物分布図., 産業技術総合研究所地質調査総合センター, 大規模火碎流分布図, no.3.
- 星住英夫・宝田晋治・宮縁育夫・宮城磯治・山崎雅・金田泰明・下司信夫(2024) : 阿蘇カルデラ阿蘇3火碎流堆積物分布図., 産業技術総合研究所地質調査総合センター, 大規模火碎流分布図, no.4.
- 井口正人・高山鉄朗・味喜大介・西 祐司・斎藤英二(2002) : 鬼界カルデラの地盤変動, 薩摩硫黄島火山・口永良部火山の集中総合観測(平成12年8月～平成13年3月), pp.29–32.
- 井口正人・太田雄策・中尾茂・園田忠臣・関健次郎・堀田耕平(2014) : 桜島昭和火口噴火開始以降のGPS観測－2013年～2014年－, 桜島火山における多項目観測に基づく火山噴火準備過程解明のための研究報告書.
- 石崎泰男・沼田和佳子・遠藤公喜・増渕佳子(2021) : 鶯羽池火山周辺に分布する橙白色テフラの産状と14C年代(序報), 日本火山学会2021年秋季大会, B1-02.
- 磯野朝雄(2005) : 長野県南部, 伊那谷の河岸段丘地形, 地理学報告, 100, pp.1–18.
- 兼岡一郎・井田義明(1997) : 火山とマグマ, 東京大学出版会.
- 関西電力(2019) : 大山火山灰に係る新知見を踏まえた噴出規模と原子力発電所ごとの敷地における降下火碎物の最大層厚に関する評価結果について, 平成31年3月.
- 関西電力(2020) : 美浜発電所, 高浜発電所及び大飯発電所原子炉設置変更許可申請【大山生竹テフラの噴出規模見直しに係る指摘事項への回答について】, 第868回原子力発電所の新規制基準適合性に係る審査会合, 令和2年6月19日.
- 笠原天生・鈴木毅彦・青木かおり(2010) : 相模川支流沢井川にみられる二つの埋没谷と葛原層相当層, 日本地理学会発表要旨集, 2010f巻, 2010年度日本地理学会秋季学術大会.
- Kasaya, T., Oshiman, N., Sumitomo, N., Uyeshima, M., Iio, Y., Uehara, D. (2002) : Resistivity structure around the hypocentral area of the 1984 Western Nagano Prefecture earthquake in central Japan, Earth, Planets and Space, 54, pp.107–118.
- 細野義夫(1993) : 石川県地質誌新版・石川県地質図(10万分の1)説明書, 石川県・北陸地質研究所.
- Kim, G. B., Cronin, S. J., Yoon, W. S. and Sohn, Y. K. (2014) : Post 19 ka B.P. eruptive history of Ulleung Island, Korea, inferred from an intra-caldera pyroclastic sequence, Bulletin of Volcanology 76 (4), 802, pp.1–26.
- 木村純一(1987) : 長野県における後期更新世の降下火山碎屑物層序, 第四紀研究, 25, pp.247–263.
- 木村純一(1993) : 後期更新世の御岳火山: 火山灰層序学と火山層序学を用いた火山活動史の再検討, 地球科学, 47, pp.301–321.
- 木佐洋志・山越隆雄・石塚忠範・杉山光徳・瀧口茂隆(2013) : 2011年霧島山(新燃岳)噴火による火碎物堆積斜面の降雨表面流出特性, 砂防学会誌, Vol.65, No.6, pp.12–21.
- 気象庁 編(2013) : 日本活火山総覧(第4版).
- 気象庁：“過去の気象データ検索(高層)”, 国土交通省気象庁, <http://www.data.jma.go.jp/obd/stats/etrn/upper/index.php> (ダウンロード日: 2021年1月5日).
- 気象庁：“震源データ”, 国土交通省気象庁, <https://www.data.jma.go.jp/svd/eqev/data/bulletin/hypo.html> (ダウンロード日: 2024年3月6日)
- 気象庁高層気象台：“気象庁の高層気象観測網”, 国土交通省気象庁, https://www.jma-net.go.jp/kousou/obs_second_div/sonde/sonde01.html (ダウンロード日: 2021年1月5日).
- 小林武彦(1993) : 御嶽火山の活動史と噴出物の体積計測, 文部省科学研究費自然災害特別研究, 計画研究「火山災害の規模と特性」報告書, pp.87–96.
- 小池一之・町田洋(2001) : 日本の海成段丘アトラス, 東京大学出版会.
- 国土地理院(2012) : 1:25,000火山土地条件図解説書(御嶽山地区), 国土地理院技術資料, D2-No.57, 平成24年3月.
- 国土地理院(2024) : 1:25,000火山土地条件図「焼岳」, 刊行図, 令和6年6月.
- Ma, J., Tian Y., Liu, C., Zhao, D., Feng, X., Zhu, H. (2018) : P-wave tomography of Northeast Asia: Constraints on the western Pacific plate subduction and mantle dynamics, Physics of the Earth and Planetary Interiors., 274, pp.105–126.
- 町田洋(1989) : 能登半島沖の海底コアに介在するテフラ, 西南日本周辺大陸棚の海底地質に関する研究研究概要報告書(昭和63年度)——能登半島周辺海域——, 地質調査所, pp.115–121.
- 町田 洋・新井房夫(2003) : 新編 火山灰アトラス[日本列島とその周辺](第1刷), 東京大学出版会, 360p.

参考文献

- 町田 洋・新井房夫(2011)：新編 火山灰アトラス[日本列島とその周辺](第2刷), 東京大学出版会, 336p.
- 町田 洋・新井房夫・森脇 広(1981)：日本海を渡ってきたテフラ, 科学, 51, pp.562–569.
- 町田 洋・新井房夫・李柄高・森脇広・古田俊夫(1984)：韓国鬱陵島のテフラ, 地学雑誌, 93–1, pp.1–14.
- 萬年一剛(2013)：降下火山灰シミュレーションコードTephra2の理論と現状—第四紀学での利用を視野に, 第四紀研究, 52, pp.173–187.
- Maruyama, S., Yamashita, T., Hayashida, A., Hirata, T., Danhara, T., (2020) : Examination of the Relationship between the Ukinuno and Sakate Tephras from Sambe Volcano, Southwest Japan, 地学雑誌, 129, pp.375–396.
- Matsubara, M., T. Ishiyama, T. No, K. Uehira, M. Mochizuki, T. Kanazawa, N. Takahashi, S. Kamiya. (2022) : Seismic velocity structure along the Sea of Japan with large events derived from seismic tomography for whole Japanese Islands including reflection survey data and NIED MOWLAS Hi-net and S-net data, Earth, Planets and Space, 74, 171.
- 松浦浩久・土谷信之(2003)：前期更新世森田山溶岩－古三瓶期火山－, 火山, 48, pp.69–73.
- Matsura, T. and Komatsubara, J. (2024) : Ontake-Katamachi tephra: Marine–terrestrial correlation of a time marker of marine isotopic stage 5b in NE Japan, the Japan Sea, and the NW Pacific., Journal of Asian Earth Sciences, 259, 105876.
- 皆川紘一(1969)：相模川山間部のローム層と第四紀地史II, 第四紀研究, 8巻, pp.1–9.
- 三浦 清・池原 研・吉川清志(1991)：北陸沖の日本海海底堆積物中に見られる大山火山起源のテフラ, 山陰地域研究7, 7–22, 1991–03, 島根大学山陰地域研究総合センター.
- 三好雅也・長谷中利昭・佐野貴司(2005)：阿蘇カルデラ形成後に活動した多様なマグマとそれらの成因関係について, 火山, 50, pp.269–283.
- 水野清秀・下川浩一・吾妻 崇・杉山雄一・片川秀基・柴田俊治・吉田 進・浜田昌明(2003)：浅層反射法地震探査とボーリングによる邑知渦断層帯南縁部の地下地質構造調査, 活断層・古地震研究報告, 3, pp.33–46.
- 守屋以智雄(1983)：日本の火山地形, 東京大学出版会, 135p.
- 長橋良隆・深谷桃子・池原 研・佐川拓也(2022)：若狭湾沖海底堆積物コアに挟まる後期更新世から完新世テフラの層序と広域テフラとの対比, 第四紀研究, 61巻4号, pp.123–141.
- 長森英明・古川竜太・早津賢二(2003)：戸隠地域の地質, 地域地質研究報告, 5万分の1地質図幅, 産業技術総合研究所地質調査総合センター, 109p.
- 長森英明・竹内 誠・古川竜太・中澤 努・中野 俊(2010)：小滝地域の地質, 地域地質研究報告, 5万分の1地質図幅, 独立行政法人産業技術総合研究所地質調査総合センター, 130p.
- Nagaoka, S.(1988):The Late Quaternary Tephra Layers from the Caldera Volcanoes in and around Kagoshima Bay, Southern Kyushu, Japan, Geographical Reports of Tokyo Metropolitan University, 23, pp.49–122.
- 内閣府(防災担当)・消防庁・国土交通省水管理・国土保全局砂防部・気象庁(2013)：火山防災マップ作成指針, 平成25年3月.
- 中野 俊(1989)：北アルプス, 鶩羽・雲ノ平火山の地質, 火山, 34, pp.197–212.
- 中野 俊(1998)：乗鞍火山, 日本地質学会第105年学術大会見学旅行案内書, pp.89–103.
- 中野 俊・奥野 充・菊川 茂(2010)：立山火山, 地質学雑誌, 116, pp.37–48.
- 中野 俊・宇都浩三・内海 茂(2000)：上野玄武岩類および地蔵峠火山岩類のK-Ar年代と化学組成の時間変化, 火山, 45, pp.87–105.
- 中野 俊・竹内 誠・吉川敏之・長森英明・苅谷愛彦・奥村晃史・田口雄作(2002)：白馬岳地域の地質, 地域地質研究報告, 5万分の1地質図幅, 産業技術総合研究所地質調査総合センター, 105p.
- 中野 俊・西来邦章・室田晋治・星住英夫・石塚吉浩・伊藤順一・川辺禎久・及川輝樹・古川竜太・下司信夫・石塚 治・山元孝広・岸本清行 編(2013)：日本の火山(第3版), 独立行政法人産業技術総合研究所地質調査総合センター.
- 南里翔平・河尻清和(2013)：神奈川県相模原市北西部、芝田川流域に見られる葛原層の露頭, 相模原市立博物館研究報告, 21, pp.101–104.
- 根木健之・二ノ宮淳・花室孝広・梅田浩司(2009)：沿岸域における三次元比抵抗構造解析, 物理探査学会第120回学術講演会論文集.
- 日本地質学会編(2009)：日本地方地質誌 中国地方, 朝倉書店, 576p.
- 日本原子力研究開発機構(2009)：火山・地熱活動に関する研究－H20年度の成果およびH21年度の計画について－, 地質環境の長期安定性研究検討委員会, 第6回(2009年3月9日).
- 西 潔・山本圭吾・井口正人・石原和弘・古澤 保(2001)：南九州の3次元地震波速度構造, 月刊地球, 23, 8, pp.573–577.

参考文献

- 西来邦章・伊藤順一・上野龍之 編(2012) :第四紀火山岩体・貫入岩体データベース, 産業技術総合研究所, 地質調査総合センター速報, no.60.
- 西来邦章・伊藤順一・上野龍之・内藤一樹・塚本 齊 編(2014) :第四紀噴火・貫入活動データベース, 産業技術総合研究所.
- Nishiki, K., Takahashi, K., Matsumoto, A. and Miyake, Y. (2011) : Quaternary volcanism and tectonic history of the Suwa-Yatsugatake Volcanic Province, Central Jpn, Journal of Volcanology and Geothermal Research, 203, pp.158–167.
- 及川輝樹(2003) :飛騨山脈の隆起と火成活動の時空的関連, 第四紀研究, 42, pp.141–156.
- 及川輝樹・奥野 充・中村俊夫(2002) :北アルプス南部, 焼岳火山の最近約3000年間の噴火史, 地質学雑誌, 108, 2, pp.88–102.
- 及川輝樹・原山 智・梅田浩司(2003) :飛騨山脈中央部, 上廊下～雲ノ平周辺の第四紀火山岩類のK-Ar年代, 火山, 48, pp.337–344.
- 奥野 充・中村俊夫・守屋以智雄・早川由紀夫(1994) :乗鞍岳火山, 位ヶ原テフラ層直下の炭化木片の加速器14C年代, 名古屋大学古川総合研究資料館報告, 10, pp.71–77.
- Okuno, M., Shiihara, M., Torii, M., Nakamura, T., Kim, K. H., Domitsu, H., Moriwaki, H and Oda, M.(2010) :AMS Radiocarbon Dating of Holocene Tephra Layers on Ulleung Island, South Korea, Radiocarbon, Vol. 52, Issue 3 20th Int. Radiocarbon Conference Proceedings, pp.1465–1470.
- 佐伯和人(2016) : 55Tephraの作製と配布, 日本火山学会2016年秋季大会, P70.
- Sakai, J.(1981) :Late Pleistocene Climatic Changes in Central Japan, 信州大学理学部紀要 16(1), pp.1–64.
- 酒井潤一・下野正博(1972) :松本盆地南部と伊那谷における小坂田ローム層の浮石層, 信州大学理学部紀要, 7, pp.123–143.
- 酒寄淳史・東野外志男・梅田浩司・棚瀬充史・林 信太郎(1999) :古白山火山の溶岩のK-Ar年代, 石川県白山自然保護センター研究報告, 26, pp.7–11.
- 酒寄淳史・中塚妙子・東野外志男(2003) :新白山火山南竜火山灰中のスコリアを含む火山灰層の岩石学的特徴, 石川県白山自然保護センター研究報告 第30集, pp.1–6.
- 酒寄淳史・奥野 充・田島靖久・守屋以智雄(2018) :白山火山における1.9 ~2.4 cal kBPのマグマ噴火 — 岐阜県大倉山周辺にみられるテフラ層からの知見 —, 石川県白山自然保護センター研究報告, 第44集, pp.1–10.
- 産業技術総合研究所(2011) :邑知潟断層帯の活動性および活動履歴調査, 「活断層の追加・補完調査」成果報告書, No.H22-2, pp.1–19.
- 沢田順弘・中村唯史・模田禎久・Sun Yoon・徳岡隆夫(1997) :島根県大田市の掘削コアから発見された鬱陵島の完新世初期火山活動由来の漂着軽石, 第四紀研究, 36巻, pp.1–16.
- 植原美紀・堂満華子・鳥井真之・長橋良隆・奥野 充(2013) :日本海とその周辺に分布する鬱陵島起源の完新世テフラ, 第四紀研究, 52, 5, pp. 225–236.
- Shiihara, M., Torii, M., Okuno, M., Domitsu, H., Nakamura, T., Kim, K.H., Moriwaki, H. and Oda,M. (2011) :Revised stratigraphy of the Holocene tephras on Ulleung Island, South Korea, and possible correlatives for the U-Oki tephra. Quaternary International, 246, 222–232.
- 清水 智, 山崎正男, 板谷徹丸(1988) :両白-飛騨地域に分布する鮮新-更新世火山岩のK-Ar年代, 岡山理科大学蒜山研究所研究報告, 14, pp.1–36.
- 篠原宏志・斎藤元治・松島喜雄・川辺禎久・風早康平・浦井 稔・西 祐司・斎藤英二・濱崎聰志・東宮昭彦・森川徳敏・駒澤正夫・安原正也・宮城磯治(2008) :火山研究解説集, 薩摩硫黄島. 産業技術総合研究所地質調査総合センター, https://gbank.gsj.jp/volcano/Act_Vol/satsumaiojima/vr/index.html.
- Simuté, S., Steptoe, H., Cobden, L. J., Gokhberg, A., Fichtner, A. (2016) :Full-waveform inversion of the Japanese Islands region. Journal of Geophysical Research: Solid Earth. 121, pp.3722–3741.
- Smith, V. C., Mark, D.F, Staff, R. A., Blockley, P. E., Ramsey, C. B., Bryant, C. L., Nakagawa, T., Han, K. K., Weh, A., Takemura, K., Danhara, T. and Suigetsu 2006 Project Members (2011) : Toward establishing precise 40Ar/39Ar chronologies for Late Pleistocene palaeoclimate archives: an example from the Lake Suigetsu (Japan) sedimentary record, Quaternary Science Reviews, 30, pp.2845–2850.
- 須藤 茂(2004)降下火山灰災害-新聞報道資料から得られる情報, 地質ニュース604号, pp.41–65.
- 須藤 茂・猪股隆行・佐々木 寿・向山 栄(2007) :わが国の降下火山灰データベース作成, 地域地質研究報告, 58, 9/10, pp.261–321.
- 杉戸信彦・水野清秀・堤 浩之・吾妻 崇・下川浩一・吉岡敏和(2004) :邑知潟断層帯・石動山断層の活動履歴調査(その1／水白地区). 活断層・古地震研究報告, 産業技術総合研究所活断層研究センター, No.4, pp.85–101.
- スミソニアン自然史博物館 Global Volcanism Program: <https://volcano.si.edu/volcano.cfm?vn=306030> (最終閲覧日:2024年2月8日).
- 鈴木毅彦(2001) :海洋酸素同位体ステージ5–6境界に降下した飯縄上樽テフラ群とその編年学的意義, 第四紀研究, 40, 1, pp.29–41.
- 鈴木建夫・勝井義雄・中村忠寿(1973) :樽前降下軽石堆積物Ta-b層の粒度組成, 火山第2集, 18, pp.47–63.

参考文献

- 田島靖久・井上公夫・守屋以智雄・長井大輔(2005) : 白山火山の最近1万年間の噴火活動史, 地球惑星科学関連学会合同大会予稿集, G017-P002.
- 高橋浩晃・宮村淳一(2009) : 日本列島における深部低周波地震の発生状況, 北海道大学地球物理学研究報告, 72, pp.177-190.
- 高橋正樹・小林哲夫(2000) : 白山火山 過去の噴火を記録する湿原と火口群をめぐる, フィールドガイド 日本の火山-6 中部・近畿・中国の火山, 築地書館, pp.65-82.
- 宝田晋治・西原 歩・星住英夫・山崎 雅・金田泰明・下司信夫(2022) : 始良カルデラ入戸火碎流堆積物分布図, 産業技術総合研究所地質調査総合センター, 大規模火碎流分布図, no.1.
- 高柳一男・守屋以智雄(1991) : VI白山火山の火山灰層, 白山火山噴火活動調査報告書, 石川県白山自然保護センター, pp.75-92.
- 竹本弘幸・百瀬 貢・平林 潔・小林武彦(1987) : 新期御岳テフラ層の層序と時代—中部日本における編年上の意義—, 第四紀研究, 25, pp.337-352.
- 竹内圭史・加藤碩一・柳沢幸夫・広島俊男(1994) : 20万分の1地質図幅「高田」, 地質調査所.
- Tamura, I., Yamazaki, H., Mizuno, K. (2008) : Characteristics for the recognition of Pliocene and early Pleistocene marker tephras in central Japan, Quaternary International, 178, pp.85-99.
- 田中康博・田村芳彦(2001) : 両白山地, 経ヶ岳火山の岩石学, 日本地質学会講演要旨, P201.
- 棚瀬充史・及川輝樹・二ノ宮 淳・林 信太郎・梅田浩司(2007) : K-Ar年代測定に基づく両白山地の鮮新ー更新世火山活動の時空分布, 火山, 52, pp.39-61.
- 寺平 宏(2000) : 伊那谷のテフラ ー露頭記録を中心にー, 伊那谷自然史論集1, pp.1-9.
- 寺平 宏(2002) : 伊那谷のテフラⅡ ー露頭記録を中心にー, 伊那谷自然史論集3, pp.5-17.
- 寺平 宏(2006) : 伊那谷のテフラⅢ ー露頭記録を中心にー, 伊那谷自然史論集7, pp.17-24.
- The Department of Atmospheric Science, The University of Wyoming: "Atmospheric Soundings", The University of Wyoming, <http://weather.uwyo.edu/upperair/sounding.html> (ダウンロード日:2021年1月7日).
- 東宮昭彦(1997) : 実験岩石学的手法で求めるマグマ溜まりの深さ, 月刊地球, 19, pp.720-724.
- 土志田 潔(2011) : 火山の基礎知識(第2回) 降下火山灰の影響, 電力土木, 352, pp.121-124.
- 津久井雅志(1984) : 大山火山の地質, 地質雑誌, 90, pp.643-658.
- 津久井雅志・西戸裕嗣・長尾敬介(1985) : 蒜山火山群・大山火山のK-Ar年代, 地質学雑誌, 91, pp.279-288.
- 宇井忠英 編(1997) : 火山噴火と災害, 東京大学出版会, 219p.
- Umeda, K., A. Ninomiya, and T. Negi (2009) : Heat source for an amagmatic hydrothermal system, Noto Peninsula, Central Japan, Journal of Geophysical Research, vol.114, B01202.
- Umeda, K., Ban, M., Hayashi, S. and Kusano, T. (2013) : Tectonic shortening and coeval volcanism during the Quaternary, Northeast Japan arc, Journal of Earth System Science., 122, pp.137-147.
- 梅田浩司・林 信太郎・伴 雅雄・佐々木 実・大場 司・赤石和幸(1999) : 東北日本, 火山フロント付近の2.0Ma 以降の火山活動とテクトニクスの推移, 火山, 44, pp.233-249.
- 渡辺満久・中村優太・鈴木康弘(2015) : 能登半島南西岸変動地形と地震性隆起, 地理学評論, 88, pp.235-250.
- 山田直利・小林武彦(1988) : 御嶽山地域の地質, 地域地質研究報告, 5万分の1地質図幅, 地質調査所, 136p.
- 山元孝広 (2015) : 日本の主要第四紀火山の積算マグマ噴出量階段図, 地質調査総合センター研究資料集, no.613, 産業技術総合研究所地質調査総合センター.
- Yamamoto, T., Hoang, N. (2019) : Geochemical variations of the Quaternary Daisen adakites, Southwest Japan, controlled by magma production rate, LITHOS, 350-351, Article 105214.
- Yamasaki, M., Nakanishi, N. and Miyata, K. (1966) : History of Tateyama Volcano., The science reports of the Kanazawa University., 11, pp.73-92.
- 柳沢幸夫・金子隆之・赤羽貞幸・粟田泰夫・釜井俊孝・土谷信之(2001) : 飯山地域の地質, 地域地質研究報告, 5万分の1地質図幅, 地質調査所, 144p.
- 米倉伸之・貝塚爽平・野上道男・鎮西清高 編(2001) : 総説, 日本の地形1, 東京大学出版会, 349p.
- 吉川周作・井内美郎(1991) : 琵琶湖高島沖ボーリングコアの火山灰層序, 地球科学, 45, pp.81-100.
- Zhao, D., Liu, X. Hua, Y. (2018) : Tottori earthquakes and Daisen volcano: Effects of fluids, slab melting and hot mantle upwelling. Earth and Planetary Science Letters., 485, pp.121-129.
- Zhao, D., Wei, W., Nishizono, Y., Inakura, H. (2011) : Low-frequency earthquakes and tomography in western Japan: Insight into fluid and magmatic activity, Journal of Asian Earth Sciences, 42, pp.1381-1393.